

**Σημειώσεις
ΕΔΑΦΟΜΗΧΑΝΙΚΗΣ**

Γ. ΓΚΑΖΕΤΑΣ
Καθηγητής ΕΜΠ

Εκδοση 2.12[†]

Αθήνα 2012[†]

Τομέας Γεωτεχνικής
Σχολή Πολιτικών Μηχανικών

ΠΙΝΑΚΑΣ ΠΕΡΙΕΧΟΜΕΝΟΥ ΣΥΝΟΛΙΚΗΣ ΔΙΔΑΚΤΙΚΗΣ ΥΛΗΣ
ΕΔΑΦΟΜΗΧΑΝΙΚΗΣ
(5ου και 6ου εξαμήνου)

1. ΕΙΣΑΓΩΓΗ

- Παραδείγματα εφαρμογών εδαφομηχανικής σε έργα πολιτικού μηχανικού
- Μεθοδολογία επιλύσεως γεωτεχνικών προβλημάτων • σύγκριση με την δομοστατική

2. Η ΦΥΣΗ ΤΟΥ ΕΔΑΦΟΥΣ

- Προέλευση και σχηματισμός εδαφών
- Βασικές κατηγορίες εδαφικού υλικού : άμμος, άργιλος
- Φάσεις και δομή εδαφικού υλικού
- Πυκνότητα, δείκτης πόρων, σχετική υγρασία
- Μέγεθος στερεών σωματιδίων και σχετική πυκνότητα άμμου
- Ορια συνεκτικότητας και σχετική υδαρότητα αργίλου
- Διερεύνηση του υπεδάφους - παραδείγματα εδαφικών προφίλ

3. ΜΗΧΑΝΙΚΗ ΣΥΜΠΕΡΙΦΟΡΑ ΤΟΥ ΕΔΑΦΙΚΟΥ ΣΤΟΙΧΕΙΟΥ

3.1 ΤΑΣΗ (ϵ)

- Φαινομενολογικός (μακροσκοπικός) ορισμός
- Περιγραφή εντατικής καταστάσεως σημείου--κύκλος Mohr
- Η αρχή της ενεργού τάσης
- Γεωστατική εντατική κατάσταση
- Το K_0

3.2 ΠΑΡΑΜΟΡΦΩΣΗ (σ)

- Φαινομενολογικός (μακροσκοπικός) ορισμός
- Μικροσκοπικός μηχανισμός παραμορφώσεων
- Ο τρίπτυχος ρόλος της υδατικής φάσης (χημικός, φυσικός, μηχανικός)

3.3 ΣΧΕΣΗ ΤΑΣΕΩΝ ΠΑΡΑΜΟΡΦΩΣΕΩΝ ΥΠΟ ΔΙΑΦΟΡΕΣ ΕΝΤΑΤΙΚΕΣ ΚΑΤΑΣΤΑΣΕΙΣ

- Μονοδιάστατη συμπίεση
- Κυλινδρική (τριαξονική) συμπίεση
- Απλή διάτμηση
- Απευθείας διάτμηση
- Στρέψη

3.4 ΔΙΑΤΜΗΤΙΚΗ ΑΝΤΟΧΗ ΕΔΑΦΙΚΟΥ ΣΤΟΙΧΕΙΟΥ

- Νόμος αστοχίας Mohr--Coulomb
- Παράγοντες που επηρεάζουν την διατμητική αντοχή
- Επιτόπου προσδιορισμός της γωνίας ϕ σμμόδους εδαφικού υλικού

3.5 ΜΗΧΑΝΙΚΗ ΣΥΜΠΕΡΙΦΟΡΑ ΚΟΡΕΣΜΕΝΟΥ ΑΡΓΙΛΙΚΟΥ ΥΛΙΚΟΥ, ΥΠΟ ΑΣΤΡΑΓΓΙΣΤΕΣ ΣΥΝΘΗΚΕΣ (ΧΩΡΙΣ ΜΕΤΑΒΟΛΗ ΟΓΚΟΥ)

- Σχέση σ - ε και ανάπτυξη υδατικών υπερπιέσεων
- Διατμητική αντοχή υπό αστράγγιστες συνθήκες
- Η έννοια " $\phi = 0$ ", αστράγγιστη διατμητική αντοχή S_u

4. ΕΦΑΡΜΟΓΗ ΘΕΩΡΙΑΣ ΣΥΝΕΧΟΥΣ ΕΛΑΣΤΙΚΟΥ ΜΕΣΟΥ: ΜΕΤΑΔΟΣΗ ΤΑΣΕΩΝ ΣΤΟ ΕΔΑΦΟΣ

- Τάσεις επιβαλλόμενες από εξωτερικά φορτία
- Επίπεδη παραμόρφωση, αξονικώς συμμετρική παραμόρφωση, αριθμητικές εφαρμογές.
- Η "αρχή" του St. Venant.
- Παραμορφώσεις και καθίζηση

5. ΕΦΑΡΜΟΓΕΣ ΤΗΣ ΘΕΩΡΙΑΣ ΟΡΙΑΚΗΣ ΙΣΟΡΡΟΠΙΑΣ (ΕΔΑΦΙΚΩΝ ΜΑΖΩΝ ΚΑΙ ΚΑΤΑΣΚΕΥΩΝ)

5.1 ΟΡΙΖΟΝΤΙΕΣ ΕΔΑΦΙΚΕΣ ΔΡΑΣΕΙΣ ΚΑΙ ΤΟΙΧΟΙ ΑΝΤΙΣΤΗΡΙΞΕΩΣ

- Ελαστικές τάσεις λόγω πλευρικής αποφόρτισης

- Ενεργητική και παθητική εντατική κατάσταση κατά Rankine
- Μέθοδος Coulomb
- Εφαρμογή στους τοίχους αντιστηρίξεως
- Εμβάθυνση στην φιλοσοφία υπολογισμού των τοίχων αντιστηρίξεως

5.2 ΑΝΑΛΥΣΗ ΟΡΙΑΚΗΣ ΙΣΟΡΡΟΠΙΑΣ ΠΡΑΝΟΥΣ

- Απειρομήκες Πρανές : έννοια και ανάλυση
- Ανάλυση με επίπεδη επιφάνεια ολισθήσεως
- Ανάλυση με κυκλική επιφάνεια ολισθήσεως
- Ευστάθεια πρανούς υπό αστράγγιστες συνθήκες ($\phi = 0$)
- Ευστάθεια πρανούς, υλικού με ϕ και c

5.3 ΟΡΙΑΚΟ ΦΟΡΤΙΟ ΘΕΜΕΛΙΟΥ

- Αναζήτηση μηχανισμού αστοχίας
- Ανάλυση με κυκλική επιφάνεια ολισθήσεως σε ομοιογενή ή δίστρωτο εδαφικόν σχηματισμό

6. ΥΔΑΤΙΚΗ ΡΟΗ ΔΙΑ ΜΕΣΟΥ ΤΟΥ ΕΔΑΦΟΥΣ

- Νόμος Darcy, μονοδιάστατη ροή
- Μέτρηση του συντελεστή διαπερατότητας
- Εδαφικές τάσεις λόγω υδατικής ροής
- Δύναμη διηθήσεως, υδραυλική υποσκαφή, "ρευστή άμμος"
- Πρακτικές εφαρμογές

7. Η ΘΕΩΡΙΑ ΤΗΣ ΜΟΝΟΔΙΑΣΤΑΤΗΣ ΣΤΕΡΕΟΠΟΙΗΣΕΩΣ ΑΡΓΙΛΙΚΟΥ ΣΤΡΩΜΑΤΟΣ

- Παραμόρφωση κορεσμένης αργίλου
- Καθίζηση αργλικού εδαφικού στρώματος
- Χρονική εξέλιξη των παραμορφώσεων : κατάστρωση διαφορικής εξίσωσης, αναλυτική επίλυση
- Βαθμός στερεοποίησης
- Εφαρμογή : χρονική εξέλιξη καθιζήσεων οικοδομικού έργου

ΠΑΡΑΡΤΗΜΑ

Τρία Ενημερωτικά άρθρα για μελέτη :

- "Σκέψεις για μιά πιά Ορθολογημένη Ελληνική Γεωτεχνική Ορολογία"
- " Η Τοξωτή Λειτουργία του Εδάφους Απία Αστοχίας Αντιστηρίξεως"
- "Σταθμοί Ανοικτού Ορύγματος, Μετρό Αθήνας : επιτόπου μετρήσεις και αντίστροφες αναλύσεις"

ΠΑΡΑΔΕΙΓΜΑΤΑ ΔΙΑΓΩΝΙΣΜΑΤΩΝ (και μερικές λύσεις)

ΕΔΑΦΟΜΗΧΑΝΙΚΗ II – 2010

Πέμπτη 10.45 – 14.30

(α) Πρόγραμμα, (β) “Καταστατικός Χάρτης” Μαθήματος, (γ) Βιβλιογραφία

Διδάσκοντες : Γ. Γκαζέτας, Ν. Γερόλυμος, Α. Αντωνίου [Γκίνη 18]: (Ζ-Π)
Ι. Πρωτονοτάριος, Α. Τζιρίτα, Β. Τσάμης [Γκίνη 20]: (Α-Δ) + (Ρ-Ω)
και οι: Β. Γεωργιάννου, Ι. Αναστασόπουλος

(α) Το ΠΡΟΓΡΑΜΜΑ

18 Φεβρ.	ΕΙΣΑΓΩΓΗ : Η Αρχή της Ενεργού Τάσης, Παραμόρφωση Εδαφικού Στοιχείου. Μετάδοση Τάσεων λόγω εξωτερικού φορτίου. Ασκήσεις.
25 Φεβρ.	Επίπεδη & Αξονοσυμμετρική Παραμόρφωση. Ο Δίστρωτος Ημίχωρος Εμβάθυνση. Ασκήσεις. <i>(Προαιρετική παρακολούθηση διάλεξης Γ. Γκαζέτα : Εφαρμογές της Σεισμικής Μόνωσης, Ξενοδ. Τιτάνια 2:00-3:00 9)</i>
4 Μαρτίου	ΟΡΙΖΟΝΤΙΕΣ ΕΔΑΦΙΚΕΣ ΩΘΗΣΕΙΣ (1) Ενεργητική Εντατική Κατάσταση : απ’ την Ελαστική Θεώρηση στην Οριακή Κατάσταση– <i>Rankine</i> .
11 Μαρτίου	Ασκήσεις : Οριζόντιες εδαφικές ωθήσεις Εισαγωγή στις ΑΝΤΙΣΤΗΡΙΞΕΙΣ (1) : Τοίχοι Βαρύτητας
18 Μαρτίου	ΟΡΙΖΟΝΤΙΕΣ ΕΔΑΦΙΚΕΣ ΩΘΗΣΕΙΣ (2) . Μέθοδος <i>Coulomb</i> .
*15 Απριλίου	ΑΝΤΙΣΤΗΡΙΞΕΙΣ (2) . Ασκήσεις : Ωθήσεις και Αντιστηρίξεις <i>Πρόοδος (Διάρκεια 45’. Υποχρεωτικό. Βαθμός 25% του τελικού.)</i>
22 Απριλίου	ΕΥΣΤΑΘΕΙΑ ΠΡΑΝΟΥΣ (1) Οριακή Ισορροπία σε Κυκλική Επιφάνεια
29 Απριλίου	ΕΥΣΤΑΘΕΙΑ ΠΡΑΝΟΥΣ (2) Οριακή Ισορροπία σε Επίπεδη Επιφάνεια <i>Ασκήσεις ευστάθειας πρανούς [Πιθανή Επίσκεψη Έργου Αντιστηρίξεως]</i>
6 Μαΐου	ΟΡΙΑΚΟ ΦΟΡΤΙΟ ΘΕΜΕΛΙΩΣΕΩΣ (“ΘΡΑΥΣΗ” του Εδάφους) <i>Κινηματική Ανάλυση Απλού Μηχανισμού. Ασκήσεις</i>
13 Μαΐου	ΥΔΑΤΙΚΗ ΡΟΗ ΔΙΑΜΕΣΟΥ του ΕΔΑΦΟΥΣ
20 Μαΐου	ΑΣΤΟΧΙΑ λόγω ΥΔΑΤΙΚΗΣ ΡΟΗΣ και ΣΕΙΣΜΙΚΗΣ ΡΕΥΣΤΟΠΟΙΗΣΗΣ, <i>Πειραματική Επίδειξη. Ασκήσεις υδατικής ροής.</i>
27 Μαΐου	ΣΤΕΡΕΟΠΟΙΗΣΗ Αργιλικού Στρώματος (1)
3 Ιουνίου	ΣΤΕΡΕΟΠΟΙΗΣΗ Αργιλικού Στρώματος (2). Ασκήσεις.

Ιστοσελίδα Μαθήματος :

<http://www.civil.ntua.gr/~gazetas/>

(β) Ο "ΚΑΤΑΣΤΑΤΙΚΟΣ ΧΑΡΤΗΣ" του Μαθήματος**1. ΣΗΜΕΙΩΣΕΙΣ και ΒΙΒΛΙΑ του ΜΑΘΗΜΑΤΟΣ :**

- (α) Σημειώσεις Εδαφομηχανικής, Γ. Γκαζέτα [Έκδοση 2.6 (2009)]
- (β) Σημειώσεις Στοιχεία Εδαφομηχανικής, Μ.Καββαδά [Εκδόσεις ΣΥΜΕΩΝ (2009)]
- (γ) Το βιβλίο : "Στοιχεία Εδαφομηχανικής" των Κ. Γεωργιάδη και Μ. Γεωργιάδη [Εκδόσεις Ζήση, (2009)]

2. Το μάθημα αυτό αποτελεί συνέχεια της Εδαφομηχανικής Ι του 5^{ου} εξαμήνου. Όμως αυτό το εξάμηνο **δέν θα υπάρξει καμία απολύτως διάκριση μεταξύ των δύο τμημάτων.**

3. Η παρακολούθηση **Διδασκαλίας και Ασκήσεων** είναι εντελώς απαραίτητη.

Η εξεταστέα ύλη περιλαμβάνει :

- (α) **ό,τι διδάσκεται στο μάθημα** (επιβάλλεται να κρατούνται συστηματικά σημειώσεις)
- (β) τις "Σημειώσεις Εδαφομηχανικής" (Γ. Γκαζέτα) –
[Κεφάλαια 4, 5.1, 5.2, 5.3, 6 και 7. Καί τις Ασκήσεις των Διαγωνισμάτων.]
Επίσης : Τα άρθρα του Παραρτήματος.
- (γ) τα "Στοιχεία Εδαφομηχανικής" (Μ. Καββαδά) – Κεφάλαια 12.3, 12.4, 4.7.
- (δ) Το βιβλίο "Στοιχεία Εδαφομηχανικής" των Κ. και Μ. Γεωργιάδη.
[Κεφ. 2 (2.1, 2.3), Κεφ. 3 (3.1, 3.2, 3.3, 3.4), Κεφ. 4 (4.1, 4.2, 4.3)]

Επειδή δε τόσο οι νέες έννοιες όσο και οι εφαρμογές που θα εισαχθούν στο μάθημα το Εξάμηνο αυτό δεν αφομοιώνονται μόνον με μιά απλή κατ' οίκον μελέτη, **συνιστάται θερμά η σοβαρή παρακολούθηση-συμμετοχή στο μάθημα.**

4. Εκτός από τις ασκήσεις που θα λύνονται στο μάθημα [οι εκφωνήσεις των οποίων δίδονται σε Παράρτημα των "Σημειώσεων Εδαφομηχανικής"], θα σας δοθούν και "άλυτες" ασκήσεις για εξάσκηση. Υπενθυμίζεται ωστόσο ότι η εξέταση (πρόοδοι και τελικό δαγώνισμα) θα περιλαμβάνουν τα όσα διδάσκονται κυρίως στο μάθημα.
5. (α) Ένα μικρής-διάρκειας (45') **διαγώνισμα Πρόόδου** θα διεξαχθεί στις 15 Απριλίου. Θα είναι ένα απλό διαγώνισμα **(χωρίς βιβλία και χωρίς σημειώσεις)**, με σαφή την διδακτική

σκοπιμότητα. Θα ελεγχθεί η αφομοίωση των βασικών σημείων της θεωρίας και των ασκήσεων. Το διαγώνισμα είναι υποχρεωτικό. Ο βαθμός προόδου θα αντιστοιχεί στο 25% της τελικής βαθμολογίας, (β) Το τελικό διαγώνισμα (75% του τελικού βαθμού), θα γίνει επίσης χωρίς βιβλία και χωρίς σημειώσεις. Τόσο το ενδιάμεσο όσο και το τελικό διαγώνισμα θα είναι κοινά για όλα τα τμήματα του μαθήματος.

Τονίζεται ιδιαίτερος ότι ο σκοπός των διαγωνισμάτων δεν είναι μόνον (ούτε καν κυρίως) η βαθμολόγηση της προόδου του σπουδαστή, αλλά η εξάσκησή του. Άλλωστε δεν ενδιαφερόμαστε τόσο πολύ να ελέγξουμε τις "γνώσεις" που θα έχετε αποκτήσει, όσο να συμβάλλουμε στην καλλιέργεια ορθολογικού τρόπου σκέψης «μηχανικού». Επομένως, η συμμετοχή και στα δύο διαγωνίσματα είναι σχεδόν-εξίσου επωφελής για τον εκπαιδευόμενο σπουδαστή.

6. Υπενθυμίζεται επίσης ότι **θεωρία και ασκήσεις στην Εδαφομηχανική είναι αλληλένδετα**. Οι φυσικές προσομοιώσεις και αναλύσεις που αναπτύσσονται στην θεωρία αποτελούν συχνά και την μεθοδολογία επιλύσεως πρακτικών προβλημάτων και "ασκήσεων" — όχι απλώς μιά θεωρητική ενασχόληση. Επομένως απαιτείται **ενιαία παρακολούθηση** και κατανόηση (θεωρίας και αριθμητικών εφαρμογών). Φυσικά, **ενιαία** (ως προς θεωρία και ασκήσεις) θα είναι και τα θέματα των διαγωνισμάτων. Ασκήσεις, **παραδείγματα των πρόσφατων διαγωνισμάτων**, με μερικές χαρακτηριστικές λύσεις, δίδονται στο τέλος των Σημειώσεων (σελίδες 362-441). Είναι προφανώς χρήσιμο να τις συμβουλευέστε και να τις λύσετε για πρόσθετη δική σας εξάσκηση ...
7. Απαιτούμενος ελάχιστος χρόνος μελέτης του μαθήματος (κατά την εκτίμησή μας) : **1 ½ ώρα εβδομαδιαίως (εφόσον γίνεται αμέσως μετά το μάθημα [π.χ. την ίδια ημέρα ή έστω εβδομάδα]).***
8. Ανακοινώσεις πάσης φύσεως (για το μάθημα, τα διαγωνίσματα, αλλά και διάφορα θέματα γενικότερου ενδιαφέροντος) θα τοποθετούνται στην **ιστοσελίδα** :

<http://www.civil.ntua.gr/~gazetas/>

ΕΔΑΦΟΜΗΧΑΝΙΚΗ (I, II)

5^{ου} και 6^{ου} Εξαμήνου

Πολιτικών Μηχανικών ΕΜΠ

Σκοπός του μαθήματος είναι να διδάξει τις θεμελιώδεις αρχές της εδαφομηχανικής — μιάς ώριμης πιά επιστήμης, αν και έχει ("επίσημη") ζωή μόλις 70 ετών, και της οποίας βάση είναι η μηχανική των παραμορφωτών υλικών (συμπεριλαμβανομένης και της μηχανικής των ρευστών).

Η έμφαση της όλης διαδικασίας δεν είναι τόσο στην παροχή μεγάλου όγκου γνώσεων, όσο στην εμπέδωση μεθοδολογίας ορθολογικής αντιμετώπισης προβλημάτων του εδαφομηχανικού, με βάση τις θεμελιώδεις αρχές της μηχανικής επιστήμης. Γι' αυτό προτιμούμε να παράγονται απλά θεωρητικά αποτελέσματα (όπου είναι δυνατόν) έστω και κατά προσέγγιση, αντί να απομνημονεύονται συνεχώς έτοιμα αποτελέσματα της βιβλιογραφίας. Έτσι μόνον είναι δυνατή η (κριτική) κατανόηση της ουσίας του μαθήματος και η καλλιέργεια εδαφομηχανικής "διαίσθησης" και "κρίσης μηχανικού".

Η διδασκαλία γίνεται κυρίως "από πίνακος", αλλά και με την χρήση (κάπου-κάπου) έγχρωμων διαφανειών. Συνιστάται η ενεργός διανοητική συμμετοχή (κι όχι απλώς παρακολούθηση) των σπουδαστών. Χρειάζεται να κρατιούνται σημειώσεις, μιά που η ζωντανή διδασκαλία δεν έχει αποτυπωθεί στις ΣΗΜΕΙΩΣΕΙΣ-ΒΙΒΛΙΑ του μαθήματος (κάτι τέτοιο είναι σχεδόν αδύνατον).

Πιστεύω ότι ο συχνά επιχειρούμενος διαχωρισμός της "θεωρίας" απ' τις "ασκήσεις" είναι σε μεγάλο βαθμό αφύσικος, ειδικά για ένα μάθημα όπως η εδαφομηχανική (πλήθος καινούριων εννοιών, έμφαση σε θεμελιώδεις αρχές κι όχι σε υπολογιστικά - κατασκευαστικά θέματα, κ.λ.π.). Προσπαθούμε λοιπόν τα δύο αυτά εξάμηνα ώστε "θεωρία" και "ασκήσεις" (καλύτερος όρος : "αριθμητικές εφαρμογές") να είναι αλληλένδετες. Έτσι, η διδασκαλία της "θεωρίας" μπορεί να συνεχίζεται και κατά την διάρκεια των ωρών των "ασκήσεων". Άλλωστε αυτό είναι και το πνεύμα του νέου προγράμματος της Σχολής Πολιτικών Μηχανικών (ήδη από το 1996).

Κάθε μία ή δύο βδομάδες δίνουμε τις εκφωνήσεις μεγάλου αριθμού προβλημάτων-ερωτήσεων, μόνον μερικές απ' τις οποίες μελετούνται στις ώρες των "ασκήσεων". Οι σπουδαστές παραδίδουν "Ασκήσεις" για διόρθωση επιλεκτικά. Συνιστούμε θερμά την σοβαρή μελέτη όλων των ασκήσεων "κατ'ιδίαν".

Είναι εξαιρετικώς σκόπιμη η παράλληλη μελέτη (ή έστω και απλή ανάγνωση) ξένων διδακτικών συγγραμμάτων. Διαπιστώνει κανείς ότι δεν απαιτείται τέλεια γνώση της αντίστοιχης γλώσσας για την παρακολούθηση ενός τεχνικού (καί μάλιστα εικονογραφημένου) κειμένου, το περιεχόμενο του οποίου είναι σε γενικές γραμμές γνωστό.

Ιδού ένας κατάλογος (κάθε άλλο παρά πλήρης) *μερικών ξενόγλωσσων διδακτικών βιβλίων* :

- 1) T. W. Lambe and R. V. Whitman, "SOIL MECHANICS" (SI Version), John Wiley and Sons, 1969, 1979. (Ίσως το πληρέστερο και καλύτερο σύγγραμμα Εδαφομηχανικής.) -- ΑΓΓΛΙΚΑ.
- 2) K. Terzaghi, (1943), "THEORETICAL SOIL MECHANICS", John Wiley & Sons, (Κλασσικό σύγγραμμα που συνέβαλε στην καθιέρωση της Εδαφομηχανικής επιστήμης.) -- ΑΓΓΛΙΚΑ.
- 3) Y. H. Fang (editor), "FOUNDATION ENGINEERING HANDBOOK 2nd EDITION", Kluwer, 1991. (Ένα από τα πληρέστερα βιβλία εφαρμογών Εδαφομηχανικής, Θεμελιώσεων, και Γεωτεχνολογίας.) -- ΑΓΓΛΙΚΑ.
- 4) F. Craig, "SOIL MECHANICS", Van Nostrand Reinholds, Chapman & Hall, 1974 -- ΑΓΓΛΙΚΑ.
- 5) R.D. Holtz and W.W.D. Kovacs, "AN INTRODUCTION TO GEOTECHNICAL ENGINEERING", Prentice-Hall 1981 -- ΑΓΓΛΙΚΑ.
- 6) S.L. Kramer, "GEOTECHNICAL EARTHQUAKE ENGINEERING", Prentice -Hall 1995. (Το πρώτο ολοκληρωμένο και καλογραμμένο βιβλίο Σεισμικής Εδαφομηχανικής.) -- ΑΓΓΛΙΚΑ.
- 7) H. Poulos and E.H. Davis "ELASTIC SOLUTIONS FOR SOIL AND ROCK MECHANICS", John Wiley and Sons, 1975 -- ΑΓΓΛΙΚΑ.

- 8) D. Kolymbas "GEOTECHNIK, BODENMECHANIK und GRUNDBAU", Springer, 1998 (Καλογραμμένο και ολοκληρωμένο σύγγραμμα Εδαφομηχανικής και Θεμελιώσεων.) -- ΓΕΡΜΑΝΙΚΑ.
- 9) GRUNDDABAU TASCHENBUCH", Teil 1-3, Verlag, Berlin - ΓΕΡΜΑΝΙΚΑ.
- 10) G. Sanglerat, G. Alivari, and B. Cambou, "PROBLEMS PRATIQUES DE MECANIQUE DES SOLS ET DES FONDATIONS", Dumond, Paris; 1980 -- ΓΑΛΛΙΚΑ.
- 11) R.F. Scott, "FOUNDATION ANALYSIS", Prentice-Hall, 1981 -- ΑΓΓΛΙΚΑ.
- 12) G. E. Barnes, "SOIL MECHANICS, Principles and Practice" Macmillan, 1995 (Καλογραμμένο βιβλίο Εδαφομηχανικής και Θεμελιώσεων.) -- ΑΓΓΛΙΚΑ.

ΠΡΟΣΦΑΤΕΣ ΕΚΔΟΣΕΙΣ

- 13) Κ. Γεωργιάδης και Μ. Γεωργιάδης, "ΣΤΟΙΧΕΙΑ ΕΔΑΦΟΜΗΧΑΝΙΚΗΣ", Εκδόσεις Ζήτη, 2009.
- 14) Σπ. Κωστόπουλου, "ΓΕΩΤΕΧΝΙΚΕΣ ΚΑΤΑΣΚΕΥΕΣ", και "ΠΕΙΡΑΜΑΤΙΚΗ ΓΕΩΤΕΧΝΙΚΗ ΜΗΧΑΝΙΚΗ", Εκδόσεις Ιων, Αθήνα 2003 και 2005, αντιστοίχως. (Με πολλές ενδιαφέρουσες εφαρμογές από έργα στην Ελλάδα.)
- 15) D.M. Wood, "GEOTECHNICAL MODELLING", Spon Press, 2004
- 16) F. Azizi, "APPLIED ANALYSES IN GEOTECHNICS", SPON Press 2000. (Ένα πληρέστατο καλογραμμένο σύγγραμμα.)
- 17) M. Budhu, "SOIL MECHANICS AND FOUNDATIONS", John Wiley & Sons, 2000.
- 18) Ν. Παπαχαρίσης, Ν. Μάνου-Ανδρεάδη, Ι. Γραμματικόπουλος, «ΓΕΩΤΕΧΝΙΚΗ ΜΗΧΑΝΙΚΗ», Εκδόσεις Αδελφών Κυριακίδη, 1999.

Σύστημα Μονάδων

Στην διδασκαλία θα χρησιμοποιείται το Διεθνές Σύστημα Μονάδων **SI** (Système International). Το σύστημα αυτό, που δένα παρά εξέλιξη του μετρικού συστήματος, είναι τελείως "ορθολογικό" και "πλήρες", έχει δε υιοθετηθεί διεθνώς από το 1960. Τα κυριώτερα βασικά μεγέθη και οι αντίστοιχες μονάδες του **SI** είναι : Μήκος : μέτρο (m), Χρόνος : δευτερόλεπτο (s), Μάζα : κιλό (kg).

Το βάρος (καί η δύναμη γενικότερα) είναι παράγωγο μέγεθος και μετριέται σε Newton (**N**) ή το πολλαπλάσιο του, **kN**. Σύμφωνα με τον νόμο του Νεύτωνα :

$$\text{Δύναμη} = \text{Μάζα} \times \text{Επιτάχυνση} : 1 \text{ N} = 1 \text{ kg} \times 1 \text{ m/s}^2$$

Συνήθως στην εδαφομηχανική χρησιμοποιούνται τα πολλαπλάσια του **kg** και του **N** : $1000 \text{ kg} = 1 \text{ Mg} = 1 \text{ t}$, και $1000 \text{ N} = 1 \text{ kN}$.

Είναι σημαντικό να θυμόμαστε ότι το κιλό (**kg**) και ο τόνος (**t** ή **Mg**) είναι μονάδες μάζας και όχι δύναμης. Οι "παλιές" μονάδες δύναμης (**kg*** και **t***) συσχετίζονται με το **N** και **kN** ως εξής :

$$1 \text{ kg}^* = 1 \text{ kg} \times 9.81 \text{ m/s}^2 = 9.81 \text{ N} \approx 10 \text{ N}$$

$$1 \text{ t}^* = 1 \text{ Mg} \times 9.81 \text{ m/s}^2 = 9.81 \text{ kN} \approx 10 \text{ kN}$$

1.

ΕΙΣΑΓΩΓΗ

Ο ΠΟΛΙΤΙΚΟΣ ΜΗΧΑΝΙΣΜΟΣ ΣΥΝΑΥΤΑ
ΜΑΙ ΧΡΗΣΙΜΟΠΟΙΕΙ ΤΟ ΕΔΑΦΟΣ ΣΕ ΠΛΗΘΟΣ
ΕΦΑΡΜΟΓΩΝ :

(α) γιά νά εδράσει (θεμελιώσει)

τίς κατασκευές του (ατρίαιές
κατασκευές, γέφυρες, επιχώματα, φράγματα,
υδραυλικές κατασκευές, κλπ.)

(β) ως υλικό κατασκευής

σε φράγματα κ επιχώματα, δρόμους,
αεροδρόμια, "τεχνητή γή", ...

(γ) ως "μέσον" ή υλικό που πρέπει

νά προστατευθεί, διανοιχθεί,
αυτιστηριχθεί, κλπ...

φυσικά πετρώματα, εισαγωγές, αλυστήριξες, υποθήκες
κατασκευές,

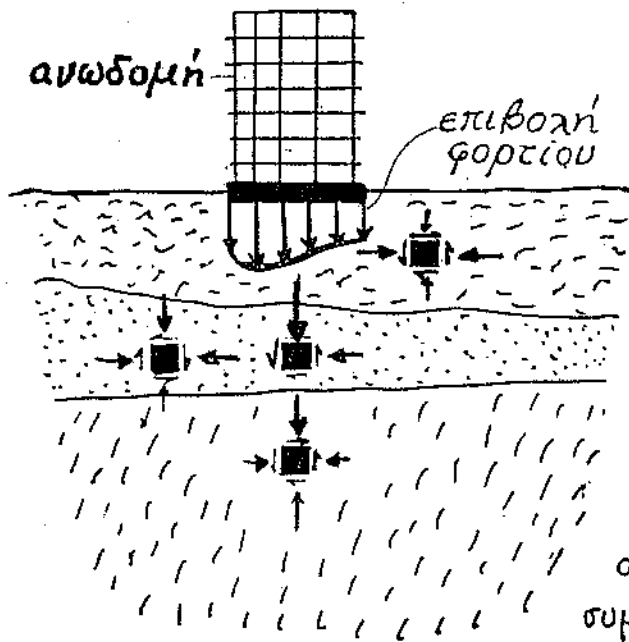
(δ) ως "μέσον" υδατικής ροής

(διαρροή μέσω φράγματος ή εδαφικού σχηματισμού,
άνταση υπογείου ύδατος, αποξήρανση, ...)

(ε) ως "μέσον" διαδόσεως μηχανικών κινήσεων κατά την διάρκεια σεισμικών δονήσεων και επιρήξεων — ή λόγω μετάδοσης δυναμικών φορτίων από μηχανές, θαλάσσια κώμαγα, ανέμους, κλπ.

ΘΕΜΕΛΙΩΣΗ ΔΟΜΗΜΑΤΟΣ

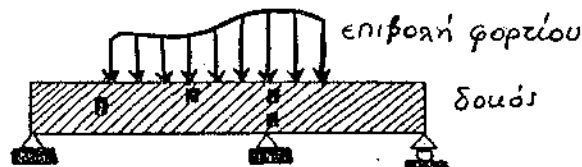
τό γενικό πρόβλημα



κύριο
ερώτημα:
πώς θα
αντιδράσει
η απερίοριστη
σέ ευταση
εδαφική μάζα

απαιτείται γνώση της
συμπεριφοράς των επιμέρους
εδαφικών στοιχείων...

αντιστοιχία με δομοστατικό
πρόβλημα:



- υπολογισμός τάσεων σε χαρακτηριστικά στοιχεία: έλεγχος: αποφυγή δράσης
- υπολογισμός βυθίσεων: αποφυγή υπερβολικών παραμορφώσεων

τὸ πρόβλημα τοῦ
γεωτεχνικοῦ :

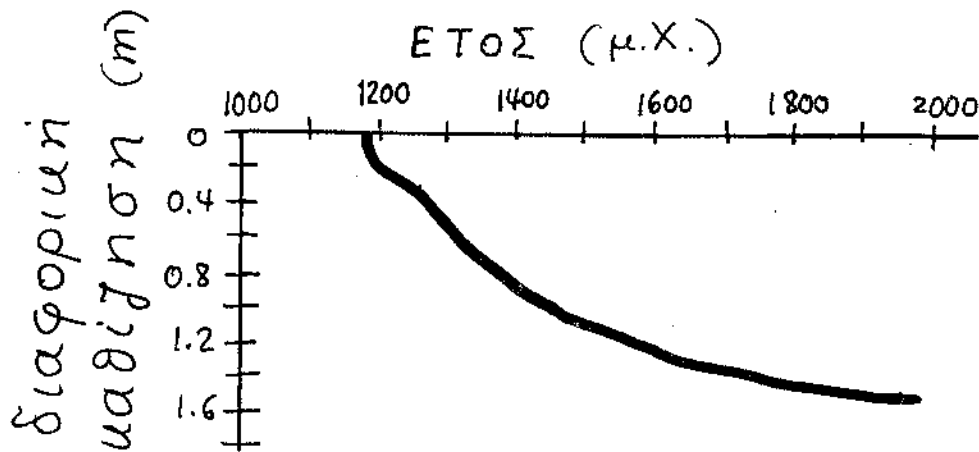
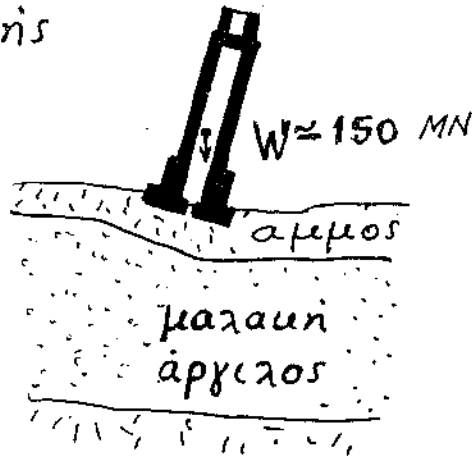
μέ ποιόν τρόπο θὰ "εδρασθεῖ"
ἡ ανωδομή (εἶδος, βάθος,
καὶ διαστάσεις^{2ης} θεμελίωσης)
ὥστε :

1. νὰ μὴν ἐπέλθει **"θραύση"**
τῆς εδαφικῆς μάζας
2. ἡ **καθίζηση** (= κατακόρυφη
βύθιση) τῆς ανωδομῆς νὰ
εἶναι ἀνευζῶς μικρή.
(Γενικότερα, οἱ μετακινήσεις
νὰ εἶναι ἀνευζῆς.)

Δύο παραδείγματα ακολουθοῦν :

Κλασσιό παράδειγμα θεαματικής καθίζησης:

Πύργος της
Πίτσας



(1980)

καθίζηση βόρειας άκρης ≈ 3.3 m

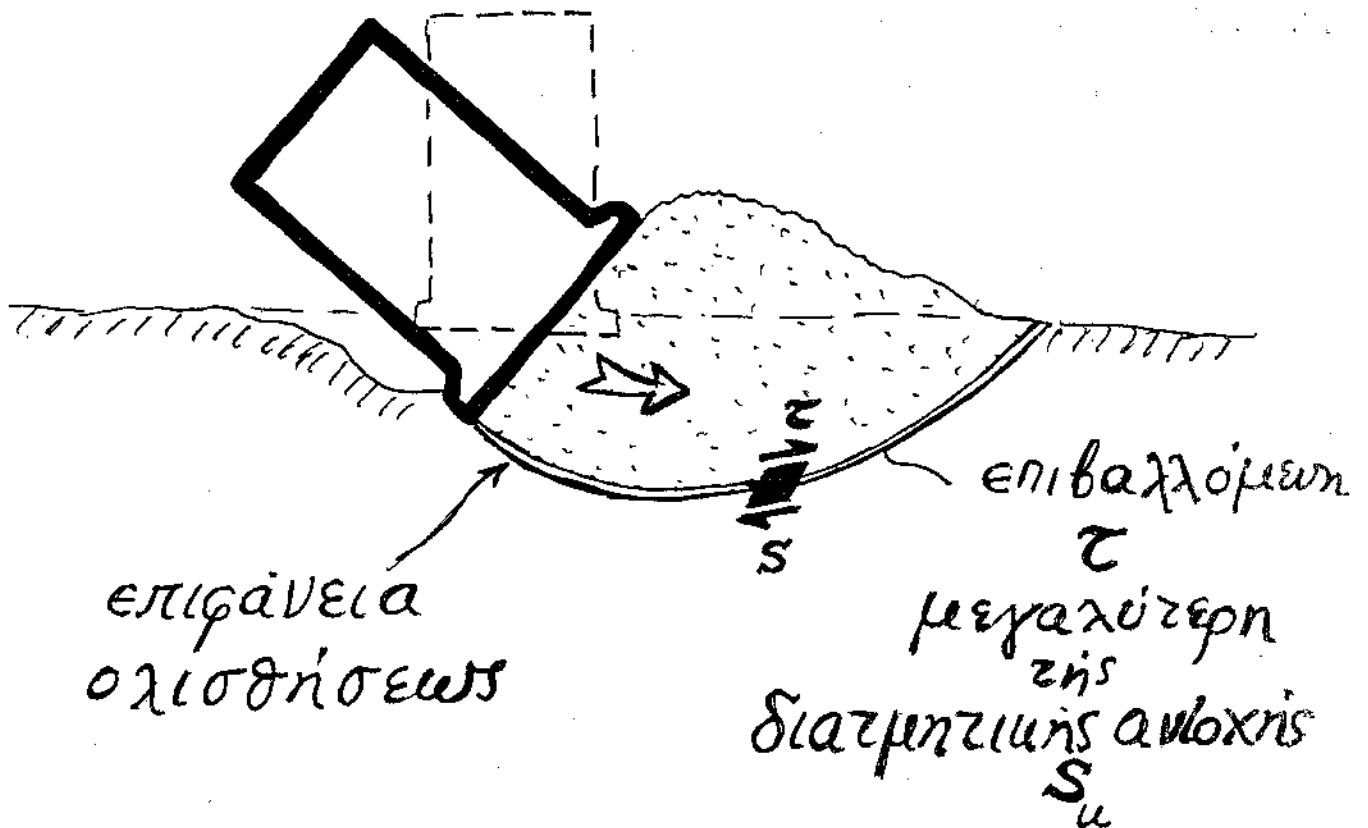
καθίζηση νότιας άκρης ≈ 1.7 m

$\Delta \approx 1.6$ m

(σήμερα είναι ακόμη μεγαλύτερες)*
1985

* εννοείται, προτού γίνει η επιτυχής επέμβαση
αγαφέσεως εδαφικού υλικού!

Κλαστικό παράδειγμα θεαματικής "θραύσης" του εδάφους



ΔΙΑΦΟΡΕΣ μεταξύ ΔΟΜΟΣΤΑΤΙΚΟΥ και ΓΕΩΤΕΧΝΙΚΟΥ προβλήματος

(α) ως προς το υλικό :

- δομοστατικά υλικά
(χάλυβας, σκυρόδεμα, τούβλα, ...)
 - γνωστές ιδιότητες
(απαιτητές, μάλιστα): E , $\sigma_{\theta\rho}$
 - ομοιογενή (περίπου)
- εδαφιαία υλικά
 - άγνωστη "σύνθεση" και
άγνωστη μηχανική συμπεριφορά (→ διερεύνηση υπεδάφους)
 - ανομοιογενές και ανισότροπο
 - περίπλοκη μηχανική συμπεριφορά (→ δοκιμές στο εργαστήριο και επί τόπου, θεωρίες πλαστικότητας, ...)

(β) ως προς την γεωμετρία :

- **δομοστατικοί φορείς :**
 - γραμμικοί (1-διάσταση)
 - επιφανειακοί (2 διαστάσεις)
 - συνήθως μικρού βαθμού υπερ-στατικότητας
(\Rightarrow επίλυση με σχετικώς απλές - ισοστατικές - μεθόδους)

• **εδραγιές μάζες :**

- ευλείνονται σε 3 διαστάσεις (άπειρη έυταση)
- βαθμός υπερστατικότητας ∞^3



επίλυση με χρήση θεωριών του **συνεχούς μέσου**

(θεωρία ελαστικότητας, θεωρία πλαστικότητας)

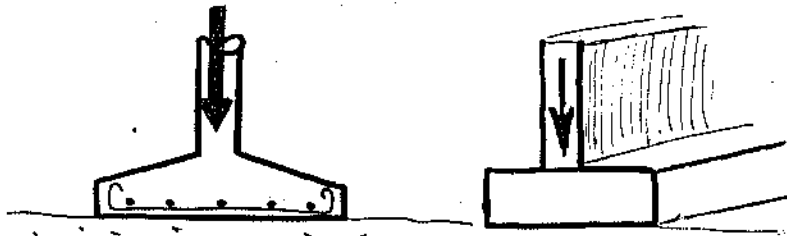
ΜΕΘΟΔΟΛΟΓΙΑ ΓΙΑ ΤΗΝ ΕΠΙΛΥΣΗ ΤΟΥ ΓΕΩΤΕΧΝΙΚΟΥ ΠΡΟΒΛΗΜΑΤΟΣ:

1. Υπολογισμός της επιβαλλόμενης
ευταξιακής κατατάξεως ($\sigma_x,$
 $\sigma_y, \sigma_z, \tau_{xy}, \tau_{xz}, \tau_{zy}$) σε κάθε
εδάφιο στοιχείο
(θεωρία ελαστικότητας, ...)
2. εκτίμηση των παραμορφώσεων*
[τροπών] ($\epsilon_x, \epsilon_y, \epsilon_z, \gamma_{xy}, \gamma_{xz},$
 γ_{zy}) κάθε στοιχείου υπό
την επίδραση των $\sigma_x, \sigma_y, \dots$
(μετρήσεις στο εργαστήριο και επιτόπου,
θεωρία ελαστικότητας και πλαστικότητας...)
3. συνδυασμός των ϵ και σ
των διαφόρων στοιχείων \Rightarrow
συμπεριφορά της συνολικής
εδάφιας μάζας
και της επ' αυτής κατασκευής.

* αν και το σωστό είναι αυξημένων παραμορφώσεων
για λόγους οικονομίας περιορίζουμε τις
παραμορφώσεις όταν δεν υπάρχει κίνδυνος σύγκυψης.

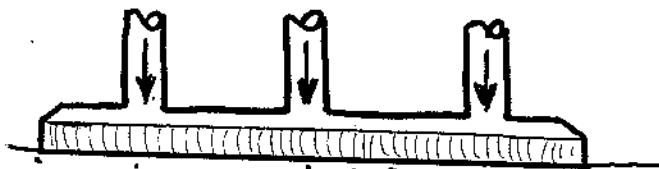
ΤΡΟΠΟΙ ΕΔΡΑΣΕΩΣ ΔΟΜΗΜΑΤΟΣ (ΤΥΠΟΙ ΘΕΜΕΛΙΩΣΕΩΝ)

ΜΕΜΟΝΟΜΕΝΑ ΠΕΔΙΛΑ

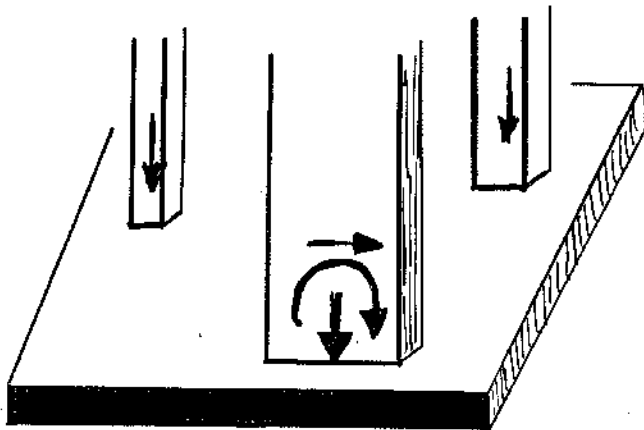


μικρά
φορτία
ή
υψηλής
ποιότητας
έδαφος

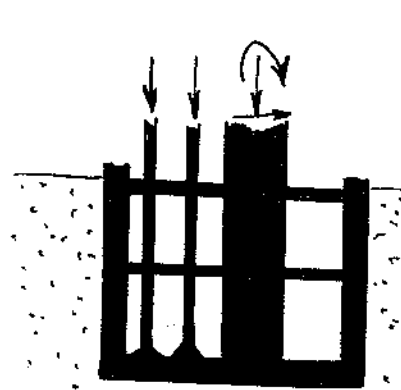
ΠΕΔΙΛΟΔΟΚΟΙ



ΓΕΝΙΚΕΣ ΚΟΙΤΟΣΤΡΩΣΕΙΣ, ΠΛΑΚΕΣ ΘΕΜΕΛΙΩΣΗΣ



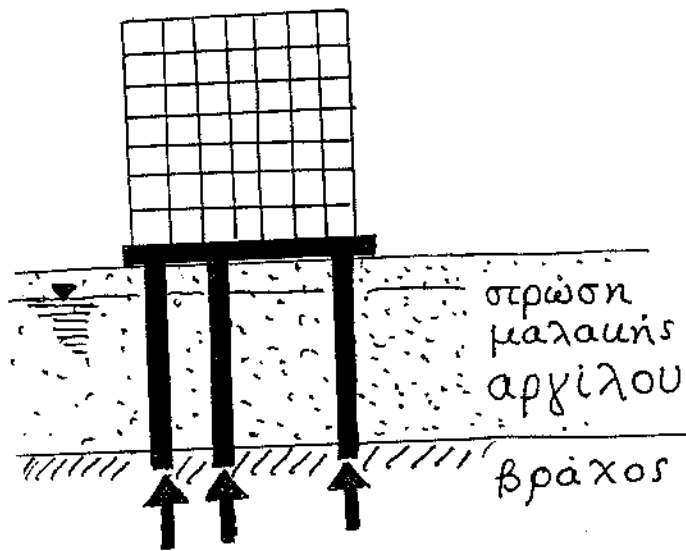
επιφανειακές



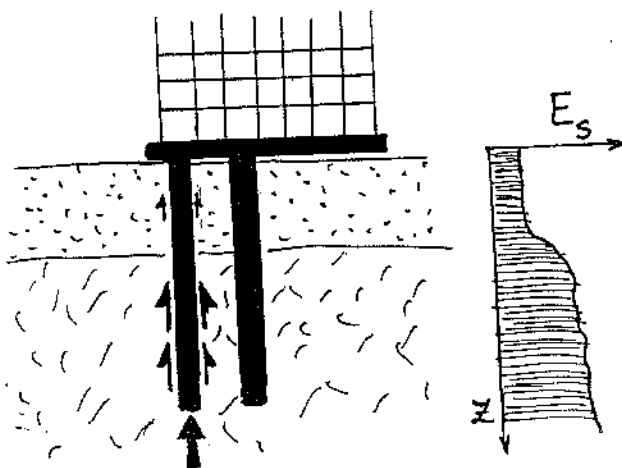
εγκιβωτισμένες

αντιμετώπιση προβληματικού εδάφους ή/και μεγάλων επιφορτίσεων:

1. ΘΕΜΕΛΙΩΣΗ ΜΕ ΠΑΣΣΑΛΟΥΣ



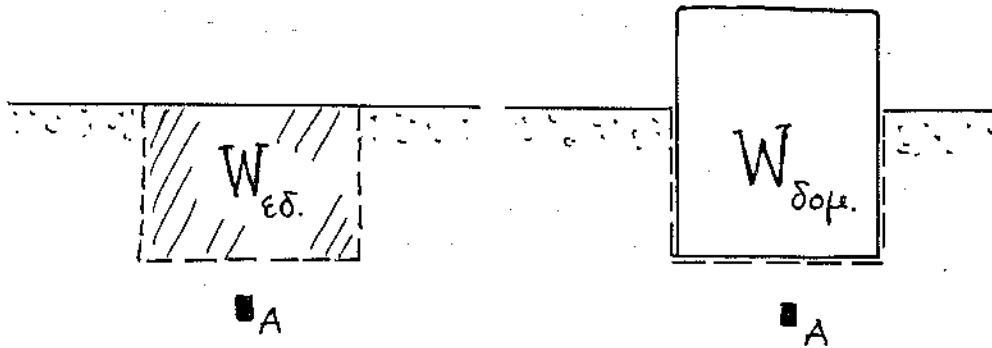
πάσσαλοι
αιχμής
(“εσραζόμενοι”)



πάσσαλοι
τριβής
(“αιωρούμενοι”)

δυνατότητα και η ενδιάμεση κατάσταση:
πάσσαλοι ενμέρει αιχμής και ενμέρει
τριβής.

2. "ΕΠΙΠΛΕΟΥΣΑ" ΘΕΜΕΛΙΩΣΗ



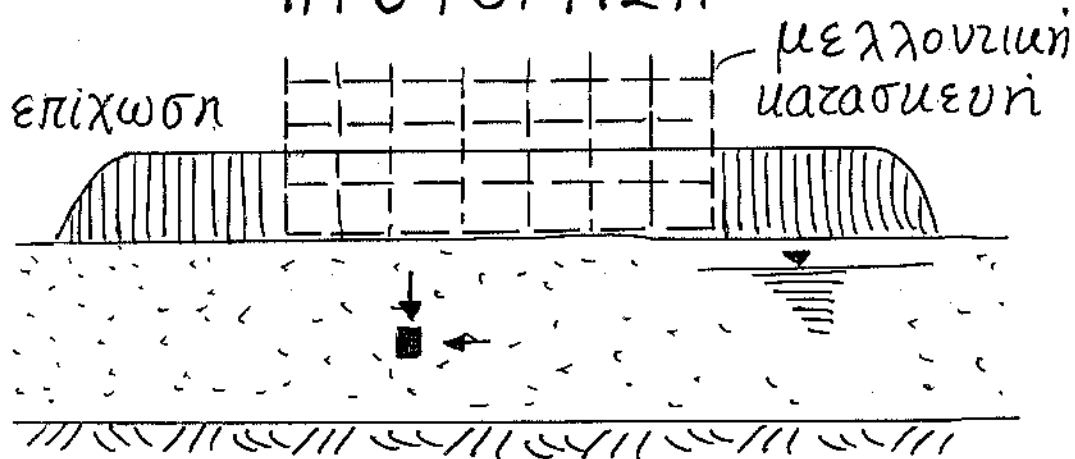
Εάν $W_{εδ} \approx W_{δομ}$ ∴ τό

τυχόν εδαφικό στοιχείο A
δεν θα "αντιληφθεί" την
διαφορά μεταξύ των δύο
μαζαστάσεων!

$$\Delta\sigma_A \text{ και } \Delta\varepsilon_A \approx 0 \Rightarrow$$

αιώρη και σε προβληματικά εδάφη:
ουδέν πρόβλημα καθήτησης ή θραύσης!

3. ΒΕΛΤΙΩΣΗ ΕΔΑΦΟΥΣ, π.χ. ΜΕ ΠΡΟΦΟΡΤΙΣΗ



τα φορτία της επίχωσης επιβάλλουν τάσεις οι οποίες συμπιέζουν ("συμπυκνώνουν") το έδαφος
⇒ μειώνουν τα κενά των πόρων

Αποφόρτιση: μικρή μόνον ελαστική
"ανάκαμψη" ⇒

Επαναφόρτιση (κατασκευή): δράση
σε βελτιωμένο έδαφος ∴

ΜΙΚΡΗ ΚΑΘΙΣΤΗΣΗ, ΟΧΙ ΘΡΑΥΣΗ

4. ΣΥΝΔΥΑΣΜΟΣ ΜΕΘΟΔΩΝ

π.χ. "ΕΠΙΠΛΕΟΥΣΑ" ΘΕΜΕΛΙΩΣΗ +
ΠΑΣΣΑΛΟΙ (ΑΙΧΜΗΣ+ΤΡΙΒΗΣ)

Κλασικό παράδειγμα το 50όροφο κτίριο Torre Latino-americana στο Μεξικό, θεμελιωμένο στην πιο μαλακή άρχηλο του κόσμου (ποσοστό φυσικής υγρασίας $w \approx 300\% - 500\%$, σε βάθος $\leq 40\text{ m}$!)

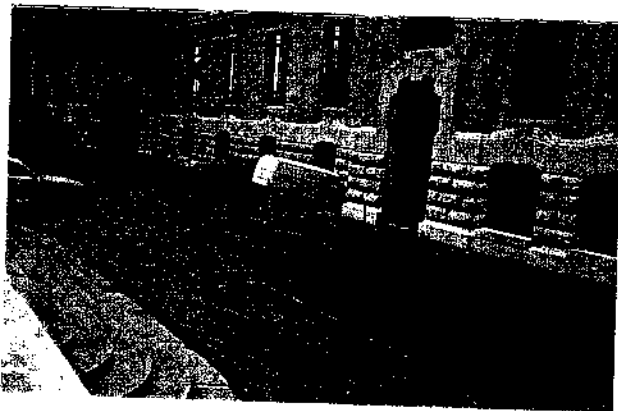
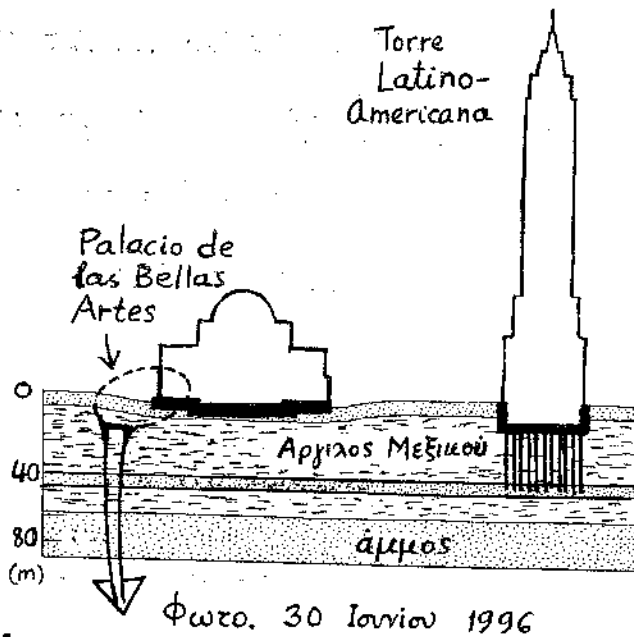
[Βλ. περισσότερες λεπτομέρειες: Γιαζέας (1995) Σημειώσεις Εδαφοδυναμικής]

Η "επιπλέουσα" θεμελίωση μειώνει τα επιβαλλόμενα πρόσθετα φορτία, οι δέ πάσσαλοι αποφεύγουν το άνω στρώμα μαλακής άρχηλου και εδράζονται σε ενδιάμεσο λεπτό στρώμα άμμου.

(Υπολογίσθηκε [επιτυχώς] ώστε η καθίζηση των πασσάλων, και άρα του κτιρίου, να ισούται περίπου με την καθίζηση του περιβάλλοντος εδάφους λόγω αντήσεως: $\approx 0.30\text{ m}$)

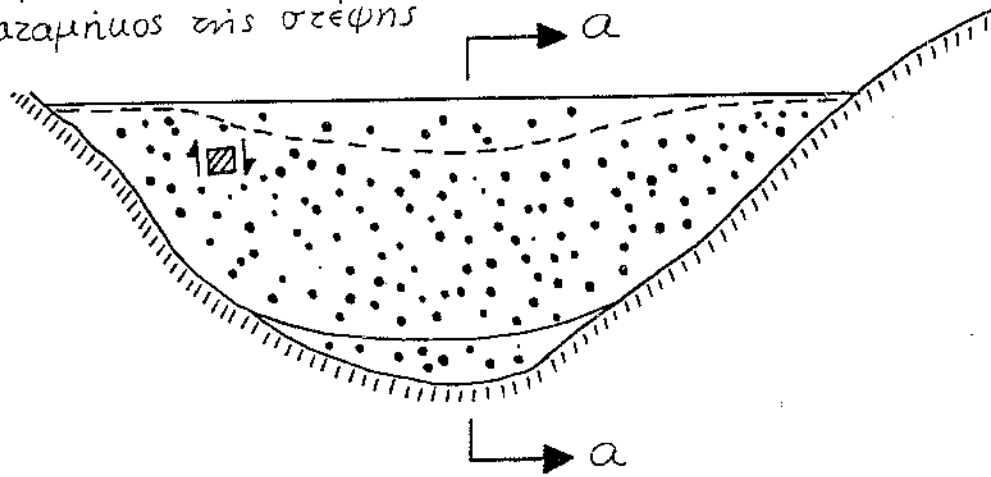
Αντιθέτα, το ιστορικό (1900) Παλάτι των Τεχνών, η γενική μοτίδωση του οποίου μεταφέρει πίεση $\gamma \approx 120\text{ kPa}$, έχει υποστεί συνολική καθίζηση $\approx 3\text{ m}$ και διαφορική (ως προς το περιβάλλον έδαφος) $\approx 2\text{ m}$.

[Παρατηρείστε στην φωτογραφία την κλίση των δύο παρμαρισμένων αυτοκινητόδων, και σημειώστε ότι τα σχετικά μαθήδου ανικατέστησαν τα σχετικά ανόδου που είχαν αρχικά κατασκευασθεί.]

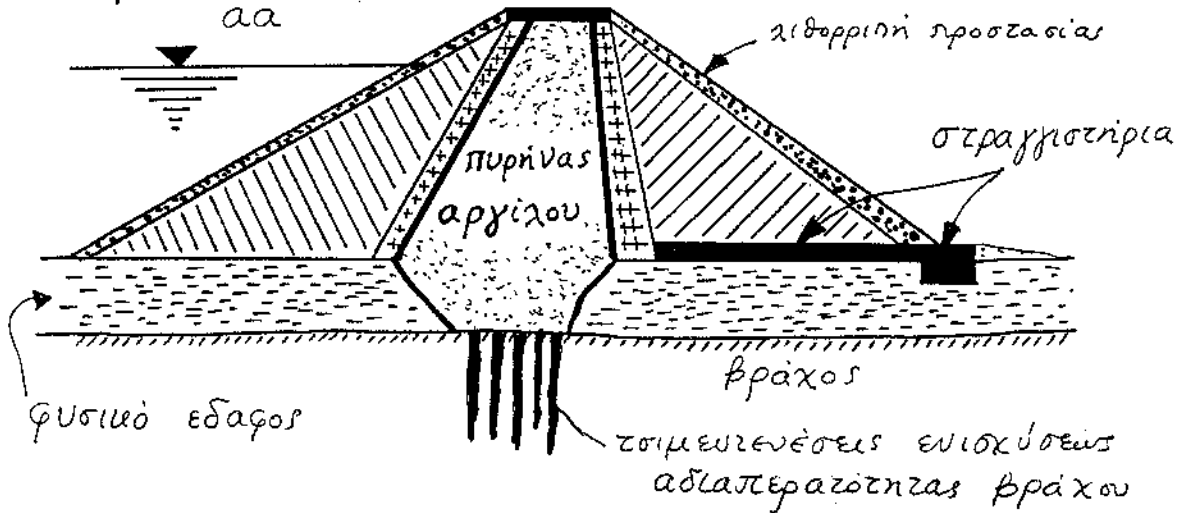


ΤΟ ΧΩΜΑΤΙΝΟ ²¹/₂ ΛΙΘΟΡΡΙΠΤΟ ΦΡΑΓΜΑ

Τομή καταμήκος της στέφης



Τομή καταλάτος αα



//// "κέλυφος" φράγματος → προσδίδει αντοχή κ ενστάθεια

●●●● αργιλικός πυρήνας → προσφέρει την αδιαπερατότητα

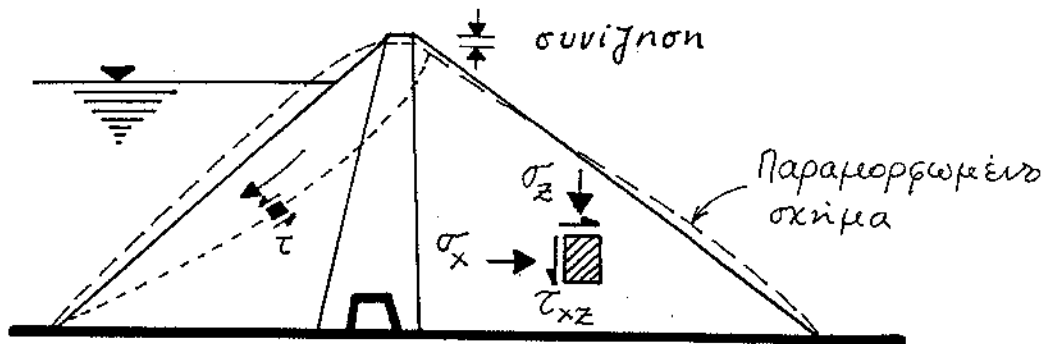
+++ (προσαγευσιμιά) "φίλτρα" → αποφυγή υδραυλικής υποσυστήσης και διασποχίωσης

Πολλά τα προβλήματα σχεδιασμού:

μηχανικής και υδραυλικής γύσεως

Ίδου μερικά παραδείγματα:

(α) ΤΑΣΕΙΣ και ΠΑΡΑΜΟΡΦΩΣΕΙΣ
λόγω ιδίου βάρους + H_2O πιέσεων

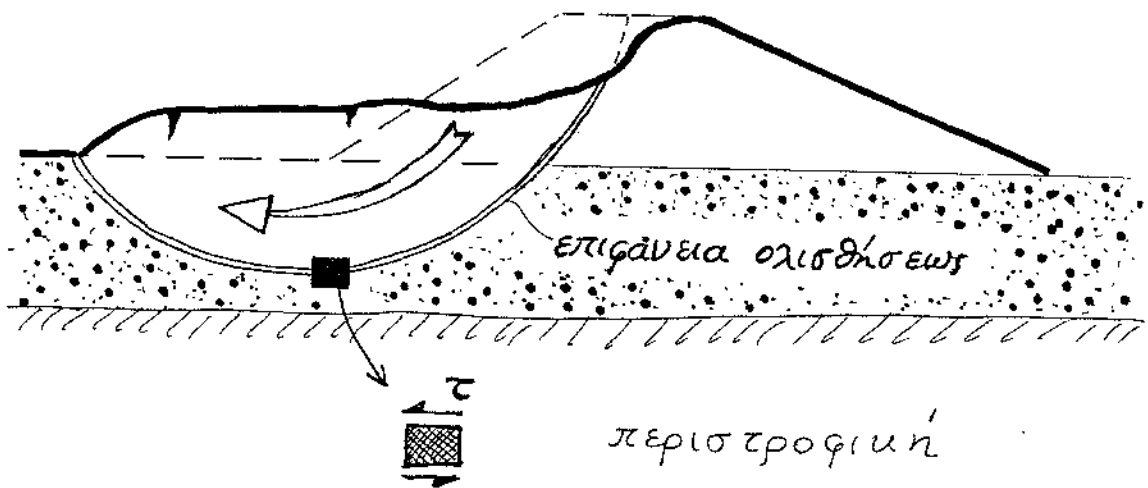
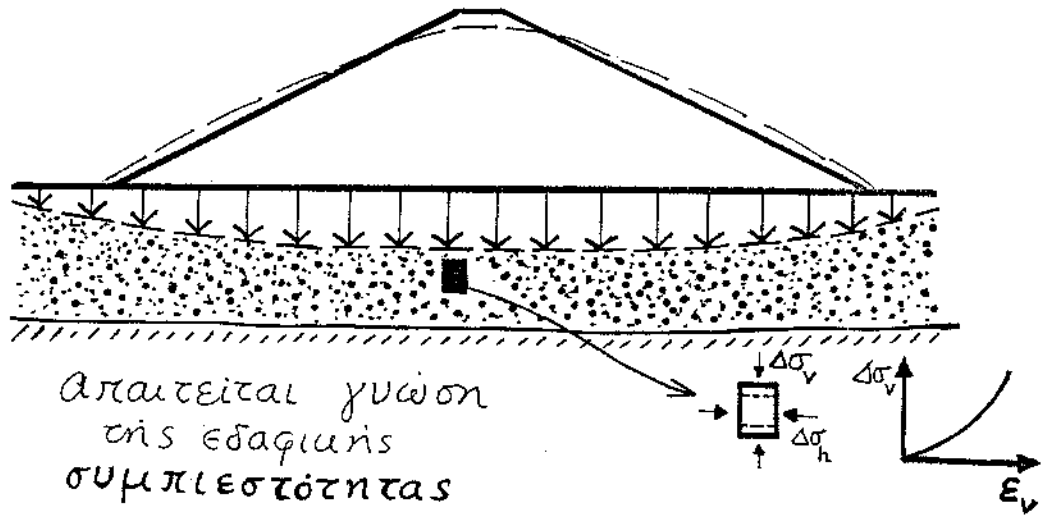


ΠΙΘΑΝΑ ΠΡΟΒΛΗΜΑΤΑ

1. Υπερβολική συνίηση
2. Ανάπτυξη εφελκυστικών τάσεων
3. Διαφορικές μετατοπίσεις, ασυμβατότητας παραμορφώσεων γειτνιαζόντων υλικών
4. Οχιοθνηση πρανών → αστοχία

(1, 2, 3) → ρηγματώση...

(β) ΚΑΘΙΣΗΣΗ η' και ΘΡΑΥΣΗ
του φυσικού ΥΠΕΔΑΦΟΥΣ



περιστροφική

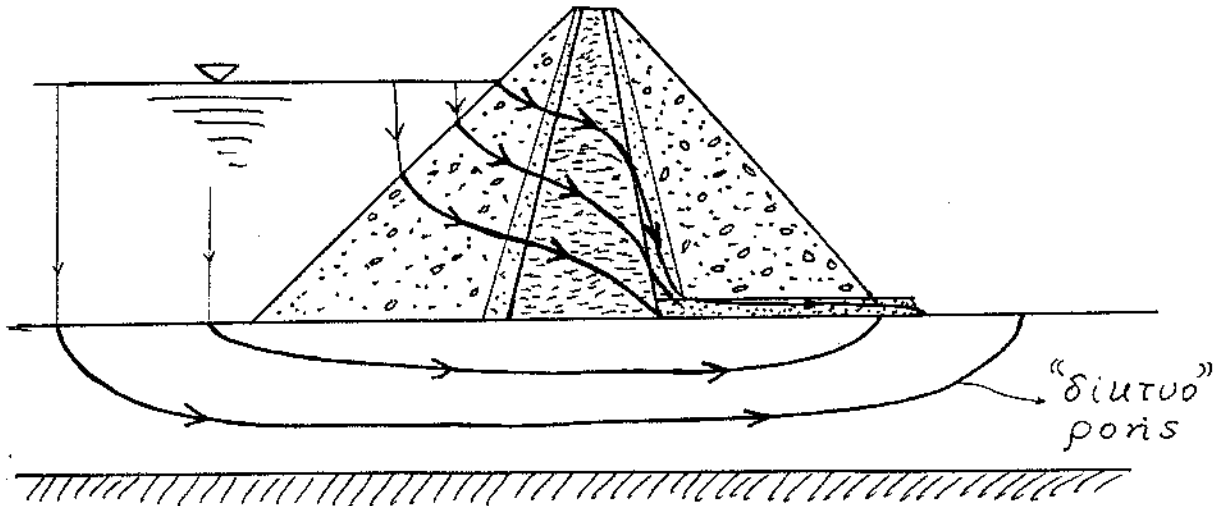
αστοχία :

$$\tau > S \quad (\text{διαρρηκτική αυτοχία})$$

μαζαμήκος επιφάνειας
ολισθήσεως

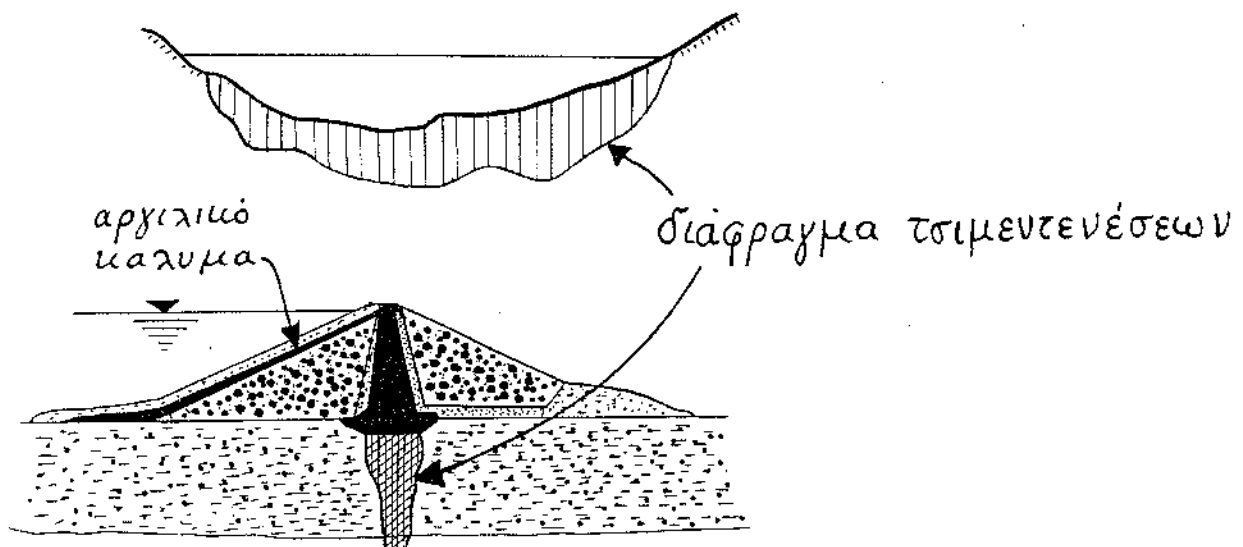
(γ) ΔΙΑΡΡΟΗ ΥΔΑΤΟΣ

- διαμέσου του φράγματος
- δια του υπεδάφους



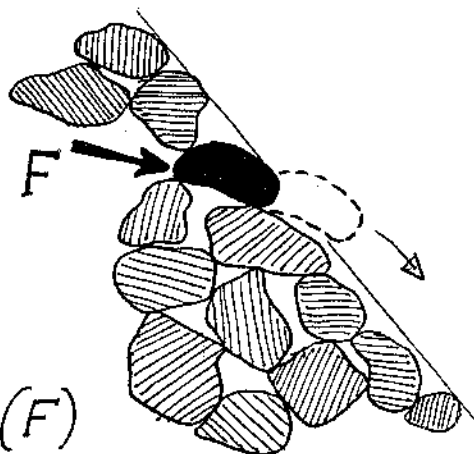
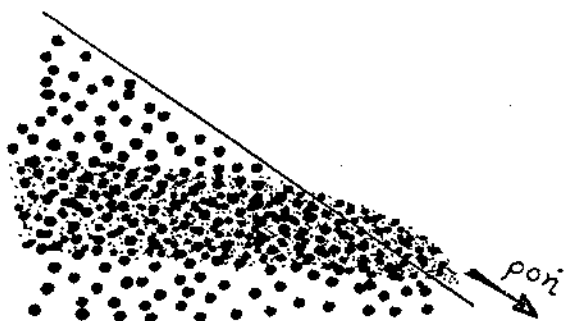
Η παροχή Q (m^3/s) του διαρρέοντος ύδατος πρέπει να είναι συμβαστική με τον σκοπό του φράγματος... Αλλιώς: (πρόσθετα) μέτρα αντιμετώπισης μεγάλων διαρροών. Παραδείγματα:

- "αδιαπέρατα" διαφράγματα — επένδυση αργιλικού πυρήνα ως τον βράχο, τσιμεντενέσεις, κλπ.
- αργιλικά "μαλύματα" · και πολλά άλλα...

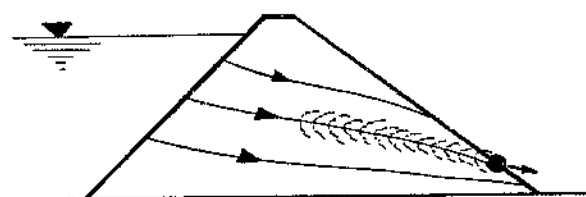


(δ) ΥΔΡΑΥΛΙΚΗ ΥΠΟΣΚΑΦΗ

Η πιο συνηθισμένη αιτία καταστροφικής αστοχίας



η δύναμη "διηθήσεως" (F) επί μεμονωμένων (δηλ. μη εμπεριστασιασμένων) κόκκων δεν εξισορροπείται → μετατόπιση.



προοδευτική "διασφαλίνωση" (δημιουργία [ασταθών] σπραγγών) εμμερής...

πρόβλημα στα σημεία

ΑΝΤΙΜΕΤΩΠΙΣΗ:

- στραγγιστήρια
- φρεάτια ευζωνώσεως

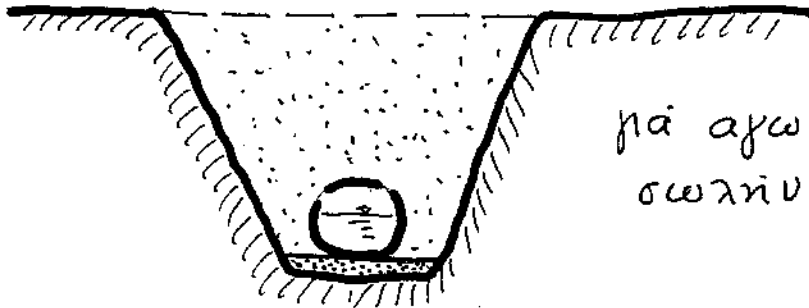
} μειώνουν την υδραυλική κλίση εμμερής, αυξάνουν την αντίστασή στην διήθηση...

- διαφράγματα
- αργιλικά καλύματα

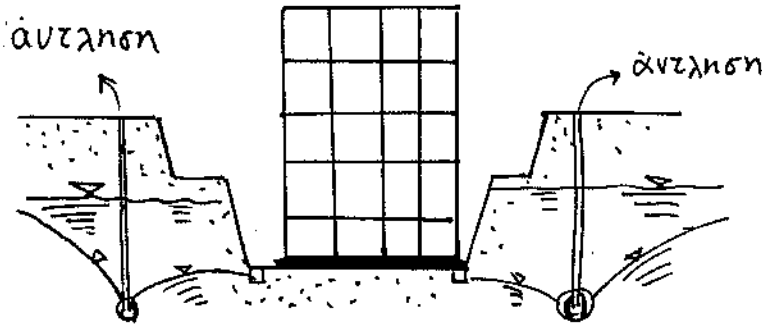
} μειώνουν την υδραυλική κλίση.

ΕΚΣΚΑΦΗ + ΑΝΤΙΣΤΗΡΙΞΗ

Παραδείγματα

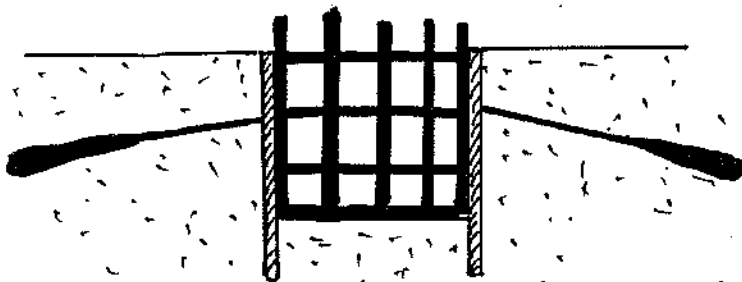


για αγωγούς,
σωλήνες κλπ.

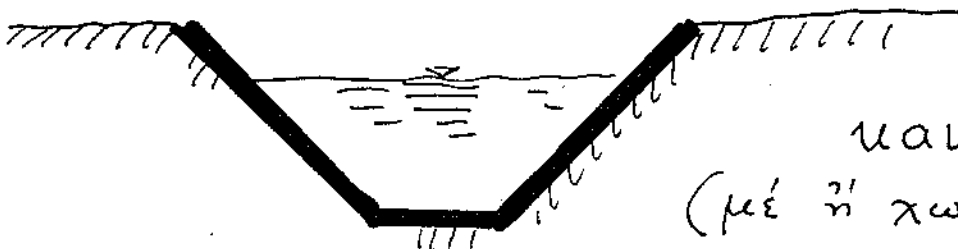


άντληση

άντληση

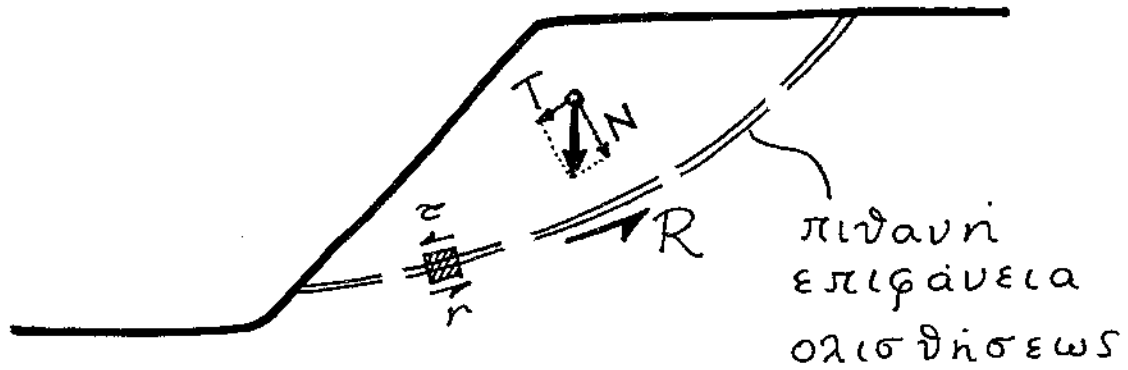


υπεριακές
κατασκευές
(μέ και χωρίς
άντληση,
μέ και χωρίς
προσωρινή
αντιστήριξη)



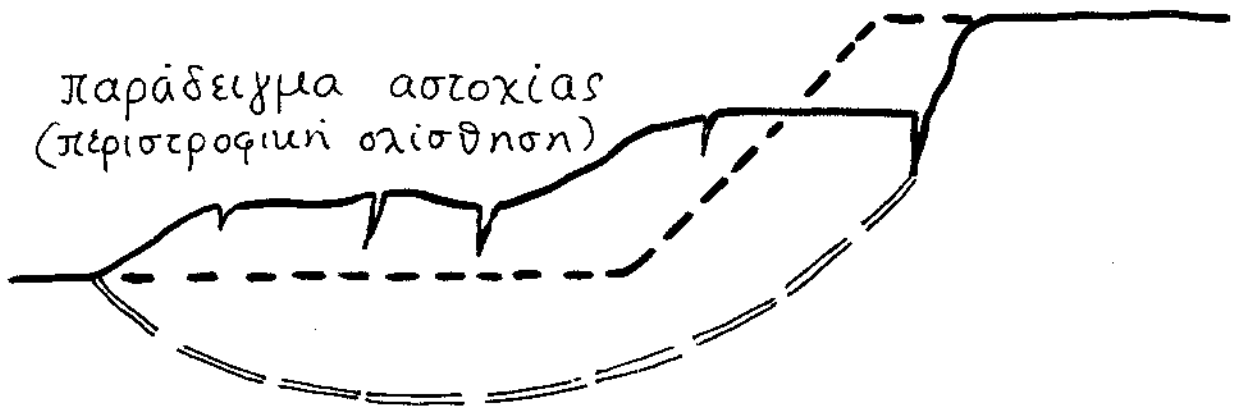
κανάλια
(μέ ή χωρίς
επένδυση)

ΠΡΟΒΛΗΜΑ: ΕΥΣΤΑΘΕΙΑ ΠΡΑΝΟΥΣ



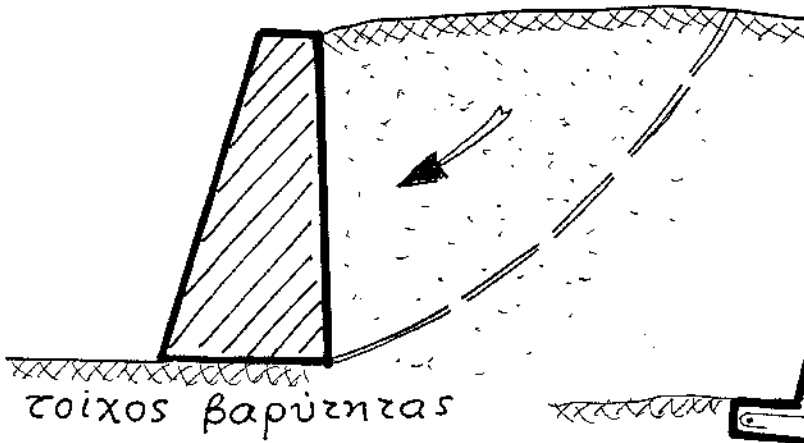
κινούσα δύναμη T
(συνισταμένη των τ)
αυτίσταση εδάφους R (συνισταμένη των r)

ΟΛΙΣΘΗΣΗ: εδύ $T \geq R$

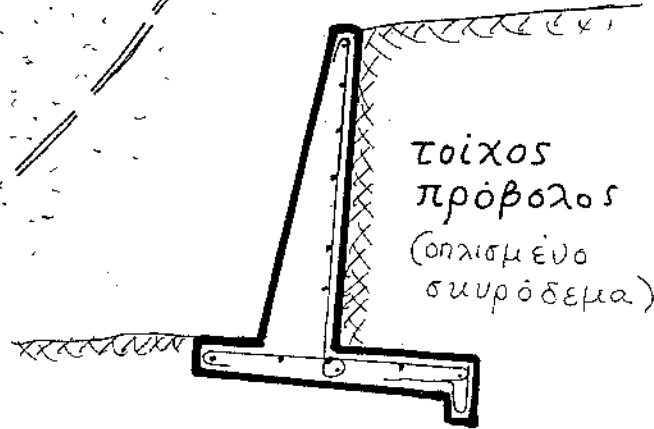


απαιτείται γύωση της
ΔΙΑΤΜΗΤΙΚΗΣ ΑΝΤΟΧΗΣ
τού (κάθε) εδαφικού στοιχείου

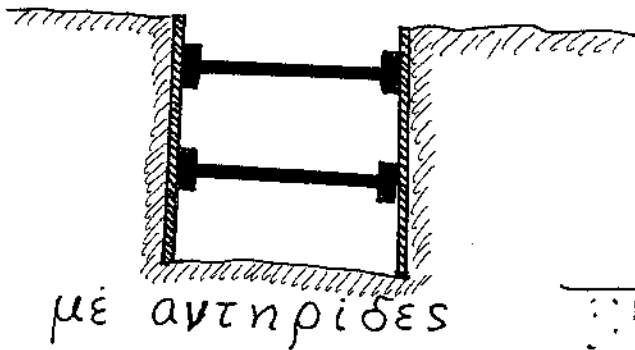
Παραδείγματα ΑΝΤΙΣΤΗΡΙΞΕΩΝ



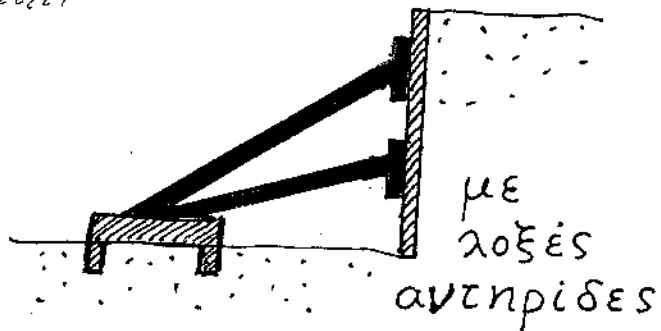
τοιχος βαρύτητας



τοιχος πρόβολος
(οπλισμένο σύρδεμα)



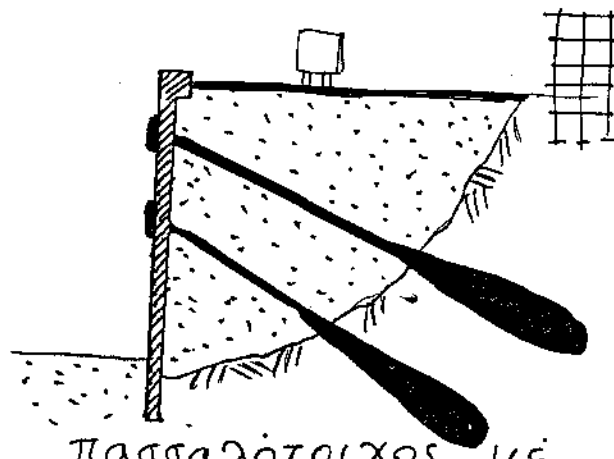
μέ αντηρίδες



μέ
λοξές
αντηρίδες



πασαλότοιχος
μέ "παθητική"
αγκυρώση



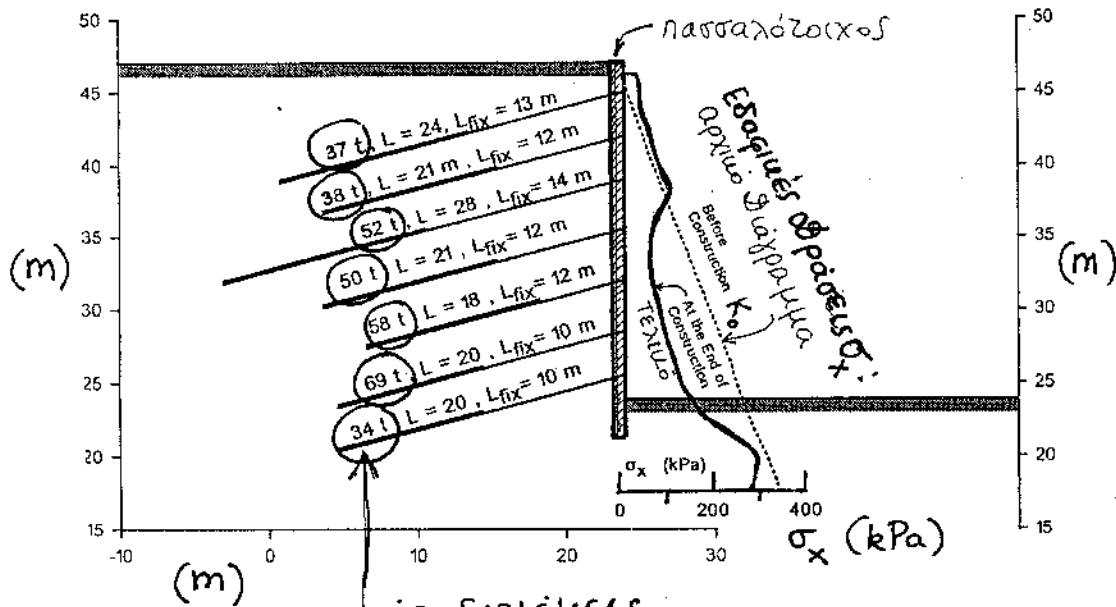
πασαλότοιχος μέ
προεντεινόμενες
("ενεργητικές")
αγκυρώσεις

ΚΥΡΙΑ ΕΡΩΤΗΜΑΤΑ:

- τι πιέσεις δέχεται ο τοίχος ;
(K_o , K_a , K_p ;)
- εξασφαλίζεται έναυτι αστοχίας ;
- εξασφαλίζεται έναυτι καθιζήσεων ; ...

Παράδειγμα:

ΜΕΤΡΟ ΑΘΗΝΩΝ: ΣΤΑΘΜΟΣ ΚΕΡΑΜΕΙΚΟΥ
αποτελέσματα αριθμητικής ανάλυσης



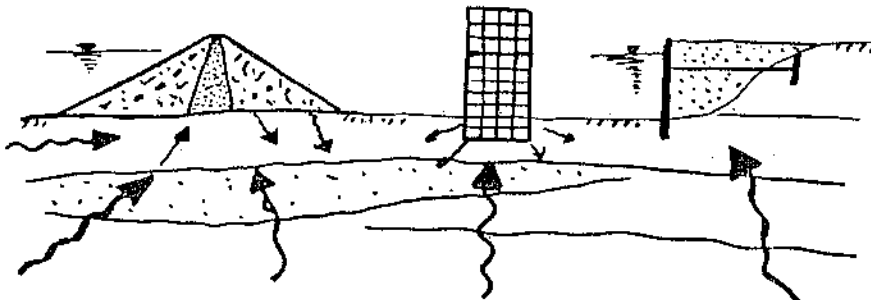
τελιές δυνάμεις
των αγκυρώσεων

[βλ. Παράρτημα
για λεπτομέρειες]

ΕΔΑΦΟΔΥΝΑΜΙΚΗ*

μερικά χαρακτηριστικά
προβλήματα - εφαρμογές

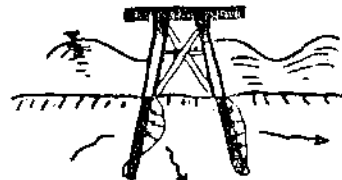
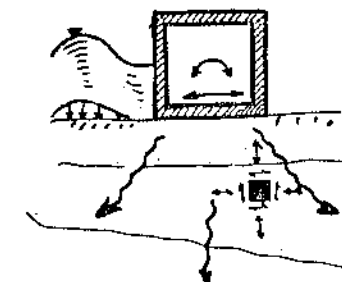
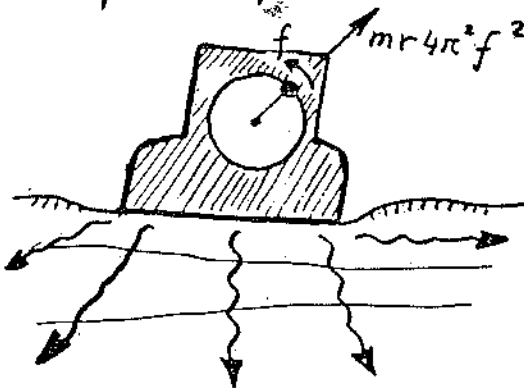
- το σεισμικό πρόβλημα:



- απευθείας φόρτιση ανωδομής:

θεμελίωση μηχανών

θαλάσσιων κατασκευών



- πλήθος άλλων εφαρμογών
μικρότερης (γενικώς) σημασίας

* Βλ. Σημειώσεις Εδαφοδυναμικής του Εξαμήνου

ΑΝΑΓΚΗ ΕΠΙΤΟΠΟΥ ΜΕΤΡΗΣΕΩΝ-ΠΑΡΑΤΗΡΗΣΕΩΝ

κατά την διάρκεια τής εκτέλεσης, καί μετά την κατασκευή ενός έργου.

Πολλές και μεγάλες αβεβαιότητες :

- ως προς τήν σύσταση του υπεδάφους καί την μηχανική συμπεριφορά των εδαφικών υλικών
- ως προς την φόρτιση
- ως προς τίσ μεθόδους αναλύσεως καί σχεδιασμού

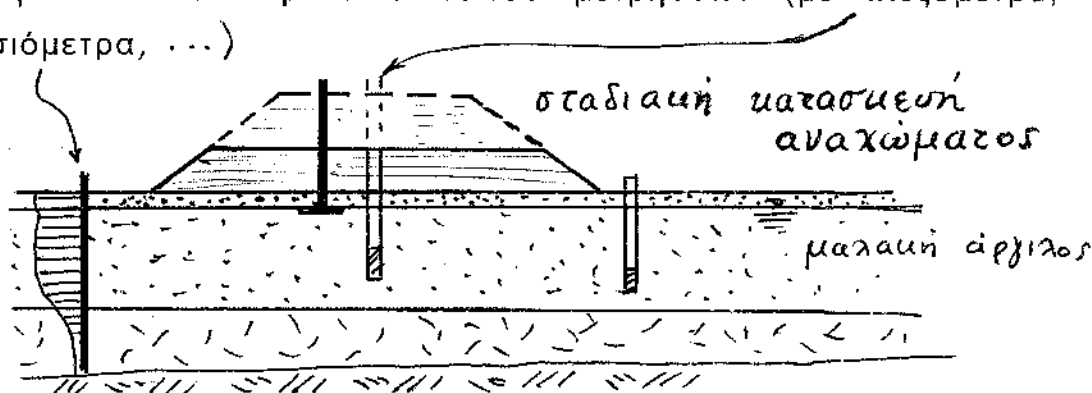
Γιά ποιόν σκοπό ;

Παρατηρήσεις που “κατευθύνουν” τον τρόπο εκτέλεσης, ακόμη δε και το είδος της κατασκευής

(π.χ. οι αναγκαίες αποστραγγίσεις του φυσικού υπεδάφους ενός φράγματος, μόνον σε γενικές γραμμές αποφασίζονται *πρίν* αρχίσουν οι απαραίτητες εκσκαφές γιά την κατασκευή του . . .)

ή

Ο χρόνος και ο ρυθμός προφόρτισης αποφασίζεται τελικώς με βάση τα αποτελέσματα επιτόπου μετρήσεων (με πιεζόμετρα, κλισιόμετρα, ...)



- Παρατηρήσεις τής πραγματικής συμπεριφοράς του γεωτεχνικού έργου, μετά τήν κατασκευή του.
Γιά νά :
 - ελεγχθούν θεωρίες
 - αποκτηθεί εμπειρίαακόμα καί γιά κάποια τεκμηρίωση
(χρήσιμη γιά νομικούς λόγους ...)

Τί μετράμε συνήθως ;

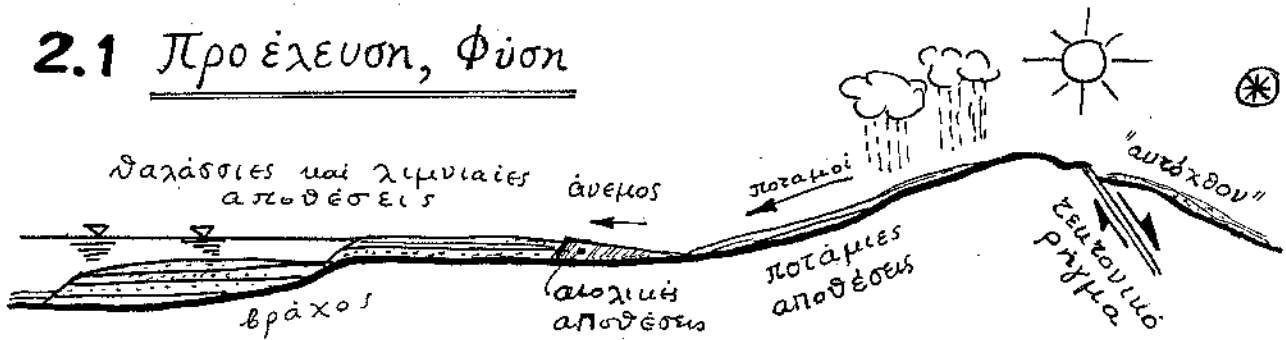
- Καθιζήσεις
- Οριζόντιες μετακινήσεις
- Παραμορφώσεις ευκάμπτων στοιχείων (σωλήνων, σηράγγων, κλπ)
- Πιέσεις σε σημεία επαφής εδάφους-κατασκευής
- Ολικές τάσεις
- πιέσεις ύδατος πόρων και "φορτίων" σε στοιχεία θεμελιώσεως

2.

ΦΥΣΗ ΤΟΥ ΕΔΑΦΟΥΣ

2. Η ΦΥΣΗ ΤΟΥ ΕΔΑΦΟΥΣ

2.1 Προέλευση, Φύση



Εδαφικό υλικό: υλικό στην επιφάνεια της γης, αποτελούμενο από στερεούς + διαλυτούς ιόνιους, ασύμμετρους ή ελαφρά συνδεδεμένους. Τα μεταξύ τους κενά περιέχουν αέρα ή νερό ή και τα δύο.

Προέλευση: αποσάθρωση "μητρικού" βράχου:



- (α) μηχανική — δράση ύδατος, ανέμου, παγετώνων, διαδοχικών φάσεων ζύξης+πήξης του ύδατος ρωγμών, ...
- (β) χημική — δράση οξέων υδατος, οξυγόνου, CO₂, ...

Τα προϊόντα της αποσάθρωσης: είτε μεταφέρονται από: (i) ποταμούς (ποτάμιες, λιμνιαίες, θαλάσσιες αποθέσεις), (ii) άνεμο (αεολιές αποθέσεις — θίνες), (iii) παγετώνες (παγετογενή εδάφη) • είτε παραμένουν στην αρχική τοποθεσία ("αυτόχθονα" εδάφη, "απομεινάρια").

Η ΕΔΑΦΟΜΗΧΑΝΙΚΗ μελετά την μηχανική συμπεριφορά: • εδαφικών "υλικών" • εδαφικών "μαζών" • συστημάτων εδάφους-μαζασμειής.

* Σχήμα εμπνευσμένο από αντιστοιχο του Atkinson (1993)

(α) Μηχανική Αποσάθρωση: Προκύπτουν στερεοί κόκκοι της ίδιας σύστασης με το μητρικό πέγρωμα. Έχουν: μήκος, πλάτος, βάθος της ίδιας τάξεως μεγέθους

Διάκριση ως προς τις διαστάσεις:

	άμμος	—	χάλιμες	—	κρουάλες
"d" \approx	0.075 mm		4.75 mm		> 75 mm
	έως 4.75 mm		έως 75 mm		



Ποικιλία σχημάτων: από στρογγυλεμένο \rightarrow έως \rightarrow γωνιώδες



Διάκριση ως προς την διάταξη των κόκκων ("δομή"):

χαλαρή:




πυκνή:



Θεμελιώδες κοινό χαρακτηριστικό: άμεση απλή επαφή κόκκου με κόκκο — χωρίς δεσμούς ή "συνοχή". Εξού και οι όροι "κοιλιώδη" υλικά, ή "μή-συνεπτικά" υλικά, ή και "αμμώδη" υλικά.

(β) Χημική Αποσάθρωση: προκύπτουν σωματάρια κολλοειδών διαστάσεων (< 0.002 mm): **άρχιλοι**




- διαφορετικής σύστασης από μητρικό πέγρωμα
- "πλακοειδούς" μορφής . Δηλαδή, η μία διάσταση ≈ 0 σε σύγκριση με τις άλλες δύο (εξού και ο ελληνικός όρος: πλακίδια αρχίλων, με όσα σωματάρια — αποφυγή ανεπιθύμητων συνειρμών με την πυρηνική φυσική)
- με ηλεκτρίδια-φορτισμένες επιφάνειες

Απόρροια της πλαμοειδούς μορφής:

μεγάλη "ειδική επιφάνεια" (ΕΕ),

$$\text{όπου } \text{ΕΕ} = \frac{\text{συνολική επιφάνεια (m}^2\text{)}}{\text{μάζα (gr)}}$$

Παράδειγμα: τρία είδη αρθρικών ορυκτών:
μουτμοριλλουίτης, ιαλίτης, καολιίτης
(τα συνηθέστερα)

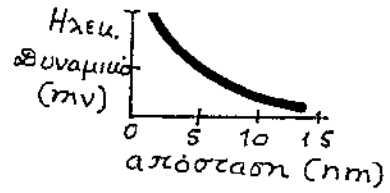
ΟΝΟΜΑΣΙΑ	"ΟΨΗ"	ΣΥΝΗΘΕΣ ΠΑΧΟΣ (nm)	ΣΥΝΗΘΗΣ ΔΙΑΜΕΤΡΟΣ (nm)	ΕΕ (m ² /gr)
μουτμοριλλουίτης		1	100	800
ιαλίτης		30	500	80
καολιίτης		100	1000	15

Ως μέτρο συγκρίσεως, η ΕΕ είναι ελάχιστη σε κομμάδες υγιούς σφαιρικού σχήματος: $\text{ΕΕ} = \text{A}_s / \rho \text{V}_s = 4\pi r^2 / (\rho \frac{4}{3}\pi r^3) = \frac{3}{\rho r}$
όπου $\rho = \text{πυκνότης κόκκου} \approx 2.6 \text{ Mg/m}^3$. Αμμος με $r = 2 \text{ mm} \Rightarrow \text{ΕΕ} \approx 6 \times 10^{-4}$

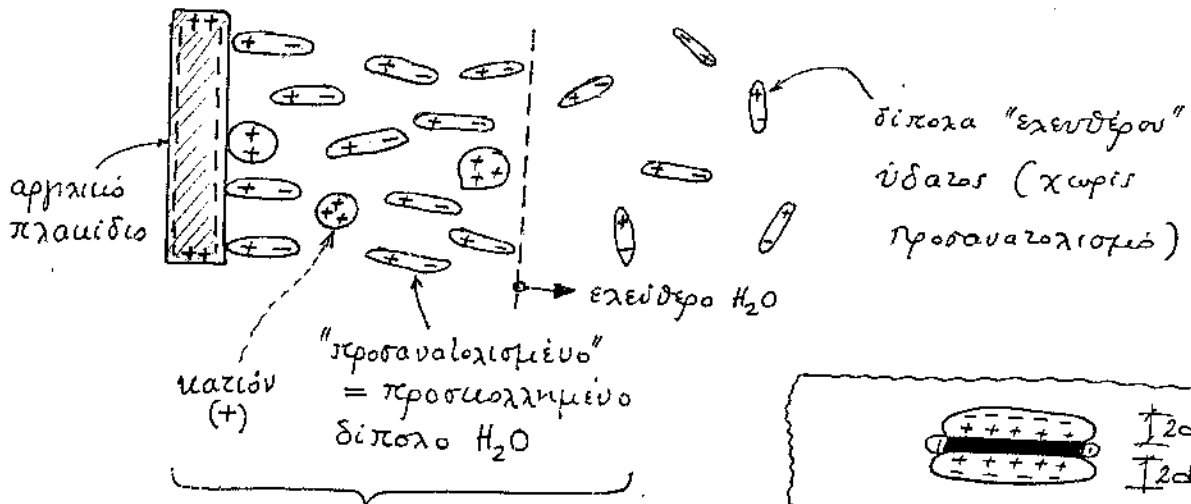
Έτσι, ενώ στα κομμάδια κυριαρχούν οι δυνάμεις βαρύτητας, στα αρθρικά οι ιδιότητες "ελέγχονται" απ' τα επιφανειακά ηλεκτρικά φορτία (-).

Τα αρνητικά ηλεκτρικά φορτία των επιφανειών των πλαιδίων εξισορροποούνται με την προσρόφηση κατιόντων (απ' το άμεσο περιβάλλον τους). Ως εξής:

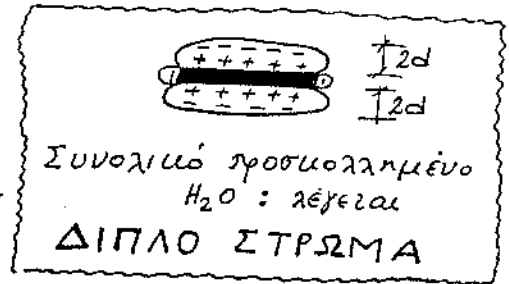
- Ηλεκτροστατικό πεδίο αρνητικών φορτίων επιφάνειας: (φθίνει ταχύτατα με την απόσταση απ' την επιφάνεια) ⇒



- Διπολικά μόρια ύδατος που περιβάλλουν το πλακίδιο, και ό,τι άλλα συνυπάρχοντα κατιόντα (+), ελκόμενα ⇒ "προσμολλούνται"



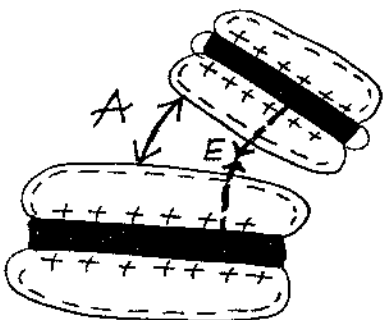
ουσιαστικά, ένα σώμα με το πλακίδιο (σ' απόσταση $2d \sim 1nm$)



Το πάχος $2d$ του "διπλού στρώματος" καθορίζει την μηχανική συμπεριφορά της αρχίλου. Διότι απ' αυτό εξαρτώνται οι δυνάμεις μεταξύ γειτονικών πλακιδίων. Ως εξής:

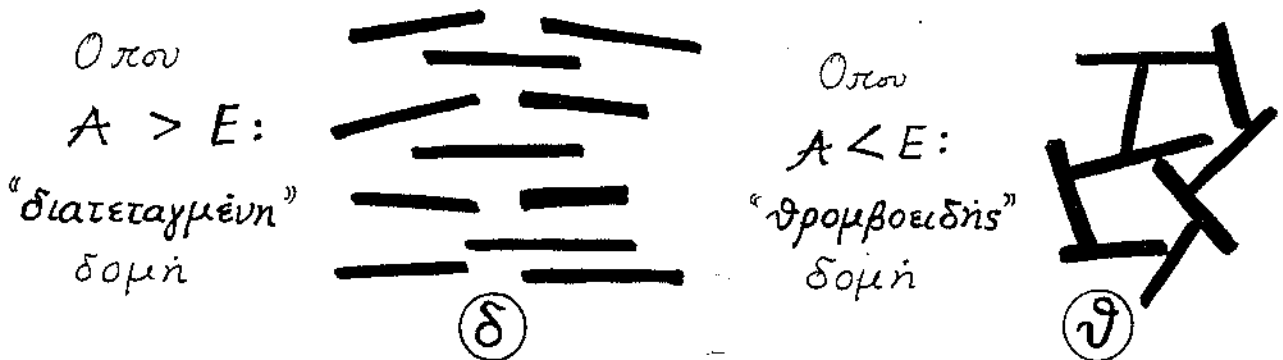
Δύο τύποι δράσεων:

- Ηλεκτρική απώθηση (A) (- με -, κατά Coulomb)
- Μοριακή έλξη (E) τύπου Van der Waals.

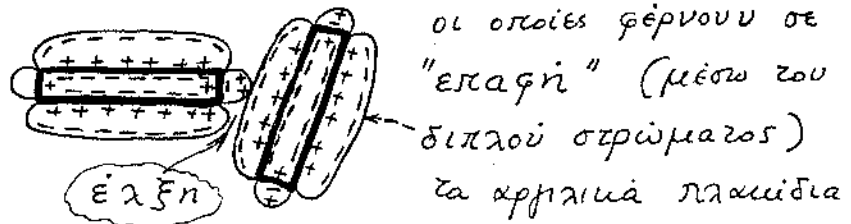


Η E φθίνει ταχύτερα με την απόσταση απ' ό,τι η A.

Επομένως, όσο πλησιέστερα μπορεί να βρεθούν τα αλληλοκρούσιμα πλακίδια το ένα στο άλλο, τόσο μεγαλύτερη η πιθανότητα να υπερικύσουν οι E των A . Και αντιστρόφως. Η **δομή** ενός αργιλικού εδαφικού υλικού εξαρτάται απ' το εάν υπερικύνουν οι ελκτικές (E) ή οι απωθητικές (A) δυνάμεις. Αιφάια παραδείγματα:

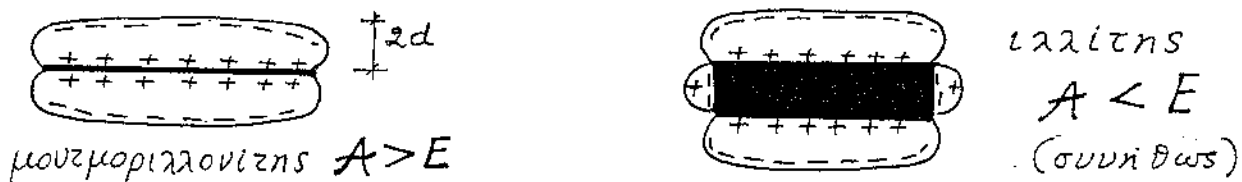


Στην δεύτερη περίπτωση (θ) λαμβάνουν χώρα πλευρικές έλξεις (+ με -):



Αναμενόμενη μηχανική συμπεριφορά: $\varphi_{\theta} \gg \varphi_{\delta}$
 όπου φ = γωνία (παράμετρος) διαμηκτικής αντοχής (βλ. Κεφ. 3.4).
 Αλλά: συντελεστής διαπερατότητας: $k_{\theta} > k_{\delta}$.

Θεωρία Stern-Gouy: υπό "συνήθεις" συνθήκες (φυσικό ύδωρ, κλπ) το πάχος του "διπλού στρώματος" είναι σταθερό $\approx 30 \text{ \AA}$ για όλα τα αργιλικά σφαιρίδια. Η "επιφάνιση" λοιπόν των A ή E εξαρτάται πρωτίστως απ' την EE του πλακιδίου:



[Να εξηγηθεί]

Μείωση του πάχους $2d$ του "διπλού στρώματος":

- Συνεπάγεται ενίσχυση των E εισβάρος των A , άρα μια "ισχυρότερη" δομή της αρτίλου.
- Λαμβάνει χώρα όταν:
 - αυξάνει η συγκέντρωση αλάτων (π.χ. $NaCl$) = "θάλασσα"
 - μειώνεται η θερμοκρασία
 - αυξάνει το σθένος των διαθέσιμων κατιόντων.

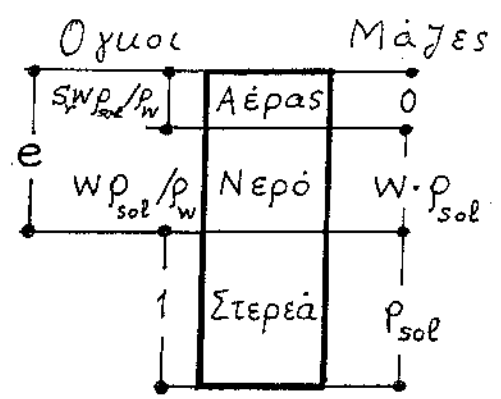
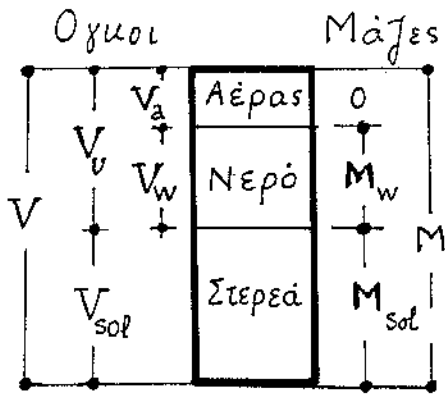
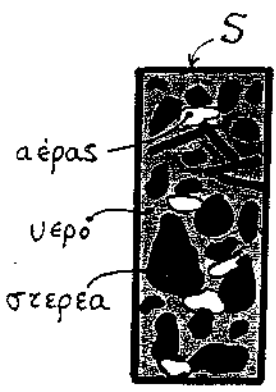
Οι ανωτέρω γνώσεις βοηθούν στην κατανόηση των παραγόντων που επηρεάζουν την μηχανική+υδραυλική συμπεριφορά ενός αρθρικού εδαφικού υλικού. Η άμεση όμως χρησιμοποίησή τους στην πράξη προσκρούει σε πολλά εμπόδια. Γι' αυτό έχει επινοηθεί απλούστερη "τεχνική" περιγραφή (όρια Atterberg, ποσοστό υγρασίας, κλπ.) της φυσικο-χημικής κατάστασης. Βλέπε σελίδες 41-52 εγγύου του κεφαλαίου.

2.2 Γεωμετρικοί Συσχετισμοί των Τριών Φάσεων

Όλα τα εδαφικά υλικά αποτελούνται εν γένει από τρεις συστατικές φάσεις:

- την στερεά φάση (μόμιοι μή-συνεπιζιμού υλικοί, πλακίδια αρθρικού υλικού)
τα μέρη της οποίας λέγονται πόροι και περιέχουν
- αέρα, ή νερό, ή και τα δύο.

Απόλυτα (Μεγέθη) Σχετινά



πραγματικό
στοιχείο

Ιδεατός Διαχωρισμός τών Φάσεων

(επιφάνεια $S=1$)

Τά σχετινά μεγέθη όγκου + μάζας

προυήπτουν απ' τούς εξής ορισμούς:

- Λόγος κενών: $e = \frac{V_v}{V_{sol}}$
(ή δεικτής πόρων)

$$e = \frac{V_v}{V_{sol}}$$

τυπικές τιμές:
 άμμοι 0.30 - 0.80
 άργιλοι 0.60 - 1.60
 αιραία περίπτωση: Άργιλος της Πόλης του Μεξικού $e \approx 3-6$!

- Βαθμός κορεσμού

$$S_r = \frac{V_w}{V_v}$$

Προφανώς $0 \leq S_r \leq 1$
 (ξερό) (κορεσμένο)

- Ποσοστό (φυσικής) υγρασίας

$$w = \frac{M_w}{M_{sol}}$$

- (δυναμική) πυκνότητα εδαφικού στοιχείου (εδαφικού υλικού)

$$\rho = \frac{M}{W} = \frac{M_{sol} + M_w}{V_{sol} + V_w + V_a}$$

Ειδικό ή μοναδιαίο βάρος εδαφικού στοιχείου

$$\gamma = \rho g$$

[ο πεπλατωμένος όρος "φαινόμενο βάρος" που συχνά χρησιμοποιείται αντί του ορθού, ειδικού βάρους, είναι διπλά ατυχής, όπως εξηγείται στο γλωσσικό παράρτημα]

- Πυκνότητα στερεάς φάσης (μόλιων + πλακιδίων)

$$\rho_{sol} = M_{sol} / V_{sol}$$

Συνήθης τιμή $\rho_{sol} \approx 2.7 \text{ Mg/m}^3$
 [Σύμφωνα με σωρόδεμα: $\rho_c \approx 2.4$]

- πυκνότητα υγρού $\rho_w = M_w / V_w \approx 1 \text{ Mg/m}^3$.

[sol ≡ solid = στερεός]

Διακύμανση πυκνότητας: $\rho_{\sigmaτεγν\acute{o}} \leq \rho \leq \rho_{\mu\omicron\rho\rho\epsilon\sigma\mu.}$

$$= \frac{M_{sol}}{V} \qquad = \frac{M_{sol} + M_w + \rho_w V_a}{V}$$

Όταν υπάρχει (υδροστατική) άνωση: ενεργός πυκνότητα

$$\bar{\rho} = \rho - \rho_w \quad (\text{«Αρχιμήδης»})$$

Ευδεικτικές τιμές πυκνότητας εδαφικών υλικών

άμμος, χάλικες	$\rho_{\mu\omicron\rho\rho\epsilon\sigma\mu.} \approx 1.8 - 2.3$
άρχιλοι	$\rho_{\mu\omicron\rho\rho\epsilon\sigma\mu.} \approx 1.6 - 2.3 \quad (\text{Mg/m}^3)$
οργανικοί άρχιλοι	$\rho_{\mu\omicron\rho\rho\epsilon\sigma\mu.} \approx 1.1 - 1.6$

Αριθμητική Εφαρμογή

Δίδονται: $\rho = 1.76 \text{ Mg/m}^3$ και $w = 10\%$. Ζητούνται:
 Ζητούνται: $S_r, e, \rho_{\sigmaτεγν\acute{o}}, \rho_{\mu\omicron\rho\rho\epsilon\sigma\mu.}$ (γνωστό: $\rho_{sol} = 2.7$)

Δχήμα σελίδας 39, θεωρώντας (χωρίς περιορισμό της γενικότητας) $V=1$

$$w = M_w / M_{sol} = 0.10, \quad V\rho = M_{sol} + M_w = 1.76 \implies$$

$$M_w = 0.16 \text{ και } M_{sol} = 1.60 \implies V_w = 0.16/1 = 0.16 \text{ και}$$

$$V_{sol} = 1.60/2.7 \approx 0.59 \implies V_a = V - V_w - V_{sol} \approx 1 - 0.16 - 0.59 \approx 0.25 \text{ m}^3$$

Τελικώς: $e = V_v / V_{sol} = (0.16 + 0.25) / 0.59 \approx 0.69$

$$S_r = V_w / V_v = 0.16 / (0.16 + 0.25) \approx 0.39 \quad (\text{ή } 39\%)$$

$$\rho_{\sigmaτεγν\acute{o}} = M_{sol} / V = 1.60 / 1 = 1.60 \text{ Mg/m}^3 \text{ και}$$

$$\rho_{\mu\omicron\rho\rho\epsilon\sigma\mu.} = (M_{sol} + \rho_w V_v) / V = (1.60 + 1 \times 0.41) / 1 = 2.01 \frac{\text{Mg}}{\text{m}^3}$$

Νά αποδειχθούν οι σχέσεις: $\rho_{\sigmaτεγν\acute{o}} = \rho_{sol} / (1+e) = \rho_{\mu\omicron\rho\rho\epsilon\sigma\mu.} / (1+w)$,

$$\rho_{sol} \cdot w = \rho_w S_r e, \quad \rho = (\rho_{sol} + \rho_w S_r e) / (1+e). \quad \text{Κορεσμένο υλικό:}$$

$$\underline{e \approx 2.7w}$$

2.3 Τεχνική Αδρή Περιγραφή και Ταξινόμηση Εδαφικού Υλικού

Τι πρέπει να προσδιορίσουμε:

ΚΟΚΚΩΔΗ

- μεγέθη κόκκων, σχήμα
- πυκνότητα δομής

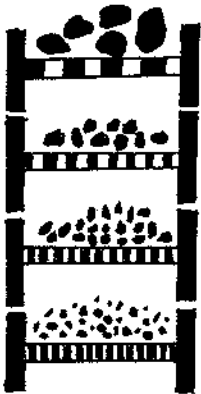
ΑΡΓΙΛΙΚΑ

- όρια Atterberg
- ποσοστό φυσικής υγρασίας

Η γνώση των ανωτέρω επιτρέπει την "κατάταξη" του υλικού σε λεπτομερέστερες κατηγορίες → "ΟΝΟΜΑΣΙΑ" εδαφικού υλικού

2.3.1 Κοκκώδη εδαφικά υλικά

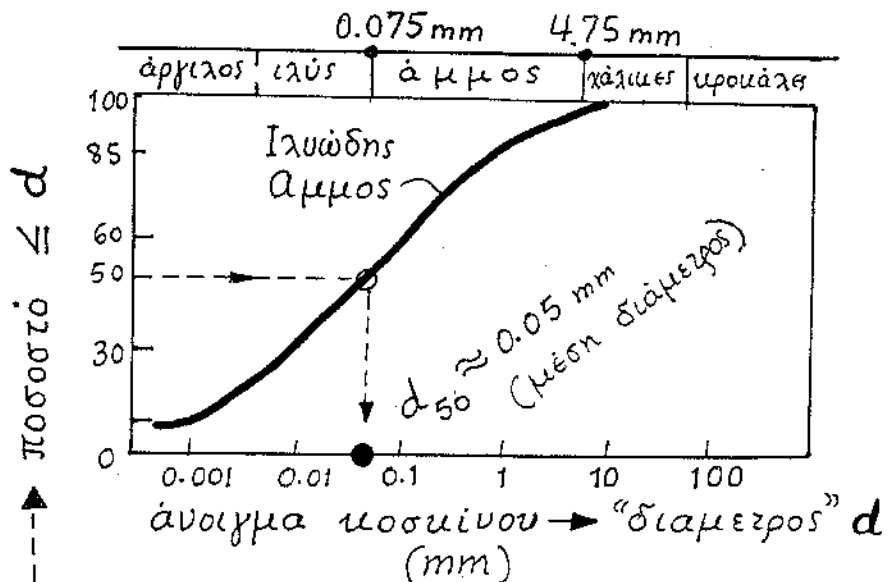
- Ανάλυση μεγέθους κόκκων: "ΚΟΚΚΟΜΕΤΡΙΚΗ ΔΙΑΒΑΘΜΙΣΗ"



σειρά κοσκίνων με διαδοχικά μικρότερες οπές

(χρήση "υδρομέτρου" για "αργιλικά" μεγέθη κόκκων)

Εύρεση (με κοσκίνισμα) του ποσοστού κατά βάρος κόκκων με ορισμένο εύρος μεγεθών ("διαμέτρων")



(λέγεται και ποσοστό διερχομένου)

Ένα κομμάτι εδαφικό υλικό θα λέγεται :

⊙ καλώς διαβαθμισμένο

εφόσον περιέχει μεγάλη ποικιλία μεγεθών, χωρίς σημαντική υπεροχή ή έλλειμα κάποιων μεγεθών (όχι απότομη + ασυνεχής κοκκομετρική καμπύλη).

⊙ κακώς διαβαθμισμένο

εφόσον είτε : 1. είναι ομοιόμορφο (δηλ. περιέχει μεγάλο ποσοστό υλικού σε μικρό εύρος d), ή 2. περιέχει μεν καί μικρά καί μεγάλα μεγέθη, πλην όμως λείπουν τα ενδιάμεσα ("χάσματα" ή "ασυνέχειες" στην κοκκομετρία).

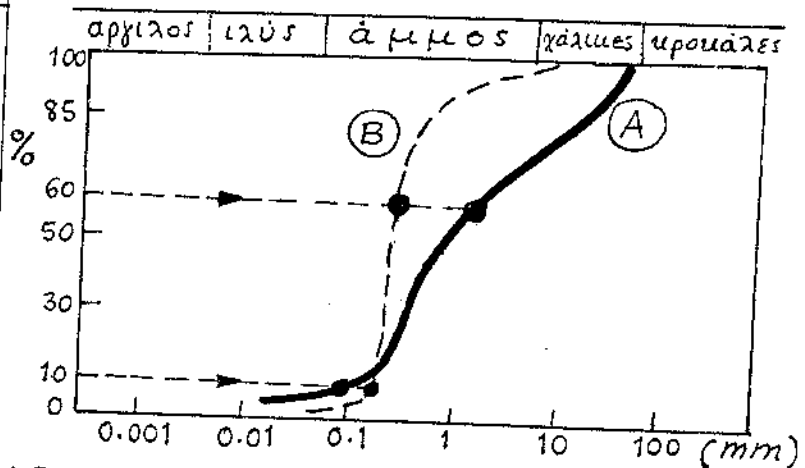
ΣΥΝΤΕΛΕΣΤΗΣ ΟΜΟΙΟΜΟΡΦΙΑΣ : $C_u = \frac{d_{60}}{d_{10}}$
 όπου d_{60} και d_{10} οι "διάμετροι" που αντιστοιχούν σε 60% και 10% "διερχόμενο". Προϋπόθεση καλής διαβαθμίσεως :

$$C_u > 5$$

Παράδειγμα: Αποτελέσματα κοκκομέτρησης

(από τον Sutton: Solving Problems in Soil Mechanics, 1993, Longman Scientific)

άνοιγμα κοσκίνου (mm)	% διερχόμενο	
	A	B
37.5	100	
20.0	90	
10.0	77	100
2.0	66	95
0.6	48	85
0.3	31	73
0.2	18	37
0.15	12	10
0.06	6	2



Υλικό A: $C_u \approx \frac{1.6}{0.1} = 16 \Rightarrow$ καλώς διαβαθμισμένο

Υλικό B: $C_u \approx \frac{0.26}{0.15} \approx 1.8 \Rightarrow$ κακώς διαβαθμισμένο

• Πυκνότητα δομής

Ευφράζεται μέσω του δείκτη πόρων e .

Ορίζεται ως σχετική πυκνότητα

$$D_r = \frac{e_{max} - e}{e_{max} - e_{min}}$$

όπου $e = 0$ πραγματικός δείκτης πόρων

e_{max} και e_{min} = εργαστηριαώς [ASTM]

προσδιοριζόμενοι δείκτες πόρων του

ιδίου υλικού στην χαλαρότερη (e_{max})

και στην πυκνότερη (e_{min}) δυνατή

ματάσταση.

Δυνήθως στα κοινά εδαφικά υλικά $D_r \approx 0.40 - 0.80$

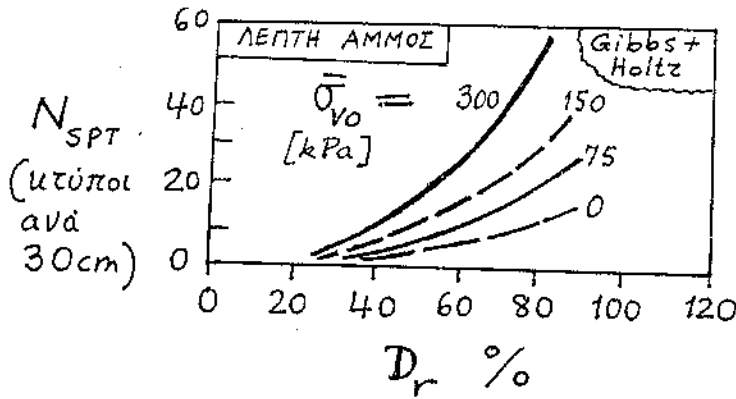
Προφανώς δε: εάν $e = e_{max} \rightarrow D_r = 0$

εάν $e = e_{min} \rightarrow D_r = 1$ (% 100%)

Ευτός απ' το εργαστήριο, η σχετική πυκνότητα προσδιορίζεται και έμμεσα από την επίδοση δομής Τυποποιημένης Διείσδυσης (διεθνώς: Standard Penetration Test — SPT). Στην δομική αυτήν, καταγράφεται ο αριθμός, N_{SPT} , απαιτούμενων **υρούσεων** για διείσδυση κατά 30 cm (1 ft) ενός δακτυλιωτού κυλίνδρου (μήκους ≈ 0.50 m, διαμέτρου ≈ 0.05 m, πάχους τοιχώματος ≈ 0.0025 m). Ο κύλινδρος είναι ανοικτός στην βάση. Η υρούση πραγματοποιείται με πτώση μάζας ≈ 63 kg από ύψος ≈ 0.75 m επί στελέχους που φέρει τον "κύλινδρο".

Παράδειγμα τέτοιου έμμεσου ("εμπειρικού") προσδιορισμού της σχετικής πυκνότητας:

$$D_r = D_r(N_{SPT}, \bar{\sigma}_{vo})$$



Χαλαρή	μετρίως χαλαρή	Πυκνή	Πολύ Πυκνή
35	65	85	

(Είναι δυνατόν να είναι $D_r > 100\%$, μετά που ο προσδιορισμός των ϵ_{max} και ϵ_{min} γίνεται με συγκεκριμένη [τυλοποιημένη] μέθοδο, κατά ASTM = American Standards for Testing Materials.)

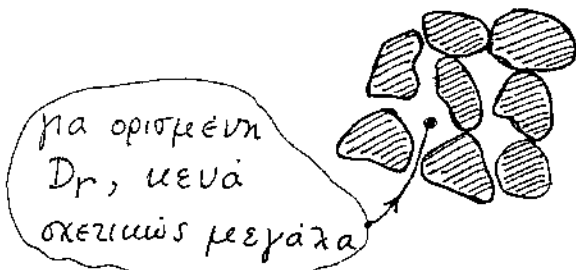
Πώς χρησιμοποιούμε την γνώση: κοινομετρικής σύνθεσης και σχετικής πυκνότητας;

1. ΠΟΙΟΤΙΚΩΣ

π.χ. ομοιόμορφη άμμος \Rightarrow (α) ευαισθησία σε υδραυλική υλοσπαγή

(β) ευαισθησία σε ρευστοποίηση

(γ) δυσανάλογα-μεγάλη ενδοσιμότητα



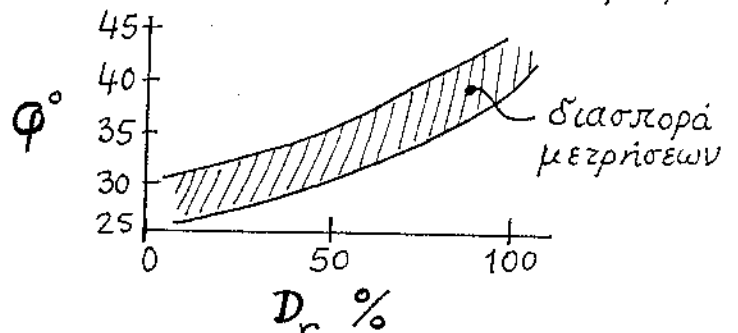
2. ΠΟΣΟΤΙΚΩΣ (δημοσιευμένη διεθνής εμπειρία)

π.χ. λυττεχεσθής διαπεραζογίας

$$k \text{ (cm/s)} \approx 100 d_{10}^2$$

[αδρή προσέγγιση]

π.χ. Γωνία διασπαστικής αντοχής άμμου $\phi = \phi(D_r)$



2.3.2 Αρχαϊκά εδαφικά υλικά

Η ποικιλομετρική διαβάθμιση υλικών με πλαϊδιά κολλοειδών διαστάσεων ούτε εύκολα μετρήσιμη είναι, ούτε (και το σπουδαιότερο) ιδιαίτέρως χρήσιμη. Αντίθετα, σημασία έχουν η ΕΕ και η "χημεία" των αρχαϊκών ορυκτών, σύμφωνα με όσα (περιληπτικά) εξηγήθηκαν στο § 2.1 (β). Λόγω αυτής της "χημείας" οι αρχαίοι χαρακτηρίζονται από :

- **πλασιμότητα** — "πλάθονται" χωρίς θραύση *
- **συνοχή** — ανθίστανται σε διάτμηση (τ) αιόμη και χωρίς ορθή σωματιβαλλόμενη τάση (σ).

Τα δύο αυτά χαρακτηριστικά εμμεγαλωθήσατε για την "τεχνική" περιγραφή και ταξινόμηση των αρχαίων.

● Μέτρηση φυσικής υγρασίας w (%)

Η σημασία της είναι προφανής. Όσο μεγαλύτερο το w ενός υλικού, τόσο μεγαλύτερες οι αποστάσεις των στερεών πλαϊδιών (αρχαίος + "διπλό" στρώμα), άρα τόσο μικρότερες οι ελκυστικές δυνάμεις, και επομένως τόσο μικρότερες και η πλασιμότητα και η συνοχή — για δεδομένη αρχαϊκή σύνθεση.

* η ιδιότητα αυτή συχέονταν παλιά με την **ελαστικότητα** ενός υλικού — βλέπε συζήτηση στο γλωσσικό Παράρτημα, στο τέλος των Σημειώσεων.

● Όρια Atterberg (ή όρια "ΣΥΝΕΚΤΙΚΟΤΗΤΑΣ"):

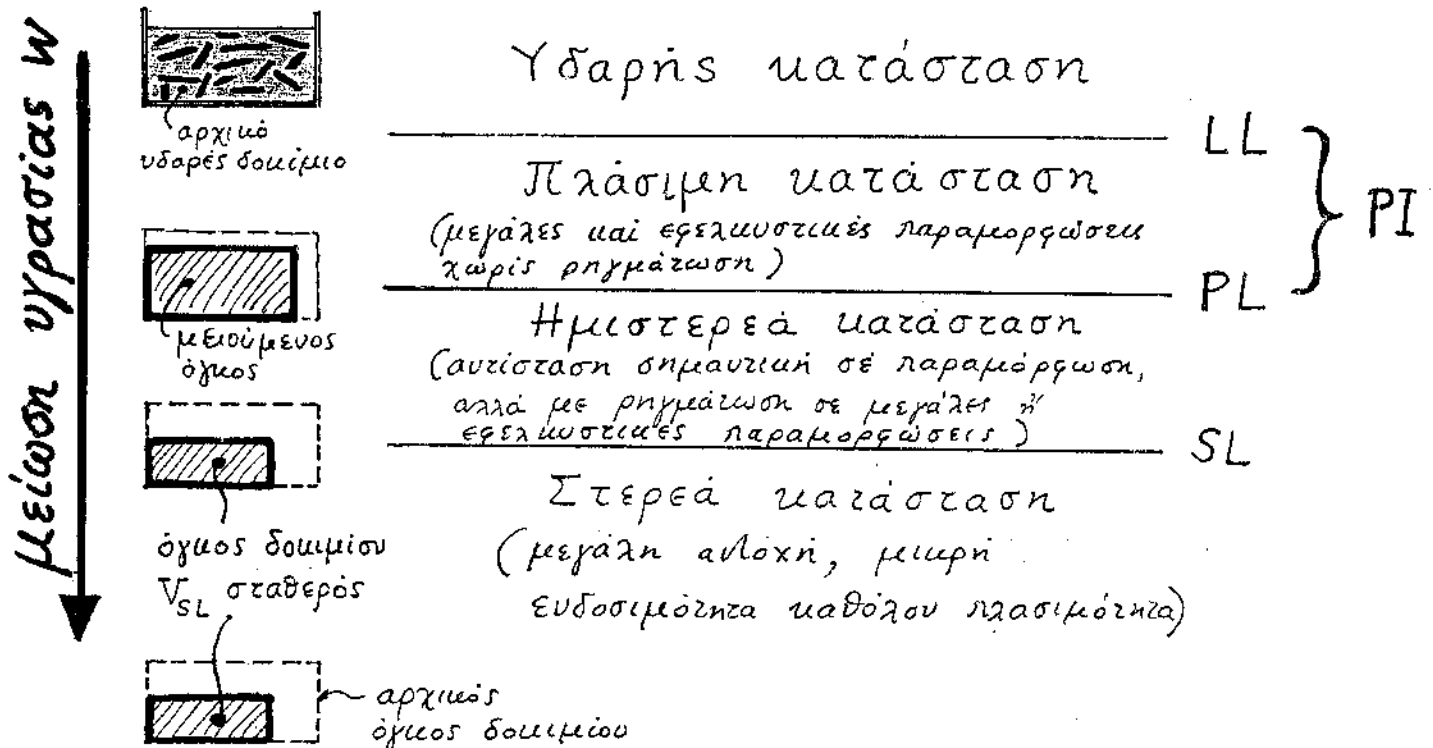
Για ένα αργιλικό υλικό, τα όρια αυτά είναι απλώς τρεις χαρακτηριστιστιμές τιμές ποσοστών υγρασίας :

ΟΡΙΟ ΥΔΑΡΟΤΗΤΑΣ: w_L ή LL

ΟΡΙΟ ΠΛΑΣΙΜΟΤΗΤΑΣ: w_p ή PL

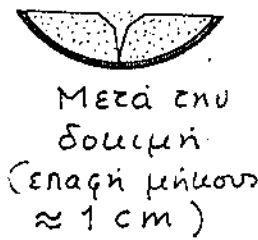
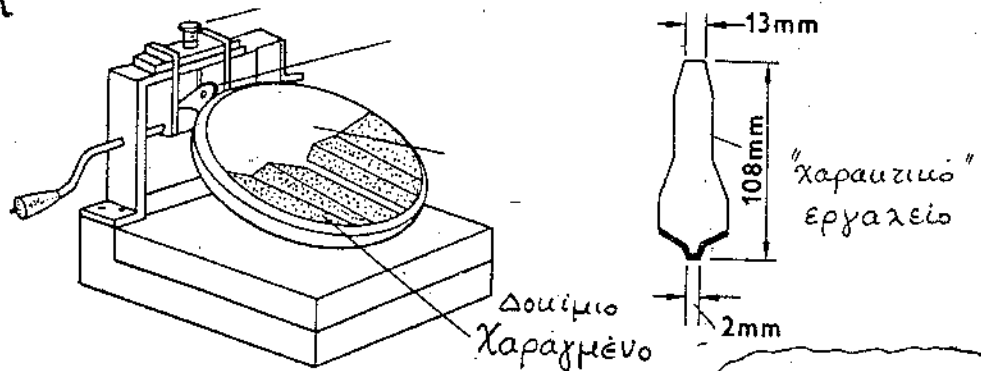
ΟΡΙΟ ΣΥΡΡΙΚΝΩΣΕΩΣ: w_s ή SL

Τα ποσοστά αυτά υγρασίας εξαρτώνται μόνον από τα αργιλικά ορυκτά που συνθέτουν το υλικό, κι όχι από την (εμάστοτε) φυσική του κατάσταση. Υπολογίζονται με αλγές δοκιμές στο εργαστήριο, και αποτελούν διαχωριστικά όρια τριών καταστάσεων σύμφωνα με το κατωτέρω σχήμα:



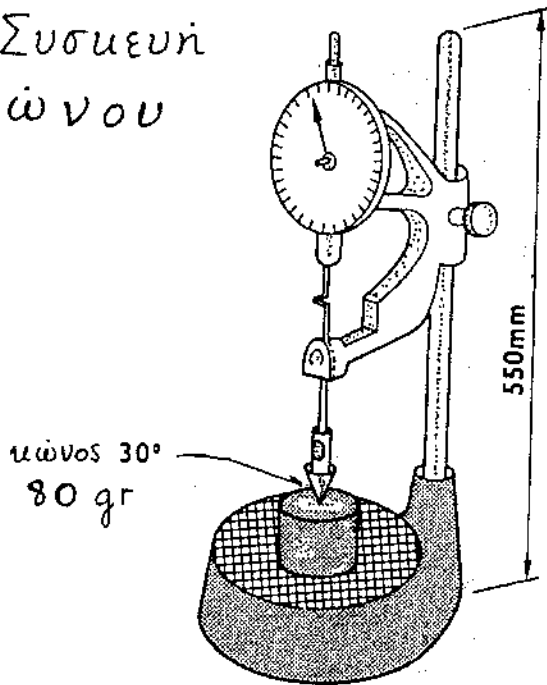
Οι συσκευές των δύο μεθόδων προσδιορισμού του ορίου υδατότητας (LL)

(α) Συσκευή CASAGRANDE



LL = ποσοστό υγρασίας για "κλείσιμο" χαραγής μετά από **25** κρούσες.

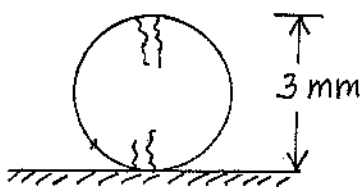
(β) Συσκευή Κώνου



LL = ποσοστό υγρασίας για βύθιση της αιχμής του κώνου κατά **20 mm**

[ασφάλιση διαμετρική αλοκή $S_{uLL} \leq 5 \text{ kPa}$]

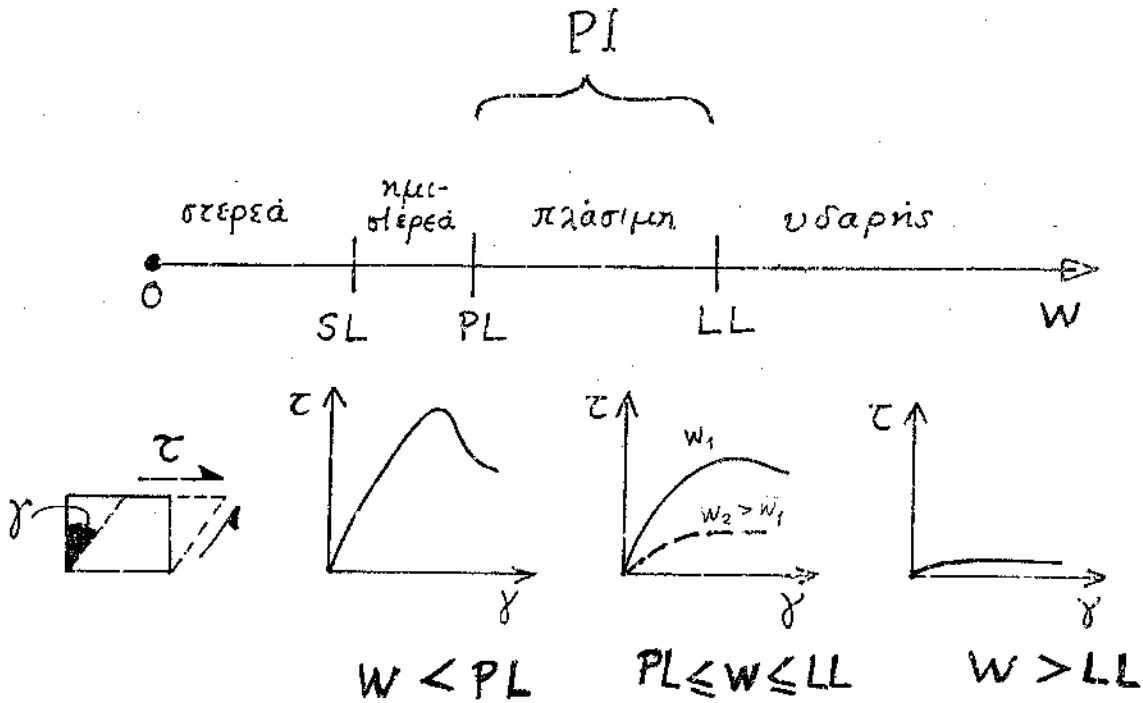
Προσδιορισμός ορίου πλασιμότητας (PL)



Ρηγμάτωση / Ξράωση εδαφικού κυλίνδρου 3mm → PL

[ασφάλιση διαμετρική αλοκή $S_{uPL} \approx 150 \text{ kPa}$]

δηλ. PL = ποσοστό υγρασίας όταν "χωρίδα" του υλικού, πλαθόμενη σε διάμετρο 3mm, αρχίζει να ρηγμάτωσης.



Σπουδαιές παράμετροι :

- ΔΕΙΚΤΗΣ ΠΛΑΣΙΜΟΤΗΤΑΣ PI (ή I_p)

$$PI = LL - PL$$

- ΣΧΕΤΙΚΗ ΥΔΑΡΟΤΗΤΑ I_L

$$I_L = \frac{W - PL}{PI} \quad \left(\text{παράβαλε με ορισμό σχετικής υδαρότητας} \right)$$

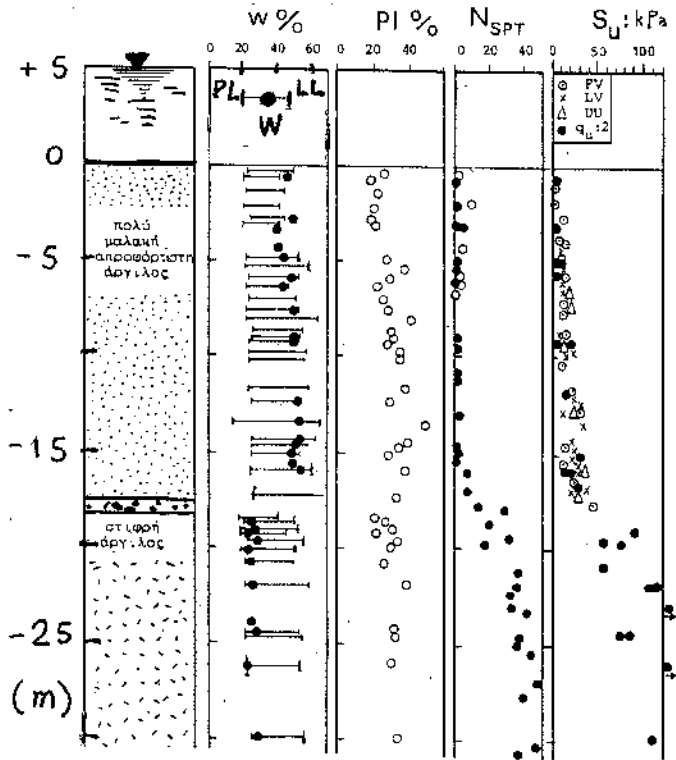
Εάν $I_L = \begin{cases} \leq 0 & \longrightarrow W \leq PL \\ = 1 & \longrightarrow W = LL \\ > 1 & \longrightarrow W > LL \end{cases}$

Συνήθως στην φύση $PL < W < LL$ ή $0 < I_L < 1$. Άλλα
 ζιποτα δεν αποφεύγει να ισχύει $I_L > 1$ (ή $W > LL$) σε ένα πολύ μεγάλο
 υλικό, ούτε φυσικά είναι ανέθανο να έχουμε αγγίλο με $I_L < 0$
 ($W < PL$).

Παράδειγμα απ' τον
 ελληνικό χώρο:

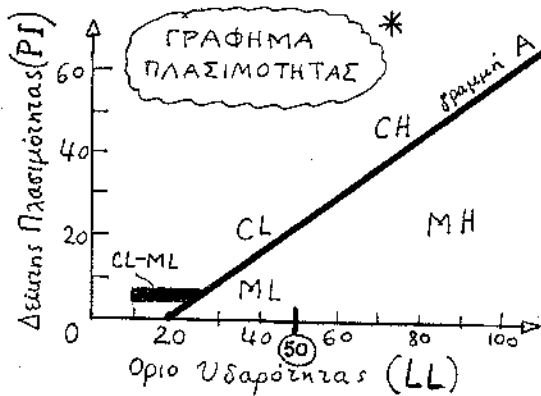
Ορμος Αγίου Στεφάνου
 ("Παράμαρμη Χαλκίδας") →

[Παραμπίστε την συσχέτιση μεταξύ
 διαμετρικής ανόχης του αγγίλου
 S_u (kPa) και της θέσης του W
 (φυσικής υγρασίας) μεταξύ των
 ορίων Atterberg $LL \approx 60\%$
 και $PL \approx 20\%$]



ΧΡΗΣΗ ορίων Atterberg και φυσικής υγρασίας

- Κατάταξη ενός αργιλώδους υλικού
 σε άργιλο (σύμβολο C) μικρής
 ή μεγάλης πλαστικότητας (CL ή CH,
 αλκοδικως) ανάλογα με το εάν
 $LL < 50$ ή > 50 , ή σε λάυ
 (σύμβολο M) μικρής ή μεγάλης
 πλαστικότητας (ML ή MH).

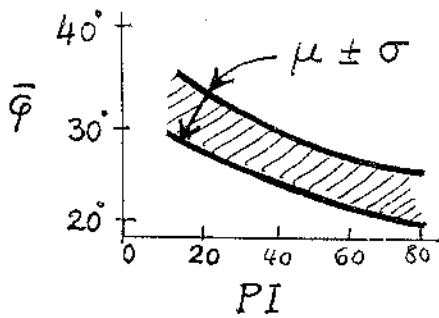


- Αξιολόγηση της δημοσιευμένης διεθνούς εμπειρίας:
 → εμπειρικές συσχετίσεις (LL, PL, PI, W) με δυσκολότερα
 μετρούμενες παραμέτρους μηχανικής συμπεριφοράς,
 όπως: γωνία τριβής ϕ , διαμετρική ανόχη S_u ,
 μέτρο ελαστικότητας E_u , συντελεστής στερεοποίησης, κλπ.

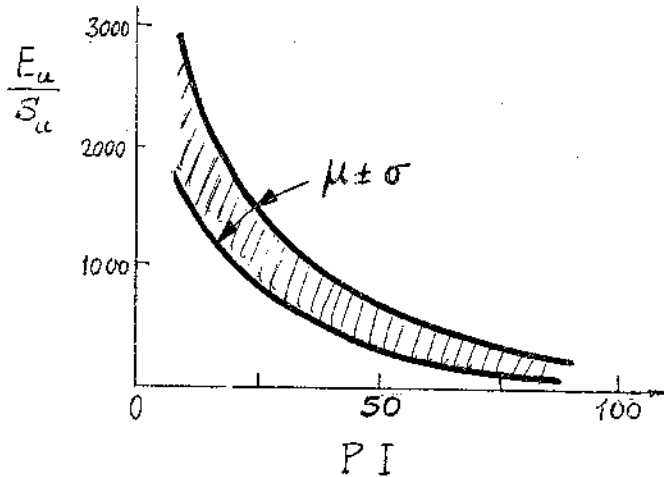
* Arthur Casagrande (1936)

Παραδείγματα εμπειρικών συσχετίσεων

Γωνία διαμηκτικής αλοχής $\bar{\phi}$ μαονιώς-στερεοποιημένων (απροφόριστων) αργίλων [βλ. § 3.4]



Μέτρο ελαστικότητας (Young) υπό ασφάγητες συνθήκες: E_u

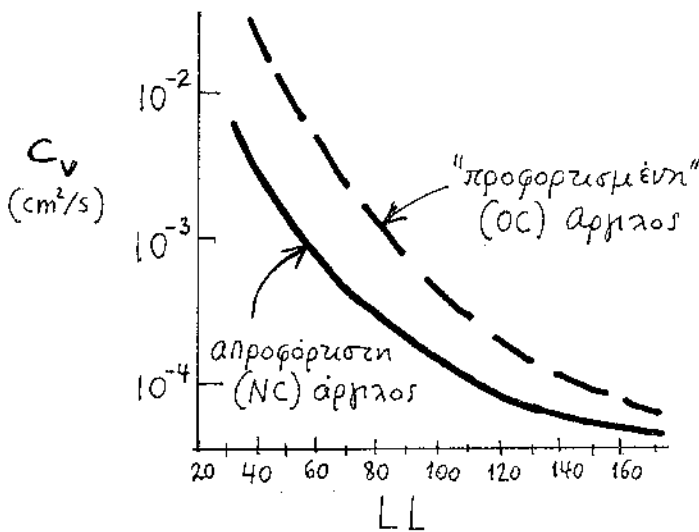


Ασφαγιστη διαμηκτική αλοχή S_u μαονιώς-στερεοποιημένης (απροφόριστης) αργίλου [βλ. ορισμό § 3.5]

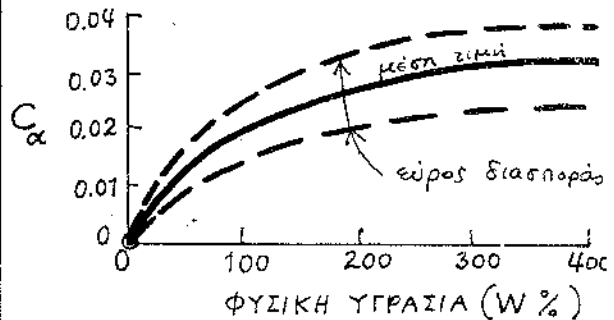
$$S_u / \bar{\sigma}_{vo} \approx 0.11 + 0.0037 \times PI$$

$\bar{\sigma}_{vo}$ = η ενεργός παραμόρφση γωνιακή τάση [βλ. § 3.1]

Συντελεστής στερεοποίησης C_v (cm^2/s): βλ. ορισμό § 7.

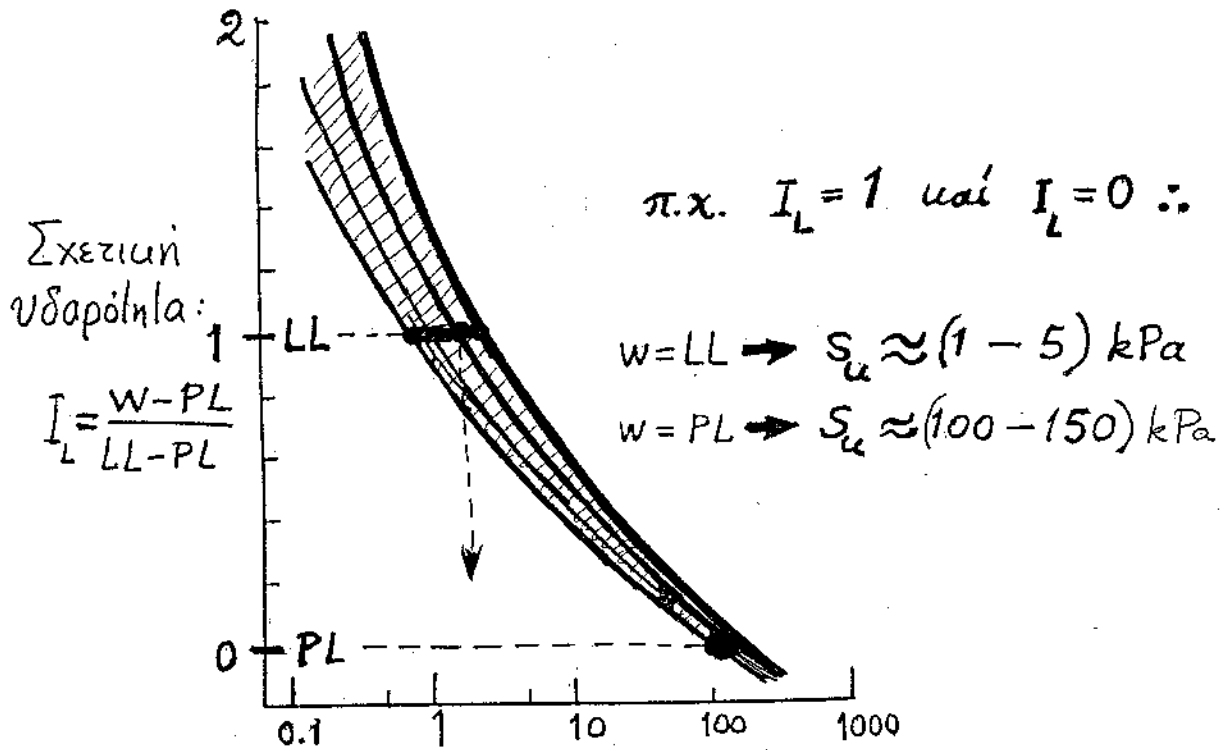


Συντελεστής δευτερογενούς παραμόρφωσης ("ερπυσμού"): C_α (αδιάσπαστη παράμετρος):



Συντελεστής "συνδέερης" ώθησης γαιών: $K_0 \approx 0.44 + 0.42 \left(\frac{PI}{100} \right)$ Απροφόριστων αργίλων. (βλ. § 3 ορισμό του K_0)

Τό νόημα της σχετικής υδαρότητας, I_L

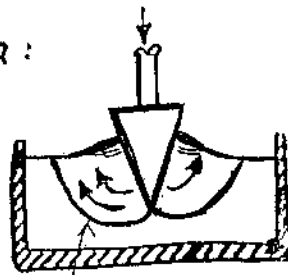


$S_u =$ ΑΣΤΡΑΓΓΙΣΤΗ ΔΙΑΤΜΗΤΙΚΗ ΑΝΤΟΧΗ: kPa

Ερμηνεία:



αστοχία "πρανών"
κατά την δυναμική
(υφουδιστική) επήλυση



γραμμές διαρρηκτικές
αστοχίας κατά
την επιβολή του
οριακού (μέγιστου δυνατού)
φόρτιου.

Δηλαδή: τό σύμβολο \therefore ισοδυναμεί μέ τό \Rightarrow

2.3.3 "Ενοποιημένο" Σύστημα Ταξινομήσεως Εδαφικού Υλικού

... Ονοματοδοσία (και Συμβολισμός)

Οι δύο θεμελιώδεις κατηγορίες	Πρωτεύουσα Διάκριση (σύμβολο)	Δευτερεύουσα Διάκριση	
		ποσοστό συμμετοχής αργιλώδους υλικού $\leq 5\%$ Βάσει ποιομετρικής διαβαθμίσεως	ποσοστό συμμετοχής αργιλώδους υλικού $> 12\%$ Βάσει ορίων Atterbe
κοκκώδη ("χονδρόκομμα") ποσοστό $< 50\%$ διέρχεται απ' το κόσκινο Νο. 200	χάλικες (G) άμμοι (S)	καλώς (W) % κακώς (P) διαβαθμισμένοι	λιγώδεις (M) % αργιλώδεις (C)
αργιλώδη ("λεπτόκομμα") ποσοστό $> 50\%$ διέρχεται απ' το κόσκινο Νο. 200 + πλασιμότητα	λιγές (M) αργίλοι (C) οργανικά (O) τύρφη (Pt)	χαμηλής πλασιμότητας (L) υψηλής πλασιμότητας (H)	

- κόσκινο Νο. 200 : διάμετρος οπής 0.074 mm
- η κατάταξη των αργιλωδών εδαφών σε ML, MH, CL, CH, OL, OH γίνεται με βάση το γράφημα Πλασιμότητας (βλ. σελ. 49)
- στα κοκκώδη υλικά, εάν το ποσοστό συμμετοχής των αργιλωδών "προσμίξεων" είναι μεταξύ 5% και 12% ακολουθείται διπλή ονομασία - π.χ. SW-ML = καλώς διαβαθμισμένη άμμος (βλ. ορισμό στην σελίδα 42) με ποσοστό χαμηλής-πλασιμότητας λιγού (LL < 50, PI: κάτω απ' την γραμμή A) μεταξύ 5% και 12%.

Υπάρχουν κι άλλα συστήματα ταξινόμησης. Το απλούστερο είναι το πιο εύχρηστο στην γεωτεχνική.

ΔΙΕΡΕΥΝΗΣΗ του ΕΔΑΦΟΥΣ

(α) Διατρήσεις - Δειγματοληψία - Εργαστήριο

Διανοίγονται φρέατα, στοές, σκάμματα κυρίως όμως : γεωτρήσεις, συνοδευόμενες από την λήψη διαταραγμένων ή αδιατάρακτων δειγμάτων για εργαστηριακές δοκιμές (δοκιμές απλής ταξινόμησης με διαταραγμένα δείγματα, και μηχανικές δοκιμές σε αδιατάρακτα)

(β) Επιτόπιες (*in-situ*) Δοκιμές. Συνηθέστερες :

Κρουστική "Τυποποιημένη" Διείσδυση (SPT) [μετρείται ο αριθμός κτύπων N_{SPT} για διείσδυση 30 cm].

Πενετρομέτρηση [= σχεδόν-στατική διείσδυση κώνου.

Μετρείται η πίεση αντιστάσεως q_c (kPa) στην αιχμή κώνου καθώς αυτός ωθείται με σταθερό ρυθμό στο έδαφος].

Πρεσσιομέτρηση [επιβάλλεται προοδευτικώς αυξανόμενη ακτινική πίεση εντός κατακορύφου οπής και καταγράφεται η συνεπαγόμενη ακτινική παραμόρφωση]. Επίσης,

Διάτμηση Πτερυγίου, δοκιμή Διλατομέτρου, δοκιμή Υδραυλικής Θραύσης, και κάμπουσες άλλες.

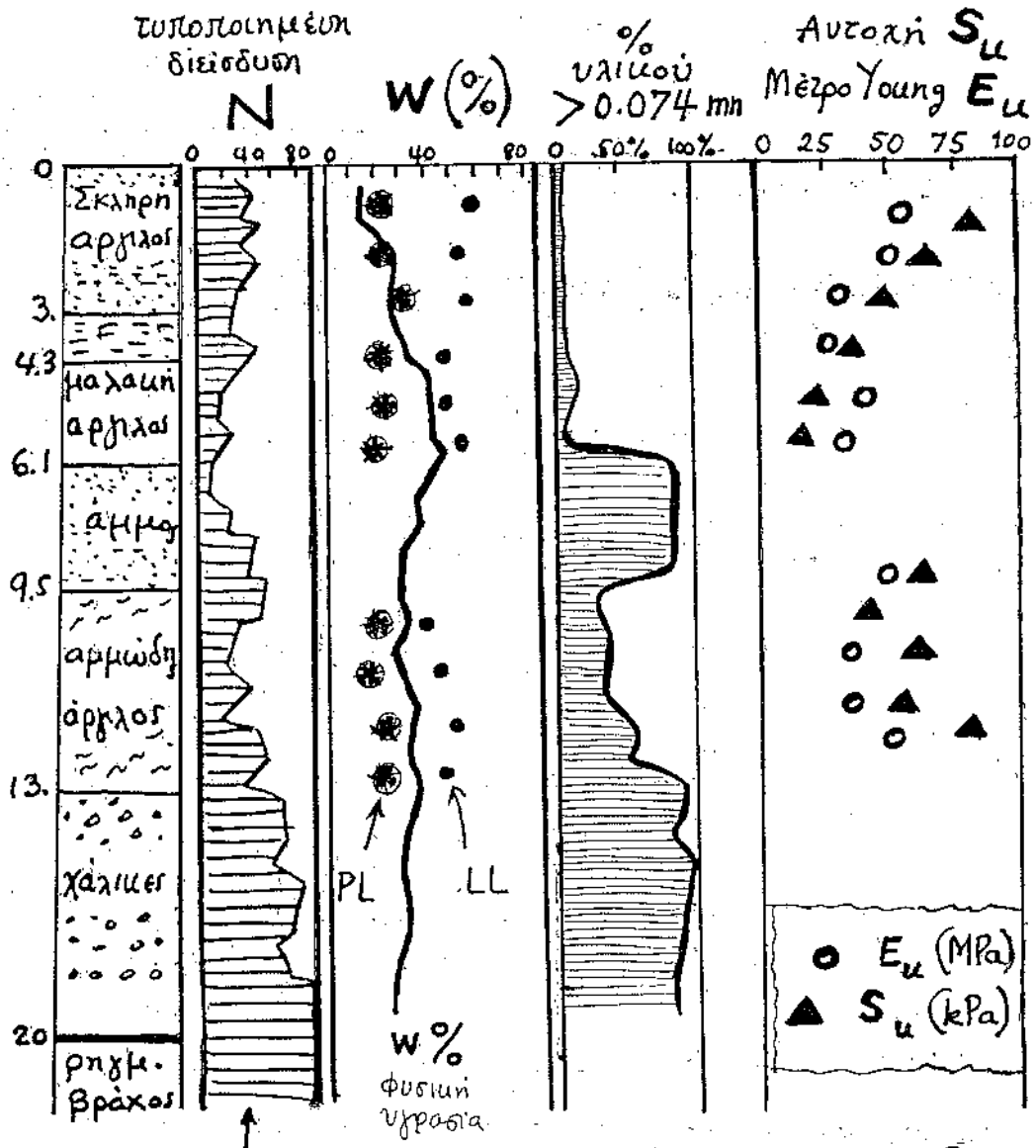
(Βασική ιδέα : επιβάλλουμε σε εδαφικό "στοιχείο" εντατική κατάσταση παραπλήσια εκείνης που θα του επιβληθεί από το προτεινόμενο έργο . . .)

(γ) Γεωφυσικές Μέθοδοι

"Σεισμικές" (προσδιορισμός μέτρων ελαστικότητας και διατμήσεως από την ταχύτητα διάδοσης των αντίστοιχων κυμάτων — π.χ. $V_s = \sqrt{G/\rho}$, και $V_p = \sqrt{D/\rho}$).

Ηλεκτρικές - Μαγνητικές (μέτρηση "ειδικής αντίστασης" κλπ.)

Ένα ΤΥΠΙΚΟ ΕΔΑΦΙΚΟ ΠΡΟΦΙΛ (ΕΔΑΦΟΤΕΧΝΙΚΗ ΤΟΜΗ)



N = αριθμός υρύσεων για διεύθυνση 30 cm
(βλ. συνοπτική περιγραφή της δομικής
Τυποποιημένης Διεύθυνσης
στην σελίδα 43)

3.

**ΜΗΧΑΝΙΚΗ ΣΥΜΠΕΡΙΦΟΡΑ
ΕΔΑΦΙΚΟΥ ΣΤΟΙΧΕΙΟΥ**

ΚΕΦΑΛΑΙΟ 3

ΜΗΧΑΝΙΚΗ ΣΥΜΠΕΡΙΦΟΡΑ ΤΟΥ ΕΔΑΦΙΚΟΥ ΣΤΟΙΧΕΙΟΥ

Π Ρ Ο Λ Ο Γ Ο Σ

Όπως εξηγήθηκε στο εισαγωγικό κεφάλαιο, η γενική επίλυση ενός προβλήματος γεωτεχνικής μηχανικής περιλαμβάνει τα εξής τρία αλληλένδετα "στάδια":

- (α) ("πρόβλεψη") των ορθών και διατμητικών τάσεων τις οποίες θα υποστεί ένα αρκετά μεγάλο (θεωρητικώς άπειρο) πλήθος εδαφικών στοιχείων
- (β) εκτίμηση των παραμορφώσεων τις οποίες θα προκαλέσουν οι επιβαλλόμενες τάσεις στα αντίστοιχα στοιχεία, και
- (γ) αλληλοσυσχέτιση ("άθροιση") των παραμορφώσεων όλων των στοιχείων, και αξιολόγηση της συμπεριφοράς της συνολικής εδαφικής μάζας και κατασκευής (ευστάθεια, καθίζηση, μετατοπίσεις).

Το στάδιο (β) περιλαμβάνει για κάθε εδαφικό στοιχείο τον εργαστηριακό (ή και αναλυτικό) προσδιορισμό της μηχανικής του συμπεριφοράς --- δηλαδή της αποκρίσεώς του σε μία συγκεκριμένη επιβαλλόμενη εντατική κατάσταση. Στόχος αυτού του Κεφαλαίου είναι, ακριβώς, να παρουσιάσει συνοπτικά τις θεμελιώδεις αρχές που διέπουν την μηχανική συμπεριφορά ενός στοιχείου εδαφικού υλικού. Προς τον σκοπό αυτό τα υποκεφάλαια 3.3 και 3.5 μελετούν τις σχέσεις τάσεων-παραμορφώσεων ενός τυπικού δοκιμίου άμμου ή αργίλου, τα οποία υποβάλλονται σε μερικές χαρακτηριστικές, απλές και σύνθετες, εντατικές καταστάσεις. Ιδιαίτερο ενδιαφέρον έχει η εξέυρεση των νόμων "αστοχίας" ενός δοκιμίου, θέμα με το οποίο ασχολείται το υποκεφάλαιο 3.4 και ενμέρει το 3.5. Για την πληρέστερη κατανόηση και ερμηνεία των παρατηρούμενων φαινομένων κρίθηκε σκόπιμο να προταθεί μία σύντομη ανάπτυξη (μακροσκοπική και μικροσκοπική) των εννοιών τάση και παραμόρφωση (3.1 και 3.2).

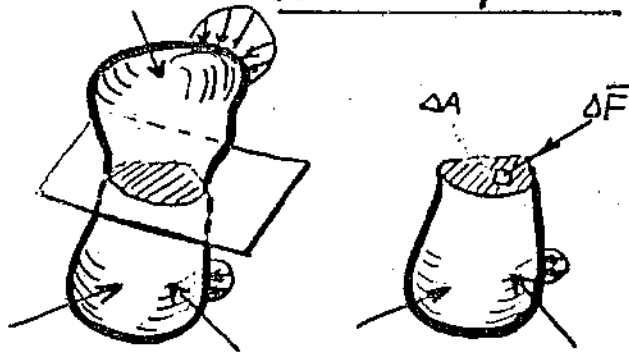
Πρέπει φυσικά να τονισθεί ότι ο διαχωρισμός της εδαφομηχανικής ανάλυσης στα ανωτέρω τρία στάδια είναι αρκετά σχηματικός και αποσκοπεί κυρίως στην εννοιολογική αποσαφήνιση του προβλήματος. Στην πραγματικότητα τα τρία "στάδια" είναι όχι μόνον αλληλένδετα αλλά και αλληλο-επικαλυπτόμενα. Δηλαδή, η επιβαλλόμενη εντατική κατάσταση σ' ένα στοιχείο εξαρτάται ενγένει και από τις σχέσεις τάσεων--παραμορφώσεων (σ - ϵ) των υλικών στοιχείων της εδαφικής μάζας, λόγω της πολλαπλής υπερστατικότητας των γεωμηχανικών προβλημάτων • με την σειρά τους, όμως, οι σχέσεις $\sigma - \epsilon$ δεν είναι μοναδικές για ένα υλικό, αλλά συνάρτηση των επιβαλλόμενων τάσεων ! Αυτή η αλληλοεξάρτηση των "σταδίων" (α) και (β) μπορεί, φυσικά, να ληφθεί αυτομάτως υπόψη σε μία αριθμητική επίλυση (π.χ. με την μέθοδο των πεπερασμένων στοιχείων) όπου 3-διάστατες ελαστοπλαστικές καταστατικές σχέσεις περιγράφουν την μηχανική συμπεριφορά κάθε στοιχείου σε οποιαδήποτε σύνθετη επιπόνηση. Βεβαίως στην πράξη τέτοιου είδους αναλύσεις δέν γίνονται συχνά. Έτσι κι αλλιώς, όμως, το "στάδιο" (β) δεν αποφεύγεται, μιά που η εξεύρεση ελαστοπλαστικών καταστατικών σχέσεων απαιτεί κάμποσες "απλές" εργαστηριακές δοκιμές για τον καθορισμό των σχετικών παραμέτρων.

Ένα άλλο ενδιαφέρον παράδειγμα αλληλο-επικάλυψης των σταδίων (α) και (β): συχνά η γεωμετρία του προβλήματος (εδαφικό προφίλ, φόρτιση) επιβάλλει ορισμένους κινηματικούς περιορισμούς, έτσι ώστε να είναι δυνατή η άμεση ταυτόχρονη εκτίμηση μερικών στοιχείων του τανυστή των τάσεων και μερικών στοιχείων του τανυστή των παραμορφώσεων. Παραδείγματα αποτελούν η κατάσταση *επίπεδης παραμόρφωσης* ($\epsilon_x = 0$) λόγω επιβολής ομοιόμορφου φορτίου κατά μήκος στοιχείου θεμελιώσεως πολύ μεγάλου μήκους, και η ειδικότερη κατάσταση *1-διάστατης παραμόρφωσης* ($\epsilon_x = \epsilon_y = 0$) υπό το κέντρο ομοιόμορφου φορτίου μεγάλης έκτασης (στην "κάτοψη"). Σ' αυτές τις περιπτώσεις η εργαστηριακή επιπόνηση θα σέβεται του αντίστοιχους περιορισμούς, θα αποσκοπεί δε στην εξεύρεση και του άγνωστου μέρους του τανυστή των τάσεων. Θα μιλάμε λοιπόν γενικά για "*απόκριση*" στοιχείου σε επιβαλλόμενη "*καταπόνηση*".

3.1

ΤΑΣΕΙΣ

ΟΡΙΣΜΟΣ: Τάση σε σημείο
συνεχούς μέσου



$$\text{τάση} = \lim_{\Delta A \rightarrow 0} \frac{\Delta \bar{F}}{\Delta A}$$

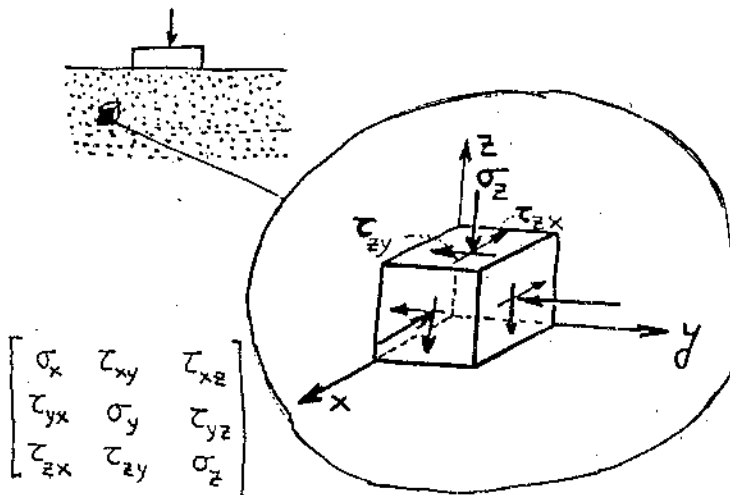
ορθή τάση

$$\sigma = \lim_{\Delta A \rightarrow 0} \frac{\Delta F_n}{\Delta A}$$

διατμητική τάση

$$\tau = \lim_{\Delta A \rightarrow 0} \frac{\Delta F_t}{\Delta A}$$

γνώση ευταξιακής καταστάσεως
σε ένα σημείο \longleftrightarrow γνώση
(σ, τ) σε κάθε επίπεδο διά του
σημείου \longleftrightarrow γνώση του
ταυτοσημίου των τάσεων

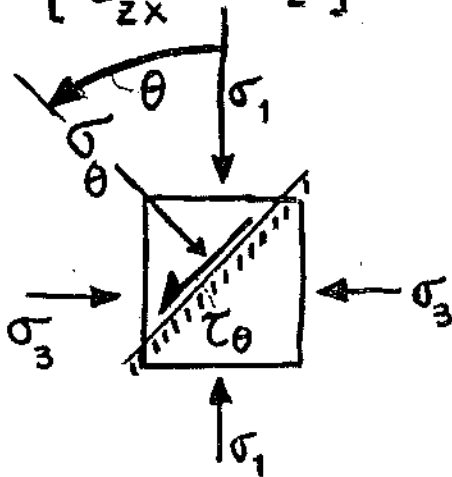


$$\begin{bmatrix} \sigma_x & \tau_{xy} & \tau_{xz} \\ \tau_{yx} & \sigma_y & \tau_{yz} \\ \tau_{zx} & \tau_{zy} & \sigma_z \end{bmatrix}$$

Επιπεδη ενταξιακη κατασταση

$$\begin{bmatrix} \sigma_x & \tau_{xz} \\ \tau_{zx} & \sigma_z \end{bmatrix} \longleftrightarrow \begin{bmatrix} \sigma_1 & 0 \\ 0 & \sigma_3 \end{bmatrix}$$

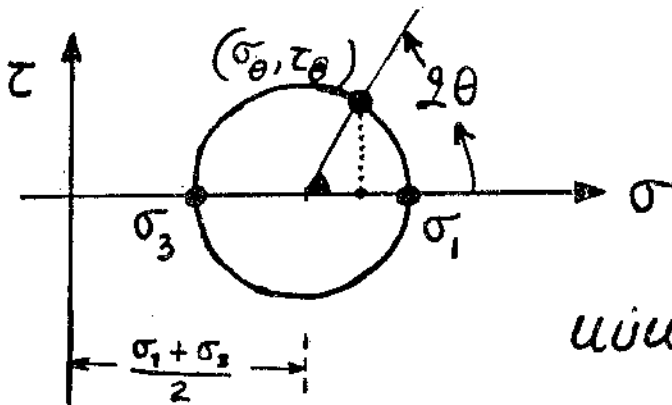
κυριες τασεις



$$\begin{cases} \sigma_\theta = \sigma_1 \cos^2 \theta + \sigma_3 \sin^2 \theta \\ \tau_\theta = (\sigma_1 - \sigma_3) \sin \theta \cdot \cos \theta \end{cases}$$

$$\sigma_\theta = \frac{\sigma_1 + \sigma_3}{2} + \frac{\sigma_1 - \sigma_3}{2} \cos 2\theta$$

$$\tau_\theta = \frac{1}{2} (\sigma_1 - \sigma_3) \sin 2\theta$$

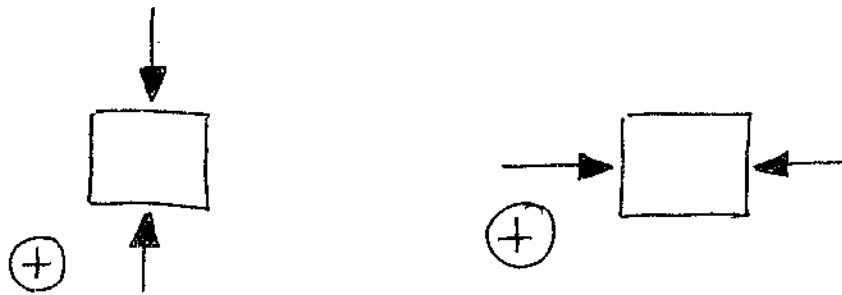


κύκλος Mohr

Σύμβαση προσήμου:

+ $\frac{\sigma}{\eta}$ - ;

Ορθές τάσεις (σ):



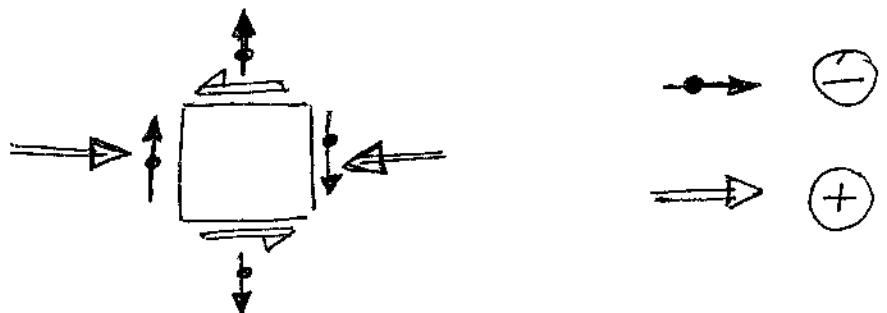
Ψευδείς οι θλιπτικές.

Διατμητικές τάσεις (τ)



Ψευδείς: αυτές που δίνουν ροπή αριστερόστροφη

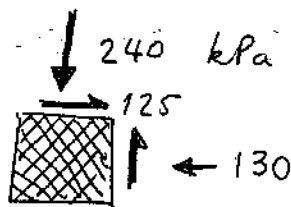
Παράδειγμα:



ΑΡΧΗ τΩΝ ΕΠΙΠΕΔΩΝ (Πόλος)

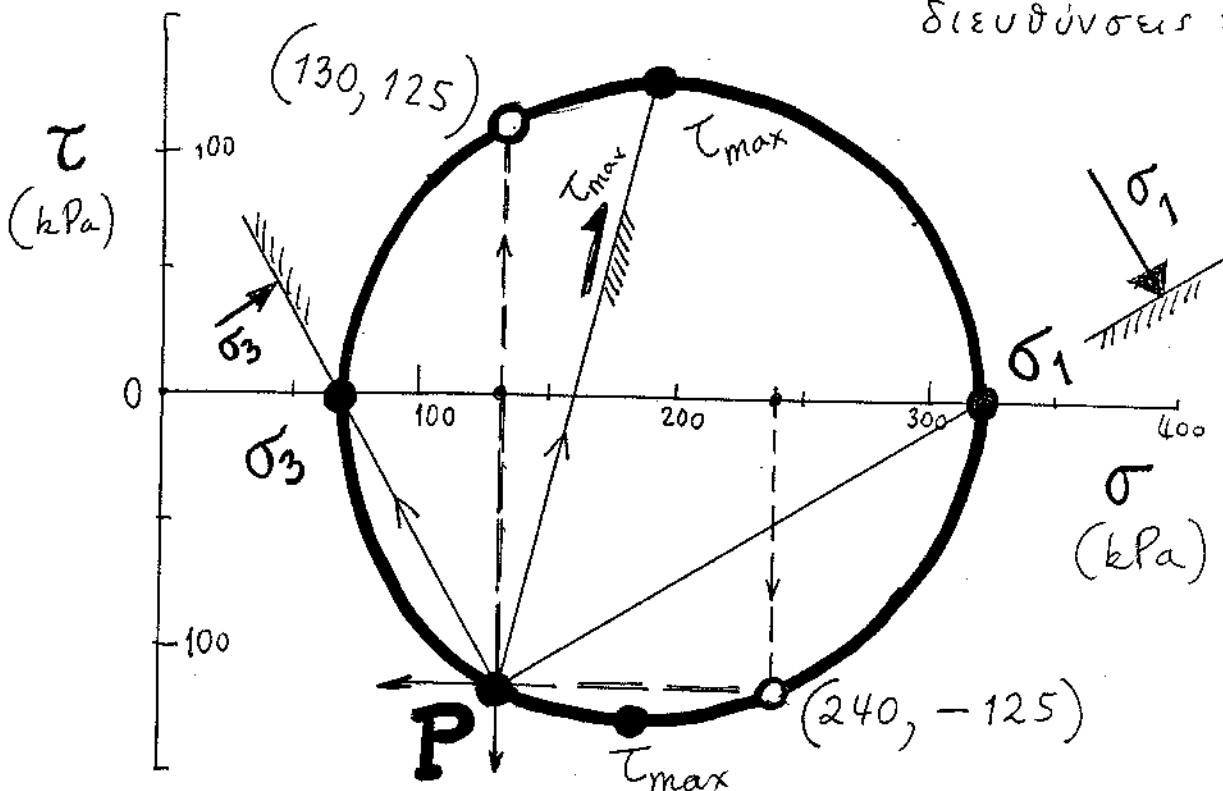
Ένα σημείο του κύκλου Mohr απ' το οποίο ευθεία παράλληλη προς ένα επίπεδο τέμνει τόν κύκλο σε σημείο που έχει συσχετισμένες (σ, τ) τις τάσεις που δρουν στο επίπεδο αυτό. Παράδειγμα:

1. Δίδονται:




Ζητούνται:

$\sigma_1, \sigma_3, \tau_{max}$
και οι
διευθύνσεις τους



$$\sigma_1 \approx 320 \text{ kPa}, \quad \sigma_3 \approx 70 \text{ kPa}$$

$$\tau_{max} \approx 126 \text{ kPa}$$

2. Δίδονται: $\begin{cases} \sigma_a = 800 \text{ kPa}, \tau_a = 180 \text{ kPa} \\ \text{διεύθυνση } \alpha = 10^\circ \end{cases}$ 

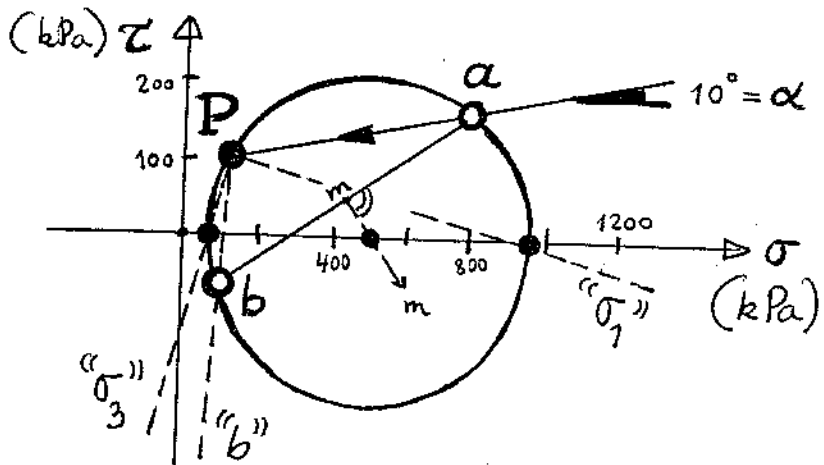
και

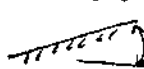
$\begin{cases} \sigma_b = 100 \text{ kPa}, \tau_b = -100 \text{ kPa} \\ \text{σέ άγνωστης διεύθυνσης} \end{cases}$
επιπέδο

Ζητούνται: $\begin{cases} \text{κύκλος Mohr, κλίσιες τάσεις,} \\ \text{διευθύνσεις κλίσιων τάσεων,} \\ \text{διεύθυνση της } \sigma_b \end{cases}$

Επίλυση: Με γνωστά τα σημεία a και b του κύκλου, το κέντρο του βρίσκεται στην μεσοκάθετο mm. Ο κύκλος προκύπτει απ' την κλίση του επιπέδου α... Τα υπόλοιπα είναι προφανή... Σχεδίαση: υπό καίμαμα.

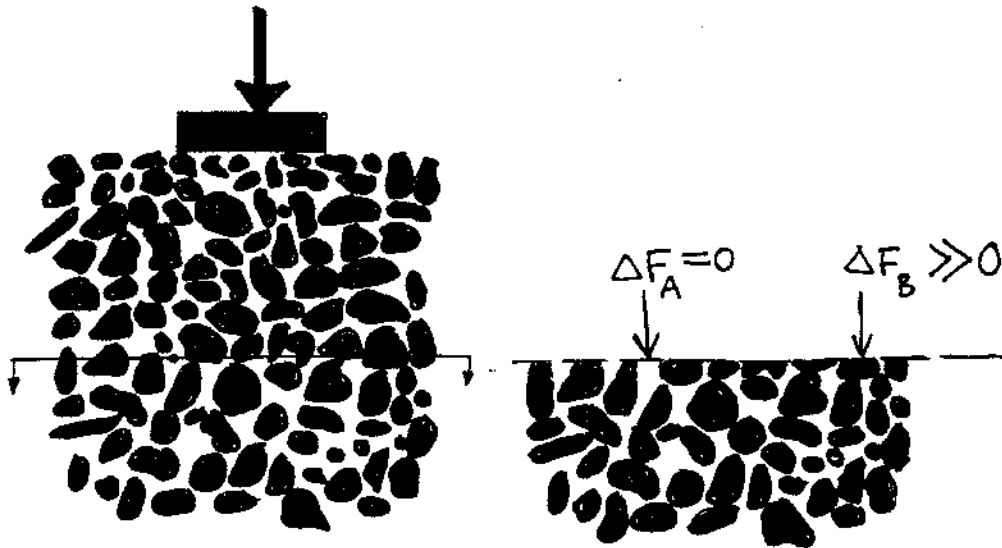
$\sigma_1, \sigma_3, \sigma_b =$
τα ζητούμενα
επιπέδα
(διευθύνσεις)



3. Δίδονται: $\sigma_1 = 1000 \text{ kPa}$ και η διεύθυνσή της:  30° . Επίσης, η ορθή τάση $\sigma_y = 400 \text{ kPa}$ επί κατακόρυφου επιπέδου.

Ζητούνται: Κύκλος Mohr, P, τ_{\max} , τ_{\max} , τ_{xy} , και τ_{xy} .
[Να σχεθεί]

ΤΑΣΗ ΣΕ "ΣΗΜΕΙΟ" ΑΣΥΝΕΧΟΥΣ ΜΕΣΟΥ
(αποτελούμενου από διακριτά σωματίδια = "κόκκους")



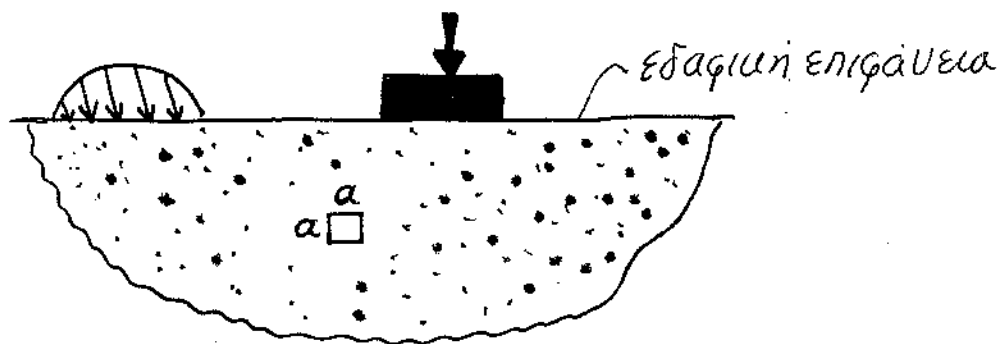
σε ένα μαθηματικά-οριζόμενο σημείο :

η "σ" είναι μιά εντελώς τυχαία μεταβλητή.

..Λίγη σημασία έχει η ακριβή της τιμή ..

ΑΝΑΓΚΗ ΣΤΑΤΙΣΤΙΚΗΣ,
ΜΑΚΡΟΣΚΟΠΙΚΗΣ ΘΕΩΡΗΣΗΣ

Χρειάζεται ένα αρκετά μεγάλο "σημείο", δηλ. που να περικλείει πάρα πολλούς κόκκους-σωματίδια



ορισμός:

$$\sigma = \frac{N}{a^2}$$

$$\tau = \frac{T}{a^2}$$

N, T = δυνάμεις καταγραφόμενες σε υποθετική συσκευή διαστάσεων $a \times a$.

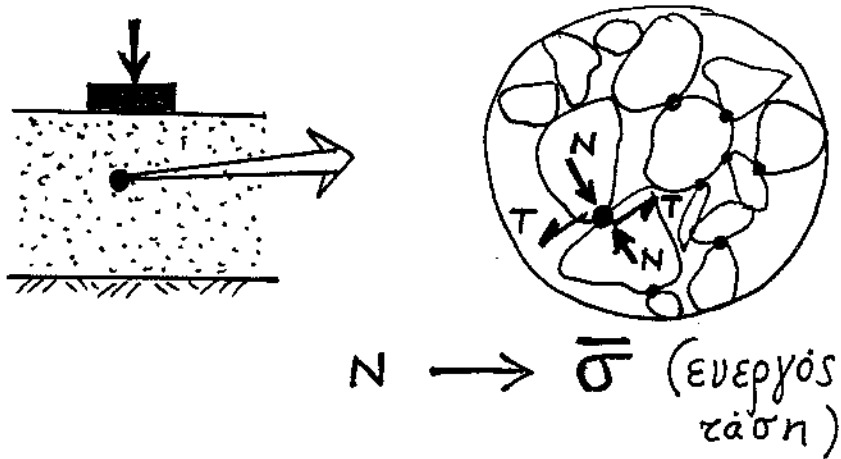
Υποτίθεται :

$a \gg$ μέγιστης διάστασης των κόκκων

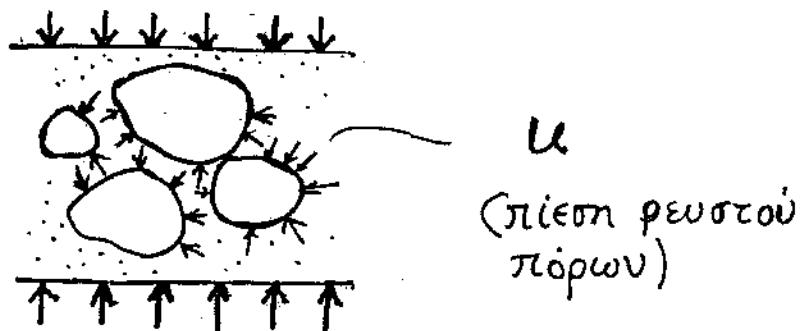
ΕΝΕΡΓΟΣ ΤΑΣΗ

Σέ κορεσμένα εδάφη : η μετάδοση τών σ γίνεται:

(1) μέσω τών σημείων επαφής τών κόκκων



(2) μέσω του ρευστού των πόρων



Η ολική σ , που μετρήσαμε με τη βοήθεια
τής υποθετικής συσκευής (επιφάνειας $a \times a$),
αναλύεται ως :

$$\sigma = u + \bar{\sigma} \dots \dots \dots (1)$$



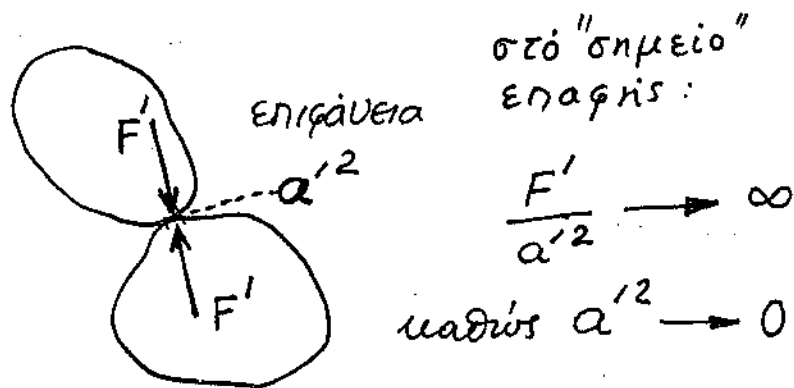
(μετρήσιμη)
πίεση ρεστού
πόρων

ενεργός τάση

“αντιπροσωπεύει” το μέρος της
 σ το οποίο διαβιβάζεται μέσω
του εδαφικού ιστού (σκελετού).

Η $\bar{\sigma}$ δεν είναι πρακτικά εύκολο να μετρηθεί
απευθείας, γιατί υπολογίζεται απ' την σχέση (1).

Είναι προφανές ότι η $\bar{\sigma}$ αποτελεί στατιστική έκφραση κι όχι ακριβή "αντιπρόσωπο" των τάσεων στα σημεία επαφής των κόκκων • οι τάσεις αυτές είναι τυχαίες και κατά πολύ μεγαλύτερες της $\bar{\sigma}$.

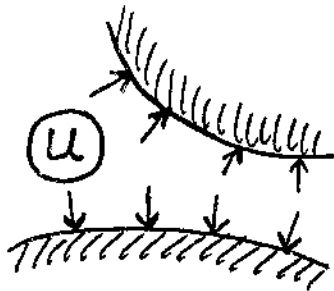


ουσιαστικά : $\bar{\sigma} = \frac{\Sigma N'}{A}$

όπου $\Sigma N'$ = συνισταμένη ορθών προβολών των F' ...

$A = a^2 =$ συνολική επιφάνεια

Η πίεση του ρευστού, u , δρά κάθετα σε κάθε επιφάνεια.



(Εξορισμού : τὰ ρευστά δέν μπορούν να αναλάβουν [μεταδώσουν] διατμητικές στατικές τάσεις)

Επομένως (σε κορεσμένα και μή εδάφη) η μετάδοση τών τ γίνεται αποκλειστικά μέσω των σημείων επαφής τών κόκκων →

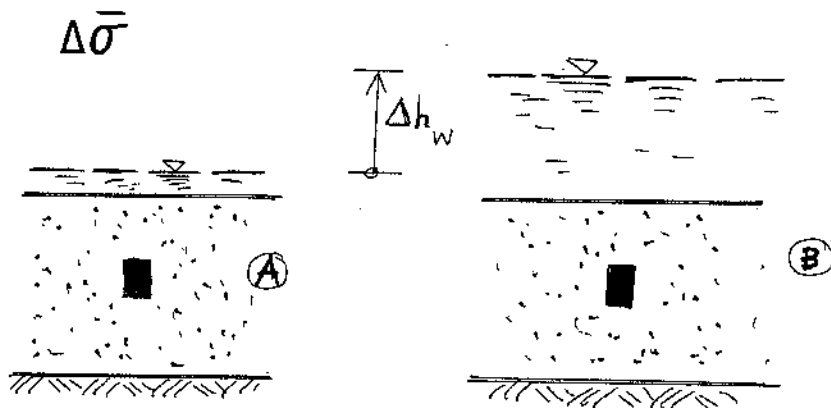
$$\bar{\tau} = \tau$$

Αρχή ενεργού τάσης :

1. Η διατμητική αντοχή ενός εδαφικού υλικού εξαρτάται μόνον από την επικρατούσα τιμή της $\bar{\sigma} = \sigma - u$, κι όχι απ' την ολική τάση σ .

π.χ.: $\tau = c + \bar{\sigma} \tan \varphi$ (βλ. παραμύζω, κεφ. 3.4)

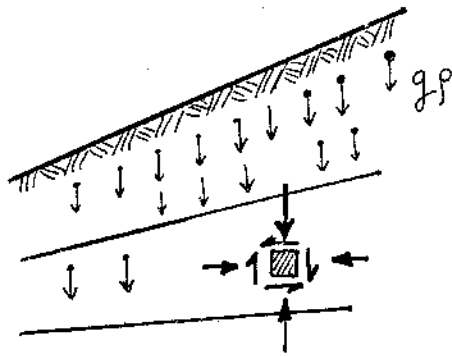
2. Παραμόρφωση έχουμε μόνον όταν επιβληθεί



καμμία μεταβολή στο κοκκώδες υπέδαφος λόγω υδατικής ανύψωσης (από την κατάβαση A στην κατάβαση B, η $\bar{\sigma}$ του εδαφικού στοιχείου παραμένει σταθερή).

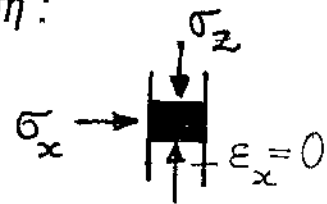
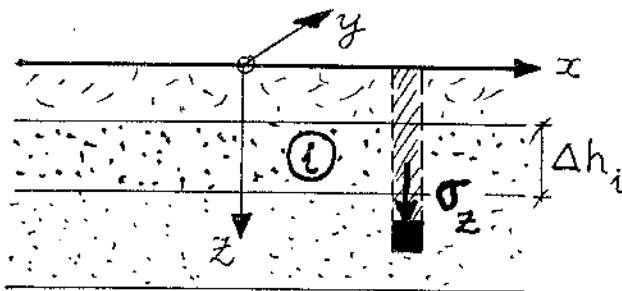
[Καί ερμηνευθεί τὸ πείραμα τοῦ "μαρέ" που γίνεται σὲν λάξη.]

ΤΑΣΕΙΣ ΛΟΓΩ ΙΔΙΟΥ ΒΑΡΟΥΣ



Οι τάσεις σέ ένα σημείο λόγω βαρύτητας είναι γενικά πολύ δύσκολο να υπολογισθούν με ακρίβεια (μεγάλη υπερστατικότητα)

Συνήθης ειδική περίπτωση :



“γεωστατικές”

τάσεις

$$\sigma_x = \sigma_y = ? , \quad \sigma_z = \sum_{i=1}^n \gamma_i \Delta h_i$$

$$\text{Διατμητικές τάσεις} = 0 = \tau_{zx} = \tau_{zy}$$

$$\text{Οριζόντιες παραμορφώσεις} = 0 = \epsilon_x = \epsilon_y$$

Τυπικές τιμές : $K_o \approx 0.40 - 0.60,$

για άμμους

$K_o \approx 0.30 - 0.70,$

για κανονικά στερεοποιημένες

(απροφόρτιστες) αργίλους

$K_o > 0.60$: για υπερστερεοποιημένες αργίλους

Εάν το υλικό ήταν ισότροπο, ελαστικό και γραμμικό :

$$\varepsilon_h = 0 = \frac{\bar{\sigma}_h}{E} - \nu \frac{\bar{\sigma}_h}{E} - \nu \frac{\bar{\sigma}_v}{E}$$

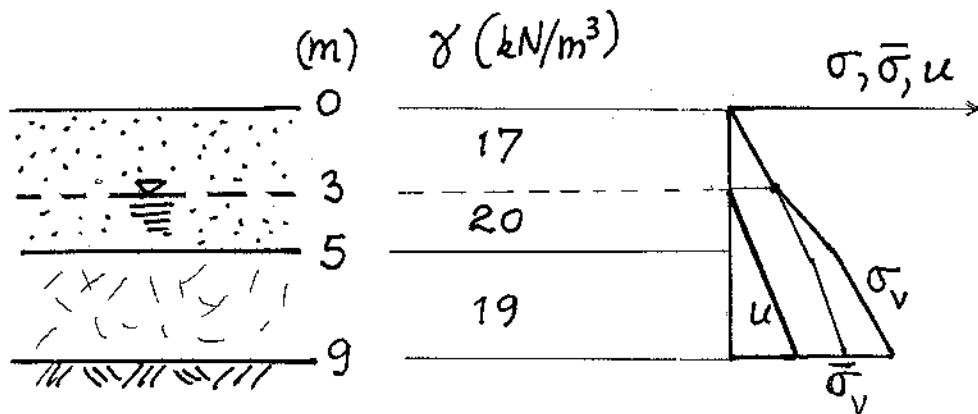
$\Rightarrow \frac{\bar{\sigma}_h}{\bar{\sigma}_v} \equiv K_o = \frac{\nu}{1-\nu}$ ↖ ν λόγος του Poisson

τυπική τιμή : $\nu \approx 0.40 \rightarrow K_o \approx 0.67$

ενώ : $\nu \approx 0.30 \rightarrow K_o \approx 0.50$.

Αριθμητική εφαρμογή

4.



Βάθος	ολική $\sigma_v \left(\frac{\text{KN}}{\text{m}^2}\right)$	$u \left(\frac{\text{KN}}{\text{m}^2}\right)$	$\bar{\sigma}_v$
3	$3 \times 17 = 51$	0	51
5	$51 + 2 \times 20 = 91$	$2 \times 9.8 = 19.6$	71.4
9	$91 + 4 \times 19 = 167$	$6 \times 9.8 = 58.8$	108.2

$$\bar{\sigma}_v = \sigma_v - u$$

εάν π.χ. $K_0 = 0.50$ καί για τίς δύο στρώσεις :

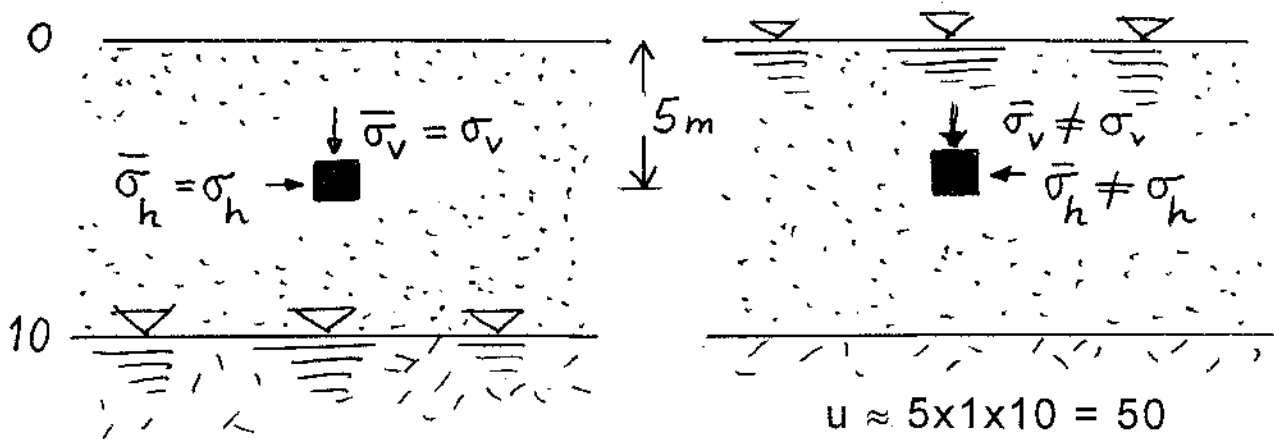
z	$\bar{\sigma}_h = 0.50 (\sigma_v - u)$	$\sigma_h = \bar{\sigma}_h + u$
3	25.5	25.5
5	36.7	$36.7 + 19.6 = 56.3$
9	54.1	$54.1 + 58.8 = 112.9$

Αριθμητική Εφαρμογή

5. Εδαφική απόθεση αποτελείται από άμμο με

$$\rho_{ξηρ} = 1.6 \frac{Mg}{m^3} \text{ και } \rho_{κορ} = 2.0 \frac{Mg}{m^3} . \text{ Ποιές οι συνέπειες}$$

της ανόδου ή καθόδου της υδατικής στάθμης (απ' την στάθμη 0 στην στάθμη -10 m) ;; (Δίδεται: $K_o = \frac{1}{2}$)



$$u = 0$$

$$\sigma_v = \bar{\sigma}_v \approx 5 \times 1.6 \times 10 = 80$$

$$\bar{\sigma}_h = \sigma_h = \frac{1}{2} \times 80 = 40 \text{ kPa}$$

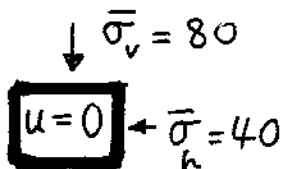
$$u \approx 5 \times 1 \times 10 = 50$$

$$\sigma_v \approx 5 \times 2 \times 10 = 100$$

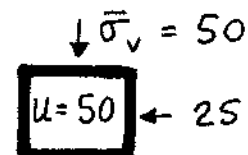
$$\bar{\sigma}_v \approx 5 \times (2-1) \times 10 = 50$$

$$\bar{\sigma}_h = \frac{1}{2} \times 50 = 25$$

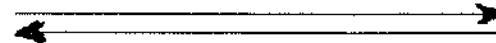
$$\sigma_h = \bar{\sigma}_h + u = 75$$



ενεργές
τάσεις



ανακούφιση, διόγκωση



θλίψη, συμπίεση

(παρόλο που στην δεύτερη κατάσταση η ολική $\sigma_v = 100$ είναι μεγαλύτερη).

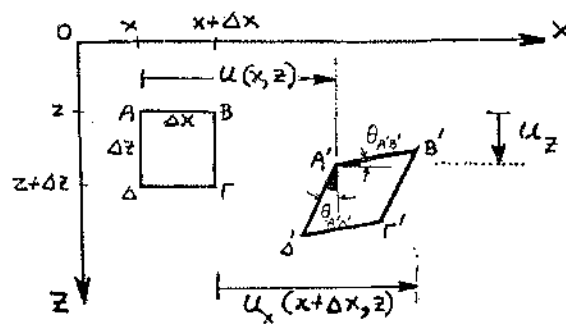
3.2

ΠΑΡΑΜΟΡΦΩΣΗ ΕΔΑΦΙΚΟΥ ΣΤΟΙΧΕΙΟΥ

3.2 ΠΑΡΑΜΟΡΦΩΣΗ (ενός στοιχείου εδαφικού υλικού)

ΜΑΚΡΟΣΚΟΠΙΚΟΣ ΟΡΙΣΜΟΣ :

μετατόπιση καί (ανηγμένη) παραμόρφωση στοιχείου συνεχούς μέσου



$AA' =$ μετατόπιση σημείου $A = u_A = u(x, y, z)$

(Εάν $u_A = u_B = \dots = u$ σταθερό, ανεξάρτητο των x, y, z έχουμε κίνηση "απολύτως στερεού" σώματος - δηλ. χωρίς καμιά παραμόρφωση)

Ορθή (ανηγμένη) παραμόρφωση :

δηλ. $\epsilon_x = -\frac{\partial u_x}{\partial x}$ εἰ (-) ὡστε αἰξηση
 τοῦ μήκους, δηλ.
 ομοίως $\epsilon_y = -\frac{\partial u_y}{\partial y}$ εγγεωστικὴ παραμόρφω-
 ση νὰ εἶναι αρνητικὴ,
 ὅπως καὶ μετὰ τὰς εἰς
 $\epsilon_z = -\frac{\partial u_z}{\partial z}$

Διαμηριτικὴ ἢ γωνιακὴ παραμόρφωση:

$$\begin{aligned}
 \gamma_{xz} &= -(\theta_{A'D'} + \theta_{A'B'}) \stackrel{\text{ομοίως}}{=} -(\tan \theta_{A'D'} + \tan \theta_{A'B'}) \\
 &= -\lim_{\Delta x \rightarrow 0} \left[\frac{u_z(x+\Delta x, z) - u_z(x, z)}{\Delta x} \right] + \\
 &\quad - \lim_{\Delta z \rightarrow 0} \left[\frac{u_x(x, z+\Delta z) - u_x(x, z)}{\Delta z} \right] = \\
 &= -\left(\frac{\partial u_z}{\partial x} + \frac{\partial u_x}{\partial z} \right)
 \end{aligned}$$

Ομοίως $\gamma_{yz} = -\left(\frac{\partial u_z}{\partial y} + \frac{\partial u_y}{\partial z} \right)$

$\gamma_{xy} = -\left(\frac{\partial u_y}{\partial x} + \frac{\partial u_x}{\partial y} \right)$

Ογκομετρικὴ αν. παραμόρφωση: $\frac{\Delta V}{V} = \epsilon_x + \epsilon_y + \epsilon_z$

Γνώση της παραμόρφωσης ενός
εδαφικού στοιχείου \longleftrightarrow γνώση του
πρόσθρονη

μητρώου* των αυξημένων παραμορφώσεων:

* (ή και ταυτοστί)

$$\begin{bmatrix} \epsilon_x & \frac{1}{2} \gamma_{xy} & \frac{1}{2} \gamma_{xz} \\ \frac{1}{2} \gamma_{xy} & \epsilon_y & \frac{1}{2} \gamma_{yz} \\ \frac{1}{2} \gamma_{xz} & \frac{1}{2} \gamma_{yz} & \epsilon_z \end{bmatrix} \sim \begin{bmatrix} \epsilon_1 & 0 & 0 \\ 0 & \epsilon_2 & 0 \\ 0 & 0 & \epsilon_3 \end{bmatrix}$$



κύριες (ορθές)
αυ. παραμορφώσεις

Σε επίπεδες παραστάσεις

ισχύει μαί για τις παραμορφώσεις

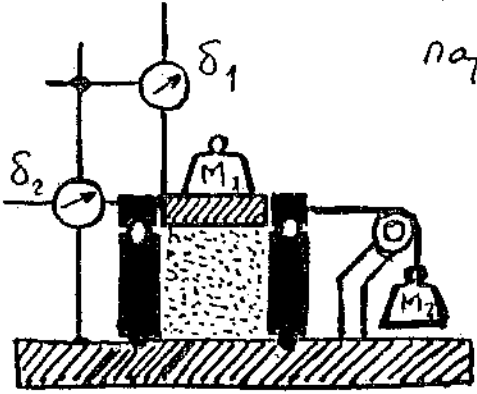
ο κώδικος Mohr (για τον υπολογισμό των ϵ_i και γ_{ij} σε
διάφορες διευθύνσεις του υπόψη σημείου).

ΣΗΜΕΙΩΣΗ: Αναφερόμαστε πάντα σε πολύ μικρές (απειροστές)
παραμορφώσεις, ευκλειδαστές με την συνέχεια του μέσου.

Πεπερασμένες παραμορφώσεις και παραμορφώσεις που συνεπά-
γονται κατάλυση της συνέχειας του μέσου: απαιτούν
διαφορετική θεωρία.

Αριθμητικό Παράδειγμα

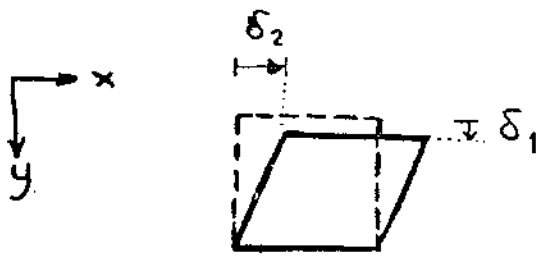
6. Κυβικό δοχείο ($a = 4 \text{ cm}$) υπό την επίδραση $M_1 = 30 \text{ kg}$ και $M_2 = 10 \text{ kg}$



παρουσιάζει μετακινήσεις:

- κατακόρυφη $\delta_1 = 0.9 \text{ mm} \downarrow$
- οριζόντια $\delta_2 = 2.3 \text{ mm} \rightarrow$

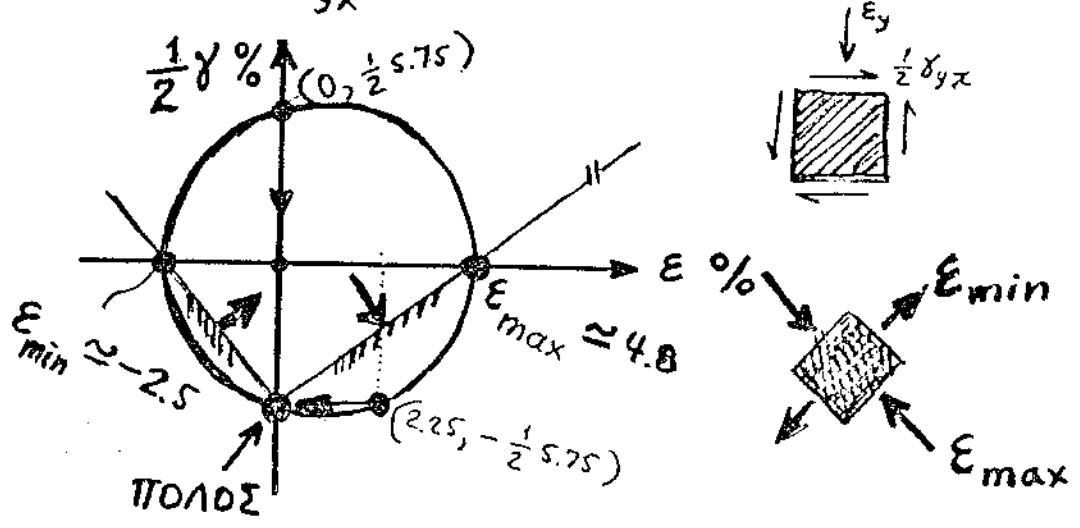
Ζητώ: τάση (αυτή), παραμορφώσεις, ϵ_{\max} , ϵ_{\min} και τις διευθύνσεις τους.



$$\gamma_{xy} = \frac{\delta_2}{a} = \frac{2.3}{40} = 0.0575 \quad (\eta \ 5.75\%)$$

$$\epsilon_y = \frac{\delta_1}{a} = \frac{0.9}{40} = 0.0225 \quad (\eta \ 2.25\%)$$

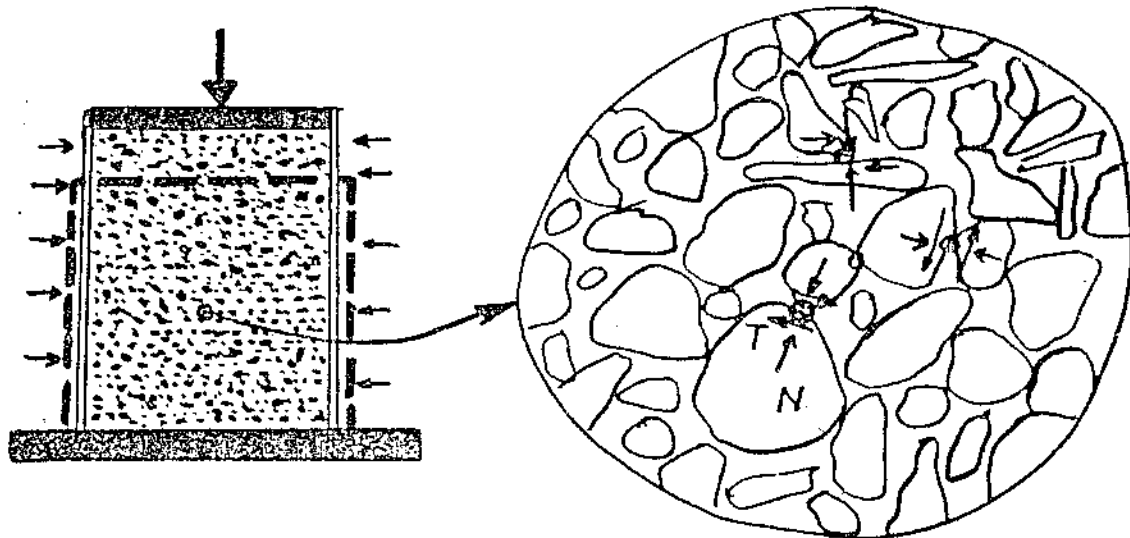
Επίσης $\epsilon_x = 0, \gamma_{yx} = 0.0575$



ΜΙΚΡΟΣΚΟΠΙΚΗ ΘΕΩΡΗΣΗ : Ο ΜΗΧΑΝΙΣΜΟΣ ΤΩΝ ΠΑΡΑΜΟΡΦΩΣΕΩΝ ΤΩΝ ΕΔΑΦΙΚΩΝ ΥΛΙΚΩΝ

Διαφορετικώς για κομμάδια (α) και αργιλώδη υλικά (β)

(α) κομμάδια

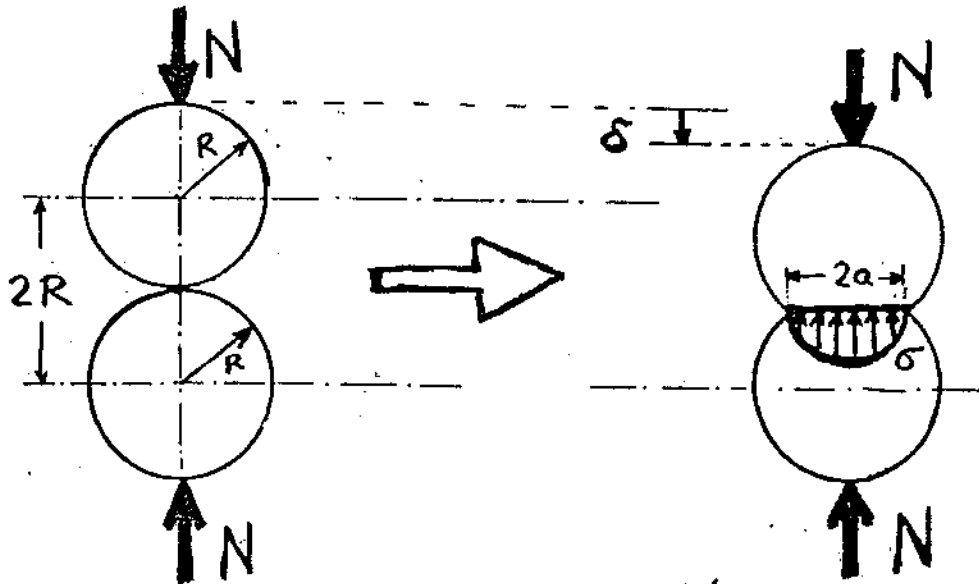


Η μετάδοση των τάσεων γίνεται αποκλειστικά μέσω δυνάμεων επαφής (T, N) μεταξύ των κόκκων. Οι δυνάμεις αυτές προμαχούν:

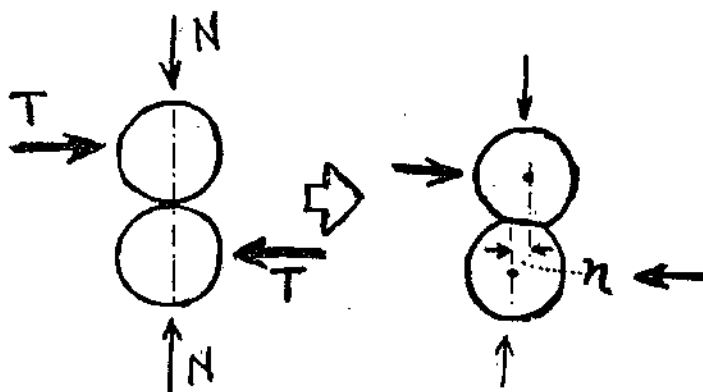
- (1) ελαστική η και πλαστική παραμόρφωση των (στερεών) κόκκων στην περιοχή των σημείων επαφής
- (2) ολίσθηση (ή και κύλιση) ενός κόκκου ως προς τον άλλο

(1) α. Ελαστική παραμόρφωση κόκκων

από μοντέλο : ισομεγέθεις ελαστικές σφαίρες



Hertz (1881) :
$$\delta = \frac{1}{2} \left\{ \frac{3(1-\nu)}{G} \right\}^{2/3} R^{-1/3} \cdot N^{2/3}$$

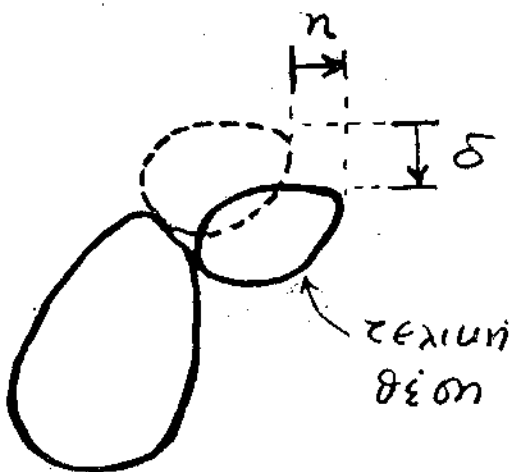


Mindlin (1949) :
$$\eta \propto \left[1 - \left(1 - \frac{T}{fN} \right)^{2/3} \right]$$

β. Ανελαστική παραμόρφωση κόκκων

Όταν η N είναι πολύ μεγάλη →
πλαστική παραμόρφωση ή και δρομματοποίηση
(θραύση) του υλικού στα σημεία επαφής

(2) Σχετιική ολίσθηση μεταξύ των κόκκων (όπου $T > f N$, όπου f = συντελεστής τριβής), συνοδευόμενη και από κάποια κύλιση (φαινόμενα μη αντιστρέψιμα)



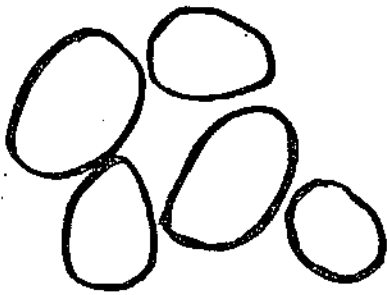
Η ύπαρξη κενών επιζέρει τέτοιου είδους ολισθήσεις (η και κύλιση)

Συμπέρασμα: η παραμόρφωση των κοκκωδών υλικών οφείλεται στον συνδυασμό "τοπικών" παραμορφώσεων των στερεών κόκκων (\rightarrow μείωση όγκου σφαιρικής φάσης) και σχετικών ολισθήσεων μεταξύ των κόκκων (\rightarrow μείωση όγκου κενών).

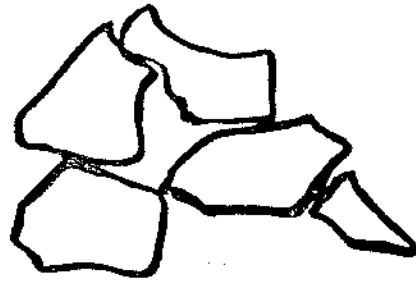
Η εμπειρία έχει δείξει ότι η δεύτερη αυτή συνιστώσα της ολικής παραμόρφωσης είναι (μαζά πολύ) "επουδαιότερη".

Ιδού μερικοί παράγοντες από τους οποίους εξαρτάται η παραμορφωσιμότητα των κομμάτων εδαφικών υλικών (ποιοτική θεώρηση):

(i) τὸ σχῆμα τῶν κομμάτων

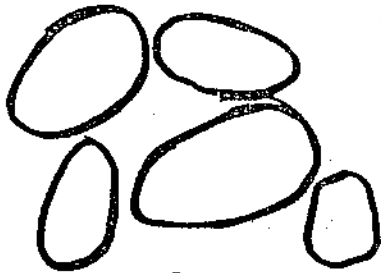


στρογγυλευμένοι κομμοί (ολισθήσεις εύσυχες)

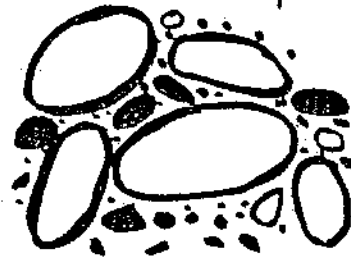


γωνιώδεις κομμοί (ολισθήσεις δυσκολεζόμενες)

(ii) ἡ κομμομετρικὴ σύνθεση - βαθμὴ ομοιομορφίας



$C_u \approx 2$



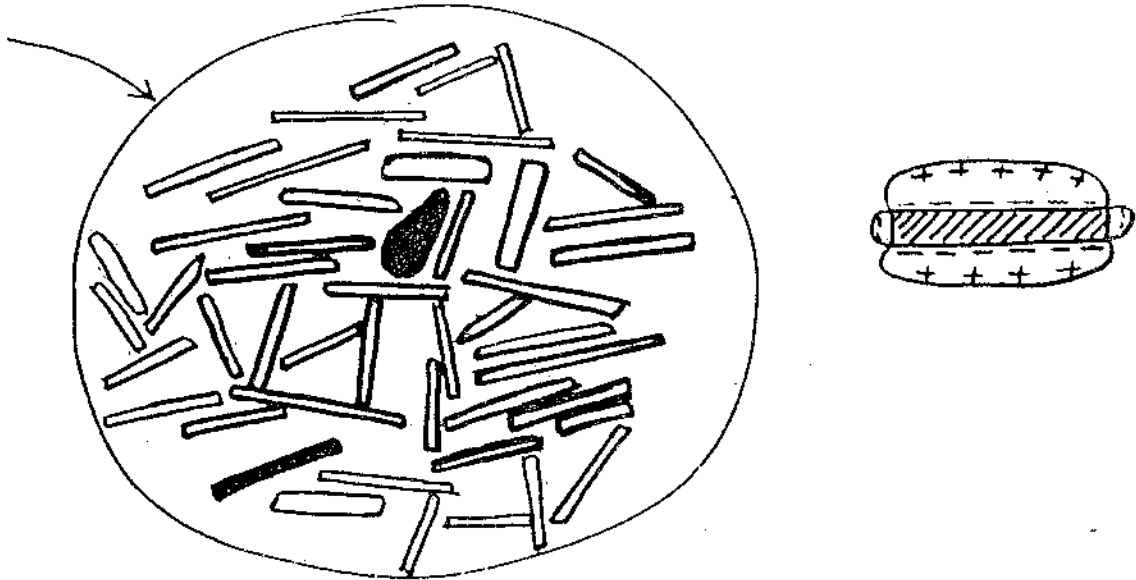
$C_u > 10$

(Ἡ ὑπαρξὴ ποικιλίας μεγεθῶν δυσχεραίνει τὴν ολισθίαν)

(iii) ἡ πνευρότητα τῆς δομῆς

Αύξηση τῆς $D_r \Rightarrow$ μείωση κενῶν καὶ αὐξηση τοῦ ἀριθμοῦ τῶν σημείων ἐπαφῆς \rightarrow καὶ οἱ ολισθήσεις καὶ οἱ ζονικὲς παραμ. μικραίνουν

(β) αρχιλώδη

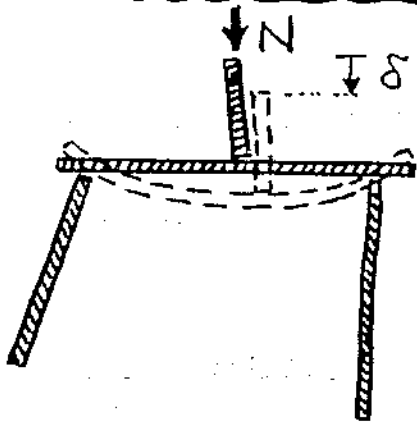


Η μετάδοση των ζώσεων μόνο εν μέρει γίνεται μέσω δύναμιν επαφής μεταξύ στερεών πλαυιδίων. Κυρίως γίνεται μέσω αυξομειώσεων των πλευροβλαστικών απωθήσεων και των μοριακής υφής ελκυστικών δυνάμεων.

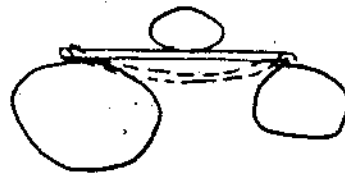
Οι παραμορφώσεις οφείλονται κυρίως:

- (1) σε **καμπτιές** (ελαστικές ή μη) παραμορφώσεις των πλαυιδίων
- (2) **διό πλυσίασμα** των // πλαυιδίων
- (3) **ότις αναδιάταξη** των πλαυιδίων και αλλαγή του μεταξύ τους προσανατολισμού

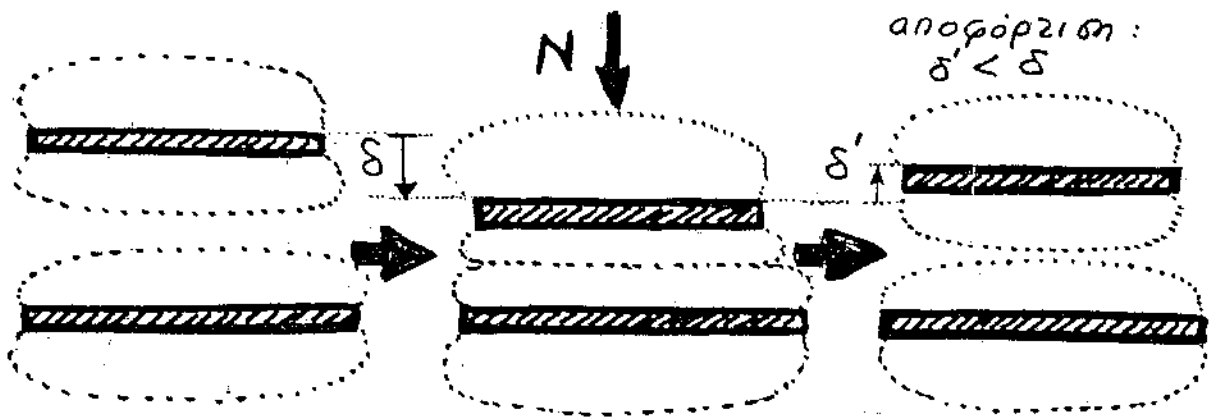
(1) Καμπυλιή παραμόρφωση



μικρής, γενικά, σημασίας
επιτός αν το υλικό
περιέχει και κόμικους
"ογκώδους" μορφής
(ακροαρθρώσεις)

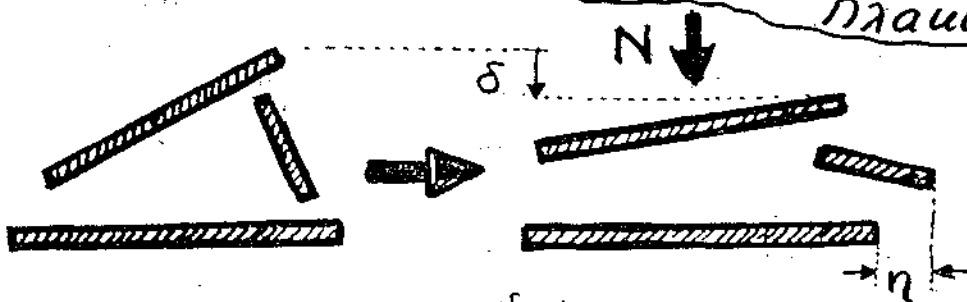


(2) Πλησίασμα παραλλήλων πλακιδίων



απομόρφωση:
 $\delta' < \delta$

(3) αναδιάταξη - αλλαγή κατεύθυνσης των πλακιδίων



και πάλι η απομόρφωση \rightarrow οδηγεί σε ελάχιστη ανύψωση των $\delta, \eta \dots$

Οι μηχανισμοί (2) και (3) είναι οι πιο σημαντικοί: ο (2) σε αρχικούς "διαταγμένους" δομής · ο (3) σε αρχική "δρομβοειδούς" δομής

Σημαντική παρατήρηση: παραμορφώσεις τ'ε τύπου (2) και (3) μπορούν να λάβουν χώραν και χωρίς την επίδραση επιβαλλόμενης N , αρκεί να μειωθεί (ή αυξηθεί) το πάχος του διπλού στρώματος! π.χ. ξήρανση \rightarrow συρρίκνωση του διπλού στρώματος \rightarrow μείωση όγκου... (και το αντίστροφο, φυσικά, ισχύει)

Είναι πραγματικά αδύνατη η περιγραφή της μηχανικής συμπεριφοράς μιας εδαφικής μάζας με βάση την γνώση του τρόπου παραμόρφωσης και μεγέθους τάσεων μεταξύ δύο κόμβων ή πλακιδίων (π.χ. 1cm^3 αμμου λεπτόκοκκης $\rightarrow \approx 5\,000\,000$ σημεία επαφής!)

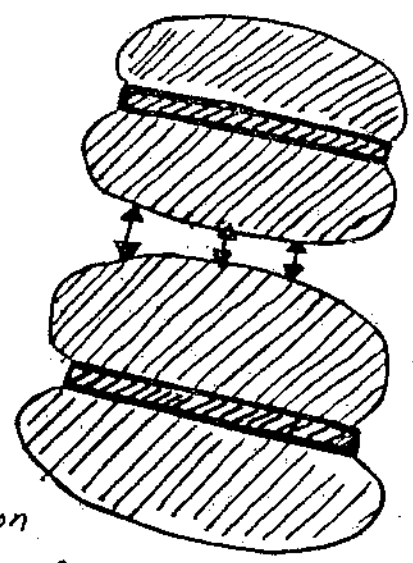
Αναγκαία λοιπόν η φαινομενολογική (μακροσκοπική, ολιστική) θεώρηση τόσο για τις "σ" όσο και για τις "ε".

Ο ΤΡΙΠΤΥΧΟΣ ΡΟΛΟΣ τῆς ΥΓΡΗΣ ΦΑΣΗΣ

1. "Χημική" αλληλεπίδραση:

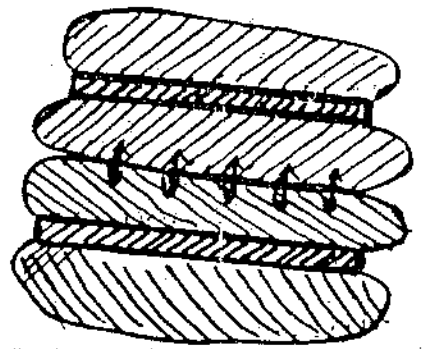
τὸ υγρὸ τῶν πόρων επηρεάζει τὸ διηλεκτ. στρώμα τῶν ἀργιλικῶν υλικῶν καὶ (κατὰ συνέπεια) ἔχει αποφασιστικὴ σημασία ὡς πρὸς τὸν τρόπο μετάδοσης τῶν δυνάμεων μεταξύ τῶν πλακιδίων

(α)



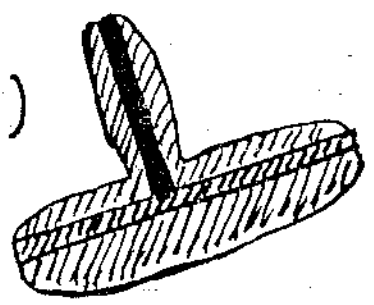
ἐλάττωσι
ὀποιασδήποτε ἐπαφῆς

(β)



ἐπιμέσση ἐπαφῆ μέσω
τῶν διηλεκτ. στρωμάτων

(γ)



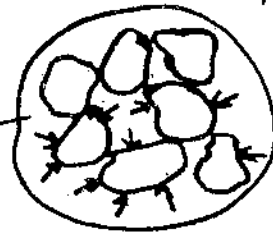
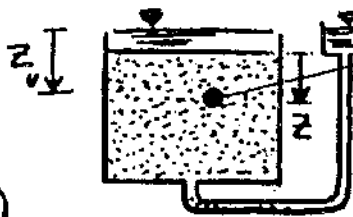
ἀμέσση ἐπαφῆ ἀργιλικῶν πλακιδίων

2. "Φυσιική" αλληλεπίδραση :

Το υγρό των πόρων μπορεί να ρέει διαμέσου του εδαφικού υλικού - έτσι αλληλεπιδρά με τον στερεό σκελετό : μεταβάλλει τις δυνάμεις στα "σημεία" επαφής των κόκκων και έτσι επηρεάζει τα μηχανικά χαρακτηριστικά ("συμπιεστότητα", "ανοχή") του υλικού

Παράδειγμα : ροή υδατος διαμέσου κορεσμένου αμμου
 Διακρίνουμε τρεις καταστάσεις, ανάλογα με την "ταχύτητα" ροής : (a) υδροστατική ισορροπία

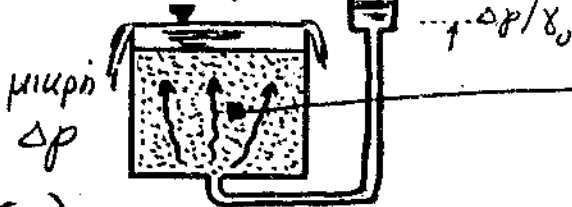
(a) υδροστατική ισορροπία



$$u = \rho_w g z$$

$$\bar{\sigma}_v = \bar{\rho} g z$$

(b) υδατική ροή



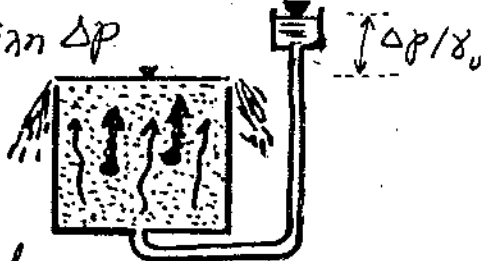
(b) υδατική διαρροή λόγω "μικρής" διαφοράς υψομετρικής στάθμης...



$F_\sigma =$ δύναμη διήθησης που αυξάνεται στην βαρύτητα

και επομένως μειώνει την $\bar{\sigma}_v$

(c) μεγάλη Δp

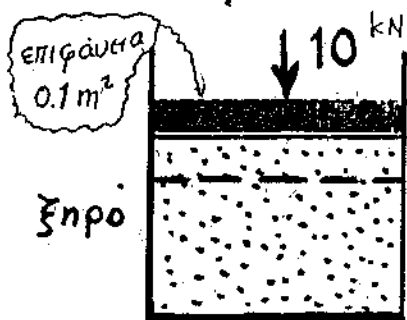


(c) Αν μέγιστα Δp φρειά μεγάλο και $\bar{\sigma}_v \rightarrow 0$ παύει να υπάρχει επαφή κόκκων με κόκκους. Έχουμε αλλιώς μίγμα < ρευστού + κόκκων

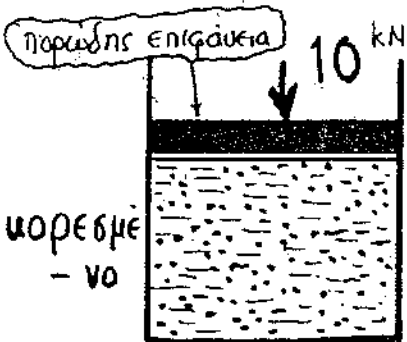
"ρευστοποίηση" - "υποσφαγή"

3. "Μηχανική" αλληλεπίδραση :

Κάθε φορτίο που επιβάλλεται σε μια κορεσμένη εδαφική μάζα παραλαβαίνεται τόσο από τον στερό σκελετό όσο και από το υγρό των πόρων. Τούτο συνεπάγεται την αύξηση της υδατικής πίεσης, η οποία αύξηση, με τη σειρά της, προκαλεί ροή (= "διαφυγή") του υγρού προς περιοχές μικρότερης πίεσης. Έτσι έχουμε συνεχή ανακατανομή του ποσού του φορτίου κάθε μιας φάσης και χρονική εξέλιξη των παραμορφώσεων της εδαφικής μάζας.



← 0.2 m { αμεταίεη
μεταίεη λόγω
παραμορφώσεων της
εδαφικής μάζας
(κυρίως : μείωση όγκου κενών)



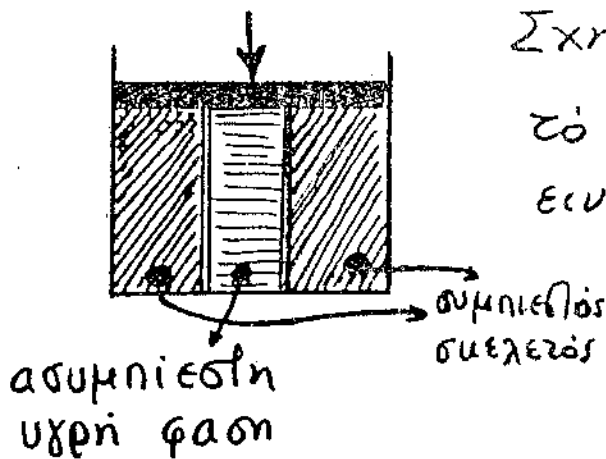
← αμεταίεη μεταίεη ≈ 0 !!
Διότι οι πόροι είναι γεμάτοι νερό
το οποίο είναι πραυτικά ασυμπίεστο →
→ δέν επιρέπει μείωση του όγκου...

Επομένως, ολόκληρο το φορτίο το αναλαμβάνει αποκλειστικά η υγρή φάση:

$$\Delta u = \gamma = 10 / 0.1 = 100 \frac{\text{kN/m}^2}{\text{kPa}}$$

ενώ ο στερεός σκελετός παραμένει αφορτιστός:

$$\Delta \bar{\sigma} = 0 \text{ kN/m}^2$$

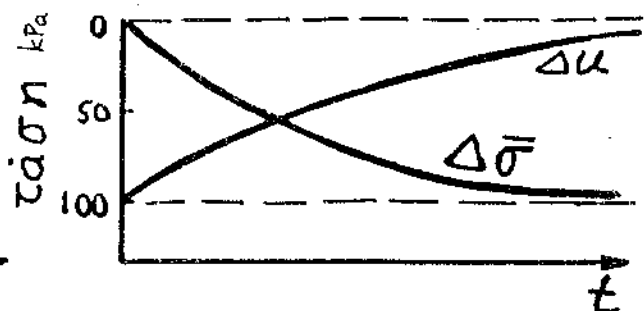
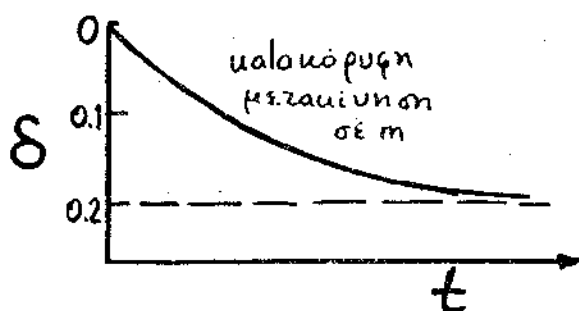


Σχηματική εξήγηση:

το φορτίο καθώς υακωύ είναι ανάλογο προς την δυσκαμψία του, D .

$$\frac{D_{\text{σκε.}} \approx 0}{D_{\text{υγρ}}} \rightarrow \Delta \bar{\sigma} = 0$$

Καθώς όμως το υγρό κινά στην επιφάνεια (μέ υπερίεση πάρορε $\Delta u = 100 \text{ kPa}$) βρουμεται σε επαφή με το πορώδες έμβολο, τείνει να "διαρύφει". Έτσι αρχίζει η ροή του υγρού μέσω της εδαφικής μάζας, μέχρις ότου $\Delta u = 0$ και $\Delta \bar{\sigma} = 100 \text{ kPa}$, παντού, σ' ολόκληρη την μάζα.



3.3

ΣΧΕΣΗ $\sigma - \varepsilon$ ΕΔΑΦΙΚΟΥ ΣΤΟΙΧΕΙΟΥ
ΥΠΟ ΔΙΑΦΟΡΕΣ ΕΝΤΑΤΙΚΕΣ ΚΑΤΑΣΤΑΣΕΙΣ

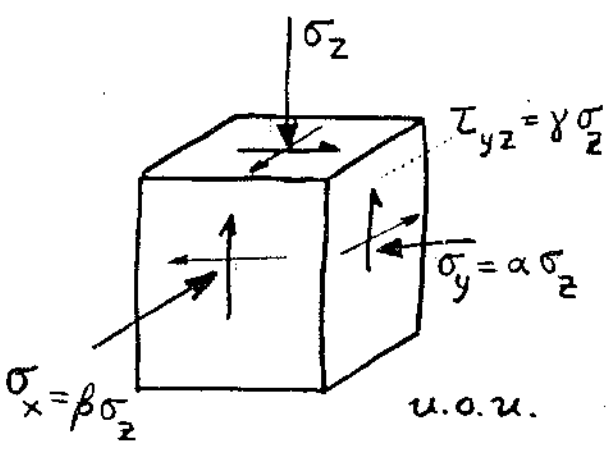
3.3 ΣΧΕΣΗ ΤΑΣΕΩΝ-ΠΑΡΑΜΟΡΦΩΣΕΩΝ

ΕΔΑΦΙΚΟΥ ΣΤΟΙΧΕΙΟΥ ΥΠΟ ΔΙΑΦΟΡΕΣ ΕΝΤΑΤΙΚΕΣ ΚΑΤΑΣΤΑΣΕΙΣ

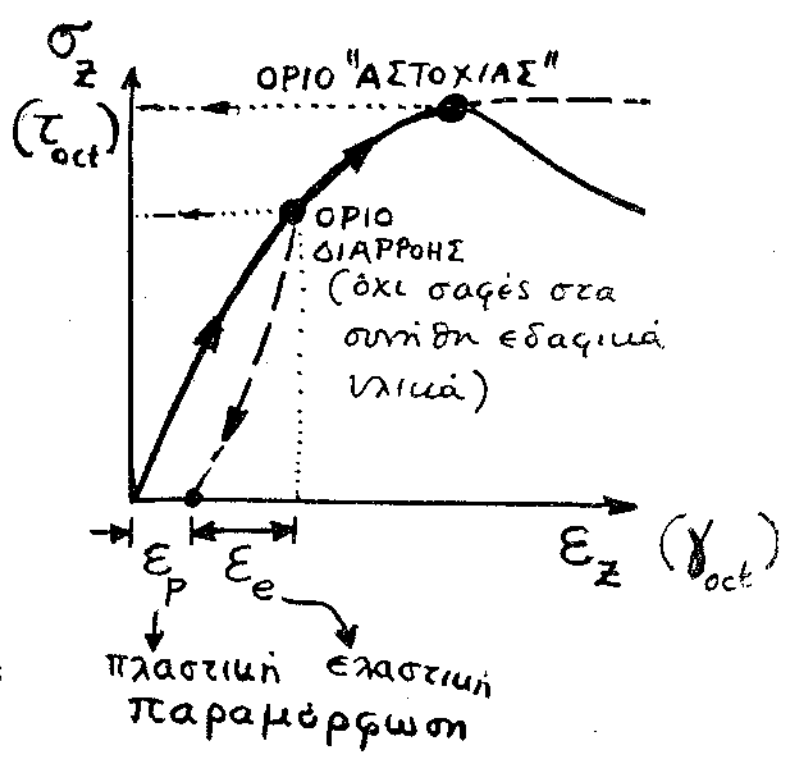
(ΜΗΧΑΝΙΚΗ ΣΥΜΠΕΡΙΦΟΡΑ ΕΔΑΦΙΚΩΝ ΣΤΟΙΧΕΩΝ)

Η ΕΞΕΥΡΕΣΗ τής ΣΥΣΧΕΤΙΣΗΣ τάσεων-αυτημ. παραμορφώσεων γίνεται μέσω κατάλληλων πειραματικών (εργαστηριακών) δοκιμών.

Το εδαφικό στοιχείο (δοκίμιο) υποβάλλεται σε ευαζιική κατάσταση όσο γίνεται παρόμοια μ' αυτήν που θα ^{του} επιβληθεί στη φύση. Παρακολουθούνται οι παραμορφώσεις που προκύπτουν και καταγράφεται η εξέλιξη των "ε" συναρτήσει των "σ".



$\alpha, \beta, \gamma, \dots = \text{σταθερές}$
 π.χ. απλή μονοαξονική τράψη:
 $\alpha = \beta = \gamma = \dots = 0$



Είναι όμως πραγματικώς αδύνατο να μελετήσουμε εργαστηριακά πολύ μεγάλο πλήθος εδαφικών στοιχείων υπό διάφορες "σ." Ούτε είναι δυνατόν μια εργαστηριακή συσκευή να είναι σε θέση να επιβάλλει όλους τους πιθανούς (θεωρητικώς άπειρους) συνδυασμούς τάσεων, όπως επιβάλλονται επί φύση.

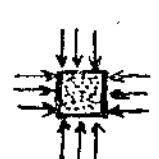
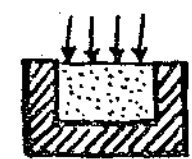
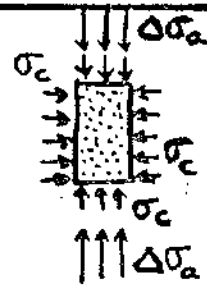
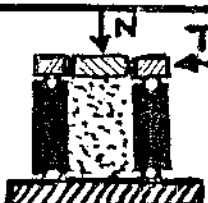
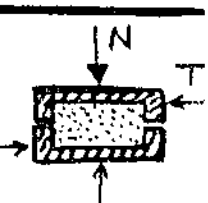


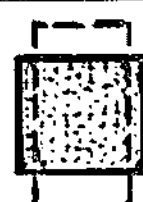



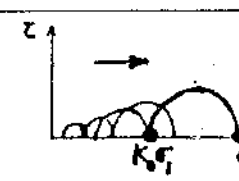
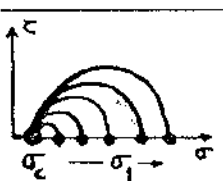
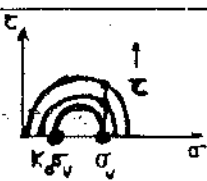
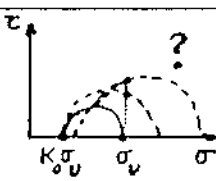
Γιαυτό, αρκούμαστε σε μερικά μόνον αλλά χαρακτηριστικιά - αυτηροσωθευτικιά - στοιχεία και τα υποβάλλουμε σε σχετικώς απλές αλλά χαρακτηριστικίες ενταξιές καλαστάσεις. Πού πάει να πεί, ενταξ. καλαστ. οι οποίες ναι μέν δεν είναι, ίσως, ακριβώς ίδιες με τις επιβαλλόμενες σε κανένα σημείο, είναι όμως κατὰ αδρή προσέγγιση παρόμοιες με τις επιβαλλόμενες σε μεγάλο πλήθος αυτηροσωθευτικιών ("κρίσιμων") στοιχείων.

Οι θεωρίες πλαστικότητας προσπαθούν να προβλέψουν την συμπεριφορά στοιχείου υπό την επίδραση οποιασδήποτε ενταξιής καλαστάσης, γνωρίζοντας μόνον την συμπεριφορά του σε μια-δυό απλές δοκιμές (π.χ. ^{διαζέση} μοναξονική θλίψη, κλπ.)

Οι συνθετέρες δοκιμές της εδαφομη/μίας

Μπορεί να ταξινομηθούν σε δύο κατηγορίες:

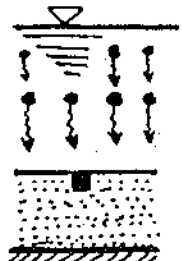
- (α) δοκιμές που επιβάλλουν κυρίως **ογκομετρικές** παραμορφώσεις (μεγαλύτερες όγκου κυρίως και λιγότερο μεταβολές σχήματος)
- (β) δοκιμές που επιβάλλουν κυρίως **διατμητικές** παραμορφώσεις

ΔΟΚΙΜΗ	ΙΣΟΤΡΟΠΗ (ΥΔΡΟΣΤΑΤΙΚΗ) ΣΥΜΠΙΕΣΗ	ΜΟΝΟΑΞΙΑΤΗ ΣΥΜΠΙΕΣΗ (ΠΛΕΥΡΙΚΗ $\epsilon = 0$)	ΚΥΛΙΝΔΡΙΚΗ ΤΡΙΑΞΟΝΙΚΗ ΣΥΜΠΙΕΣΗ	ΑΠΛΗ ΔΙΑΤΜΗΣΗ	ΑΠΕΥΘΕΙΑΣ ΔΙΑΤΜΗΣΗ
ΕΠΙΒΑΛΛΟΜΕΝΗ ΕΝΤΑΤΙΚΗ ΚΑΤΑΣΤΑΣΗ	 $\sigma_1 = \sigma_2 = \sigma_3$	 $\sigma_1 = \sigma_v$ $\epsilon_2 = \epsilon_3 = 0$ $\sigma_h = \sigma_2 = K_0 \sigma_1$	 $\sigma_1 = \sigma_c + \Delta\sigma_a$ $\sigma_2 = \sigma_3 = \sigma_c$	 <p>$N = \text{σταθερή}$</p> <p>$T \uparrow$</p>	 <p>$N = \text{σταθερή}$</p> <p>$T \uparrow$</p>
ΤΡΟΠΟΣ ΠΑΡΑΜΟΡΦΩΣΗΣ					
ΔΙΑΔΟΧΙΚΟΙ ΚΥΚΛΟΙ ΜΟΗΡ	 	  			
ΚΑΤΗΓΟΡΙΑ	"ογκομετρικές"		"διατμητικές"		
ΣΥΚΝΟΤΗΤΑ ΧΡΗΣΗΣ	συνήθης*	συνθετέστατη	συνθετέστατη	επίπνια	συνήθης

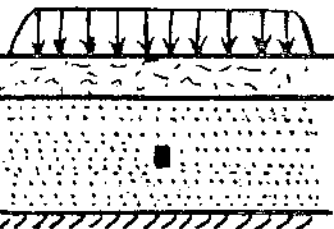
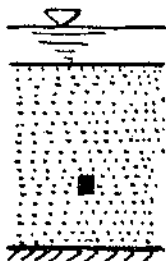
* ως μέρος της ωλυδρικής τριαξονικής συμπίεσης

↑ μαδαρίως διατμητική (θεωρητικά ζουλάχιου)

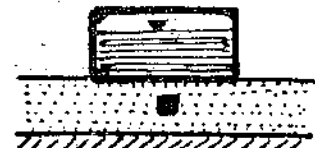
Γεωτεχνικά προβλήματα/εφαρμογές με τις
αντίστοιχες εργαστηριακές δοκιμές



Σχηματισμός εδαφικής αποθέσεως



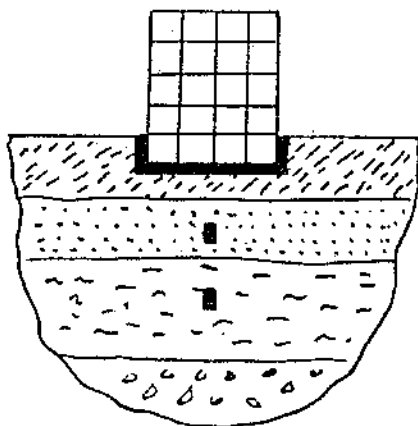
Ομοιόμορρη επιφόρτιση μεγάλης έντασης



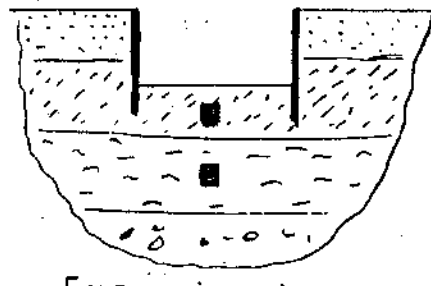
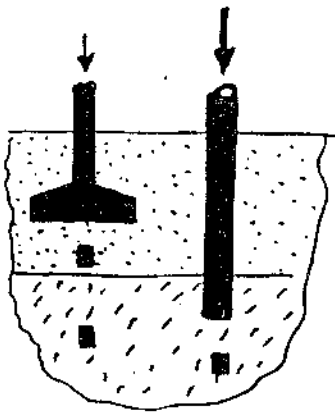
Θεμελίωση επί αβαθού εδαφικού στρώματος επί βράχου



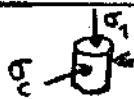
Μονοδιάστατη συμπίεση ($\epsilon_y = 0$)



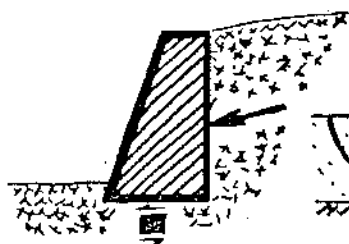
Θεμελίωση κυκλικής ή τετραγωνικής κάσωσης



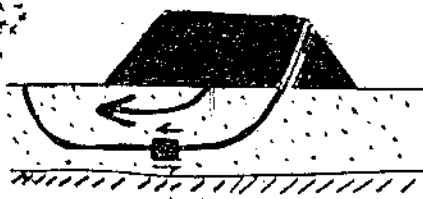
Ευσταθή περίσφιξη τετραγωνικής κάσωσης



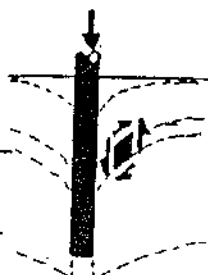
Αξονοσυμμετρική τριαξονική φόρτιση



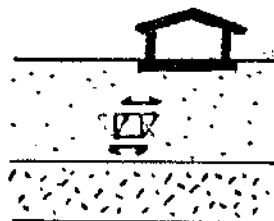
Έλεγχος ολισθήσεως τοίχου αντιστήριξης



Ευστάθεια αναχώμας επί μαλακής άρτισης



Καθίζηση "αίωρούμενης" πασσάλου

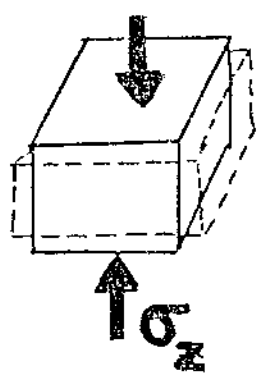


Σεισμική διέγερση, μαζοκύρμα διατηρητικά υώματα

ή Ανευθείας, ή απλή διάγνωση

ΥΠΕΝΘΥΜΙΣΗ ΑΠ' ΤΗΝ ΜΗΧΑΝΙΚΗ

Ελαστικές γραμμικές σχέσεις τάσεων- παραμορφώσεων ισοζυγίου υλικού:



ΜΟΝΟ-ΑΞΟΝΙΑΚΗ ΦΟΡΤΙΣΗ:

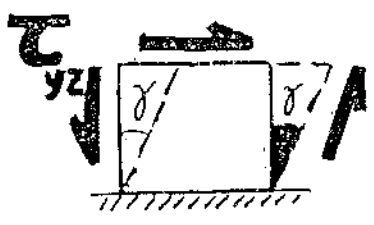
$$\epsilon_z = -\frac{\Delta l}{l} \sim -\frac{du_x}{dx}$$

$$E = \frac{\sigma_z}{\epsilon_z}$$

Μέτρο Young

$$\nu = -\frac{\epsilon_y}{\epsilon_z}$$

Λόγος Poisson



$$\gamma_{yz} = \frac{\tau_{yz}}{G}$$

Μέτρο Διαρμήςσεως

$$\gamma_{yz} = \Delta(\gamma\omega\nu\iota\alpha\varsigma) \sim \left(\frac{\partial u_y}{\partial z} + \frac{\partial u_z}{\partial y} \right)$$

Καταστασιικές σχέσεις

$$\epsilon_x = \sigma_x / E - \nu \cdot \sigma_y / E - \nu \cdot \sigma_z / E$$

$$\epsilon_y = \sigma_y / E - \nu \cdot \sigma_x / E - \nu \cdot \sigma_z / E$$

.....

$$\gamma_{yz} = \tau_{yz} / G$$

$$G = \frac{E}{2(1+\nu)}$$

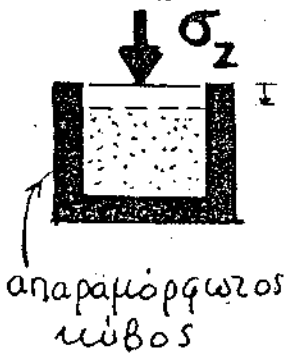
Νά υπολογισθεί η αυηγ. διόγκωση $\epsilon_{vol} \equiv \frac{\Delta V}{V}$

$$\frac{\Delta V}{V} \approx \epsilon_x + \epsilon_y + \epsilon_z = \left[\sigma_x / E - \nu(\sigma_y + \sigma_z) / E \right] + \left[\sigma_y / E - \nu(\sigma_x + \sigma_z) / E \right] + \left[\sigma_z / E - \nu(\sigma_x + \sigma_y) / E \right] = (1-2\nu)(\sigma_x + \sigma_y + \sigma_z) / E$$

Παρατηρώ: Εάν $\nu = 0.5$ τότε $\Delta V \equiv 0$ για κάθε επιβαλλόμενη ενταξιική κατάσταση. δηλ. τό

υγικό αυτό είναι ασυμπιεστο. Τέ-
τοιο εδαφικό υγικό είναι η κορεσμένη
άρχιλος όταν υποβάλλεται σε φόρτιση
“χωρίς στράγγιση”. λόγω σχετικής
ασυμπιεστότητας της υδατικής φάσης
 $\Delta V \equiv 0$ για κάθε επιβαλλόμενη επιπόνηση.
Επομένως, για ένα τέτοιο εδαφικό υγικό: $\nu = 0.50$

**Μονοδιάστατη (= πλευρικά περιορισμένη)
συμπίεση**



Ζητούνται: $\epsilon = ?$ και $\sigma_y, \sigma_x = ?$

$$\epsilon_x = \epsilon_y = 0 \text{ και } \sigma_x = \sigma_y$$

$$\sigma_x - \nu \sigma_y - \nu \sigma_z = 0 \therefore$$

$$\sigma_y = \sigma_x = \left(\frac{\nu}{1-\nu} \right) \sigma_z$$

\downarrow
 K_0

$$\epsilon_z = \frac{\sigma_z}{E} - 2\nu \frac{\sigma_x}{E}$$

$$= \frac{1}{E} \sigma_z \left[1 - 2\nu \frac{\nu}{1-\nu} \right] = \sigma_z \left(\frac{1}{E} \frac{(1+\nu)(1-2\nu)}{(1-\nu)} \right)$$

ελαστικό μέτρο

μονοδιάστατης συμπίεσης:

$$\downarrow$$

$$\frac{1}{D}$$

$$D_s = \frac{E(1-\nu)}{(1+\nu)(1-2\nu)}$$

} προσέξτε πως όταν
 $\nu = 0.5 \therefore D_s = \infty$ και $\epsilon_z = 0$

ΠΟΙΟΤΙΚΗ ΕΡΜΗΝΕΙΑ ΤΗΣ ΜΟΡΦΗΣ ΤΗΣ
ΚΑΜΠΥΛΗΣ " $\sigma_V - \epsilon_V$ " ΜΕ ΒΑΣΗ ΤΗΝ ΚΑΤΑΝΟΗΣΗ
ΤΗΣ ΜΙΚΡΟΣΚΟΠΙΚΗΣ ΣΥΜΠΕΡΙΦΟΡΑΣ ΤΩΝ ΚΟΚΚΩΝ

- **Περιοχή Α** : συμπεριφορά **σκληρυνσης**,
δηλ. η άμμος γίνεται προοδευτικά όλο και πιο
"δύσκαμπη", καθώς μεγαλώνει η σ_V . Αυτό
όμως είναι απόλυτα φυσικό, σχεδόν προφανές:
Οι ϵ_V είναι αποτέλεσμα, κυρίως, ολισθητικών
μεταξύ των κόκκων και μείωσης των
κενών (πόρων). [Μάλιστα: $\epsilon_V = \frac{-\Delta e}{1+e_0}$]

Επομένως, αύξηση των ϵ_V κάνει το υλικό
πυκνότερο, άρα δυσκολώτερα παραμορφώ-
σιμο.

Τελικά, όταν $\sigma_V \simeq (30 + 40) \text{ MPa}$ η καμπύλη
γίνεται σχεδόν κατακόρυφη: ελάχιστη πια
συμπύκνωση είναι δυνατή με πρόσθετη $\Delta\sigma_V$

- **Περιοχή Β** : συμπεριφορά **χαλάρωσης**,
δηλ. η άμμος γίνεται προοδευτικά όλο και πιο
"εύκαμπη", καθώς μεγαλώνει η σ_V ("διαρροί-
ση πρώτα της πλαστικότητας"). Γιατί, όμως;
Καθώς ελάχιστες ολισθητικές συμβαίνουν αρχικά

σ' αυξήν τή φάση, αύξηση τής $\sigma_v \rightarrow$
αύξηση τών N στα σημεία επαφής τών
κόμικων. Τούτο οδηγεί σε πλαστικές
τοπιές παραμορφώσεις και θραύσεις
(θρυμματισμούς).

Παραμορφώσεις ϵ_v αρχίζουν έτσι να "καταγρά-
φονται" και πάλι, καθώς μεγαλώνει η σ_v .
Επί πλέον, όμως, καθώς έχουν πια
δημιουργηθεί νέοι λεπτοί κόμικοι (άλλαξε
η κομομετρική διαβάθμιση) λόγω τών
θραύσεων, είναι ξανά δυνατή η μείωση
του όγκου τών κενών (πόρων): οι
λεπτοί κόμικοι ολισθαίνουν στα ευδιά-
μεσα κενά τών χοντρότερων κόμικων



Τελικά, όταν $\sigma_v \simeq 60 \text{ MPa}$ ^{οι} διεπιφάνειες
επαφής τών κόμικων έχουν: (1) αυξηθεί
σε αριθμό \rightarrow ^{οι} N μικρόναυ και (2) αυξηθεί
σε έκταση, δηλ.^{οι} α μεγαλώσαν. Επομένως,

οι μέσες διαβιβαζόμενες ορθές τάσεις

$$\sigma = \frac{N}{a} \text{ μικραίνουν και παύουν να}$$

προκαλούν νέες θραύσεις

- ΠΕΡΙΟΧΗ Γ : συμπεριφορά συλληρυνσης και παλι. Ουσιαστικά έχουμε μια επανάληψη των φαινομένων που "είδαμε" στην φάση Α. Μια που οι θραύσεις έχουν πια κατασιγάσει, οι ϵ_v οφείλονται μόνο σε ολισθήσεις και μείωση των πόρων — αποτέλεσμα των οποίων είναι η συλληρυνση του υλικού.

Επειδή πολύ σπάνια στην πράξη έχουμε $\sigma > 5 \text{ MN/m}^2$, συνήθως μόνου ο κλάδος

Α μας ενδιαφέρει. Εξαιρέσεις: οι τάσεις

στην βάση και στη θεμελίωση υψηλών χωματι-
νων γραμμών μπορεί να ξεπεράσουν τις
οριακές τάσεις των υλικών, του κλάδου Α.

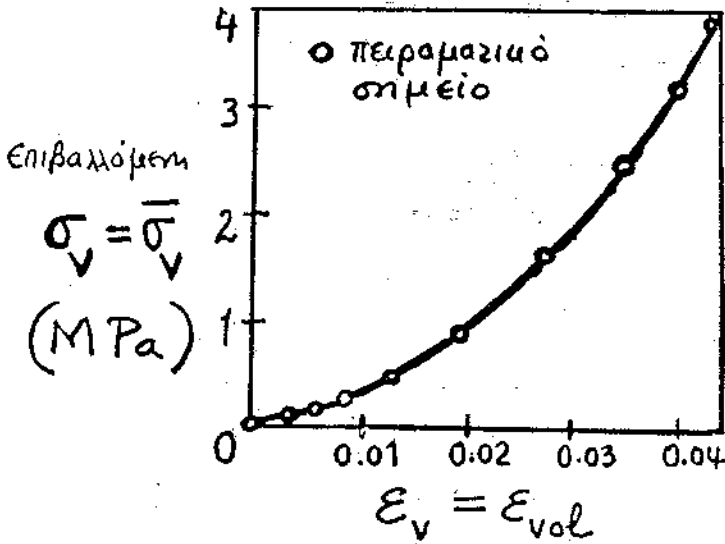
Στην περιοχή Β είναι επίσης εύκολο να φθάσουμε
σε ομοιόμορφη λιθορριπή με κόκκους μεγάλου μεγέθους.

Ερώτηση για τους σπουδαστές:

Συμπιέζω δύο δοκίμια, (X) και (Y), των οποίων τα υλικά είναι άμμοι της ίδιας ομοιομορφίας και της ίδιας (αρχικής) σχετικής πυκνότητας, D_r . Η μόνη τους διαφορά: η μέση "διάμετρος", d_{50} , της άμμου (X) είναι 0.1 mm, ενώ της (Y) είναι 1 mm. Εάν η οριακή τάση πέρα από την οποία αρχίζει ο υλάδος "B" (συμπεριφορά χαλάρωσης) είναι περίπου ίση με 10 MPa για την άμμο (Y), μπορείτε να ευζιμηήσετε (μαζά αβρή προσέγγιση, φυσικά) την αναμενόμενη οριακή τάση για την άμμο (X);

(Τουλάχιστον να βρεθεί αν είναι μεγαλύτερη, μικρότερη ή ίση με 10 MPa)

Συμμετρώνουμε την προσοχή μας τώρα στο υλικό "Α"....



Πρόκειται για σαφώς μη γραμμική σχέση " $\bar{\sigma}_v - \epsilon_v$ ".

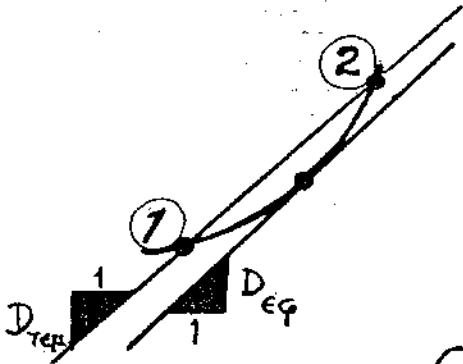
Παρόλ' αυτά θα μπορούσαμε να ορίσουμε ένα "μέτρο"

$$D_{εφ} = \frac{d\bar{\sigma}_v}{d\epsilon_v}$$

(εφαπτομενικό)

$$D_{τεμ} = \frac{\Delta \bar{\sigma}_v}{\Delta \epsilon_v}$$

(τέμνου)



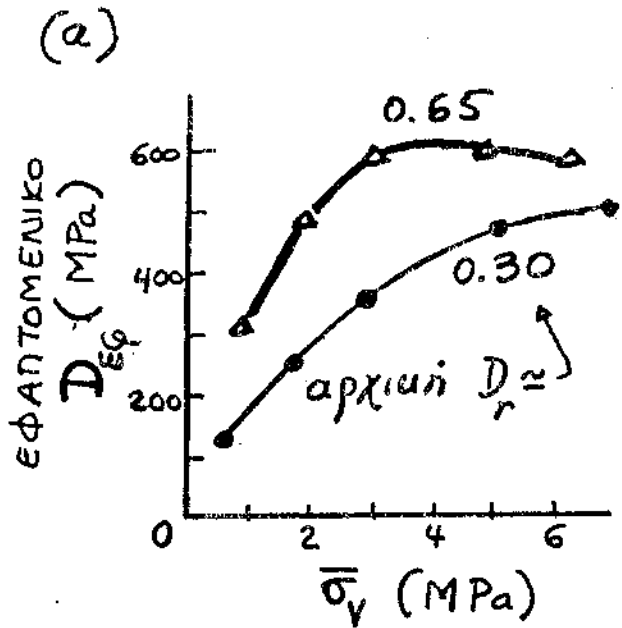
$D_S =$ μέτρο πλευρική περιορισμένης (1-διάστατης) συμπίεσης.
 ή και μέτρο συμπίεσης

Για μικρές μεταβολές των τάσεων, π.χ. στο διάστημα ①-②,

η σχέση " $\bar{\sigma}_v - \epsilon_v$ " μπορεί να ληφθεί ως γ γραμμική με μέτρο ίσο με D_S ($D_{εφ}$ ή $D_{τεμ}$)

Φυσικά, για ένα άλλο διάστημα τάσεων θα έχουμε διαφορετικό μέτρο D_S . Γενικά θα μπορούσαμε να πούμε: $D_S = D_S(\bar{\sigma}_v)$ ή $D_S(\epsilon_v)$

Παραδείγματα :

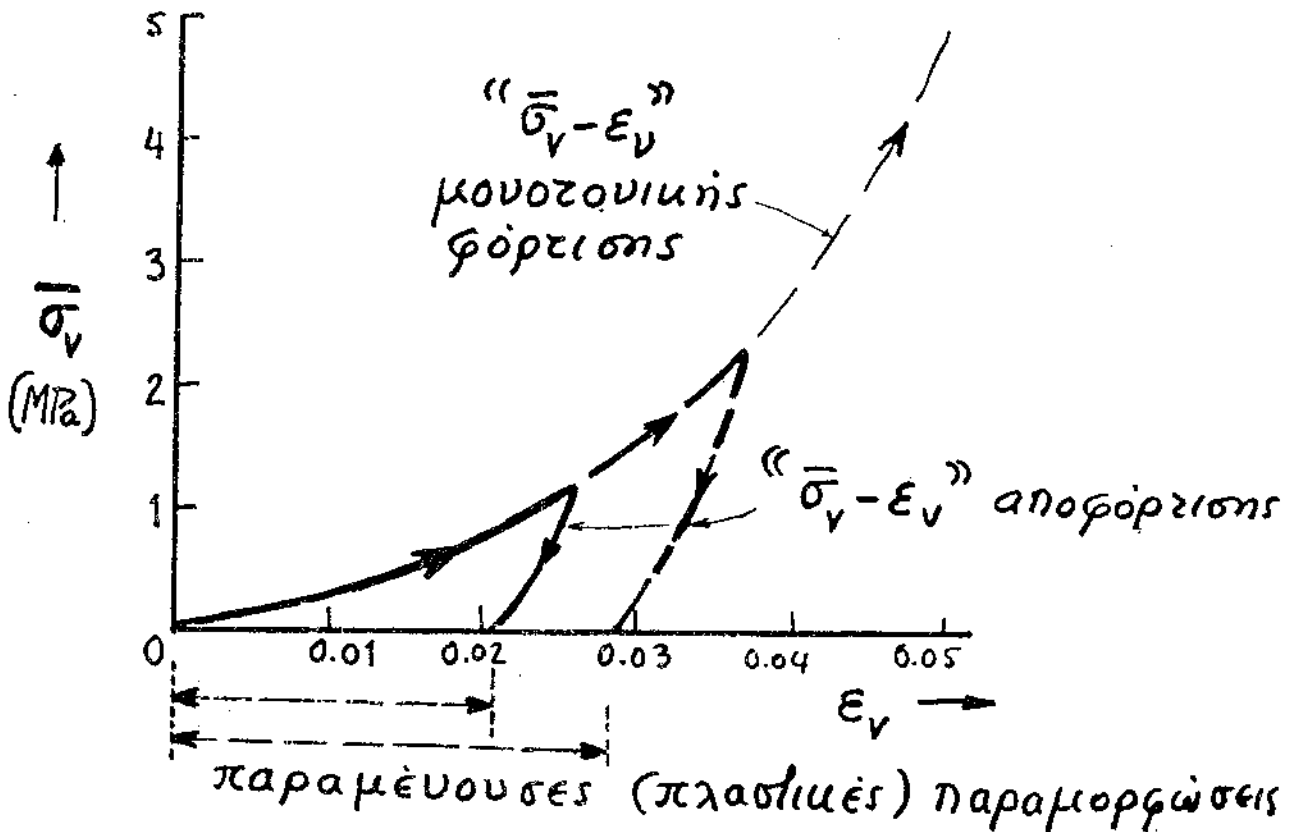


(b)

εδαφινό υλικό	σχ. ανα. D_r	$D_s \equiv D_{\text{πεμ.}}$ για $\Delta\sigma_v$ από	
		60-100 (kPa)	200-500 (kPa)
χάλκιες (2mm-5mm)	0	30.	60.
	100	120.	180.
λεπτή αμμος (0.07-0.3mm)	0	15	35.
	100	50	120.

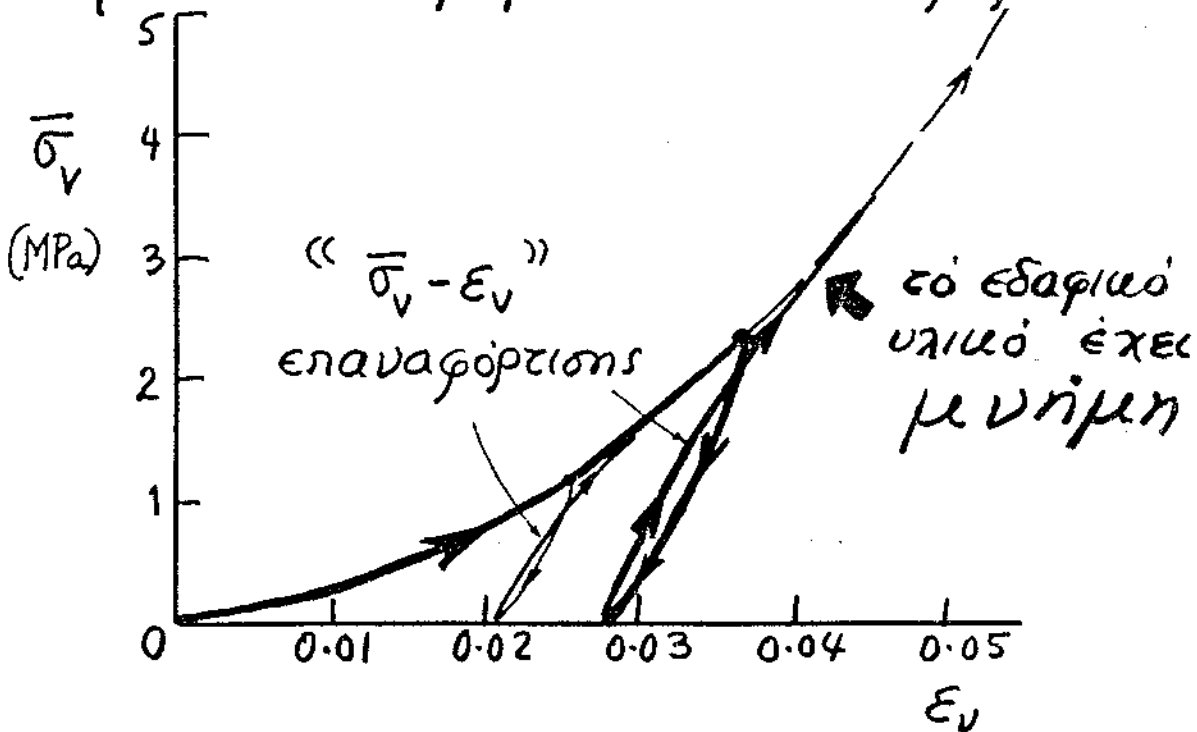
MPa MPa

Ελαστική ή ανελαστική συμπεριφορά;
 → φόρτιση - αποφόρτιση



Η εξήγηση είναι απεξαιρητά απλή: οι ολισθήσεις μεταξύ κόκκων που έλαβαν χώρο κατά την φόρτιση είναι, προφανώς, φαινόμενα μη αντιστρεπτά. Δεν είναι δυνατόν ποτέ οι κόκκοι να ξαναβρεθούν στην αρχική τους θέση και να αναυξηθεί έτσι ο αρχικός σχισμός ($\rightarrow e_0$) του δομείου.

Φόρτιση - αποφόρτιση - επαναφόρτιση:



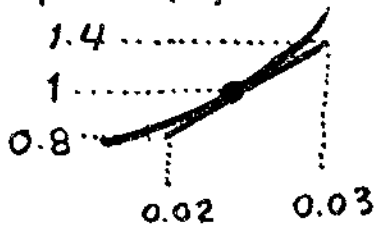
Κατά την επαναφόρτιση:

(i) για $\bar{\sigma}_v < \bar{\sigma}_{v,max}$ της αρχικής φόρτισης

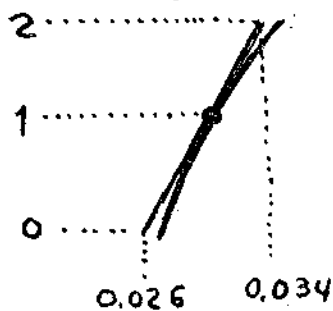
η αμμος είναι πολύ πιο δύσκαμπτη απ' ότι κατά

την αρχική φόρτιση. Π.χ. για $\bar{\sigma}_v \approx 1 \text{ MPa}$
τα εφαρμοσμένα μέτρα των δύο σεβασών είναι:

• αρχική φόρτιση : $D_{εφ} \approx \frac{1.4 - 0.8}{0.03 - 0.02} = 60 \text{ MPa}$



• επαναφόρτιση : $D_{εφ} \approx \frac{2 - 1}{0.034 - 0.026} = 125 \text{ MPa}$

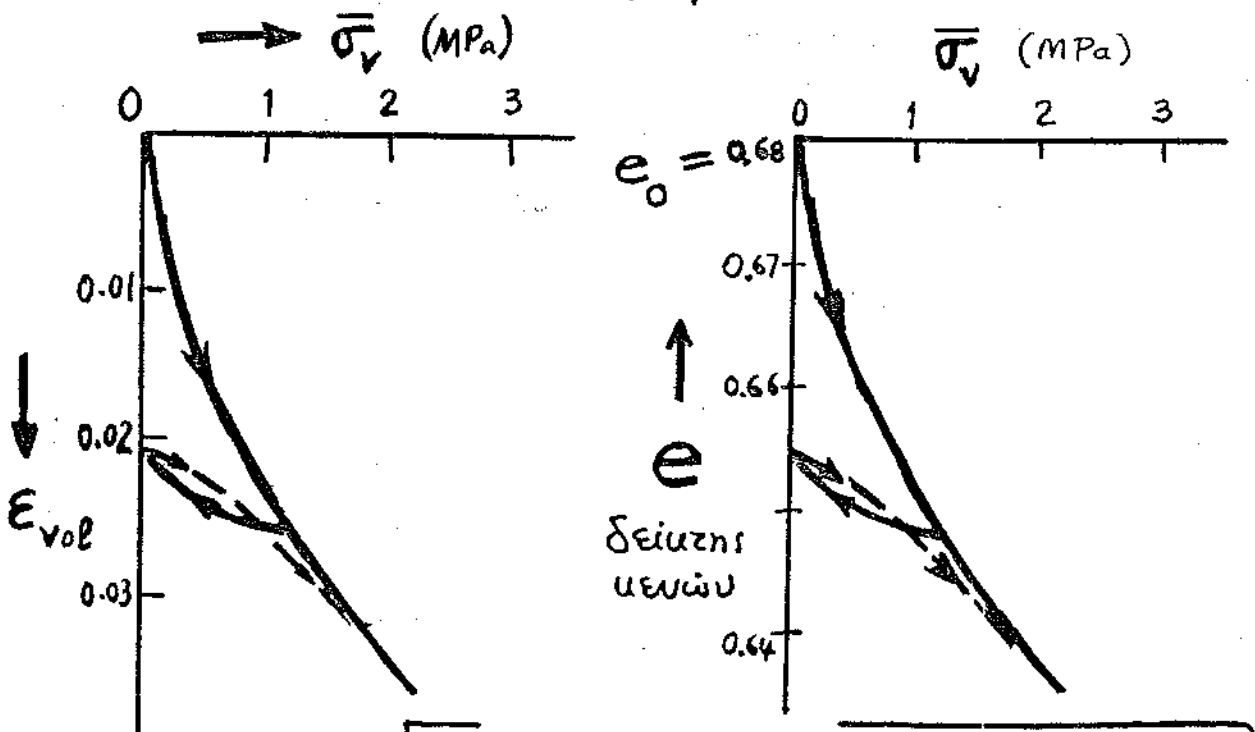


Η εξήγηση είναι απλή: οι περισσότερες
κιδανές ολισθήσεις έχουν ήδη πραγμα-
τοποιηθεί με την αρχική φόρτιση
(και πραγματικά δεν επηρεάζονται από την
αποφόρτιση)....

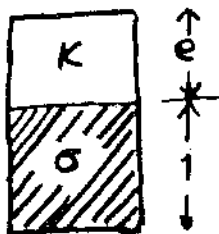
(ii) για $\bar{\sigma}_v > \bar{\sigma}_{v, \max}$ της αρχικής φόρτισης

νέες ολισθήσεις αρχίζουν να λαβαίνουν
χώρα, εάν να μην είχε γίνει η
αποφόρτιση...

Εναλλακτικοί τρόποι παρουσίασης των αποτελεσμάτων μονοδιάστατης συμπίεσης στην βιβλιογραφία



$$e = e_0 + \Delta e = e_0 - \epsilon_{vol} (1 + e_0)$$



δίδου:

$$\Delta V = -\Delta e \rightarrow \frac{\Delta V}{V} = -\frac{\Delta e}{1+e} \rightarrow$$

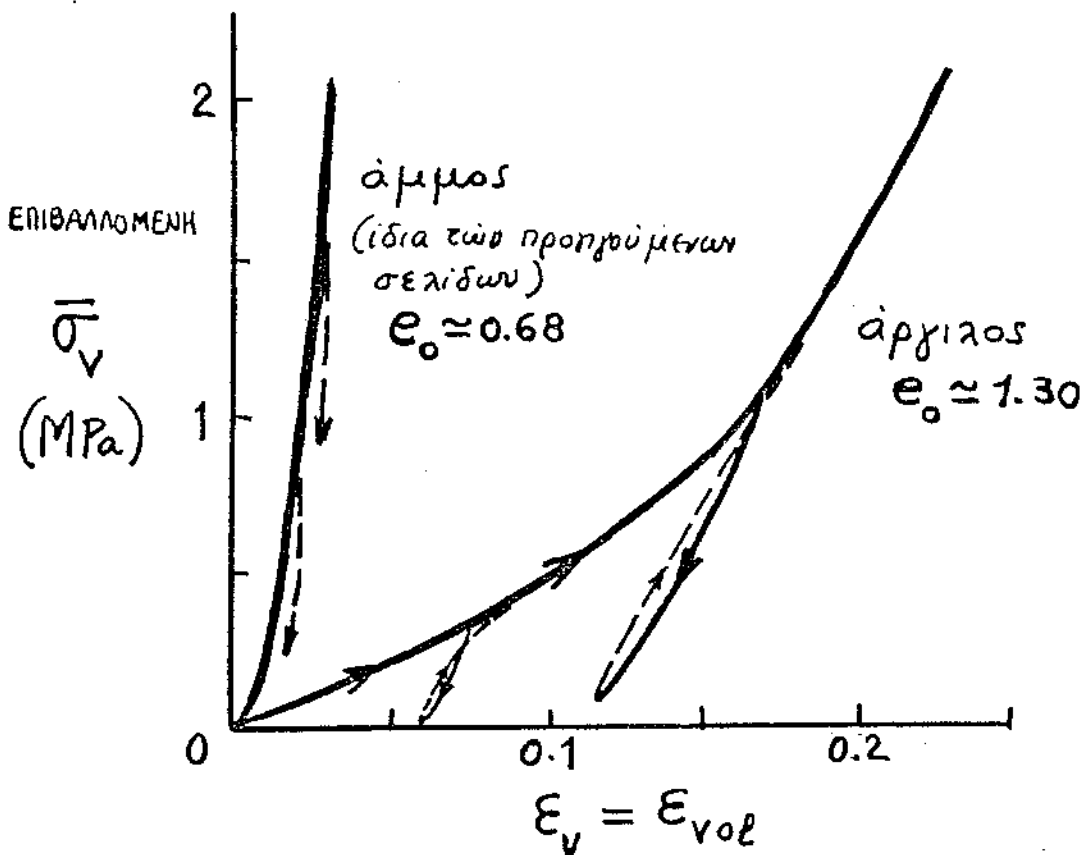
$$\rightarrow \epsilon_{vol} = -\frac{\Delta e}{1+e}$$

Προφανώς, οι παραπάνω τρόποι "γραφής" είναι εντελώς ισοδύναμοι μεταξύ τους

(b) Τυπική συμπεριφορά αργιλωδους υαλιου

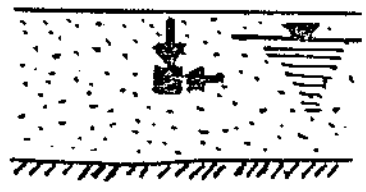
Ποιοτικώς παρόμοια με της άμμου, αλλά χωρίς κλάδο τύπου "B" (προοδευτικής χαλάρωσης). Οι τμητικές παραμορφώσεις (ελαστικές και μη) είναι κυρίως "αμνησιτικές" και δεν παρατηρούνται δραστικές σε σημαντική κλίμακα, όπως γίνεται στις άμμου...

Η σπουδαιότερη όμως διαφορά βρίσκεται στην συμπίεσιότητα αργίλων - άμμου

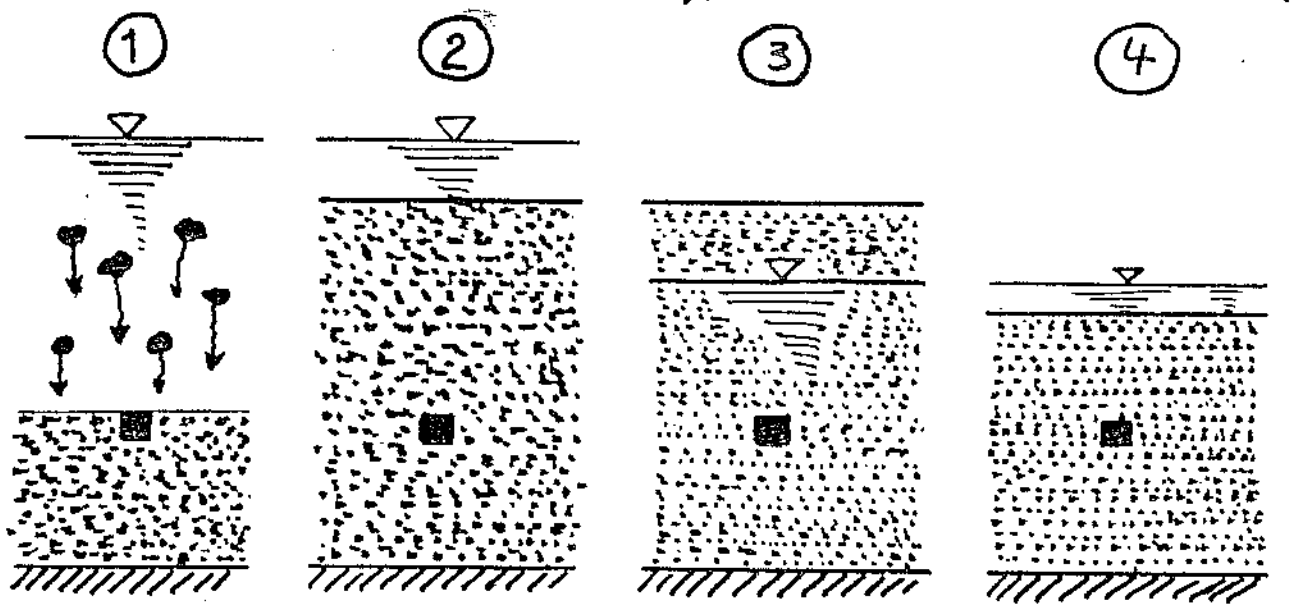


Η κατά πολύ μεγαλύτερη συμπίεσιότητα τών αργίλων οφείλεται στον μεγαλύτερο όγκο πόρων που συνίσταει τις χαρακτηρίζει...

ΕΦΑΡΜΟΓΗ: ΣΧΗΜΑΤΙΣΜΟΣ ΕΔΑΦΙΚΗΣ ΑΠΟΘΕΣΕΩΣ



Είναι εξαιρετικά χρήσιμη η σπουδή της ισορροπίας εφέλιξης τών τάσεων και παραμορφώσεων ενός στοιχείου μιας εδαφικής μάζας, ξεκινώντας απ' την στιγμή της εναπόθεσης τού στοιχείου.

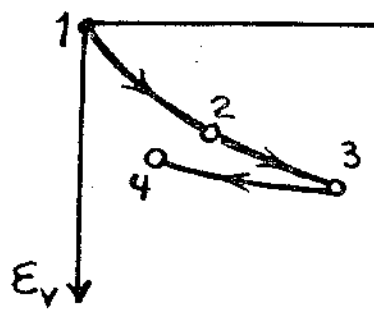
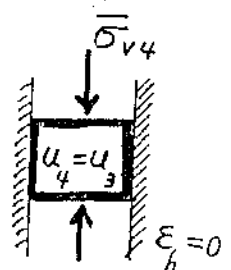
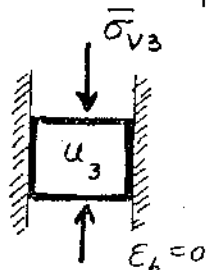
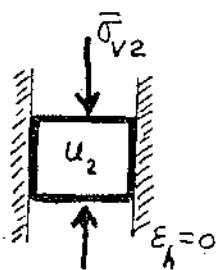
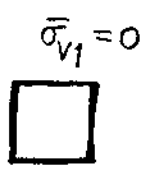


αρχή σχηματισμού

πέρας σχηματισμού

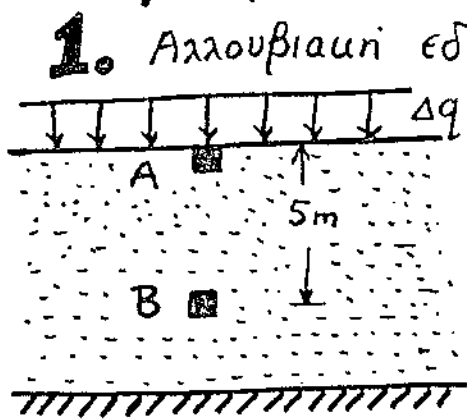
πτώση υδατικής στάθμης

διαβρωση-αποσάθρωση



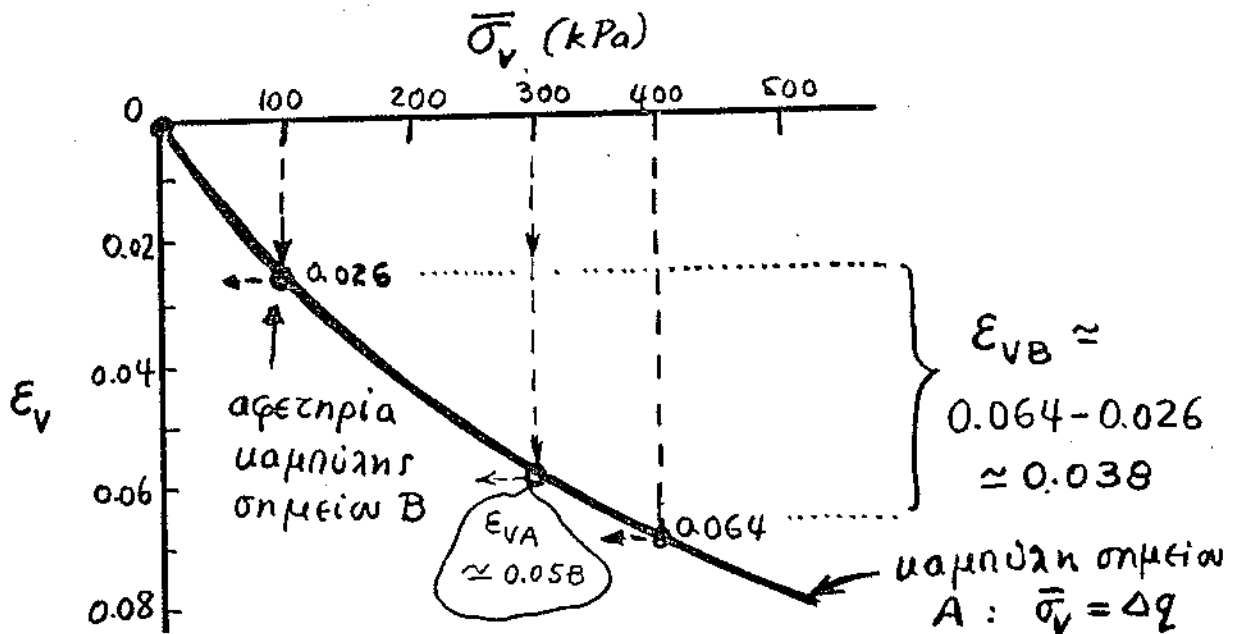
συνθήκες 1-διάστατης (1-δ) συμπίεσης

Αριθμητική εφαρμογή



Εάν η απόκλιση του

στοιχείου A σε φόρτιση άπειρης εύλασης είναι γνωστή, να βρεθεί η απόκλιση του σημείου B. (Πδ. $\Delta q = 300 \text{ kPa}$, E_{VA} και $E_{VB} = \dot{\zeta}$)



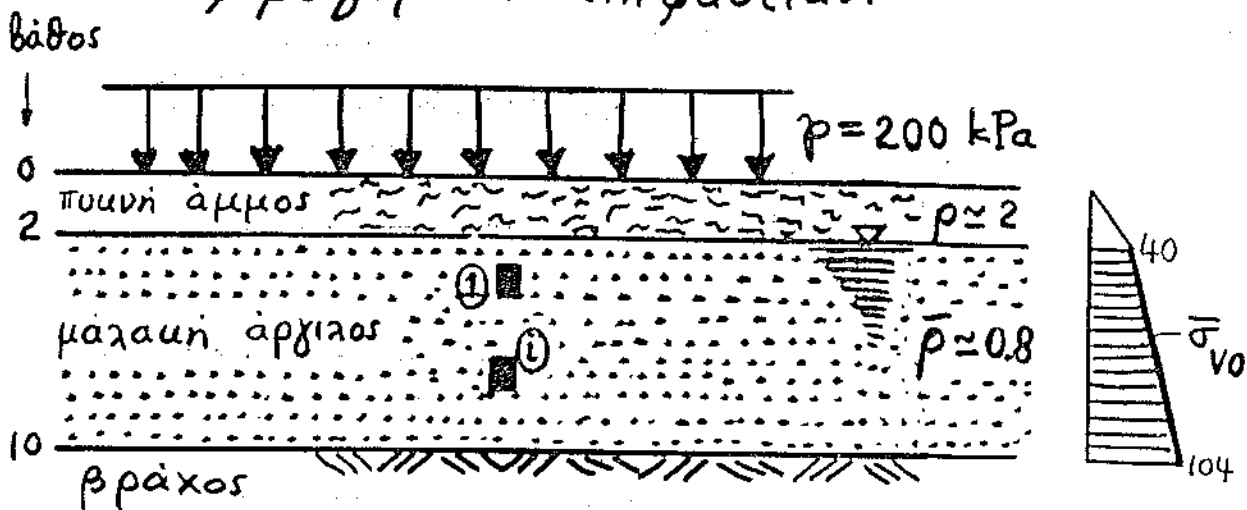
Η μοναδική διαφορά μεταξύ A και B είναι ότι:

$$\begin{aligned} \text{για το σημείο B} \rightarrow \bar{\sigma}_v &= \bar{\sigma}_{v0} + \Delta q = \gamma z + \Delta q \\ &= 20 \times 5 + \Delta q = 100 + \Delta q \end{aligned}$$

Η " $\bar{\sigma}_v - \epsilon_v$ " καμπύλη του B είναι η ίδια με την του A, μόνο που αρχή αντιστοιχεί όχι στο $\bar{\sigma}_v = 0$ αλλά στο $\bar{\sigma}_{v0} = 100 \text{ kPa}$

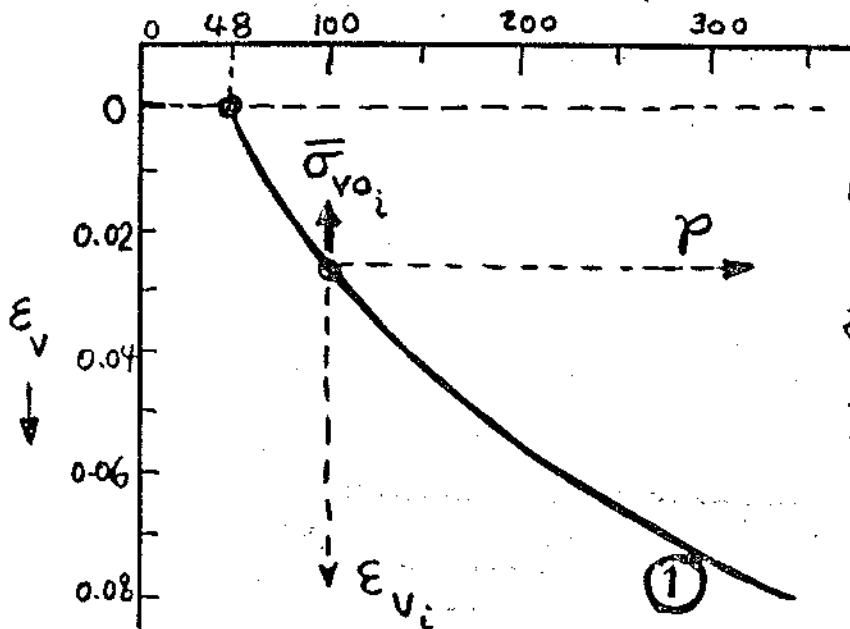
Αριθμητικές εφαρμογές (συνέχεια)

2. Προφόρτιση μαλακού αργιλικού στρώματος. Να βρεθεί η καθίζηση της φορτιζόμενης επιφάνειας.



Δίδεται: η καμπύλη 1-δ συμπίεσης εἰς σημεία (1) ($z = 3 \text{ m}$ απ τὴν ἐπιφάνεια)

$$\bar{\sigma}_v = \bar{\sigma}_{v0} + p \rightarrow$$



Γιὰ τὸ τυχόν σημεῖο i τοῦ στρώματος:

$$\bar{\sigma}_{v_i} = \bar{\sigma}_{v0_i} + p$$

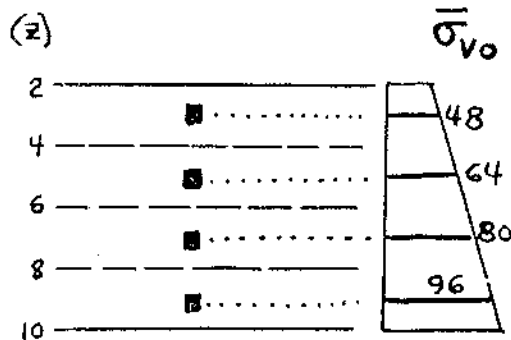
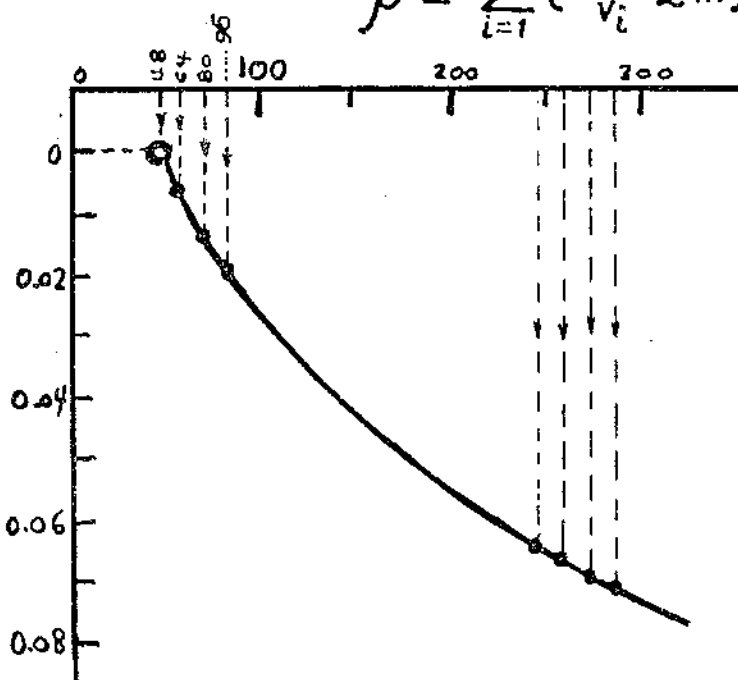
Ἰσχύει ἐπομένως ἡ καμπύλη εἰς (1) με μετατοπισμένη ἀρχὴ ἀξόνων

(συνεχίζεται)

αριθμητική εφαρμογή 2 (συνέχεια)

Χωρίζω (νοητικά) το αργιλικό στρώμα σε 4 στρώσεις, πάχος 2m η κάθε μία. Για το μέσο "σημείο" κάθε στρώσης έχω υπολογίσει τις τάσεις $\bar{\sigma}_{vo}$ και $\bar{\sigma}_{vo} + p$. Με την βοήθεια της καμπύλης $\bar{\sigma}_v - \epsilon_v$ "διαβάζω" την παραμόρφωση που αντιστοιχεί σε μετάβαση από $\bar{\sigma}_{vo} \rightarrow \bar{\sigma}_{vo} + p$. Η ολική καθίζηση είναι προφανώς ίση με

$$p \approx \sum_{i=1}^4 (\epsilon_{vi} \times 2m)$$



Αριθμός Στρώσης	Πάχος m	$\bar{\sigma}_{vo}$	ϵ_{vo}	$\bar{\sigma}_{vo} + p$	ϵ_{vo+p}	$\epsilon_v = \epsilon_{vo+p} - \epsilon_{vo}$
1	2	48	0	248	0.063	0.063
2	2	64	0.007	264	0.066	0.059
3	2	80	0.013	280	0.069	0.056
4	2	96	0.020	296	0.071	0.051
$\Sigma = 8m$						$\Sigma = 0.229$

$$p \approx 0.229 \times 2 = 0.458 m \approx 46 cm$$

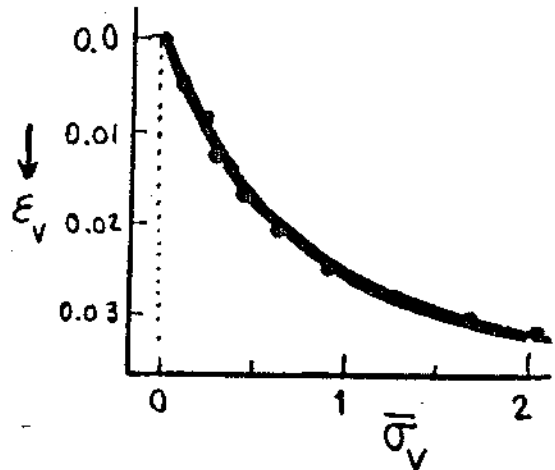
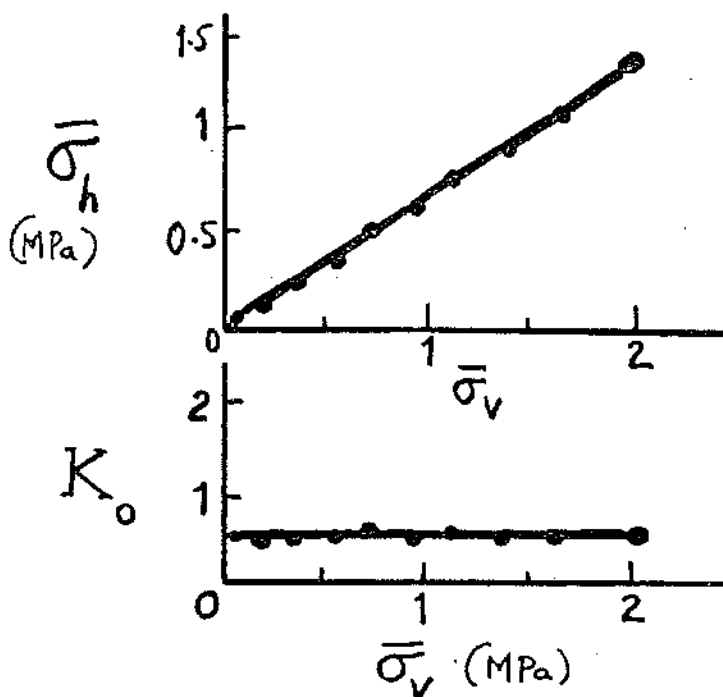
ΛΟΓΟΣ K_0 . Ευδιαφέρων έχει και η μέτρη-
ση της πλευρικής $\sigma_h = \bar{\sigma}_h$ ($u=0$, βρό-
υθουεράλατο στόχο).

Έχουμε ονομάσει: $K_0 = \bar{\sigma}_h / \bar{\sigma}_v$ όταν

δεν επηρεάζεται πλευρική
παραμόρφωση ($\epsilon_h = 0$)

K_0 = συντελεστής ουδέτερης ώθησης
(λόγος)

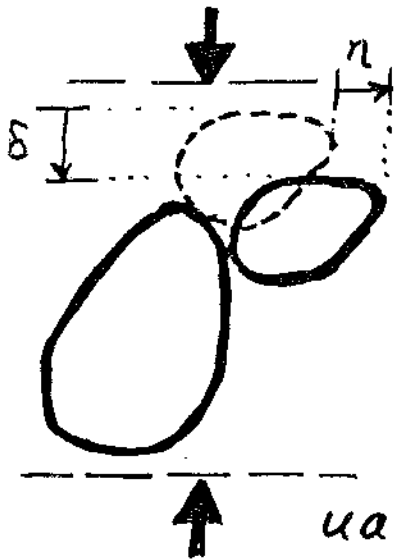
(i) Αρχική φόρτιση



τόσο για άμμο
όσο και για
αργίλους:

ο λόγος $K_0 =$ σταθερός για ένα συγκεντρωμένο
δομίμιο $\approx 0.40 \div 0.70$

Γιατί όμως γεννιέται η σ_h ; Διότι οι ολισθήσεις, έστω με αν οφείλονται στην επιβολή κατακόρυφης $\bar{\sigma}_v$, τείνουν να προαγάσουν και οριζόντιες παραμορφώσεις (η). Περιορισμών των πλευρικών συνολικών μετατοπίσεων του δομείου, κατά συνέπεια, οδηγεί σε $\bar{\sigma}_h$.

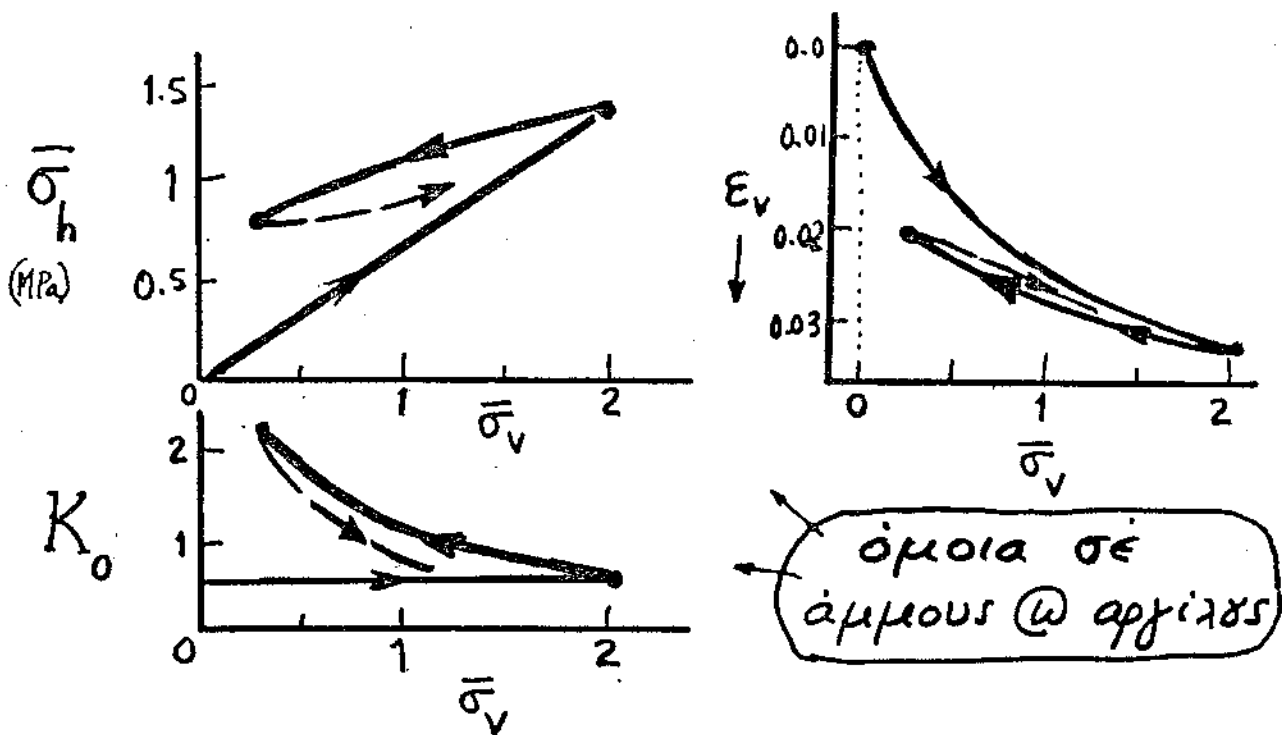


να προαγάσουν και οριζόντιες παραμορφώσεις (η). Περιορισμών των πλευρικών συνολικών μετατοπίσεων του δομείου, κατά συνέπεια, οδηγεί σε $\bar{\sigma}_h$.

Η τιμή του K_0 (στο στάδιο πάντα της αρχικής φόρτισης) εξαρτάται από την δομή του εδαφικού υλικού :

- D_r στα κοκκώδη εδάφη (πυκνά / χαλαρά)
- "διαταγμένη" - "δρομβοειδής" δομή στα αργίλωδη υλικά

(ii) Αποφόρτιση - εναναφόρτιση



Ερμηνεία: Κατά την αποφόρτιση, παράλληλη την μείωση της $\bar{\sigma}_v$, ούτε η "δ" ούτε η "η" μπορεί να αυξηθούν. Άρα, η $\bar{\sigma}_h$ (που εξαιτίας της: $\epsilon_h = \sum \eta = 0$) πολύ μικρήν έρεση έχει να μειωθεί. έχει κατά κάποιον τρόπο "εμπλακει," ή καλύτερα, "παχύνει" στα επίπεδα τιμών της προτού αρχίσει η αποφόρτιση. \rightarrow Καθώς η $\bar{\sigma}_v$ μικραίνει ενώ η $\bar{\sigma}_h \approx$ σχεδόν σταθερή: ο λόγος $K_0 = \bar{\sigma}_h / \bar{\sigma}_v$ μεγαλώνει.

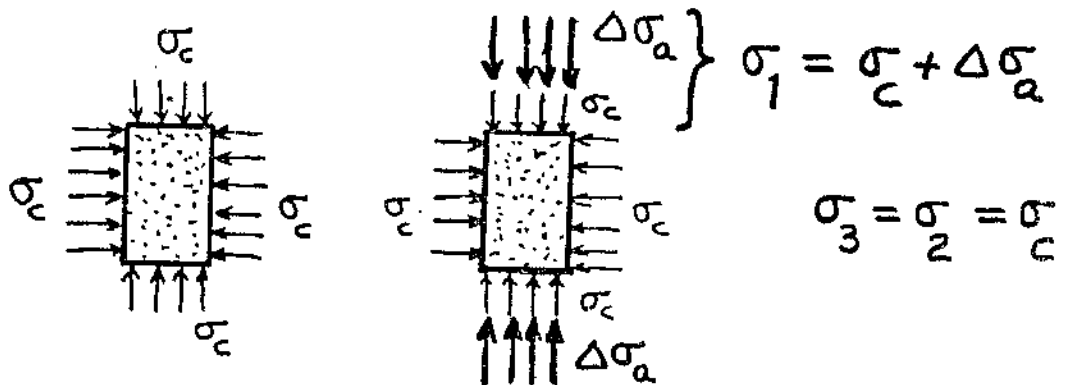
2. ΔΙΑΤΜΗΤΙΚΕΣ ΔΟΚΙΜΕΣ

{ (a) Κυλινδρική Τριαξονική Συμπίεση } εξετάζονται
 { (b) Αληθινή Διάτμηση } μαζί

τα αποτελέσματα των δύο αυτών δοκιμών είναι ποιοτικά ως παρόμοια

(a) ΚΥΛΙΝΔΡΙΚΗ (ΑΞΟΝΟΣΥΜΜΕΤΡΙΚΗ) ΤΡΙΑΞΟΝΙΚΗ ΣΥΜΠΙΕΣΗ

Δύο φάσεις φορτίσεως

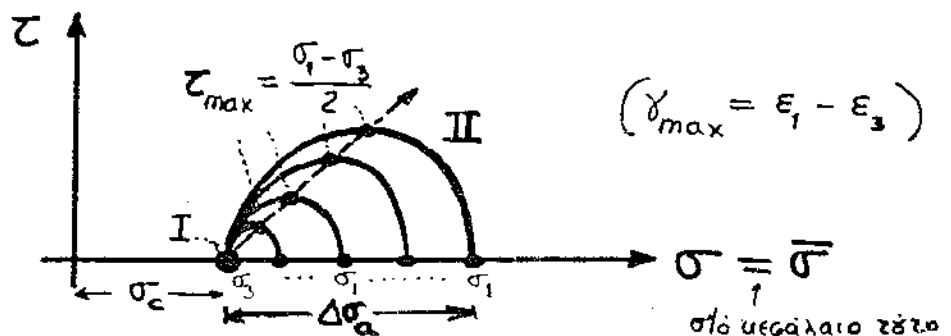


I

ισότροπη
(υδροστατική)
συμπίεση

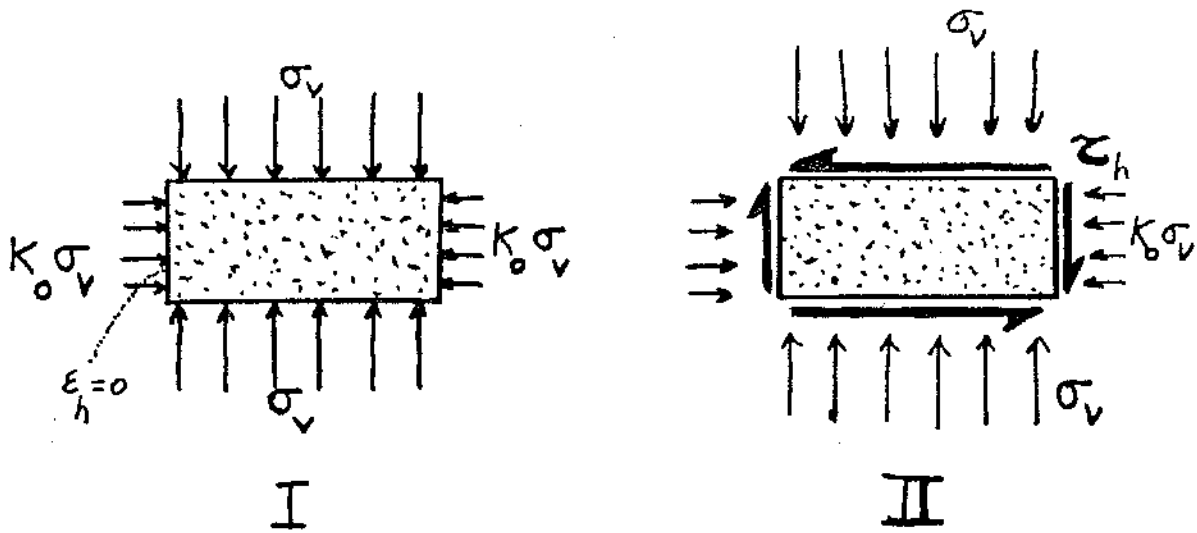
II

επιβολή καταπόνησης
 $\Delta\sigma_a$ υπό σταθερή σ_c .
($\Delta\sigma_a$ αυξάνει μέχρι αστοχίας)



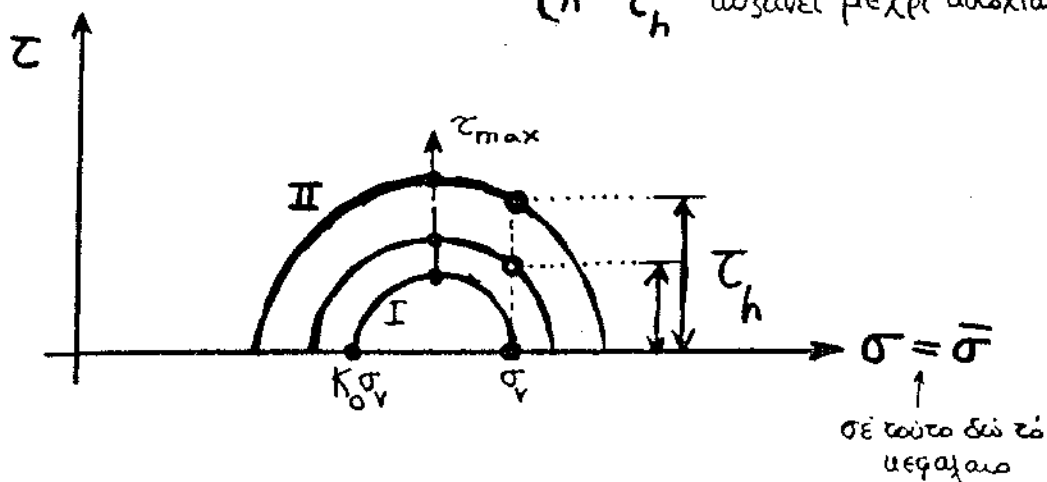
(b) ΑΠΛΗ ΔΙΑΤΜΗΣΗ

Δύο φάσεις φορτίσεως



I
1-διάστατη
συμπίεση

II
επιβολή οριζόντιας
 τ_h υπό σταθερή σ_v
(η τ_h αυξάνει μέχρι αστοχίας)



Στά επόμενα, τυπικά αποτελέσματα "σ-ε" των δύο αυτών δοκιμών παρουσιάζονται υπό μορφήν

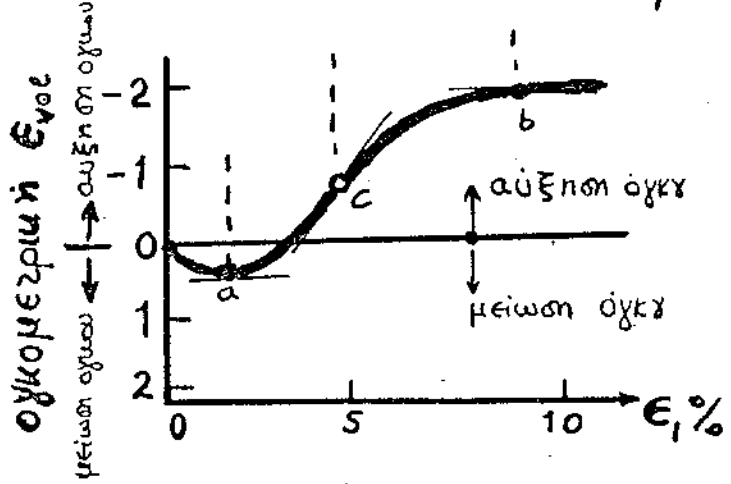
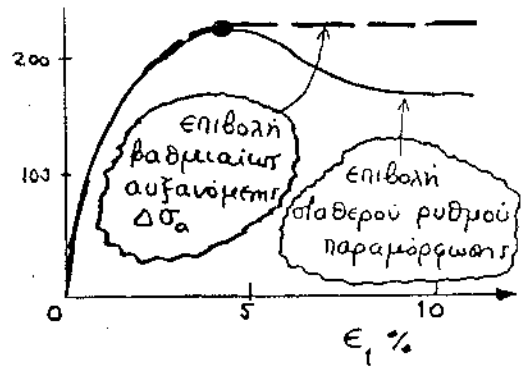
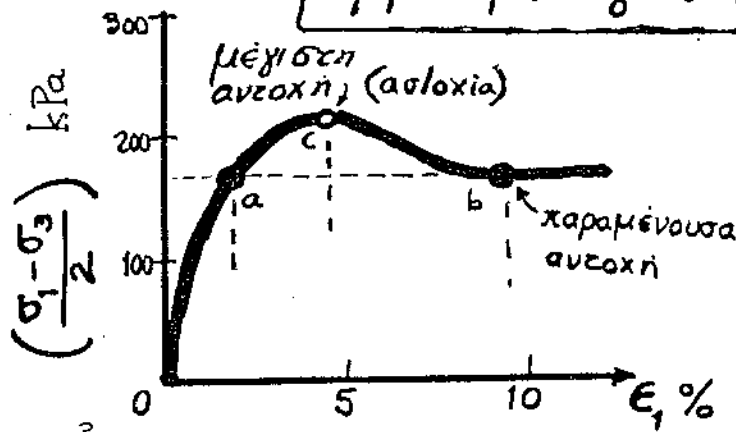
$$\underbrace{\frac{1}{2}(\sigma_1 - \sigma_3)}_{\text{"ΤΡΙΑΞΟΝΙΚΗ"}} \text{ πρὸς } \epsilon_1$$

και

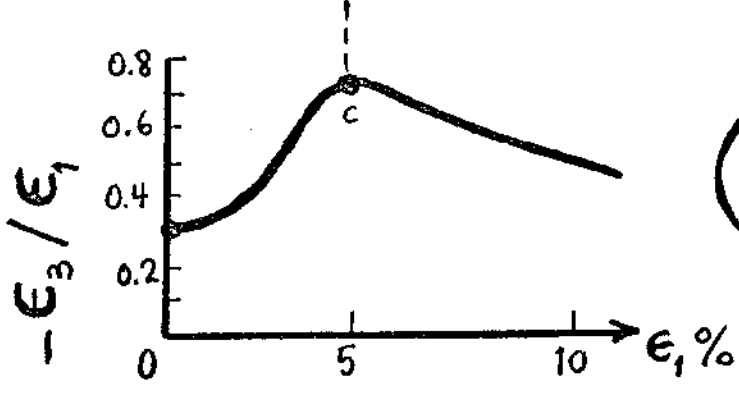
$$\underbrace{\tau_h}_{\text{ΔΙΑΤΜΗΣΗ}} \text{ πρὸς } \gamma_{uh}$$

Τυπική συμπεριφορά κομμιώδους υλικού

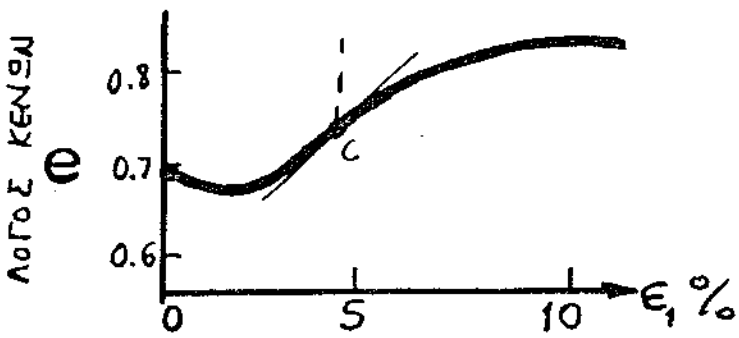
αμμος με $e_0 = 0.70$, $D_{r_0} = 65\%$ · $\bar{\sigma}_c = 100 \text{ kPa}$



$$\left(\epsilon_{vol} \equiv \frac{\Delta V}{V} = \epsilon_1 + 2\epsilon_3 \right)$$

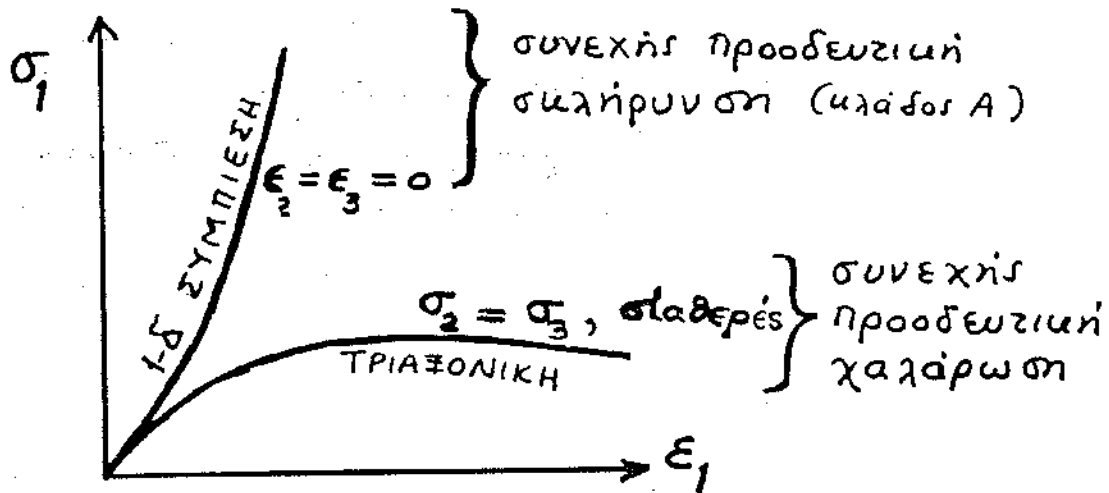


$$\left(-\frac{d\epsilon_3}{d\epsilon_1} \equiv \nu_t \right)$$



Τα αντιστοιχα αποελαστικά της αρχής διάτμησης μόνου ποσοτικώς διαφέρουν....

Σύγκριση ΤΡΙΑΞΟΝΙΚΗΣ ΜΕ 1-Δ ΣΥΜΠΙΕΣΗ



ΕΡΜΗΝΕΙΑ ΤΗΣ ΤΡΙΑΞΟΝΙΚΗΣ ΣΥΜΠΕΡΙΦΟΡΑΣ

- ΑΡΧΙΚΟΣ ΚΛΑΔΟΣ ΜΙΚΡΩΝ ϵ .

Οιονει ελαστική συμπεριφορά: περίπου γραμμική σχέση " σ - ϵ ," μείωση του όγκου του δομείου, \approx σταθερός λόγος Poisson ≈ 0.30

- ΚΛΑΔΟΣ ΑΣΤΟΧΙΑΣ.

Διαρροή - μέγιστη αντοχή: πλαστική συμπεριφορά, αύξηση του όγκου του δομείου παρόλη την "συμπίεση", μεταβαλλόμενος λόγος Poisson ≥ 0.55 .

Διασταλτική συμπεριφορά: αύξηση V κατά την επιβολή διατμησης ή τριαξονικής θλίψης!

- ΤΕΛΙΚΟΣ ΚΛΑΔΟΣ ΠΟΛΥΜΕΓΑΛΩΝ ϵ .

Φθίνουσα διατμητική αντίσταση: μείωση (μέχρι μηδενισμού) του ρυθμού αύξησης του

όγκου $[d\varepsilon_{vol}/d\varepsilon_1 \rightarrow 0]$, τελική "παραμένουσα"
αυτοχή ανεξάρτητη ε_1

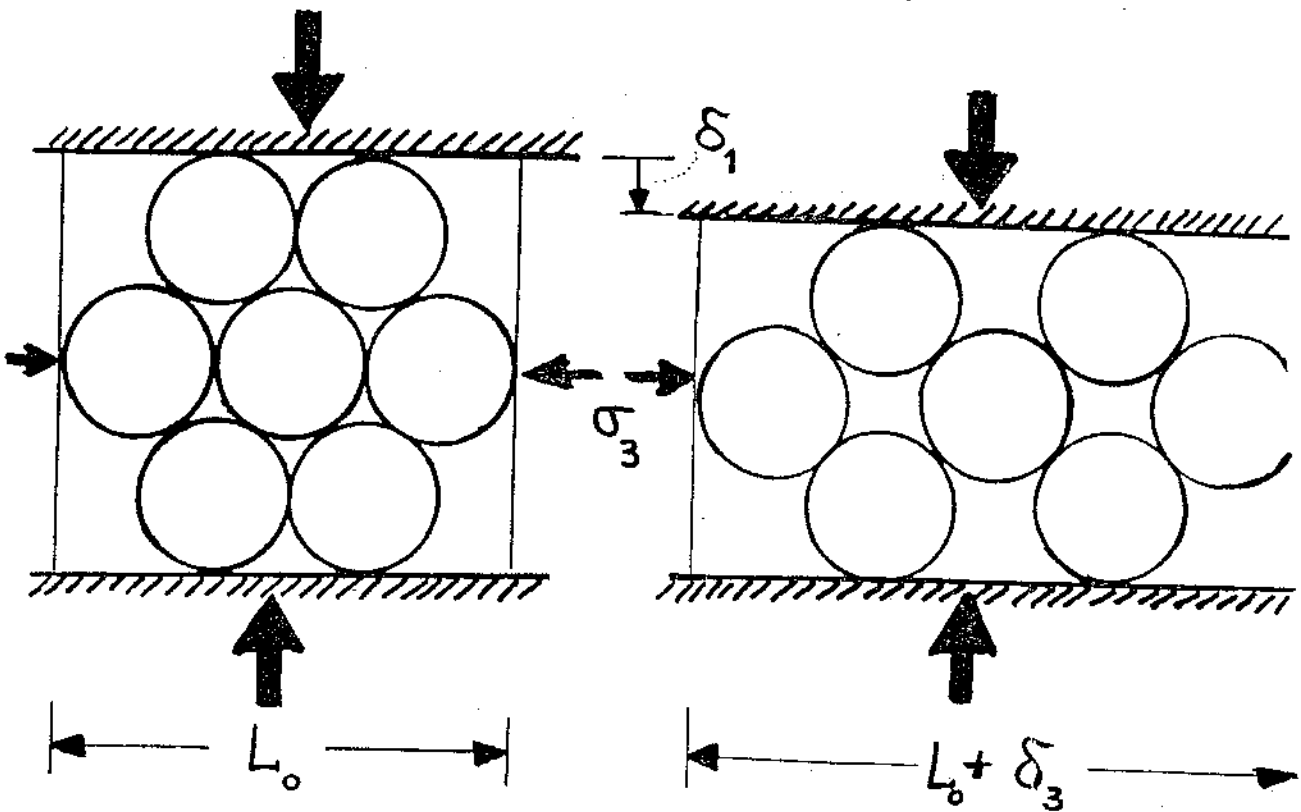
Γιατί αυτή η μορφή $\Delta V - \varepsilon_1$
(η $\Delta V - \gamma_{oh}$) ; πώς εξηγείται το
φαινόμενο της διασταλτικότητας;

Στην αρχή (μικρές ε), η μείωση του
όγκου λόγω θρηνητικής ή διαζμητικής φόρτισης
οφείλεται στην μείωση του όγκου των κενών
(πόρων) — αποτέλεσμα τοπικών σπασθίσεων
μεταξύ κόκκων, αναδιάταξης και
συμπύκνωσης του υαλικού.

Όταν η δομή έχει γίνει αρκετά πυκνή,
και επειδή οι επιβαλλόμενες τάσεις είναι πολύ
μικρές για να προκαλέσουν σημαντικές τοπικές
ελαστικές/πλαστικές παραμορφώσεις των κόκκων
($|\sigma_{max}| \ll 1 \text{ MPa}$ για όλα τα εδαφικά υαλικά,
συγκριόμενο με τα $\sim 10 \text{ MPa}$ που απαιτούνται
στην δομική 1-δ συμπίεσης για θρυμματισμούς
των κόκκων), ο μόνος τρόπος συμμόρφωσης
προς την επιβαλλόμενη ε_1 ή γ_{oh} είναι
μέσω διογκώσεων, όπως εξηγείται παρακάτω

μέ την βοήθεια δύο απλών φυσικών προπομοιωμάτων

1ο Προπομοίωμα: κανονικά διατεταγμένες ισομεγέθεις σφαίρες, πυκνή δομή, τριαξονική θλίψη



Από την γεωμετρία : $|\delta_3| \approx 2.88 \delta_1 \rightarrow$

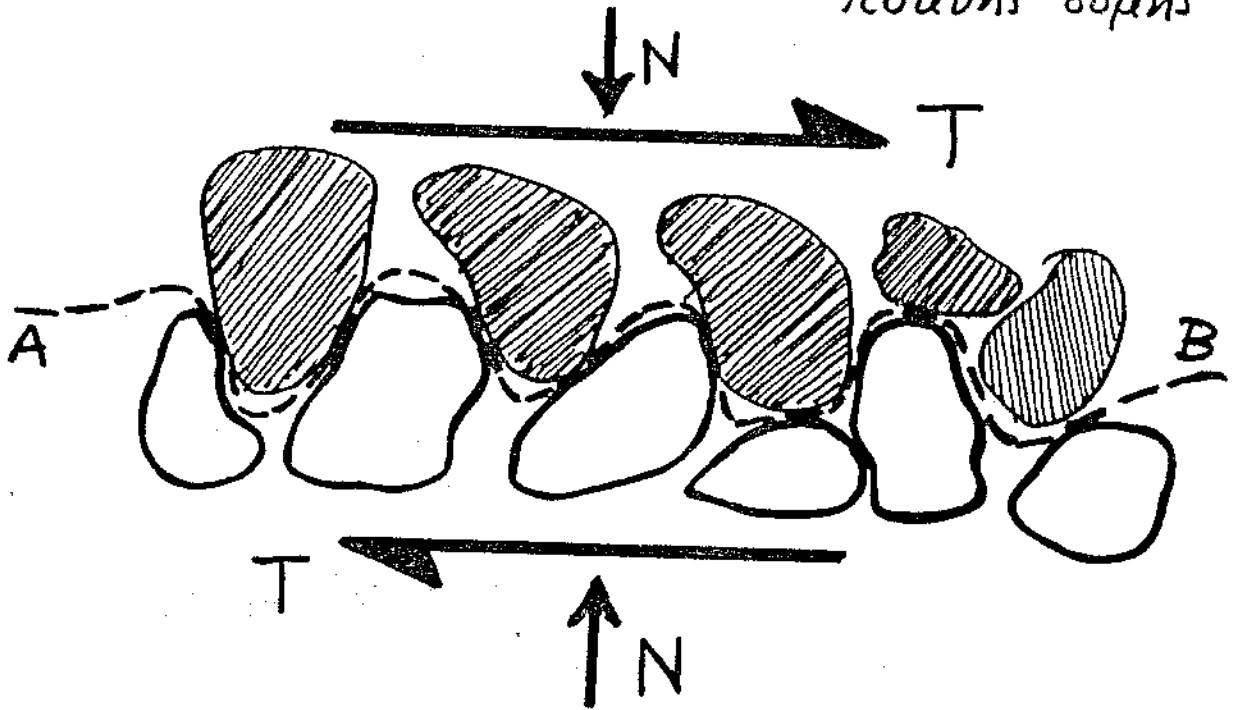
$$\Delta V = \delta_1 + \delta_3 = \delta_1 - 2.88 \delta_1 = -1.88 \delta_1$$

(αύξηση
όγκου)

Αντίθετα, μία αρχικώς χαλαρή δομή οδηγεί σε μείωση του όγκου (συμπύκνωση).

2ο πρόβλημα:

διαμητική μετατόπιση-
αλληλεμπλοκή κόκκων
πυκνής δομής



Είναι προφανές ότι διαμητική μετατόπιση κατά "μήκος" της AB είναι δυνατή μόνο αν συνοδεύεται με από διόγκωση (ματακόρυφη μετακίνηση διαγραμμισμένων κόκκων).

Το αντίθετο αυριβώς θα συμβεί κατά την διάτμηση χαλαρού υλικού: μείωση του όγκου των πόρων (συμπύκνωση)

Οι ακόλουθες σχέσεις:

$$\frac{\tau_h}{\bar{\sigma}_v} \approx \mu - \frac{dE_{vol}}{d\gamma_{hu}}$$

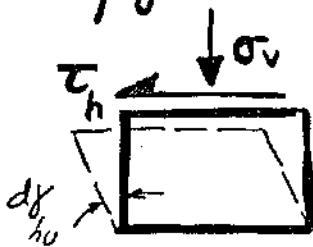
για απλή
διάτμηση

$$\frac{\tau_{max}}{\bar{\sigma}_{μεσ.}} \equiv \frac{\frac{1}{2}(\bar{\sigma}_1 - \bar{\sigma}_3)}{\frac{1}{3}(\bar{\sigma}_1 + 2\bar{\sigma}_3)} \approx \mu - \frac{dE_{vol}}{d\epsilon_1}$$

για τριαξονική
συμπίεση

είναι (περίπου) σταθερός αριθμός για ένα υλικό -
στοιχειώδως εκφράζει τον "συντελεστή τριβής" του
δομίου

απολαύου εκφράσεις της αρχής διατήρη-
σεως ενέργειας: συνολική εισαχόμενη
ενέργεια σε ένα δομίο = απώλεια τριβών



$$\frac{1}{2} dE_{vol}$$

$$\tau_h d\gamma_{hu} + \bar{\sigma}_v dE_{vol} =$$

$$= \mu \bar{\sigma}_v d\gamma_{hu}$$

από την οποία προκύπτει η 1η των σχέσεων

Ερμηνεία διαγράμματος $\frac{\sigma_1 - \sigma_3}{2}$ προς ϵ_1

$$\frac{dE_{vol}}{d\epsilon_1} = 0 \rightarrow \frac{\tau_{max}}{\bar{\sigma}_{μεσ.}} = \mu \quad (\text{σημεία α και β})$$

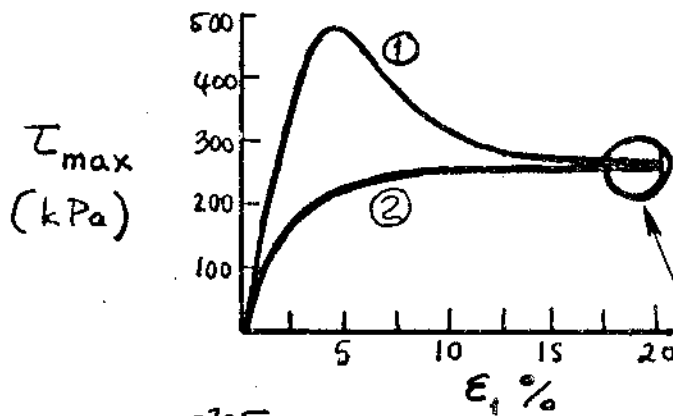
$$-\frac{dE_{vol}}{d\epsilon_1} = \text{Μέγιστο} \equiv \psi \rightarrow \frac{\text{Μέγιστο } \tau_{max}}{\bar{\sigma}_{μεσ.}} = \mu + \psi \quad (\text{σημείο c})$$

Επίδραση της σχετικής πυκνότητας, D_r

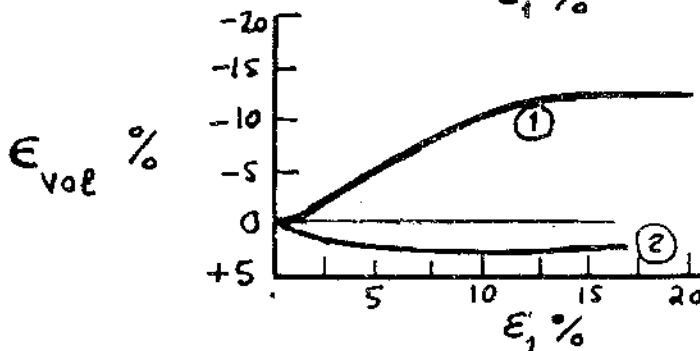
Τα μέχρι τώρα αποτελέσματα ήταν για άμμο μέσης σχετικής πυκνότητας, $D_r \approx 65\%$. Παρακάτω συζητούμε μία εξαιρετικώς πυκνή με μία εξαιρετικώς χαλαρή άμμο.

Εάν η σχέση $\frac{\tau_{max}}{\bar{\sigma}_{μεσ}} \approx \mu - \frac{d\epsilon_{vol}}{d\epsilon_1}$ είναι πράγματι λογική

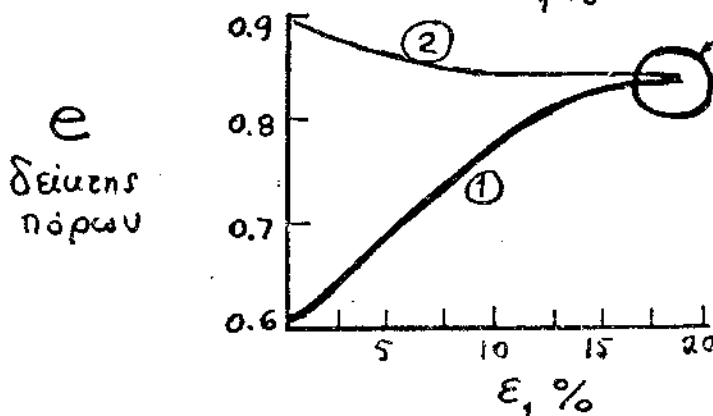
θα περιμένω αύξηση της τ_{max} του πυκνού υλικού πολύ ταχύτερη απ' την αντιστοίχη αύξηση της τ_{max} του χαλαρού, μία που η μεγαλύτερη αλληλεπίδραση των κόκκων του πυκνού υλικού απαιτεί μεγαλύτερα $-d\epsilon_{vol}/d\epsilon_1$...



$\left\{ \begin{array}{l} \textcircled{1} e_0 = 0.60, D_r = 99\% \\ \textcircled{2} e_0 = 0.89, D_r = 14\% \end{array} \right\}$
 $\left\{ \begin{array}{l} \text{εδαφικό υλικό ίδιο,} \\ \text{κοινή } \sigma_3 = 100 \text{ kPa} \end{array} \right\}$

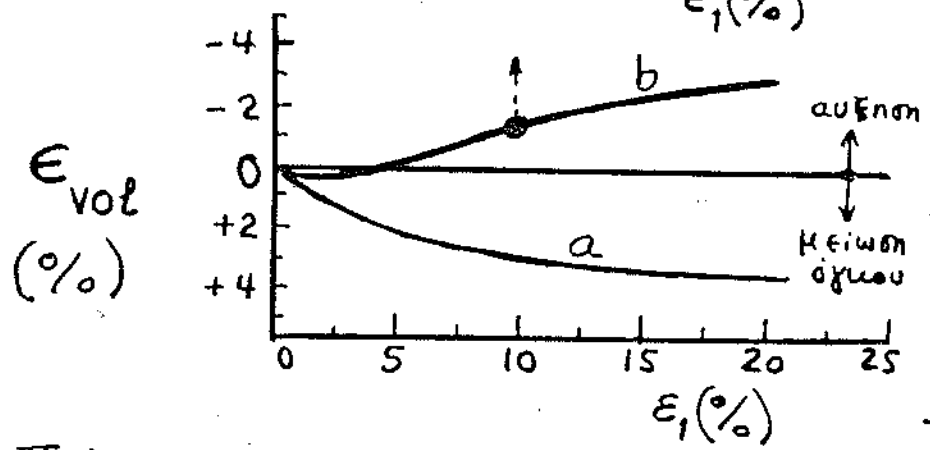
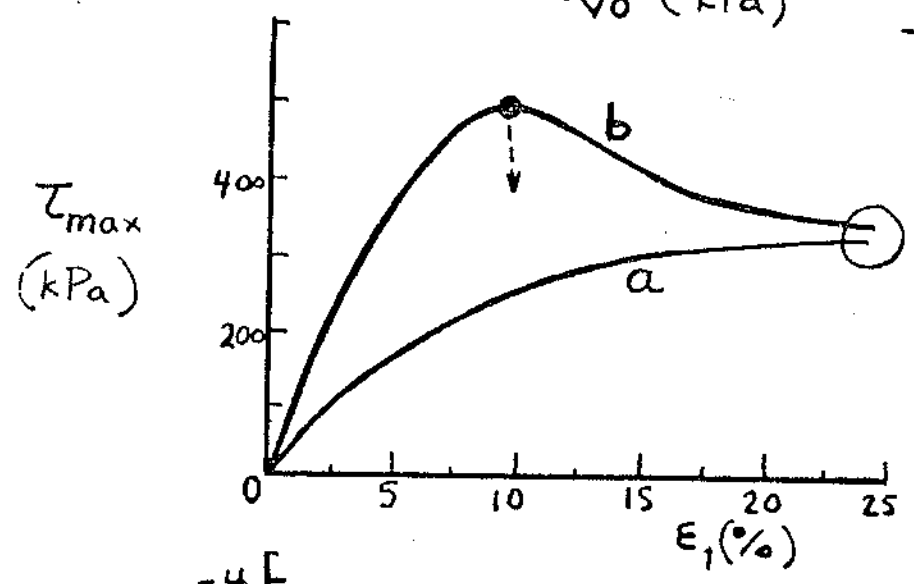
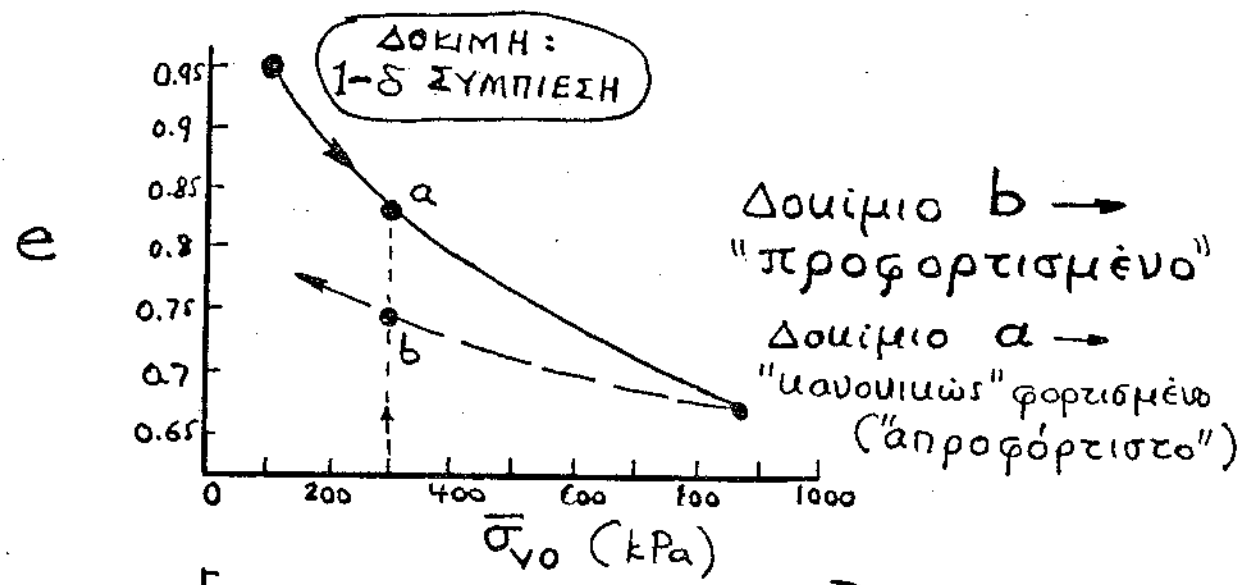


τελικώς απομένουσα αντοχή, ανεξάρτηση αρχικού e_0 ή D_r



τελικός δείκτης πόρων, e_{cr} , σταθερός (δηλ. ανεξάρτητος του αρχικού e_0 ή της D_{r_0} του εδαφικού υλικού)

Τυπική συμπεριφορά αρχαίου δομίου

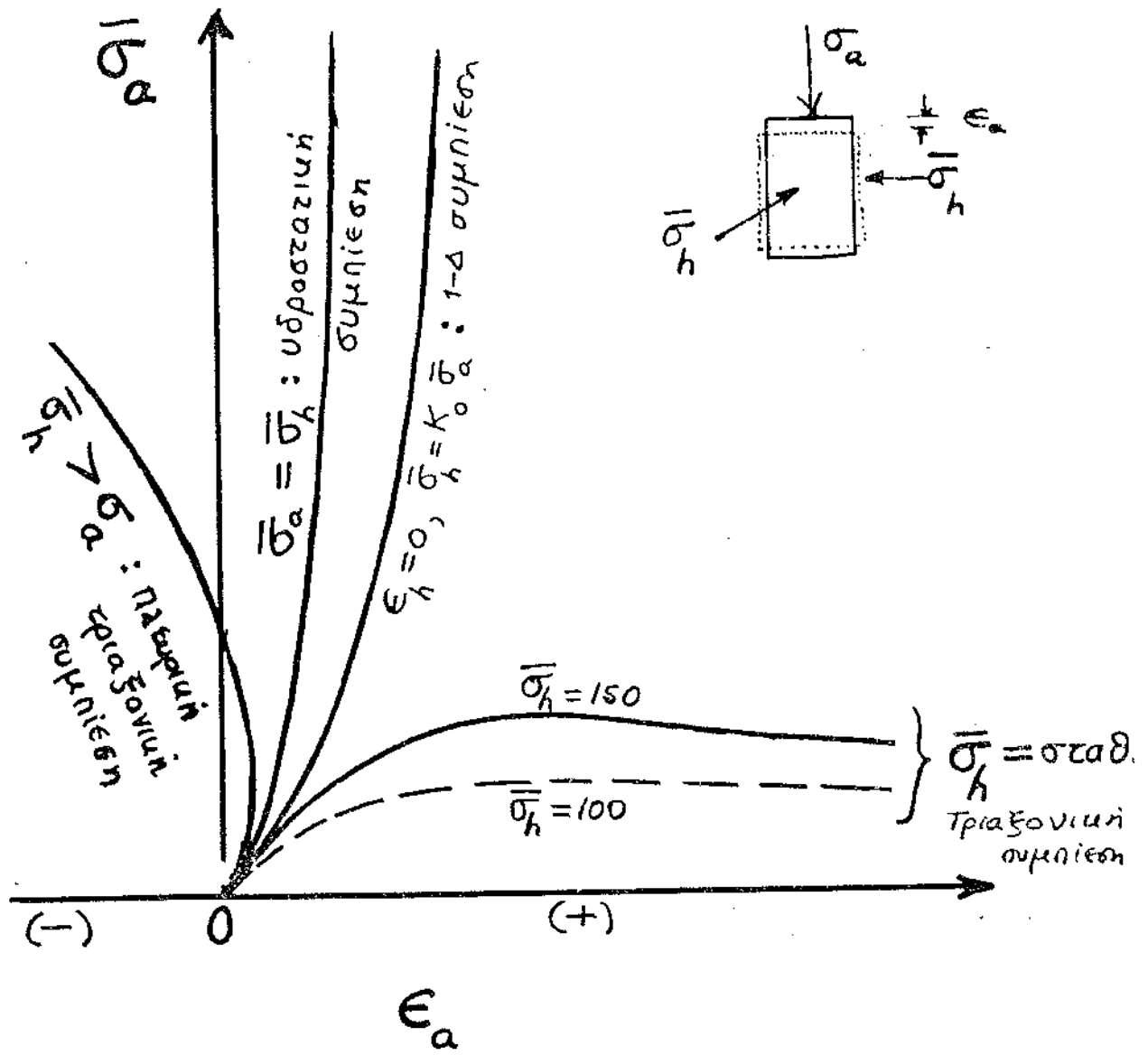


ΤΡΙΑΞΟΝΙΚΗ ΔΟΚΙΜΗ
 με:
 $\bar{\sigma}_c = \bar{\sigma}_{vo} = 300 \text{ kPa}$

Πλήρης αντιστοιχηση: πυκνή άμμος - προφορτισμένη άργιλος, χαλαρή άμμος - απροφόρτιστη άργιλος

αντι για αναμετατάση:

Επίδραση της $\bar{\sigma}_h$ στην μηχανική συμπεριφορά εδαφικών στοιχείων



3.4

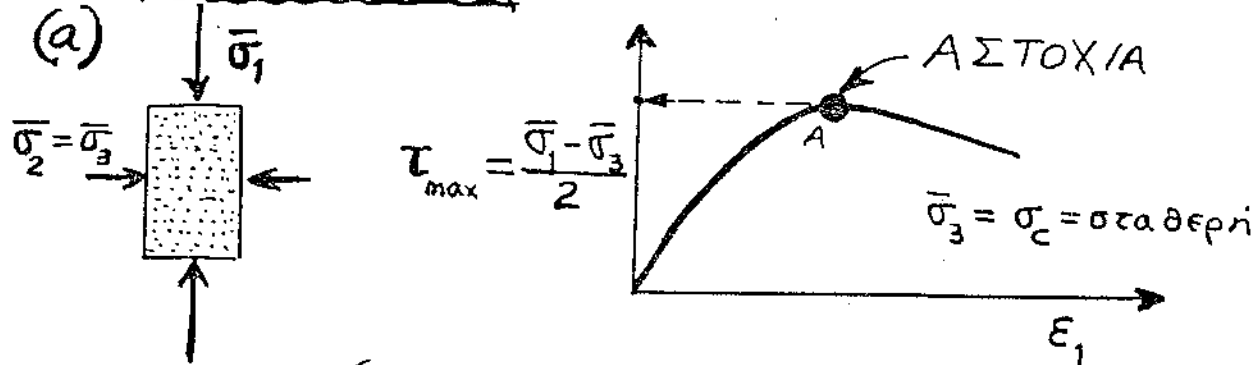
ΑΣΤΟΧΙΑ ΚΑΙ ΔΙΑΤΜΗΤΙΚΗ ΑΝΤΟΧΗ ΕΔΑΦΙΚΟΥ ΣΤΟΙΧΕΙΟΥ

3.4 ΑΣΤΟΧΙΑ ΚΑΙ ΔΙΑΤΜΗΤΙΚΗ ΑΝΤΟΧΗ ΕΔΑΦΙΚΟΥ ΣΤΟΙΧΕΙΟΥ

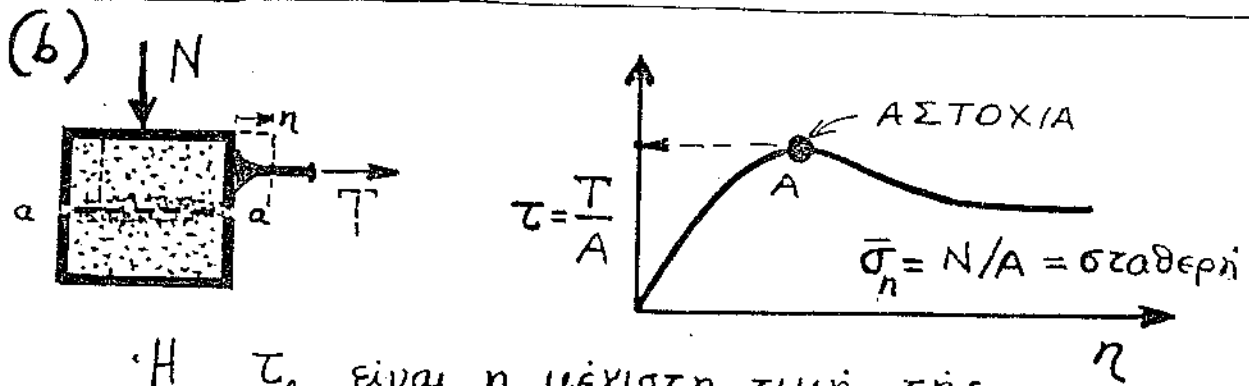
Υπό ποιές συνθήκες (=, τι είδους επιβαλλόμενη "σ") μπορούμε να προαλέσουμε αστοχία ενός εδαφικού στοιχείου;

- Αν την προηγούμενη ανάπτυξη είναι γαυρό πως μια ολόπλευρη συμπίεση (διάβαζε: "ογκομετρική δομική") δεν οδηγεί ούτε σε κατάρυση της αεραώτητας και συνέχειας του υλικού, ούτε σε μεγάλες και απότομες παραμορφώσεις. Δηλ. δεν μπορεί να προαλέσει αστοχία του στοιχείου.
- Καθαρός εφελκυσμός ενός στοιχείου οδηγεί σε άμεση αστοχία ενός κοικώδους υλικού, και μπορεί, φυσικά, να οδηγήσει εύκολα και σε αστοχία ενός συνευζιμού υλικού. Έχει όμως μικρό πρακτικό ενδιαφέρον: στις περισσότερες γεωτεχνικές εφαρμογές έχουμε καθαρή θλίψη...
- Ευταξικές μετασώσεις που δημιουργούν σημαντικές διατμητικές τάσεις/παραμορφώσεις (τριαξονική δομική, δομικές απλής και απευθείας διάγνωσης) οδηγούν σε αστοχία του στοιχείου, όπως είδαμε προηγουμένως:

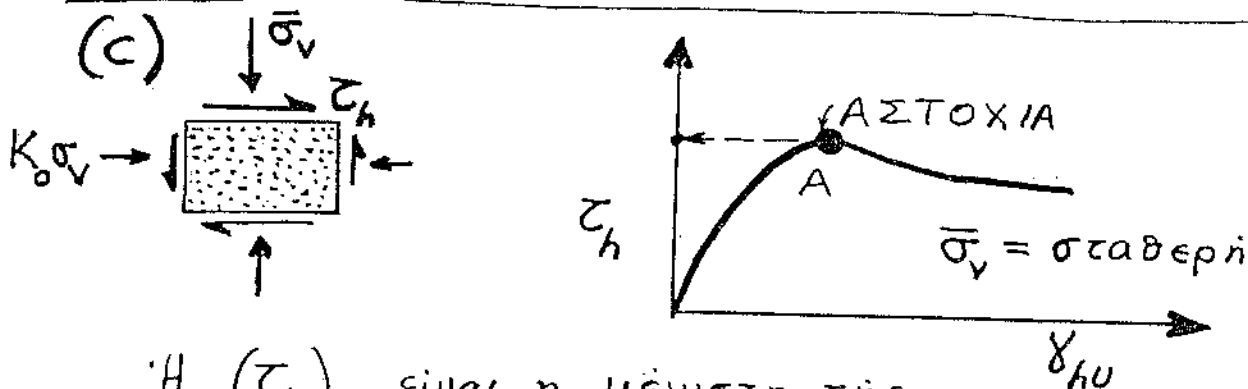
Παραδείγματα :



Η $(\tau_{max})_A$ είναι η μέγιστη τιμή της $\frac{1}{2}(\bar{\sigma}_1 - \bar{\sigma}_3)$ για μία συγκεκριμένη τιμή σ_c .



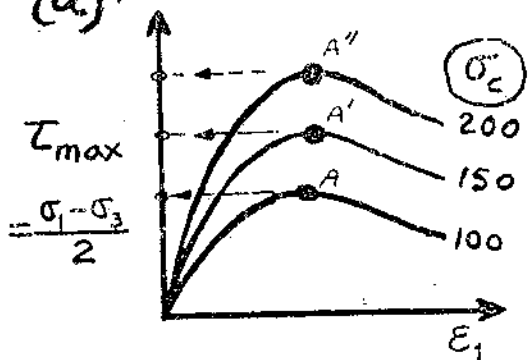
Η τ_A είναι η μέγιστη τιμή της διαγμητικής ανξίστασης στην επιφάνεια aa , την οποία μπορεί να προσφέρει το υαζω (αιώνηζο) τμήμα του εδαφικού δομίσου. Η aa είναι n επιφάνεια ολισθήσεως (αστοχίας).



Η $(\tau_h)_A$ είναι η μέγιστη της οριζόντιας διαγμητικής τάσης για μία συγκεκριμένη τιμή της $\bar{\sigma}_v$.

ΕΡΩΤΗΜΑ: Τι τὸ κοινὸ ὑπάρχει μετὰξὺ τῶν τριῶν ἀστοχιῶν; Μποροῦμε νὰ συνάγουμε κάποιον **νόμο ἀστοχίας** ὁ ὁποῖος νὰ ἰσχύει γιὰ οποιαδήποτε ἐπιβαλλόμενῃ ἐντασιῶν κατάσταση; Πρὸς τοῦτο ἐπαναλαμβάνουμε τὶς δοκιμὲς τῆς προηγούμενης σελίδας γιὰ διαφορετικὰς τιμὰς τῆς σ_c , ἢ τῆς σ , ἢ τῆς $\bar{\sigma}_V$, ἀντιστοίχως. Καὶ ἀπεικονίζουμε μὲ τὸν κύκλο Mohr τὴν κάθε ἐντασιῶν κατάσταση τῆ στιγμῆ τῆς ἀστοχίας.

(α) ΚΥΛΙΝΔΡΙΚΗ ΤΡΙΑΞΟΝΙΚΗ ΣΥΜΠΙΕΣΗ

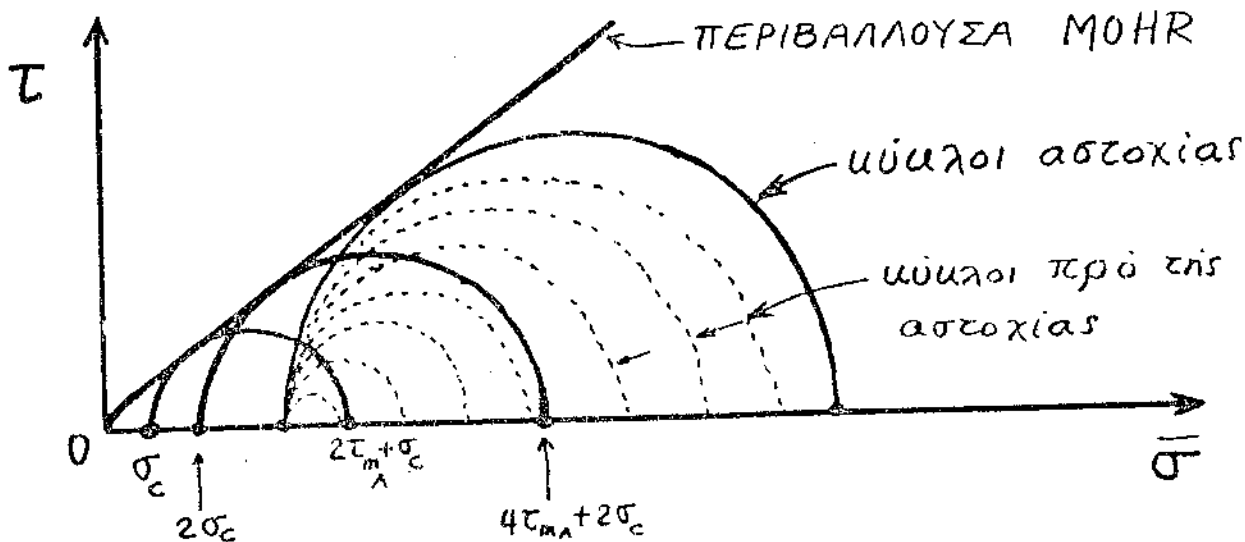


Παρατηρεῖται ὅτι

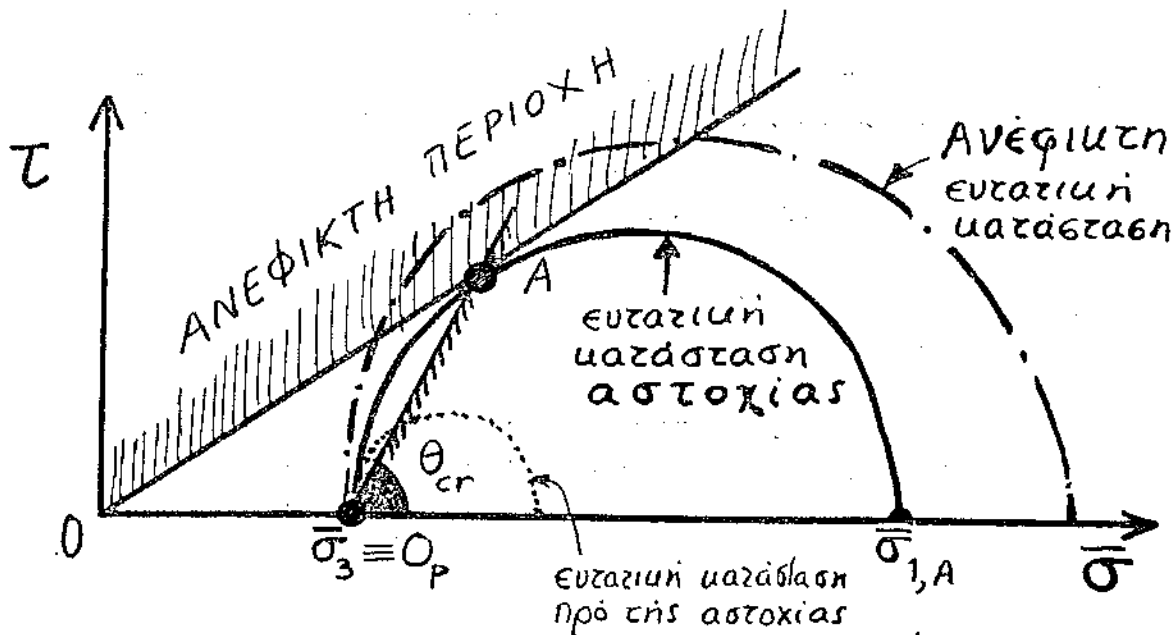
$$(\tau_{max})_{A''} \approx 2 (\tau_{max})_A$$

$$(\tau_{max})_{A'} \approx 1.5 (\tau_{max})_A$$

Ὁπλ. $(\tau_{max})_{\text{ΑΣΤΟΧΙΑΣ}} \propto \sigma_c$



Η φυσική σημασία της περιβάλλουσας MOHR

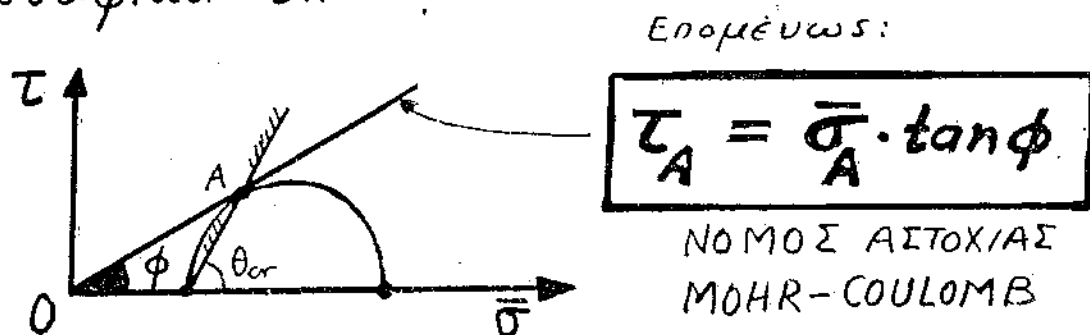


- (i) Αν ο κύκλος Mohr βρίσκεται ^{από} κάτω (δευτέρη) της περιβάλλουσα \rightarrow έχουμε **ΕΥΣΤΑΘΗ ΕΝΤΑΤΙΚΗ ΚΑΤΑΣΤΑΣΗ**
- (ii) Δεν είναι εφικτή (έχει επέλθει ήδη αστοχία) μια ευστατική κατάσταση, της οποίας ο κύκλος Mohr τέμνει την περιβάλλουσα
- (iii) Ο κύκλος που (μόλις) εφάπτεται στην περιβάλλουσα \rightarrow **ΕΝΤΑΤΙΚΗ ΚΑΤΑΣΤΑΣΗ ΑΣΤΟΧΙΑΣ**
 Το σημείο επαφής A αντιστοιχεί τις τάσεις (σ_A, τ_A) σε επίπεδο γωνίας θ_{cr} (σχήμα), το οποίο επίπεδο θα ονομάσουμε (τι πιο φυσικό) **επίπεδο αστοχίας**.

Η εξίσωση της περιβάλλουσας μπορεί να γραφτεί γενικώς :

$$\tau_A = f(\bar{\sigma}_A)$$

Αν η αναλογία $(\tau_{max})_A$ και σ_c που διαπιστώσαμε προηγουμένως είναι πραγματικότητα, τότε η ΠΕΡΙΒΑΛΛΟΥΣΑ ΜΟΗΡ είναι ΕΥΘΕΙΑ ΓΡΑΜΜΗ διερχόμενη από το 0. Τούτο είναι μία πολύ καλή προσέγγιση τόσο για κοκκώδη, όσο και για "κανονικώς φορτισμένα" αργιλικά εδαφικά υλικά.

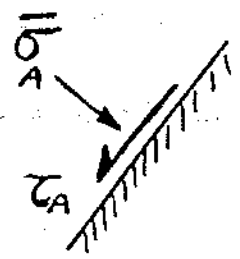
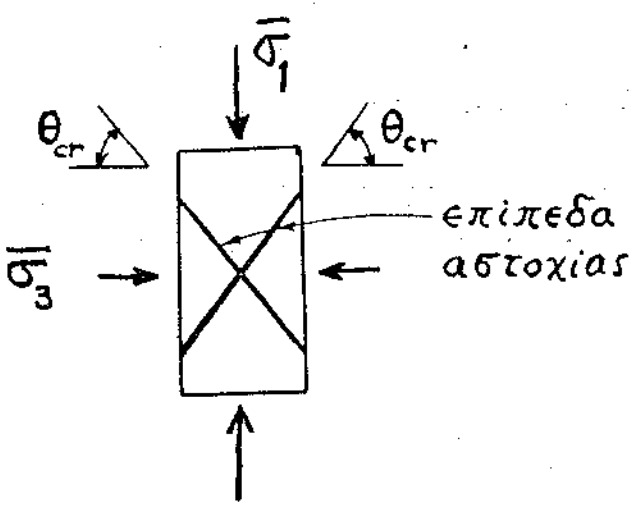


Την σχέση αυτή είχε πολύ πιο πριν προτείνει ο COULOMB (130 χρόνια "πρωτοπόρος" του Mohr).

Την (σταθερή) παράμετρο ϕ θα την αποκαλούμε (επίσης) "γωνία διασμητικής αστοχίας". Επειδή όμως ο νόμος αστοχίας μοιάζει με τον συνήθη νόμο τριβής ($T = N \cdot f$), η γωνία ϕ λέγεται και "γωνία εσωτερικής τριβής" στη διεθνή βιβλιογραφία — όρος και ως αστοχίας μιά που μπορεί να συχίσει με την γωνία τριβής μεταξύ ζών κοκκίων: ϕ_μ . Θα δούμε στην συνέχεια ότι $\phi > \phi_\mu$.

Από την γεωμετρία:
$$\theta_{cr} = 45^\circ + \frac{\phi}{2}$$

(να αποδειχτεί)



στο επίπεδο αστοχίας

$$\tau_A = \bar{\sigma}_A \tan \phi$$

ενώ σε οποιοδήποτε άλλο επίπεδο (τού δομρίου όντας σε κατάσταση αστοχίας): $\tau_n < \bar{\sigma}_n \tan \phi$

Διατμητική αντοχή δομρίου εδαφικού υλικού θα ονομάζουμε την τ_A , δηλ. την μέγιστη διατμητική αντίσταση η οποία δρά στο επίπεδο αστοχίας (ολισθήσεως)

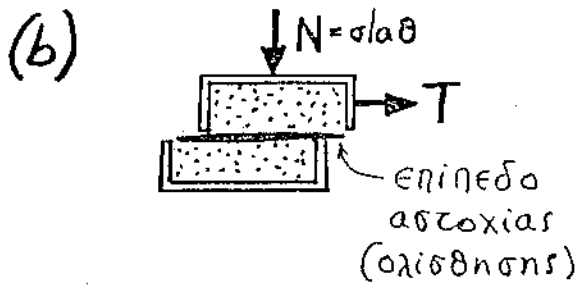
Άσκηση. Να αποδειχθεί η αλήθεια των ακόλουθων σχέσεων για την κατάσταση αστοχίας:

$$\bar{\sigma}_A = \bar{\sigma}_{3,A} (1 + \sin \phi) = \bar{\sigma}_{1,A} (1 - \sin \phi)$$

$$\tau_A = \frac{1}{2} (\bar{\sigma}_{1,A} - \bar{\sigma}_{3,A}) \cos \phi = \tau_{max,A} \cos \phi$$

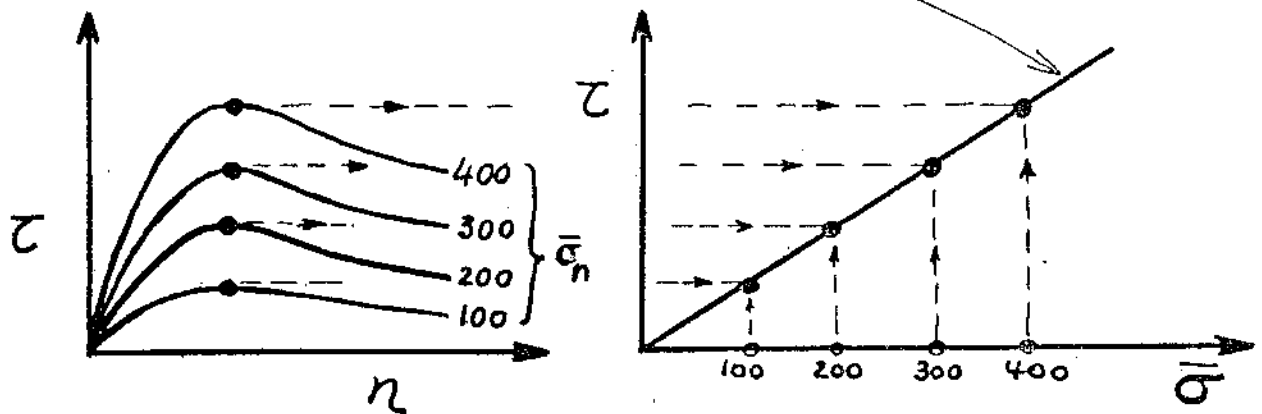
$$\frac{\bar{\sigma}_{3,A}}{\bar{\sigma}_{1,A}} = \frac{1 - \sin \phi}{1 + \sin \phi} = \tan^2 \left(45^\circ - \frac{\phi}{2} \right)$$

Ας δούμε τώρα τι γίνεται με την απευθείας διάγνωση.



Για ένα δεδομένο T , η ευταξική κατάσταση δέν είναι προσδιορίσιμη: το μόνο που ξέρουμε είναι το (σ, τ) σε ορισμένο "επιπεδο".

Στην κατάσταση αστοχίας, όμως, το "επιπεδο" αυτό είναι "επιπεδο" αστοχίας. Αν, επομένως, επαναλάβουμε τη δοκιμή για διάφορες τιμές $\bar{\sigma}_n = N/A$ μπορούμε να προσδιορίσουμε απευθείας την εξάρτηση $\tau_A = f(\bar{\sigma}_A)$.



Έχει βρεθεί πειραματικά ότι, πράγματι, και πάλι η $f(\bar{\sigma}_A)$ είναι γραμμική συνάρτηση της $\bar{\sigma}_A$ και μάλιστα ότι η σταθερά αναλογίας είναι (με καλή προσέγγιση) ίση με την $\tan\phi$ που προέκυψε απ' την "τριαξονική" αστοχία.

Αρα:
$$\tau_A = \bar{\sigma}_A \cdot \tan\phi$$

Γενίκευση: ο νόμος Mohr-Coulomb

$$\tau_A = \bar{\sigma}_A \cdot \tan \phi, \text{ όπου } \phi = \text{σταθερή παράμετρος}$$

χαμηληρσιτική τού υλικού, αποεχει τήν αναγκαιά και ιανή συνθήκη αστοχίας τού υλικού υπό οποιεσδήποτε επιβαλλόμενες τάσεις ή παραμορφώσεις.

Πρέπει να υπογραμμιστεί ωστόσο ότι ο "νόμος αυτός δέν αποτελεί καμμιά μαθηματική εφίσωση. Πρόκειται για καθαρώς εμπειρική σχέση, η οποία επαληθεύεται με ικανοποιητική προσέγγιση από τὰ πειραματικά δεδομένα πηθούς εδαφικών υλικών, υπό διάφορες ευταγικές καταστάσεις.

Άλλη έκφραση τού νόμου Mohr-Coulomb:

$$\bar{\sigma}_{1A} - \bar{\sigma}_{3A} = (\bar{\sigma}_{1A} + \bar{\sigma}_{3A}) \sin \phi$$

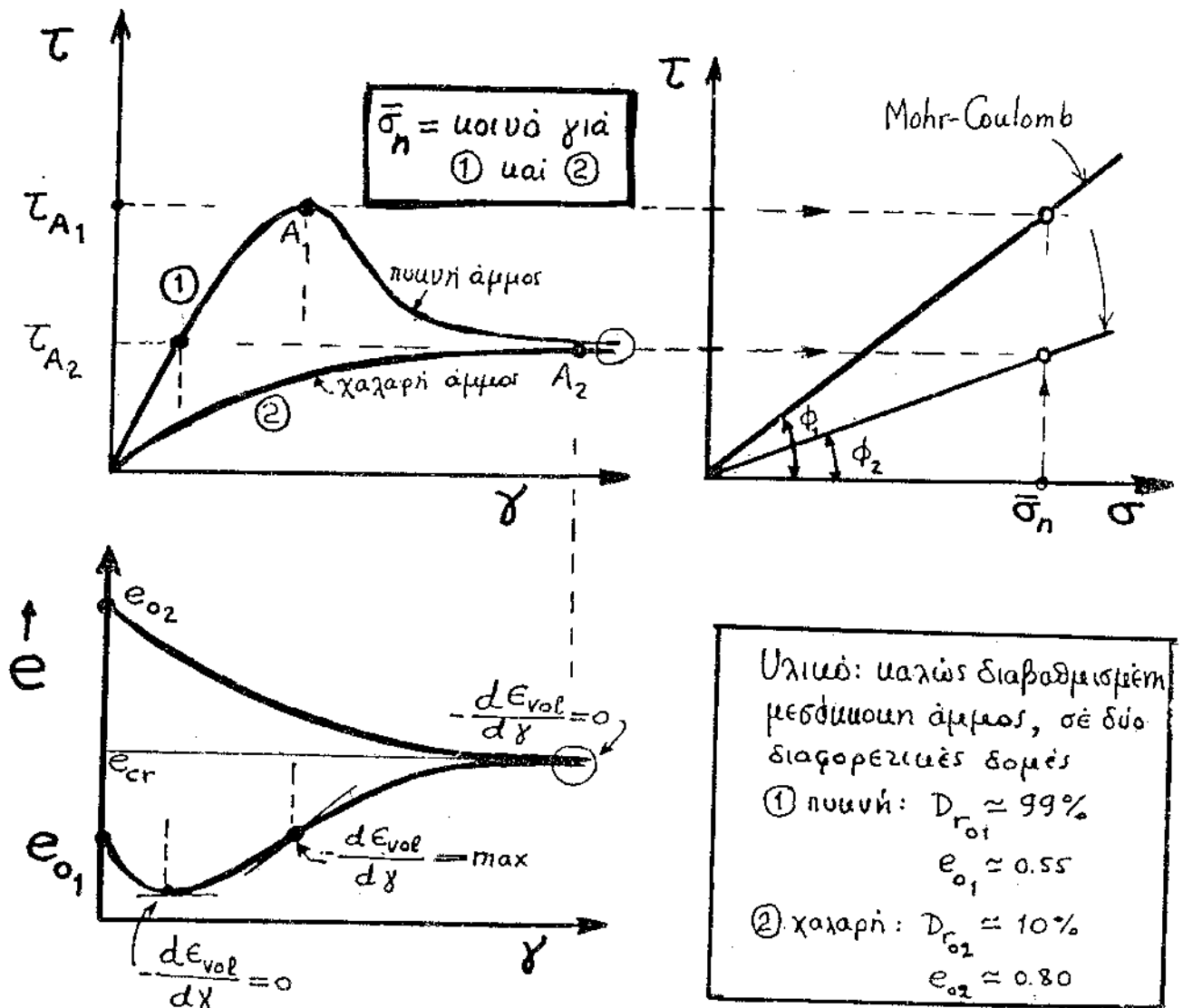
οπου $\bar{\sigma}_{1A}, \bar{\sigma}_{3A}$: οι κώριες τάσεις στην κατάσταση αστοχίας.

As προεχθεί ότι η τιμή της ενδωμεσης κώριας τάσης, $\bar{\sigma}_2$, δέν έχει καμμιά επίδραση στην αστοχία τού υλικού, σύμφωνα με τού "νόμο" αυτό. Στην πραγματικότητα η $\bar{\sigma}_2$ έχει κάποια μικρή επίδραση, η οποία γενικώς θεωρείται αμελητέα στην πράξη.

ΕΞΑΡΤΗΣΗ ΤΗΣ ΔΙΑΤΜΗΤΙΚΗΣ ΑΝΤΟΧΗΣ (δηλ. τ vs ϕ) ΑΠΟ ΤΗΝ ΣΧΕΤΙΚΗ ΠΥΚΝΟΤΗΤΑ (D_{r0}) ΚΟΚΚΩΔΟΥΣ ΕΔΑΦΙΚΟΥ ΣΤΟΙΧΕΙΟΥ

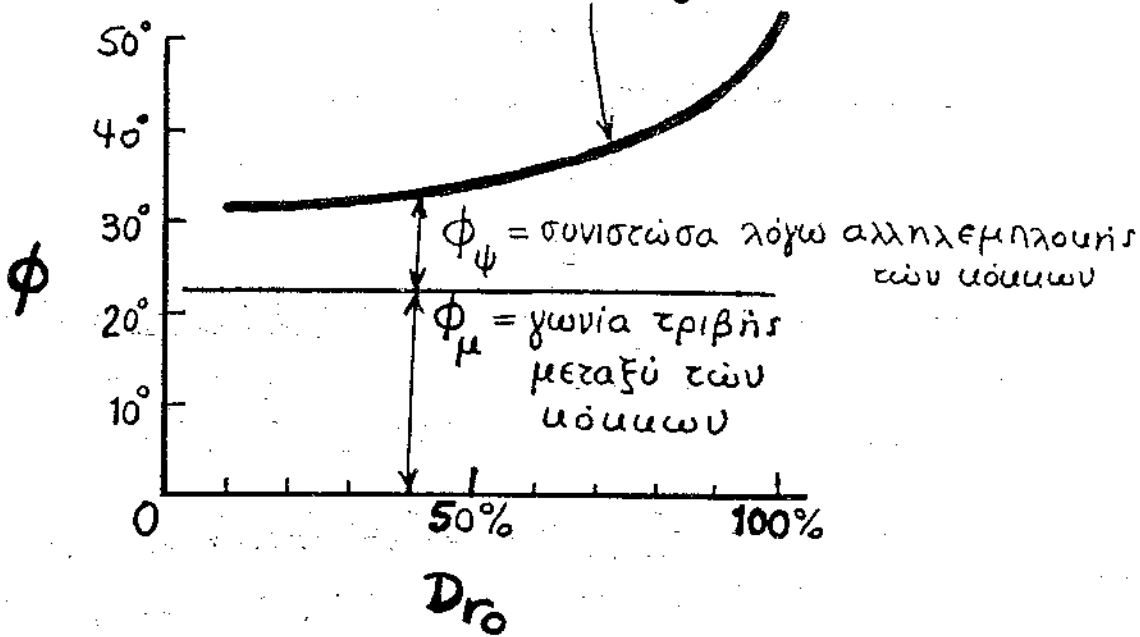
Η ΣΗΜΑΣΙΑ ΤΗΣ ΑΛΛΗΛΕΜΠΛΟΚΗΣ ΤΩΝ ΚΟΚΚΩΝ

Δοκιμή, π.χ., απευθείας διάτμησης (υπενθύμιση)



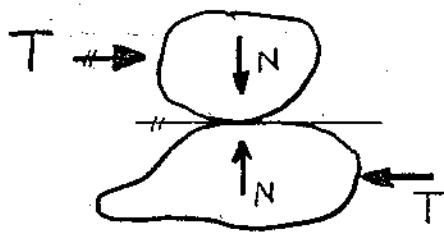
Είναι προφανές ότι $\phi_1 > \phi_2$ και γενικώς $\phi = \phi(D_{r0})$

Παράδειγμα $\phi = \phi(D_{r0})$ [Πειραματικά δεδομένα για μεσομοικη αμμο]



Δύο πηγές συμβάλλουν στην διατμητική αντίσταση (αντοχή) ενός κοκκώδους υλικού:

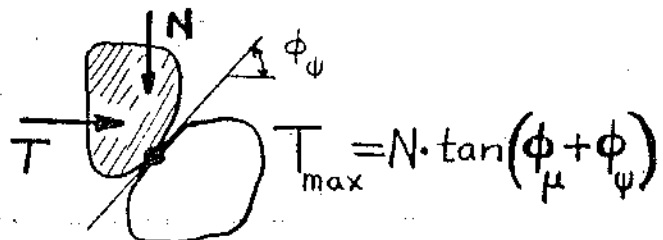
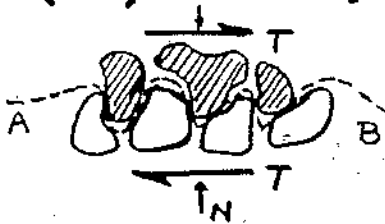
(i) η τριβή μεταξύ των κόκκων:



$$T_{max} = N \cdot \tan \phi_{\mu}$$

ϕ_{μ} = ανεξάρτητη της δομής (D_{r0})

(ii) η αλληλεμπλοκή των κόκκων:



ολίσθηση κατά της AB απαιτεί ελιγμωση:
 $-d\epsilon_{vol} / d\gamma > 0$

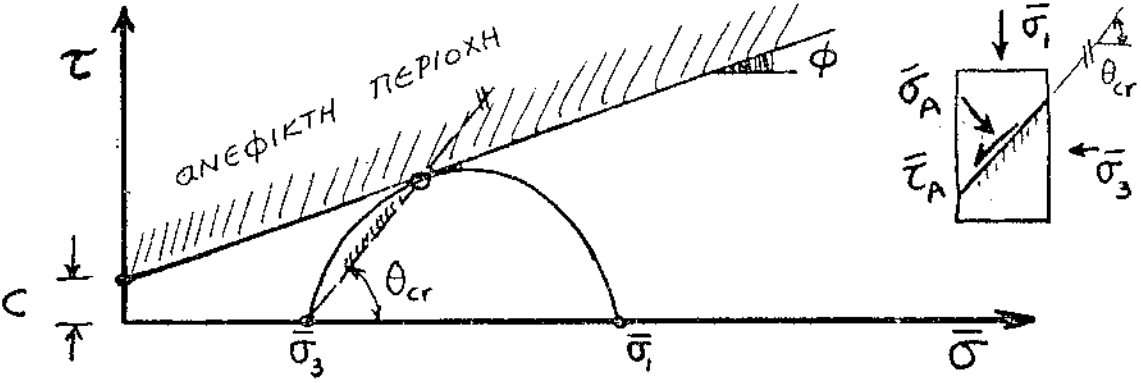
ϕ_{ψ} = συνάρτηση της πυκνότητας της δομής (D_{r0})

ΓΕΝΙΚΗ ΔΙΑΤΥΠΩΣΗ ΤΟΥ "ΝΟΜΟΥ" ΜΟHR-COULOMB

Το κριτήριο αστοχίας Mohr-Coulomb για "προφορτισμένες" (προστερεοποιημένες) αρχικούς και για εδαφικά υλικά που περιέχουν κάποιο συγκολλητικό παράγοντα λαβαίνει την ακόλουθη (γενικότερη) μορφή:

$$\tau_A = \bar{\sigma}_A \tan \phi + c$$

όπου η ^{υεα.} παράμετρος της διατμητικής αστοχίας, c , μπορεί να "ερμηνευθεί" ως **συνοχή**.



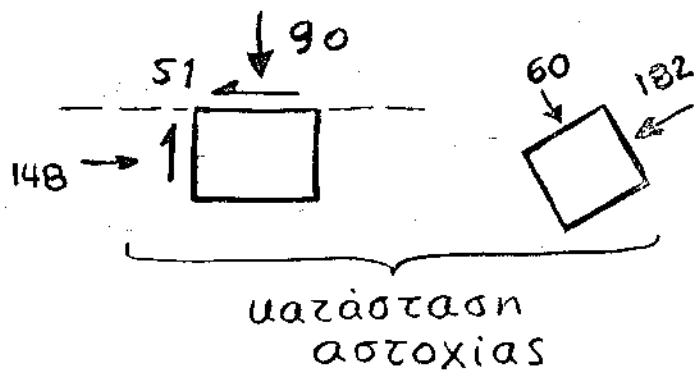
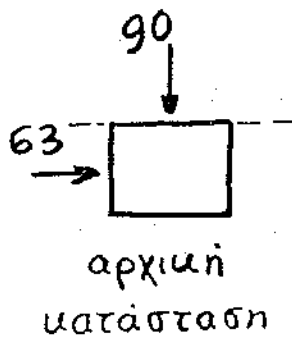
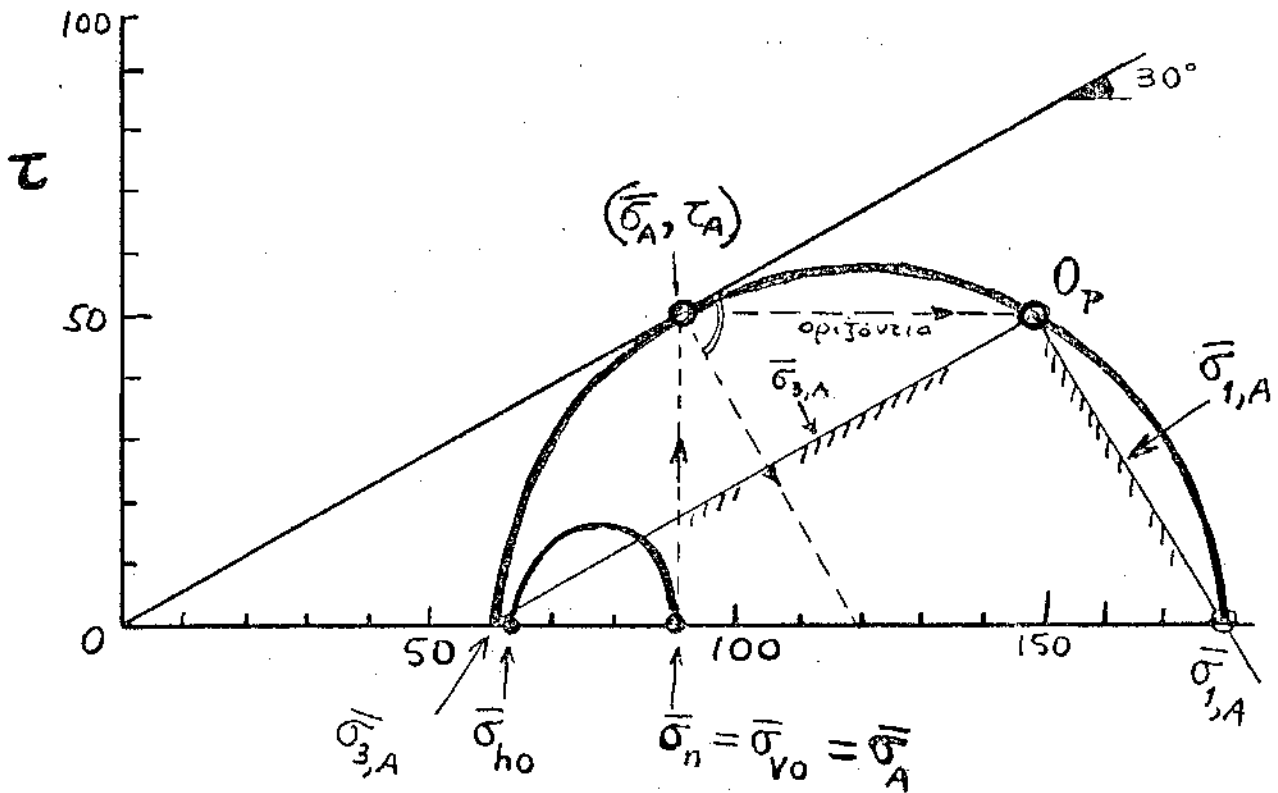
Η τιμή της τ_A όταν $\bar{\sigma}_A = 0$ είναι: $\tau_A = c$
 Να αποδειχθεί ότι και πάλι: $\theta_{cr} = 45^\circ + \phi/2$
 και ότι το "κριτήριο" (νόμος) Mohr-Coulomb μπορεί να γραφτεί:

$$\bar{\sigma}_1 - \bar{\sigma}_3 = (\bar{\sigma}_1 + \bar{\sigma}_3) \sin \phi + 2c \cos \phi$$

ΑΡΙΘΜΗΤΙΚΕΣ ΕΦΑΡΜΟΓΕΣ

1. Δίνονται: Η γωνία $\phi = 30^\circ$, Ο λόγος $K_0 = 0.7$ ενός κομινώδους εδαφισμού υλικού Δομικό του υποβάλεται σε απευθείας διάγνωση με $\bar{\sigma}_n = 90 \text{ kPa}$.

Ζητούνται: Οι κύκλοι Mohr προτού αρχίσει διάγνωση, και κατά την αστοχία. Να βρεθούν οι κύριες τάσεις και οι διευθύνσεις τους.



2. Κυλινδρική τριαξονική δομική άμμου.

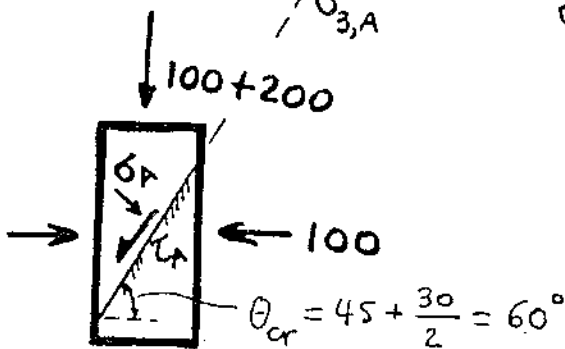
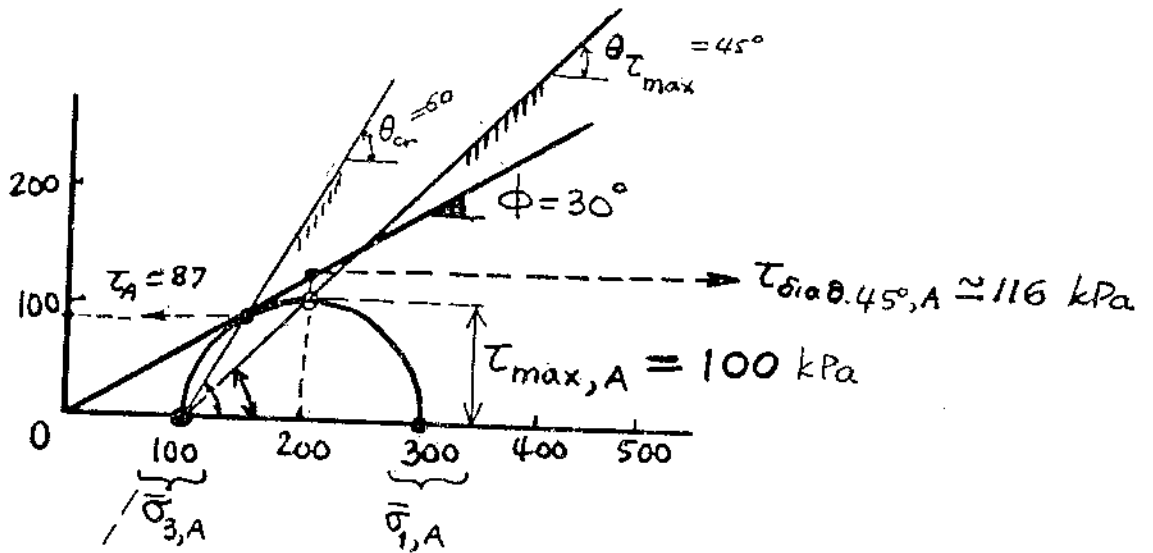
Παράπλευρη πίεση : $\bar{\sigma}_3 = \sigma_c = 100 \text{ kPa}$

επιβαλλόμενη πρόσθετη υαζωφόρηση τάση τήν
σσιγμή τής αστοχίας : $\Delta \bar{\sigma}_a = 200 \text{ kPa}$.

Ζητούμεται: (i) Η γωνία ϕ° (αυ έέρουμε ότι $c=0$)

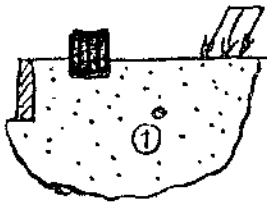
(ii) Η τ_A (στέ επίπεδο αστοχίας)
και η γωνία τού επιπέδου αυτού, θ_{cr}

(iii) Η $\tau_{max,A}$ και η διεύθυνση τού
επιπέδου τής. Ποιά είναι η διαδέσιμη
διατηρητική αντοχή στέ επίπεδο τής $\tau_{max,A}$;



Να λυθεί τó ίδιο
πρόβλημα και
αναλυτικά!

4.



Η ενταξιακή κατάσταση του "σημείου"

① μιας εδαφικής φορτιζόμενης μάζας (όπως στο σχήμα) είναι γνωστή:

$$\begin{bmatrix} \sigma_x & \tau_{xy} & \tau_{xz} \\ \text{συμμ.} & \sigma_y & \tau_{yz} \\ & & \sigma_z \end{bmatrix} = \begin{bmatrix} 180 & 0 & 120 \\ 0 & 103 & 0 \\ 120 & 0 & 80 \end{bmatrix}$$

Εάν το εδαφικό υλικό "υπακούει" ως προς την αστοχία στο κριτήριο Mohr-Coulomb, με (μετρημένα) $c = 86$ και $\phi = 35^\circ$, να βρεθεί αν το "σημείο" ① έχει αστοχήσει ή όχι.

Είναι προφανές ότι $\sigma_y = \sigma_z$ και επομένως η τιμή της ($\sigma_z = 103$) δεν έχει επίδραση στην αστοχία, μία που το υλικό ακολουθεί το κριτήριο M-C. Στο επίπεδο xz έχουμε την ακόλουθη σχέση για την κατάσταση αστοχίας:

$$\sqrt{(\sigma_z - \sigma_x)^2 + 4\tau_{xz}^2} \leq (\sigma_z + \sigma_x) \sin\phi + 2c \cos\phi$$

↑ στο = τη "στιγμή" της αστοχίας

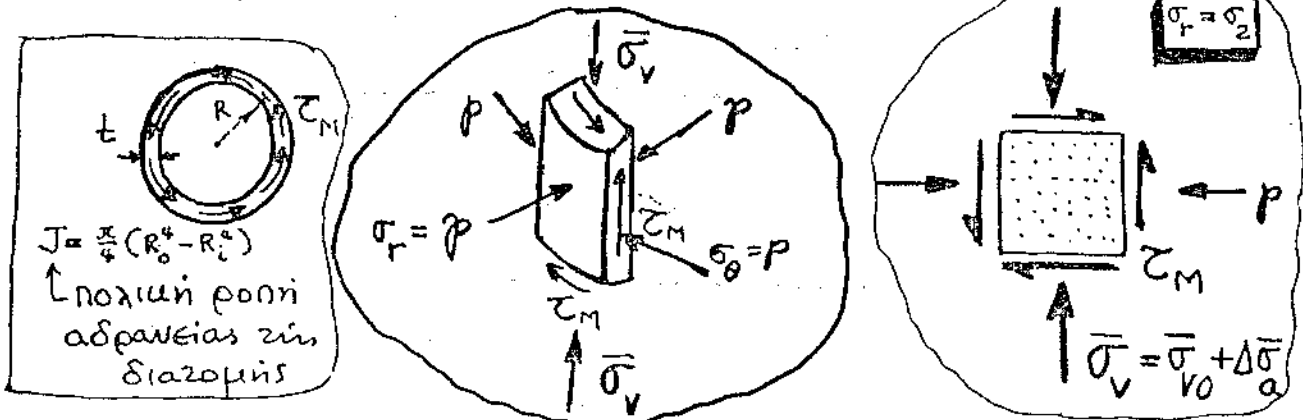
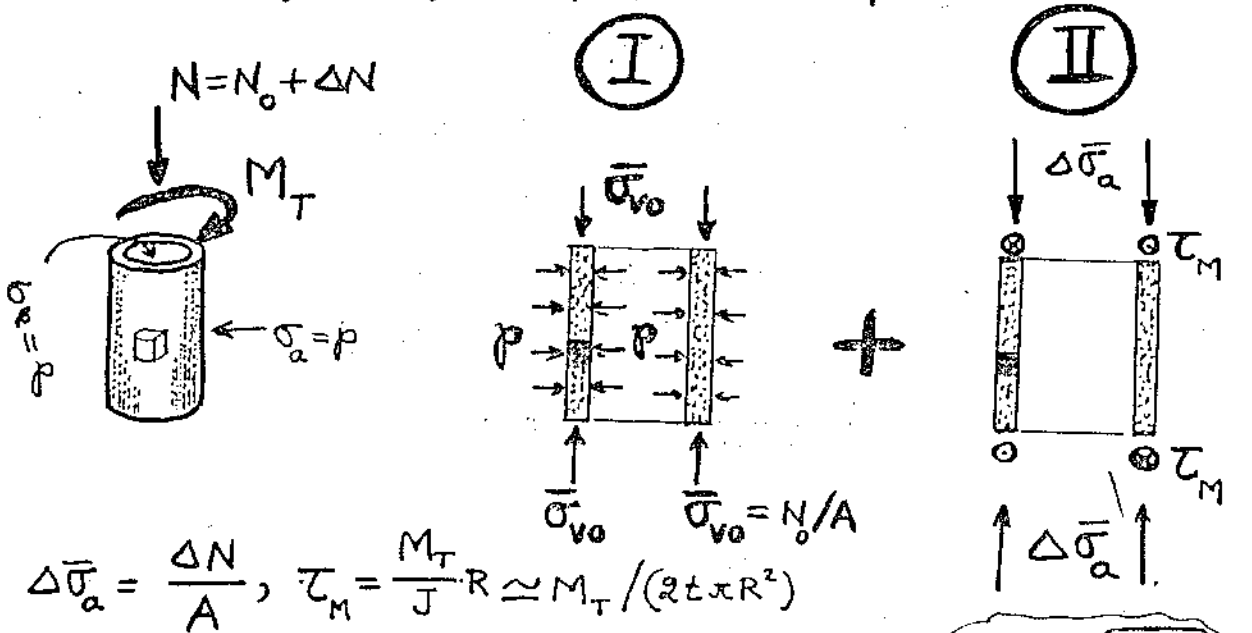
Εφαρμογή:

$$\sqrt{(80 - 180)^2 + 4 \times 120^2} \leq (80 + 180) \sin 35^\circ + 2 \times 86 \times \cos 35^\circ$$

$$260 \leq 290$$

Ισχύει η ανισότητα: Το "σημείο" ① δεν έχει αστοχήσει αν και βρίσκεται κοντά στην αστοχία.

5. Μια από τις επιστημονικώς πιο ορθολογικές εργαστηριακές δοκιμές της εδαφομηχανικής είναι η ΤΡΙΑΞΟΝΙΚΗ ΔΟΚΙΜΗ ΕΠΙΒΟΛΗΣ ΣΥΝΔΥΑΣΜΕΝΗΣ ΑΞΟΝΙΚΗΣ - ΣΤΡΕΠΤΙΚΗΣ ΕΠΙΠΟΝΗΣΗΣ ΣΕ ΔΟΚΙΜΙΑ ΣΧΗΜΑΤΟΣ ΣΦΛΗΝΩΤΟΥ ΚΥΛΙΝΔΡΟΥ. Στο παρακάτω σχήμα δείχνονται οι δύο φάσεις φόρτισης. Ζητείται: Η έκφραση του νόμου Mohr-Coulomb
 → Να γίνει σύγκριση με την κυλινδρική τριαξονική.



M-C:

$$\sqrt{(\bar{\sigma}_v - p)^2 + 4\tau_M^2} \leq (\bar{\sigma}_v + p) \sin \phi + 2c \cos \phi$$

3.5

ΜΗΧΑΝΙΚΗ ΣΥΜΠΕΡΙΦΟΡΑ & ΑΣΤΟΧΙΑ
ΚΟΡΕΣΜΕΝΟΥ ΑΡΓΙΛΙΚΟΥ ΔΟΚΙΜΙΟΥ
ΧΩΡΙΣ ΜΕΤΑΒΟΛΗ ΟΓΚΟΥ
ΥΠΟ "ΑΣΤΡΑΓΓΙΣΤΕΣ" ΣΥΝΘΗΚΕΣ

3.5 ΜΗΧΑΝΙΚΗ ΣΥΜΠΕΡΙΦΟΡΑ Κ' ΑΣΤΟΧΙΑ ΚΟΡΕΣΜΕΝΟΥ ΑΡΓΙΛΙΚΟΥ ΔΟΚΙΜΙΟΥ ΧΩΡΙΣ ΜΕΤΑΒΟΛΗ ΟΓΚΟΥ (“αστραγγιστες” συνθήκες)

Στα υποεγράφα 3.3 και 3.4 υποθέσαμε ότι $\sigma = \bar{\sigma}$, είτε διότι το εδαφικό υλικό δεν είναι κορεσμένο, είτε διότι οι δημιουργούμενες από την φόρτιση υπερπίεσεις πόρων, Δu , είχαν ειλουωθεί. Γενικεύοντας: σύμφωνα με την αρχή της ενεργού τάσης (§3.1), όσα είπαμε στα §3.3-3.4 εξακολουθούν να ισχύουν και όταν $\Delta u \neq 0$, με την προϋπόθεση ότι οι υπερπίεσεις αυτές έχουν ληφθεί υπόψη στον υπολογισμό των ενεργών τάσεων:

$$\Delta \bar{\sigma} = \Delta \sigma - \Delta u$$

και

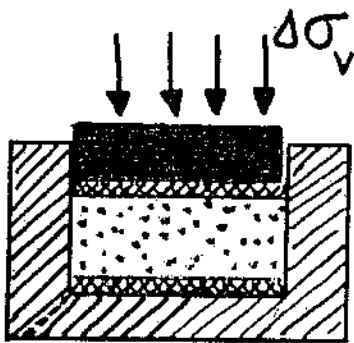
$$\bar{\sigma} = \bar{\sigma}_0 + \Delta \bar{\sigma}$$

As δούμε όμως τώρα υπό ποιές συνθήκες αναπτύσσονται οι Δu ...

**Ανάπτυξη υδατικών υπερπιέσεων
υπό διάφορες ευτασιές καταπονήσεις**

(πλήρως κορεσμένο αρχικό δομικό)

1. Μονοδιάστατη συμπίεση (βλ. §3.2)

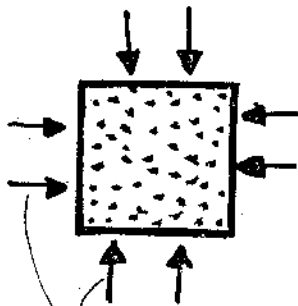


Αμέσως μετά την επιβολή του φορτίου $\Delta\sigma_v$, ή εάν το νερό των πόρων δεν έχει δυνατότητα εκφυγής:

Εξαιτίας της ασυμπίεστότητας του H_2O ($K \approx \infty$):

$$\Delta u \approx \Delta \sigma_v$$

2. Ισότροπη (υδροστατική) συμπίεση

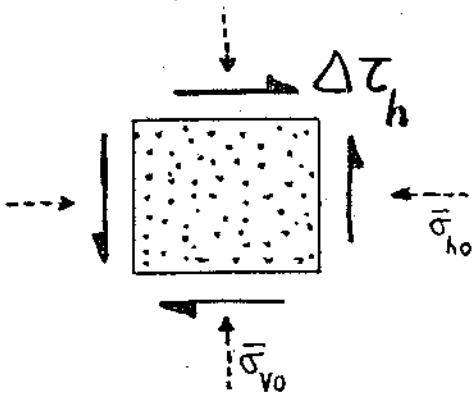


Και πάλι δεν είναι δυνατή μεταβολή όγκου \Rightarrow

$$\Delta u \approx \Delta \sigma_c$$

$$\Delta \sigma_c = \Delta \sigma_1 = \Delta \sigma_2 = \Delta \sigma_3$$

3. Αηλή διάτμηση απροφόρτιστου αργιλιού δομείου



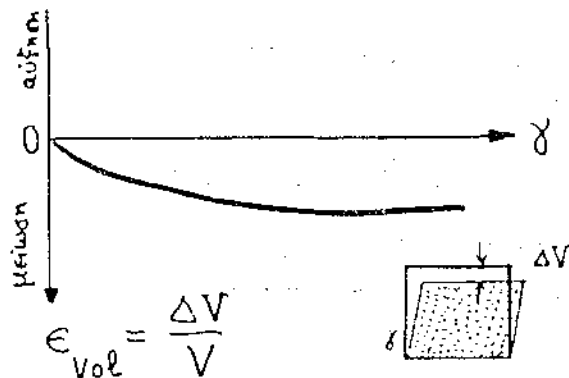
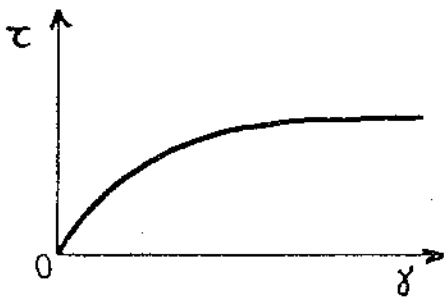
Διακρινουμε δύο αιφαιες περιπτώσεις:

(α) Εάν η επιβολή της $\Delta\tau_h$ γίνει πάρα πολύ αργά, ώστε

το H_2O να προλαβαίνει να κινείται προς τα μέσα ή προς τα έξω \rightarrow

$\Delta u \approx 0$ και άρα ισχύουν όσα είδαμε για θρηρημένα υποεφάγια:

η αύξηση $\Delta\tau_h$ θα συνεπάγεται όχι μόνου διατμητική παραμόρφωση γ αλλά και μείωση του όγκου $+\Delta V$



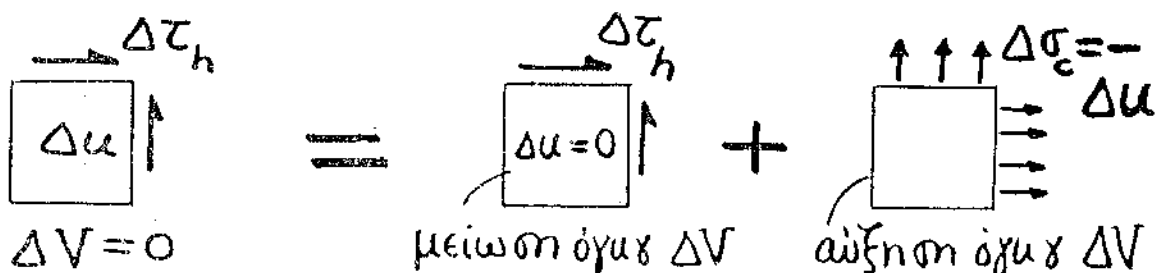
(β) Αμέσως μετά την επιβολή της $\Delta\tau_h$, ή εάν η φόρτιση είναι αρμετά ταχεία, ή τέλος εάν δέν αφίνσ- με τό H_2O των πόρων να κινείται προς τα μέσα ή έξω \Rightarrow

$\Delta V \simeq 0$ εξαιτίας της σχετικής ασυμπίεστότητας του H_2O .

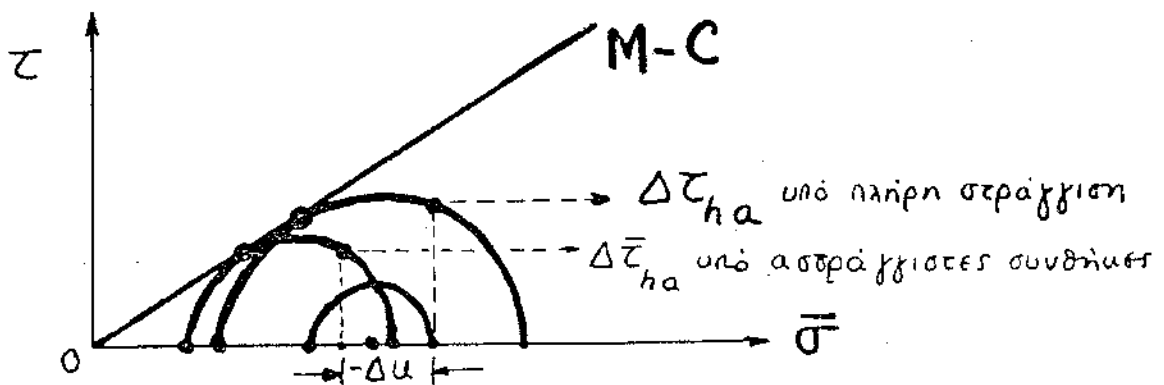
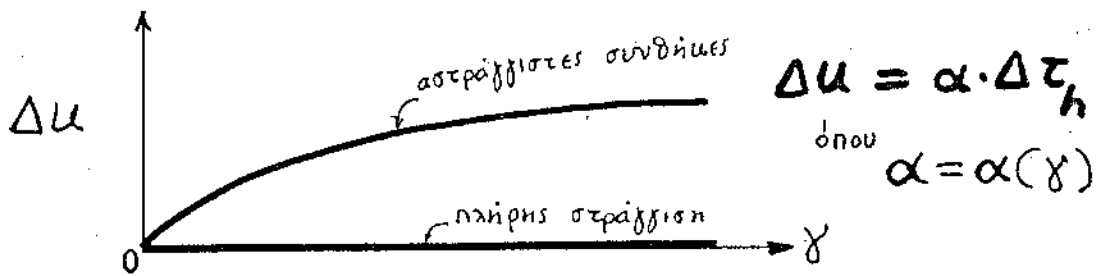
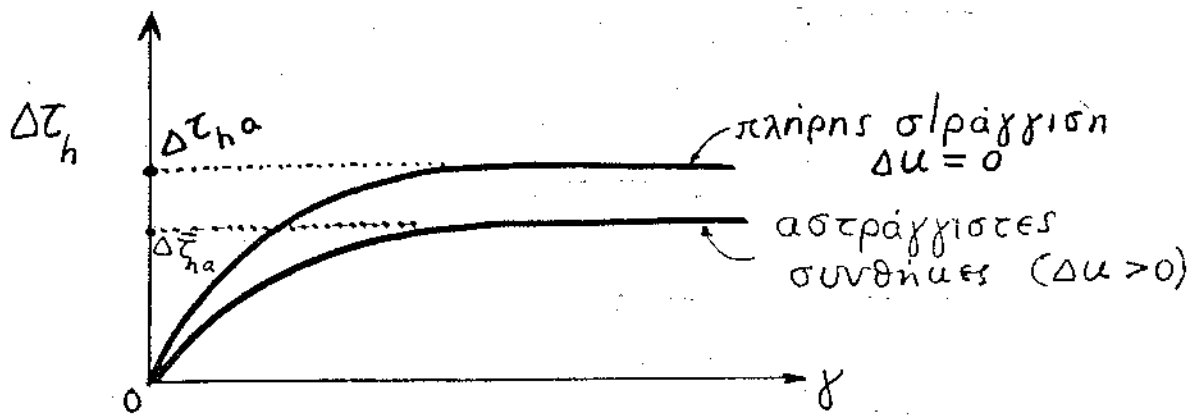
Ο μόνος τρόπος για να μην πραγματοποιηθεί η $+\Delta V$ είναι η αύξη- ση των υπερπιέσεων, $+\Delta u$, ώστε η ενεργός ορθή τάση να μειωθεί από

$\bar{\sigma}_{V0}$ σε $\bar{\sigma}_V = \bar{\sigma}_{V0} - \Delta u$ κατά

την αρχή της ενεργού τάσης. Σχηματικά:



Πραγματικά, εάν ευχεθέσουμε την δομική χωρίς να επιτρέψουμε μεταβολή όγκου ("αστρέγγιστες" συνθήκες) και συγχρόνως μετράμε τις υδατικές πιέσεις που αναπτύσσονται, παίρνουμε αποτελέσματα ως εξής:

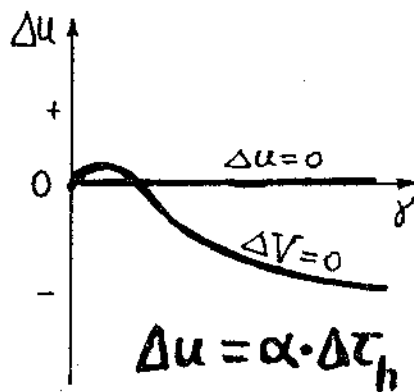
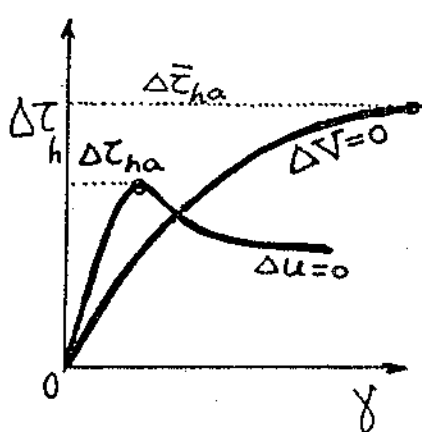


4. Απλή διάγνωση προφορισμένων αρχιλικού δοκιμίου

(α) Εάν $\Delta u = 0$, είτε διότι η δοκιμασία γίνεται πολύ αργά είτε διότι έχει γίνει πλήρης ειλόυνωση των αρχικών $\Delta u \Rightarrow$

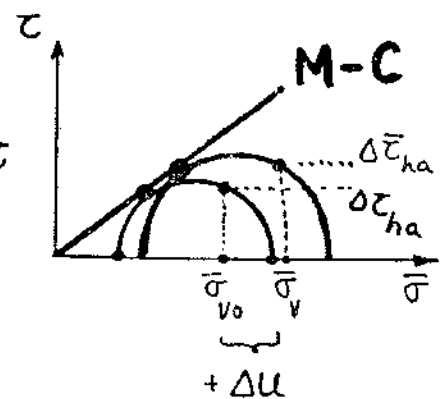
σημαντικές μεταβολές όγκου,
ωρίως αύξηση του όγκου, $-\Delta V$,
(διασταλτικότητα).

(β) Εάν η μεταβολή του όγκου παρεμποδισθεί (: κορεσμός + όρα "στραγγίση") αναπτύσσονται αρνητικές υδατικές υπο-πιέσεις, $-\Delta u \Rightarrow$



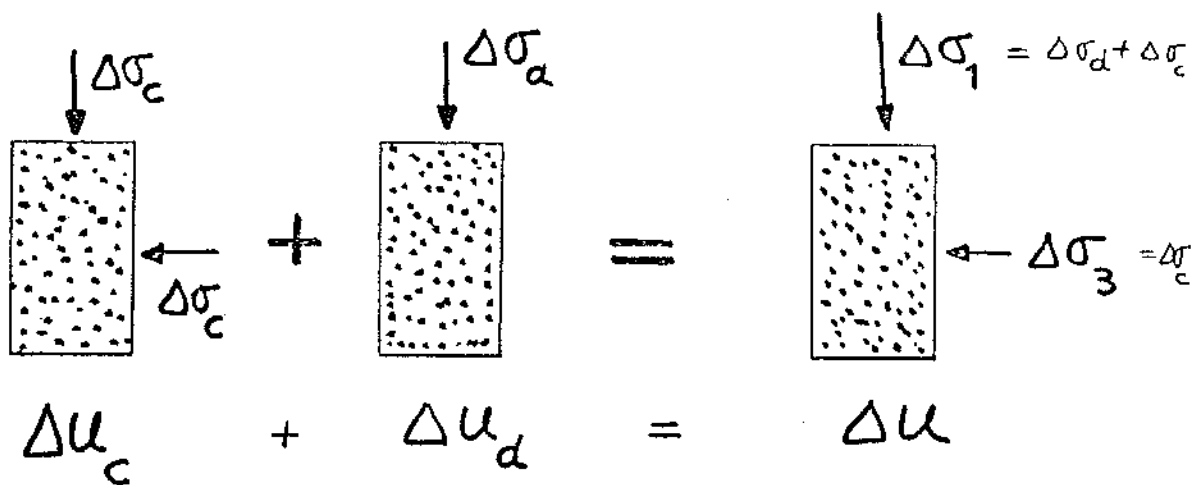
$$\Delta u = \alpha \cdot \Delta z_h$$

$$\alpha = \alpha(\gamma, OCR)$$



$$[\bar{\sigma}_v = \bar{\sigma}_{vo} - (-\Delta u)]$$

5. Τριαξονική κυλινδρική συμπίεση



Υπό αστραγγιστες συνθήκες $\Delta V = 0$ και υδατικές υπερπίεσεις ή υποπίεσεις θα αναπτυχθούν ανάλογα με το αν το δοκίμιο έχει "έφεση" για διασταλτική ή συσταλτική συμπεριφορά.

$$\Delta u_c \approx \Delta \sigma_c \quad (\text{υδροστατική συμπίεση})$$

$$\Delta u_d = A \cdot \Delta \sigma_d \quad (\text{διαμήκης συμπίεση})$$

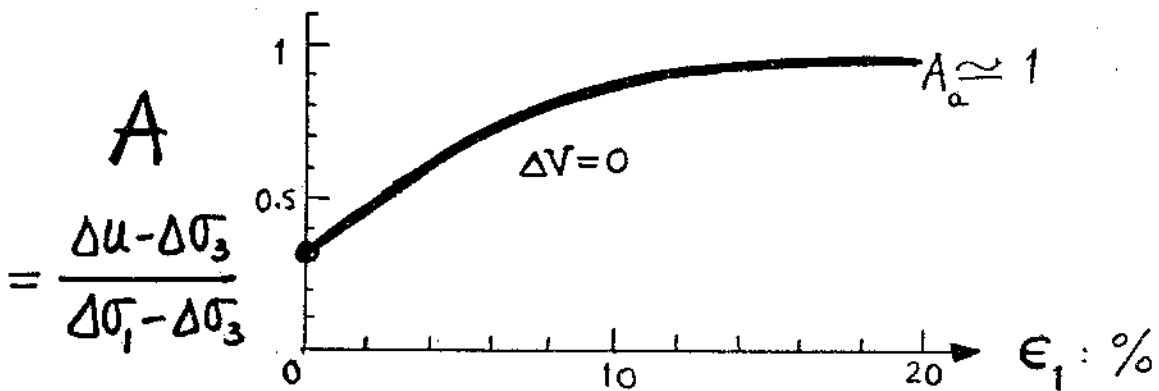
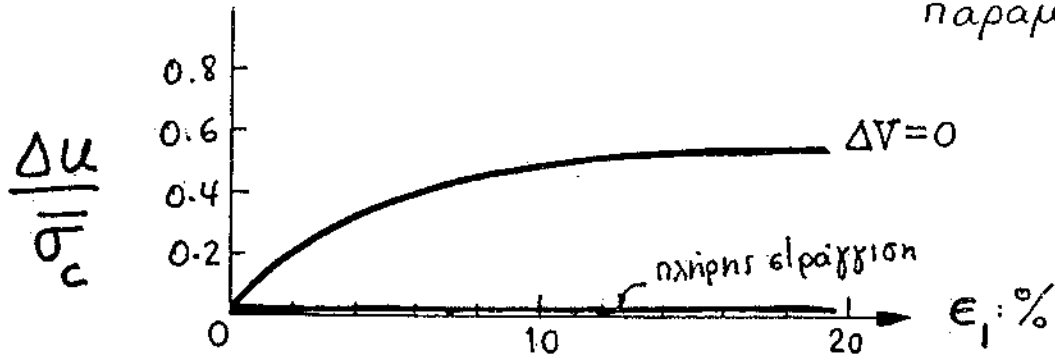
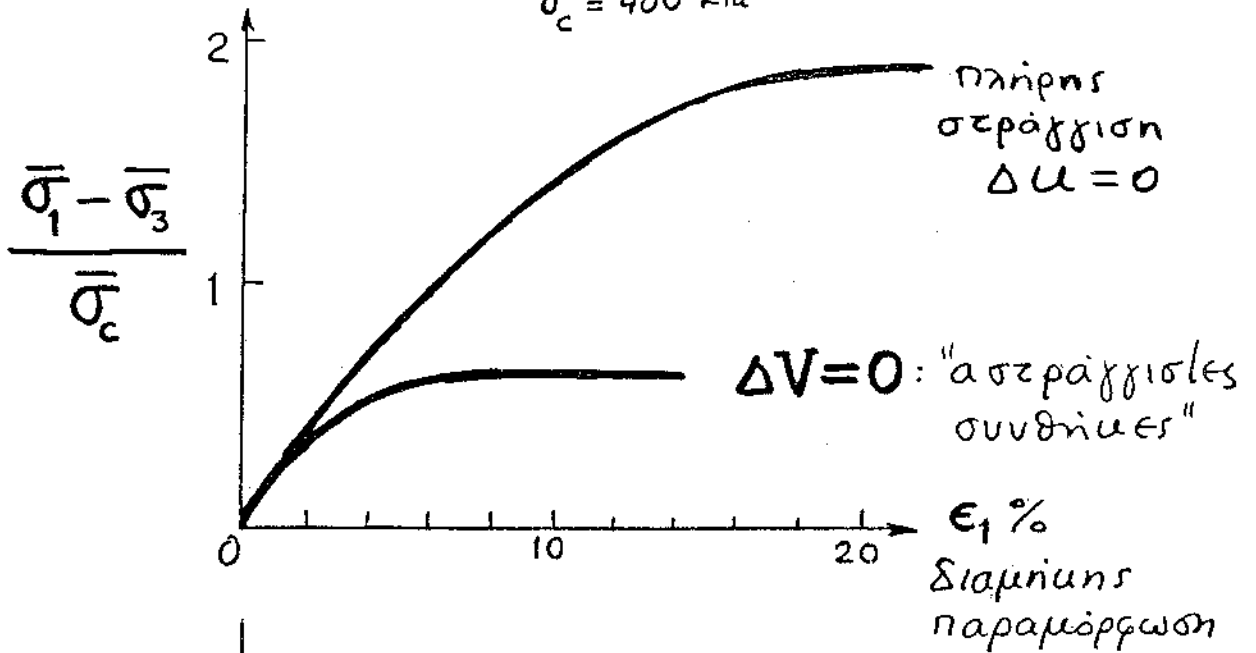
$$A = A(\epsilon_1, OCR)$$

όπου $OCR = \text{βαθμός προφόρτισης} = \frac{10^4 p_0}{\sigma_0}$

συνολικά:
$$\Delta u = \Delta \sigma_3 + A (\Delta \sigma_1 - \Delta \sigma_3)$$

1^ο παράδειγμα: απροφόρτιστη άργιλος

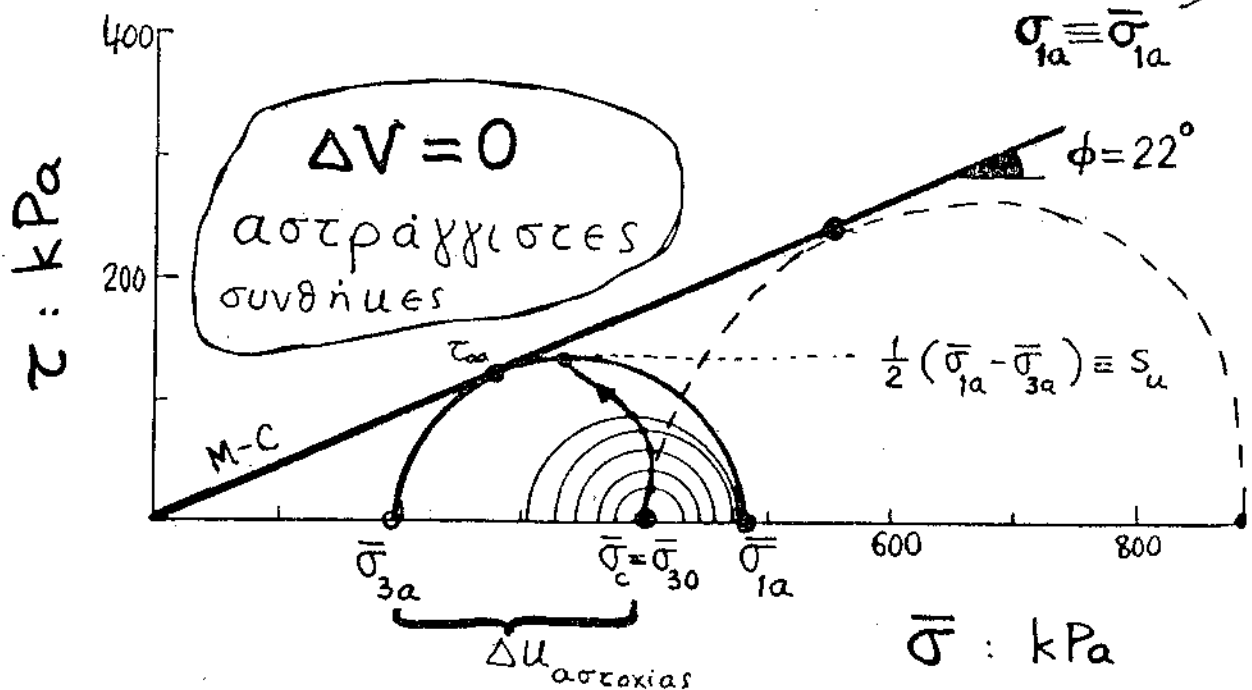
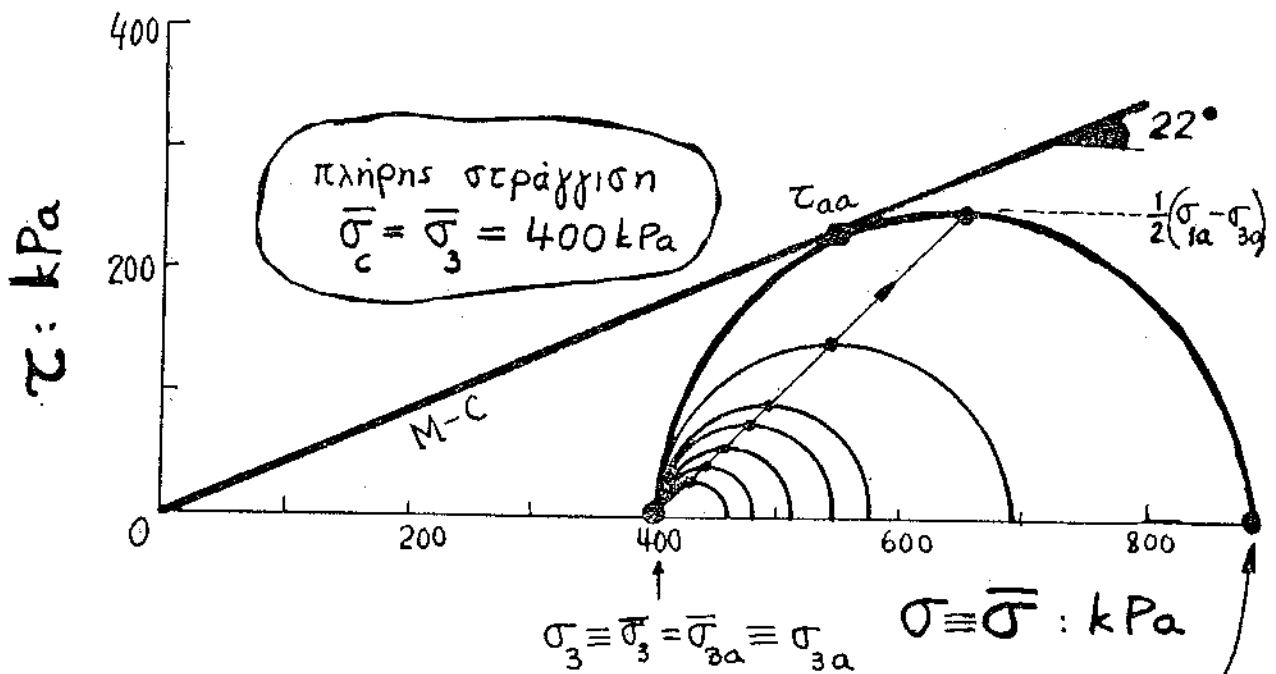
$\bar{\sigma}_c = 400 \text{ kPa}$



Στις μικρές ϵ_1 ($\epsilon_1 \sim 0$) $A \sim \frac{1}{3} \therefore$

$$\Delta u \sim \Delta \sigma_{oct} = (\Delta \sigma_1 + \Delta \sigma_2 + \Delta \sigma_3) \cdot \frac{1}{3}$$

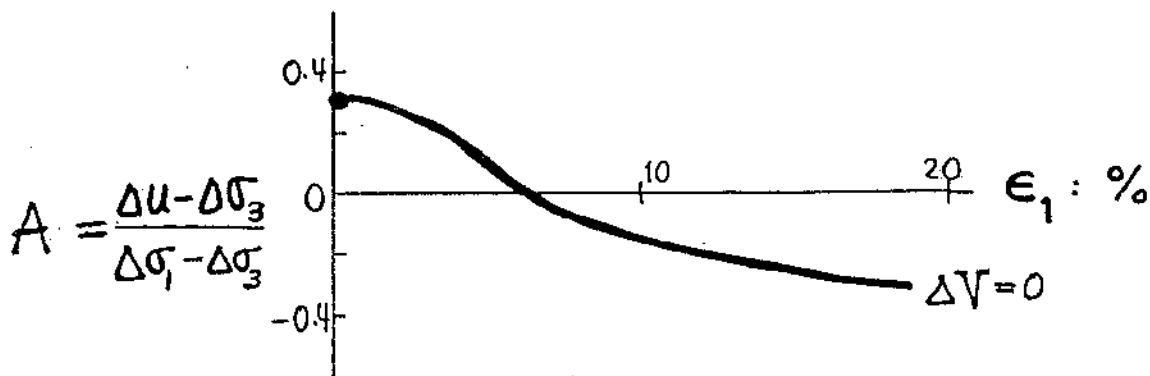
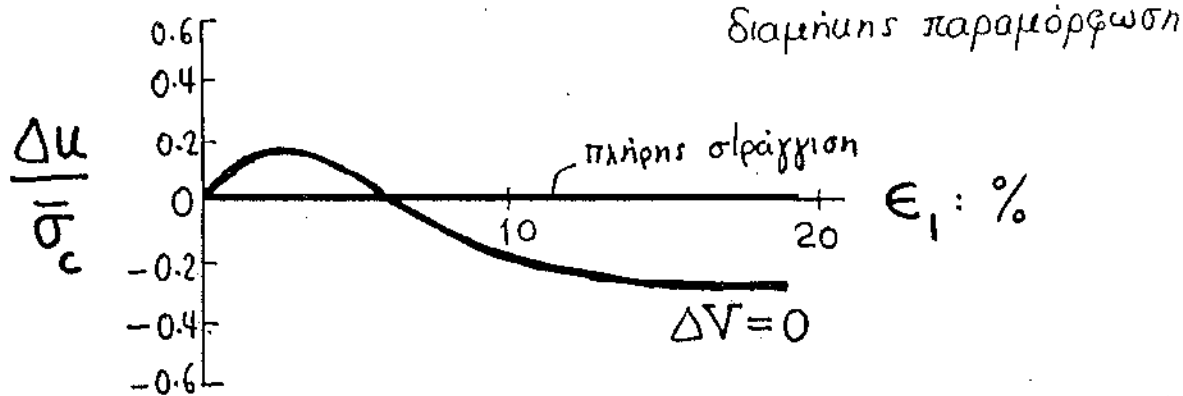
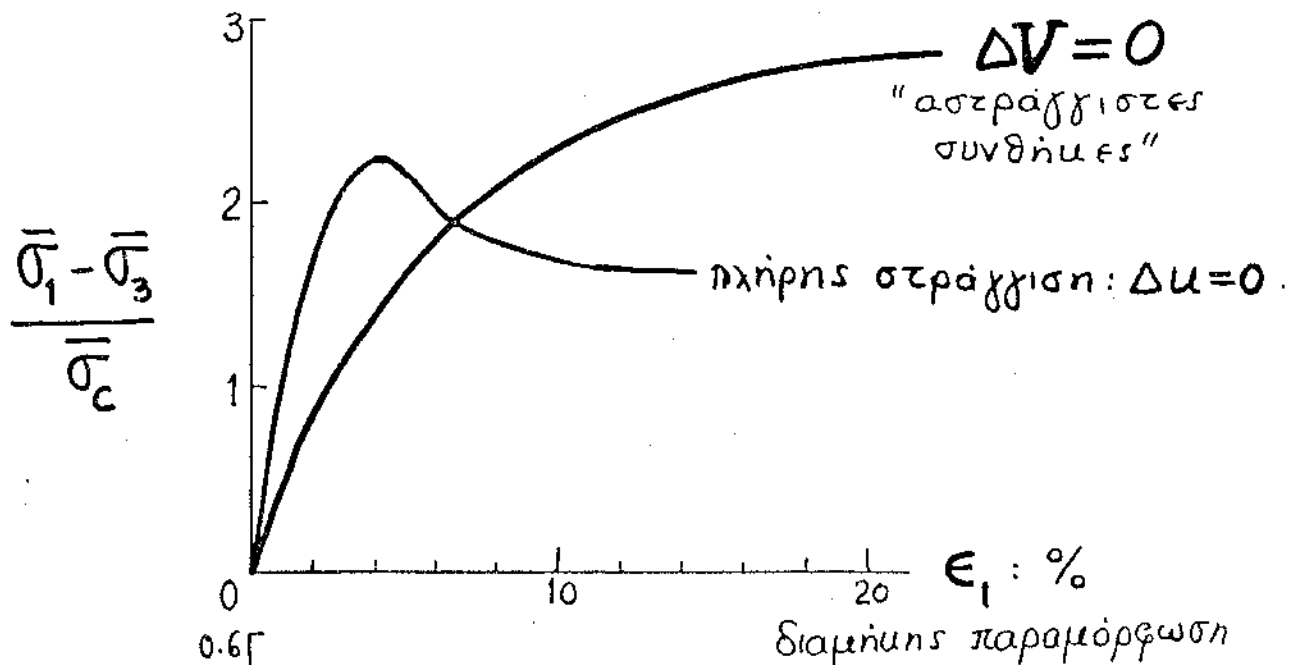
η σχέση αυτή, $\Delta u = \Delta \sigma_{oct}$, είναι αριθμώς σωστή για γραμμικώς ελαστικά εδαφικά υλικά. (Νά αποδειχθεί.)



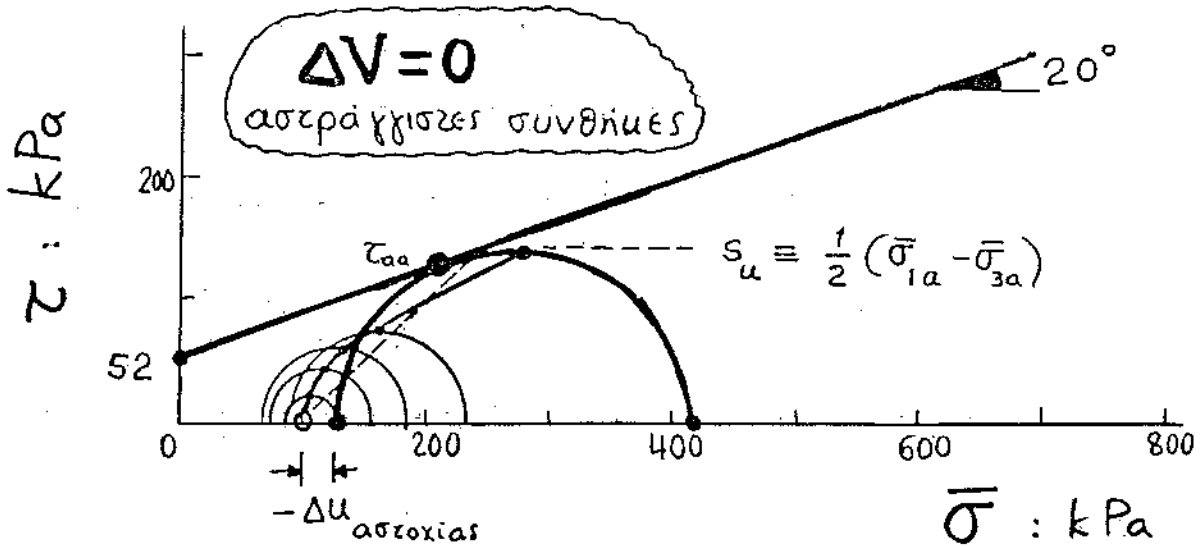
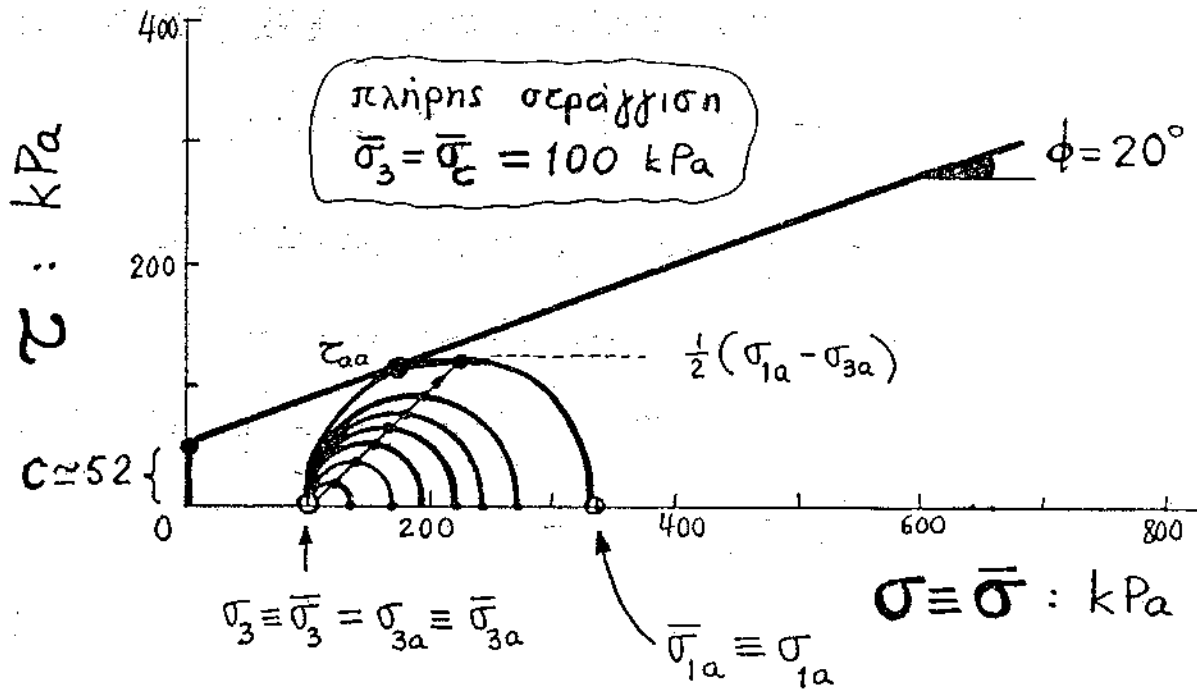
Παρατηρείστε την μείωση της διατμητικής αντοχής υπό αστράγγιστες συνθήκες

2° συγκριτικό παράδειγμα:

προφορτισμένη άρχισος: $OCR = 6$



Και πάλι $A \approx \frac{1}{3}$ για $\epsilon_1 \rightarrow 0$
 ("ελαστική" συμπεριφορά)



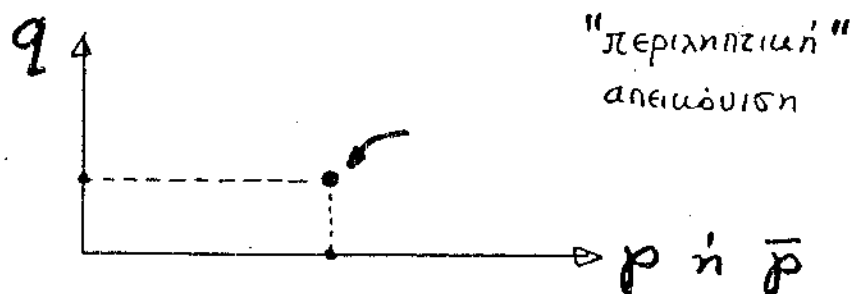
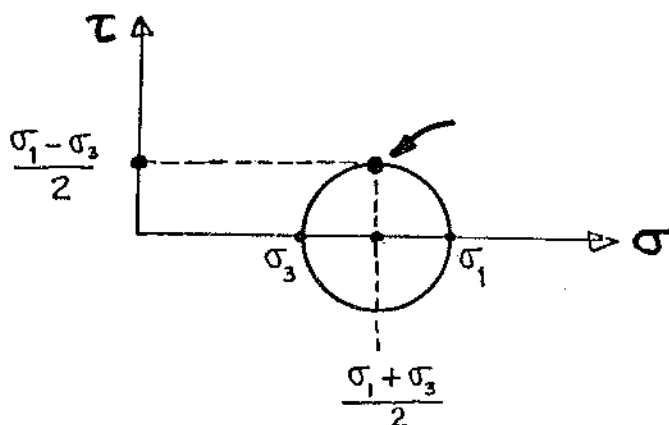
Παρατηρείστε την αύξηση της διατμητικής αντοχής της προφορτισμένης αργίλου υπό ασπράγγιστες συνθήκες. η διαφορά ωστόσο δεν είναι τόσο δραματική όσο η μείωση στις απροφόρτιστες αργίλους.

Παρένθεση:

Η εξέλιξη των κύματων του Mohr προσφέρει αριθμητική αλλά κάπως μπερδεμένη εικόνα των διαδοχικών ενταξιακών καταστάσεων κατά την διάρκεια μίας δοκιμής. Υπάρχει όμως και απλούστερος τρόπος: αντί του κύμα

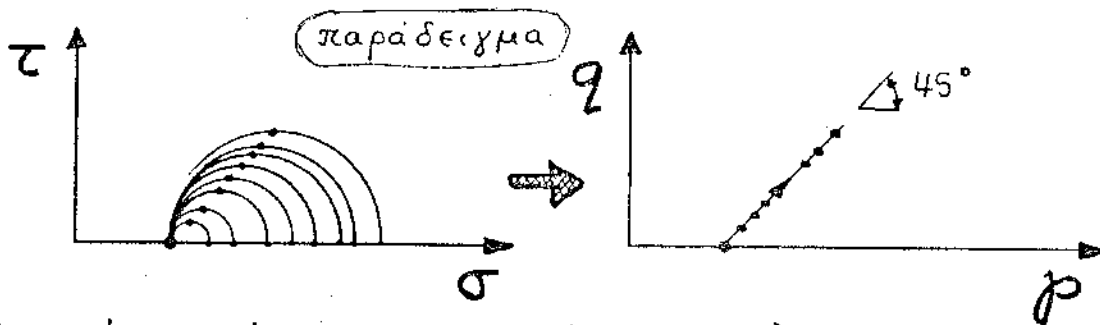
Mohr η ενταξιακή κατάσταση μπορεί να παρασταθεί αμφιμονοσήμαντα με ένα μόνον σημείο, αυτό που έχει συντεταγμένες

$$q = \frac{\sigma_1 - \sigma_3}{2}, \quad p = \frac{\sigma_1 + \sigma_3}{2}$$



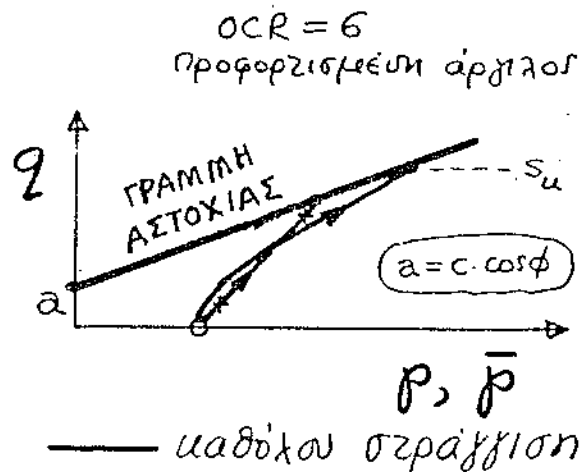
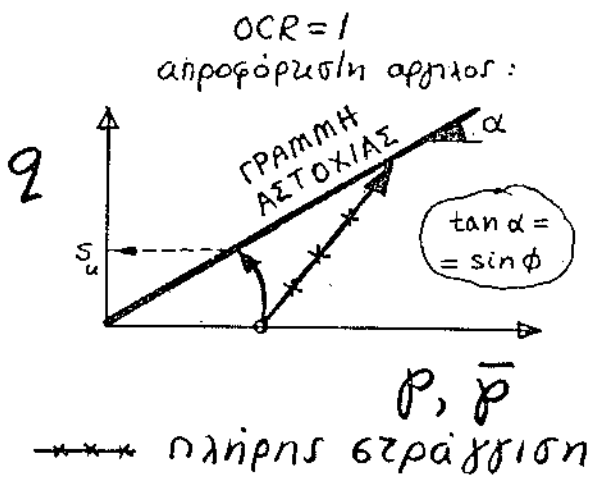
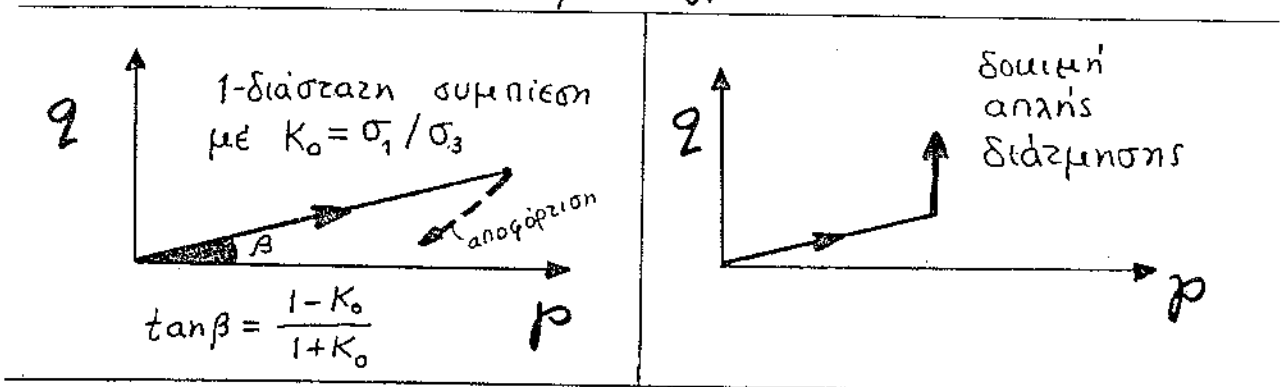
Έτσι, αυτί για διαδοχικούς
κύκλους Mohr έχουμε μία συνεχή γραμμή
η οποία συνδέει τις κορυφές των κύκλων.

Την συνεχή αυτή γραμμή θα την λέμε
τασιική όδευση ή διαδρομή των τάσεων



δοκιμή τριαξονικής (κυλινδρικής) συμπίεσης με $u=0$

άλλα παραδείγματα:

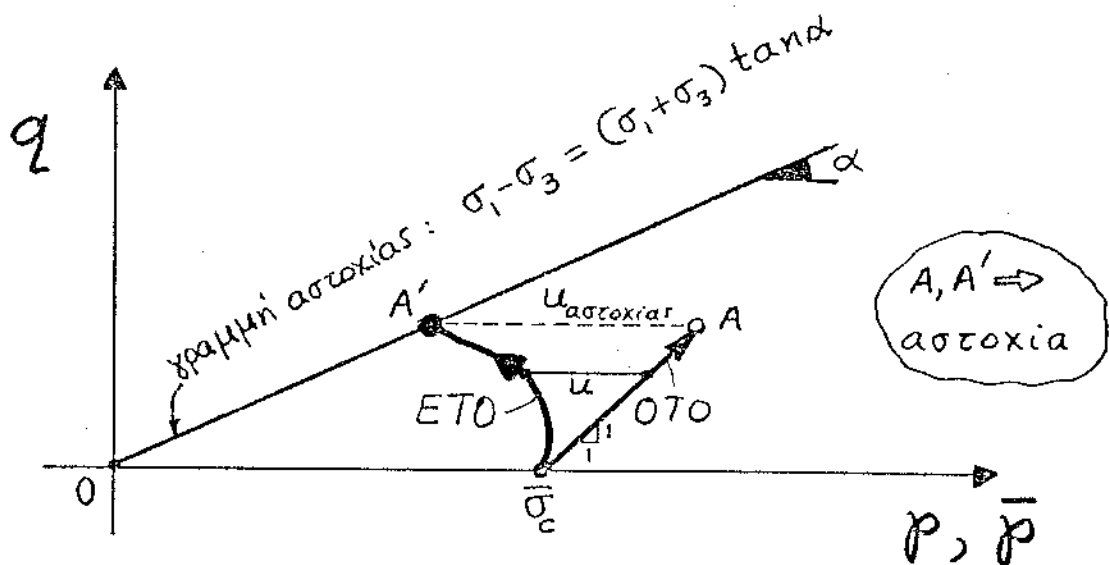


Είναι προφανές ότι σε μια "αστραγγιστή" διαμηκτική επιπόνηση μπορούμε να έχουμε κύκλους Mohr τόσο για την ολκή όσο και για την ενεργό ευτακτική ματάσταση.

→ υπάρχουν διαδρομές ολκών ή ενεργών τάσεων. θα τις ονομάσουμε:

- ΟΛΚΗ ΤΑΣΙΚΗ ΟΔΕΥΣΗ (ΟΤΟ)
- ΕΝΕΡΓΟ ΤΑΣΙΚΗ ΟΔΕΥΣΗ (ΕΤΟ)

Παράδειγμα: "τρίαξονική" συμπίεση απροφόρτιστης αρχήλου



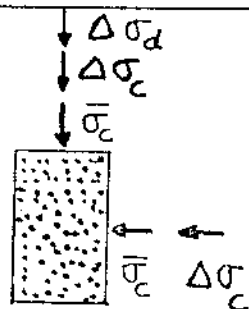
$$q = \frac{\sigma_1 - \sigma_3}{2} = \frac{\bar{\sigma}_1 - \bar{\sigma}_3}{2} = \bar{q}, \quad \bar{p} = \frac{\bar{\sigma}_1 + \bar{\sigma}_3}{2} = \frac{\sigma_1 - u + \sigma_3 - u}{2} = \bar{p} - u$$

Τό νόημα της έννοιας "φ=0"

Θεωρούμε τρία πανομοιότυπα δοίμια απροφόρτισης αρχικού, όλα υδροστατικώς στερεοποιημένα μέγιστη $\bar{\sigma}_c \equiv \bar{\sigma}_{10} \equiv \bar{\sigma}_{30} = 100 \text{ kPa}$, και $u_0 = 0$. Με αυξησμένες όλες τις βαθίδες διόδου του νερού των πόρων ώστε να επιπαραγούν αστραγγιστες συνθήκες, επιβάλλουμε κάθε δοίμιο (1) σε μία νέα υδροστατική συμπίεση ή εφελκυσμό· και (2) σε διαμήκη ("τριαξονική") θλίψη μέχρι αστοχίας.

Τα επιβαλλόμενα ενταξιακά μεγέθη:

Δοίμιο	α	β	γ	
$\bar{\sigma}_c$	100	100	100	
$\Delta \sigma_c$	-80	+50	+150	
$\Delta \sigma_d$ αστοχίας	$\Delta \sigma_{d(\alpha)}$	$\Delta \sigma_{d(\beta)}$	$\Delta \sigma_{d(\gamma)}$	= ;



Ερώτημα: Να ευρεθεί η οριζική και η ενεργός ευταξιακή κατάσταση στο έλασ της υδροστατικής φορτίσεως (σάβιο 1).

Υδροστατική εντακτική κατάσταση :

οριζική: $\sigma_1 = \sigma_3 = \bar{\sigma}_c + \Delta\sigma_c$

ενεργός: $\mu = \Delta\sigma_c \rightarrow \bar{\sigma}_1 = \bar{\sigma}_3 = \bar{\sigma}_c$

Και επειδή η μηχανική συμπεριφορά εξαρτάται από τις ενεργές τάσεις, τα τρία δοκίμια είναι αζεχωρίιστα!

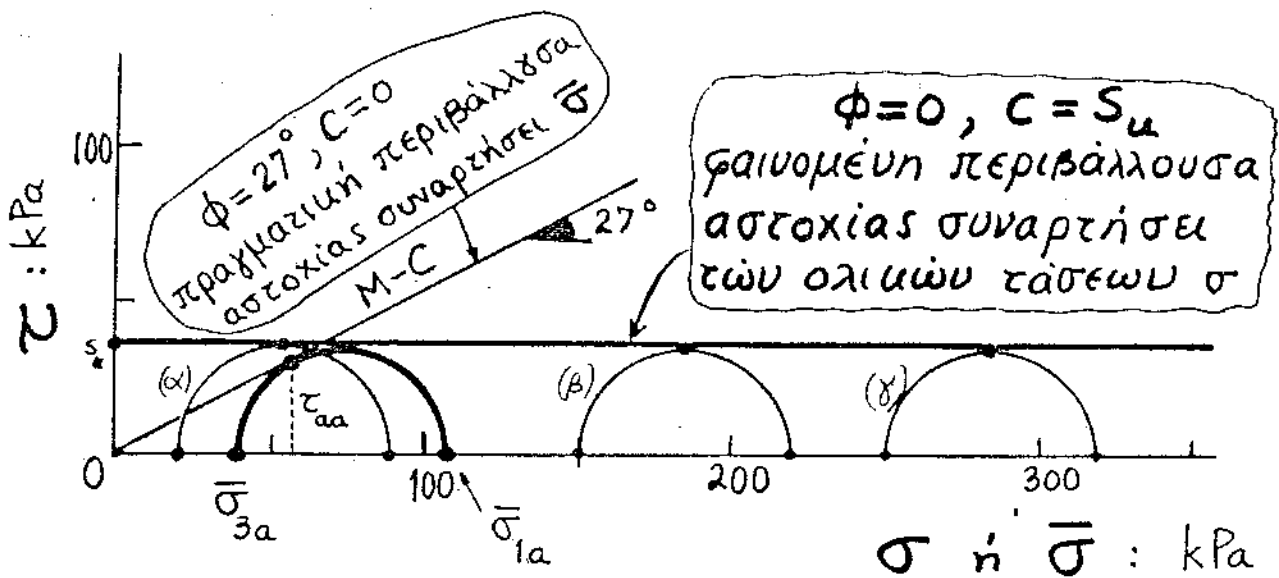
Μ' άλλα λόγια, η επιβολή υπό αστράγγιστες συνθήκες της $\Delta\sigma_c$ δεν έχει καμμιά επίδραση στην συμπεριφορά του δοκίμιου • είναι ακριβώς το ίδιο με μιά αύξηση της ατμοσφαιρικής πίεσης: οι ενεργές τάσεις παραμένουν αμετάβλητες μιά που "εσωτερικές" και "εξωτερικές"

πιέσεις μεγαλώνουν εξίσου.

Τούτο επιβεβαιώνει και τ'ό πείραμα:

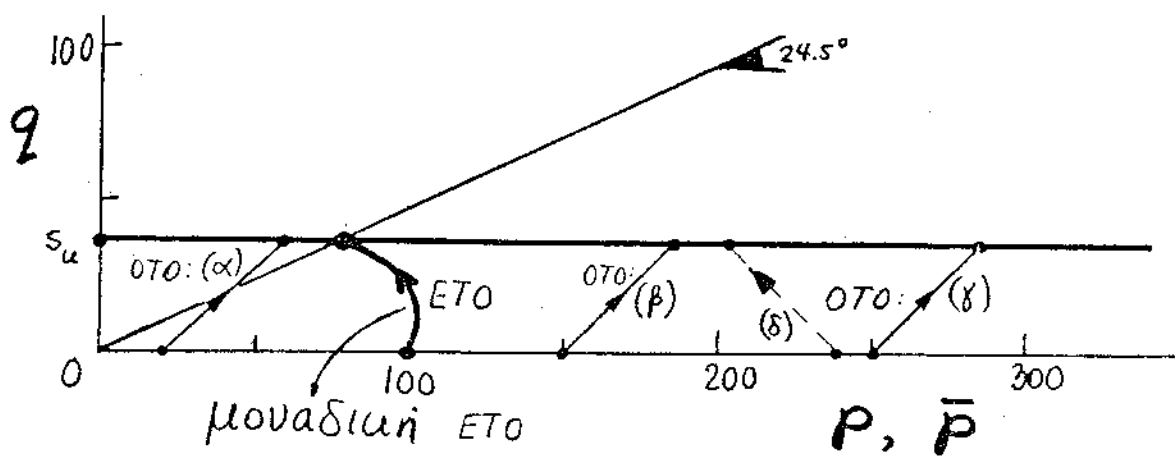
$$\Delta\sigma_{d(\alpha)} \approx \Delta\sigma_{d(\beta)} \approx \Delta\sigma_{d(\gamma)} \approx 70 \text{ kPa}$$

Ολικοί και ενεργός κύκλοι Mohr στην κατάσταση αστοχίας:



- κύκλοι ολικών τάσεων (δοκιμές α, β, γ)
- μοναδικός (κοινός) κύκλος ενεργών τάσεων

εναλλακτική ("περιληπτική") παρουσίαση:



(δ): πλευρική αποφόρτιση υπό σταθερή διαμετρική τάση

Συμπέρασμα:

Η αστραγγιστη διαμηζιυή αυγοχή s_u δέν εξαρτάται από μεταβολές τών ολιυών τάσεων σ ή p .

(Πρόσθετη επιβεβαίωση τής αρχής τής ευφυγής τάσης.)

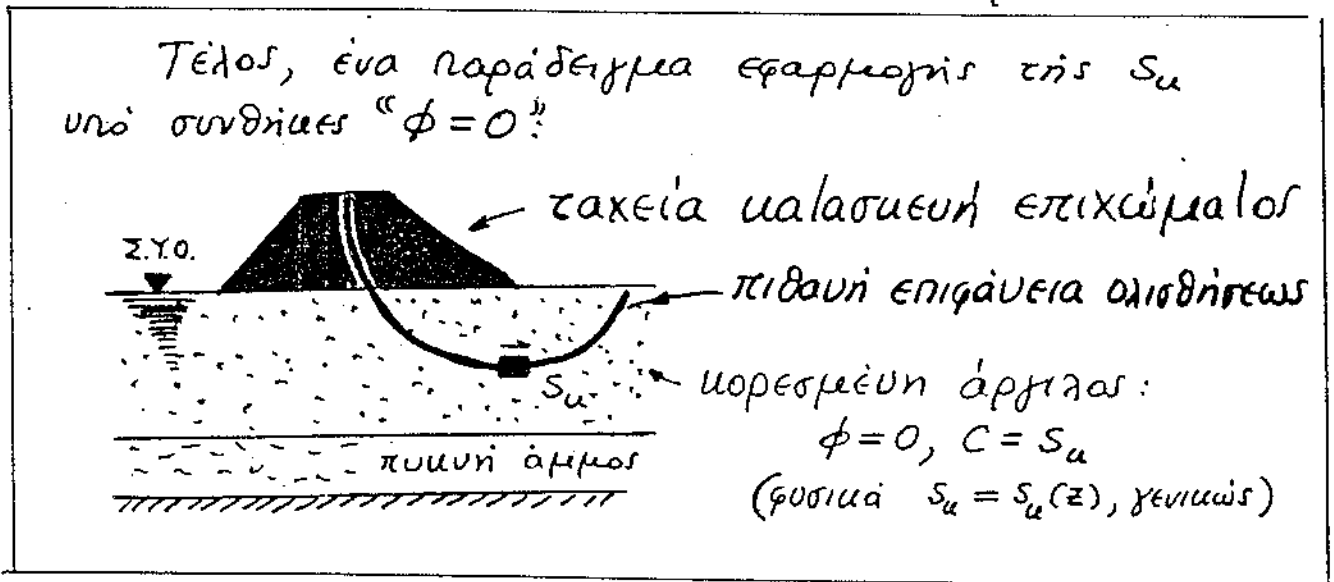
Δτό επίπεδο λοιπόν τ - σ ή q - p η αστραγγιστη διαμηζιυή αυγοχή εμφανίζεται ως ευθεία γραμμή παράλληλη πρὸς τόν άξονα τών ορθών τάσεων, σ ή p , ώς τὸ υλιυὸ νά χαρακτηρίζεται από $\phi = 0$. Φυσικά, η σχέση αυτή δέν αναφέρεται στὸ εσωτερικὸ (αληθινὸ) μηχανισμό τής διαμηζιυής αυγίστασης τού εδαφικὸ υλιυὸ : τὸ κριτήριο Mohr-Coulomb εφακολουθεί νά ισχύει...

Παρόλ' αυτά όταν σέ μιὰ εφαρμογή μάς είναι γνωστές οι μεταβολές τών ολιυών τάσεων επί ενός στοιχείου και μετρήσουμε τήν s_u του, είναι πολύ πιὸ εύκολο νά κάνουμε υπολογισμούς ευστάθειας μέ βάση τήν φαινομένη περιβάλλουσα αστοχίας $\phi = 0, c = s_u$.

Εναλλακτική διαδικασία υπολογισμού:

Μεταβολές ολικών τάσεων $\xrightarrow[\text{ή θεωρία}]{\text{πείραμα}}$ υδατικές υπερπίεσεις $\xrightarrow{\Delta\bar{\sigma} = \Delta\sigma - \Delta u}$ ενεργές τάσεις και μεταβολές τους \longrightarrow έλεγχοσ αστοχίας με βάση την πραγματική περιβάλλουσα αστοχίας (Mohr-Coulomb): ϕ, c

Λόγω μεγάλης δυσχέρειας για έναν ρεαλιστικό υπολογισμό των Δu στην πραγματική εδαφική κατάσταση, η μέθοδος ενεργών τάσεων είναι πολύ πιο δυσπρόσιτη από την μέθοδο ολικών τάσεων. Η δεύτερη αυτή μέθοδος συνήθως είναι η προτιμώμενη, παρόλα τα θεωρητικά της μειονεκτήματα έναντι της πρώτης.



4.

Εφαρμογή θεωρίας συνεχούς ελαστικού μέσου :

ΜΕΤΑΔΟΣΗ ΤΑΣΕΩΝ

ΛΟΓΩ ΕΠΙΒΟΛΗΣ ΕΞΩΤΕΡΙΚΟΥ ΦΟΡΤΙΟΥ

4.

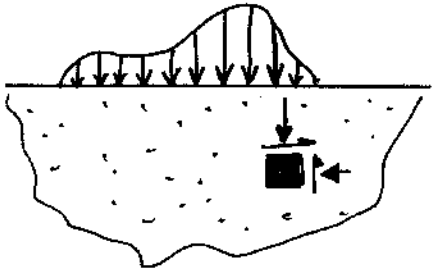
ΜΕΤΑΔΟΣΗ ΤΑΣΕΩΝ ΛΟΓΩ ΕΠΙΒΟΛΗΣ ΕΞΩΤΕΡΙΚΟΥ ΦΟΡΤΙΟΥ

ΠΕΡΙΕΧΟΜΕΝΑ

- ♦ ΓΕΝΙΚΑ
- ♦ ΧΑΡΑΚΤΗΡΙΣΤΙΚΕΣ ΛΥΣΕΙΣ ΑΠ' ΤΗΝ ΘΕΩΡΙΑ
ΕΛΑΣΤΙΚΟΤΗΤΑΣ
 1. Συγκεντρωμένο απειρομήκες ("γραμμικό") φορτίο
 2. Ομοιόμορφη ορθή πίεση σε απειρομήκη λωρίδα
 3. Συγκεντρωμένο σημειακό φορτίο
 4. Ομοιόμορφη ορθή πίεση σε κυκλική επιφάνεια

Εφαρμογή θεωρίας συνεχούς ελαστικού μέσου :

**ΜΕΤΑΔΟΣΗ ΤΑΣΕΩΝ ΛΟΓΩ
ΕΠΙΒΟΛΗΣ (ΠΡΟΣΘΕΤΩΝ)
ΕΞΩΤΕΡΙΚΩΝ ΦΟΡΤΙΣΕΩΝ**



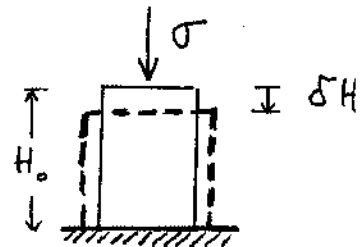
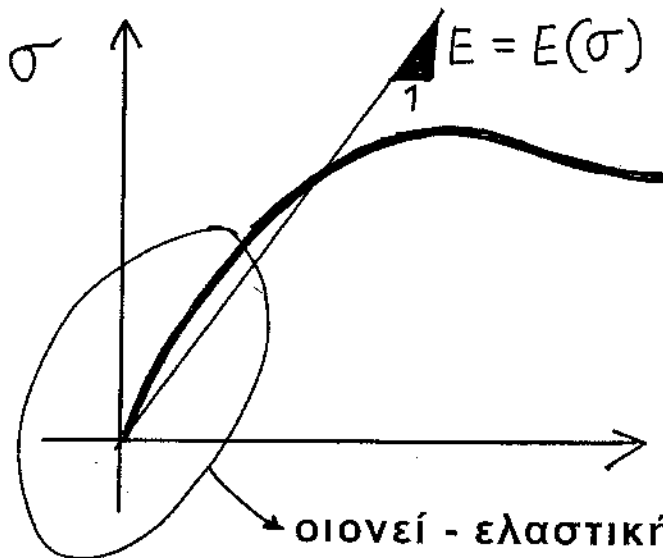
Το πρόβλημα είναι πολλαπλώς
Υπερστατικό :

οι επιβαλλόμενες (σ, τ) είναι
συνάρτηση των αναπτυσσομένων (ϵ, γ) .

Με την σειρά τους οι (ϵ, γ) εξαρτώνται από τις επιβαλλόμενες (σ, τ).

Ανάγκη απλών καταστατικών “νόμων”

(= μαθηματικών προσομοιωμάτων
μηχανικής συμπεριφοράς)



$$\epsilon = \delta H / H_0$$

οιονεί - ελαστική περιοχή

Γραμμικώς Ελαστικό Ισότροπο

Συνεχές Μέσο : προσομοίωμα που

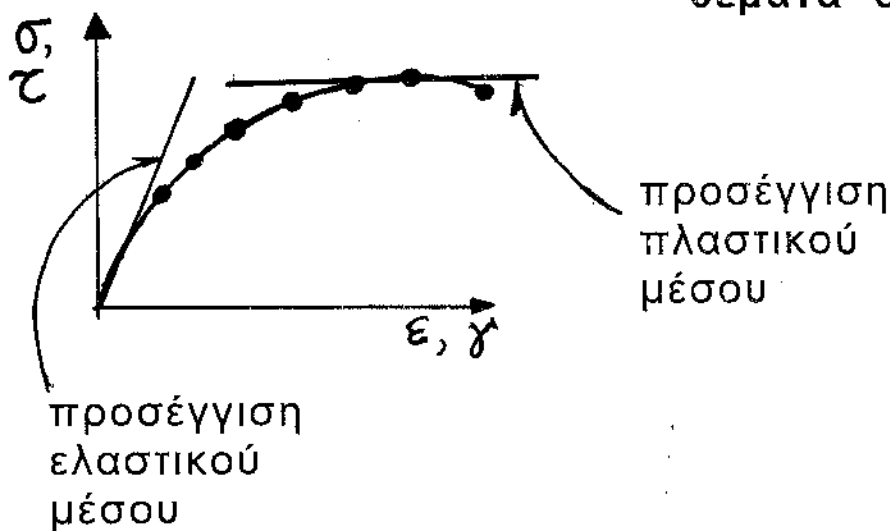
περιγράφει ικανοποιητικά την πραγματικότητα για σχετικά μικρές επιβαλλόμενες τάσεις (σ, τ)

\Rightarrow μακριά από την αστοχία (θραύση)

της εδαφικής μάζας

Ενα άλλο απλό προσομοίωμα :

ιδεωδώς πλαστικό \Rightarrow δίνει απαντήσεις σε θέματα αστοχίας

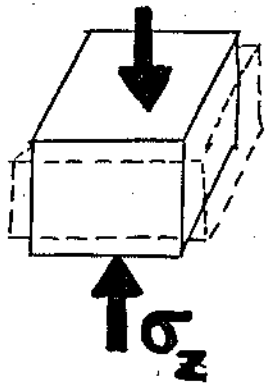


ΣΥΓΧΡΟΝΗ ΤΑΣΗ \Rightarrow χρήση αριθμητικών μεθόδων

(π.χ. πεπερασμένων στοιχείων) με γενικευμένες ελαστο-πλαστικές καταστατικές σχέσεις για το εδαφικό υλικό.

ΥΠΕΝΘΥΜΙΣΗ ΑΠ' ΤΗΝ ΜΗΧΑΝΙΚΗ

Ελαστικές γραμμικές σχέσεις τάσεων- παραμορφώσεως ισοζυγίου υλικού:



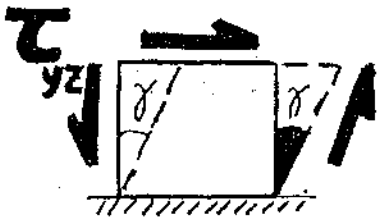
ΜΟΝΟ-ΑΞΟΝΙΩΔΗΣ ΦΟΡΤΙΣΗ:

$$\epsilon_z = -\frac{\Delta l}{l} \sim -\frac{du_x}{dx}$$

$$E = \frac{\sigma_z}{\epsilon_z}, \quad \nu = -\frac{\epsilon_y}{\epsilon_z}$$

Μέτρο Young

Λόγος Poisson



$$\gamma_{yz} = \frac{\tau_{yz}}{G}$$

Μέτρο Διαρμήσεως

$$\gamma_{yz} = \Delta(\gamma\omega\nu\iota\alpha\varsigma) \sim \left(\frac{\partial u_y}{\partial z} + \frac{\partial u_z}{\partial y} \right)$$

Κατασταζιικές σχέσεις

$$\epsilon_x = \sigma_x / E - \nu \cdot \sigma_y / E - \nu \cdot \sigma_z / E$$

$$\epsilon_y = \sigma_y / E - \nu \cdot \sigma_x / E - \nu \cdot \sigma_z / E$$

$$G = \frac{E}{2(1+\nu)}$$

.....

$$\gamma_{yz} = \tau_{yz} / G$$

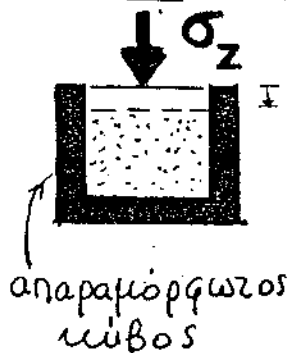
Νά υπολογισθεί η αυηγ. διογκωση $\epsilon_{vol} \equiv \frac{\Delta V}{V}$

$$\frac{\Delta V}{V} \approx \epsilon_x + \epsilon_y + \epsilon_z = \left[\sigma_x / E - \nu(\sigma_y + \sigma_z) / E \right] + \left[\sigma_y / E - \nu(\sigma_x + \sigma_z) / E \right] + \left[\sigma_z / E - \nu(\sigma_x + \sigma_y) / E \right] = (1-2\nu)(\sigma_x + \sigma_y + \sigma_z) / E$$

Παρατηρώ: Εάν $\nu = 0.5$ τότε $\Delta V \equiv 0$ για κάθε επιβαλλόμενη ενταζιική κατάσταση. δηλ. τό

υγικό αυτό είναι ασυμπιεστο. Τέ-
τοιο εδαφικό υγικό είναι η κορεσμένη
άρχιλος όταν υποβάλλεται σε φόρτιση
"χωρίς στράγγιση" λόγω σχετικής
ασυμπιεστότητας της υδατικής φάσης
 $\Delta V \equiv 0$ για κάθε επιβαλλόμενη επιπόνηση.
Επομένως, για ένα τέτοιο εδαφικό υγικό: $\nu = 0.50$

**Μονοδιάστατη (= πλευρικά περιορισμένη)
συμπίεση**



Ζητούνται: $\epsilon = ?$ και $\sigma_y, \sigma_x = ?$

$$\epsilon_x = \epsilon_y = 0 \text{ και } \sigma_x = \sigma_y$$

$$\sigma_x - \nu \sigma_y - \nu \sigma_z = 0 \therefore$$

$$\sigma_y = \sigma_x = \left(\frac{\nu}{1-\nu} \right) \sigma_z$$

\downarrow
 K_0

$$\epsilon_z = \frac{\sigma_z}{E} - 2\nu \frac{\sigma_x}{E}$$

$$= \frac{1}{E} \sigma_z \left[1 - 2\nu \frac{\nu}{1-\nu} \right] = \sigma_z \left(\frac{1}{E} \frac{(1+\nu)(1-2\nu)}{(1-\nu)} \right)$$

ελαστικό μέτρο

μονοδιάστατης συμπίεσης:

$$\downarrow$$

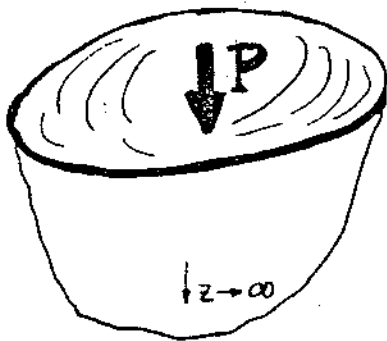
$$\frac{1}{D}$$

$$D = \frac{E(1-\nu)}{(1+\nu)(1-2\nu)}$$

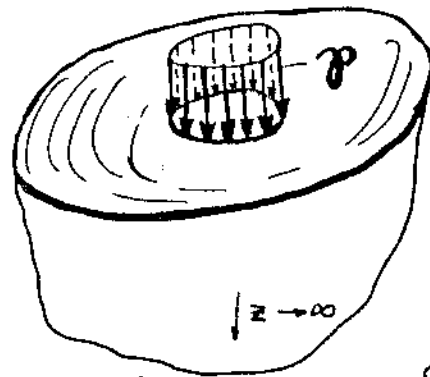
} προσέξτε πως όταν
 $\nu = 0.5 \therefore D = \infty$ και $\epsilon_z = 0$

Χαρακτηριστικές λύσεις απ' την θεωρία ελαστικότητας :

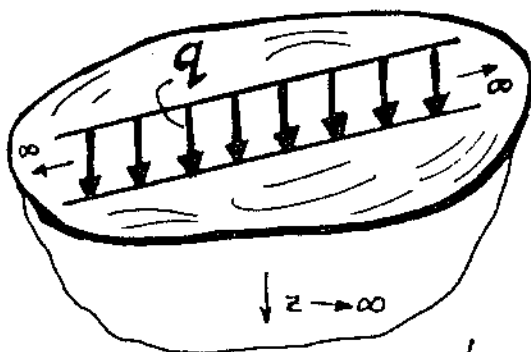
(α) ΟΜΟΙΟΓΕΝΗΣ ΗΜΙΧΩΡΟΣ με z ως αυόλουθες φορτίσεις



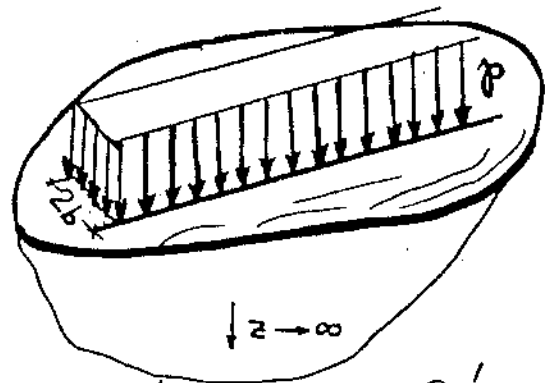
συγκεντρωμένη ορθή δύναμη P



ομοιόμορφη ορθή πίεση p σε επιφάνεια κύκλου (R)



ομοιόμορφη ορθή φόρτιση q σε απειρομήνη γραμμή

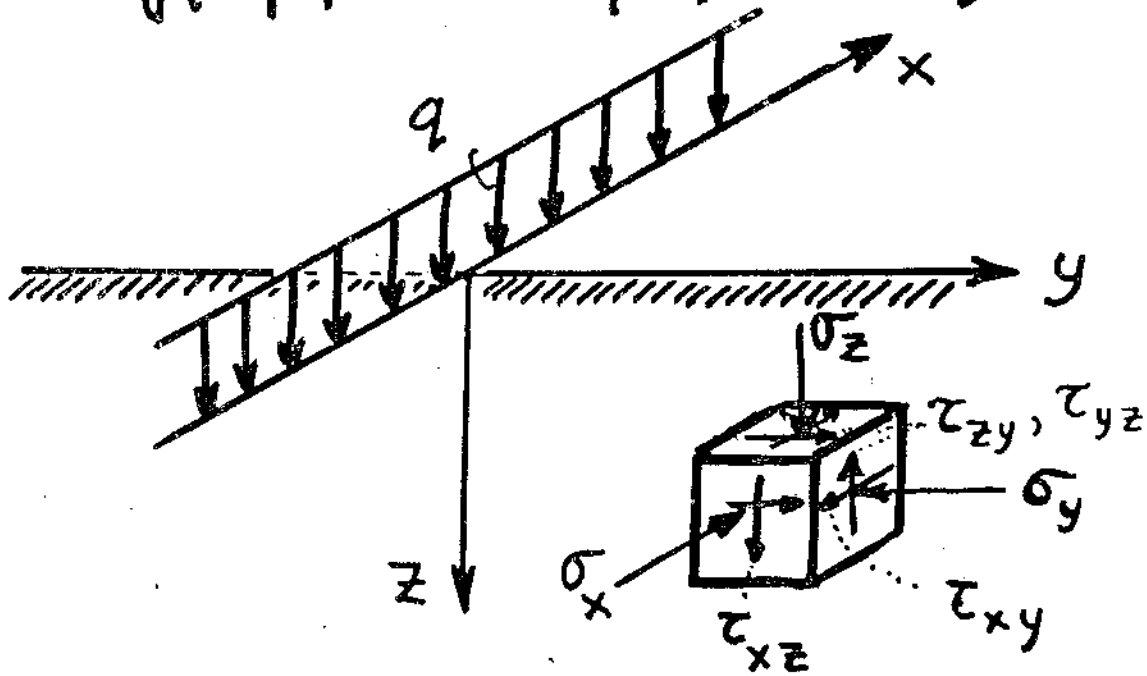


ομοιόμορφη ορθή πίεση σε απειρομήνη λωρίδα (πλάτος 2b)

(β) ΔΙΣΤΡΩΤΟΣ ΗΜΙΧΩΡΟΣ με ομοιόμορφη ορθή πίεση p σε επιφάνεια κύκλου ακτίνας R, και λωρίδας πλάτους 2b

(γ) ΑΝΟΜΟΙΟΓΕΝΗΣ ΗΜΙΧΩΡΟΣ με $E = mz$.

① Συγκεντρωμένο απειροσμήνιο
 "γραμμικό" φορτίο, q (kN/m)



$$\tau_{xz} = \tau_{xy} = 0, \quad \epsilon_x = 0$$

→ Επίπεδη παραμόρφωση!

$$\left. \begin{aligned} \sigma_y &= \frac{2q}{\pi} \frac{y^2 z}{(y^2 + z^2)^2} \\ \sigma_z &= \frac{2q}{\pi} \frac{z^3}{(y^2 + z^2)^2} \\ \tau_{zy} = \tau_{yz} &= \frac{2q}{\pi} \frac{y z^2}{(y^2 + z^2)^2} \\ \sigma_x &= \nu(\sigma_y + \sigma_z) \end{aligned} \right\} \begin{array}{l} \text{τύποι} \\ (1) \end{array} \left. \begin{array}{l} \text{όλα είναι} \\ \text{ανεξάρτητα} \\ \text{του } x \text{ (φυσικά)} \end{array} \right\}$$

Μία σπουδαία παρατήρηση στις σχέσεις (1):

Σχεδόν όλες οι τάσεις στον ημίκωρο είναι **ανεξάρτητες** των ελαστικών παραμέτρων του υλικού, δηλ. E , G , ή ν .

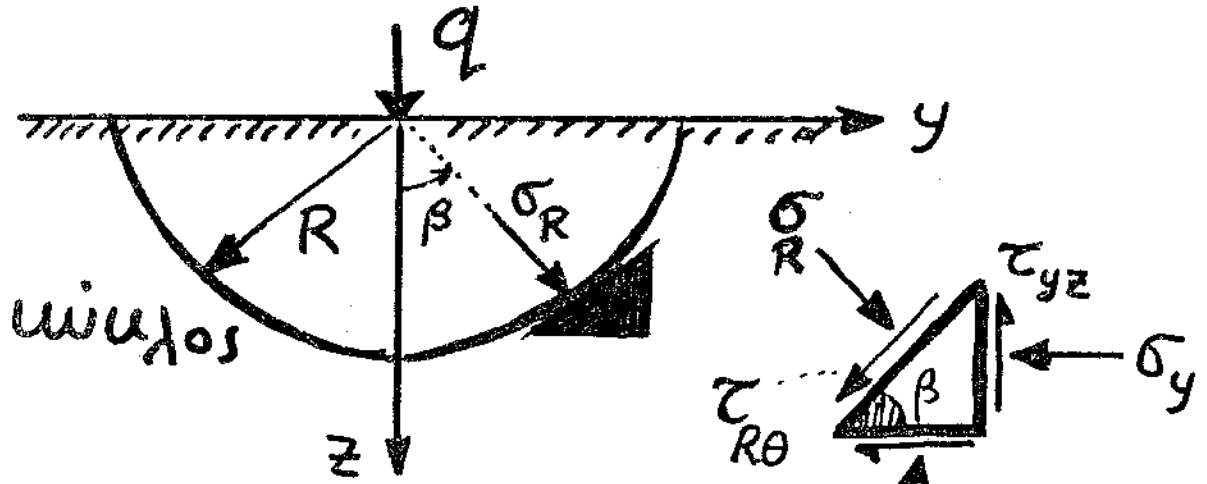
Συγκεκριμένα, καμμία τάση δεν είναι συνάρτηση των μέτρων Young ή διασμήσεως, μόνον δέ η διαμήκης ορθή τάση σ_x είναι συνάρτηση του λόγου του Poisson.

Τούτο σημαίνει πως οι τάσεις δεν είναι ευαίσθητες σε ευδεχόμενες μεταβολές των εδαφικών ιδιοτήτων.

Κατ' επέκταση, δεχόμεστε ότι οι δύο σώματα το έδαφος δεν είναι τελείως ελαστικό, ή οι δύο σώματα η εδαφική μάζα δεν είναι τελείως ομοιογενής, πάλι οι τάσεις που προβλέπονται απ' την ελαστική θεωρία προσεγγίζουν ικανοποιητικά την πραγματικότητα.

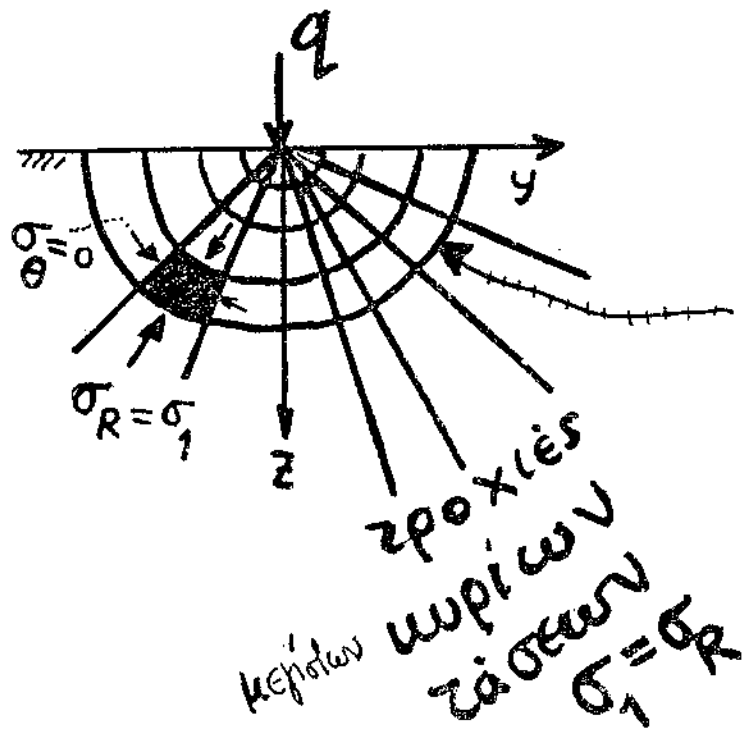
Εξού και η επιτυχία + δημοτικότητα των ελαστικών λύσεων.

ΣΕ ΠΟΛΙΚΕΣ ΣΥΝΖΕΤΑΓΜΕΝΕΣ:

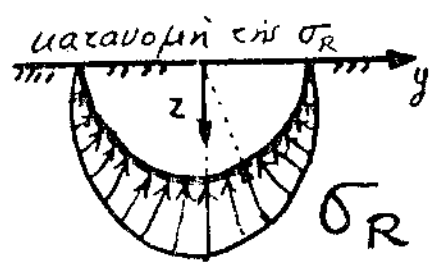


$$\sigma_R = \frac{2q}{\pi} \frac{\cos \beta}{R} \quad \text{είναι} \quad (1a)$$

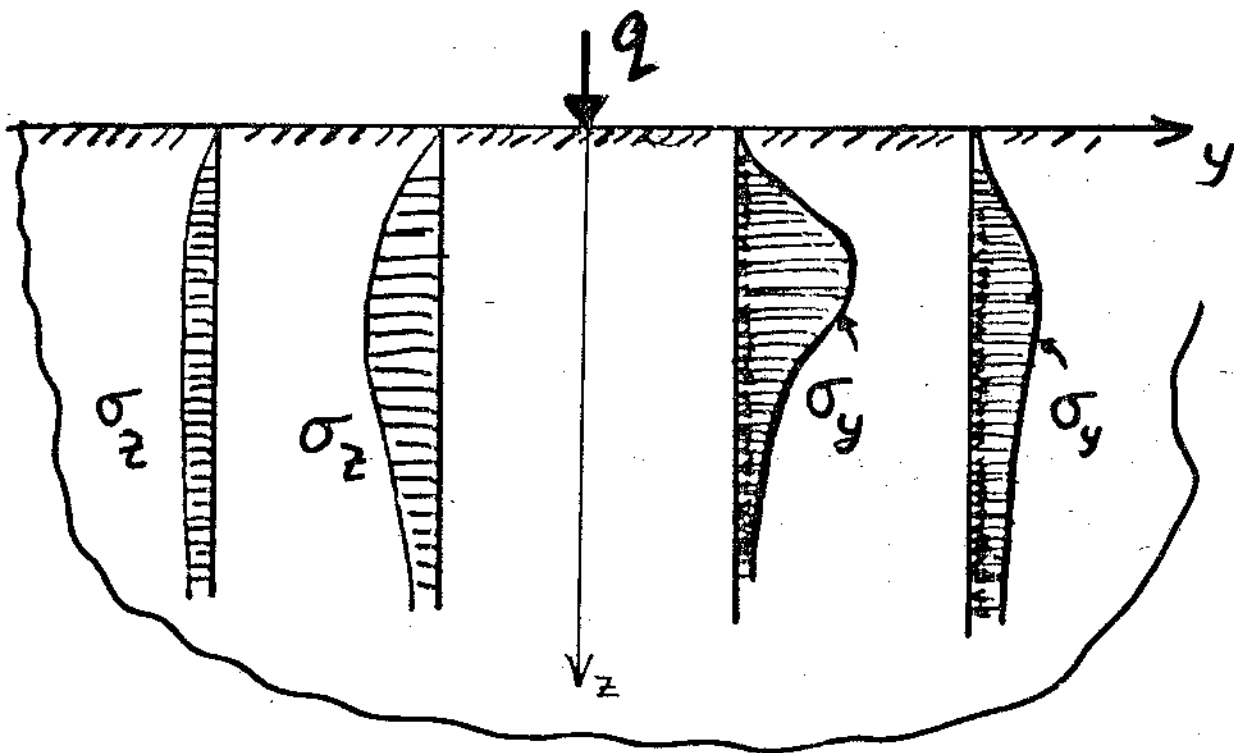
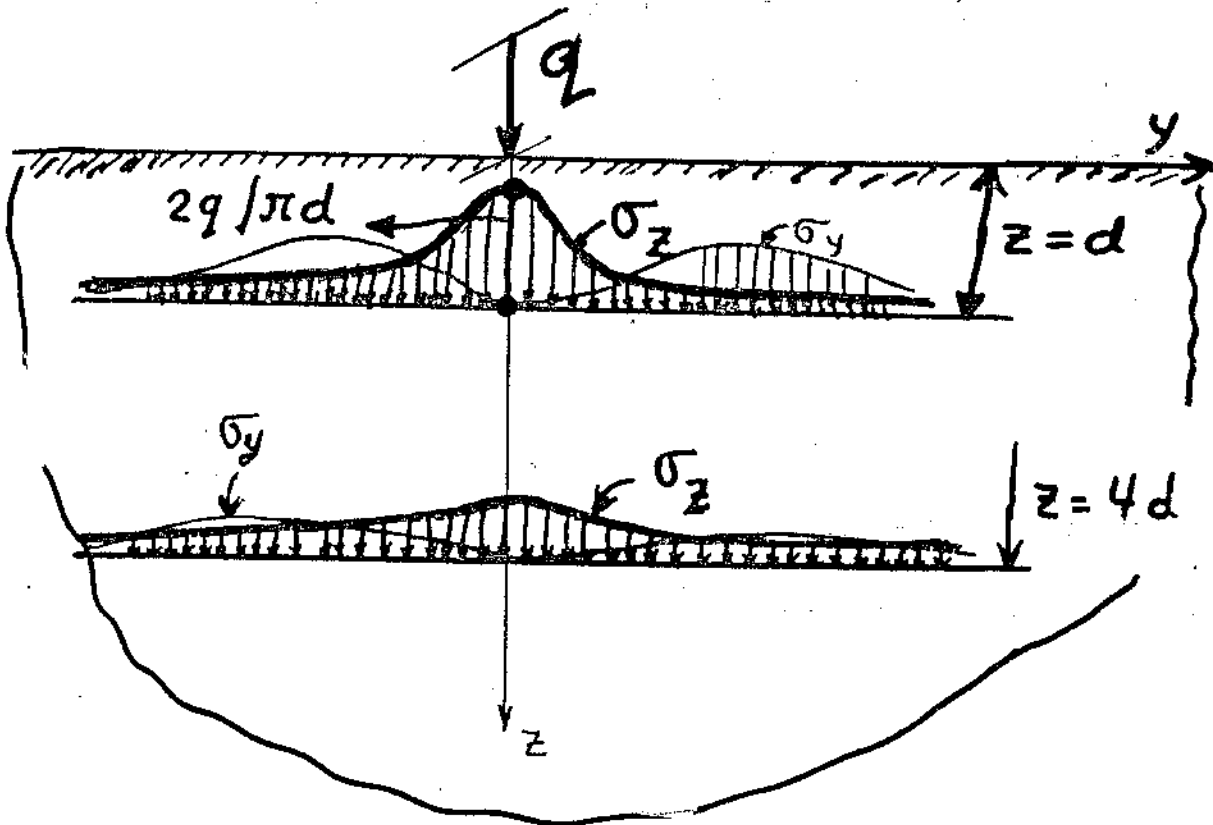
$$\tau_{R\theta} = 0$$

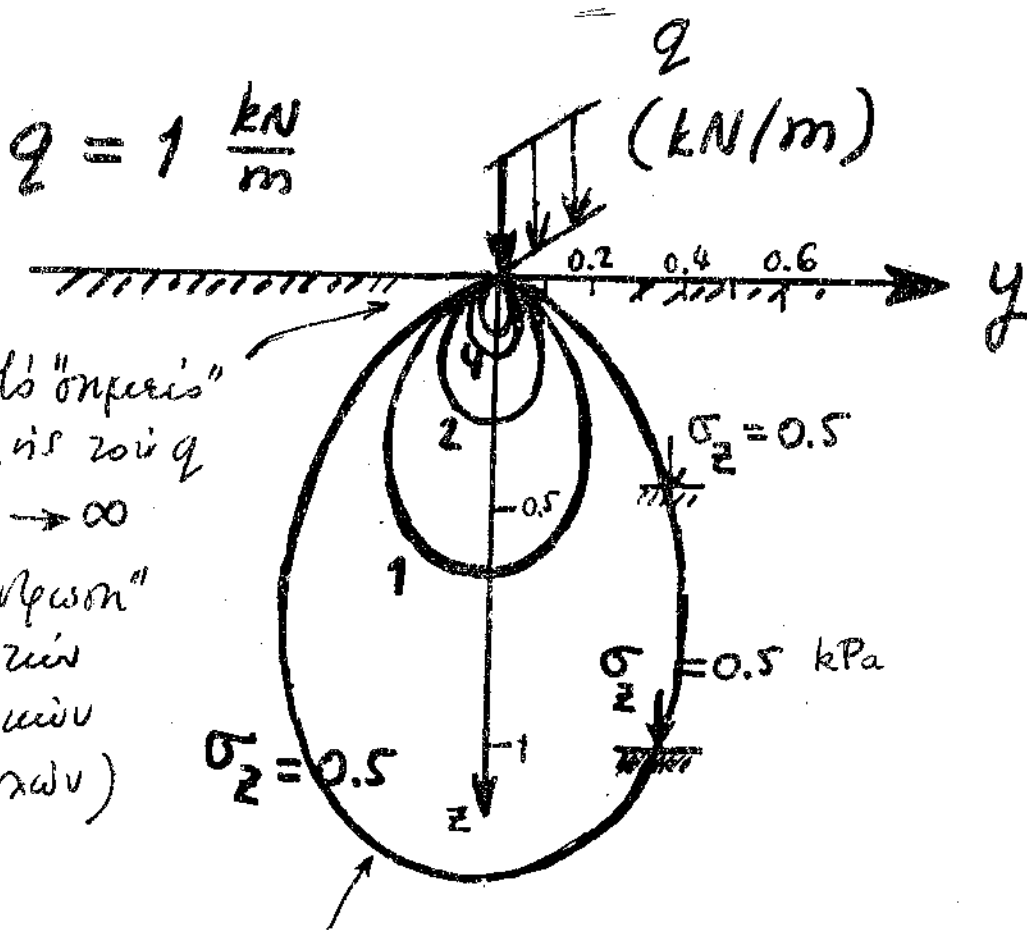


τροχιές ελάχιστης τάσης $\sigma_3 = \sigma_\theta = 0$



Κατανομές τάσεων



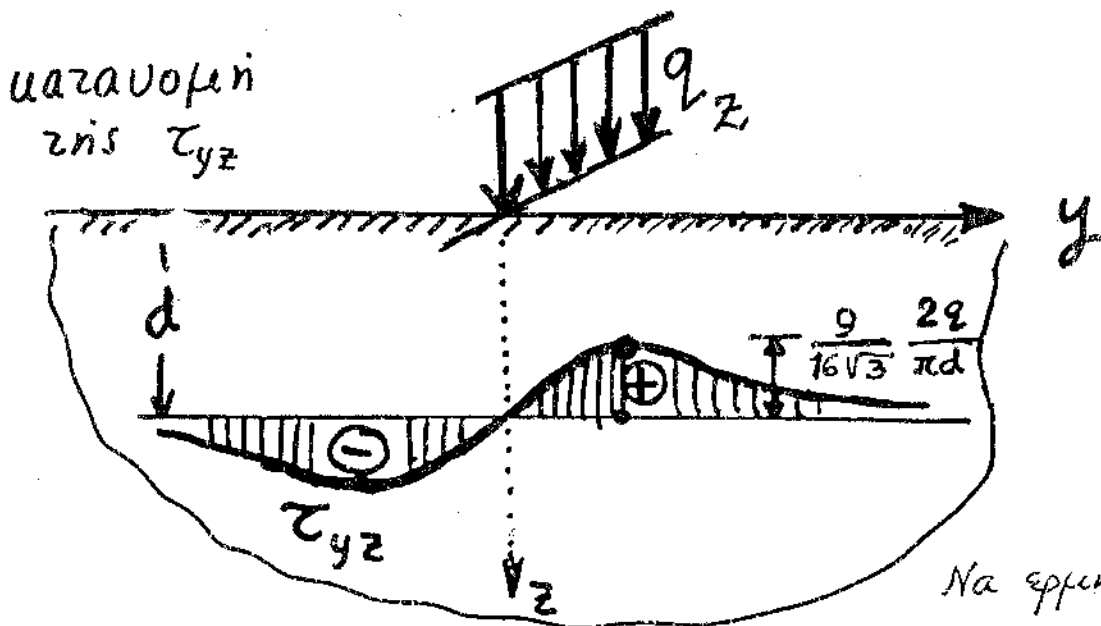


σ_z = 0.5

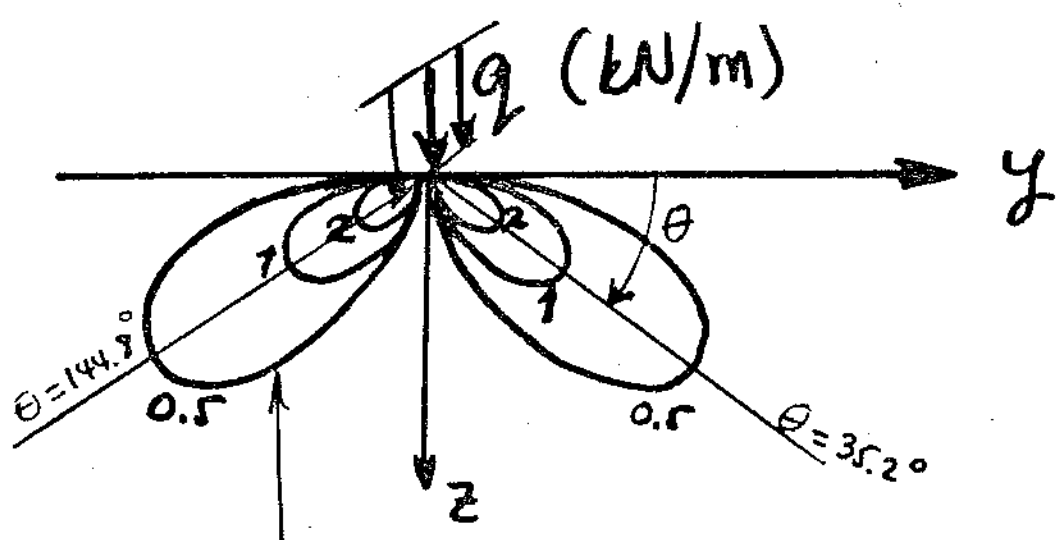
σ_z → ∞

(“συμπίεση”
έχει την
ισοστασιών
καμπύλων)

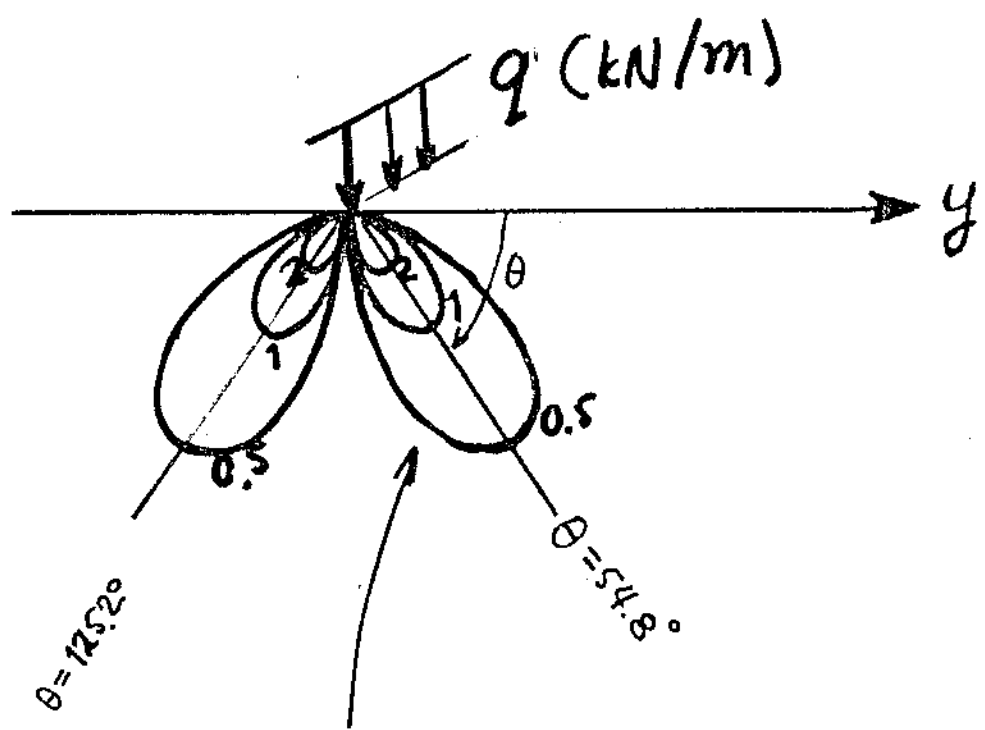
ισοστασιές γραμμές σ_z



Να εμφανιστεί
η μορφή του
διαγράμματος.



ισοστατικές γραμμές σ_y



ισοστατικές τ_{yz}

αριθμητικές εφαρμογές



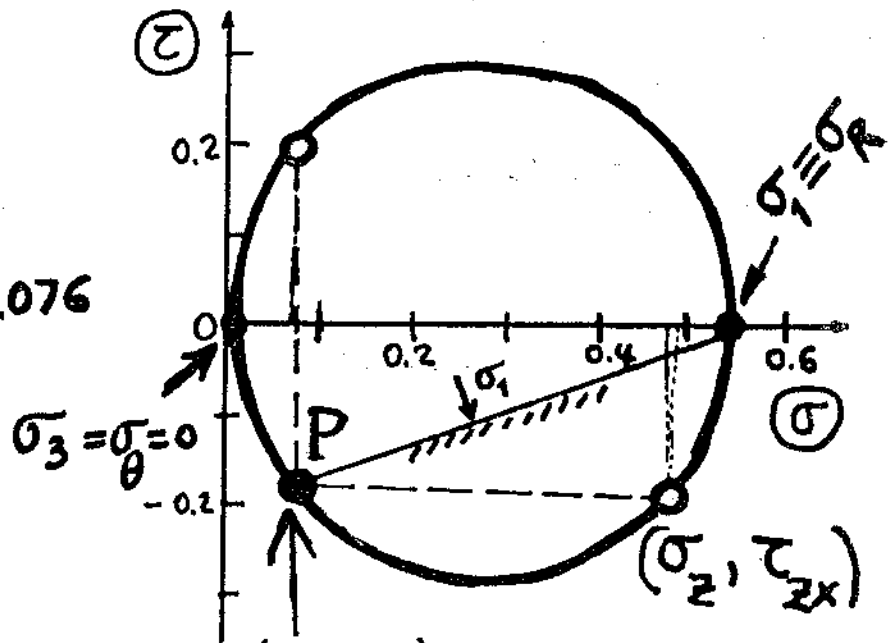
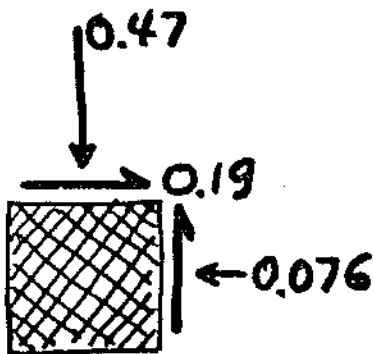
Ζητείται: η εντάσιμη κατάσταση στο σημείο $y=2m, z=5m$.
(Να παραβλεπεί και γραμμά)

$$\sigma_y = \frac{2q}{\pi} \frac{y^2 z}{(y^2+z^2)^2} = \frac{2 \times 5}{\pi} \times \frac{2^2 \times 5}{(2^2+5^2)^2} \approx 0.076 \text{ kPa}$$

(kN/m²)

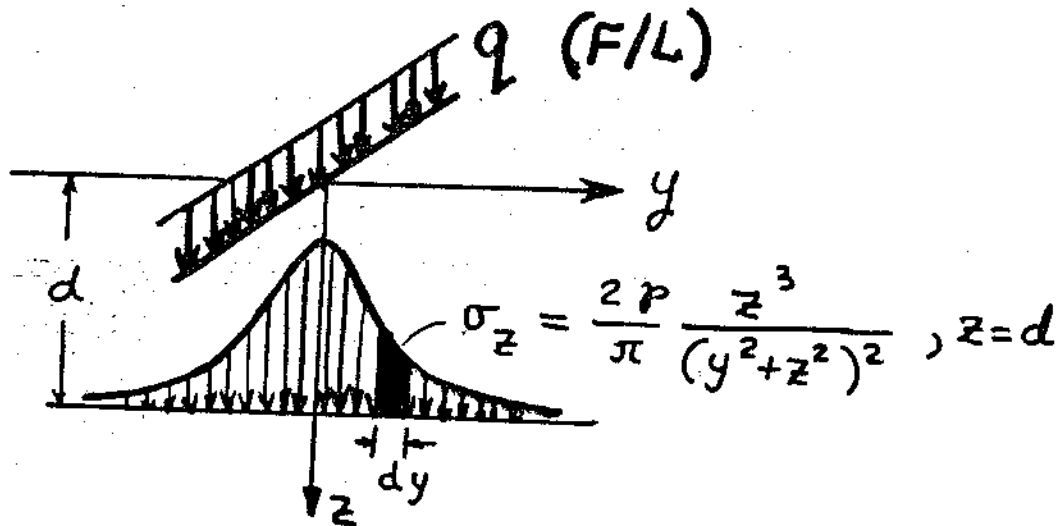
$$\sigma_z = \frac{2q}{\pi} \frac{z^3}{(y^2+z^2)^2} = \sigma_y \frac{z^2}{y^2} = 0.076 \left(\frac{5}{2}\right)^2 \approx 0.47 \text{ kPa}$$

$$\tau_{yz} = \tau_{zy} = \frac{2q}{\pi} \frac{yz^2}{(y^2+z^2)^2} = \sigma_z \frac{y}{z} = 0.47 \left(\frac{2}{5}\right) \approx 0.19 \text{ kPa}$$



'ΠΟΛΟΣ' Η ΑΡΧΗ ΤΩΝ ΕΠΙΠΕΔΩΝ

2. Να υπολογιστεί η (ορθή) συνισταμένη των σ_z σε οριζόντιο επίπεδο με $z = d$.



ανά μονάδα μήκους x , η συνισταμένη δύναμη είναι

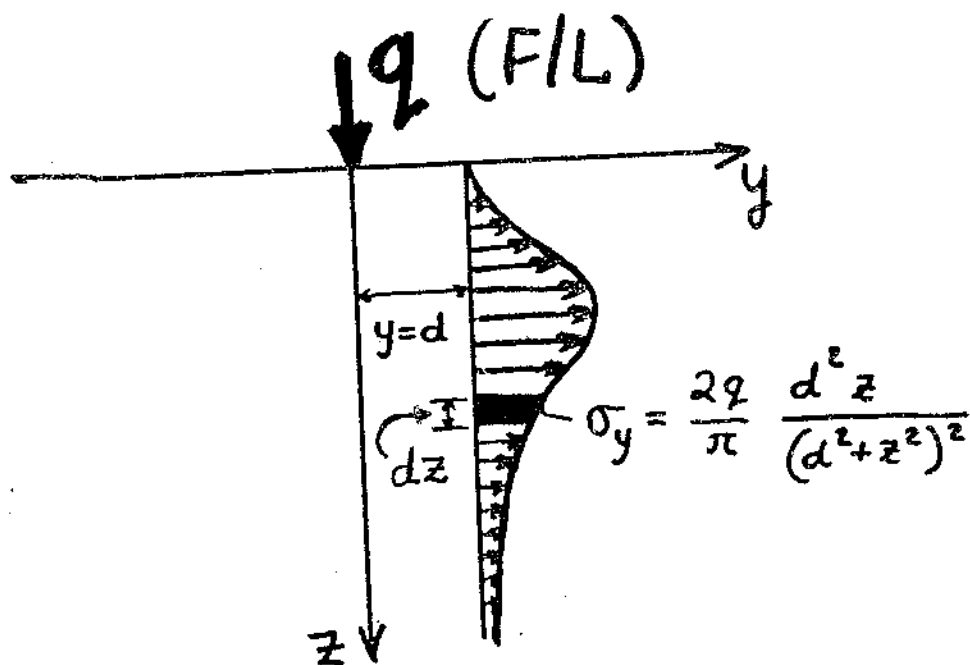
$$2 \int_0^{\infty} \sigma_z dy = 2 \frac{2q}{\pi} \int_0^{\infty} \frac{z^3 dy}{(y^2 + z^2)^2} = \frac{4q}{\pi} \int_0^{\infty} \frac{d(y/z)}{[1 + (y/z)^2]^2}$$

$$= \frac{2q}{\pi} \left[\arctan \frac{y}{z} + \frac{yz}{y^2 + z^2} \right]_0^{\infty} = \frac{2q}{\pi} \left(\frac{\pi}{2} - 0 + 0 - 0 \right)$$

$$= q \quad \text{δηλαδή ανεξάρτητη του βάθους } z (= d).$$

Προφανές λόγω ισορροπίας
κατά τον άξονα των z !
(Γιατί;)

3. Να υπολογισθεί η συνισταμένη τών σ_y σε καλαωόρυγο ενینهδο με $y=d$



ανά μονάδα μήκους x , η συνολική δύναμη είναι

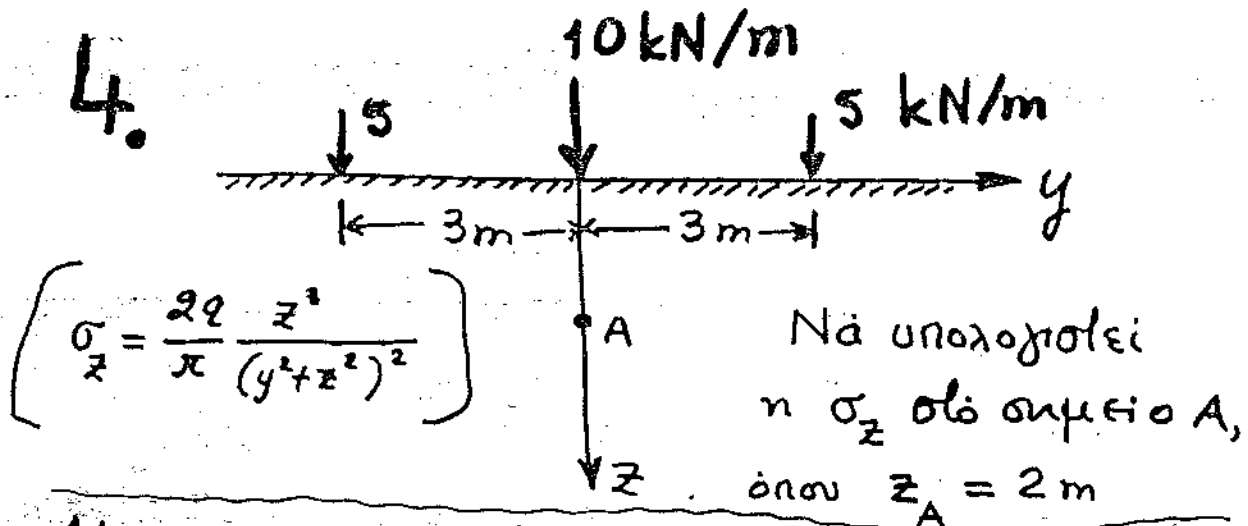
$$\int_0^{\infty} \sigma_y dz = \frac{2q}{\pi} \int_0^{\infty} \frac{d^2 z}{(d^2 + z^2)^2} dz = \frac{2q d^2}{\pi} \left[\frac{1}{2(d^2 + z^2)} \right]_0^{\infty}$$

$$= \frac{q}{\pi} \text{ δηλ. και πάλι ανεξάρτητη της απόστασης } y=d$$

και πάλι λόγω ισορροπίας!...

(γιατί άραγε; Να

[αποδειχθεί απ' τους σπουδαστές.]

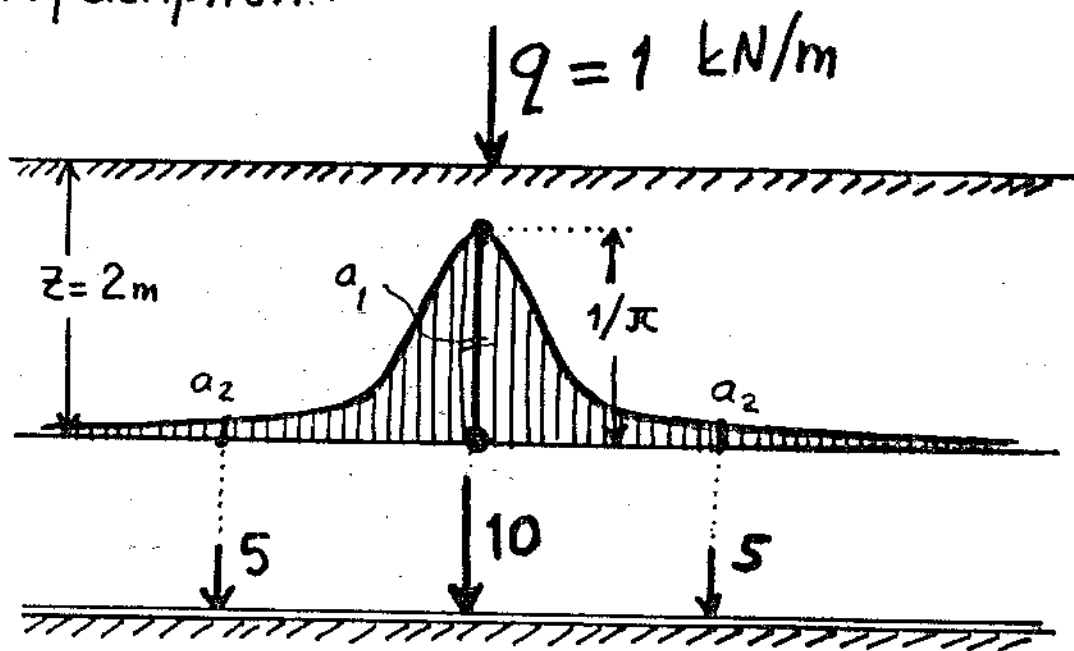


Λόγω γραμμικώς ελαστικής συμπεριφοράς του υλικού, ισχύει η αρχή της επαλληλίας \Rightarrow

$$\sigma_{zA} = \frac{2 \times 10}{\pi} \times \frac{1}{2} + 2 \times \frac{2 \times 5}{\pi} \times \frac{2^3}{(3^2 + 2^2)^2}$$

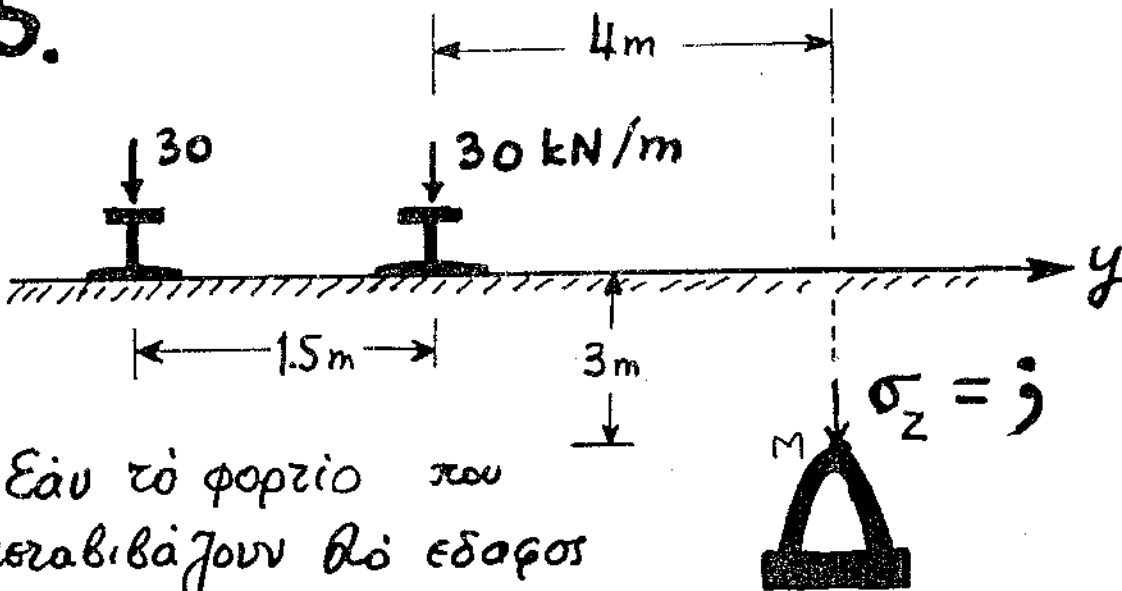
$$\approx 3.18 + 0.30 \approx 3.48 \text{ kPa}$$

Παρατήρηση:



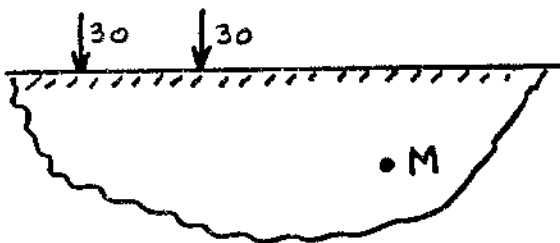
$\sigma_{zA} = 10 a_1 + 2 \times 5 a_2 \Rightarrow$ Η ΚΑΜΠΥΛΗ $\sigma_z (y, z = \text{σταθ.})$
είναι μια "γραμμική επίρροση"
(κατά το νόημα της οπτικής)

5.



Εάν τὸ φορτίο που μεταβιβάζουν θὰ εἶναι οἱ σιδηροτροχιές εἶναι $30 \text{ kN/m} \times 2$, ποιά ἡ σ_z στὴν κορυφή ἐνὸς προτεινόμενου για κατασκευὴ ἀγωγὸ ὑπονόμου;

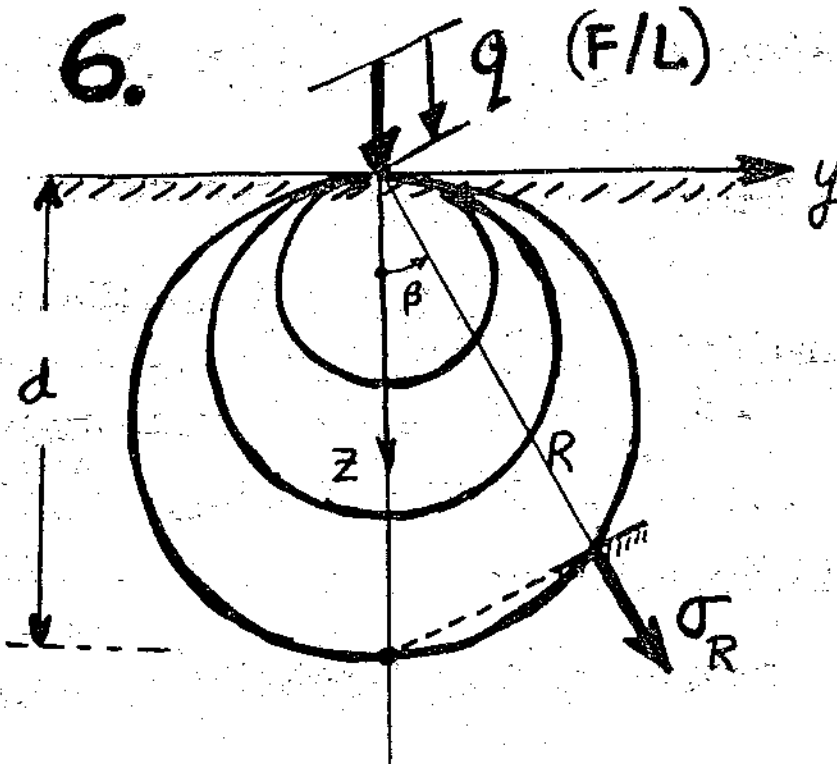
- Θεωρῶ (1) τὴν φόρτιση σημειακή
 (2) τὴν ὑπαρξὴ τῆς υπόχθιας κατασκευῆς ὡς μὴ ἐπηρεάζουσα σημαντικὰ τὸ ἐπιβαλλόμενο πεδίο τῶν τάσεων



$$\sigma_{z_M} = \frac{2 \times 30}{\pi} \frac{3^3}{(4^2 + 3^2)^2} + \frac{2 \times 30}{\pi} \frac{3^3}{(5.5^2 + 3^2)^2} \approx 0.825 + 0.335 \approx 1.16 \text{ kPa}$$

ΠΟΛΥ ΜΙΚΡΗ ∴ ΠΑΡΑΔΟΧΗ (2) }
 = ΛΟΓΙΚΗ }

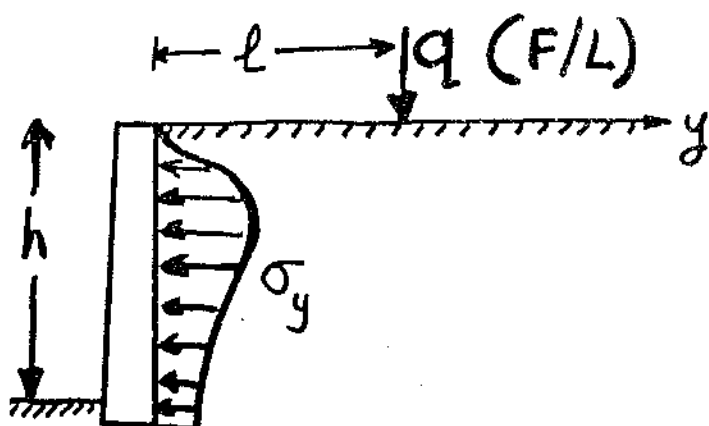
6.



Να αποδειχθεί ότι οι ισοσταθμικές της σ_R είναι κύκλοι. μ ότι η (γραμμική) τιμή της σ_R σε έναν κύκλο διαμέτρου d είναι

$$\sigma_R = \frac{2q}{\pi d}$$

7. Να υπολογιστεί η συνισταμένη πλευρική ώθηση σε έναν αριερά άμαρνο τοίχο (όπως φαίνεται στο σχήμα)



Εάν ο τοίχος ήταν σε θέση να παραμορφωθεί όπως αριερά και το έδαφος στην αντίστοιχη θέση ενός ελαστικού κενώρου \Rightarrow

$$\sigma_y^* = \frac{2q}{\pi} \frac{y^2 z}{(y^2 + z^2)^2}$$

Ο περιορισμός (δυσχέρεια) των μετακινήσεων που επιβάλλει η ύπαρξη του άμαρνου τοίχου οδηγεί σε αύξηση των οριζόντιων (πλευρικών) τάσεων.

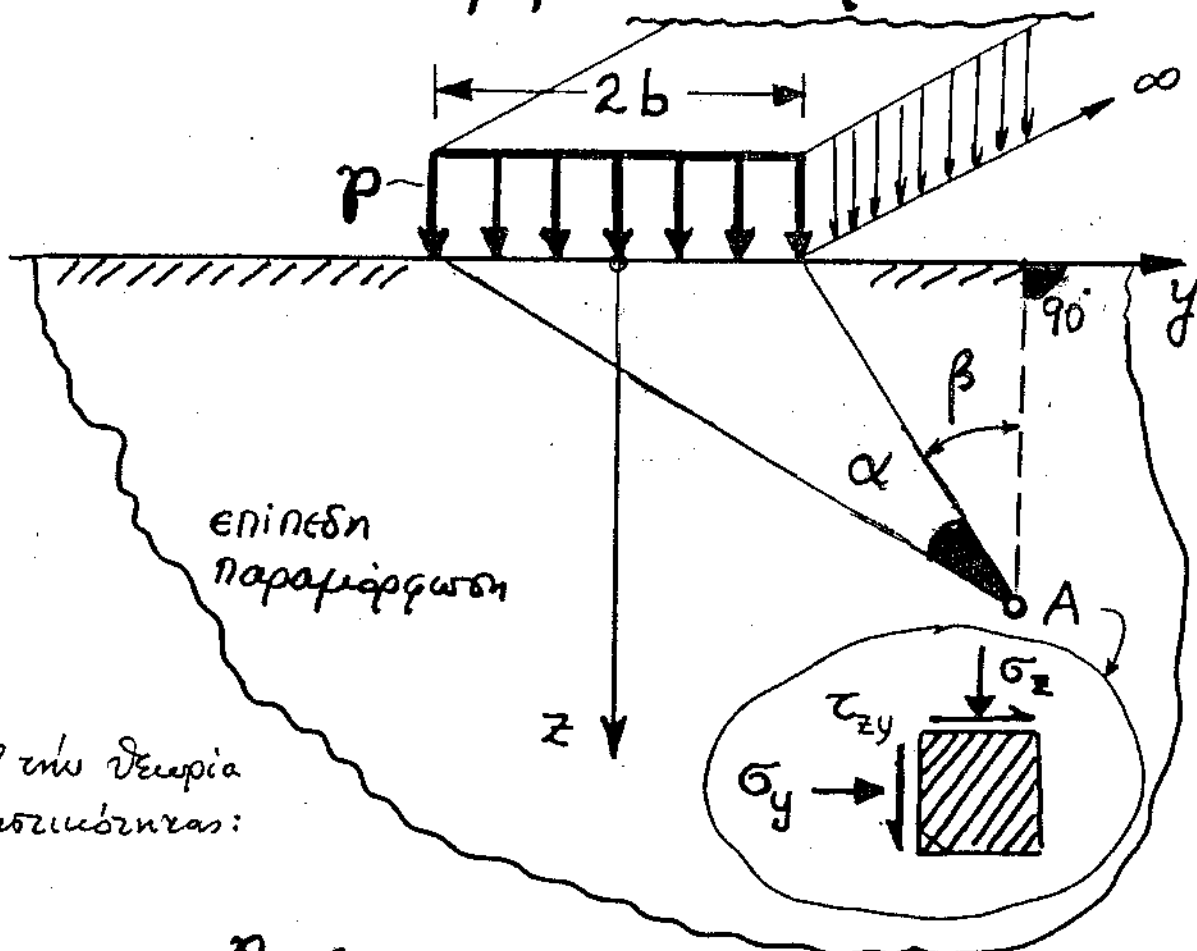
Από παραβατικές μετρήσεις (και για λόγους πρόδοσης ασφάλειας): $\sigma_y \approx 2\sigma_y^* \Rightarrow$

$$\text{Συνισταμένη } P_y = \int_0^h \frac{4q}{\pi} \frac{\ell^2 z dz}{(\ell^2 + z^2)^2} = \frac{2q/\pi}{1 + (\ell/h)^2}$$

(ανά μονάδα μήκους)

(Στην πραγματικότητα: $\sigma_y^* \leq \sigma_y \leq 2\sigma_y^*$, όπου το άνω όριο ισχύει για τελείως απαραμόρφωτο και άμετακίνητο τοίχο.)

② Ομοιόμορφη (κάθετη) πίεση
σε απεριομήνη λωρίδα



Από την θεωρία
ελαστικότητας:

$$\sigma_z = \frac{p}{\pi} (\alpha + \sin \alpha \cdot \cos(2\beta + \alpha)), \quad \text{τινολ}$$

$$\sigma_y = \frac{p}{\pi} (\alpha - \sin \alpha \cdot \cos(2\beta + \alpha)), \quad (2)$$

$$\tau_{yz} = \frac{p}{\pi} \sin \alpha \cdot \sin(2\beta + \alpha), \quad \sigma_x = \nu(\sigma_y + \sigma_z)$$

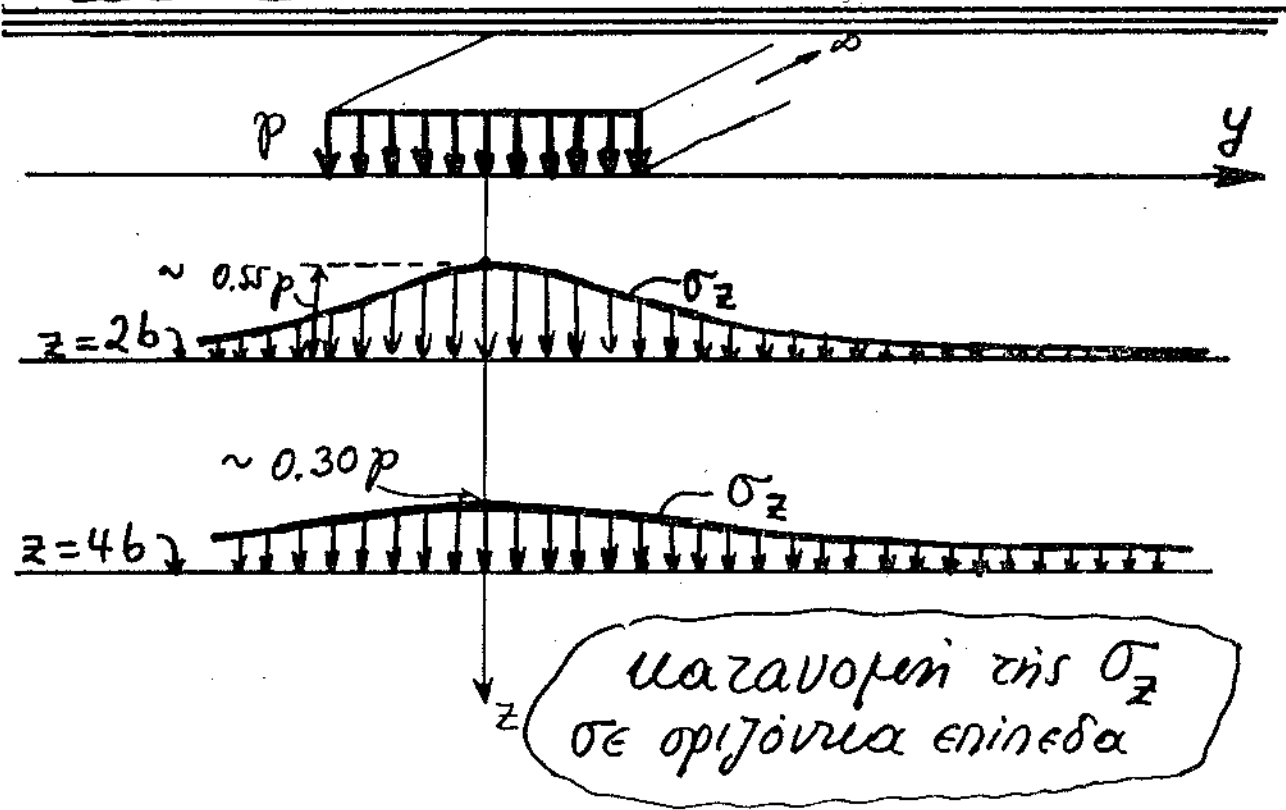
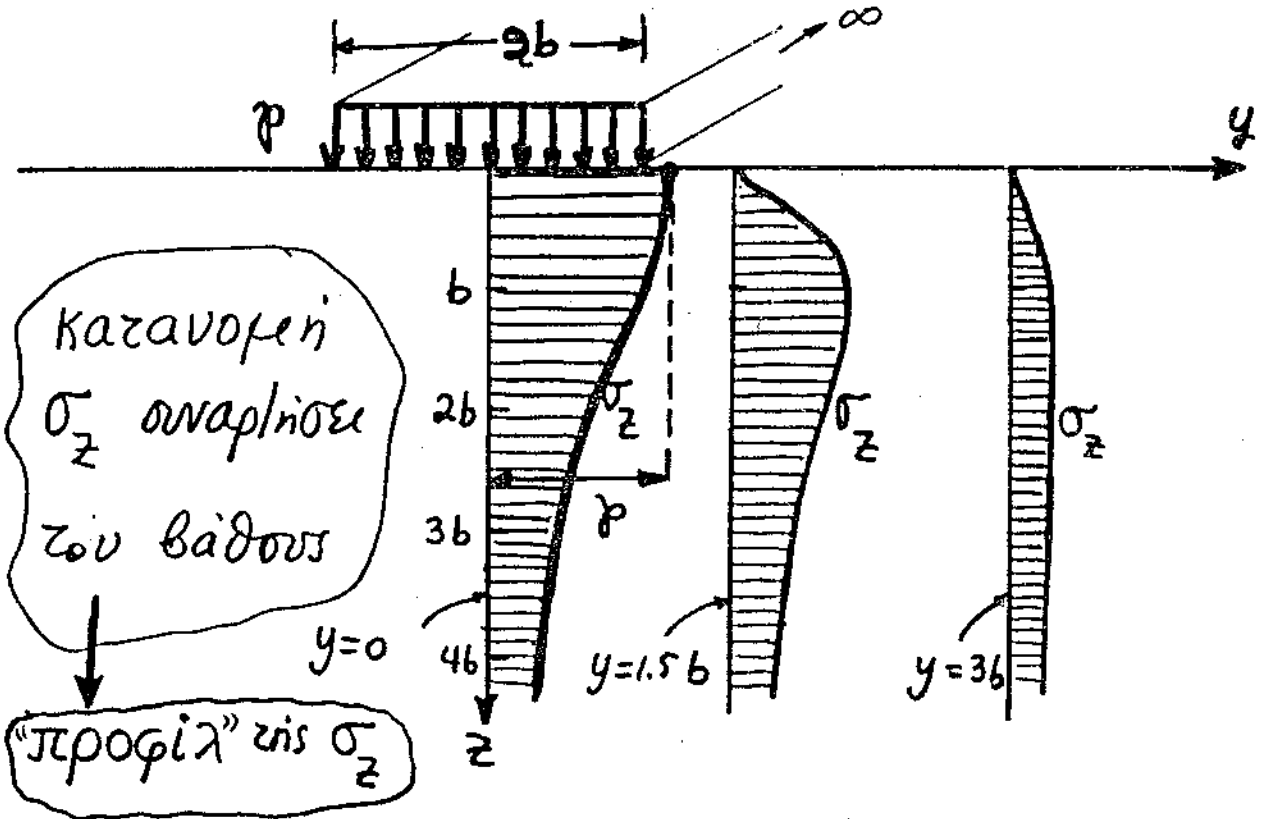
$$\sigma_1 = \frac{\sigma_y + \sigma_z}{2} + \sqrt{\left(\frac{\sigma_y - \sigma_z}{2}\right)^2 + \tau_{yz}^2} = \frac{p}{\pi} (\alpha + \sin[\alpha])$$

$$\sigma_3 = \frac{p}{\pi} (\alpha - \sin[\alpha]), \quad \tau_{max} = \frac{p}{\pi} \sin[\alpha]$$

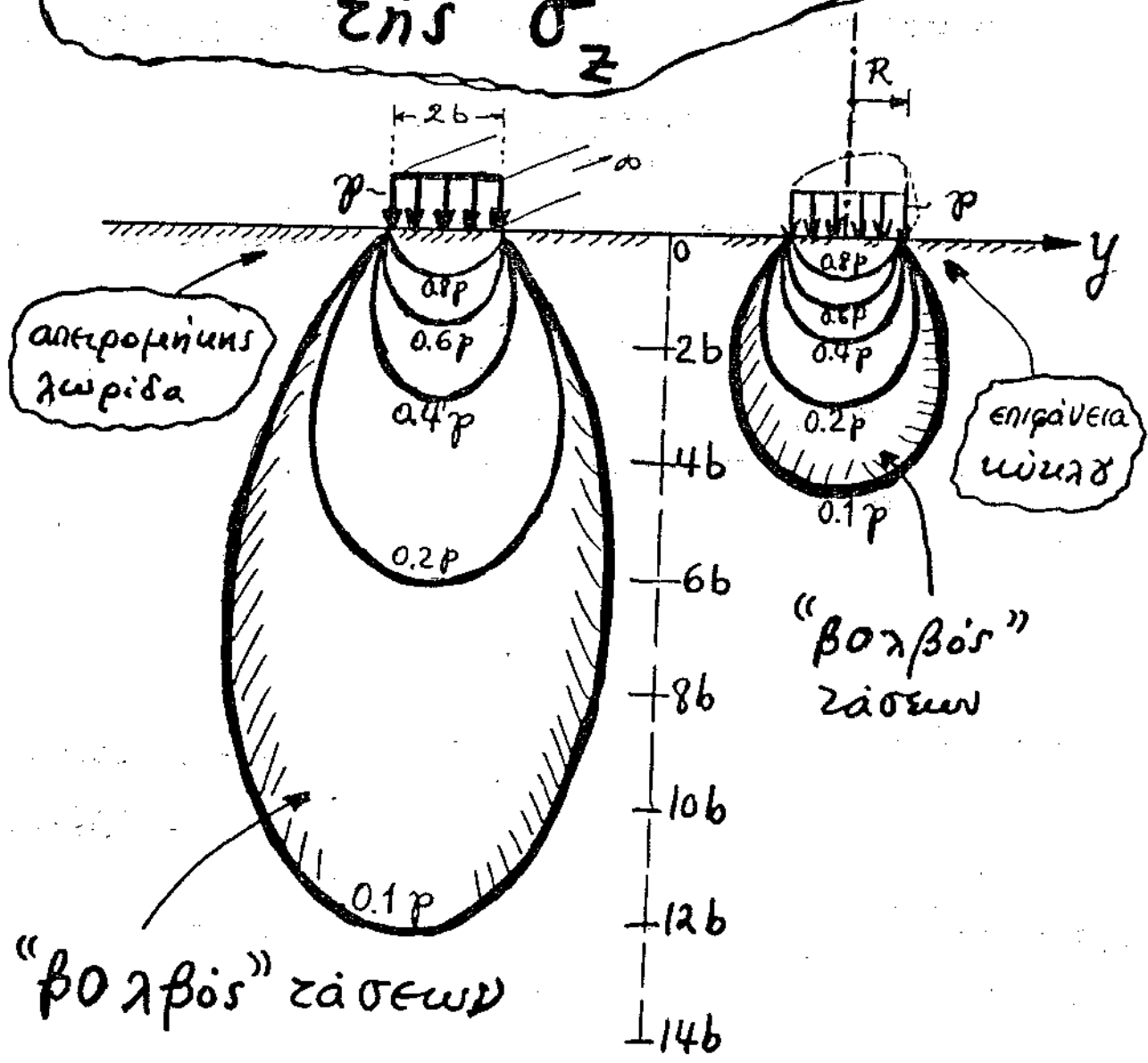
(προσοχή: α σε ακτίνια)

(τινολ 2α)

ΚΑΤΑΝΟΜΕΣ ΤΑΣΕΩΝ

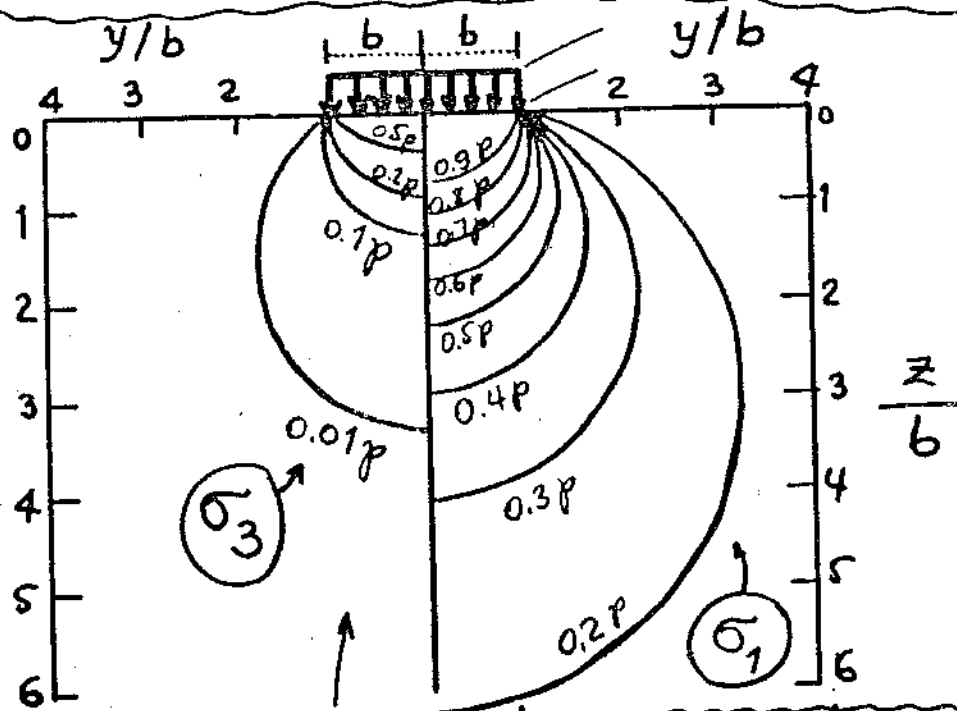


Ισοσταθιές γραμμές της σ_z



βάθος επιρροής $\rightarrow \approx 12b$: απειρομήκης λωρίδα
 $\rightarrow \approx 4b$: επιφανειακή ωμάδα

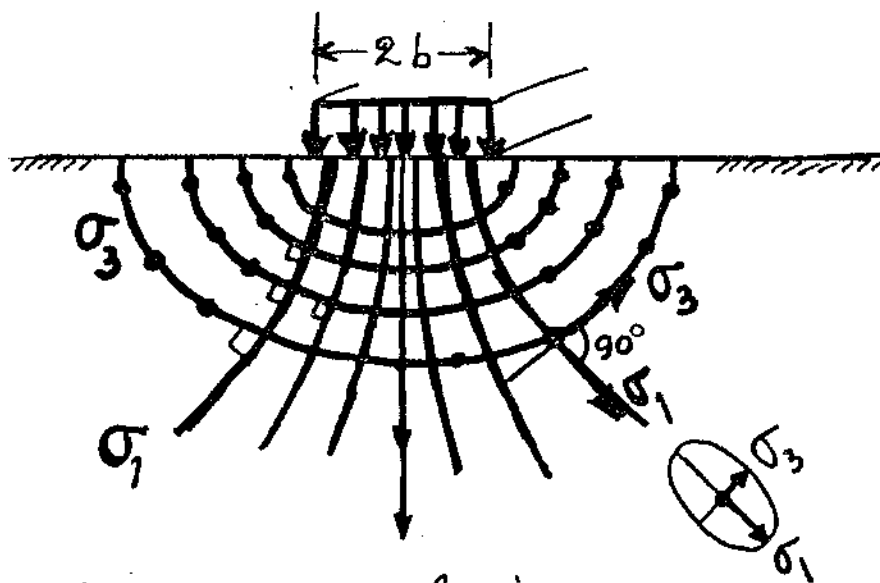
Ισοστασιές τών σ_1 και σ_3



κύκλοι

Παρατήρηση: Επειδή πάντοτε $\alpha > \sin \alpha$, μόνο θλιπτικές τάσεις επικρατούνται

καμμιά φορά έχει αξία και η γύωση τών τροχιών τών κυρίων τάσεων

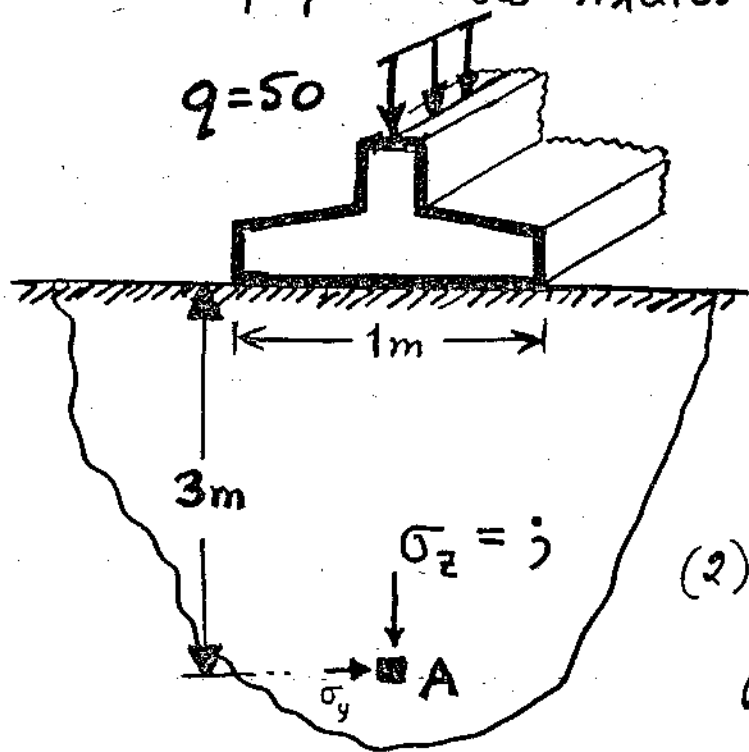


τροχιές $\sigma_1 \rightarrow$ υπερβολές, τροχιές $\sigma_3 \rightarrow$ ελλείψεις

Αριθμητικές Εφαρμογές (συνέχεια)

8. Πεδιλοδομῶς μεγάλου μήκους έχει πλάτος 1m και μεταφέρει φορτίο $q = 50 \text{ kN/m}$. Να υπολογιστεί η σ_z στο σημείο ($y=0, z=3\text{m}$)

- (1) θεωρώντας τὸ φορτίο ως συγκεντρωμένο (γραμμικό)
- (2) θεωρώντας τὸ φορτίο ως ομοιόμορφα κατανεμημένο στο πλάτος της δοκού.



(1) q : συγκεντρωμένο
 ζώνη 1α:

$$\sigma_{z_A} = \frac{2q}{\pi z_A} = \frac{2 \times 50}{\pi \times 3} =$$

$$\approx \underline{\underline{10.6 \text{ kPa}}}$$

$$(\approx 0.11 \text{ kg}^*/\text{cm}^2)$$

(2) q κατανεμηθεί:

$$p = \frac{q}{\text{πλάτος}} = 50 \text{ kPa}$$

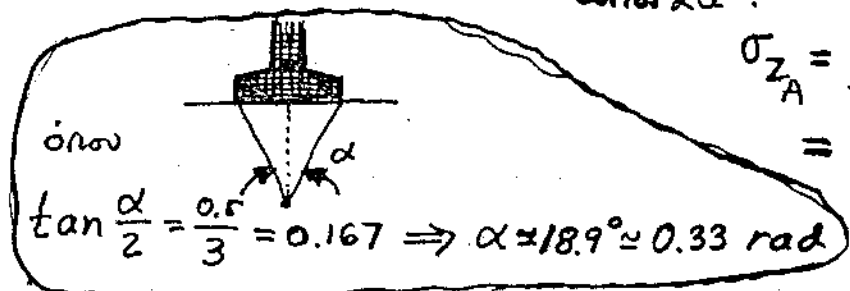
ζώνη 2α:

$$\sigma_{z_A} = \frac{p}{\pi} (\alpha + \sin \alpha) =$$

$$= \frac{50}{\pi} \times (0.33 + \sin 18.9^\circ)$$

$$= \frac{50}{\pi} (0.33 + 0.324)$$

$$\underline{\underline{10.4 \text{ kPa}}}$$



ΑΠΟ ΠΡΑΚΤΙΚΗ ΣΚΟΠΙΑ:

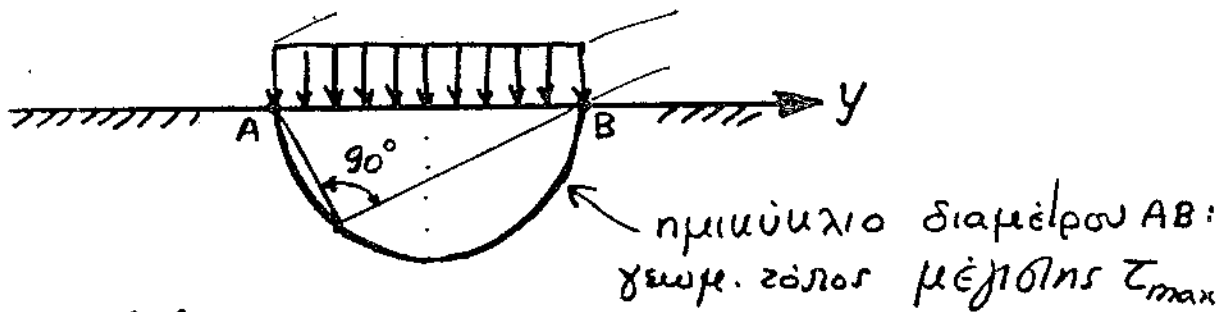
ΟΙ ΔΥΟ ΤΑΣΕΙΣ ΕΙΝΑΙ ΙΣΕΣ!

(Πού οφείλεται αυτή η σύμπτωση; ...)

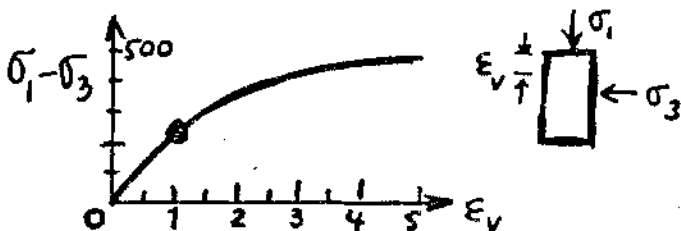
9. (α) Ημικύριος φορτιζόμενος ομοιόμορφα σε απειρομενήτη λωρίδα :
 Σε ποιά σημεία του ημικύριου έχουμε τις μέγιστες τ_{max} ;

Ευθυμερούμεθε:
$$\tau_{max} = \frac{\sigma_1 - \sigma_3}{2} = \frac{p}{\pi} \sin \alpha$$

Προφανώς, επομένως, μέγιστη $\tau_{max} = p/\pi$
 στα σημεία όπου $\sin \alpha = 1$ ή $\alpha = 90^\circ$:



(β) Τα αποτελέσματα εργαστηριακής δοκιμής ("κατάλληλης") σε απηροσωπηευτιω δειγμα εως αρκετά ομογενοϋσ εδαφικου σπηματισμοϋ μεγάλου βάθους δειχονται στο διάγραμμα παρακάτω. (1) πώς η p_{max} λωριδωλοϋ διερετιλοϋ ωστε η ελαβλιοη θεωρία να ιοκϋει με μεγάλη ακριβεια; (2) πώς θα σχεδιάζατε την "κατάλληλη" δοκιμή ;

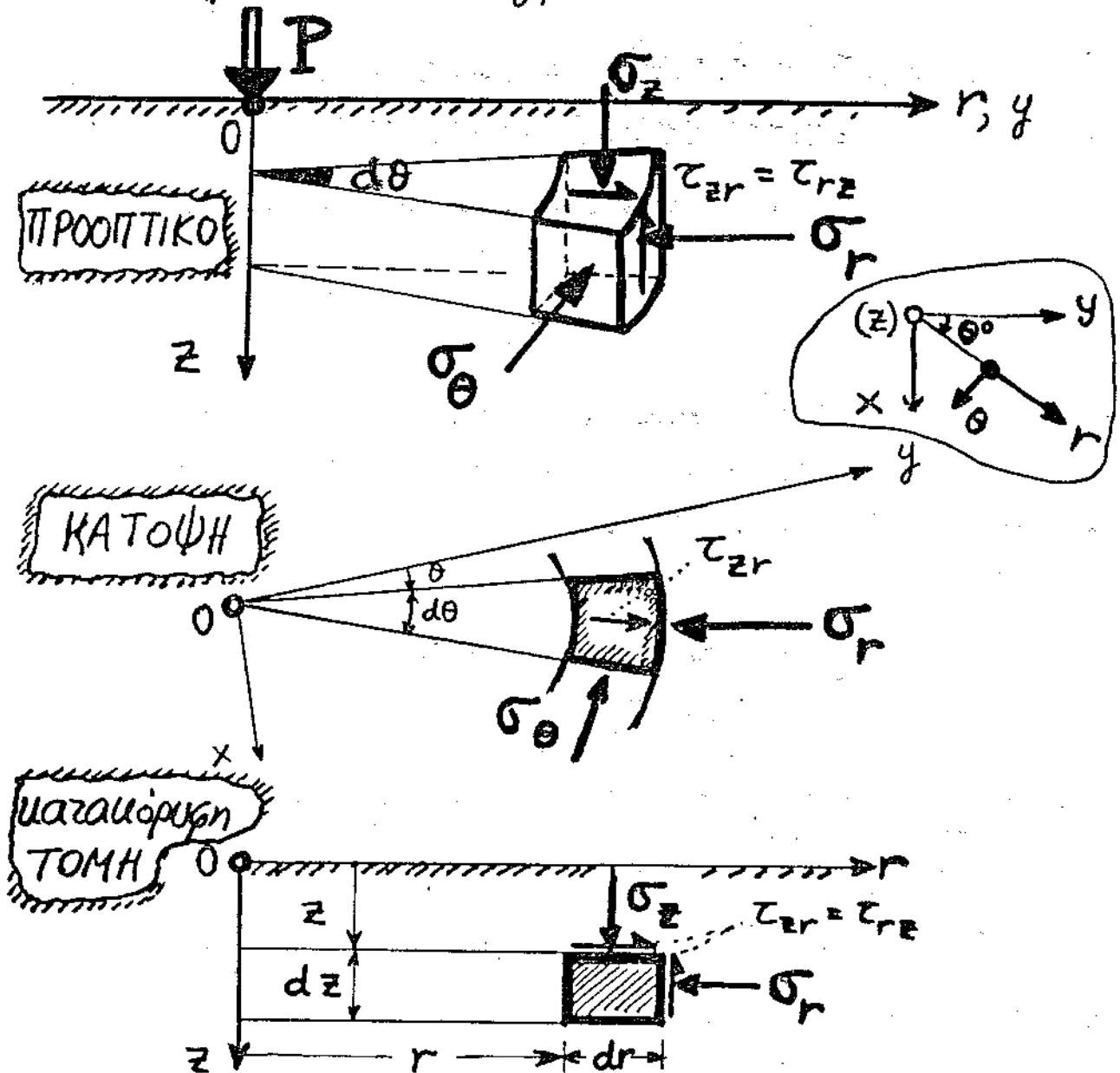


(Να γυθει από τους σπουδαστές)

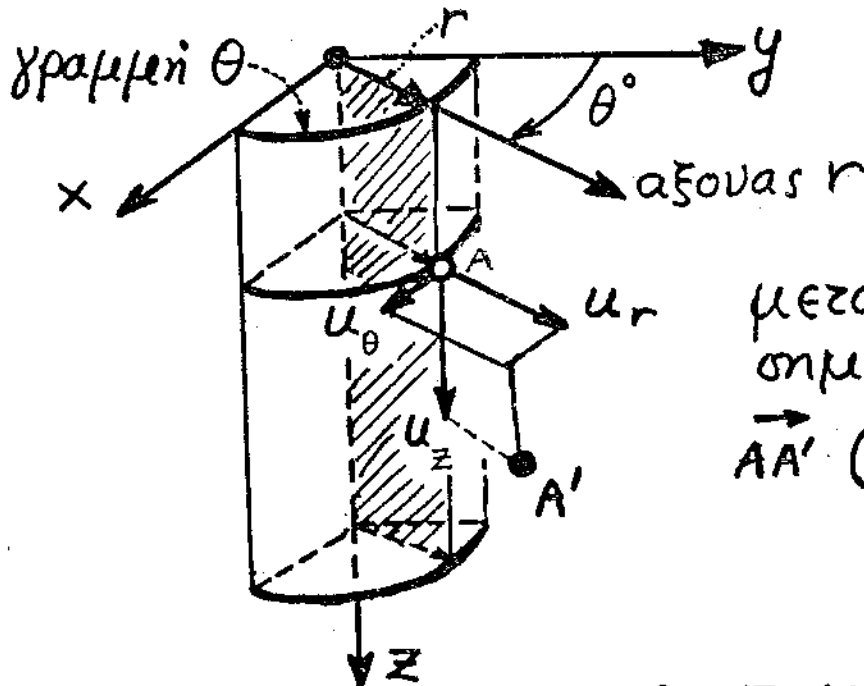
ΑΞΟΝΟ-ΣΥΜΜΕΤΡΙΚΕΣ ΦΟΡΤΙΣΕΙΣ-ΠΑΡΑΜΟΡΦΩΣΕΙΣ

③ Συγκεντρωμένο σημειακό φορτίο, P (F)

ωλινδρικές συντεταγμένες



Μετατοπίσεις u_r, u_θ, u_z



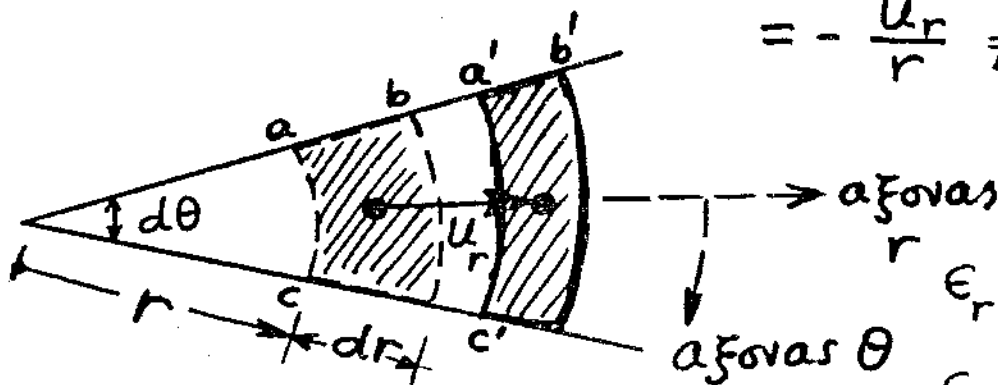
μετατόπιση σημείου A:
 $\vec{AA'} (u_r, u_\theta, u_z)$

ΑΞΟΝΙΚΗ (ΚΥΛΙΝΔΡΙΚΗ) ΣΥΜΜΕΤΡΙΑ:

$$u_\theta = 0, \quad \tau_{r\theta} = \tau_{z\theta} = 0, \quad \frac{\partial(\sigma, \epsilon, u)}{\partial \theta} = 0$$

αλλά $\epsilon_\theta \neq 0$!! διότι ναι μέν: $\epsilon_r = -\frac{\partial u_r}{\partial r}, \epsilon_z = -\frac{\partial u_z}{\partial z}$

$$\text{αλλά: } \epsilon_\theta = -\frac{1}{r} \frac{\partial u_\theta}{\partial \theta} - \frac{u_r}{r} = -\frac{u_r}{r} \neq 0$$



$$\epsilon_r \sim \frac{ab - a'b'}{dr}$$

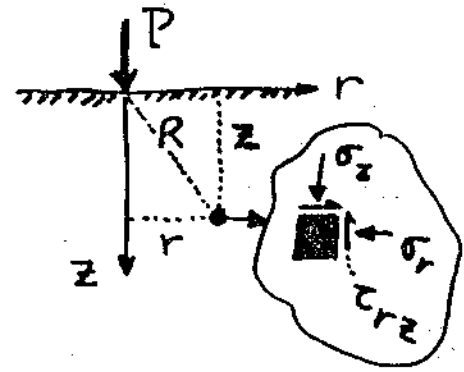
$$\epsilon_\theta \sim \frac{ac - a'c'}{r d\theta}$$

(βλ. $a'c' - ac = u_r d\theta$ ο.ε.δ.)

Boussinesq, J. (1890) :

[σχέσεις (3)]

$$\sigma_z = \frac{3P}{2\pi} \frac{z^3}{R^5} = \frac{3P}{2\pi z^2} \frac{1}{\left[1 + \left(\frac{r}{z}\right)^2\right]^{5/2}}$$



$$\sigma_r = \frac{P}{2\pi R^2} \left\{ \frac{3r^2 z}{R^3} - \frac{(1-2\nu)R}{R+z} \right\} \quad (3)$$

$$\tau_{rz} = \frac{3P}{2\pi} \frac{r z^2}{R^5}, \quad \sigma_\theta = -\frac{(1-2\nu)P}{2\pi R^2} \left\{ \frac{z}{R} - \frac{R}{R+z} \right\}$$

$$u_z = \frac{P(1+\nu)}{2\pi ER} \left\{ 2(1-\nu) + \frac{z^2}{R^2} \right\}$$

$$u_r = \frac{P(1+\nu)}{2\pi ER} \left\{ \frac{r z}{R^2} - \frac{(1-2\nu)r}{R+z} \right\}$$

$$R = \sqrt{r^2 + z^2}$$

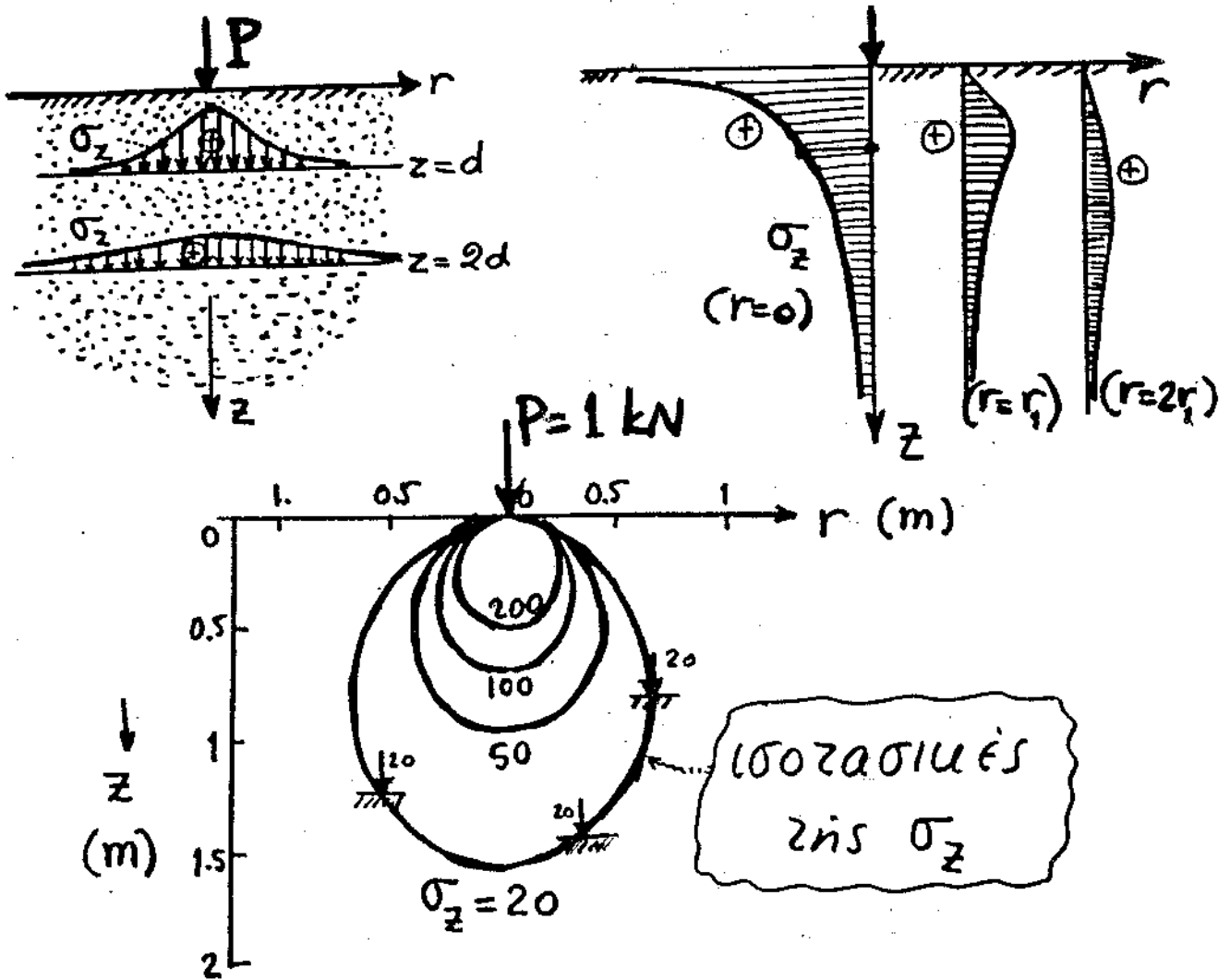
ΣΠΟΥΔΑΙΕΣ ΠΑΡΑΤΗΡΗΣΕΙΣ:

1. σ_z ανεξάρτητη των E, ν (ενώ σ_r και σ_θ εξαρτώνται μόνου από το ν)

Δηλ. πάλι οι επιβαλλόμενες τάσεις είναι "αδιάφορες" προς τις μηχανικές ιδιότητες (εσφυμνιστότητα) του υλικού

2. Αντίθετα οι μετακινήσεις και παραμορφώσεις είναι ανυπόφορα ανάλογες του μέτρου ελαστικότητας, E .

ΚΑΤΑΝΟΜΕΣ ΤΑΣΕΩΝ



Ενδιαφέρονσα η σύγκριση μεταξύ σ_z επιβαλλόμενες από σημειακό και γραμμικό φορτίο ΚΑΤΑ ΜΗΚΟΣ ΤΟΥ ΑΞΟΝΑ z :

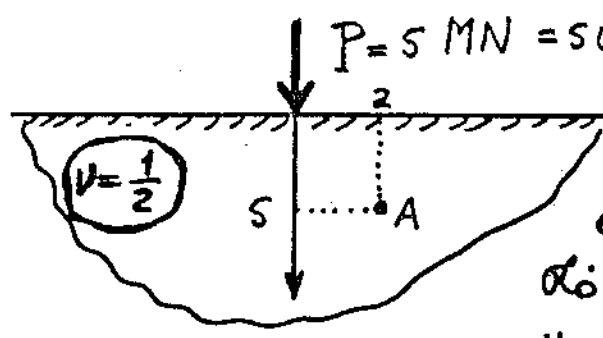
$P \Rightarrow \sigma_z = \frac{3P}{2\pi} \cdot \frac{1}{z^2}$	}	Οι σ_z του σημειακού φορτίου φθίνουν πολύ γαλύτερα με το βάθος !...
$q \Rightarrow \sigma_z = \frac{2q}{\pi} \cdot \frac{1}{z}$		

↓

Εξού και η διαφορά στους "βωλοβούς" τάσεων μεταξύ λιωρίδας - κώμασ.

Αριθμητικές εφαρμογές (συνέχεια)

10.



Ζητείται η ενταξιακή κατάσταση στο σημείο A ($z_A = 5\text{m}$, $r_A = 2\text{m}$). Οι κύριες τάσεις;

Από τις (3):

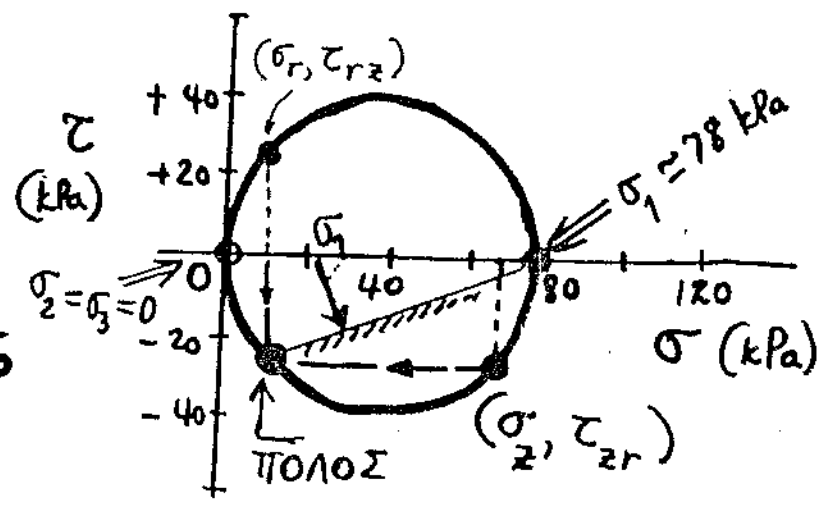
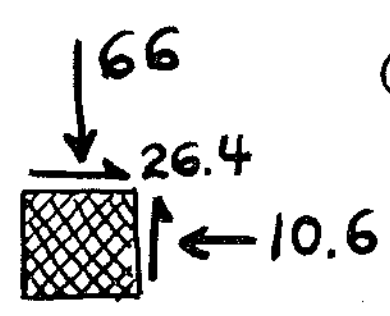
$$R = \sqrt{z^2 + r^2} = \sqrt{5^2 + 2^2} \approx 5.39\text{ m}$$

$$\sigma_z = \frac{3 \times 5}{2 \times \pi} \frac{5^3}{5.39^5} \approx 0.066\text{ MPa} = \underline{66\text{ kPa}}$$

$$\sigma_r = \frac{3 \times 5}{2 \times \pi} \frac{2^2 \times 5}{5.39^5} \approx 66 \times \left(\frac{2}{5}\right)^2 \approx \underline{10.6\text{ kPa}}$$

$$\sigma_\theta = \underline{0}, \quad \tau_{rz} = \frac{3 \times 5}{2 \times \pi} \frac{2 \times 5^2}{5.39^5} \approx 66 \times \left(\frac{2}{5}\right) \approx \underline{26.4\text{ kPa}}$$

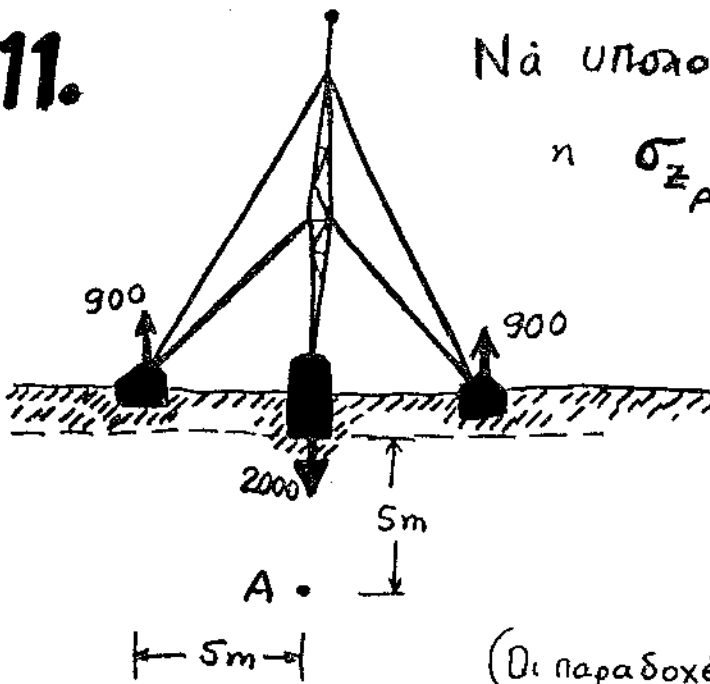
Επειδή η σ_θ είναι κύρια τάση ($\tau_{r\theta} = \tau_{z\theta} = 0$) η μεταβολή με την διεύθυνση των σ, τ στο επίπεδο (z, r) μπορεί να παραβλεφεί με εύκολο Mohr!



11.

Νά υπολογιστεί κατά προσέγγιση

η σ_{zA}



Παραδοχές:

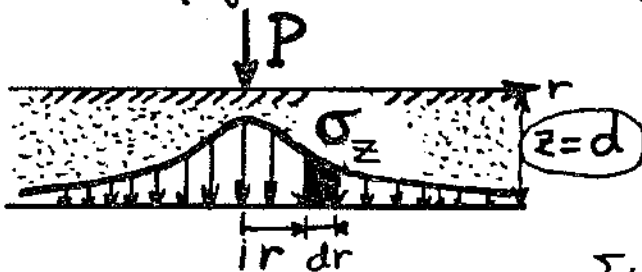
- (1) τὰ ζρία φορτία είναι σημειακά
- (2) δρούν στήν επιφάνεια ημικώρυα (διακεκομμένη γραμμή)

(Οι παραδοχές αυτές είναι εύλογες λόγω Αρχής Saint Venant - δες παρακάτω)

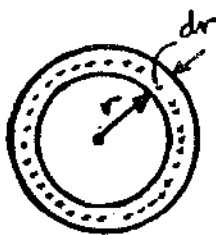
Επαλληλία $\Rightarrow \sigma_{zA} = \frac{3 \times 2000}{2 \times \pi \times 5^2} + 2 \frac{3 \times (-900) \times 5^3}{2 \times \pi \times (5\sqrt{2})^5}$

$\approx 38.2 - 6.0 \approx 32.2 \text{ kPa}$

12. Νά υπολογιστεί η συνισταμένη των σ_z σέ οριζόντιο επίπεδο μέ $z=d$.



Λόγω κυλινδρικής συμμετρίας:



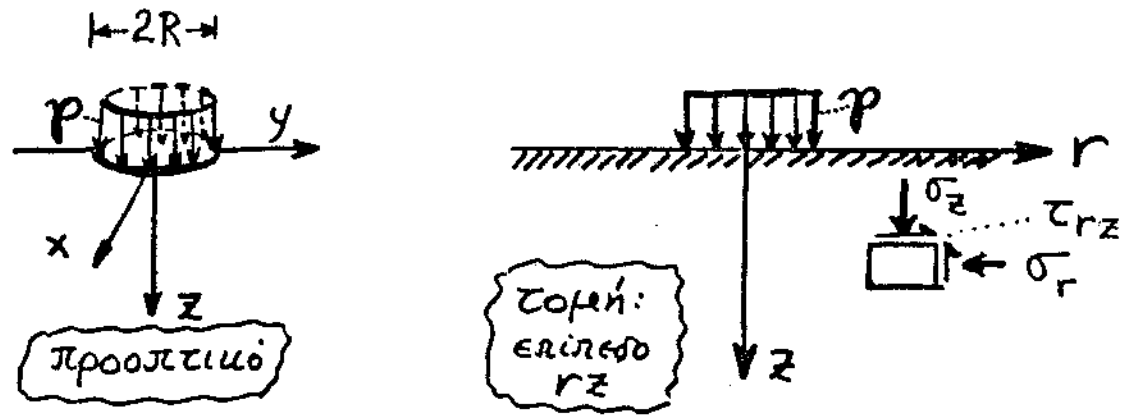
Συνισταμένη =

$$\int_0^{\infty} \sigma_z (2\pi r dr)$$

$$= 2\pi \int_0^{\infty} \frac{3P}{2\pi d^2} \frac{r dr}{[1+r^2/d^2]^{5/2}} = P$$

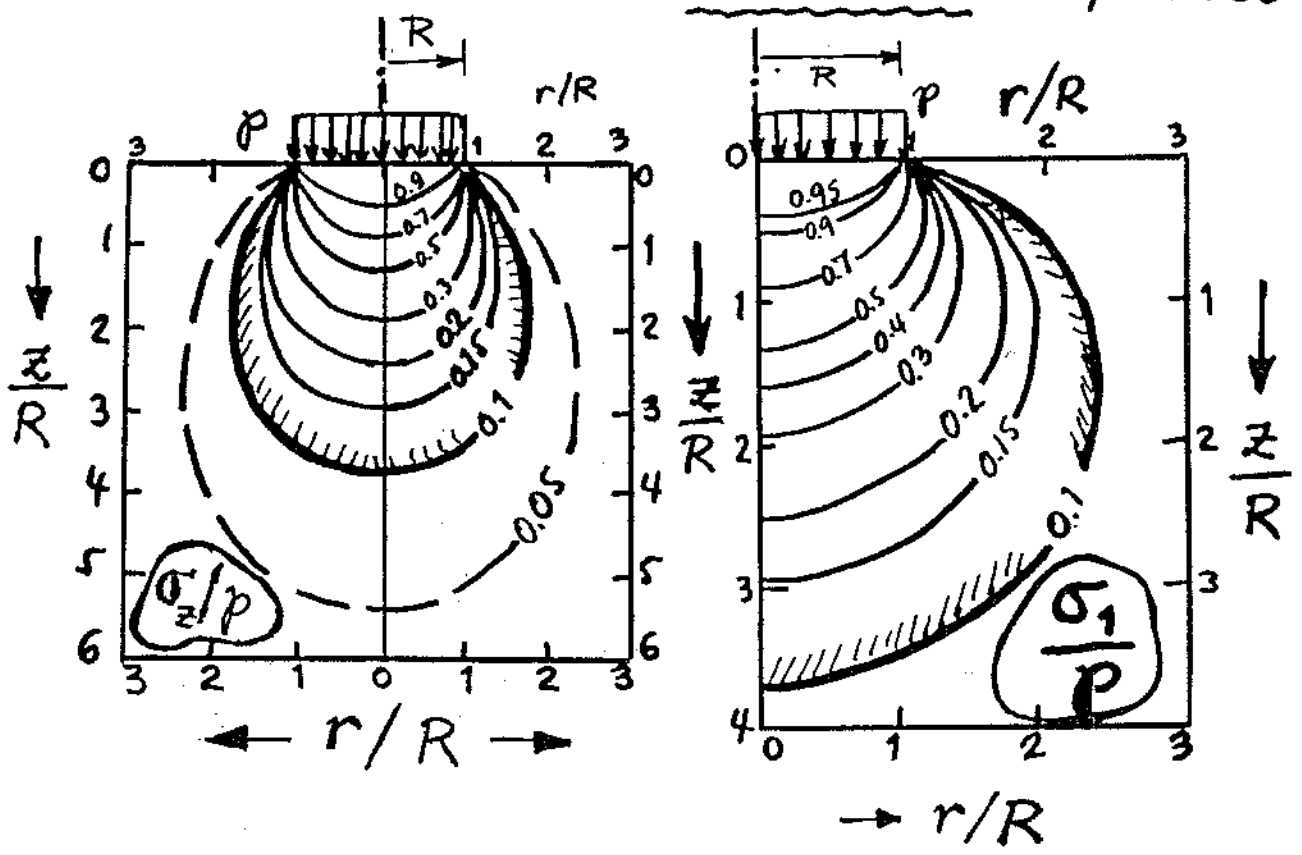
όπως ασφαλώς και αναμέναμε λόγω ισορροπίας!

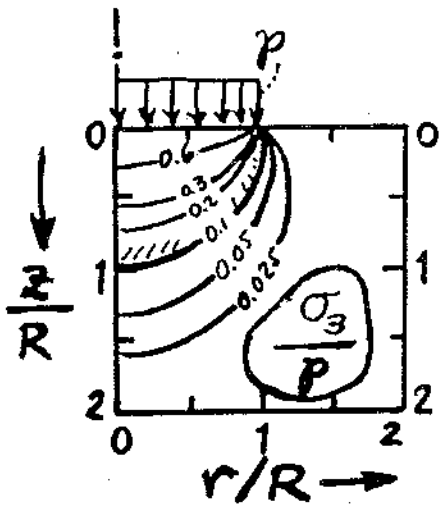
4 Ομοιόμορφη ορθή πίεση, p , σε κυκλική επιφάνεια



Και πάλι υπάρχει κυλινδρική συμμετρία ως προς του άξονα z

Ατυχώς δεν υπάρχουν αναλυτικές εκφράσεις για τις τάσεις \Rightarrow δίνονται υπό μορφή αδιάστατων καμπυλών





Σημείωση: Οι
 διευθύνσεις των
 σ_1 και σ_3 δεν δίνονται!
 Μεταβάλλονται από σημείο
 σε σημείο (φυσικά).

Αριθμητικό παράδειγμα:

$p = 240 \text{ kPa (kN/m}^2\text{)}, 2R = 6 \text{ m}$

Ζητούνται: σ_z και σ_r σημείο $(r=0, z=3\text{m})$

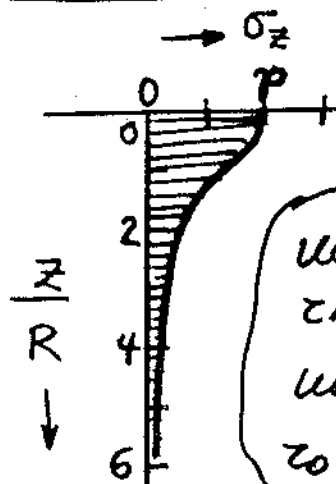
Προφανώς, υπό τον άξονα ($r=0$) $\sigma_z = \sigma_1, \sigma_r = \sigma_3$

$$\frac{z}{R} = \frac{3}{3} = 1 \Rightarrow \frac{\sigma_z}{p} \approx 0.64 \quad \therefore \sigma_z = 0.64 \times 240 = 153.6 \text{ kPa}$$

$$\frac{\sigma_r}{p} \approx 0.10 \quad \therefore \sigma_r = 0.10 \times 240 = 24 \text{ kPa}$$

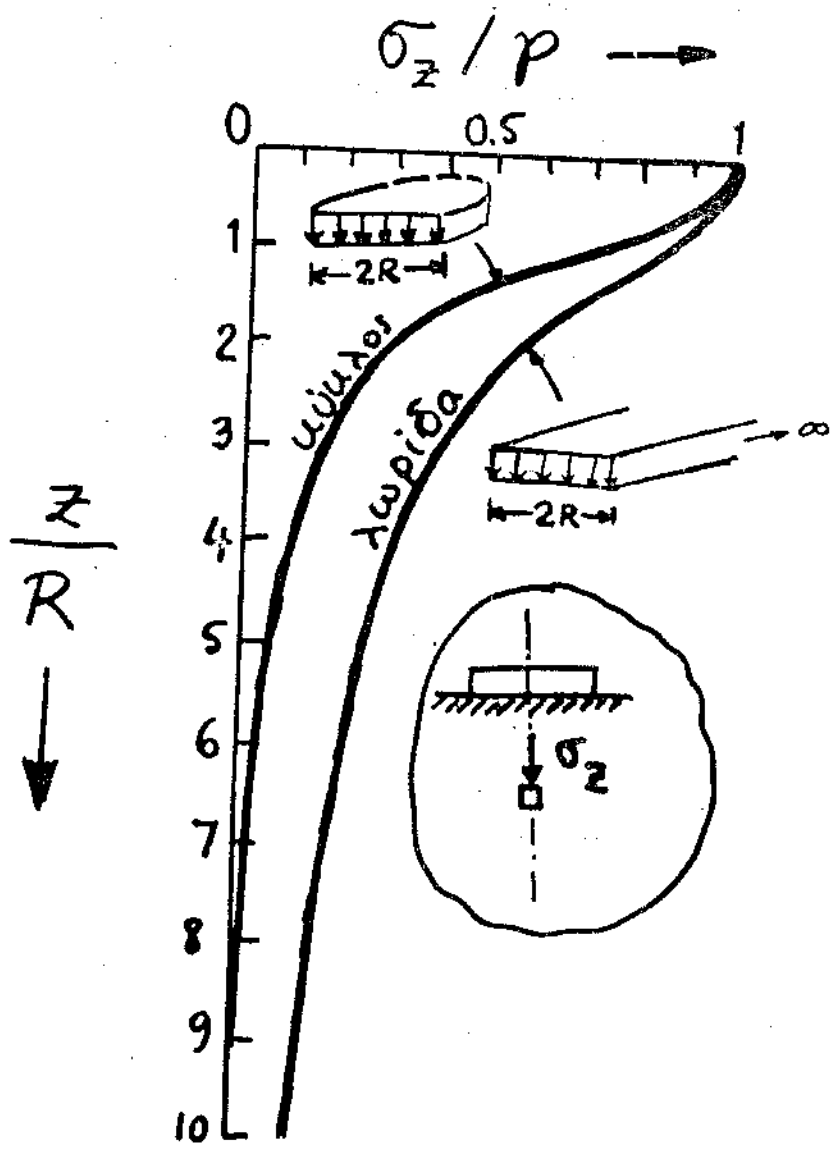
Ειδικά για την
 σ_z κατά μήκος
 του άξονα z :

$$\frac{\sigma_z}{p} = 1 - \frac{1}{\left\{1 + \left(\frac{R}{z}\right)^2\right\}^{3/2}}$$



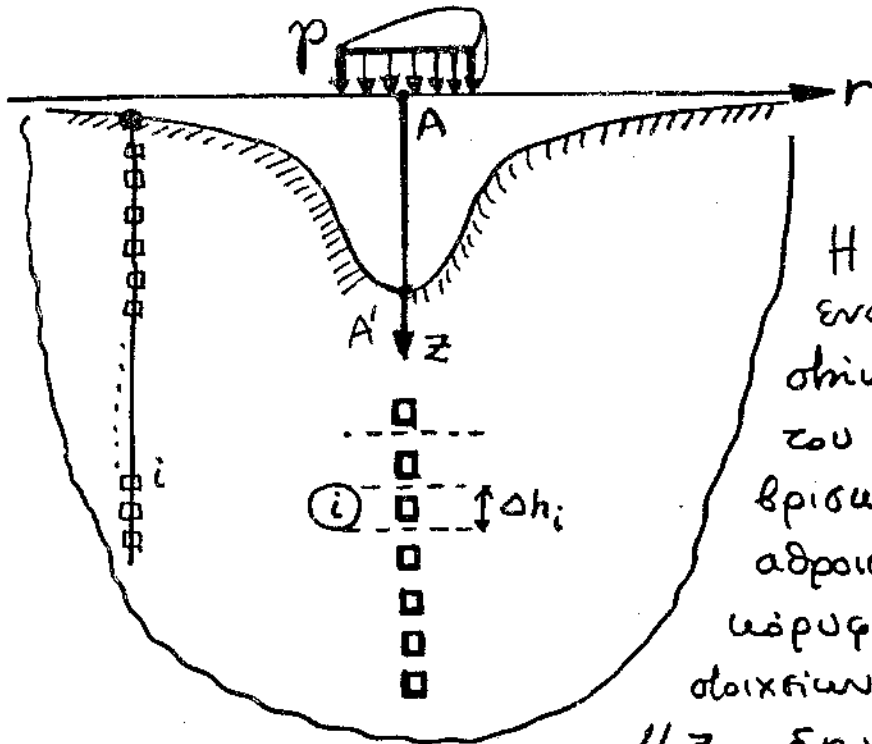
κατανομή
 της σ_z
 κατά μήκος
 του z

Σύγκριση "κυκλικού" με λωριδωτό φορτίο



Δηλ. τὸ λωριδωτὸ φορτίο ἐπηρεάζει
πολὺ βαθύτερα ἐδαφικὰ στρώματα
ἀπὸ ἓνα ἀνισοαίχιο κυκλικὸ
Βάθη ἐπιρροῆς $\approx 12R$ καὶ $4R$, ἀνισοαίχως.

Καθίζηση της φορτιζόμενης επιφάνειας



Η καθίζηση ενός σημείου A οπίου επιφάνεια του ημίσφαιρου βρίσκεται με άθροιση των υαλο-υόρυφων μετακινήσεων στοιχείων σε γραμμή // z, δηλαδή:

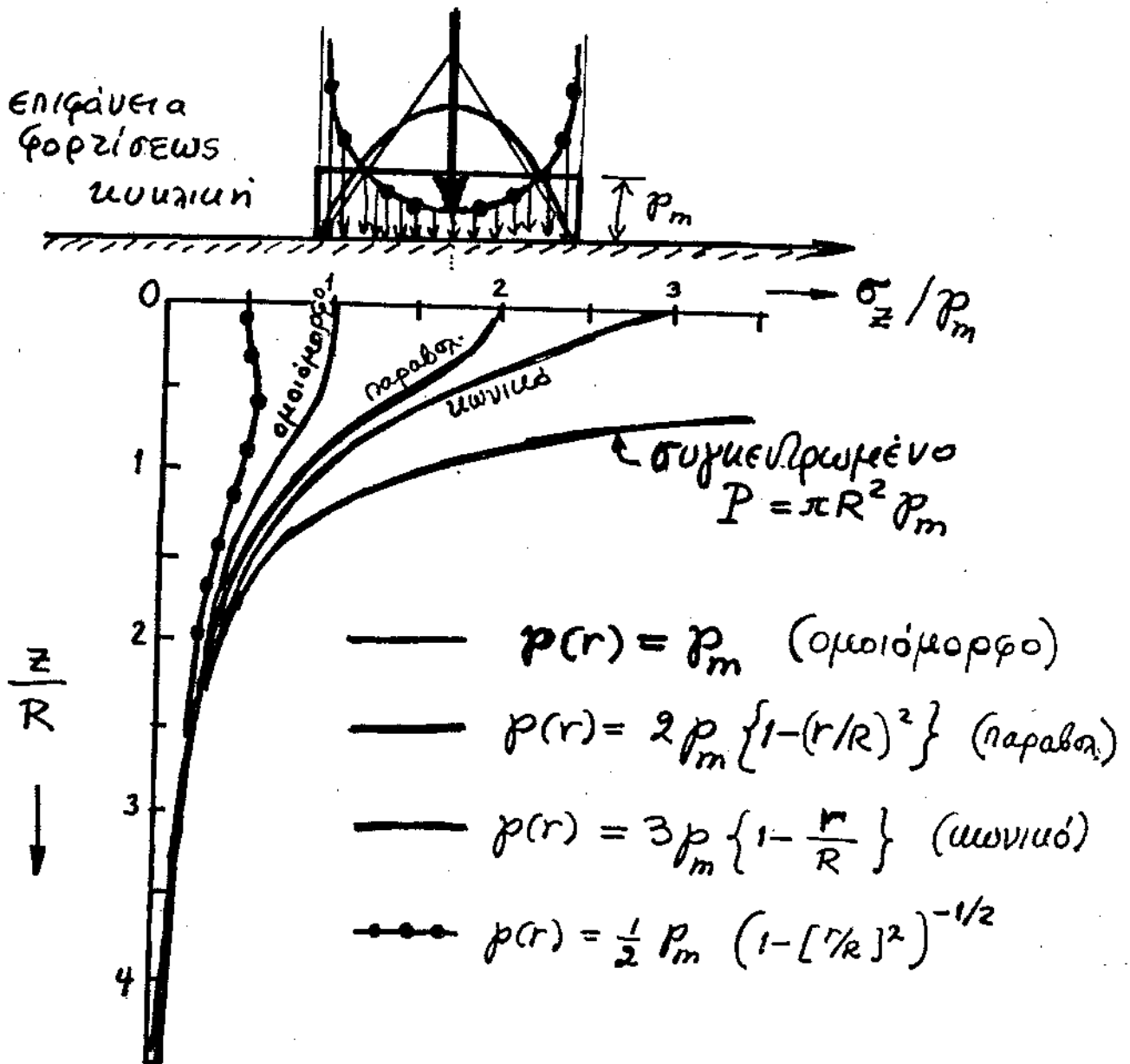
$$\delta_A = \sum_i (\epsilon_i \Delta h_i), \text{ όπου η άθροιση μπορεί να σταματήσει σε βάθος } z \text{ βάθους επιρροής}$$

Ειδικά κατά μήκος του άξονα

$$\delta_{max} = \int_0^{\infty} \underbrace{\frac{1}{E} (\sigma_z - 2\nu \sigma_r)}_{\epsilon_z} dz = \frac{2(1-\nu^2)}{E} pR$$

ΠΑΡΑΤΗΡΗΣΗ: για δεδομένη p, $\delta_{max} \sim R$

Πραγματούς αξίας ερώτημα:
 Χρειάζεται να ξέρουμε με ακρίβεια
 την πραγματική κατανομή του φορτίου
 στην εδαφική επιφάνεια;

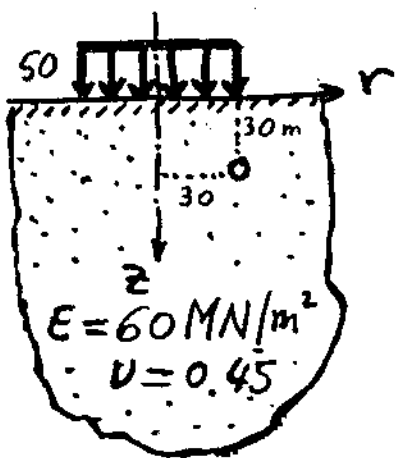


Οι κατανομές πρακτικά συμφωνούν για $z \geq 2R$
 όπως προβλέπει η Αρχή του Saint Venant,
 μιά που και οι πέντε φορτίσεις έχουν κωνική συνισταμέ-
 νη, $P = \pi R^2 p_m$. (βλ. "ΜΗΧΑΝΙΚΗ ΠΑΡΑΜΟΡΦΩΤΩΝ ΣΩΜΑΤΩΝ Ι",
 Κ.Μ. ΜΥΛΩΝΑ. σελ. 63, 3η έκδοση, 1985.)

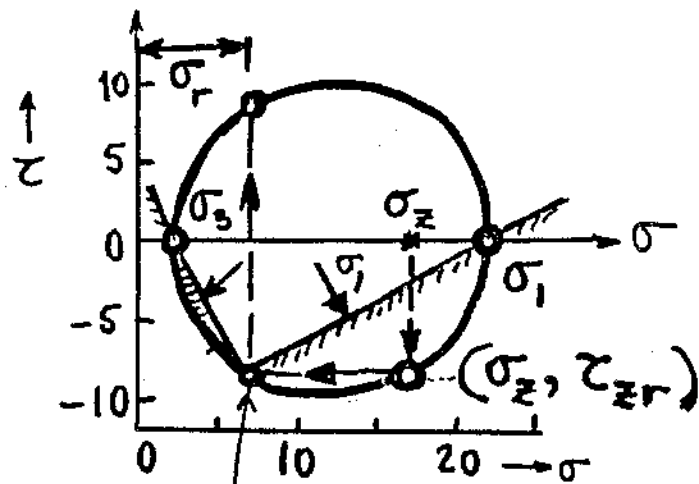
Αριθμητικές εφαρμογές (συνέχεια)

13. Φορτίο 50 kN/m^2 καταβέβαια ομοιόμορφα σε επιφάνεια κύκλου ακτίνας 30 m .

Ζητείται: Σε σημείο με $z=30 \text{ m}$, $r=30 \text{ m}$ να βρεθούν οι σ_r και οι διευθύνσεις των σ_1, σ_3 . Ποση η μέγιστη καθίζηση;



$$\left. \begin{array}{l} \frac{z}{R} = 1 \\ \frac{r}{R} = 1 \end{array} \right\} \begin{array}{l} \sigma_z \approx 0.33 \times 50 = 16.5 \text{ kPa} \\ \sigma_1 \approx 0.45 \times 50 = 22.5 \text{ " } \\ \sigma_3 \approx 0.03 \times 50 = 1.5 \text{ " } \end{array}$$



"ΠΟΛΟΣ" (ΑΡΧΗ ΤΩΝ ΕΠΙΠΕΔΩΝ)

Καθίζηση σημείου ($r=0, z=0$):

$$\delta_{\max} = \frac{2(1-\nu^2) R q}{E} = \frac{2(1-0.45^2) \times 30 \times 50}{60000} \approx 0.04 \text{ m}$$

14. Ξέρουμε ότι $v=0.5$ αντιστοιχεί σε υαίω που δέν μπορεί να συμπιεσθεί ($\Delta V/V=0$, ανεξαρτήτως $\sigma_x, \sigma_y, \sigma_z$). Κι όμως, η καδίηση που προβέλει ο ζύπος:

$$\rho = \frac{2(1-v^2)}{E} pR \longrightarrow \frac{1.5}{E} pR \neq 0$$

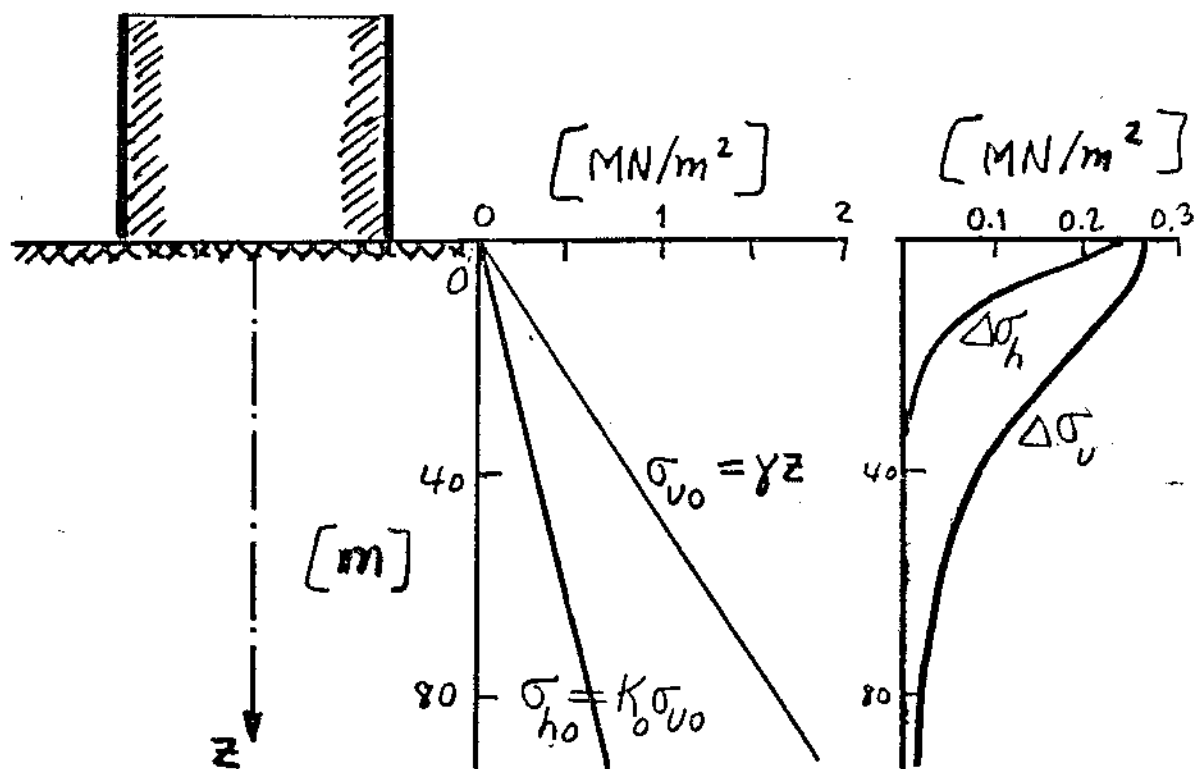
Πώς δικαιολογείται αυτό; Είναι μάλιστα ανεπαρκής ο ζύπος, μία που βασίζεται στην παραδοχή ελαστικού υαίω;

Ασφαλώς όχι. Το υαίω μπορεί να είναι ασυμπιεστο, αλλά διατμητικές παραμορφώσεις λαμβάνουν χώρα και προξενούν ρ .

Και τὸ νερό είναι (σχεδόν) ασυμπιεστο - μία μάζα χάλυβα όμως θα προξενήσει $\rho \sim \infty$ αν αφεί στην επιφάνεια. Διότι τὸ μέτρο διατμήσεως τὸ υγρού είναι $G=0$!

Εφαρμογή: άμεση καδίηση κορεσμένων αργαλικών αποθέσεων υπό αβραγγίες συνθήκες!...

15. Κυκλικής υαζοφης δεξαμενή περειαίου
 ($2R = 46\text{ m}$, υψος = 40 m , $\rho \approx 263\text{ kPa}$)
 εδράζεται σε έδαφος με $\gamma = 20\text{ kN/m}^3$, $K_0 = 0.40$.
 Ζητούνται οι γεωστατικές, επιβαλλόμενες
 και συνολικές τάσεις σ_v και σ_h , κατά
 μήκος του άξονα z .

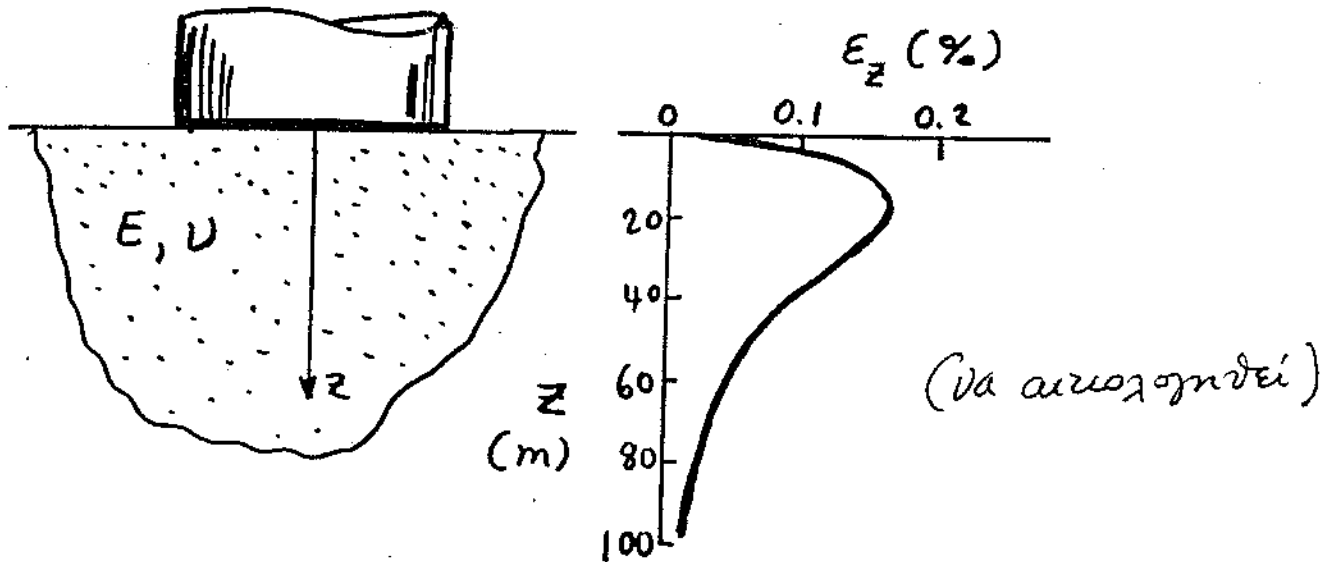


(Να δοθούν οι αριθμεις τιμές απ' τους
 βηουδαστες/σηουδαστριες.)

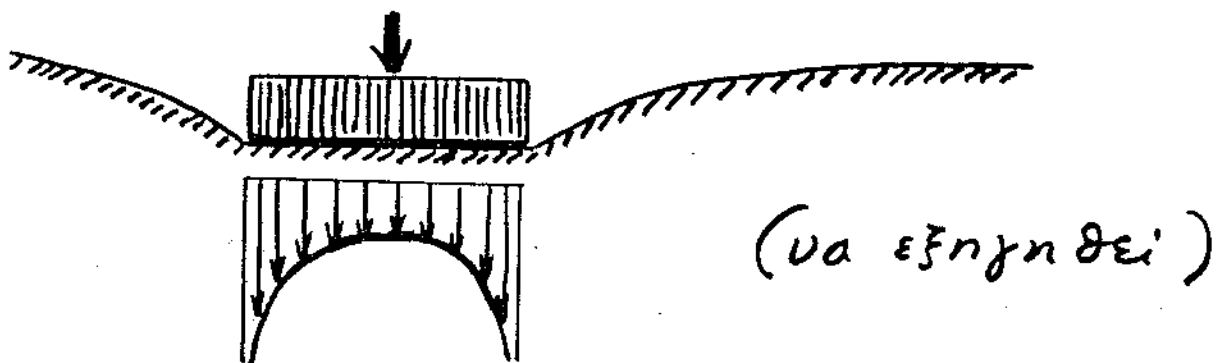
16. Το έδαφος της άσκησης 15 έχει:

$$E = 96 \text{ MN/m}^2, \quad \nu = 0.45$$

Ζητείται το προφίλ των ϵ_z κατά μήκος του άξονα z .



17. Ένα τελείως άκαμπτο θεμέλιο εδράζεται σε ελαστικό, ομογενή ημίσφαιρο. Να βρεθεί (ποιοτικά) το σχήμα της κατανομής του επιβαλλόμενου φορτίου, p (δηλ. $p = p(x)$ ή $p = p(r)$).



5 Χααρακτηριστικές Ελαστικές Λύσεις για ΜΗ-ΟΜΟΙΟΓΕΝΗ Εδαφικά Προσομοιώματα

Τα μέχρι εδώ αποτελέσματα αναφέρονται σε έναν τύπο εξιδανικευμένου εδαφικού προσομοιώματος ομοιογενή (ισότροπο και ελαστικό) κελύχος. Η επινόηση αυτού του ιδεατού μέσου (από τα τέλη του 19ου αιώνα) έγινε μόνον για την μαθηματική ευκολία που προσφέρει έναντι του πιο ρεαλιστικού πολύ-σφρωτού (ή και ανισοτροπικού, ή και ανελαστικού) κελύχου.

Η ανομοιογένεια όμως είναι η συνήθης πραγματικότητα:

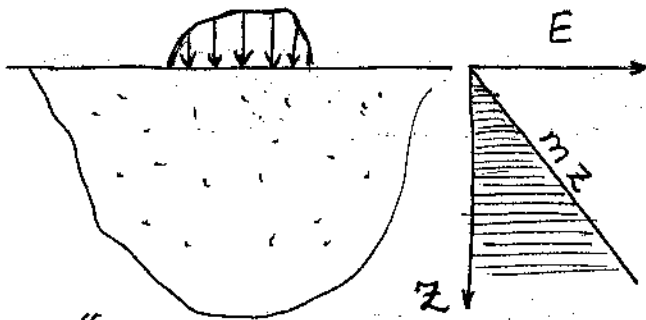
- λόγω εδαφικών στρώσεων με διαφορετικές ιδιότητες μεταξύ τους
- λόγω εξάρτησης του μέσου ελαστικότητας (E) από την ενεργό μέση ορθή τάση ($\bar{\sigma}_m = [\bar{\sigma}_{v0} + 2\bar{\sigma}_{h0}]/3$) η οποία επιπρατεί σε κάθε σημείο, πριν απ' την επίβολή του φορτίου.

Απλά, καθώς το $\bar{\sigma}_m$ είναι ανάλογο του βάθους z , $\bar{\sigma}_m \sim z$, και το μέτρο ελαστικότητας είναι σε αρκετά υψηλά ανάλογο του $\bar{\sigma}_m$ (π.χ. σε κορεσμένες αργιλλες: $E_u \sim \bar{\sigma}_m$, υπό ασφάγητες συνθήκες), προκύπτει:

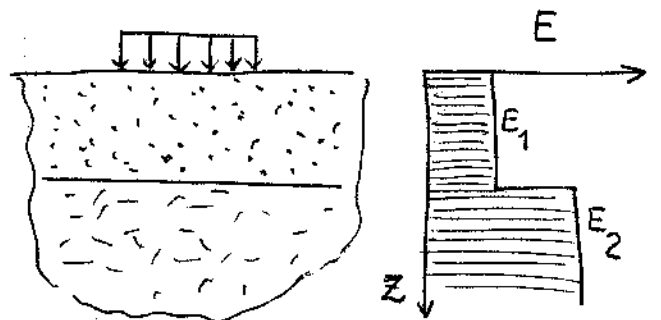
$$E_u = m z \quad \text{δηλ. γραμμικώς αυξανόμενο με το βάθος, με όχι σταθερό, μέτρο ελαστικότητας.}$$

(βλ. αντίστοιχη λεπτομερέστερη θεωρία στο κεφ. 5.2.3 της γραμμικής αύξησης με το βάθος της S_u : ασφάγητες διαρμητικές αλοκίες.)

Παραδείγματα Κατανομής Τάσεων σε δύο τύπους ανομοιογενών προφίλ :



(α) "Γραμμικώς Ανομοιογενές"

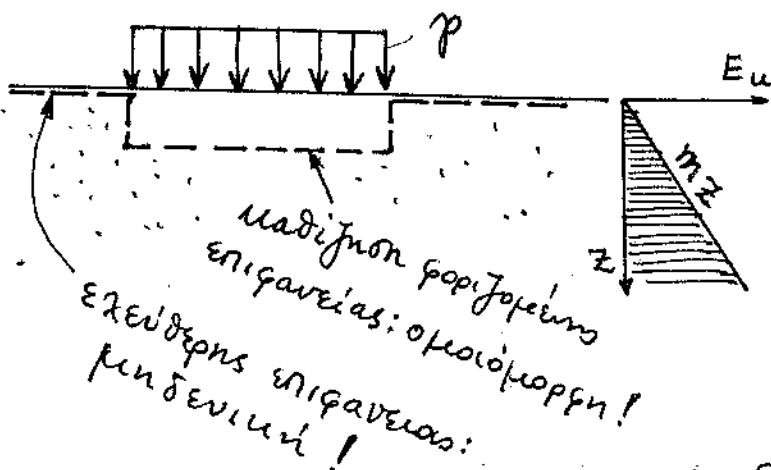


(β) Δι-στρωτο

Οι μαθηματικές επιλύσεις (με αναλυτικές μεθόδους) δεν είναι καθόλου απλές. Γι' αυτό δίνουμε εδώ μόνον τα αποτελέσματα, όπως άλλωστε καί γά τον ομοιογενή κριχωρο.

(α) Γραμμικώς Ανομοιογενές Έδαφος

με $E = E_u = m z$, $\nu = \nu_u = 0.50$



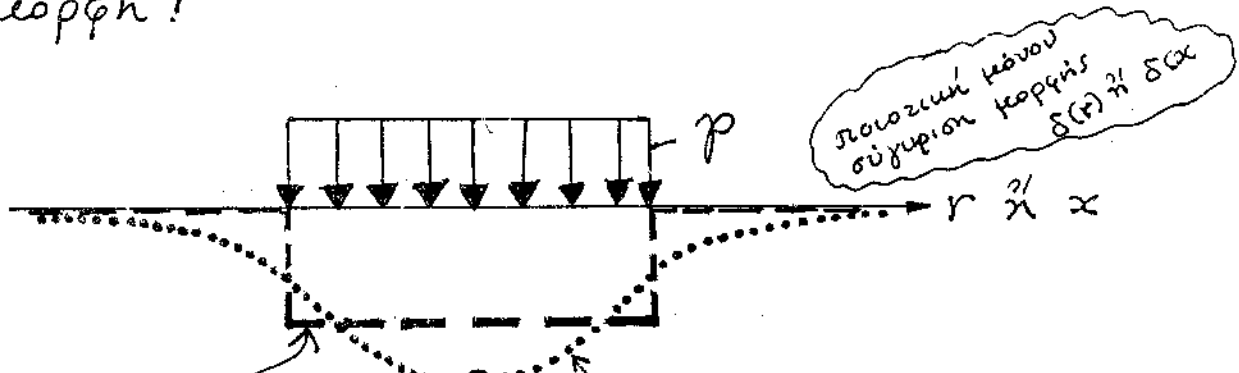
Ο Gibson (1973: Geotechnique) απέδειξε το ευ πρώτης όψεως παράδοξο συμπέρασμα: το πεδίο των τάσεων στον ανομοιογενή + ασυμπίεστον ($\nu=0.50$) αλόν κριχωρο

μαθηματικώς ταυτίζεται με το πεδίο των ανισόκων τάσεων στον ομοιογενή κριχωρο!

Ανεξαρτήτως καί ποια μορφή φορτίου (άρα γιά όλες τις φορτίσεις που εδώ εξετάσαμε).

⇒ θυμηθείτε το συμπέρασμα μετά την λύση ① ...

Οι παραμορφώσεις όρους (απόλυτες και ανηγμένες) είναι τελείως διαφορετικές στους δύο κριτών — καί σε μέγεθος, καί σε μορφή!



$$E = m z$$

$$\delta = \text{σταθερό} \\ = \frac{p}{\frac{2}{3} m}$$

υπό το φορτίο

(και $\delta = 0$ εκτός περιοχής φορτίου)

ΑΝΕΞΑΡΤΗΤΩΣ ΣΧΗΜΑΤΟΣ
ή ΜΕΓΕΘΟΥΣ ΦΟΡΤΙΖΟΜΕΝΗΣ
ΕΠΙΦΑΝΕΙΑΣ !!
(Gibson, 1967, 1973)

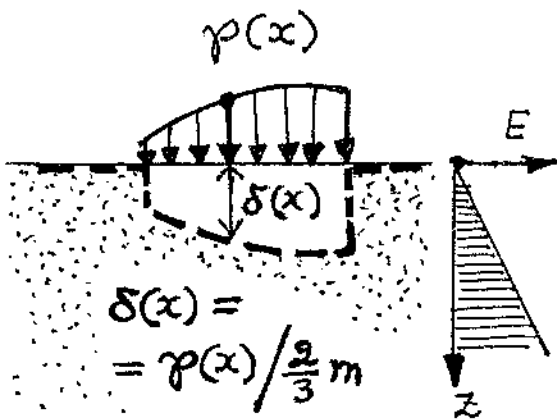
$$E = \text{σταθερό} : \delta = \delta(r), \text{ με} \\ \max \delta = p \frac{1-\nu^2}{E} \cdot I_s$$

$$I_s = I_s \text{ (σχήματος, διαστάσεων φορτιζομένης επιφάνειας)}$$

π.χ. για κυκλική επιφάνεια ακτίνας R : $I_s = 2R$

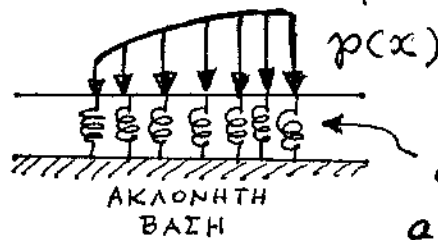


Δικαίωση του προσομοιώματος του "ΕΛΑΤΗΡΙΟΥ ΕΔΑΦΟΥΣ WINKLER" που χρησιμοποιείται ερμηνεία στα προβλήματα αλληλεπίδρασης εδάφους-θεμελίων και εδάφους-πασσάλων:



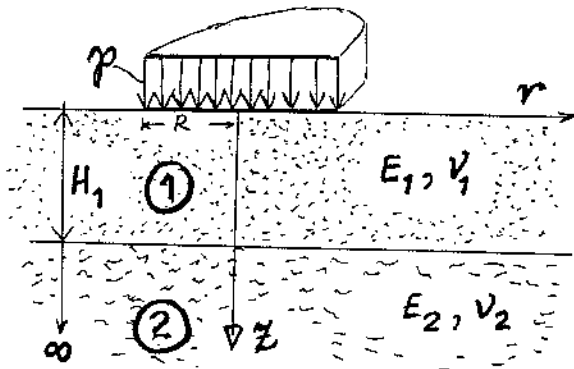
$$\delta(x) = \frac{p(x)}{\frac{2}{3} m}$$

ΙΣΟΔΥΝΑΜΟ



όμοια ανεξάρτητα ελατήρια, συνεχώς κατανομημένα, σταθερά $k = \frac{2}{3} m$

(β) Δι-στρωτο έδαφος (E_1, E_2, H_1)



ΦΟΡΤΙΣΗ ΚΥΚΛΙΚΗ

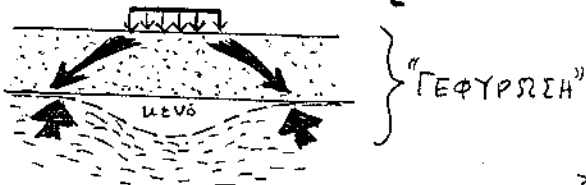
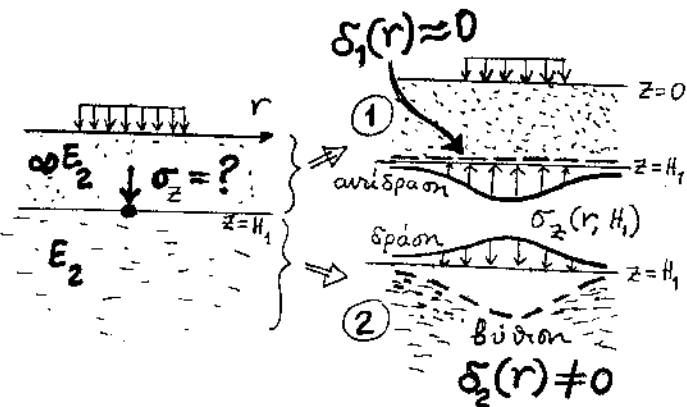
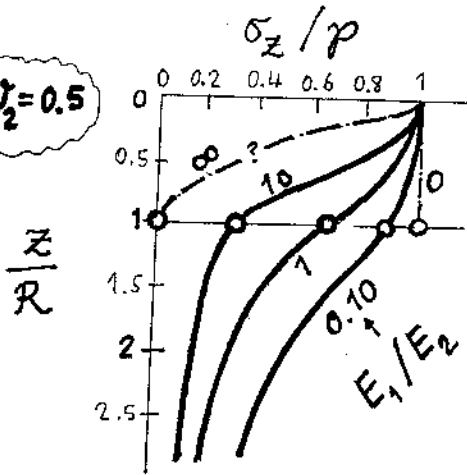
Κατανομή της σ_z κατά μήκος του άξονα z , εάν

- $H_1 = R$ και (α) $E_1/E_2 = 10$
- (β) $E_1/E_2 = 0.1$

Συμπεριφορές:

- Στην ομοιογενή περίπτωση ($E_1/E_2 = 1$) στην (υποθετική) διεπιφάνεια $z = H_1$, έχουμε: $\sigma_z/p \approx 0.64$.
- $E_1 = 10E_2$. Ο ρόλος του δόσιμακροσθεν έδαφους σφώματος γίνεται εύκολα αντιληπτός - εάν θεωρήσουμε την απραία περίπτωση: $E_1/E_2 = \infty$. Αποδεικνύεται ευχερώς ότι σ' αυτήν την περίπτωση: $\sigma_z(r, z = H_1) = 0$.

$\nu_1 = \nu_2 = 0.5$



Π.χ. δια της εις-άπορον-απαγωγής: Έστω ότι $\sigma_z(r, z = H_1) \neq 0$. Φυσικά, η κατανομή της σ_z αυτής δεν θα είναι ομοιόμορφη, αλλά θα έχει μέγιστο στον άξονα ($r = 0$) (βλ. διπλωσί σχήμα). Οι παραμορφώσεις όμως που θα προκύψουν στο άνω ($E_1 = \infty E_2$) και στο κάτω (E_2) σφώμα θα ήταν τελείως διαγορευμένες. Έτσι η

βύθιση $\sigma_2(r) \neq 0$ θα είναι **ασυμβίβαστη** μέσω $\sigma_1(r) = 0$. (Θα ανοίγει δηλαδή μενό μεταξύ των δύο σφώματων στην διεπιφάνεια $z = H_1$.) **ΟΠΕΡ ΑΤΟΠΩΝ**. Άρα $\sigma_z(r, z = H_1) = 0$.

∴ "ΓΕΦΥΡΩΣΗ": το άκαμπτο σφώμα σε ρόλο "δοκού"

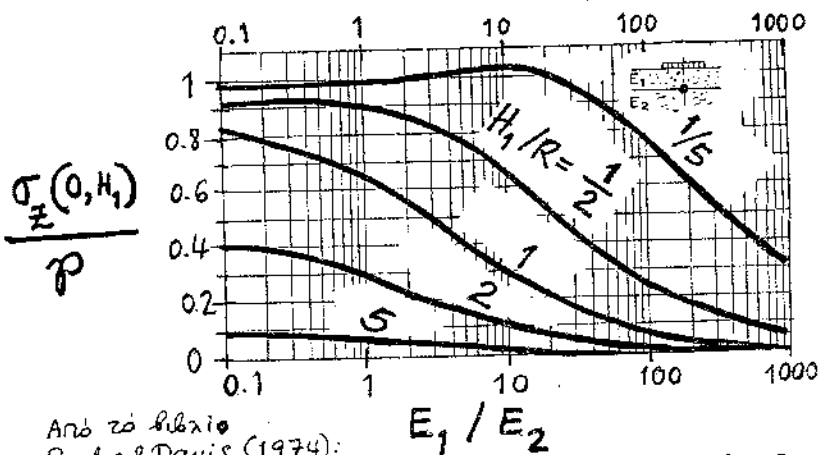
∞ δυσκαμψίας, εδραζόμενης σε ελαστική βάση ∞ εύλασης \Rightarrow τάση εδράσεως = 0.

Στην λιγότερο ακραία περίπτωση $E_1 = 10E_2$:
 η απαίτηση συμβεβαστού των βυθίσεων στην
 διεπιφάνεια οδηγεί σε μείωση (ως προς τον
 ομογενή ημίσφαιρο), αλλά όχι και μηδενισμό
 της σ_z . Η αριθμική επίλυση της θεωρίας ελα-
 στικότητας δίνει: $\sigma_z(r=0, z=H_1) \approx 0.30 p$ (δηλαδή
 μεταξύ 0 και 0.64 p).

- $E_1 = 0.10 E_2$. Ο ρόλος του εύκαμπτου άνω εδαφικού
 στρώματος γίνεται αμελητέος με την θέρση της
 ακραίας (συγγενούς) περιπτώσεως $E_1 / E_2 = 0$. Είναι
 προφανές ότι, τότε, όλο το φορτίο θα μεταφέρονταν
 "αυτούσιο" στην διεπιφάνεια $\Rightarrow \sigma_z(0, H_1) = p$!
 Για $E_1 = 0.10 E_2$ η αριθμική ελαστική επίλυση δίνει
 $\sigma_z(0, H_1) \approx 0.83 p$ (μεταξύ του 0.64 και του 1).

ΓΕΝΙΚΕΥΣΗ

Επίδραση και της άλλης αδιάστατης
 μεταβλητής: H_1/R . Για $\nu_1 = \nu_2 = 0.50$
 η συνάρτηση της τάσης στον άξονα



$$\frac{\sigma_z(0, H_1)}{p} = f\left(\frac{E_1}{E_2}, \frac{H_1}{R}\right)$$

δίδεται γραφικά στο
 διπλανό σχήμα.

ΑΣΚΗΣΗ

(α) Κατασκευάστε διαγράμ-
 ματα $\sigma_z/p = f(E_1/E_2, H_1/b)$
 για φορτίο χωρίδας 2b.
 (Αδρή προσέγγιση, φυσικά).

(β) Να ολοκληρωθεί η καμπύλη
 $\sigma_z(z)$ της προηγούμενης σελίδας για $E_1/E_2 = 0$.

Από το βιβλίο
 Poulos & Davis (1974):
 "Elastic Solutions for Soil and Rock Mechanics." J. Wiley & Sons.

ΣΕΙΡΕΣ ΑΣΚΗΣΕΩΝ

ΕΔΑΦΟΜΗΧΑΝΙΚΗΣ Ι

5ου Εξαμήνου

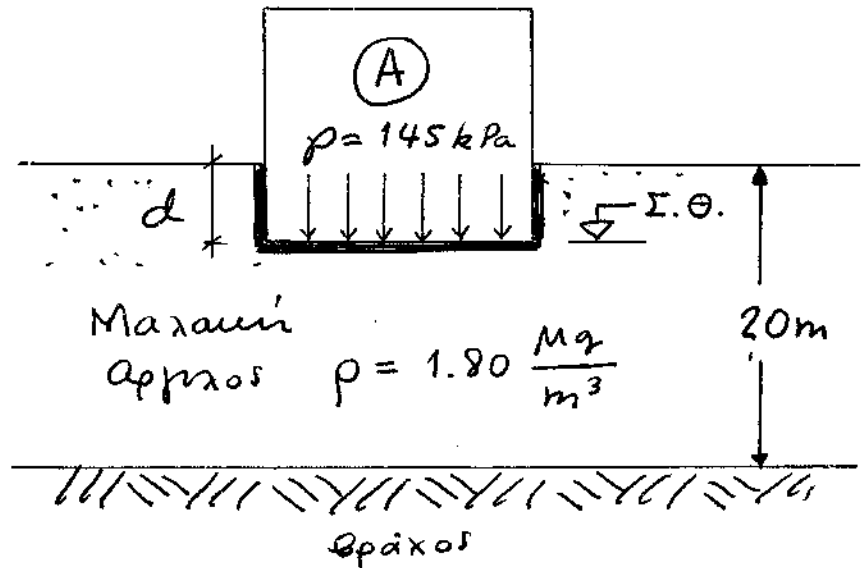
Εδαφομηχανική Ι, 5^ο Εξαμήνου

1^η Σειρά Ασκήσεων

1/1

1. Το κτίριο Α φορτίζει το έδαφος στη στάθμη θεμελιώσεως (Σ.Θ.) με τάση : $p = 145 \text{ kN/m}^2$

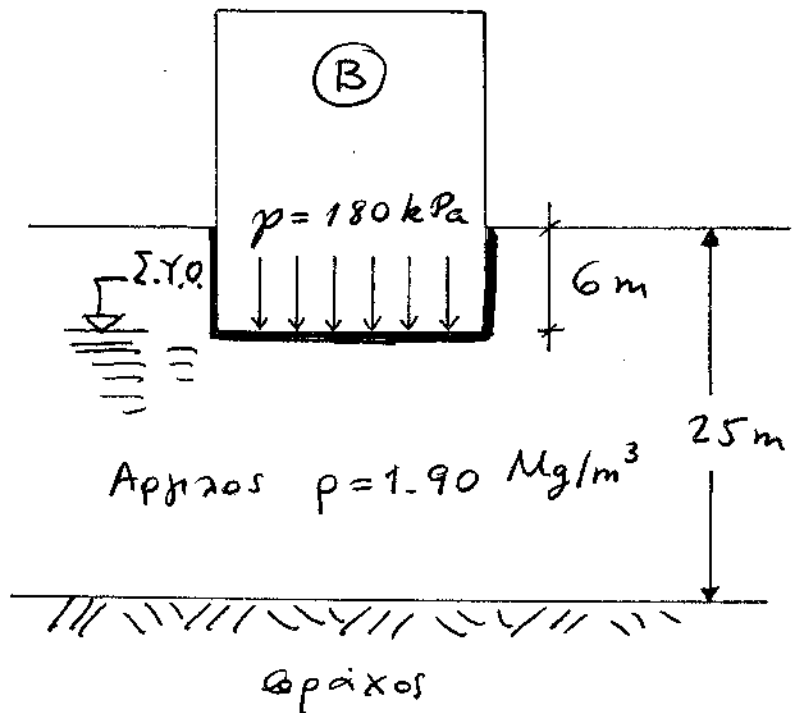
Ζητείται : το βάθος d στο οποίο πρέπει να θεμελιωθεί το κτίριο ώστε να μην προκύψουν σοβαρά προβλήματα στην θεμελίωση ("επίπλευση")



2. Το κτίριο Β φορτίζει το έδαφος στη στάθμη θεμελιώσεως (Σ.Θ.) με τάση : $p = 180 \text{ kN/m}^2$

(α) Αναμένονται σοβαρά προβλήματα θεμελιώσεως ;

(β) Ποιό θα έπρεπε να είναι το ύψος h ενός επιχώματος προφορτίσεως, ώστε μετά την αφαίρεσή του και την κατασκευή του κτιρίου Β να μην υπάρξουν ουσιαστικά προβλήματα στη θεμελίωση ;
($\rho_{\text{επιχ.}} = 1.80 \text{ Mg/m}^3$)



Εδαφομηχανική Ι, 5^{ου} Εξαμήνου

1/2

2^η Σειρά Ασκήσεων

1. (α) Να εκφρασθεί το πορώδες (n) συναρτήσει του δείκτη πόρων (e) (ορισμός $n = V_{\text{κενών}} / V_{\text{ολικό}}$)
2. Για ένα δοκίμιο εδαφικού υλικού δίδονται : $e = 0.70$, $w = 20\%$ και $\rho_s = 2.70 \text{ Mg/m}^3$. Ζητούνται : (α) η πυκνότητα ρ του δοκιμίου, (β) Τα $\rho_{\text{σηρ}}$ και S_r , (γ) Εάν $S_r = 100\%$ πόσο θα ήταν τα w και ρ ;
3. Δείγμα αργίλου τοποθετείται σε φιάλη. Η συνολική μάζα δείγματος-φιάλης είναι $A = 72.5 \text{ gr}$. Το δείγμα τοποθετείται στον κλίβανο και αποξηραίνεται. Η νέα συνολική μάζα δείγματος-φιάλης είναι $B = 61.3 \text{ gr}$. Η μάζα της φιάλης είναι $C = 32.5 \text{ gr}$, η δε πυκνότητα των στερεών κόκκων του δείγματος είναι 2.7 Mg/m^3 . Με την προϋπόθεση ότι το δείγμα είναι (πλήρως) κορεσμένο, ζητούνται :
 - (α) το ποσοστό υγρασίας w
 - (β) ο δείκτης πόρων e ,
 - (γ) η πυκνότητα του (κορεσμένου) δείγματος
 - (δ) η πυκνότητα του αποξηραμένου δείγματος και
 - (ε) η ενεργός πυκνότητα (υπό άνωση) του δείγματος.(στ) Μετά την αποξήρανση, το δείγμα βυθίζεται σε υδράργυρο και ο όγκος του βρίσκεται ίσος με 22.3 cm^3 . (Ο υδράργυρος δεν εισχωρεί στους πόρους του δείγματος, ούτε έχει οποιαδήποτε χημική επίδραση στο δείγμα.) Ζητείται ο (πραγματικός) βαθμός κορεσμού S_r του δείγματος, καθώς επίσης και η (νέα) τιμή της πυκνότητας του αποξηραμένου δείγματος.
4. Πόσα κυβικά μέτρα επιχώματος μπορούν να κατασκευασθούν με δείκτη πόρων 0.70 από υλικό όγκου $190\,000 \text{ m}^3$ με επιτόπου δείκτη πόρων 1.10 ; ;
5. Σε αμμώδη εδαφικών σχηματισμό έγιναν επιτόπου δοκιμές που έδωσαν τα εξής αποτελέσματα : Υγρή πυκνότητα : $\rho = 1.7 \text{ Mg/m}^3$. Ποσοστό υγρασίας : $w = 15\%$. Επίσης σε δείγματα από τον σχηματισμό αυτόν έγιναν εργαστηριακές δοκιμές που έδωσαν τα εξής φυσικά χαρακτηριστικά :

Πυκνότητα στερεών κόκκων : $\rho_s = 2.65 \text{ Mg/m}^3$
Μέγιστος δείκτης πόρων (χαλαρότατη εναπόθεση) : $e_{\text{max}} = 1.20$
Ελάχιστος δείκτης πόρων (πυκνότατη εναπόθεση) : $e_{\text{max}} = 0.40$

Ζητείται να προσδιορισθεί η σχετική πυκνότητα του αμμώδους σχηματισμού.
6. Αμμοχάλικο μάζας 3500 gr είναι αρκετά λεπτό ώστε να μην συγκρατείται ούτε κόκκος του σε κόσκινο σπής 12.5 mm . Για το κοσκίνισμα του χρησιμοποιούμε 6 κόσκινα με ανοίγματα σπών : 5 mm , 2 mm , 1 mm , 0.5 mm , 0.2 mm και 0.1 mm . Η μάζα τού παρακρατουμένου υλικού σε κάθε κόσκινο είναι (από πάνω προς τα κάτω) :

217 gr, 868 gr, 1095 gr, 809 gr, 444 gr, και 39 gr, υπάρχει δε και ένα μικρό υπόλοιπο 28 gr (που περνά και απ' το τελευταίο κόσκινο).

2/2

Ζητείται :

- (α) να κατασκευασθεί η καμπύλη κοκκομετρικής διαβάθμισης, και
- (β) να εκτιμηθεί ο συντελεστής ομοιομορφίας του υλικού.

7. Για δύο εδαφικά υλικά Α και Β προσδιορίσθηκαν τα παρακάτω φυσικά χαρακτηριστικά :

		A	B
Όριο υδαρότητας	LL	35%	60%
Όριο πλαστικότητας	PL	22%	25%
Ποσοστό υγρασίας	w	25%	28%
Πυκνότητα στερεών κόκκων	ρ_s	2.70%	2.68 Mg/m ³
Βαθμός κορεσμού	S_r	100%	100%

Ζητούνται :

- (α) Οι τιμές των : ρ και e
- (β) Να συζητηθούν τα υπέρ και τα κατά των δύο υλικών ως προς την καταλληλότητά ως εδάφη θεμελιώσεως ;

9. Δοκίμιο εδαφικού υλικού έχει βαθμό κορεσμού $S_r = 100\%$, δείκτη πόρων $e = 0.90$, πυκνότητα στερεών κόκκων $\rho_s = 2.65 \text{ Mg/m}^3$, όριο υδαρότητας $LL = 50\%$ και δείκτη πλασιμότητας $PI = 30\%$. Να προσδιορισθούν :

- (α) Η φυσική υγρασία (w)
- (β) Η σχετική υδαρότητα (I_L)
- (γ) Το πορώδες (n)
- (δ) Η πυκνότητα (ρ) .

Εδαφομηχανική Ι, 5^{ου} Εξαμήνου

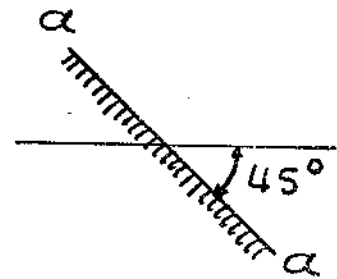
3^η Σειρά Ασκήσεων

1/2

1. Για την εντατική κατάσταση σημείου, δίδονται :

(α) Η ορθή τάση $\sigma = 350 \text{ kPa}$ και η διατμητική τάση $\tau = -100 \text{ kPa}$ σε επίπεδο $\alpha-\alpha$ με την κλίση του σχήματος.

(β) Η ορθή τάση $\sigma = 275 \text{ kPa}$ και η διατμητική τάση $\tau = +125 \text{ kPa}$ επίπεδο $\beta-\beta$ (άγνωστο)

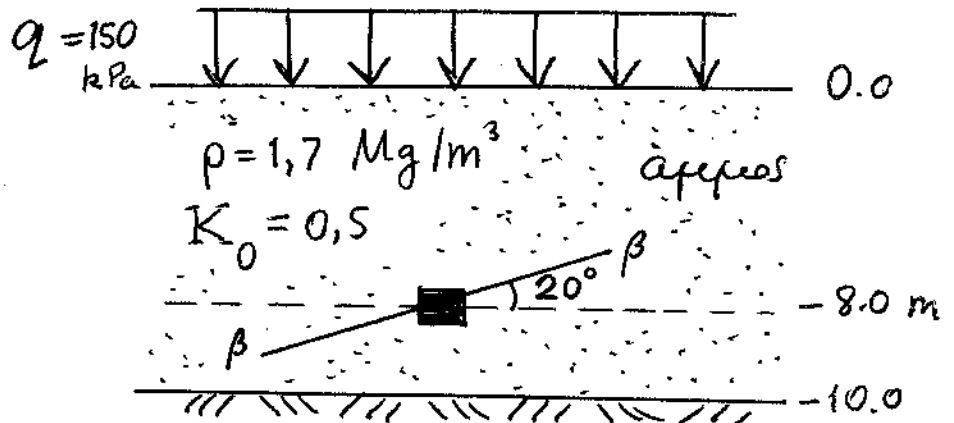


Ζητούνται :

(α) Η διεύθυνση του επιπέδου $\beta-\beta$

(β) Οι τιμές και οι διευθύνσεις των κυρίων τάσεων σ_1, σ_3

2. Για την εντατική κατάσταση του σχήματος να προσδιορισθούν η ορθή τάση σ και η διατμητική τάση τ που ενεργούν στο επίπεδο $\beta-\beta$ του εδαφικού στοιχείου A .

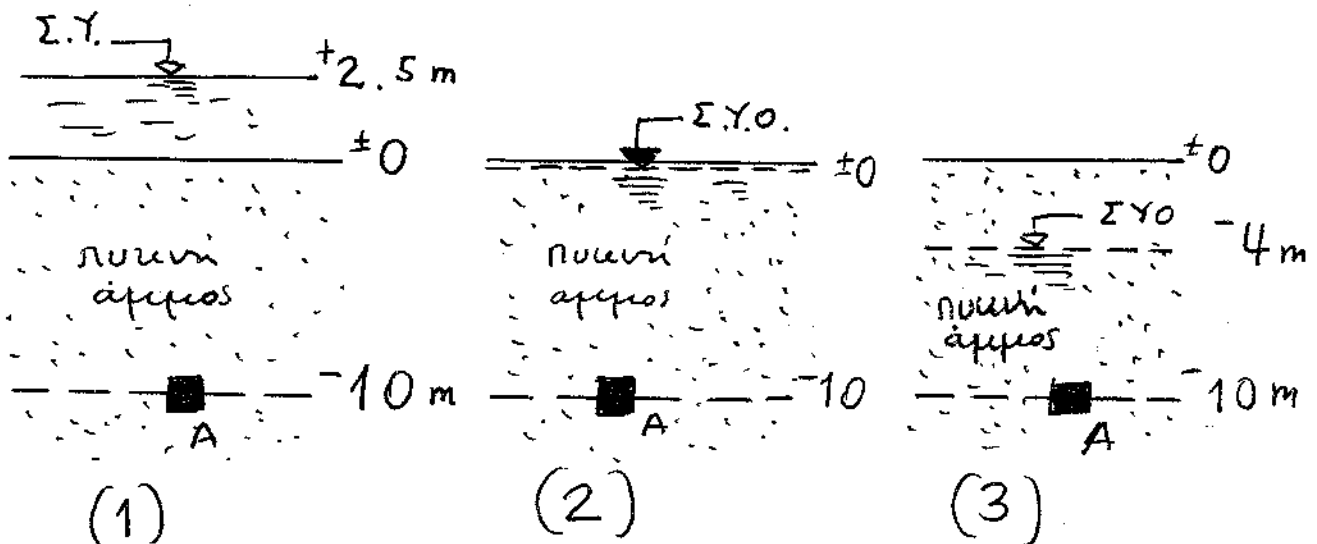


3. Η διακύμανση της στάθμης ύδατος (Σ.Υ.), (οφειλομένη σε παλιρροϊκό φαινόμενο), δείχνεται στην εδαφική τομή του σχήματος. Διακρίνονται τα στάδια (1), (2), (3).

(α) Να προσδιορισθούν οι λόγοι των κατακόρυφων ενεργών τάσεων $\sigma'_{v1} / \sigma'_{v2}$, $\sigma'_{v2} / \sigma'_{v3}$ στο σημείο A.

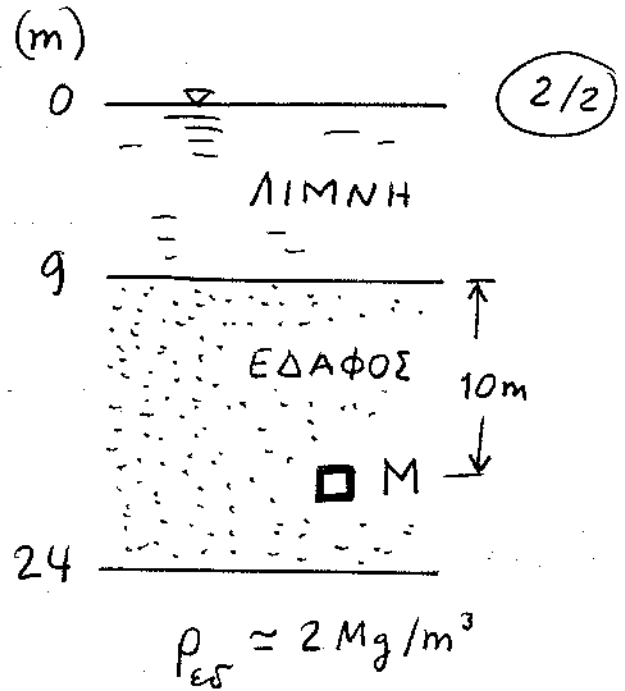
(β) Να συγκριθούν οι ολικές κατακόρυφες τάσεις που ασκούνται στο σημείο A στις περιπτώσεις (1) και (2).

(Να εκτιμηθούν οι τιμές των απαιτούμενων παραμέτρων που [επίτηδες] δεν δίδονται.)

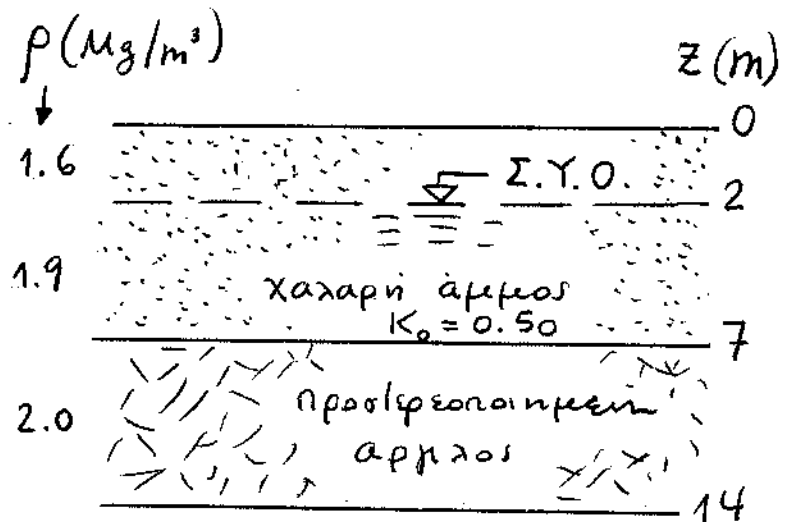


4. Για τη στρωματογραφία του Σχήματος ζητούνται :

- (α) Η ολική τάση στο σημείο M.
- (β) Ο συντελεστής K_0 αν, με κατάλληλη διάταξη, μετρήθηκε η ολική οριζόντια τάση $\sigma_h = 167.5 \text{ kPa}$
- (γ) Τα διαγράμματα κατανομής των τάσεων σ_v , u , σ'_v , σ_h .



5. Για την γεωστατική εντατική κατάσταση της εδαφικής τομής του σχήματος, ζητείται να συμπληρωθεί ο ακόλουθος πίνακας



Βάθος (m)	σ_v (kPa)	u (kPa)	σ'_v (kPa)	σ'_h (kPa)	σ_h (kPa)
0					
2					
7					
14					

Εδαφομηχανική Ι, 5^{ου} Εξαμήνου

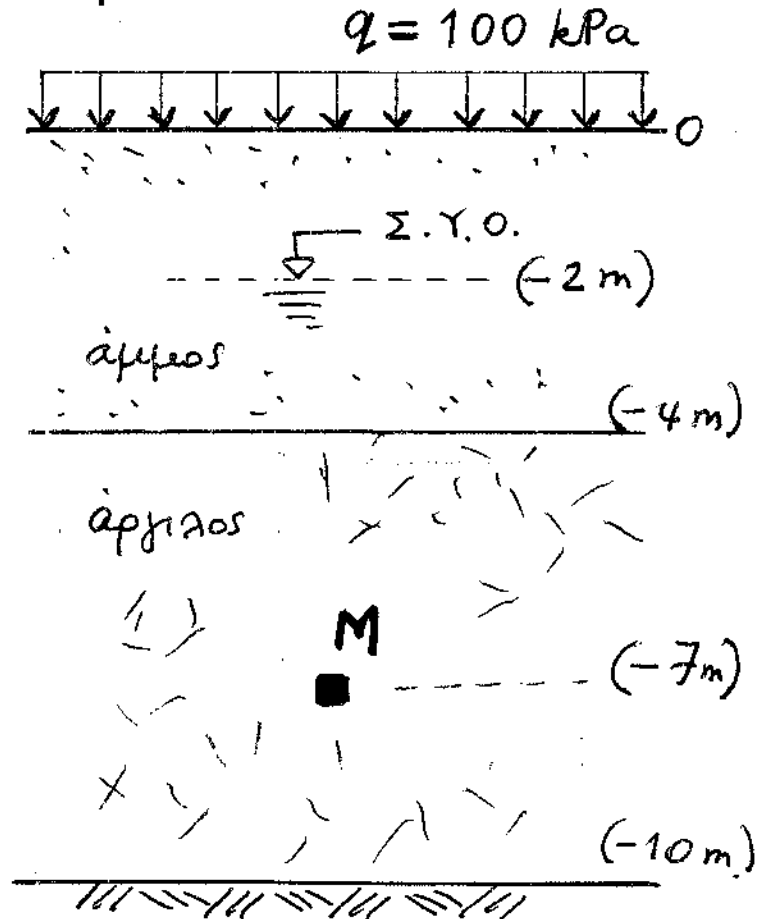
1/2

4^η Σειρά Ασκήσεων

1. Να προσδιορισθούν οι τάσεις σ_v , σ'_v και η πίεση πόρων u στο σημείο M:

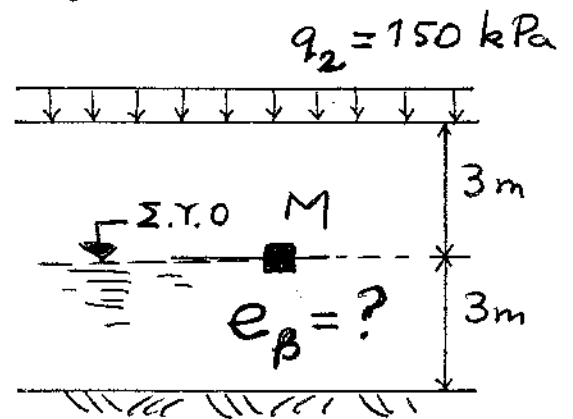
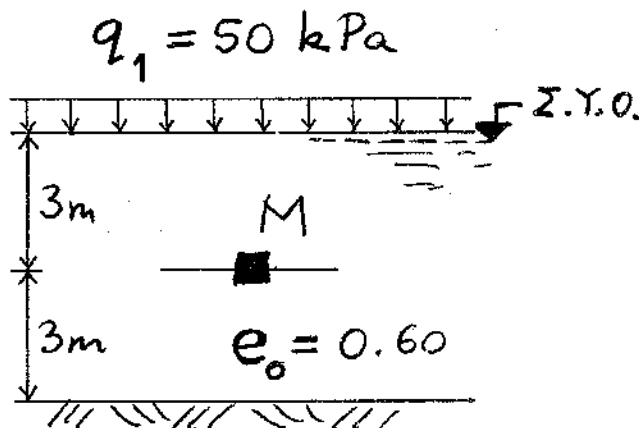
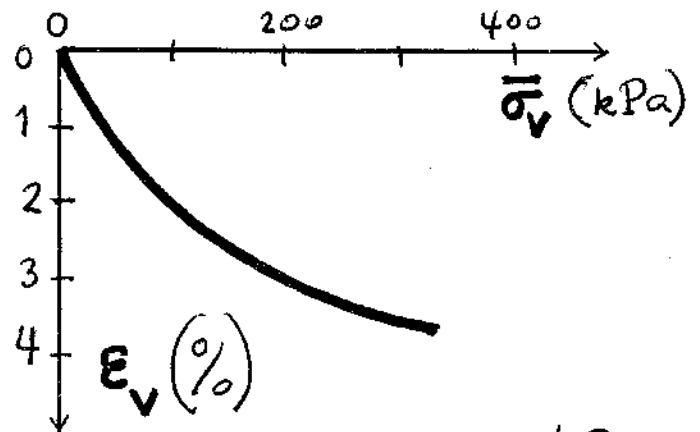
- (α) Προτού επιβληθεί το φορτίο q
- (β) Αμέσως μετά την επιβολή του φορτίου q
- (γ) Όταν έχει πια ολοκληρωθεί η στερεοποίηση του στρώματος της αργίλου λόγω του q

(Εδαφικές παράμετροι κατ' εκτίμησιν.)



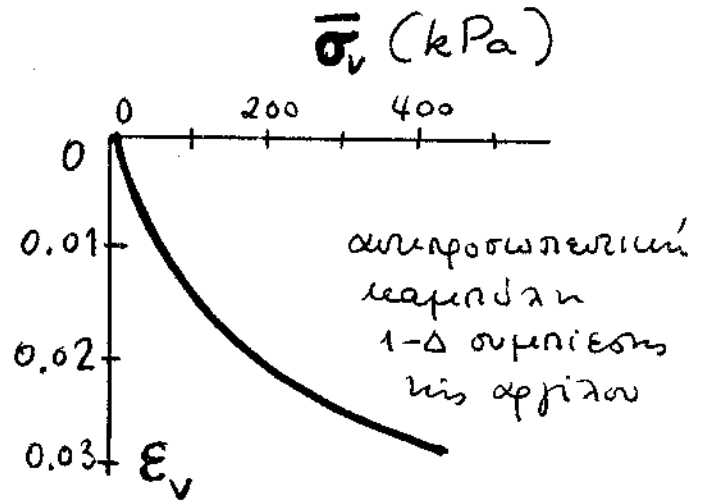
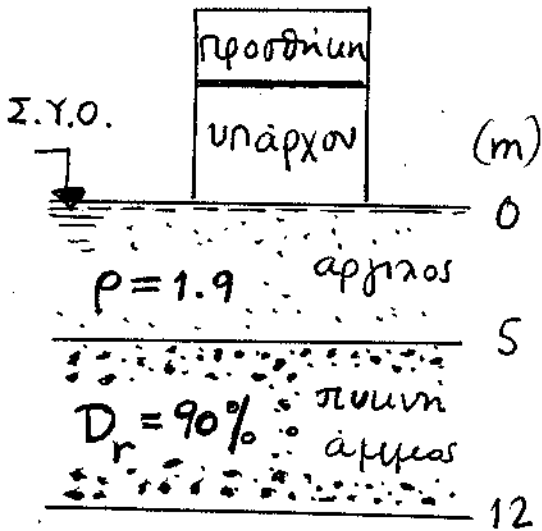
2. (i) Να εκτιμηθούν το μέτρο μονοδιάστατης συμπίεσης D_s στο μέσον M του στρώματος της αργίλου στις περιπτώσεις (α) και (β),

(ii) Να προσδιορισθεί ο δείκτης πόρων e στην περίπτωση (β).



2/2

3. Βιομηχανικό κτίριο συνολικού φορτίου $p_{\text{υπ.}} = 120 \text{ MN}$ είναι θεμελιωμένο σε στρώση μαλακής αργίλου πάχους 5 m. Δέκα χρόνια μετά την κατασκευή του κτιρίου γίνεται προσθήκη δύο ορόφων συνολικού φορτίου $\Delta P_{\text{προσθ.}} = 80 \text{ MN}$. Να εκτιμηθεί η καθίζηση του κτιρίου λόγω της προσθήκης (κάτοψη κτιρίου 40 m x 40 m).

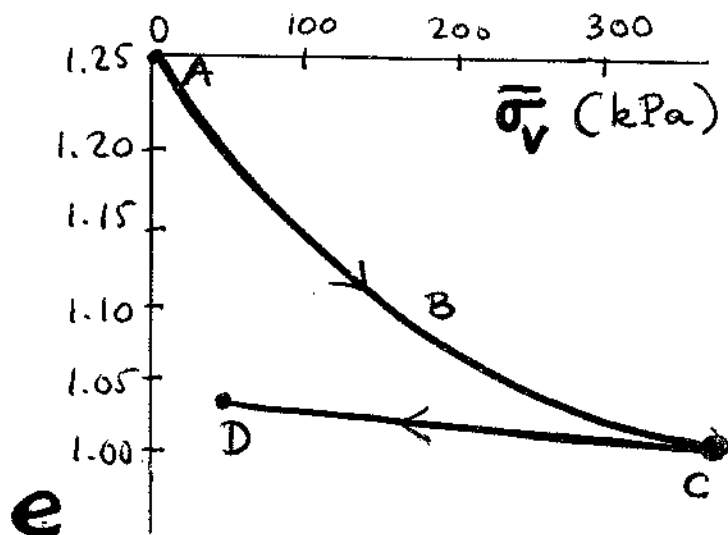
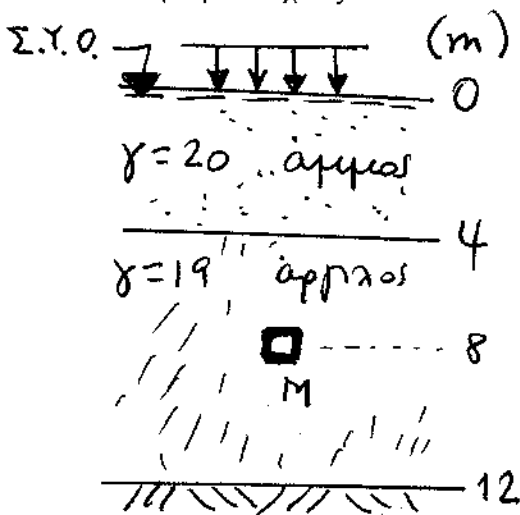


4. Για το αργιλικό στρώμα του σχήματος να προσδιορισθούν :

- (α) Η ολική καθίζηση που οφείλεται στο απεριόριστης έκτασης επίχωμα, φορτίου $q = 100 \text{ kN/m}^2$
- (β) Η διόγκωση που θα συμβεί στο αργιλικό στρώμα αν το επίχωμα απομακρυνθεί.

Δίδονται η καμπύλη φόρτισης και η καμπύλη άποφόρτισης από δοκιμή μονοδιάστατης συμπίεσης που έγινε σε αντιπροσωπευτικό δείγμα που πάρθηκε από το μέσον M του στρώματος της αργίλου.

Συνιστάται απλοποιητικά να μη γίνει διαίρεση σε ζώνες αλλά να θεωρηθεί ενιαίο στρώμα πάχους 8 m.



Εδαφομηχανική Ι, 5^{ου} Εξαμήνου

1/3

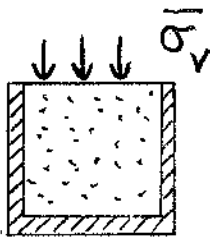
5^η Σειρά Ασκήσεων

1. Δοκίμιο άμμου υποβλήθηκε σε δοκιμή κυλινδρικής τριαξονικής συμπίεσης. Όταν η αξονική παραμόρφωση ήταν $\epsilon_1 = 5\%$ η πλευρική παραμόρφωση μετρήθηκε $\epsilon_2 = -2.8\%$. Κατά την αστοχία η αξονική παραμόρφωση ήταν $\epsilon_1 = 5.5\%$.

(α) Ποιά από τις παρακάτω τιμές σχετικής πυκνότητας αντιστοιχεί κατά την γνώμη σας στο δοκίμιο και γιατί ; $D_r = 25\%$ ή $D_r = 80\%$

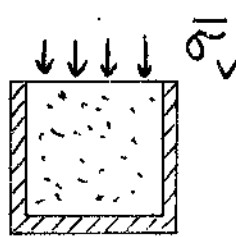
(β) Για την τιμή του D_r που θα επιλέξετε, ζητείται ο πραγματικός δείκτης πόρων e του υλικού (εργαστηριακά προσδιορίστηκαν $e_{max} = 0.70$ και $e_{min} = 0.40$).

2. Δοκίμιο αργίλου υποβάλλεται διαδοχικά στις ακόλουθες εντατικές καταστάσεις :



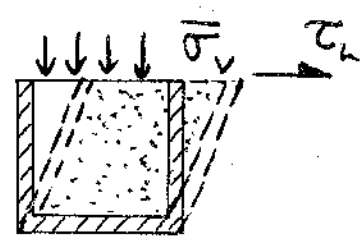
(α)

Μονοδιάστατη συμπίεση
 σ'_v (αρχική) = 0
 σ'_v (τελική) = 300 kPa



(β)

Μονοδιάστατη αποφόρτιση
 από $\sigma'_v = 300$ kPa
 έως $\sigma'_v = 50$ kPa



(γ)

Απλή διάτμηση υπό
 κατακόρυφη πίεση
 $\sigma'_v = 50$ kPa

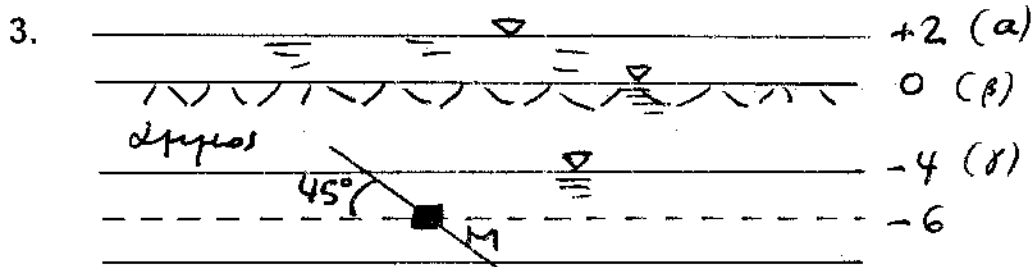
Ζητούνται (κατά ποιοτική προσέγγιση) :

(α) Τα διαγράμματα " $\sigma_v - \epsilon_v$ " και " $\tau - \gamma$ " των τριών δοκιμών

(β) Οι τελικοί κύκλοι Mohr των εντατικών καταστάσεων (α), (β), (γ)

(γ) Οι τασικές οδεύσεις σε διάγραμμα $p - q$

[υπενθύμιση $p = (\sigma_1 + \sigma_3) / 2$, $q = (\sigma_1 - \sigma_3) / 2$]



Να προσδιορισθεί η μέγιστη διαθέσιμη διατμητική αντίσταση (σε απευθείας διάτμηση) (i) σε οριζόντιο επίπεδο και (ii) σε επίπεδο υπό γωνία 45° δια του σημείου M, στις εξής περιπτώσεις :

(α) Η στάθμη του νερού βρίσκεται 2 μέτρα πάνω από την επιφάνεια του εδάφους.

(β) Η στάθμη του νερού βρίσκεται στην επιφάνεια του εδάφους.

(γ) Η στάθμη του νερού βρίσκεται 4 μέτρα κάτω από την επιφάνεια του εδάφους.

Η άμμος παραμένει κορεσμένη και μετά τον καταβιβασμό της στάθμης του νερού. Δίδονται τα αποτελέσματα δοκιμής απευθείας διάτμησης σε όμοιο εδαφικό δείγμα κατά την αστοχία : $\sigma'_v = 100$ kPa και $T_{h,a} = 58$ kPa

4. Δύο δοκίμια μιας αργίλου υποβάλλονται σε κυλινδρική τριαξονική συμπίεση και απλή διάτμηση με τα ακόλουθα στοιχεία :

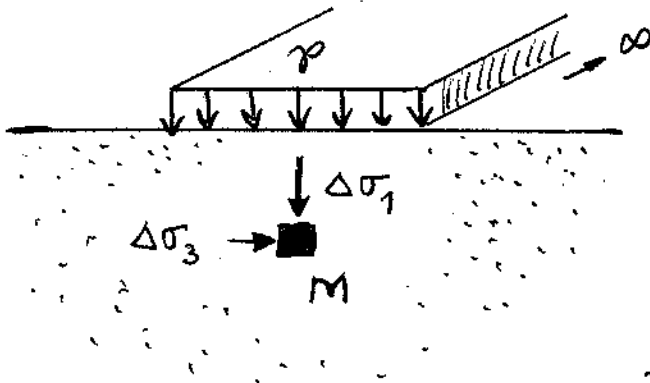
Τριαξονική δοκιμή	Απλή διάτμηση
$\sigma'_c = 150 \text{ kPa}$	$\sigma'_{\nu} = 200 \text{ kPa}$
$\Delta\sigma'_{\alpha} = 300 \text{ kPa}$	$\tau_{h,\alpha} = 100 \text{ kPa}$

όπου οι τάσεις $\Delta\sigma'_{\alpha}$ και $\tau_{h,\alpha}$ αναφέρονται στην κατάσταση αστοχίας

Ζητούνται :

- (α) Εάν η ίδια άργιλος υποβληθεί σε δοκιμή απευθείας διάτμησης με $\sigma'_{\nu} = 200 \text{ kPa}$ ποιά θα είναι η τάση T_{α} κατά την αστοχία ;
- (β) Αν η ίδια άργιλος υποβληθεί σε τριαξονική δοκιμή με $\sigma'_c = 0$, ποιά θα είναι η $\sigma'_{1\alpha}$ και η $T_{\max,\alpha}$ κατά την αστοχία ; (Να ληφθεί συντελεστής $K_o = 0.50$)

5. Το φορτίο με ένταση p προκαλεί στο σημείο M (βάθος 3 m) πρόσθετες κύριες τάσεις $\Delta\sigma'_1 = 160 \text{ kPa}$ και $\Delta\sigma'_3 = 40 \text{ kPa}$. Εάν το εδαφικό υλικό αστοχεί σύμφωνα με το κριτήριο Mohr-Coulomb, να εξετασθεί κατά πόσον το σημείο M έχει αστοχήσει ή όχι μετά την επιβολή του φορτίου, και να σχεδιασθεί ο αντίστοιχος κύκλος Mohr.



πλάτος θεμελίων
 $B = 2b = 4 \text{ m}$
 $z_M = 3 \text{ m}$

πυκνή άμμος
 $K_o = 0.50, \phi = 36^\circ$

6. Δύο δοκίμια αμμώδους εδαφικού υλικού υποβάλλονται σε δοκιμές απευθείας διάτμησης και απλής διάτμησης.

Δίδονται :

- (α) Οι τάσεις $\sigma'_{\nu} = 250 \text{ kPa}$ και $\tau_{h,\alpha} = 145 \text{ kPa}$ στην κατάσταση αστοχίας στην απευθείας διάτμηση.
- (β) Οι τάσεις $\sigma'_{\nu} = 350 \text{ kPa}$ και $\tau_{h,\alpha} = 100 \text{ kPa}$ στην κατάσταση αστοχίας στην απλή διάτμηση
- (γ) Οι τάσεις $\sigma'_{\nu} = 350 \text{ kPa}$ και $\tau_h = 50 \text{ kPa}$ σε μια ενδιάμεση φάση της δοκιμής στην απλή διάτμηση.

Ζητούνται :

- (α) Ο συντελεστής K_o για την άμμο
- (β) Η διεύθυνση του επιπέδου αστοχίας σε δοκιμή απλής διάτμησης
- (γ) Η τιμή της μέγιστης διατμητικής τάσης T_{\max} και η διεύθυνση του επιπέδου στο οποίο ασκείται, κατά την ενδιάμεση φάση της δοκιμής απλής διάτμησης.

7. Δύο κυλινδρικά δοκίμια κορεσμένης άμμου υποβάλλονται σε τριαξονική συμπίεση υπό αστράγγιστες συνθήκες.

(α) Κατά την θραύση του πρώτου δοκιμίου οι ολικές τάσεις είναι :

$\sigma_{1,\alpha} = 250 \text{ kPa}$, $\sigma_{3,\alpha} = 50 \text{ kPa}$. Παρατηρείται ότι το επίπεδο αστοχίας έχει κλίση 64° ως προς την οριζοντία. Να προσδιορισθεί η γωνία διατμητικής αντοχής ϕ και η πίεση του υγρού των πόρων u_A κατά την θραύση.

(β) Η άμμος του δευτέρου δοκιμίου είναι πιο χαλαρή, με $\phi = 30^\circ$. Αν οι ολικές τάσεις κατά την θραύση είναι $\sigma_{1,\beta} = 300 \text{ kPa}$ και $\sigma_{3,\beta} = 150 \text{ kPa}$ πόση είναι η πίεση πόρων (κατά την θραύση) ; Ποιά η κλίση του επιπέδου αστοχίας ως προς την οριζοντία ;

8. Δοκίμιο ξηρής άμμου υποβάλλεται σε απευθείας διάτμηση. Στο επίπεδο αστοχίας η ορθή και διατμητική τάση μετρήθηκαν : $\sigma_{\alpha,\alpha} = 200 \text{ kPa}$, $\tau_{\alpha,\alpha} = 160 \text{ kPa}$.

(α) Είναι η άμμος πυκνή ή χαλαρή ;

(β) Αν το δοκίμιο ήταν πλήρως κορεσμένο και η πίεση του υγρού των πόρων μεταβάλλονταν σύμφωνα με την σχέση $u = -0.2 \tau$, πόση θα ήταν η διατμητική τάση $\tau_{\alpha,\alpha}$ στο επίπεδο αστοχίας ; ; (Η ορθή τάση είναι $\sigma_{\alpha,\alpha} = 200 \text{ kPa}$ και διατηρείται σταθερή σ' όλη την διάρκεια της δοκιμής.)

9. Τα αποτελέσματα δοκιμής τριαξονικής συμπίεσης, υπό αστράγγιστες συνθήκες, σε δοκίμιο κορεσμένης αργίλου που στερεοποιήθηκε σε πλευρική πίεση $\sigma_c = \bar{\sigma}'_c = 300 \text{ kPa}$ δίδονται στον παρακάτω πίνακα

$\varepsilon_1 = \Delta l / l_0$	0	0.01	0.02	0.04	0.08	0.12	0.14
$\Delta\sigma_d = \sigma_1 - \sigma_3$ (kPa)	0	138	240	312	368	410	390
u (kPa)	0	54	79	89	91	86	80

Να σχεδιασθούν οι διαδρομές ενεργών και ολικών τάσεων κατά την διάρκεια της δοκιμής (σε διάγραμμα $p - q$) :

Τί συμπεραίνετε για το εδαφικό υλικό του δοκιμίου από την μορφή της διαδρομής ενεργών τάσεων (E.T.O.) ;

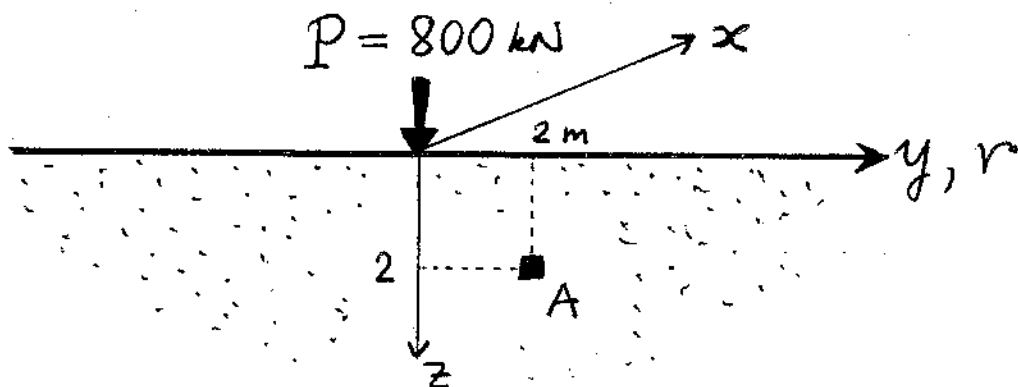
10. Δοκίμιο από το προηγούμενο εδαφικό υλικό, αφού στερεοποιηθεί υπό αρχική υδροστατική πίεση $\bar{\sigma}_{30} = \bar{\sigma}'_c = 300 \text{ kPa}$ υποβάλλεται στις εξής δύο εντατικές επιπονήσεις υπό αστράγγιστες συνθήκες :

Να σχεδιαστούν οι ολικοί και ενεργοί κύκλοι Mohr την στιγμή της αστοχίας. Επίσης να σχεδιαστούν οι ολικές και ενεργές τασικές οδεύσεις των δύο δοκιμών (σε διάγραμμα $p - q$).

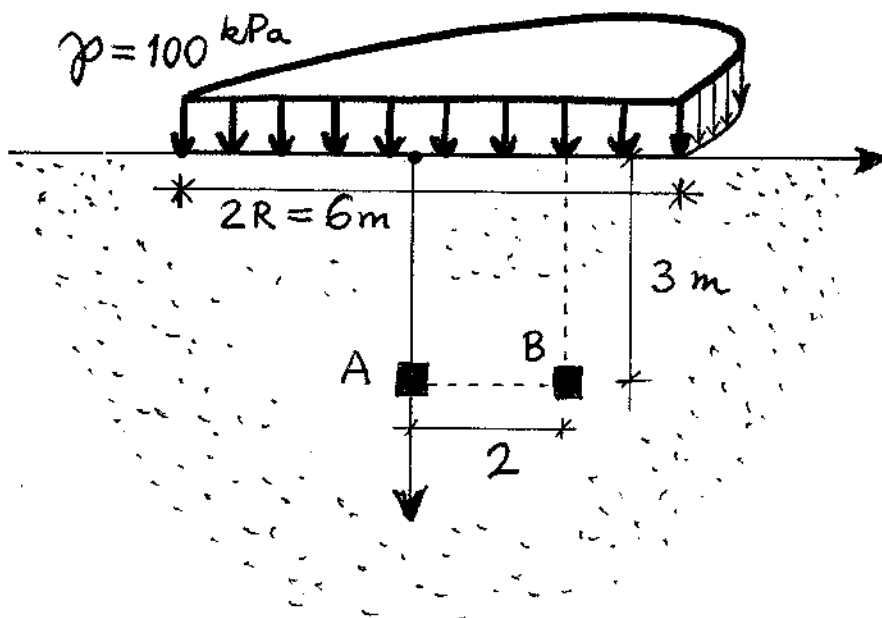
Εδαφομηχανική Ι, 5^{ου} Εξαμήνου
6^η Σειρά Ασκήσεων

1/2

1. Ελαστικός ομοιογενής ημίσφωρος με $E = 90 \text{ MPa}$ και $\nu = 0.30$, φορτίζεται με συγκεντρωμένο φορτίο $P = 800 \text{ kN}$. Ζητούνται για το σημείο A ($x_A = 0, y_A = z_A = 2\text{m}$):
 - (α) Οι τάσεις $\sigma_x, \sigma_y, \sigma_z$ και τ_{yz}
 - (β) Οι κύριες τάσεις $\sigma_1, \sigma_2, \sigma_3$, και οι διευθύνσεις τους.



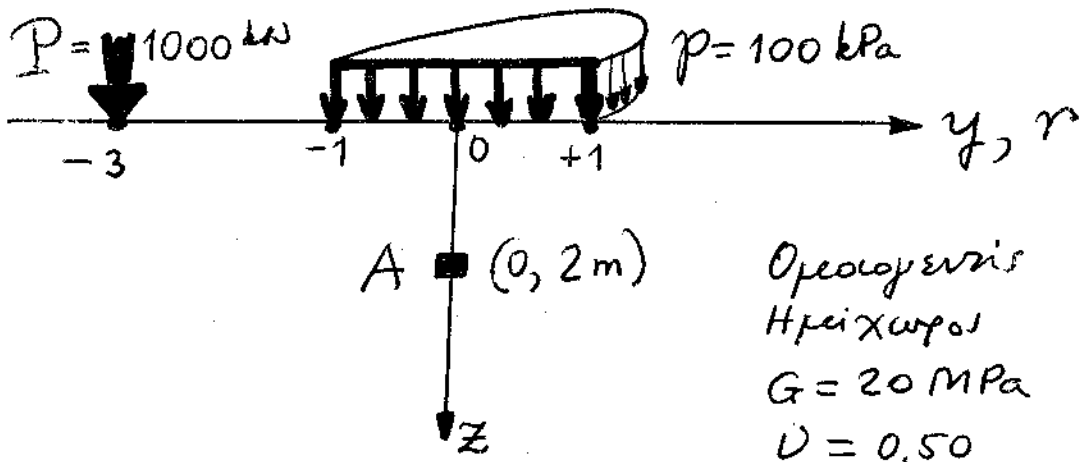
2. Κυκλική δεξαμενή διαμέτρου 6 m φορτίζει την επιφάνεια αργιλικής αποθέσεως με ομοιόμορφη τάση $p = 100 \text{ kPa}$. Ζητούνται :
 - (α) Οι κύριες τάσεις $\Delta\sigma_1, \Delta\sigma_3$ και οι διευθύνσεις τους στα σημεία A ($r_A = 0, z_A = 3\text{m}$) και B ($r_B = 2\text{m}, z_B = 6\text{m}$), οι οποίες οφείλονται στο πρόσθετο φορτίο p της δεξαμενής.
 - (β) Πως θα άλλαζαν οι τάσεις αυτές εάν μετά από βάθος 4 m το έδαφος ήταν 5 φορές σκληρότερο ή 5 φορές μαλακότερο από το επιφανειακό στρώμα ;



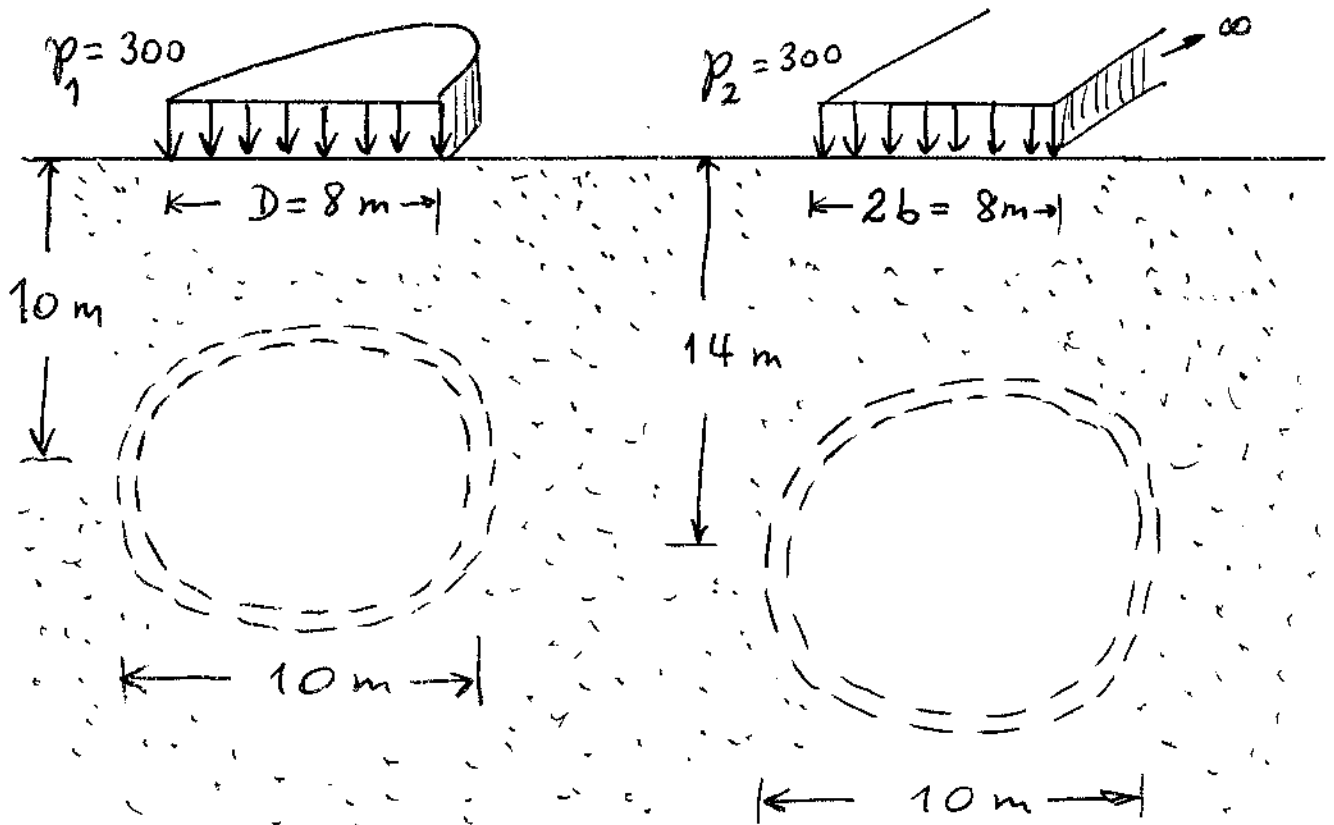
2/2

3. Του στοιχείου A ($x_A = 0, y_A = 0, z_A = 2m$) ζητούνται :

- (α) Οι κύριες τάσεις $\sigma_1, \sigma_2, \sigma_3$, και οι διευθύνσεις τους.
- (β) Η ανηγμένη διόγκωση ϵ_{vol}



4. Μελετούνται δύο εναλλακτικές θέσεις σήραγγας υπονόμου, η θέση A και η θέση B. Απαντήστε ποιοτικά ποιά από τις δύο θα προτιμούσατε και γιατί ;



Επαναληπτικό Διαγώνισμα ΕΔΑΦΟΜΗΧΑΝΙΚΗΣ

5ου ΕΞΑΜΗΝΟΥ

Γ. Γκατζιάς
1-IX-87

ΟΝΟΜΑ ΣΠΟΥΔΑΣΤΗ _____

ΙΣΟΔΥΝΑΜΑ ΘΕΜΑΤΑ. ΔΙΑΡΚΕΙΑ ____ ΔΕΝ ΔΙΝΟΝΤΑΙ
ΕΞΗΓΗΣΕΙΣ. ΑΠΑΓΟΡΕΥΟΝΤΑΙ ΒΙΒΛΙΑ ΚΑΙ ΣΗΜΕΙΩΣΕΙΣ.

1.(α) Πού οφείλεται η παραμορφωσιμότητα ενός κομμάτιου εδαφικού υλικού, και από ποιά χαρακτηριστικά του υλικού επηρεάζεται;

(β) Είναι αλήθεια ότι η ενεργός τάση είναι πάντοτε μικρότερη απ' την αντίστοιχη ολική τάση; και γιατί;

(γ) Πώς μεταβάλλεται η γωνία διατμητικής αντοχής ενός κομμάτιου εδαφικού υλικού συναρτήσει της σχετικής του κοινότητας (διάγραμμα κατά ποσοτική προσέγγιση). Πώς εξηγείται η μορφή του διαγράμματος αυτού (συνοπτικά);

2.(α) Αληθεύει ότι η διατμητική αντοχή ενός αρχικού δομείου είναι ανεξάρτητη από το ποσοστό υγρασίας του; (να αιτιολογηθεί συνοπτικά).

(β) Εδαφική απόθεση πάχους 10m αποθηκεύεται από άμμο της οποίας η κοινότητα είναι: i) ίση με 1.9 Mg/m^3 (1900 kg/m^3) όταν είναι πλήρως κορεσμένη, και ii) ίση με 1.5 Mg/m^3 όταν είναι τελείως στεγνή. Αρχικώς, η απόθεση βρίσκεται σε βάθος 2m υπό την επιφάνεια χιμους. Η λίμνη αποξηραίνεται και η στάθμη της υδατικής επιφάνειας κατέρχεται στα 3m απ' την επιφάνεια του εδάφους. Πόσο έχει μεταβληθεί η ενεργός κατακόρυφη τάση $\bar{\sigma}_v$ ενός στοιχείου που βρίσκεται σε βάθος 10m απ' την επιφάνεια;

3. Εντατική κατάσταση σημείου: Γνωστές οι τάσεις $\sigma_h = 150 \text{ kPa}$ και $\tau_{vh} = -100 \text{ kPa}$ σε κατακόρυφο επίπεδο, καθώς και οι τάσεις $\sigma_p = 500 \text{ kPa}$ και $\tau_p = 200 \text{ kPa}$ σε επίπεδο με άγνωστη κλίση β° ως προς την οριζοντία. Ζητούνται

(α) οι τιμές των κυρίων τάσεων

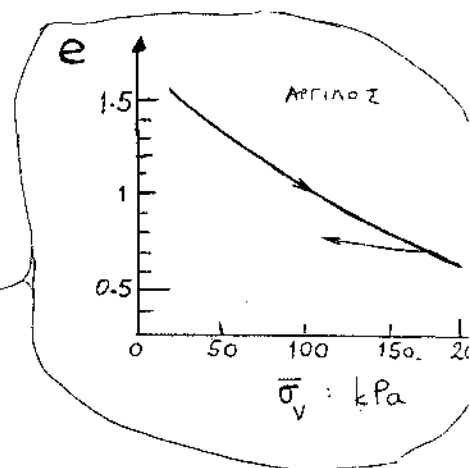
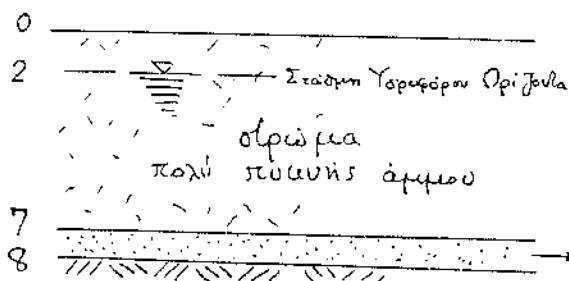
(β) η κλίση β

(γ) η κατεύθυνση του επιπέδου στο οποίο ο λόγος τ/σ γίνεται μέγιστος

[Σχεδιαστική "ακρίβεια" είναι επαρκής]

4. Με την σφραμογραφία και τα λοιπά δεδομένα του σχήματος ζητούνται: (α) οι ενεργές και ολικές τάσεις $\bar{\sigma}_v, \bar{\sigma}_h, \sigma_v$, και σ_h σε βάθος 7.50m. (β) Η μεταβολή Δe στον δείκτη πόρων της αργίλου εάν στην επιφάνεια επιβληθεί ομοιόμορφη κι απερίοριστη έμτασης φορτία $q = 50 \text{ kPa}$.

ΓΙΑ ΤΙΣ ΕΔΑΦΙΚΕΣ ΠΑΡΑΜΕΤΡΟΥΣ ΠΟΥ ΕΠΙΤΗΔΕΣ ΔΕΝ ΔΙΝΟΝΤΑΙ ΟΠΟΙΑΔΗΠΟΤΕ ΕΥΛΟΓΗ ΠΑΡΑΔΟΧΗ ΕΠΑΡΚΕΙ.



5. Δύο αργιλιώδη δομίσια υποβάλλονται σε δομική κυλινδρικής τριαξονικής συμπίεσης με την ίδια πλευρική τάση σφραμοποίησης $\sigma_c = \bar{\sigma}_c = 50 \text{ kPa}$. Υστερα, το ένα ^{μίν} υποβάλλεται σε συμπίεση υπό σφραμφομόρφες συνθήκες και κατά την αστοχία του μετρούνται παραμορφώσεις $\epsilon_{1a} = 18\%$ $\epsilon_{3a} = -7\%$. Το άλλο δε υποβάλλεται σε συμπίεση υπό ασφραμφομορφες συνθήκες.

Εάν αρχικώς τα δύο δομίσια ήσαν κανονισότυπα, ζητούνται:

(α) Να χαραχτηρισθεί η άρχιας από αποψη ιστορίας φορτίσεων [απροφορτιστη, ελαφρά ή εθλονα προφορτισμένη]. Με συνοπτική αιτιολογία

(β) Ποιά απ' τις εξής δύο τιμές πίεσης πόρων κατά την στιγμή της αστοχίας του δείγγους δομίσου είναι η μετρηθείσα και γιατί:

$$u_{\text{αστοχίας}} = 30 \text{ kPa} \quad \text{ή} \quad u_{\text{αστοχίας}} = -50 \text{ kPa} ;$$

(γ) Εάν η γωνία διατμητικής αστοχίας της αργίλου είναι $\phi = 20^\circ$ να σχεδιαστούν ο ενεργός και ολικός κύμαλος Mohr της στιγμή της αστοχίας του δείγγους δομίσου.

6. Δύο αρχικά δομικά υποβάλλονται σε δομική κυλιδρική τριαξονική συμπίεση με την ίδια πλευρική τάση σφραγιζομένου $\sigma_2 = \sigma_3 = 50 \text{ kPa}$. Υόστερ, τὸ ένα^{ον} υποβάλλεται σε συμπίεση υπό σφραγιζόμενες συνθήκες καὶ κατὰ τὴν ἀσλοχία του μετρούνται παραμορφώσεις $\epsilon_{1a} = 17\%$ $\epsilon_{3a} = -8\%$. Τὸ ἄλλο δε υποβάλλεται σε συμπίεση υπό ασφραγιζομένες συνθήκες.

Εάν αρχικῶς τὰ δύο δομικά ἦσαν πανομοιότυπα, ζητούνται:

(α) Νὰ χαρακτηριθεῖ ἡ ἀρχὴ ἀπὸ ἀποψη ἱστορίας φορτίσεων [ἀπροφόρτιση, ελαφρὰ ἢ ἐπιβλὴ προφορτισμένη]. Με συνοπτικὴ αἰτιολογίαν

(β) Ποιὰ ἀπ' τὴς ἐξῆς δύο τιμὲς πίεσεως πόρων κατὰ τὴν ολιγμῆ τὴς ἀσλοχίας τοῦ δευτέρου δομικοῦ εἶναι ἡ μετρηθεῖσα καὶ γιατί:

$$u_{\text{ἀσλοχίας}} = 30 \text{ kPa} \quad \text{ἢ} \quad u_{\text{ἀσλοχίας}} = -50 \text{ kPa} ;$$

(γ) Εάν ἡ γωνία διατμητικῆς ἀντοχῆς τῆς ἀρχῆς εἶναι $\phi = 20^\circ$ νὰ σχεδιαστοῦν ὁ ενεργὸς καὶ ολιγμὸς κύκλος Mohr τῆς ολιγμῆ τῆς ἀσλοχίας τοῦ δευτέρου δομικοῦ.

7.

(α) Πὺ οφείλεται ἡ παραμορφωσιμότητα ἐνὸς κοκκώδους ἐδαφικοῦ υλικοῦ, καὶ ἀπὸ ποιὰ χαρακτηριστικὰ τοῦ υλικοῦ ἐπηρρεάζεται;

(β) Εἶναι ἀλήθεια ὅτι ἡ ενεργὸς τάση εἶναι πάντοτε μικρότερη ἀπ' τὴν ἀντίστοιχη ολιγμῆ τάση; καὶ γιατί;

(γ) Πὺς μεταβάλλεται ἡ γωνία διατμητικῆς ἀντοχῆς ἐνὸς κοκκώδους ἐδαφικοῦ υλικοῦ συναρτήσει τῆς σχετικῆς τοῦ πυκνότητας (διάγραμμα κατὰ ποσικὴ ἢ προσέγγιση). Πὺς ἐξηγεῖται ἡ μορφή τοῦ διαγράμματος αὐτοῦ (συνοπτικὰ).

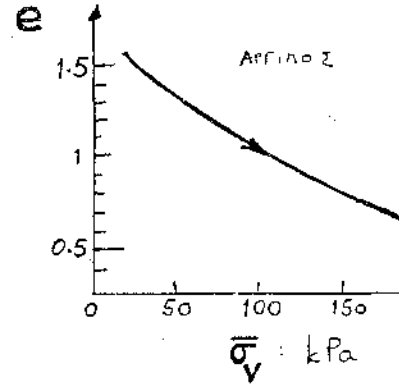
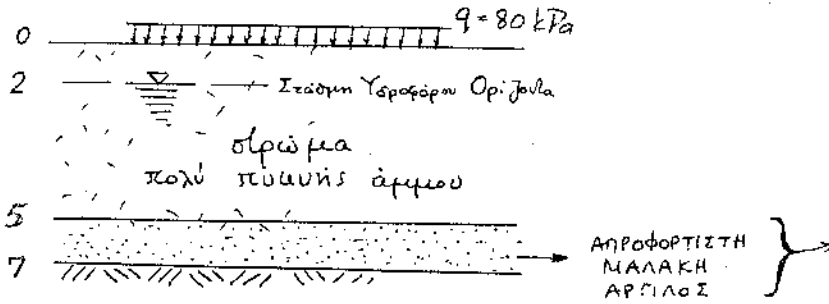
8.

(α) Ἀληθεύει ὅτι ἡ διατμητικὴ ἀντοχὴ ἐνὸς ἀρχικοῦ δομικοῦ εἶναι ἀνεξάρτητη ἀπὸ τὸ ποσοστὸ υγρασίας του; (Νὰ αἰτιολογηθεῖ συνοπτικὰ).

(β) Ἐδαφικὴ ἀπόθεση πάχους 10m ἀποτελεῖται ἀπὸ ἄμμο τὴς ὁποίας ἡ πυκνότητα εἶναι: i) ἰση μὲ 1.9 Mg/m^3 (1900 kg/m^3) ὅταν εἶναι πλήρως κορεσμένη, καὶ ii) ἰση μὲ 1.4 Mg/m^3 ὅταν εἶναι γεκείως ολιγμῆ. Αρχικῶς, ἡ ἀπόθεση βρίσκεται σὲ βάθος 2m ἀπὸ τὴν ἐπιφάνεια λίμνης. Ἡ λίμνη ἀσφραγίζεται καὶ ἡ στάθμη τῆς υδατικῆς ἐπιφάνειας κατέρχεται σὲ 4m ἀπὸ τὴν ἐπιφάνεια τοῦ ἐδαφους. Πὺσο ἐκεῖ μεταβληθεῖ ἡ ενεργὸς κατακόρυφη τάση $\bar{\sigma}_v$ ἐνὸς στοιχείου τοῦ βρίσκεται σὲ βάθος 10m ἀπὸ τὴν ἐπιφάνεια;

9. Με την σφωματογραφία και τα λοιπά δεδομένα του σχήματος ζητούνται: (α) οι ενεργές και ολικές τάσεις $\bar{\sigma}_V, \bar{\sigma}_H, \sigma'_V$, και σ'_H σε βάθος 6.00 m. (β) Η καθίζηση της ελεύθερης επιφάνειας της αργίλου εάν στην επιφάνεια επιβληθεί ομοιόμορφη και απερίωριστη έμμεση φόρτιση $q = 80 \text{ kPa}$.

ΓΙΑ ΤΙΣ ΕΔΑΦΙΚΕΣ ΠΑΡΑΜΕΤΡΟΥΣ ΠΟΥ ΕΠΙΤΗΔΕΣ ΔΕΝ ΔΙΝΟΝΤΑΙ ΟΠΟΙΑΔΗΠΟ ΕΥΛΟΓΗ ΠΑΡΑΔΟΧΗ ΕΠΑΡΚΕΙ.



10. Εντατική κατάσταση σημείου: Γνωστές οι τάσεις $\sigma'_V = 150 \text{ kPa}$ και $\tau_V = 100 \text{ kPa}$ σε οριζόντιο επίπεδο, καθώς και οι τάσεις $\sigma'_H = 500 \text{ kPa}$ και $\tau_H = 20 \text{ kPa}$ σε κάθετο μέτωπο με άγνωστη κλίση β° ως προς την οριζοντία. Ζητούν:

- (α) η τ_{\max}
- (β) η κλίση β
- (γ) η κατεύθυνση του επιπέδου στο οποίο ο λόγος τ/σ γίνεται μέγιστος

[Σχεδιαστική "ακρίβεια" είναι επαρκής]

Φεβρουάριος 2004

ΔΙΑΓΩΝΙΣΜΑ ΕΔΑΦΟΜΗΧΑΝΙΚΗΣ Ι

Όνομα Σπουδαστή: _____

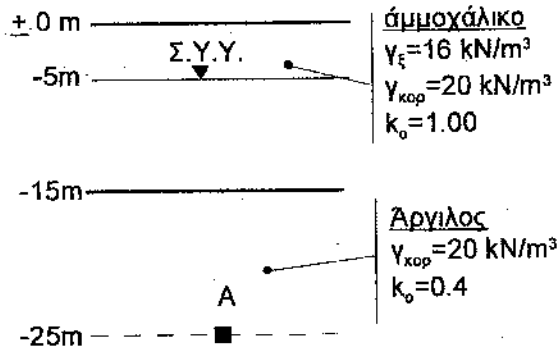
Διάρκεια 120'

Κλειστά βιβλία και σημειώσεις. Δεν θα γίνουν δεκτές απαντήσεις χωρίς την αναγκαία αιτιολόγηση. Να χρησιμοποιήσετε σχεδιαστικά όργανα (χάρακα, διαβήτη, κλπ) για τις γραφικές λύσεις.

1. Γεωστατικές τάσεις και κύκλος Mohr [5%+5%]

(α) Ζητείται η μεταβολή των ενεργών γεωστατικών τάσεων με το βάθος (ΣΥΥ = Στάθμη Υπόγειου Υδάτος).

(β) Στο σημείο Α να σχεδιασθεί ο κύκλος Mohr των ενεργών τάσεων. Ακολούθως, να υπολογισθούν αναλυτικά οι τιμές των παρακάτω τάσεων και να προσδιορισθούν γραφικά τα επίπεδα εφαρμογής τους: Μέγιστη ορθή σ_{\max} , μέγιστη διατμητική τ_{\max} , μέγιστος λόγος διατμητικής προς ορθή τάση $(\tau/\sigma)_{\max}$.



2. Δοκιμή μονοδιάστατης (1-Δ) συμπίεσης και υπολογισμός καθιζήσεων [10%+10%+10%]

Η κατασκευή κυλινδρικού σιλό αποθήκευσης τοιμέντου με γενική κοιτόστρωση διαμέτρου $D=30\text{m}$ και μέσης τάσης έδρασης $q=160\text{kPa}$ γίνεται σε τρεις φάσεις προκειμένου να αυξηθεί η φέρουσα ικανότητα του θεμελίου και να μειωθούν οι καθιζήσεις του:

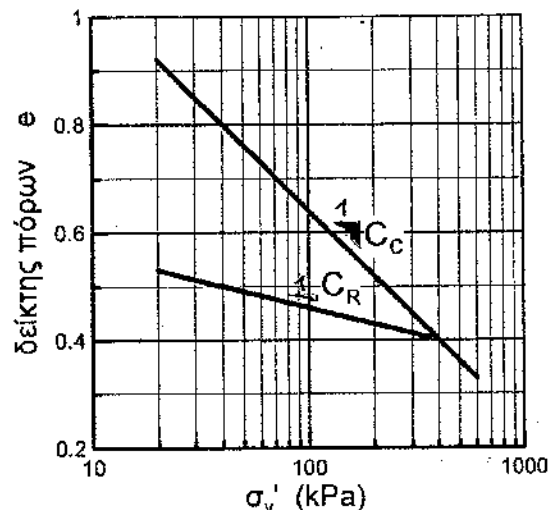
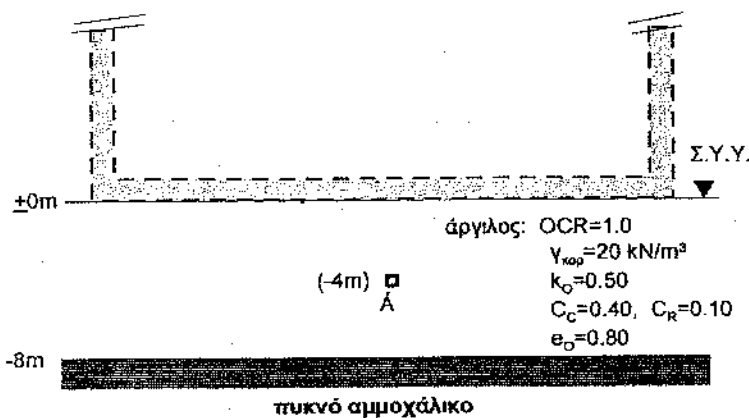
Α' ΦΑΣΗ: Προφόρτιση με εκτενές επιχώμα ύψους 4m και φαινόμενου ειδικού βάρους $\gamma_{\text{επιχ.}}=20\text{kN/m}^3$

Β' ΦΑΣΗ: Αφαίρεση του επιχώματος προφόρτισης

Γ' ΦΑΣΗ: Κατασκευή της θεμελίωσης και της ανώδομης

Θεωρώντας συνθήκες 1-Δ συμπίεσης της κανονικά στερεοποιημένης αργίλου ($\text{OCR}=1$), να υπολογισθούν για το τέλος της κάθε μιας φάσης (Σ.Υ.Υ = Στάθμη Υπόγειου Υδάτος):

- Ο δείκτης πόρων στο μέσον του στρώματος της αργίλου (σημείο Α)
- Η στάθμη της φορτιζόμενης επιφάνειας του εδάφους (απλουστευτικά, θεωρείστε μία μόνο στρώση αργίλου)
- Η οριζόντια ενεργός τάση στο μέσον του στρώματος της αργίλου (σημείο Α)



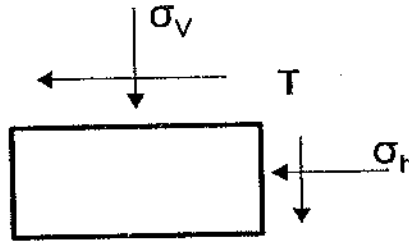
Σημείωση: Οι εδαφικές παράμετροι αναφέρονται στο «αντιπροσωπευτικό» σημείο Α, πλην του $\gamma_{\text{κορ}}$ που αφορά όλο το στρώμα της αργίλου.

3. Διατμητική αντοχή [15%+15%]

Σε δοκιμή απλής διάτμησης, επί δοκιμίου ξηρής άμμου με γωνία τριβής $\phi=36^\circ$, η κατακόρυφη ενεργός τάση και η οριζόντια διατμητική τάση κατά την αστοχία είναι $\sigma_{vo}=200 \text{ kPa}$ και $\tau_{h,c}=50 \text{ kPa}$ αντίστοιχα.

(α) Να υπολογισθούν οι αρχικές ορθές τάσεις σ_{vo} και σ_{ho} υπό την προϋπόθεση ότι $\sigma_{vo} > \sigma_{ho}$. (κατά την γνώμη μας η αναλυτική λύση είναι πιο απλή, μπορείτε όμως να χρησιμοποιήσετε και γραφική λύση).

(β) Να σχεδιασθεί ο αρχικός και ο τελικός (κατά την αστοχία) κύκλος του Mohr. Να προσδιορισθούν τα επίπεδα αστοχίας (είναι δύο και όχι ένα) και να υπολογισθούν οι τάσεις (σ_a και τ_a) που ασκούνται σε αυτά.



4. Εργαστήριο [10%]

Να περιγράψετε με σαφήνεια την εργαστηριακή μέτρηση του φαινομένου ειδικού βάρους (γ) και του ορίου πλασιμότητας (PL ή w_p) αργιλικού δοκιμίου εδάφους.

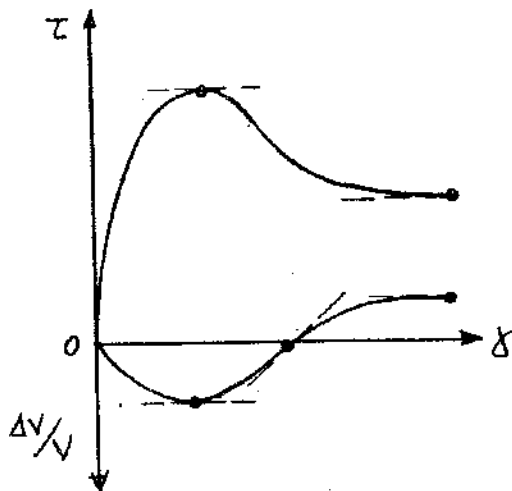
5. Σωστό ή λάθος; (Η αιτιολόγηση είναι ΑΠΑΡΑΙΤΗΤΗ) [4x5%=20%]

(α) «Διαστολικότητα» ονομάζεται η τάση των εδαφικών στοιχείων να διαστέλλονται πλευρικά όταν υπόκεινται σε κατακόρυφη παραμόρφωση (π.χ. δοκιμή τριαξονικής φόρτισης)

(β) Η γωνία τριβής μιας πυκνής άμμου είναι μεγαλύτερη από την από την γωνία τριβής της ίδιας δομής σε μικρή σχετική πυκνότητα.

(γ) Το Μέτρο Ελαστικότητας ενός εδαφικού υλικού είναι μεγαλύτερο από το Μέτρο Μονοδιάστατης (1-Δ) Συμπίεσης

(δ) Οι εικονιζόμενες σχέσεις τάσεων παραμορφώσεων ελήφθησαν από δοκιμή απλής διάτμησης σε δοκίμιο προφορτισμένης αργίλου.



...the ... of ...

...the ... of ...

...the ... of ...

...the ... of ...

...the ... of ...

...the ... of ...

...the ... of ...

...the ... of ...

...the ... of ...

5.

ΕΦΑΡΜΟΓΕΣ ΤΗΣ ΘΕΩΡΙΑΣ ΟΡΙΑΚΗΣ ΙΣΟΡΡΟΠΙΑΣ (ΕΔΑΦΙΚΩΝ ΜΑΖΩΝ ΚΑΙ ΓΕΩΤΕΧΝΙΚΩΝ ΚΑΤΑΣΚΕΥΩΝ)

5.1 ΟΡΙΖΟΝΤΙΕΣ ΕΔΑΦΙΚΕΣ ΔΡΑΣΕΙΣ ΚΑΙ ΤΟΙΧΟΙ ΑΝΤΙΣΤΗΡΙΞΕΩΣ

5.1 ΟΡΙΖΟΝΤΙΕΣ ΕΔΑΦΙΚΕΣ ΔΡΑΣΕΙΣ ΚΑΙ ΤΟΙΧΟΙ ΑΝΤΙΣΤΗΡΙΞΕΩΣ

5.1.1. ΕΙΣΑΓΩΓΗ

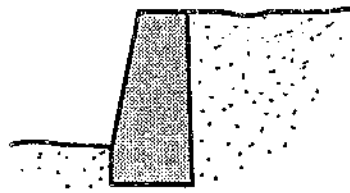
Στις πρώτες διαλέξεις είχαμε δει μερικά χαρακτηριστικά παραδείγματα κατασκευών αντιστηρίξεως γαιών. Σ' ετούτο το κεφάλαιο εξετάζουμε τις μεθόδους που χρησιμοποιούνται για τον υπολογισμό των εδαφικών δράσεων και την μελέτη της ευστάθειας των κατασκευών αυτών.

Πολύ συχνά η μελέτη κατασκευών αντιστηρίξεως γαιών αρκείται να εξασφαλίσει ότι δεν θα συμβεί ολοκληρωτική αστοχία (ολίσθηση ή ανατροπή) της κατασκευής. Είναι ανεκτές ακόμη και σχετικά μεγάλες μετατοπίσεις, αρκεί να εξασφαλισθεί ότι δεν θα συμβούν απότομες καταστροφικές μετατοπίσεις. Έτσι η φιλοσοφία της μελέτης των κατασκευών αντιστηρίξεως στηρίζεται στην ανάλυση των συνθηκών που θα υπήρχαν σε κατάσταση αστοχίας και στην ταυτόχρονη πρόβλεψη κατάλληλου "συντελεστή ασφαλείας" για να προληφθεί η αστοχία αυτή. Η μέθοδος αυτή είναι γνωστή ως *μηχανική της οριακής (ή πλαστικής) ισορροπίας* και βασίζεται συνήθως στην απλοποιητική (αλλά ρεαλιστική) παραδοχή ιδεωδώς πλαστικής μηχανικής συμπεριφοράς του εδαφικού στοιχείου.

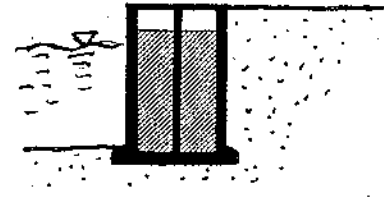
Υπάρχουν, φυσικά, και περιπτώσεις όπου χρειάζεται να δοθεί μεγαλύτερη προσοχή στις μετατοπίσεις της κατασκευής αντιστηρίξεως και όπου η θεώρηση μόνον της ευστάθειας της δεν αρκεί. Επίσης, υπάρχουν τύποι αντιστηρίξεων που από την φύση τους δεν αφήνουν περιθώριο μετακινήσεων (π.χ. αντηριδωτοί τοίχοι). Θα αναφερθούμε, με συντομία μόνο, σε τέτοιες περιπτώσεις στο τέλος του κεφαλαίου (βλ. και σχετικό Παράρτημα).

Το **Σχήμα 1** δίνει μιάν ιδέα μόνον της μεγάλης ποικιλίας τύπων αντιστηρίξεως που εφαρμόζονται στην πράξη. Η επιλογή του συγκεκριμένου τύπου είναι συνάρτηση της γεωμετρίας των εδαφικών υλικών και των "λειτουργικών" απαιτήσεων του έργου (π.χ. απαίτηση "μηδενικής" οριζόντιας μετατόπισης και βύθισης της αντιστηριζόμενης εδαφικής επιφάνειας, εάν σ' αυτήν εδράζονται άλλες κατασκευές). Στο **Σχήμα 1** η δυνατότητα οριζόντιας μετατόπισης του τοίχου προς τα έξω μειώνεται από την άνω σειρά (τοίχοι ελεύθεροι να μετακινηθούν) προς την κάτω σειρά (τοίχοι πρακτικώς αμετακίνητοι, εκτός απ' τα [ενγένει αμελητέα] ελαστικά βέλη κάμψεως). Το ενδιαφέρον του παρόντος Κεφαλαίου επικεντρώνεται στους τοίχους

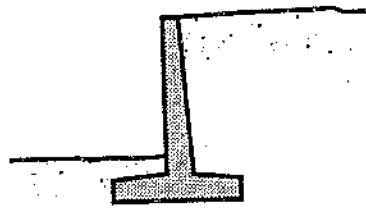
της πρώτης κατηγορίας, η δε έμφαση δίδεται στον υπολογισμό των εδαφικών δράσεων ("ωθήσεων") επί του τοίχου.



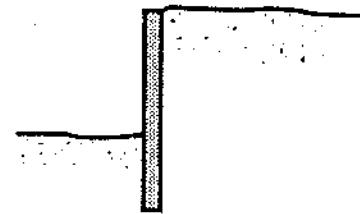
τοίχος βαρύτητας



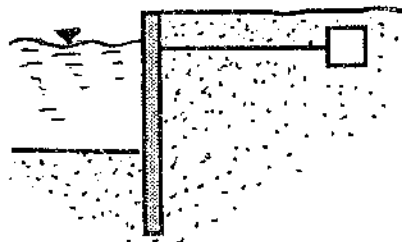
λιμενικός
κρηπιδότοιχος



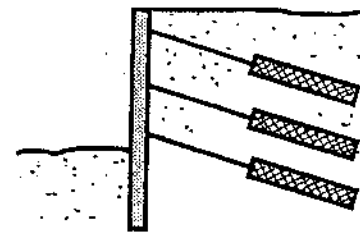
τοίχος πρόβολου
(ωπλισμένου σκυροδέματος)



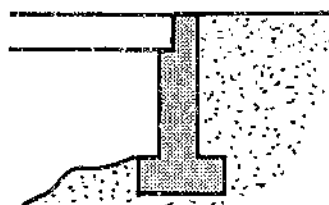
εγκιβωτισμένος
προβολότοιχος



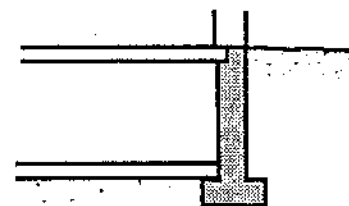
πασσαλοσανίδες ή πασσαλότοιχοι ή διαφράγματα
με απλή
αγκύρωση



με προεντεταμένα
αγκύρια

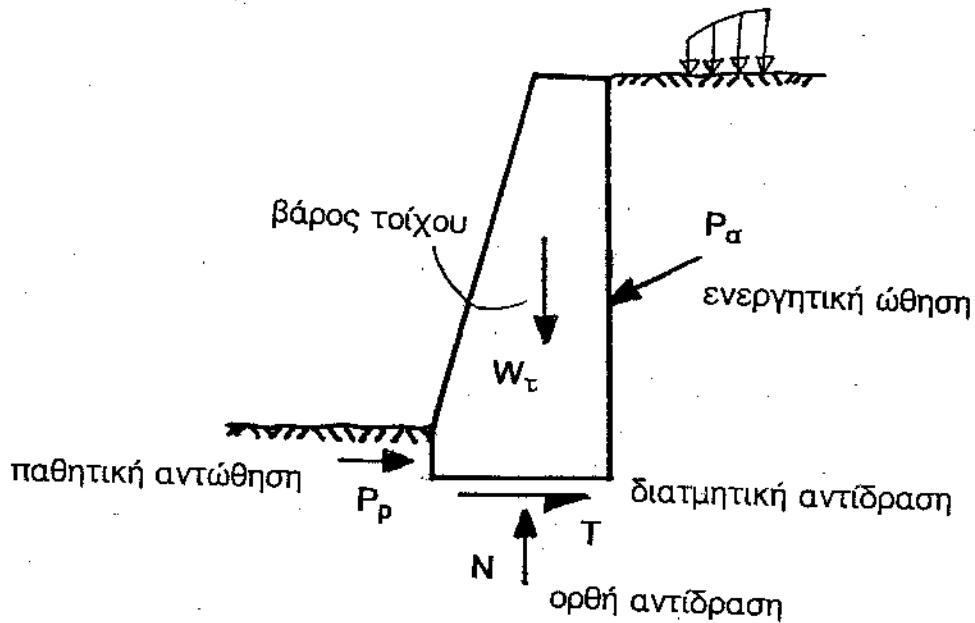


τοίχος ακροβάθρου
γέφυρας



(περιμετρικός)
τοίχος υπογείου

Σχήμα 1. Μερικοί χαρακτηριστικοί τύποι τοίχων αντιστηρίξεως



Σχήμα 2. Δυνάμεις που ενεργούν σ' έναν τοίχο αντιστηρίξεως βαρύτητας

Το Σχήμα 2 δείχνει έναν τοίχο αντιστηρίξεως βαρύτητας (μιά από τις πιο συνηθισμένες μορφές). Οι εξωτερικές δυνάμεις οι οποίες επενεργούν στον τοίχο την στιγμή μιάς επικείμενης αστοχίας (με μετακίνηση και στροφή προς τα έξω) είναι :

- Η "φέρουσα" εδαφική αντίδραση N , που εξισορροπεί το βάρος του τοίχου και τις κατακόρυφες συνιστώσες των άλλων δυνάμεων.
- Η ενεργητική ώθηση, P_a , συνισταμένη των πιέσεων τις οποίες το έδαφος ασκεί στον τοίχο καθώς αυτός μετακινείται προς τα έξω.
- Αυτή η προς τα έξω κίνηση, συγκρατείται από την **διατμητική αντίδραση σε ολίσθηση**, T , και την **παθητική αντώθηση** P_p του εδάφους που βρίσκεται κάτω και μπρός από τον τοίχο, αντιστοίχως.

Η ενεργητική ώθηση P_a τείνει ακόμα να προκαλέσει και ανατροπή του τοίχου περί τον πόδα του. Στην ανατροπή αυτή αντιδρούν (με τις αντίστοιχες ροπές) : το βάρος του τοίχου W_{τ} και η παθητική αντίσταση P_p . Έτσι, το βάρος του τοίχου ενεργεί θετικά με δύο τρόπους : αντιστέκεται στην ανατροπή του τοίχου και προκαλεί την διατμητική αντίδραση ("τριβή") στην βάση του τοίχου.

Στην περίπτωση του τοίχου βαρύτητας η Μελέτη συνίσταται στην επιλογή των διαστάσεων του τοίχου, τον προσδιορισμό των επενεργουσών δυνάμεων, και στον έλεγχο της ευστάθειας του τοίχου. Παρακάτω εξετάζουμε μεθόδους για τον προσδιορισμό της ενεργητικής ώθησης και της παθητικής αντώθησης σε κοκκώδη

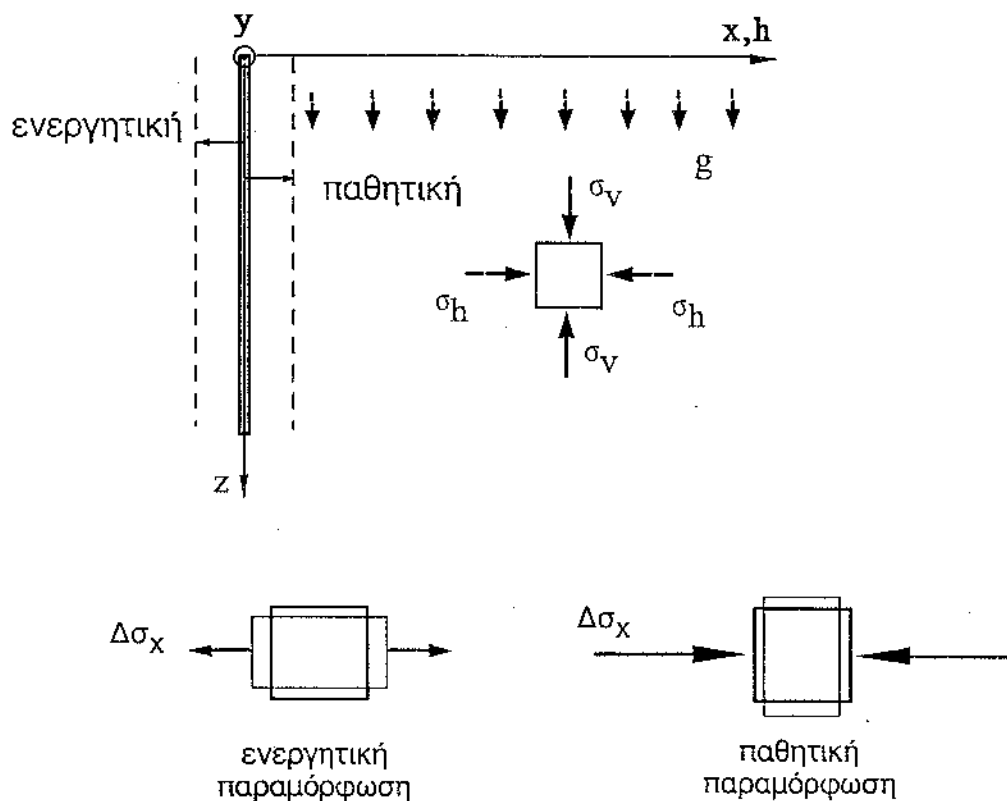
και σε κανονικώς—προφορτισμένα αργιλικά εδαφικά υλικά αντιστηρίξεως, τα οποία υπακούουν στο νόμο αστοχίας Mohr-Coulomb :

$$\tau_{\alpha\alpha} = \bar{\sigma}_{\alpha\alpha} \tan\varphi,$$

όπου : $\tau_{\alpha\alpha}$ και $\bar{\sigma}_{\alpha\alpha}$ οι τάσεις στο επίπεδο αστοχίας, την στιγμή της αστοχίας. Η αλλαγή την οποία επιφέρει η ύπαρξη συνοχής (c) του εδάφους εξετάζεται συνοπτικά στο τέλος του υποκεφαλαίου.

5.1.2. ΕΛΑΣΤΙΚΗ και ΠΛΑΣΤΙΚΗ ΙΣΟΡΡΟΠΙΑ.

Οριακές Καταστάσεις RANKINE. Κοκκώδη εδαφικά υλικά ($c = 0$)



Σχήμα 3. Μετατοπίσεις τοίχου και παραμόρφωση εδαφικού στοιχείου στην ενεργητική και παθητική ώθηση

Στο **Σχήμα 3** θεωρούμε μία ομοιογενή εδαφική απόθεση χωρίς υδατικές πιέσεις στους εδαφικούς πόρους και με οριζόντια ελεύθερη επιφάνεια, η οποία καταλήγει σ' ένα κατακόρυφο όριο που το σχηματίζει ένας λείος, απείρου βάθους, τοίχος. Όσο ο

τοίχος μένει αμετακίνητος, το έδαφος βρίσκεται στην γνωστή (από το Κεφάλαιο 3) γεωστατική κατάσταση, μεταξύ δε των οριζοντίων και κατακορύφων τάσεων $\sigma_h = \bar{\sigma}_h$ και $\sigma_v = \bar{\sigma}_v$ ισχύει η σχέση

$$\bar{\sigma}_h / \bar{\sigma}_v = K_o^1$$

όπου $K_o = 0$ ο λόγος οριζόντιας τάσης σε συμπίεση χωρίς πλευρική παραμόρφωση (αποκαλούμενος και συντελεστής "ουδέτερης ώθησης"). Οι ακόλουθες εμπειρικές σχέσεις χρησιμοποιούνται συχνά στην πράξη για μιά πρώτη εκτίμηση του K_o :

$$K_o = \nu / (1 - \nu) \quad \text{ελαστικά υλικά με λόγο του Poisson } \nu$$

$$K_o \approx 1 - \sin\phi \quad \text{αμμώδη υλικά}$$

$$K_o \approx 0.95 - \sin\phi \quad \text{απροφόρτιστες (κανονικώς στερεοποιημένες) άργιλοι}$$

$$K_o \approx (0.95 - \sin\phi) (\text{OCR})^{\sin\phi} \quad \text{προστερεοποιημένες άργιλοι, βαθμού προστερεοποιήσεως OCR.}$$

Αν τώρα ο τοίχος μετατοπιστεί προς τα έξω, θα δοθεί η δυνατότητα στο έδαφος να παραμορφωθεί ("υποχωρήσει") κατά την οριζόντια κατεύθυνση. Συνέπεια αυτής της "υποχώρησης" είναι η μείωση της πλευρικής τάσης σ_h ενώ βέβαια η αξονική τάση σ_v διατηρείται σταθερή, ίση με $\gamma z = \rho g z$, λόγω κατακόρυφης ισορροπίας.

Όταν ακόμη οι μετακινήσεις προς τα έξω (και άρα οι παραμορφώσεις ϵ_h) είναι πολύ-πολύ μικρές, η χρήση της ελαστικής θεωρίας αποδεικνύεται πολύτιμη στην ποσοτική πρόβλεψη της μείωσης της σ_h . Πράγματι, στο εδαφικό στοιχείο του Σχήματος 3 ας επιβάλλουμε οριζόντια παραμόρφωση ϵ_x προς τα έξω, (δηλαδή εφελκυστική παραμόρφωση : $\epsilon_x = \epsilon_h = -\alpha$, όπου α μικρός θετικός αριθμός), ενώ ταυτόχρονα η κατακόρυφη τάση $\sigma_z = \sigma_v = \gamma z$ παραμένει σταθερή ($\Delta\sigma_z = 0$), η δε διαμήκης οριζόντια παραμόρφωση ϵ_y παραμένει ίση με μηδέν (η επίπεδη

¹ Τονίζεται ότι λόγω της θεώρησης απουσίας νερού στο πρόβλημα που περιγράφεται εν συνεχεία, οι ολικές και οι ενεργές τάσεις συμπίπτουν μεταξύ τους, $\bar{\sigma} = \sigma$, οπότε το σύμβολο σ αντί του $\bar{\sigma}$ χρησιμοποιείται στα σχήματα για να δηλώσει επίσης ενεργές τάσεις (βλ. Σχήματα 3-10).

παραμόρφωση εξακολουθεί να ισχύει κατά μήκος του άξονα y). Τότε ο νόμος του Hooke που συνδέει τις επιβαλλόμενες ή αναπτυσσόμενες μεταβολές τάσεων και παραμορφώσεων δίνει :

$$\varepsilon_x = -\alpha = (\Delta\sigma_x - \nu\Delta\sigma_y) / E$$

$$\varepsilon_y = 0 = (\Delta\sigma_y - \nu\Delta\sigma_x) / E$$

όπου E το μέτρο ελαστικότητας και ν ο λόγος του Poisson του εδαφικού υλικού. Στις ανωτέρω σχέσεις έχει παραληφθεί ο όρος $\Delta\sigma_z$ ως μηδενικός. Από τις ανωτέρω σχέσεις προκύπτει αμέσως:

$$\Delta\sigma_x = -\frac{\alpha E}{1-\nu^2}$$

και

$$\Delta\sigma_y = \nu \Delta\sigma_x$$

δηλαδή μείωση των δύο εγκάρσιων τάσεων ($\Delta\sigma_x < 0$ και $\Delta\sigma_y < 0$).

Θα έχουμε επομένως συνολικά :

$$\sigma_h = \sigma_x = \sigma_{x0} + \Delta\sigma_x = K_0\sigma_{v0} - \alpha E / (1-\nu^2)$$

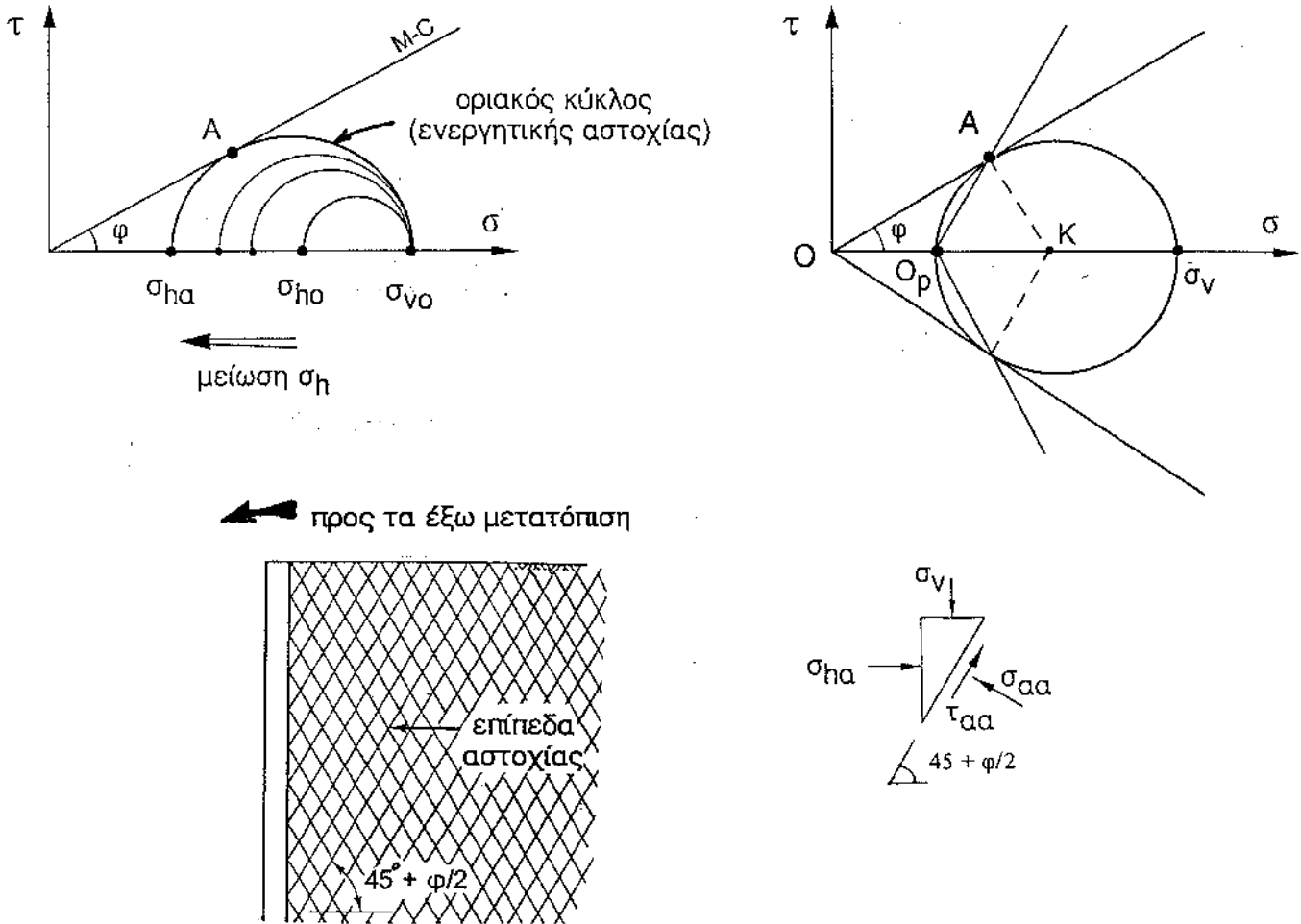
Παρατηρούμε ότι η μείωση της σ_x είναι ανάλογη της επιβαλλόμενης παραμόρφωσης και ανάλογη του μέτρου ελαστικότητας του εδαφικού υλικού --- αναμενόμενο για ελαστικό υλικό. Επίσης αναμενόμενη είναι η εξάρτηση από τον λόγο του Poisson.

Η μείωση της οριζόντιας τάσης θα συνεχίζεται και όταν το εδαφικό υλικό πάψει να συμπεριφέρεται ελαστικά. Μέχρι πόσο όμως;

Η απάντηση είναι απλή : μέχρις ότου το συγκεκριμένο εδαφικό στοιχείο αστοχήσει. Αν και είναι πολύ δύσκολο να υπολογισθεί θεωρητικά η συσχέτιση $\sigma_h - \varepsilon_h$ σ' αυτή την οριακή κατάσταση, ο υπολογισμός της οριακής τιμής της σ_h είναι ευχερέστατος!

Προς τον σκοπό αυτό στο **Σχήμα 4** παρουσιάζονται οι κύκλοι Mohr οι οποίοι παριστάνουν την εξέλιξη της εντατικής κατάστασης του θεωρούμενου εδαφικού στοιχείου, από την αρχική (γεωστατική) κατάσταση μέχρι την κατάσταση αστοχίας.

Την στιγμή της αστοχίας ο κύκλος Mohr εφάπτεται της γραμμής αστοχίας Mohr-Coulomb ($\tau_{\alpha\alpha} = \bar{\sigma}_{\alpha\alpha} \tan\phi$), και η οριζόντια τάση ("ώθηση") $\bar{\sigma}_h$ παίρνει την (ελάχιστη δυνατή) τιμή $\bar{\sigma}_{ha}$.



Σχήμα 4. Εξέλιξη των κύκλων του Mohr και ενεργητική κατάσταση αστοχίας

Την **οριακή** αυτή κατάσταση που δημιουργείται με την μετακίνηση του τοίχου προς τα έξω ονομάζουμε **ενεργητική κατάσταση** (το έδαφος "ωθεί"). Η οριζόντια τάση $\bar{\sigma}_{ha}$ που αναπτύσσεται στην κατάσταση αυτή ονομάζεται ενεργητική ώθηση, ενώ ο λόγος $K_\alpha = \bar{\sigma}_{ha} / \bar{\sigma}_v$ ονομάζεται συντελεστής της ενεργητικής ώθησης. Ο

εφαπτομενικός κύκλος Mohr της οριακής κατάστασης έχει επαναληφθεί στο Σχ. 4b .

Απο το σχήμα αυτό μπορεί να προσδιοριστεί ο συντελεστής K_α :

$$\sin \varphi = \frac{AK}{KO} = \frac{\bar{\sigma}_v - \bar{\sigma}_{ha}}{\bar{\sigma}_v + \bar{\sigma}_{ha}} \rightarrow \frac{\bar{\sigma}_{ha}}{\bar{\sigma}_v} = \frac{1 - \sin \varphi}{1 + \sin \varphi}$$

Δηλαδή, ο συντελεστής ενεργητικής ωθήσεως είναι ίσος με :

$$K_\alpha = \frac{\bar{\sigma}_{ha}}{\bar{\sigma}_v} = \frac{1 - \sin \varphi}{1 + \sin \varphi} = \tan^2 (45^\circ - \varphi / 2)$$

Απ' το ίδιο σχήμα βρίσκουμε την διεύθυνση των επιπέδων αστοχίας με βάση την αρχή των επιπέδων (πόλο), O_p . Τα επίπεδα ολισθήσεως έχουν κλίση $45 + \varphi / 2$ ως προς την οριζοντία.

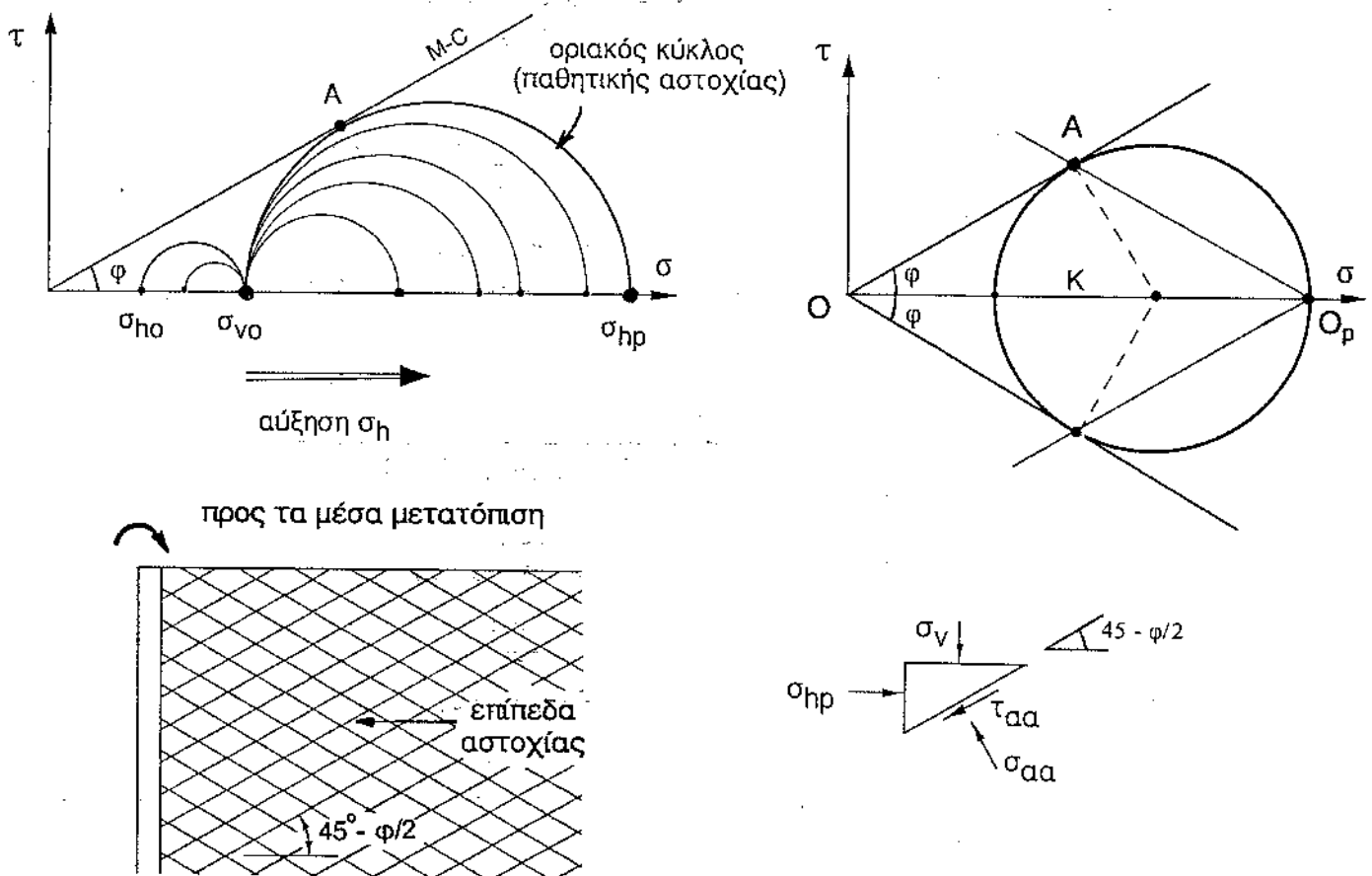
Αν ο τοίχος του **Σχήματος 2** κινηθεί προς το εσωτερικό του εδάφους, κάθε εδαφικό στοιχείο θα συμπιεσθεί κατά την οριζόντια διεύθυνση, και η οριζόντια τάση σ_h θα αυξάνει. Η ελαστική θεωρία εφαρμοζόμενη σ' αυτή την περίπτωση παράγει σχέσεις αντίστοιχες μ'αυτές που αναπτύχθηκαν προηγουμένως για την πορεία προς την ενεργητική κατάσταση, με **μόνη** διαφορά ότι τώρα οι παραμορφώσεις είναι θετικές ($\epsilon_x = +\alpha$), οδηγώντας σε αύξηση και όχι μείωση της σ_x

$$\Delta \sigma_x = \frac{+ \alpha E}{(1 - \nu^2)}$$

Η αύξηση αυτή θα εξακολουθεί (όχι όμως συνεχώς γραμμικά) όσο θα συνεχίζεται η προς τα μέσα κίνηση μέχρι να εξαντληθεί η διατμητική αντοχή του εδαφικού στοιχείου, μέχρι δηλαδή να φτάσουμε σε συνθήκες αστοχίας. Την οριακή αυτή κατάσταση που προκύπτει με την κίνηση του τοίχου προς το έδαφος ονομάζουμε **παθητική κατάσταση** (το έδαφος "ωθείται"). Τις οριζόντιες τάσεις στην κατάσταση αυτή ονομάζουμε πλευρικές παθητικές ωθήσεις και τον λόγο $\bar{\sigma}_{hp} / \bar{\sigma}_v$ "συντελεστή" παθητικής ώθησης (K_p). Το **Σχήμα 5** δείχνει την εξέλιξη των κύκλων του Mohr, απο τον αρχικό (γεωστατικό) κύκλο μέχρι τον κύκλο παθητικής αστοχίας. Η κλίση των επιπέδων αστοχίας προκύπτει στην περίπτωση αυτή ίση με $45^\circ - \varphi / 2$ ως προς την οριζοντία.

Ο συντελεστής της παθητικής ώθησης, K_p , είναι επομένως ίσος με

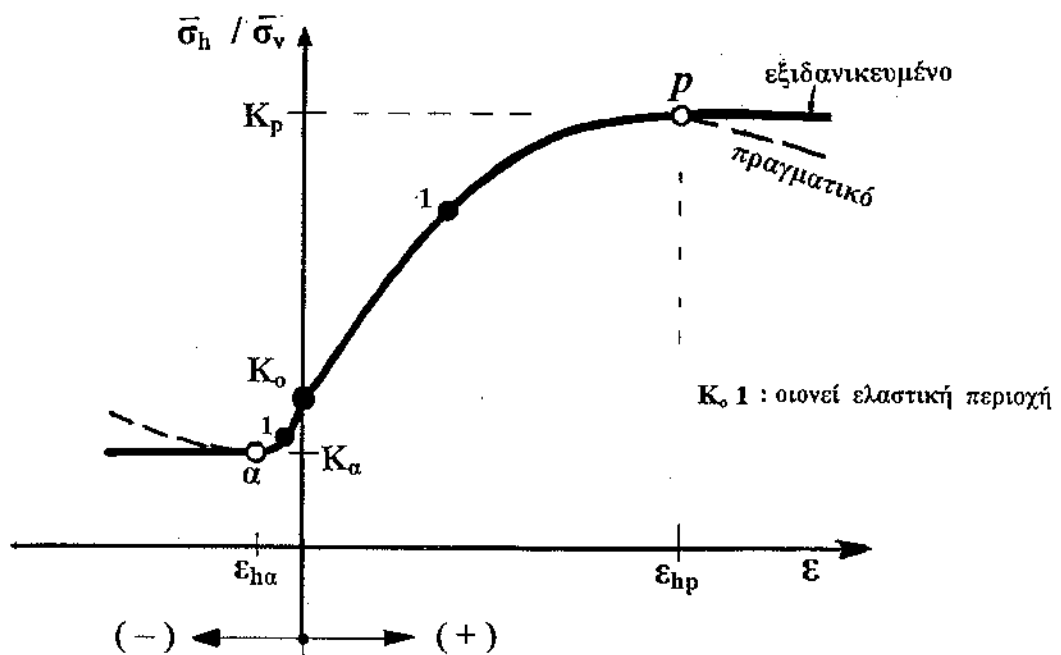
$$K_p = \frac{1 + \sin \varphi}{1 - \sin \varphi} = \tan^2 (45^\circ + \varphi / 2) = 1 / K_a$$



Σχήμα 5. Παθητική κατάσταση : εξέλιξη των κύκλων Mohr και επίπεδα αστοχίας

5.1.3. ΠΑΡΑΜΟΡΦΩΣΕΙΣ κατά την ΜΕΤΑΒΑΣΗ προς την ΕΝΕΡΓΗΤΙΚΗ και την ΠΑΘΗΤΙΚΗ ΚΑΤΑΣΤΑΣΗ

Οι παραμορφώσεις που απαιτούνται για να φθάσουμε σε ενεργητική ή παθητική κατάσταση μπορούν να βρεθούν από εργαστηριακές δοκιμές με μεταβολές εντατικών καταστάσεων όπως αυτές που απεικονίζονται με την εξέλιξη των κύκλων Mohr των Σχημάτων 4 και 5. Με βάση αποτελέσματα από τέτοιου είδους δοκιμές, δείχνουμε στο Σχήμα 6 τις αναπτυσσόμενες οριζόντιες παραμορφώσεις συναρτήσει του λόγου $\bar{\sigma}_h / \bar{\sigma}_v$ καθώς μεταβαίνουμε από την κατάσταση "ουδέτερης ώθησης" (K_0) στην ενεργητική κατάσταση (K_a), και στην παθητική κατάσταση (K_p).



Σχήμα 6. Παραμορφώσεις κατά την μετάβαση από την ουδέτερη προς την ενεργητική (0 προς α) και την παθητική (0 προς p) κατάσταση

Συμπεράσματα :

1. Πολύ μικρή οριζόντια παραμόρφωση ($\epsilon_{ha} < 0.50 \%$) — αποφόρτιση — απαιτείται για να φθάσουμε στην (οριακή) ενεργητική κατάσταση.
2. Μικρή οριζόντια παραμόρφωση (της τάξεως του 1%) — συμπίεση — απαιτείται για να φτάσουμε στο μισό της μέγιστης παθητικής τάσης.

3. Πολύ μεγαλύτερη οριζόντια παραμόρφωση — συμπίεση — απαιτείται για να φτάσουμε στην πλήρη παθητική τάση σ_{hp} (ϵ_{hp} της τάξεως του 2 % ÷ 5 %).

Οι αναφερόμενες παραμορφώσεις δεν είναι παρά τυπικές τιμές για μέσης πυκνότητας κοκκώδη εδαφικά υλικά. Για χαλαρά υλικά οι απαιτούμενες παραμορφώσεις για την παθητική κατάσταση μπορεί να είναι πολύ μεγαλύτερες (μέχρι και 15%). Οι πολύ μικρότερες παραμορφώσεις για την ενεργητική σε σχέση με την παθητική κατάσταση ερμηνεύονται όχι μόνον από το γεγονός ότι η αποφόρτιση σχετίζεται εν γένει με μικρότερες παραμορφώσεις απ' ό,τι η φόρτιση [διότι το εφαπτομενικό μέτρο ελαστικότητας σε αποφόρτιση ("E-") είναι μεγαλύτερο από το αντίστοιχο μέτρο σε φόρτιση ("E+")], αλλά και από το ότι η μεταβολή στις τάσεις κατά την μετάβαση στην ενεργητική κατάσταση (από K_0 σε K_a) είναι πολύ μικρότερη απ' ό,τι κατά την μετάβαση στην παθητική κατάσταση (από K_0 σε K_p).

[Ως άσκηση : να εκτιμηθούν οι οριακές παραμορφώσεις ϵ_a και ϵ_p με χρήση της ελαστικής θεωρίας και με απλές παραδοχές ως προς τα μέτρα ελαστικότητας.]

5.1.4. Η ΕΠΙΔΡΑΣΗ της ΣΥΝΟΧΗΣ ($c \neq 0$) στην ΕΝΕΡΓΗΤΙΚΗ και ΠΑΘΗΤΙΚΗ ΟΡΙΖΟΝΤΙΑ ΤΑΣΗ

Η διαδικασία υπολογισμού των οριακών τιμών $\bar{\sigma}_{ha}$ και $\bar{\sigma}_{hp}$ δεν αλλάζει από την προηγουμένως αναπτυχθείσα και όταν ακόμη ο νόμος αστοχίας του εδαφικού υλικού είναι ο γενικός νόμος Coulomb :

$$\tau_{aa} = \bar{\sigma} \tan \varphi + c$$

όταν δηλαδή το υλικό διαθέτει και "συνοχή". Όπως δείχνει το Σχήμα 7, στην περίπτωση αυτή οι οριακοί κύκλοι Rankine, αναφερόμενοι σε αρχή του άξονα των σ μετατοπισμένον προς τα αριστερά κατά

$$\Delta\sigma = c / \tan \varphi$$

δίνουν :

$$\bar{\sigma} h(m) + c / \tan \varphi = K_{(m)} (\bar{\sigma}_{vo} + c / \tan \varphi)$$

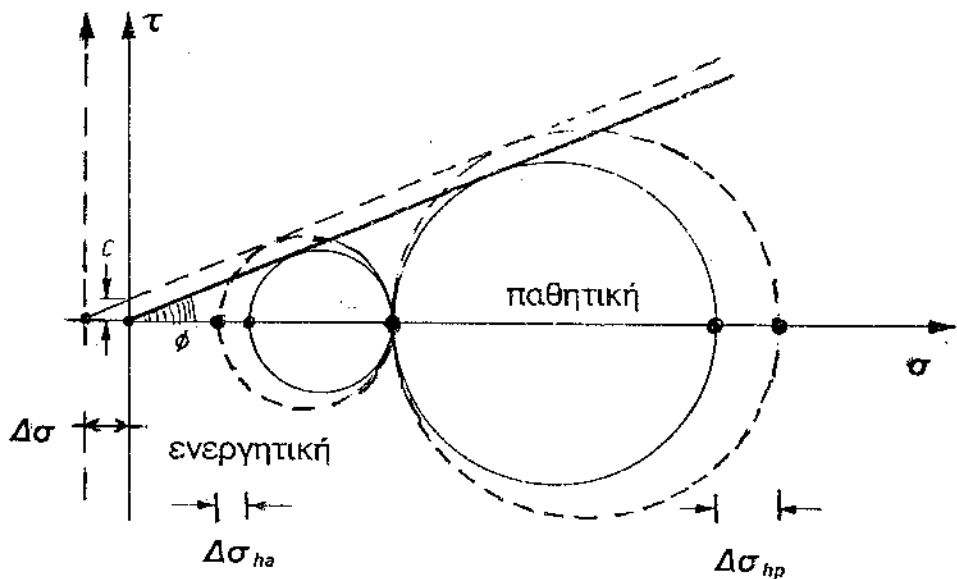
όπου $(m) = a$ ή p για τις δύο οριακές καταστάσεις, ενεργητική και παθητική, αντιστοίχως. Απ' τις ανωτέρω σχέσεις προκύπτουν οι :

$$\bar{\sigma}_{ha} = K_a \bar{\sigma}_{vo} - 2c\sqrt{K_a}$$

$$\bar{\sigma}_{hp} = K_p \bar{\sigma}_{vo} + 2c\sqrt{K_p}$$

όπου $K_a = 1 / K_p = \tan^2(45^\circ - \phi / 2)$. [Να αποδειχθούν οι σχέσεις αυτές.]

Είναι προφανές ότι η ύπαρξη συνοχής, c , μειώνει τις ενεργητικές και αυξάνει τις παθητικές ωθήσεις.



Σχήμα 7. Η επίδραση της συνοχής στην αύξηση των οριακών κύκλων της ενεργητικής και παθητικής κατάστασης. Οι αντίστοιχες οριζόντιες τάσεις μικραίνουν και μεγαλώνουν στην ενεργητική και παθητική κατάσταση, αντιστοίχως :

$$\Delta\sigma_{ha} < 0, \quad \Delta\sigma_{hp} > 0.$$

5.1.5. ΕΦΑΡΜΟΓΗ της ΘΕΩΡΙΑΣ Rankine : ΤΟΙΧΟΙ ΑΝΤΙΣΤΗΡΙΞΕΩΣ

Με βάση όσα προειπώθηκαν για τις διάφορες καταστάσεις οριζόντιας παραμόρφωσης και τις αντίστοιχες τάσεις, μπορούμε να υπολογίσουμε τις ωθήσεις σε κατακόρυφο λείο τοίχο αν η επιφάνεια του εδάφους είναι οριζόντια. Διακρίνουμε λοιπόν τρεις καταστάσεις :

I. Κατάσταση K_0

Αν ο τοίχος δεν έχει ελευθερία οριζόντιας μετατόπισης, οι οριζόντιες δράσεις θα παραμείνουν περίπου γεωστατικές και θα ισχύει η $\bar{\sigma}_{ho} = K_0 \bar{\sigma}_{vo}$. Η κατανομή των οριζόντιων πιέσεων και της συνισταμένης τους θα είναι όπως στο Σχήμα 8.

II. Ενεργητική Κατάσταση K_a

Αν ο τοίχος έχει σημαντική ελευθερία μετακινήσεως προς τα έξω (η οποία είναι και μηχανικώς δυνατή και λειτουργικώς επιτρεπτή) θα δημιουργηθούν συνθήκες ενεργητικής κατάστασης. (Ομοιόμορφες εγκάρσιες παραμορφώσεις αναπτύσσονται και από στροφή του τοίχου προς τα έξω, περί το κάτω άκρο του τοίχου.) Η κατανομή των εγκαρσίων πιέσεων και η συνισταμένη συνολική ώθηση δείχνονται στο Σχήμα 9α :

$$\sigma_{ha} = K_a \sigma_v = K_a \rho g z \quad \rightarrow \quad P_a = 1/2 K_a \rho g H^2$$

όπου

$$K_a = \tan^2 (45^\circ - \varphi / 2)$$

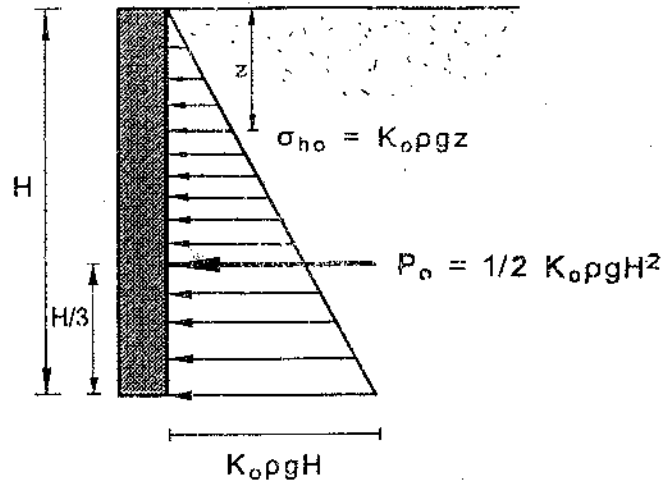
Στην περίπτωση όπου στην επιφάνεια του εδάφους υπάρχει ένα ομοιομόρφως-κατανεμημένο φορτίο, p , θα έχουμε :

$$\sigma_v = p + \rho g z \quad \rightarrow \quad \sigma_{ha} = K_a (p + \rho g z) \quad \rightarrow$$

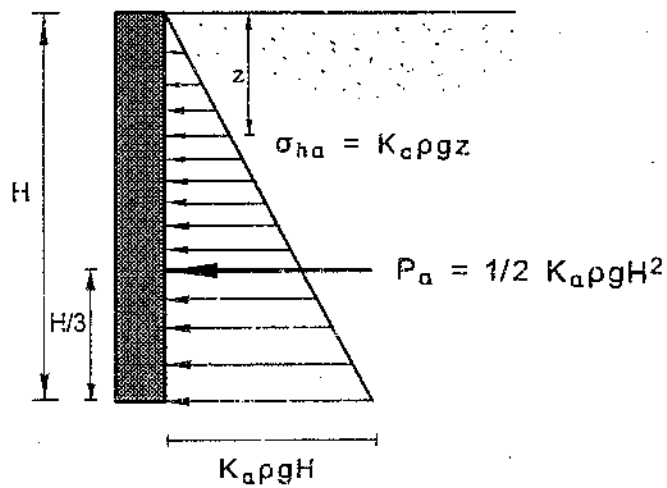
$$P_a = K_a p H + 1/2 K_a \rho g H^2$$

III. Παθητική Κατάσταση K_p

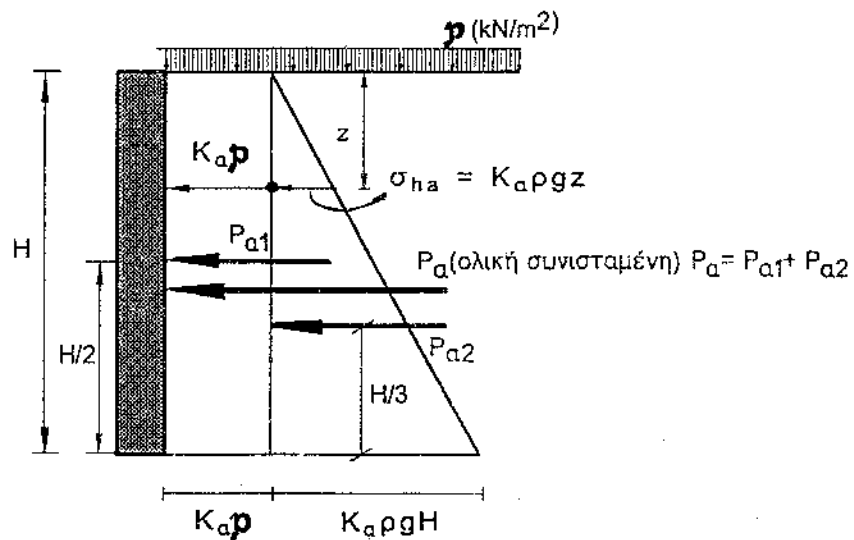
Εάν ο τοίχος είναι αυτός που ωθεί τις γαίες προς τα μέσα (προφανώς λόγω εξωτερικής φόρτισης), θα τείνουν να δημιουργηθούν συνθήκες παθητικής κατάστασης. Η σχετική κίνηση (στροφή) του τοίχου και η κατανομή των εγκαρσίων πιέσεων δείχνονται στα παρακάτω Σχήματα 10(α) και (β).



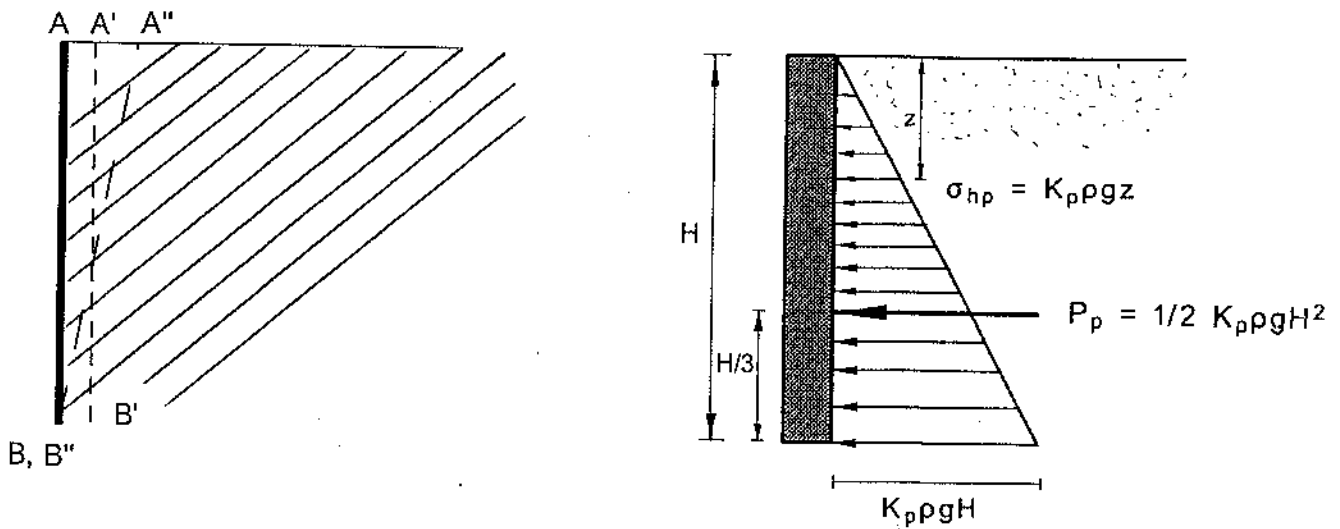
Σχήμα 8. Κατανομή οριζόντιων τάσεων σε τοίχο ο οποίος δεν μετακινείται οριζόντια



Σχήμα 9α. Κατανομή οριζόντιων ενεργητικών τάσεων σε τοίχο ελεύθερον να μετακινηθεί.



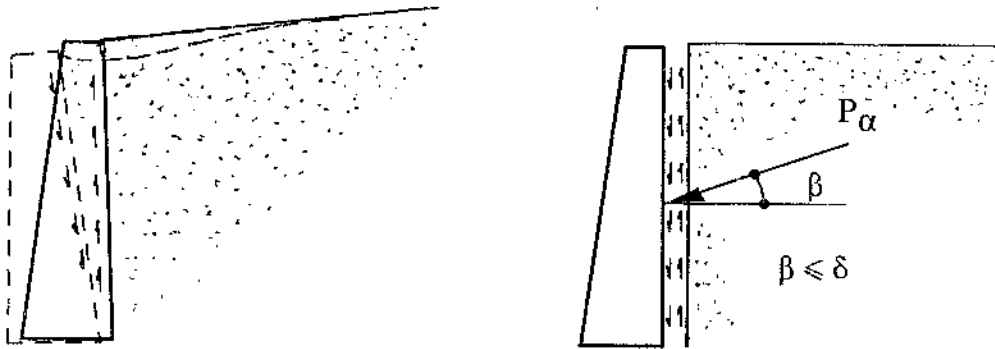
Σχήμα 9β. Κατανομή οριζόντιων ενεργητικών τάσεων : επίδραση φορτίου p .



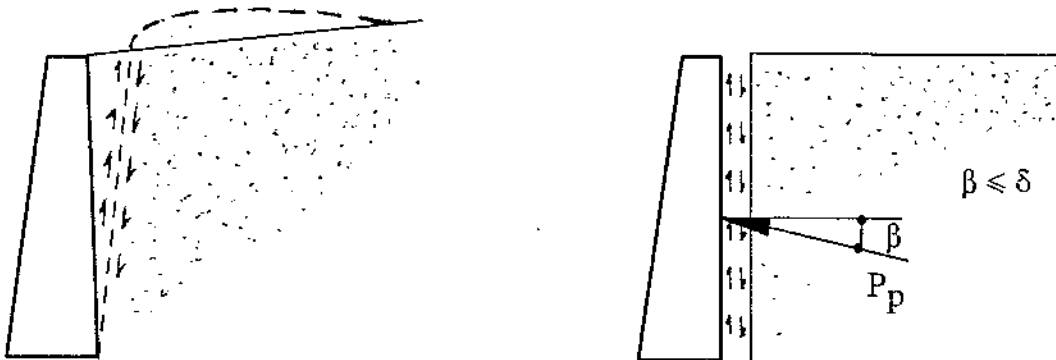
Σχήμα 10. Μετακίνηση τοίχου και εδαφικές δράσεις στην παθητική κατάσταση.

5.1.6 ΑΝΑΠΤΥΞΗ ΔΥΝΑΜΕΩΝ ΤΡΙΒΗΣ μεταξύ ΤΟΙΧΟΥ και ΓΑΙΩΝ

Η κατανομή των οριζοντίων πιέσεων όπως την είδαμε παραπάνω σύμφωνα με τις **οριακές καταστάσεις τάσεων κατά Rankine**, ισχύει όταν η παρειά του τοίχου προς το έδαφος είναι κατακόρυφη και λεία, η δε επιφάνεια του εδάφους οριζοντία. Γενικότερα όμως θα υπάρχει κάποια συνάφεια μεταξύ του τοίχου και του εδάφους, ενώ ενδέχεται η επιφάνεια του αντιστηριζομένου εδάφους να είναι κεκλιμένη. Ετσι, στην ενεργητική περίπτωση, καθώς ο τοίχος τείνει να κινηθεί προς τα έξω, δημιουργούνται δυνάμεις τριβής μεταξύ του τοίχου και του εδάφους καθώς το τελευταίο τείνει να μετακινηθεί προς τα έξω και προς τα κάτω. Η διεύθυνση των δυνάμεων αυτών (και των αντιδράσεών τους) δείχνεται στο **Σχήμα 11**. **Αποτέλεσμα**: οι δράσεις επί του τοίχου δεν είναι ορθές, η δε συνισταμένη τους P_a σχηματίζει γωνία β με την κάθετη στην παρειά του τοίχου. Η γωνία β θα είναι μικρότερη ή ίση με την γωνία τριβής δ , μεταξύ του τοίχου και του εδάφους: $\beta \leq \delta$. Συνήθως $\delta \approx 0.50 \varphi$ έως 0.75φ .



Σχήμα 11. Τριβή μεταξύ εδάφους και τοίχου κατά την ενεργητική κατάσταση .



Σχήμα 12. Τριβή μεταξύ εδάφους και τοίχου κατά την παθητική κατάσταση

Η αντίστοιχη εικόνα στην περίπτωση παθητικών ωθήσεων παρουσιάζεται στο Σχήμα 12. Η ύπαρξη των δυνάμεων τριβής μεταξύ του τοίχου και του εδάφους έχει ως αποτέλεσμα να μην ισχύουν οι συνθήκες που προβλέπονται στο Σχήμα 3 (π.χ. οι σ_h και σ_v παύουν να είναι κύριες τάσεις).

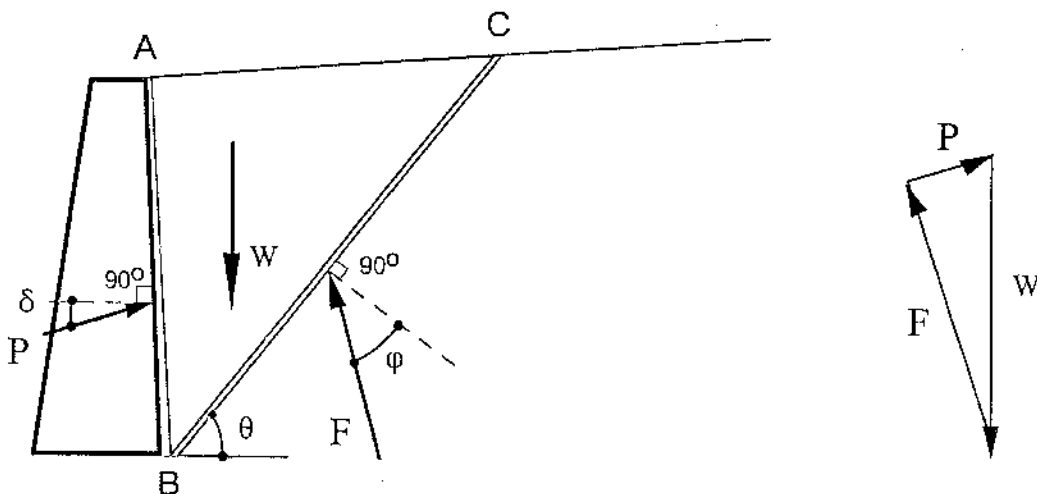
Επίσης, στην γενικότερη περίπτωση, η παρειά του τοίχου ενδέχεται να μην είναι κατακόρυφη και η επιφάνεια του εδάφους να μην είναι οριζόντια. Για τον υπολογισμό των ωθήσεων υπό τις γενικότερες αυτές συνθήκες χρησιμοποιούμε μίαν άλλη μέθοδο την οποία εξετάζουμε παρακάτω.

5.1.7. ΜΕΘΟΔΟΣ COULOMB (ΑΝΑΖΗΤΗΣΗ ΚΙΝΗΜΑΤΙΚΟΥ ΜΗΧΑΝΙΣΜΟΥ ΑΣΤΟΧΙΑΣ)

Η μέθοδος Rankine (1857), την οποία μέχρι τώρα αναπτύξαμε, ανήκει στην κατηγορία των λεγομένων “στατικών” μεθόδων ευρέσεως του οριακού φορτίου. Οι μέθοδοι αυτές δίνουν ένα κάτω όριο του φορτίου αστοχίας (βλ. απόδειξη στην θεωρία της πλαστικότητας). Η μέθοδος Coulomb την οποία εξετάζουμε παρακάτω (όπως και οι μέθοδοι οριακής ισορροπίας τις οποίες εξετάζουμε αναλυτικά στο κεφάλαιο της ευστάθειας πρανών) ανήκουν στην κατηγορία των λεγομένων “κινηματικών” μεθόδων. Οι μέθοδοι αυτές δίνουν ένα άνω όριο του φορτίου αστοχίας (βλ. απόδειξη στην θεωρία της πλαστικότητας).

Ο Coulomb (1776) έκανε την απλοποιητική παραδοχή ότι την μετακίνηση του τοίχου ακολουθεί ως απολύτως στερεό μία εδαφική μάζα η οποία "αποχωρίζεται" από το υπέδαφος και ολισθαίνει κατά μήκος επιφάνειας BC (Σχήμα 13). Την επιφάνεια αυτή ο Coulomb θεώρησε επίπεδη, κυρίως για λόγους απλούστευσης των υπολογισμών, αλλά και επειδή τα σχετικά του πειράματα έδειχναν πως μία τέτοια παραδοχή ήταν αρκετά λογική.

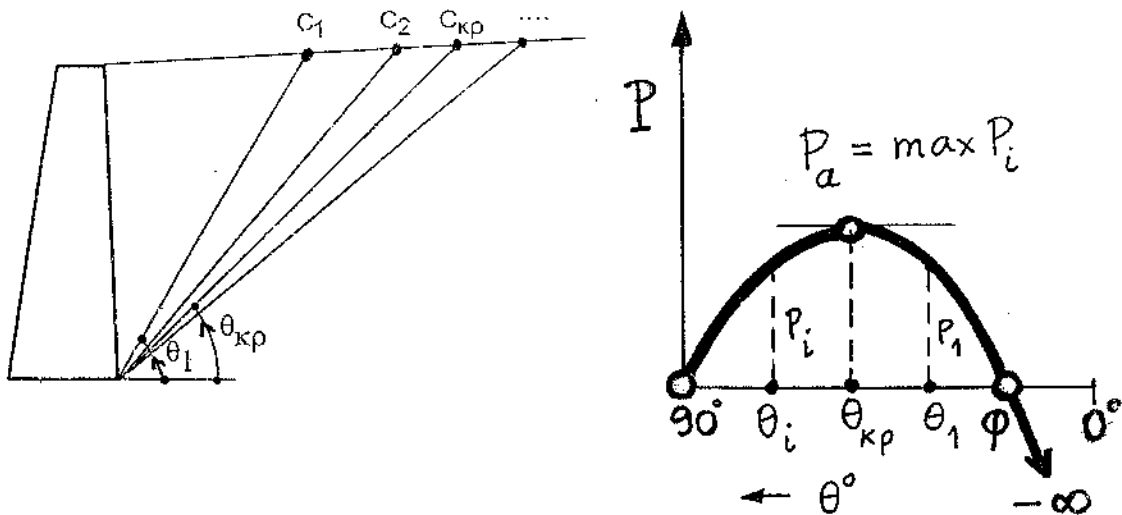
Η μέθοδος Coulomb αναζητεί το κρίσιμο εδαφικό πρίσμα ABC το οποίο θα ολισθήσει κατά την μετακίνηση του τοίχου. Προς τον σκοπό αυτό, εξετάζει την οριακή ισορροπία ενός δοκιμαστικού πρίσματος, όπως δείχνει το Σχήμα 13.



Σχήμα 13. Δυνάμεις και δυναμοτρίγωνο ισορροπίας για τον δοκιμαστικό μηχανισμό αστοχίας κατά Coulomb. (Ενεργητική Κατάσταση)

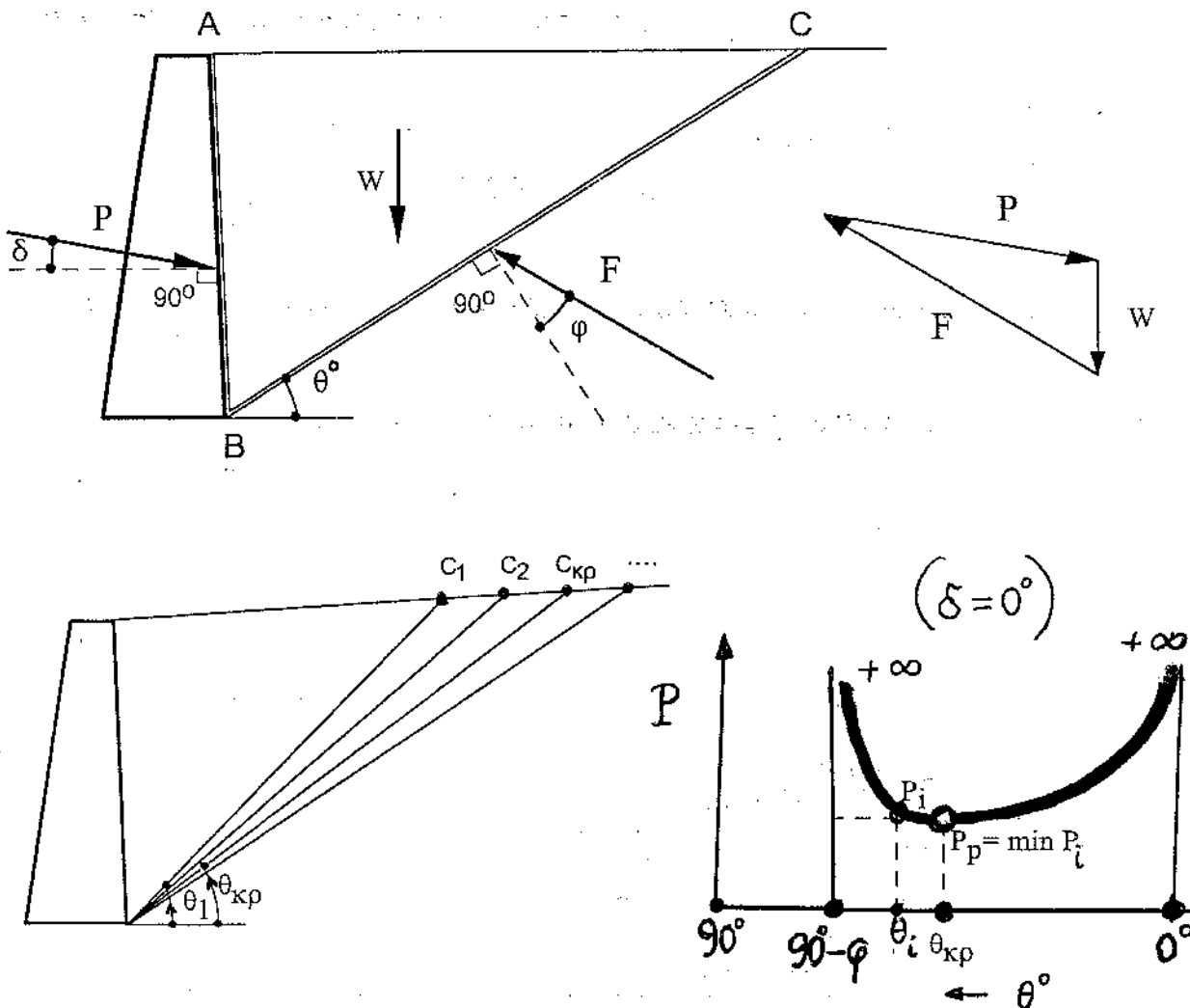
Οι δυνάμεις που επενεργούν στο δοκιμαστικό πρίσμα ABC είναι το βάρος του W , η δύναμη από τον τοίχο στο πρίσμα P (ίση και αντίθετη με την ώθηση), και η δύναμη F συνισταμένη των τάσεων του αμετακίνητου υπεδάφους, στο επίπεδο ολίσθησης. Αφού θεωρούμε συνθήκες οριακής ισορροπίας (επικείμενης ολίσθησης δηλαδή), η F θα σχηματίζει γωνία φ με την κάθετο στο επίπεδο ολίσθησεως ώστε $T = N \tan\varphi$, όπου T και N , = διατμητική και ορθή συνιστώσα της F , αντιστοίχως. Η ισορροπία των δυνάμεων αυτών θα καθορίσει το μέγεθος της P .

Η ενεργητική ώθηση P_a θα είναι η **μέγιστη** από τις δυνάμεις P που προκύπτουν από την ισορροπία όλων των πιθανών δοκιμαστικών πρισμάτων. Αυτό ακριβώς απεικονίζεται σχηματικά παρακάτω (Σχήμα 14). (Να εξηγηθεί.)



Σχήμα 14. Δοκιμαστικά πρίσματα και προσδιορισμός της P_a με την μέθοδο Coulomb.

Η μέθοδος των δοκιμαστικών πρισμάτων μπορεί να εφαρμοσθεί και στην παθητική περίπτωση για τον προσδιορισμό της P_p : Οι δυνάμεις σ' ένα δοκιμαστικό πρίσμα στην περίπτωση αυτή θα έχουν την παρακάτω μορφή (Σχήμα 15):



Σχήμα 15 . (α) Δυνάμεις και δυναμοτρίγωνο ισορροπίας για τον δοκιμαστικό μηχανισμό αστοχίας κατά Coulomb. (Παθητική Κατάσταση)

(β) Δοκιμαστικά πρίσματα και προσδιορισμός της P_p .

Η παθητική δε ώθηση P_p θα είναι η ελάχιστη των P_i που θα προκύψουν από την ισορροπία των δοκιμαστικών πρισμάτων ABC_i . (Να εξηγηθεί.)

Ας σημειωθεί ότι οι λύσεις κατά Coulomb συμπίπτουν με τις λύσεις κατά Rankine για την περίπτωση λείου ($\delta = 0^\circ$) και κατακόρυφου τοίχου που αντιστηρίζει οριζόντιο έδαφος . [Να αποδειχθεί : Γράφουμε την $P_i = P(\theta)$, όπου $\theta =$ τυχούσα

δοκιμαστική γωνία της επιφάνειας ολισθήσεως του τυχόντος πρίσματος Coulomb, μηδενίζουμε την παράγωγο της $\partial P / \partial \theta = 0$ απ' όπου προκύπτει η θ_{cr} , και αντικαθιστούμε την $\theta = \theta_{cr}$ στην $P_i = P(\theta)$, οπότε προκύπτει $P_a = \max P_i = P(\theta_{cr})$]. **Αριθμητικές εφαρμογές και άλυτες ασκήσεις διαγωνισμάτων δίδονται στο τέλος των "Σημειώσεων" μετά τα Παραρτήματα.**

5.1.8 ΑΥΣΤΗΡΗ ΜΑΘΗΜΑΤΙΚΗ ΕΠΙΛΥΣΗ

Η θεωρία Coulomb βασίζεται στην απλουστευτική παραδοχή ότι οι επιφάνειες ολισθήσεως είναι επίπεδα. Ακόμη, θεωρεί ισορροπία μόνον δυνάμεων κι όχι και ροπών. Αποτέλεσμα: οι λύσεις που προκύπτουν από την εφαρμογή της είναι προσεγγιστικές και όχι ακριβείς.

Σε μία γενικότερη αυστηρή θεώρηση του προβλήματος (με βάση την "στατική" και όχι την "κινηματική" μέθοδο) πρέπει σε κάθε σημείο της ζώνης αστοχίας να πληρούνται οι συνθήκες ισορροπίας (υπό επίπεδη παραμόρφωση) :

$$\frac{\partial \sigma_z}{\partial z} + \frac{\partial \tau_{zx}}{\partial x} = \gamma = \rho g$$

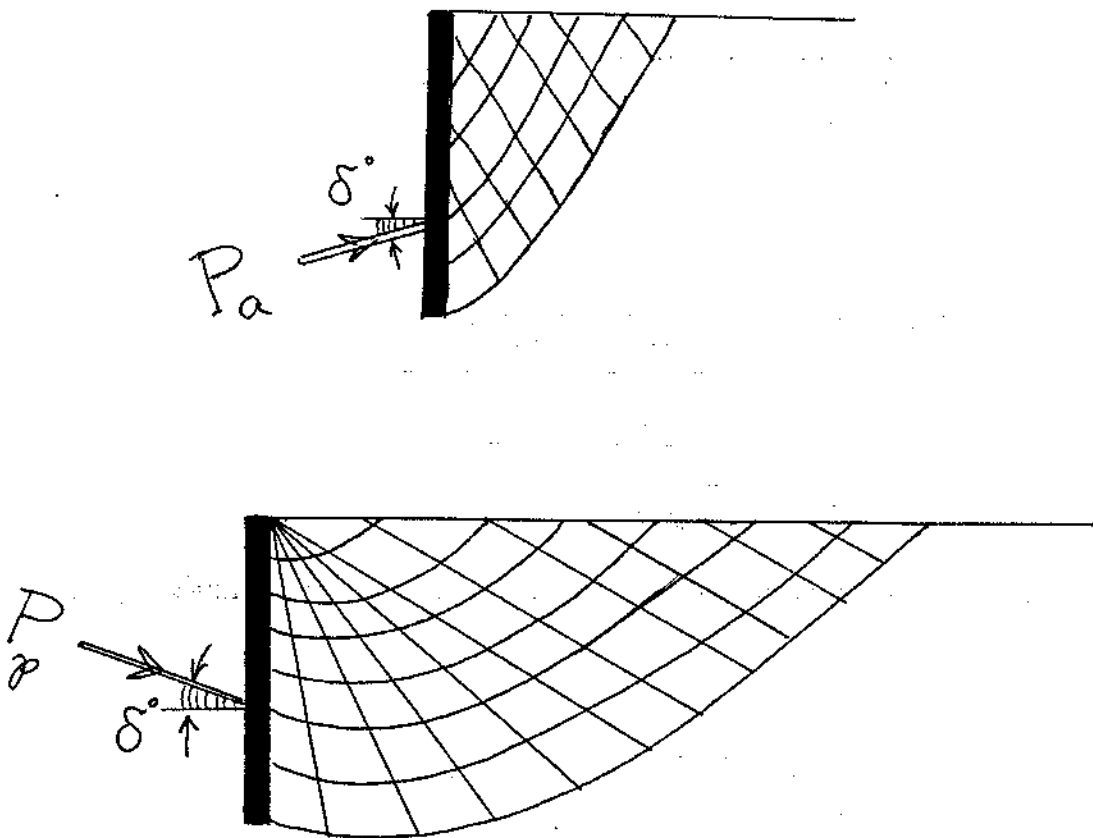
$$\frac{\partial \sigma_x}{\partial x} + \frac{\partial \tau_{zx}}{\partial z} = 0$$

Επίσης πρέπει να πληρούνται οι συνοριακές συνθήκες στη διεπιφάνεια (δηλ. την επιφάνεια επαφής του τοίχου με το έδαφος) και στην ελεύθερη επιφάνεια του εδάφους.

Ο συνδυασμός όλων αυτών των εξισώσεων οδηγεί σε μία διαφορική εξίσωση (εξίσωση "Koetter") η λύση της οποίας για τις συγκεκριμένες οριακές συνθήκες δίνει την κατεύθυνση των επιπέδων αστοχίας (γραμμές ολισθήσεως ή όπως λέγονται "χαρακτηριστικές"), και τις τιμές του τανυστή των τάσεων σε κάθε σημείο (Sokolovski 1956).

Η κατάσταση της εξίσωσης Koetter και η ολοκλήρωσή της είναι εξαιρετικά πολύπλοκη και πέρα από τους σκοπούς των διδακτικών αυτών σημειώσεων. Εντελώς ενδεικτικά στο Σχήμα 16 δείχνονται τα πεδία των γραμμών ολισθήσεως της θεωρίας αυτής για την ενεργητική και παθητική κατάσταση. (Εδαφος με οριζόντια επιφάνεια που αντιστηρίζεται από κατακόρυφον τοίχο, γωνίας τριβής δ με το έδαφος.)

Οι τιμές του Πίνακα 2 έχουν επίσης προκύψει από την εφαρμογή της εξίσωσης Koetter για οριζόντιο έδαφος και κατακόρυφο τοίχο, για διάφορες όμως τιμές της γωνίας δ . Η εφαρμογή των συντελεστών αυτών στον υπολογισμό των ενεργητικών και παθητικών ωθήσεων επεξηγείται στο Σχήμα 17.



Σχήμα 16. Γραμμές ολισθήσεως από την ακριβή επίλυση για ελαστοπλαστικό υλικό που υπακούει στον νόμο του Coulomb με $\delta \neq 0$

[Sokolovski, V.V., *Statics of Granular Media*. Butterworth Publishers, London, 1956.

Koetter, F., *Die Bestimmung des Druckes an gekruemmten Gleitflaechen*, Sitzungsber.

Kgl. Preuss. Akad. der Wiss. Berlin, 1903]

Πίνακας 2

Συντελεστές Ενεργητικής και Παθητικής Ωθησης
από την ακριβή επίλυση της θεωρίας πλαστικότητας
(Sokolovski 1956, Koetter 1903)

φ°	10°			20°			30°			40°		
δ°	0	5	10	0	10	20	0	15	30	0	20	40
K_{ax}	0.70	0.66	0.64	0.49	0.44	0.41	0.33	0.29	0.27	0.22	0.19	0.17
Λ_{az}	0.00	0.06	0.11	0.00	0.08	0.15	0.00	0.08	0.15	0.00	0.07	0.14
K_{px}	1.42	1.55	1.63	2.04	2.51	2.86	3.00	4.46	5.67	4.00	9.10	14.00
Λ_{pz}	0.00	0.14	0.29	0.00	0.44	1.04	0.00	1.20	3.27	0.00	3.31	11.7

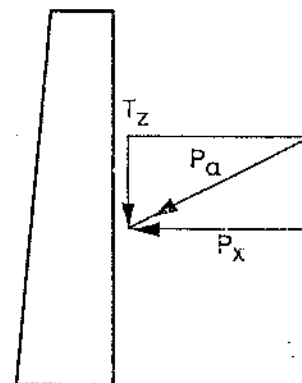
Ενεργητική κατάσταση

$$P_x = 1/2 \gamma H^2 K_{ax}$$

$$T_z = 1/2 \gamma H^2 \Lambda_{az}$$

$$P_a = 1/2 \gamma H^2 \sqrt{K_{ax}^2 + \Lambda_{az}^2}$$

Σχήμα 17

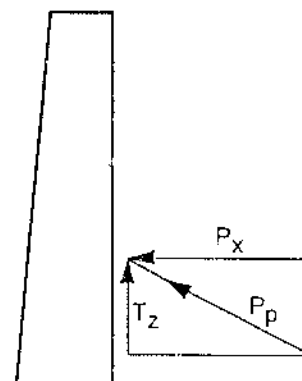


Παθητική κατάσταση

$$P_x = 1/2 \gamma H^2 K_{px}$$

$$T_z = 1/2 \gamma H^2 \Lambda_{pz}$$

$$P_p = 1/2 \gamma H^2 \sqrt{K_{px}^2 + \Lambda_{pz}^2}$$



Η σύγκριση των αποτελεσμάτων της αυστηρής μαθηματικής λύσης με τα αντίστοιχα αποτελέσματα της λύσης Coulomb δείχνει ότι :

1. Για την ενεργητική κατάσταση, η λύση Coulomb δίνει μία πολύ καλή προσέγγιση.
2. Για την παθητική κατάσταση, όμως, η λύση Coulomb αποτελεί σχετικώς καλή προσέγγιση *μόνον* όταν η γωνία τριβής μεταξύ τοίχου και εδάφους είναι μικρότερη από $\varphi / 3$ ($\delta < \varphi / 3$), όπου φ = η γωνία διατμητικής αντοχής του εδαφικού υλικού. Όταν $\delta > \varphi / 3$ η λύση Coulomb οδηγεί σε υπερεκτίμηση της παθητικής ώθησης, πράγμα που μπορεί να οδηγήσει σε ανασφαλή συμπεράσματα στον υπολογισμό της αντίστοιχης κατασκευής. Σ' αυτήν την περίπτωση συνιστάται η χρήση των τιμών του Πίνακα 2.

5.1.9. ΕΛΕΓΧΟΙ ΕΥΣΤΑΘΕΙΑΣ ΤΟΙΧΟΥ ΒΑΡΥΤΗΤΑΣ

Στόχος του υπολογισμού μιας κατασκευής αντιστηρίξεως είναι να εξασφαλίσει (με κατάλληλη διαστασιολόγηση, διαμόρφωση, υποστήριξη, κ.λ.π) την αποφυγή **“οριακών” καταστάσεων “αστοχίας” και “λειτουργίας”**. Στις οριακές καταστάσεις **“αστοχίας”** συγκαταλέγονται :

- η απώλεια στατικής ισορροπίας
- η αστοχία-θραύση του εδάφους
- η αστοχία του δομικού στοιχείου

Στις οριακές καταστάσεις **“λειτουργίας”** συγκαταλέγονται :

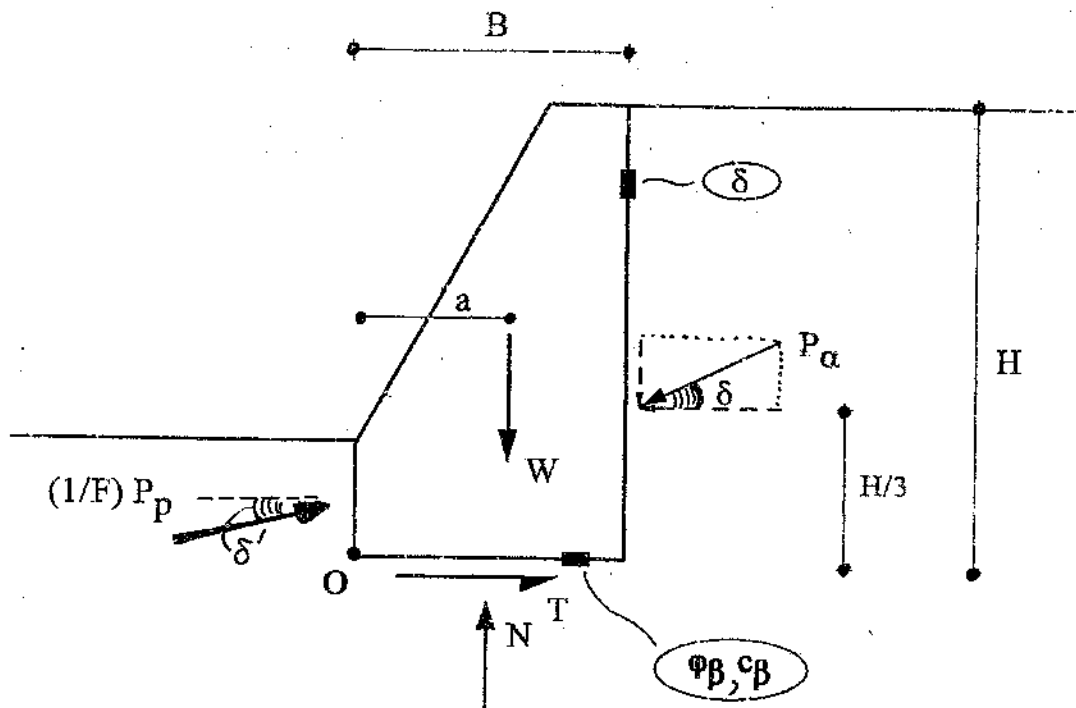
- η μή ανεκτή καθίζηση και περιστροφή του τοίχου
- η μή ανεκτή καθίζηση και οριζόντια μετατόπιση του αντιστηριζομένου εδάφους.

Η πλήρης ανάπτυξη των ανωτέρω οριακών καταστάσεων για διάφορες κατηγορίες αντιστηρίξεως είναι εκτός των στόχων του μαθήματος. Εδώ το

ενδιαφέρον μας περιορίζεται σε δύο θεμελιώδεις ελέγχους ενός τοίχου βαρύτητας για την αποφυγή απώλειας στατικής ισορροπίας :

- έλεγχο έναντι *ολισθήσεως*
- έλεγχο έναντι *ανατροπής*

Οι δύο αυτοί έλεγχοι εξηγούνται με την βοήθεια του Σχήματος 18.



Σχήμα 18 : Βάρος, δράσεις και αντιδράσεις τοίχου βαρύτητας

Έλεγχος ολισθήσεως

- Χωρίς θεώρηση της παθητικής αντίδρασης (P_p) στο πόδι του τοίχου, η ισορροπία θα εξασφαλισθεί χάρη στην διατμητική αντίδραση του υποκείμενου εδάφους στην βάση του τοίχου. Η μέγιστη δυνατή τιμή αυτής της αντίδρασης είναι (νόμος Coulomb) :

$$T = N \tan\varphi_{\beta} + C_{\beta} = (W + P_a \sin\delta) \tan\varphi_{\beta} + c_{\beta} B$$

όπου φ και c_β = οι παράμετροι διατμητικής αντοχής (γωνία τριβής και συνοχή) στην βάση του τοίχου. Ο συντελεστής ασφαλείας έναντι ολισθήσεως υπολογίζεται ως :

$$Y_{ολισθ.} = \frac{(W + P_a \sin \delta) \tan \varphi_\beta + c_\beta \cdot B}{P_a \cos \delta}$$

- Λαμβάνοντας υπόψη ένα κλάσμα μόνον $(1 / F')$ της P_p , έχουμε ως μέγιστη δυνατή αντίδραση :

$$T = C_\beta + N \tan \varphi_\beta = (W + P_a \sin \delta - \frac{P_p}{F'} \sin \delta') \tan \varphi_\beta + c_\beta B$$

Οπότε ο συντελεστής ασφαλείας έναντι ολισθήσεως γίνεται :

$$Y_{ολισθ.} = \frac{(W + P_a \sin \delta - \frac{P_p}{F'} \sin \delta') \tan \varphi_\beta + c_\beta \cdot B}{P_a \cos \delta - \frac{P_p}{F'} \cos \delta'}$$

όπου ο συντελεστής $F' \approx 2$ ή 3 μειώνει την παθητική ώθηση για δύο λόγους: λόγω "συμβιβασμού" των παραμορφώσεων, μεταξύ ενεργητικής και παθητικής πλευράς (επειδή η ενεργητική κατάσταση "επιτυγχάνεται" σε πολύ μικρότερη παραμόρφωση) και επειδή η μακροχρόνια εξασφάλιση του παθητικά δρώντος εδάφους δεν είναι πάντα ευχερής (π.χ., διάβρωση, υδραυλική υποσκαφή, "ατύχημα", ...)

Ελεγχος ανατροπής

Εξετάζεται μόνον η περίπτωση όπου P_p στον πόδα του τοίχου δεν λαμβάνεται υπόψη. Τυχόν ανατροπή θα γίνει με στροφή περί το σημείο Ο δηλαδή το εξωτερικό άκρο της βάσης του τοίχου. Ο συντελεστής ασφαλείας έναντι επικειμένης ανατροπής υπολογίζεται ως :

$$Y_{ανατρ.} = \frac{\text{Ροπή Ευστάθειας}}{\text{Ροπή ανατροπής}}$$

$$= \frac{W a + P_a \sin \delta \cdot B}{P_a \cos \delta \cdot \frac{H}{3}}$$

όπου a = μοχλοβραχίονας του βάρους του τοίχου ως προς το σημείο της επικείμενης περιστροφής. (Εδαφικές αντιδράσεις στην βάση του τοίχου δεν υφίστανται στην κατάσταση αυτή. Να εξηγηθεί γιατί. Επίσης να αναλυθεί η περίπτωση όπου ένα κλάσμα $[1 / F']$ της παθητικής ώθησης λαμβάνεται υπόψη.)

Συνήθως οι συντελεστές ασφαλείας $\gamma_{ολισθ.}$ και $\gamma_{ανατρ.}$ πρέπει να είναι αρκετά μεγαλύτεροι της μονάδας. Το ποιές είναι οι ανεκτές κάθε φορά τιμές θα εξαρτηθεί αφενός μεν απ' την **σπουδαιότητα** της κατασκευής και τις ενδεχόμενες **συνέπειες** "αστοχίας", αφετέρου δε απ' την **αβεβαιότητα** ως προς τις εδαφικές παραμέτρους και, γενικότερα, τον ακριβή μηχανισμό αστοχίας. Ο καθορισμός των ανεκτών τιμών είναι προϊόν συνεργασίας του Μηχανικού με τον Ιδιοκτήτη και τους λοιπούς Παράγοντες του Έργου. Οι σχετικοί "**Κανονισμοί**" μπορεί να αποτελέσουν τον οδηγό για τον καθορισμό αυτόν (Η εφαρμογή των κανονισμών είναι απαραίτητη για μερικές **συνήθεις** κατασκευές). Συνήθεις τιμές είναι $\gamma_{ολισθ.} > 1.3$ και $\gamma_{ανατρ.} > 1.50$.

Όπως ήδη αναφέραμε, οι δύο ανωτέρω έλεγχοι δεν είναι οι μόνοι που απαιτούνται για την εξασφάλιση της αντιστήριξης. Πρόσθετοι έλεγχοι (οι οποίοι όμως δεν αποτελούν αντικείμενο ετούτου του κεφαλαίου, ούτε αφορούν μόνον τους τοίχους βαρύτητας) είναι :

- ο έλεγχος "**φέρουσας ικανότητας**" (οριακού φορτίου) του εδάφους στη βάση του τοίχου υπό την επίδραση των μεταβιβαζομένων φορτίων (N, T, και M) --- βλ. ανάλυση επομένου υποκεφαλαίου
- ο έλεγχος **καθιζήσεων** του τοίχου και του αντιστηριζομένου εδάφους
- ο δομοστατικός έλεγχος των **εσωτερικών δυνάμεων** (ροπών κάμψεως, τεμνουσών δυνάμεων, αξονικών δυνάμεων) στον τοίχο
- ο έλεγχος του όλου συστήματος έναντι του κινδύνου **συνολικής αστάθειας** (τύπου ολισθήσεως πρηνούς)
- ο έλεγχος έναντι **ανυψώσεως** της στάθμης του εδάφους μπρός από τον πόδα του τοίχου, αστοχίας λόγω **υδραυλικής υποσκαφής**, κ.λ.π.

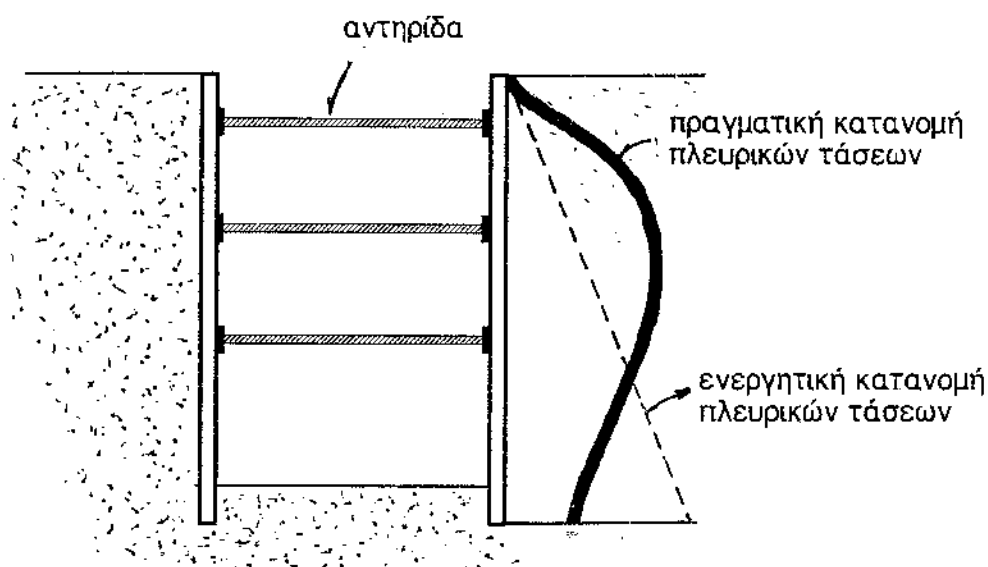
- ο έλεγχος σε **σεισμική** επιπόνηση (συμπεριλαμβανομένης και της εδαφικής αστοχίας υπό την μορφή *σεισμικής ρευστοποίησης*) — θέματα που αντιμετωπίζονται στο μάθημα της **Εδαφοδυναμικής** στο 9^ο εξάμηνο.

Μερικοί από τους ελέγχους αυτούς καλύπτονται ενμέρει στα επόμενα κεφάλαια αυτών εδώ των Σημειώσεων • οι υπόλοιποι αποτελούν αντικείμενο άλλων μαθημάτων — γεωτεχνικών και δομοστατικών.

5.1.10 ΤΟΙΧΟΙ με ΑΝΤΗΡΙΔΕΣ

Σε περιπτώσεις βαθιών εκσκαφών με κατακόρυφα πρανή (π.χ. εκσκαφές κτιρίων, υπογείων σιδηροδρόμων, κλπ) τα δομικά στοιχεία που αντιστηρίζουν το έδαφος ενισχύονται (αντιστηρίζονται) με αντηρίδες, οι οποίες συχνά παίρνουν την μορφή εγκάρσιων διαδοκίδων.

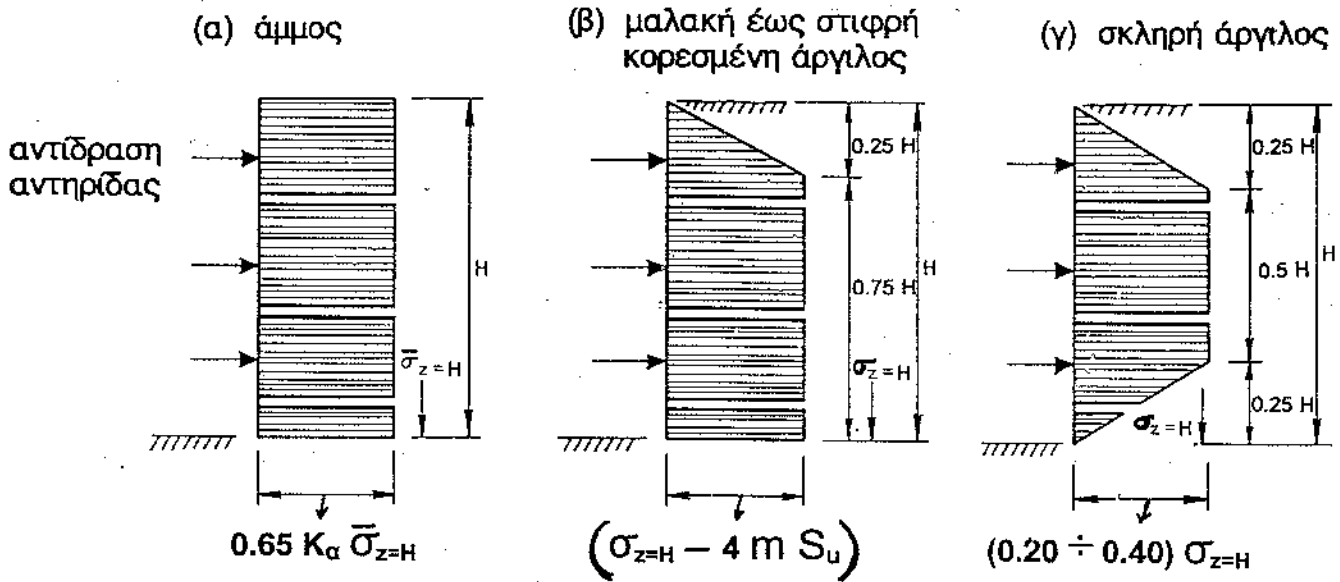
Ενα τέτοιο σύστημα αντιστηριγμένης εκσκαφής απεικονίζεται στο **Σχήμα 19**. Η παρεμβολή των αντηρίδων έχει ως αποτέλεσμα να μην αναπτύσσονται μετακινήσεις των πασσαλοσανίδων ή πασσαλοτοίχων οι οποίες θα οδηγούσαν στην ανάπτυξη ενεργητικών ωθήσεων. Η σειρά τοποθέτησης των αντηρίδων και οι επακόλουθες μετατοπίσεις έχουν σαν αποτέλεσμα η κατανομή των οριζοντίων (πλευρικών) δράσεων να έχει την μορφή του **Σχήματος 19**. Η μείωση των εδαφικών ωθήσεων στο κάτω μέρος του τοίχου οφείλεται στην **“τοξωτή λειτουργία”** του εδάφους. Το πολύ σημαντικό αυτό φαινόμενο εξηγείται συνοπτικά στο άρθρο που δίνεται στο παράρτημα (Γκαζέτας, 1988, *“Η τοξωτή λειτουργία του εδάφους αιτία αστοχίας αντιστηρίξεως”*, Πρακτικά 1^{ου} Πανελληνίου Συνεδρίου Γεωτεχνικής Μηχανικής, Τόμος I, σελ. 201-205).



Σχήμα 19. Αντηριδωτή Αντιστήριξη – πιθανό διάγραμμα οριζοντίων εδαφικών δράσεων

Στην πράξη, η μελέτη τέτοιου είδους συστημάτων αντιστήριξης γίνεται με βάση απλοποιημένα εμπειρικά διαγράμματα πιέσεων όπως αυτά του Σχήματος 20. Πολλοί Κανονισμοί επιβάλλουν τον υπολογισμό με αυτά τα διαγράμματα. Έχει επικρατήσει η ονομασία: διαγράμματα περιβαλουσών ωθήσεων. Στο ίδιο Σχήμα εξηγείται και ο συνήθης πρακτικός τρόπος υπολογισμού του φορτίου των αντηρίδων. Τονίζεται ωστόσο ότι όσο και αν επικρατεί η εντύπωση ότι είναι συντηρητικές, τέτοιου είδους εμπειρικές μέθοδοι ενδέχεται να οδηγήσουν σε εσφαλμένες ανασφαλείς λύσεις, όταν εφαρμόζονται χωρίς πλήρη κατανόηση της μηχανικής του προβλήματος. “Ασυνήθιστες” κατασκευαστικές διαδικασίες ενδέχεται να προκαλέσουν τελείως διαφορετική συμπεριφορά του γεωτεχνικού συστήματος απ’ ό,τι θα αναμένονταν βάσει των “συνήθων” εμπειρικών μεθόδων υπολογισμού.

Ένα ιστορικό περιστατικό τέτοιας αστοχίας αναλύεται στο προαναφερθέν άρθρο του παραρτήματος (Γκαζέτας 1988). Το φιλοσοφικό συμπέρασμα που απορρέει απ’ το άρθρο είναι ότι **η κρίση του Μηχανικού (κι όχι οι Κανονισμοί) πρέπει να παίζουν τον πρώτο ρόλο στον υπολογισμό των έργων.**

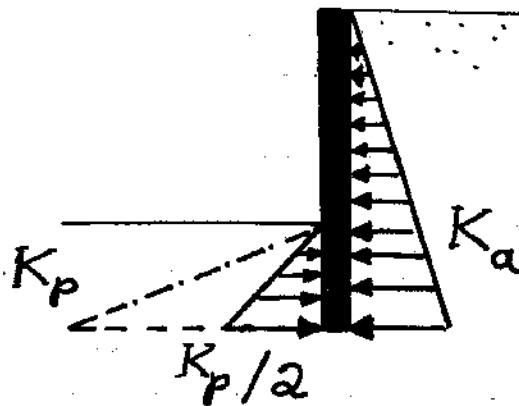


Σχήμα 20. Εμπειρικά διαγράμματα ("περιβάλλουσες") πιέσεων σε αντηριδωτούς τοίχους. $\sigma_{z=H} = \gamma H$ (σε ομοιογενές έδαφος). Το διάγραμμα "β" ισχύει εφόσον $\gamma H / S_u > 6$, το δε "γ" εφόσον $\gamma H / S_u < 4$. Ενδιάμεσα : γραμμική παρεμβολή. Το m μεταβάλλεται από $m = 0.40$ (για πολύ μαλακές και βαθιές αργίλους) έως $m = 1$ (κατά την κρίση του μηχανικού).

ΠΑΡΑΡΤΗΜΑ ΚΕΦΑΛΑΙΟΥ 5.1

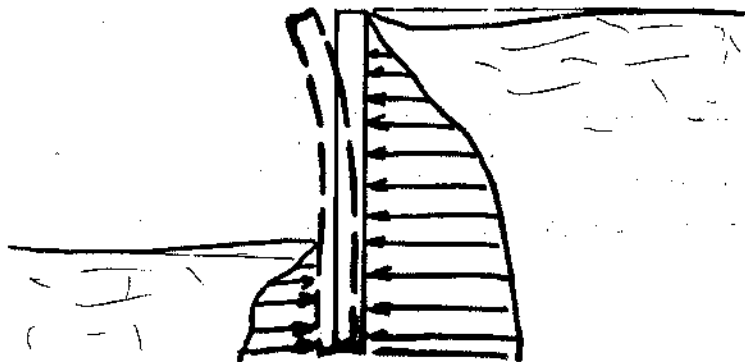
**ΠΡΟΣΠΑΘΕΙΑ ΓΙΑ
ΕΜΒΑΘΥΝΣΗ ΣΤΗΝ ΦΙΛΟΣΟΦΙΑ ΤΟΥ
ΥΠΟΛΟΓΙΣΜΟΥ ΤΟΙΧΩΝ ΑΝΤΙΣΤΗΡΙΞΕΩΣ**

ΣΥΜΒΑΤΙΚΟΣ ΥΠΟΛΟΓΙΣΜΟΣ (Σχεδιασμός για την αποφυγή αστάθειας)

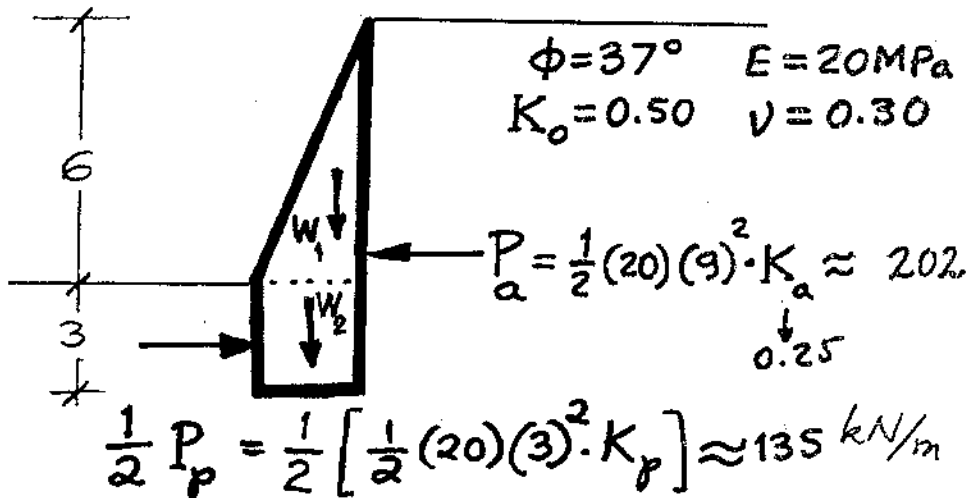


- Έλεγχοι:
- ολίσθηση
 - ανατροπή
 - υπέρβαση της φέρουσας ικανότητας
 - οριζή αστάθεια

ΑΝΑΛΥΣΗ της ΠΡΑΓΜΑΤΙΚΗΣ ΣΥΜΠΕΡΙΦΟΡΑΣ (Εξέλιξη παραμορφώσεων, τάσεων)



Συμβατικός Υπολογισμός :



$$W_1 = \frac{1}{2} (6) (3) (25) = 225 \text{ kN/m}$$

$$W_2 = (3) (3) (25) = 225 \text{ "}$$

ΑΝΑΤΡΟΠΗ:

$$Y_{av.} = \frac{225 \times (1.5 + 2)}{202 \times \frac{9}{3} - 135 \times \frac{3}{3}} = \frac{787}{471} = 1.67$$

ΟΛΙΣΘΗΣΗ:

$$Y_{ολισ.} = \frac{450 \tan 30^\circ}{202 - 135} = \frac{259}{67} \approx 3.9$$

Ανάλυση της Πραγματικής
 Συμπεριφοράς του συστήματος
 τοίχου - εδάφους :

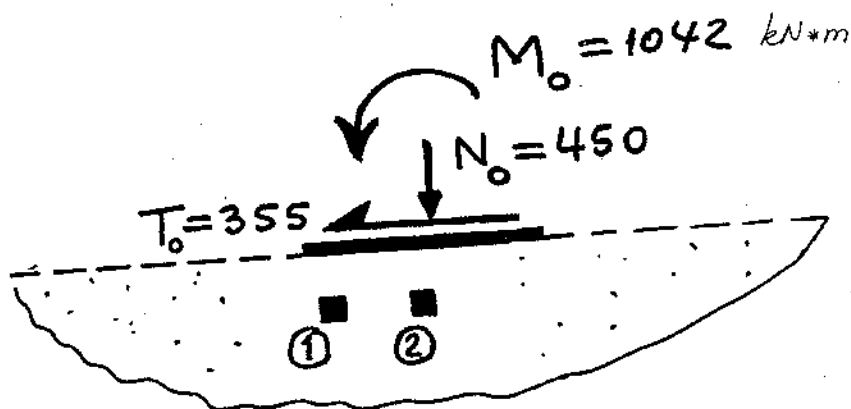
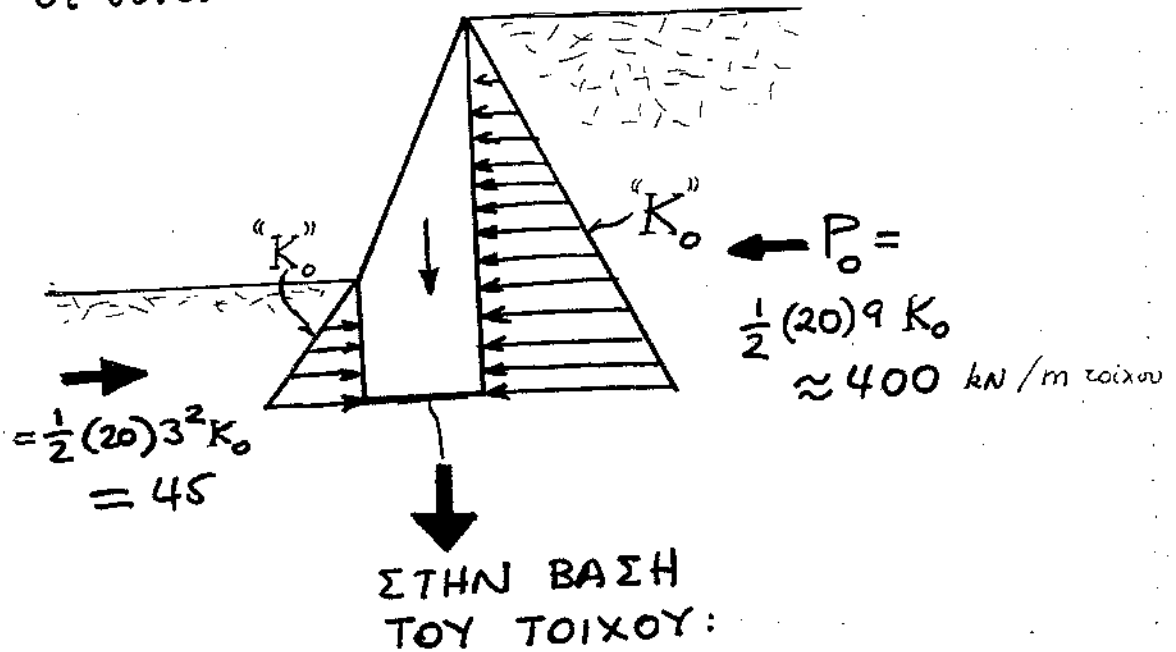
Γιατί χρησιμοποιούμε τάσεις " K_a ";

Γιατί όχι " K_o ";

Απόδειξη διά της Εισ Αόριστων Απαγωγής :

Επίω ου αναλίσσονται οι τάσεις K_0 .

Οι συνέπειες της ανακρυφής τάσεων " K_0 ":



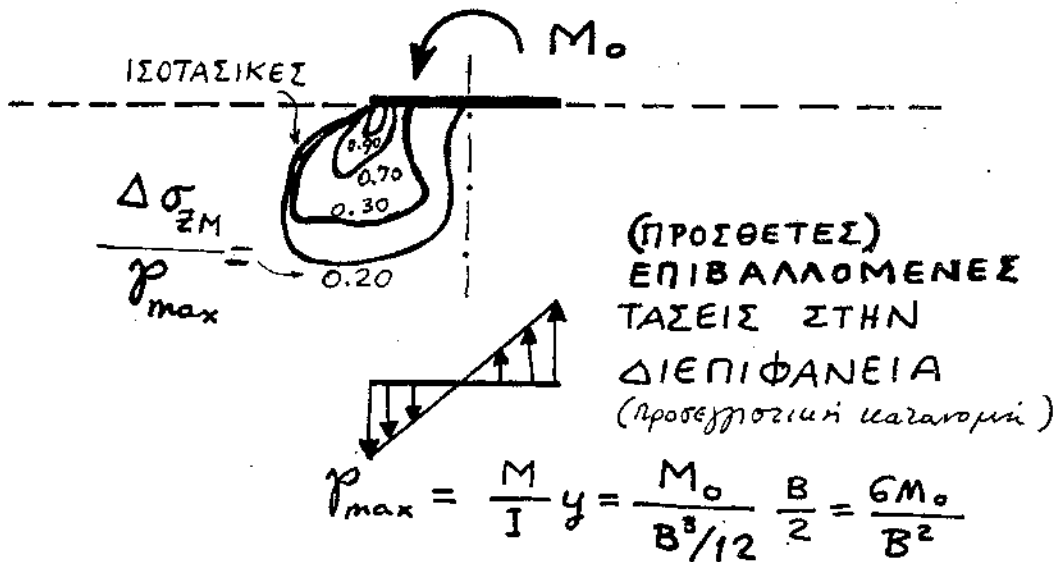
$$M_0 = 400 \times \frac{9}{3} - 45 \times \frac{3}{3} - 225 \times (0.5) = 1042 \text{ kN}\cdot\text{m}$$

Μεταβιβαζόμενες δράσεις όπω διεπιράνεια τιν βάσης: N_0, T_0, M_0 .

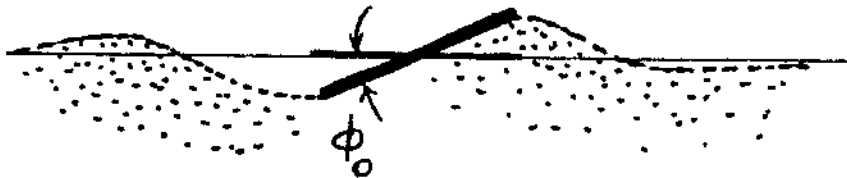
Διερυνούμε τις συνέπειες των M_0 και T_0 (όροφή ϕ λόγω M_0 , μετατόπιση u_0 λόγω T_0):

• ΣΤΡΟΦΗ ΛΟΓΩ M_0

- 259 -



ΜΕΤΑΤΟΠΙΣΕΙΣ ΣΤΗΝ ΕΠΙΦΑΝΕΙΑ (ϕ_0, u_0)



$$\phi_0 = \frac{M_0}{K_r} ; K_r = \frac{\pi G b^2}{2(1-\nu)} \quad (*)$$

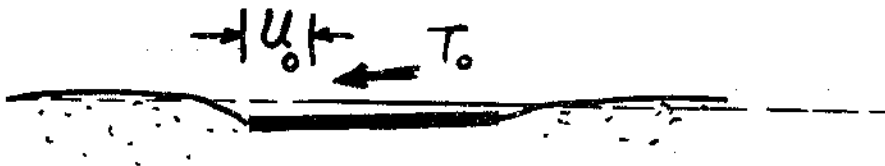
$$G = E/2(1+\nu) = 20000/2.6 \approx 7700 \text{ kPa}$$

$$K_r = \frac{\pi (7700) 1.5^2}{2(1-0.3)} \approx 38860 \text{ kN}\cdot\text{m/rad}$$

$$\phi_0 = 1042 / 38860 \approx 0.03 \text{ rad}$$

(*) βλ. Gazetas G. (1987): "Simple Physical Models for Foundation Impedances", Dynamics of Foundations and Underground Structures, Elsevier, pp. 1-97.

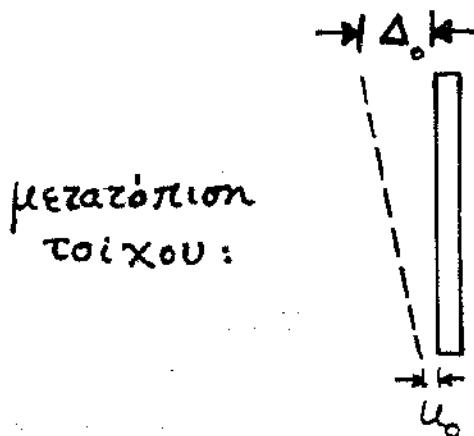
- ΟΡΙΖΟΝΤΙΑ ΕΛΑΣΤΙΚΗ ΜΕΤΑΤΟΠΙΣΗ
ΛΟΓΩ ΤΕΜΝΟΥΣΑΣ T_0 .



$$u_0 = \frac{T_0}{K_x} ; K_x = \frac{2G}{2-\nu} *$$

$$K_x = \frac{2 \times 7700}{2 - 0.30} = 9000 \frac{kN}{m}$$

$$u_0 = \frac{355}{9000} \approx 0.04 \text{ m}$$



$$\begin{aligned} \Delta_0 &= u_0 + \phi_0 H \\ &= 0.04 + 0.03 \times 9 \\ &= 0.31 \text{ m} \end{aligned}$$

μέσω "ενεργός" (ανηγμένη) παραμόρφωση του ανισοτροπισμένου εδάφους:

$$\epsilon \approx \frac{\Delta_0}{H} \approx 0.034 > \epsilon_a \sim 0.005$$

δηλαδή παραμόρφωση εφελκυστική > της απαιτούμενης για ενεργική ώθηση!

* αν' ήνθ θεωρία ελαστικότητας, βλ. Gazetas 1987.

δηλαδή, η αναπτυσσόμενη ελαστική παραμόρφωση ε είναι αρκετά μεγαλύτερη της ε_a που απαιτείται για την μετάβαση στην ενεργητική κατάσταση.

Αρα, οι τάσεις " K_o " θα μειωθούν, και τελικώς η ένταση που επιβάλλεται στον τοίχο θα είναι η ενεργητική " K_a ". Κι' αυτό παρά το γεγονός ότι ο τοίχος απέχει πολύ απ' το να ολισθήσει ($Y_{ολισθ} \cong 3.90$)!

Δικαιολογείται λοιπόν η πρακτική του υπολογισμού με ενεργητικές ωθήσεις. Φυσικά θα υπάρξουν και εξαιρέσεις : π.χ. τοίχος εδραζόμενος επί βράχου, ή έστω επί δυσ-παραμόρφωτου εδάφους • ή τοίχος θεμελιωμένος με πασσάλους, οι οποίοι επιτρέπουν πολύ μικρή στροφή και μετατόπιση στην κεφαλή τους. Σε τέτοιες περιπτώσεις, η κατάσταση " K_o " θα είναι πιο εύλογη και ασφαλής παραδοχή.

5.2

ΑΝΑΛΥΣΗ ΟΡΙΑΚΗΣ ΙΣΟΡΡΟΠΙΑΣ ΠΡΑΝΟΥΣ

5.2 ΑΝΑΛΥΣΗ ΟΡΙΑΚΗΣ ΙΣΟΡΡΟΠΙΑΣ ΠΡΑΝΟΥΣ

5.2.1 ΜΕΘΟΔΟΛΟΓΙΑ

Εισαγωγή

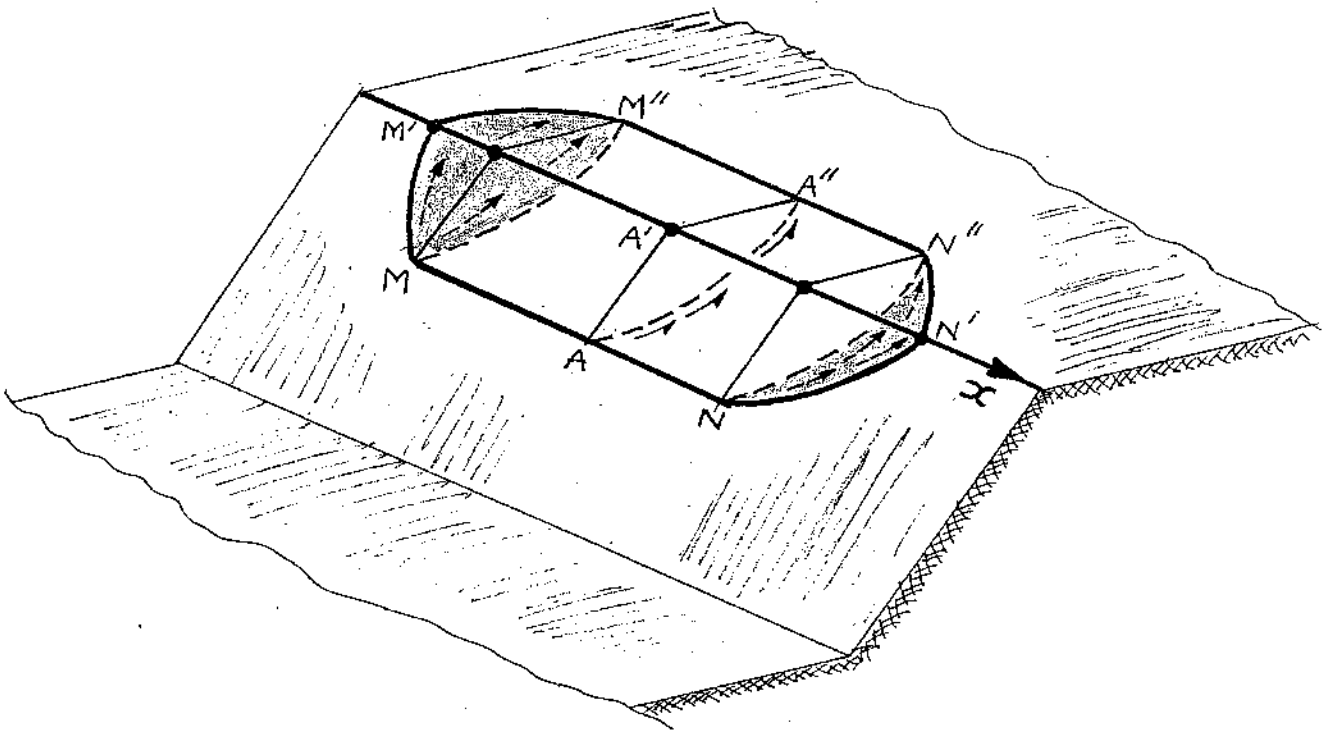
Τα προβλήματα ανάλυσης της ευστάθειας πρानούς αποτελούν εφαρμογή της θεωρίας της οριακής (πλαστικής) ισορροπίας μιάς εδαφικής μάζας. Η οριακή ισορροπία βασίζεται στην απλοποιητική παραδοχή ιδεωδώς-πλαστικής συμπεριφοράς των εδαφικών υλικών που συνιστούν την εδαφική μάζα. Στις ίδιες αρχές βασίζονται και τα προβλήματα προσδιορισμού ωθήσεων γαιών υπό μεγάλη παραμόρφωση και "φέρουσας ικανότητας" (οριακού φορτίου) θεμελίου.

Γενικώς, το πρόβλημα της ευστάθειας πρानών αναλύεται με την εξέταση της ισορροπίας των δυνάμεων εκείνων που τείνουν να προκαλέσουν ολίσθηση του πρानούς (δυνάμεις βαρύτητας, διηθήσεως κ.λ.π) κατά μήκος μιας συγκεκριμένης (και διαφορετικής σε κάθε έλεγχο) επιφάνειας, και εκείνων που ασκούνται κατά μήκος της επιφάνειας αυτής και αντιτίθενται στην ολίσθηση. Οι δυνάμεις αυτές αντιστάσεως είναι συνάρτηση της συνοχής, c_i , και της γωνίας διατμητικής αντοχής, ϕ_i , των διαφόρων εδαφικών στρώσεων, i , απο τις οποίες διέρχεται η (δοκιμαστική) επιφάνεια ολισθήσεως. Η μεθοδολογία αναλύσεως της ευστάθειας πρानούς βρίσκει εφαρμογή: στον έλεγχο φυσικών πρανών έναντι ενδεχομένης κατολισθήσεως, στον έλεγχο πρανών λόγω εκσκαφής, και στον σχεδιασμό της γεωμετρίας τεχνητών επιχωμάτων (κυρίως συνδυασμό ύψους, κλίσης, και υλικών, έτσι ώστε τα επιχώματα αυτά, εδραζόμενα σε έδαφος με γνωστή διαδοχή εδαφικών στρώσεων και γνωστές τις παραμέτρους διατμητικής αντοχής, να εμφανίζουν ικανοποιητική ασφάλεια έναντι κινδύνου διατμητικής αστοχίας).

Κοινά χαρακτηριστικά των εφαρμογών τής οριακής ισορροπίας

Συνήθως η ανάλυση γίνεται με την παραδοχή ότι η φόρτιση επιβάλλεται υπό συνθήκες επίπεδης παραμόρφωσης ($\epsilon_x = 0$) — μία πολύ καλή υπόθεση, εφόσον η διάσταση της ολισθαίνουσας εδαφικής μάζας καθέτως προς το εξεταζόμενο επίπεδο είναι πολύ μεγάλη (θεωρητικώς άπειρη). Από άποψη κυρίων τάσεων τούτο σημαίνει ότι η μέγιστη και η ελάχιστη κύρια τάση, σ_1 και σ_3 , περιέχονται στο εξεταζόμενο επίπεδο, ενώ η ορθή τάση η κάθετη στο επίπεδο αυτό είναι επίσης κύρια, και μάλιστα αυτή είναι η ενδιάμεση κύρια τάση [$\sigma_x = \sigma_2 = \nu (\sigma_y + \sigma_z)$]. Έτσι:

- (α) Στα προβλήματα οριακών οριζοντίων ωθήσεων, η εδαφική δράση υπολογίζεται ανά μέτρο μήκους της αντιστήριξης.
- (β) Η "φέρουσα ικανότητα" (οριακό φορτίο) θεμελίου αναφέρεται σε φόρτιση λωρίδας απείρου μήκους. (Φυσικά, στο πρόβλημα αυτό η λύση επεκτείνεται *καί* για την συνηθέστερη περίπτωση θεμελίου με περιορισμένες και τις δύο διαστάσεις κατόψεως.)
- (γ) Στα προβλήματα ευστάθειας πρανών η ισορροπία εξετάζεται για ένα επίπεδο που βρίσκεται σε αρκετή απόσταση από τα άκρα της κάτοψης της ολισθαίνουσας μάζας (Σχήμα 1) και επομένως οι διατμητικές τάσεις που οφείλονται στην αναπτυσσόμενη τριβή και συνοχή στις ακραίες επιφάνειες ($MM' M''$ και $NN' N''$) αμελούνται — απλοποιητική παραδοχή υπέρ της ασφαλείας ("συντηρητική"). Στην τομή $AA'A''$ θα ισχύουν περίπου συνθήκες επίπεδης παραμόρφωσης. Η ευστάθεια του πρανούς εξετάζεται λοιπόν (συντηρητικά) ανά μέτρο μήκους ολισθαίνουσας μάζας, στην τομή $AA'A''$.



Σχήμα 1. Τρισδιάστατος μηχανισμός αστοχίας πρηνούς και δισδιάστατη προσέγγιση (επίπεδη παραμόρφωση στην $A A' A''$)

Κύριες διαφορές των εφαρμογών της οριακής ισορροπίας

Στα προβλήματα ωθήσεων, με την προϋπόθεση ότι η κατασκευή της αντιστήριξης επιτρέπει την εκδήλωση των απαιτούμενων κάθε φορά μετακινήσεων, η αστοχία της συγκρατούμενης εδαφικής μάζας, είτε σ' όλα τα σημεία της (Rankine), είτε κατά μήκος της κρίσιμης επιφάνειας ολισθήσεως (Coulomb), είναι επιθυμητή. Επιδιώκεται δηλαδή η εκδήλωσή της, εφόσον οι αντίστοιχες μετακινήσεις είναι ανεκτές. Έτσι η συνολική δύναμη που ασκείται από το έδαφος στην αντιστήριξη είναι η ενεργητική ώθηση, P_a (ή ενίοτε και η παθητική P_p). Βέβαια, η ίδια αυτή κατασκευή αντιστηρίξεως σχεδιάζεται με κατάλληλον συντελεστή ασφαλείας γ σε ανατροπή και ολίσθηση, ώστε να καλυφθούν οι πολλαπλές αβεβαιότητες του προβλήματος (δυσχέρειες στην ακριβή εκτίμηση των παραμέτρων c και ϕ , άγνοια ακριβούς μηχανισμού "θραύσεως"...).

Στα προβλήματα "φέρουσας ικανότητας" το οριακό φορτίο, q_{op} , υπολογίζεται από την γεωμετρία της επιφάνειας φορτίσεως, το βάθος θεμελιώσεως και τα εδαφικά χαρακτηριστικά (γ , c , φ). Εν συνεχεία, για ν' αποτραπεί "πάση θυσία" η εκδήλωση παρόμοιας με τα προβλήματα ωθήσεως αστοχίας (που θα ήταν καταστροφική), επιδιώκεται ώστε η τάση που επιβάλλεται απ' το θεμέλιο στο έδαφος να μην ξεπερνάει την τιμή q_{op} / Y , όπου Y ένας αρκετά μεγάλος (εδώ) συντελεστής ασφαλείας (συνήθως $Y = 3$).

Στα προβλήματα ευστάθειας πρανών η οριακή ισορροπία (σε πιθανή δοκιμαστική επιφάνεια ολισθήσεως) αναλύεται την στιγμή που αρχίζει η ολίσθηση. Τότε έχει πλήρως "κινητοποιηθεί" ολόκληρη η διατμητική αντοχή στην επιφάνεια ολισθήσεως. Επομένως, η μέση επιβαλλόμενη διατμητική τάση στην επιφάνεια αυτή είναι ίση με την διατμητική αντοχή,

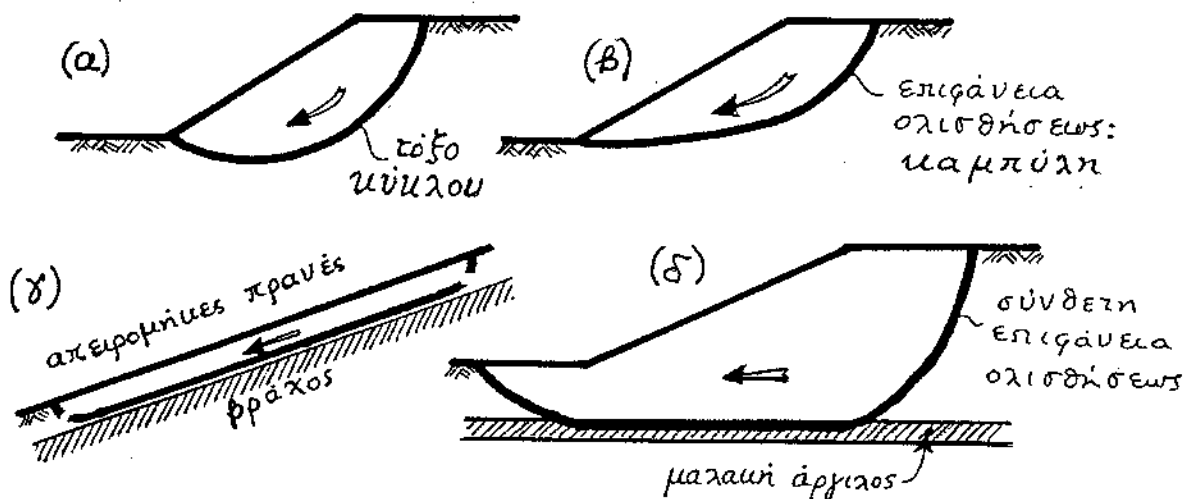
$$\tau_{\alpha\alpha} = c + \bar{\sigma} \tan\varphi.$$

Στη φάση "λειτουργίας" δεν επιτρέπεται φυσικά να αστοχήσει η εδαφική μάζα. Θα πρέπει λοιπόν οι διατμητικές τάσεις να εξισορροπούνται από ένα ποσοστό $\tau_{\alpha\alpha} / Y$ της συνολικής διατμητικής αντοχής. Έτσι, ο συντελεστής ασφαλείας, Y , υπεισέρχεται εδώ στην ίδια την εξίσωση ισορροπίας (που μπορεί κάλλιστα να είναι εξίσωση τάσεων, δυνάμεων, ή ροπών). Συνήθως δέ ο συντελεστής ασφαλείας αποτελεί τον προσδιοριστέο άγνωστο. Αναζητείται κατόπιν εκείνη η επιφάνεια ολισθήσεως στην οποία αντιστοιχεί ο ελάχιστος συντελεστής ασφαλείας.

Τυπικές μορφές μηχανισμών αστοχίας (επιφανειών ολισθήσεως)

Στο Σχήμα 2 εμφανίζονται μερικές απ' τις κυριότερες μορφές επιφανειών ολισθήσεως (εξιδανικευμένες, φυσικά). Στις περιστροφικές αστοχίες [Σχ. 2(α), 2(β)], η επιφάνεια ολισθήσεως είναι τόξο κύκλου ή γενικότερα τυχούσα καμπύλη. Στην περίπτωση κυκλικής επιφάνειας, ανάλογα με την θέση του σημείου τομής του κύκλου με το πρανός, διακρίνονται κύκλοι "πρανούς", κύκλοι "ποδός" και κύκλοι "βάσεως".

Οι κυκλικές επιφάνειες ολισθήσεως είναι (κατά προσέγγιση φυσικά) ο κύριος τρόπος αστοχίας σε ομοιογενείς αργλικές μάζες. Γιό "ευθύγραμμες" είναι οι επιφάνειες ολισθήσεως που αναπτύσσονται συνήθως σε αμμώδη πρανή [Σχ. 2(γ)], αλλά και στην ενδιαφέρουσα περίπτωση όπου εμφανίζεται μια αρκετά πυκνή ή μια αρκετά χαλαρή/μαλακή στρώση σε μικρό σχετικώς βάθος. Για την τελευταία αυτή περίπτωση, η ανάλυση μπορεί να γίνει με διάφορες μεθόδους, ανάλογα με την όλη γεωμετρία. Παράδειγμα: είναι συχνά εύλογη η παραδοχή ότι η επιφάνεια ολισθήσεως είναι επίπεδο παράλληλο στο κεκλιμένο φυσικό έδαφος, οπότε η ισορροπία εξετάζεται μακριά από τα (καθύψος) άκρα της επιφάνειας ολισθήσεως ("απειρομήκες" πρανές). Η μπορεί τότε να προσφέρεται η εξέταση σύνθετης επιφάνειας ολισθήσεως [Σχ. 2(δ)], η οποία αναλύεται σε επίπεδες και καμπύλες επιφάνειες.

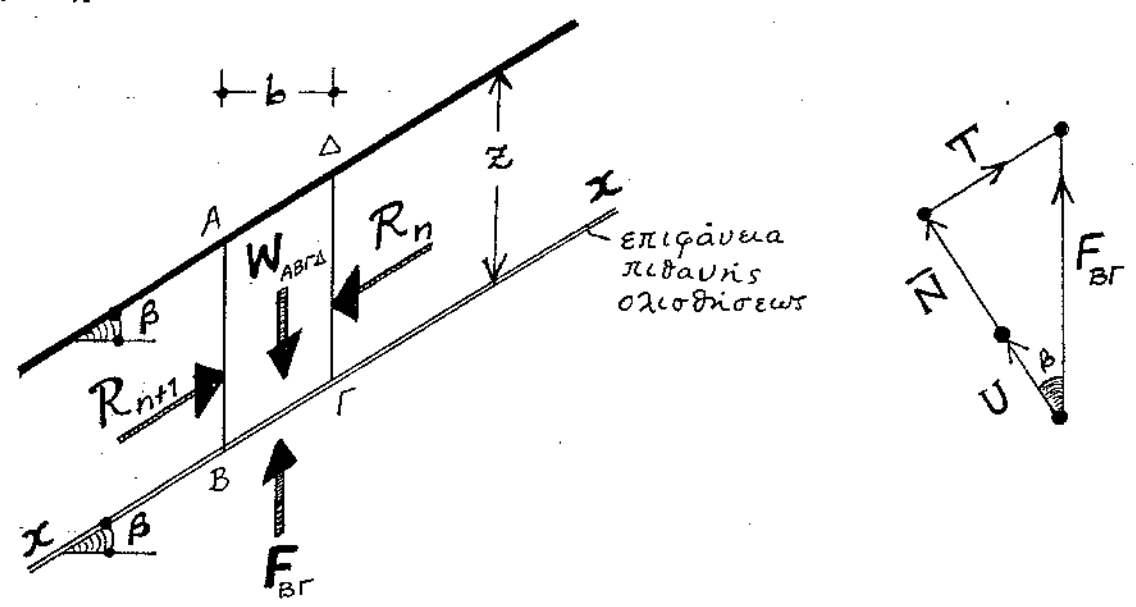


Σχήμα 2. Περιστροφικοί (άνω) και μεταφορικοί (κάτω) μηχανισμοί αστοχίας

5.2.2 ΕΠΙΠΕΔΗ ΕΠΙΦΑΝΕΙΑ ΟΛΙΣΘΗΣΕΩΣ

Απειρομήκες Πρανές

Αναλύεται η ισορροπία εδαφικού απειρομήκους πρανούς, γωνίας β ως προς την οριζοντία, οι ιδιότητες των υλικών του οποίου είναι (ιδεωδώς) αμετάβλητες κατά τον άξονα x (δηλαδή κατά μήκος του πρανούς). Αποδεικνύεται εύκολα ότι η μόνη πιθανή επιφάνεια ολισθήσεως είναι επίπεδο παράλληλο προς την εδαφική επιφάνεια [σε προδιοριστέο βάθος z από αυτήν (Σχήμα 3)].



Σχήμα 3. Το απειρομήκες πρανές — ανάλυση ισορροπίας

Από την όλη γεωμετρία του πρανούς και τού τυχόντος στοιχείου ABΓΔ προκύπτει ότι οι δυνάμεις R_n και R_{n+1} , ασκούμενες στις επιφάνειες AB και ΓΔ αντιστοίχως, είναι ίσες κατά μέγεθος, συγγραμμικές, και δρουν επί ευθείας παράλληλης προς την επιφάνεια • άρα αλληλο-εξουδετερώνονται. (Οι διατομές AB και ΓΔ είναι εντελώς ισοδύναμες, άρα το σημείο εφαρμογής των R_n και R_{n+1} είναι στο ίδιο βάθος. Εξάλλου, οι δύο αυτές δυνάμεις είναι παράλληλες προς την επιφάνεια διότι στην αντίθετη περίπτωση θα αναπτυσσόταν ροπή η οποία θα έτεινε να περιστρέψει το στοιχείο ABΓΔ --- πράγμα ασυμβίβαστο με την "ομοιομορφία" ως προς x).

Γίνεται αμέσως αντιληπτό ότι η κατακόρυφη ισορροπία του πρίσματος ΑΒΓΔ δίνει την συνισταμένη (κατακόρυφη) δράση F_{BG} στην επιφάνεια ολισθήσεως

$$F_{BG} = W_{ABΓΔ} \quad (1)$$

όπου το βάρος του πρίσματος είναι :

$$W_{ABΓΔ} = \gamma b z = \gamma L z \cos \beta \quad (1a)$$

Προβάλλοντας τώρα καθέτως προς την επιφάνεια x-x και αναλύοντας την ολική ορθή εδαφική δράση $F_{BG} \cos \beta$ σε ενεργό ορθή δύναμη \bar{N} και υδατική δύναμη U , προκύπτει :

$$\bar{N} + U = W_{ABΓΔ} \cos \beta \quad (2)$$

απ' την οποία υπολογίζουμε την

$$\bar{N} = L (\gamma z \cos^2 \beta - u) \quad (3)$$

όπου $u = U / L$ είναι η επικρατούσα στην βάση του στοιχείου υδατική πίεση, και $L =$ το μήκος της βάσης του εξεταζομένου τμήματος. Αντιστοίχως, απ' την ισορροπία παράλληλα προς το επίπεδο x-x προκύπτει :

$$W_{ABΓΔ} \sin \beta = \frac{\tau_{\alpha\alpha} L}{\gamma} = \frac{c L + \bar{N} \tan \varphi}{\gamma} \quad (4)$$

όπου η διατμητική αντίσταση του εδάφους λαμβάνεται ως ένα κλάσμα $(1 / \gamma)$ της μέγιστης δυνατής εδαφικής αντίστασης, δηλαδή της διατμητικής αντοχής $\tau_{\alpha\alpha}$. (Το γ είναι ο συντελεστής ασφαλείας έναντι επικείμενης ολισθήσεως.) Συνδυάζοντας τις (3) και (4) υπολογίζεται ο συντελεστής ασφαλείας :

$$\gamma = \frac{c + (\gamma z \cos^2 \beta - u) \tan \varphi}{\gamma z \sin \beta \cos \beta} \quad (5)$$

Στην ειδική (θεμελιώδη) περίπτωση εδαφικού υλικού χωρίς συνοχή ($c = 0$), και πρηνούς χωρίς υδατικές πιέσεις, η σχέση (5) απλοποιείται στην :

$$Y = \frac{\tan \varphi}{\tan \beta} \quad (6)$$

Είναι προφανές ότι ένα τέτοιο πρανές αστοχεί (δηλαδή το Y γίνεται ίσο με την μονάδα), όταν η γωνία κλίση του, β , εξισωθεί με την γωνία διατμητικής αντίστασης, φ . Μάλιστα δε, η αστοχία για ένα ομοιογενές απειρομήκες πρανές συμβαίνει σε όλα τα επίπεδα τα παράλληλα προς το φυσικό έδαφος! Τούτο προκύπτει απ' το γεγονός ότι το βάθος z του στοιχείου που εξετάσαμε δέν υπεισέρχεται στην Σχέση (6) ! (Θυμηθείτε κάτι εντελώς ανάλογο στις οριακές καταστάσεις Rankine.) Επομένως, είναι αδύνατον να σταθεί ένα τέτοιο (απειρομήκες δηλαδή) "πρανές" με γωνία κλίσης β μεγαλύτερη από την γωνία διατμητικής αντοχής φ του εδαφικού υλικού.

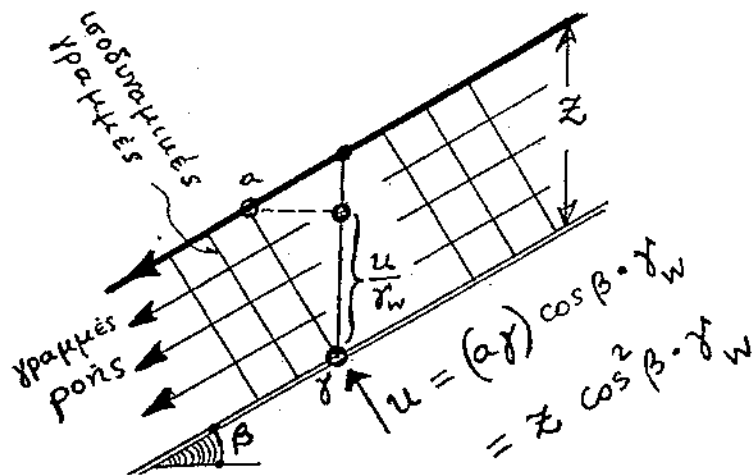
Εάν σε πρανές εδάφους χωρίς συνοχή υφίσταται υδατική ροή με ελεύθερη φρεατική επιφάνεια η οποία συμπίπτει με την εδαφική επιφάνεια (Σχ. 4), αποδεικνύεται (στην θεωρία της υδατικής ροής διαμέσου του εδάφους) ότι σε οποιοδήποτε σημείο της επιφάνειας $x-x$ η πίεση πόρων, u , δίνεται απ' τη σχέση

$$u = \gamma_w z \cos^2 \beta \quad (7)$$

οπότε η σχέση (6) απλοποιείται ως :

$$Y = \frac{\bar{\gamma}}{\gamma} \frac{\tan \varphi}{\tan \beta} \approx \frac{1}{2} \frac{\tan \varphi}{\tan \beta}$$

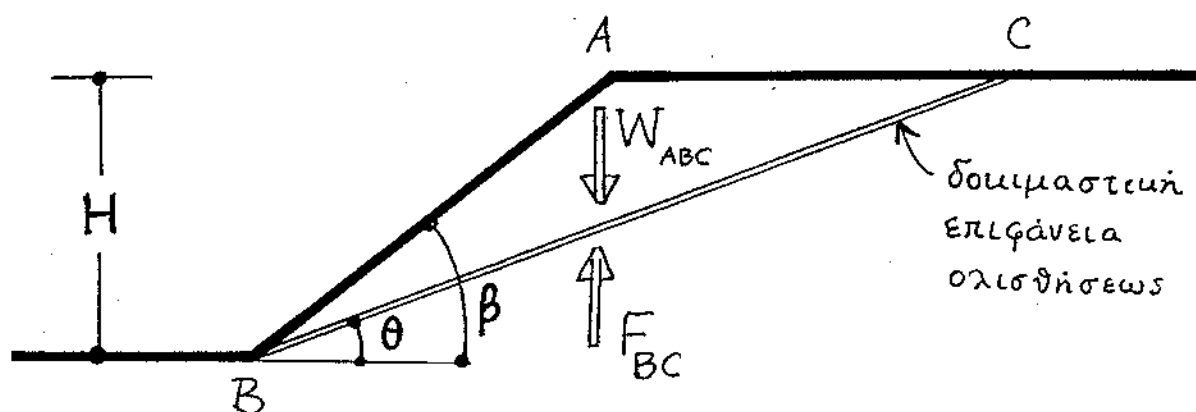
όπου γ_w το ειδικό βάρος του νερού ($\gamma_w = 10 \text{ kN/m}^3$), γ το ειδικό βάρος του εδάφους (υπό συνθήκες κορεσμού) και $\bar{\gamma}$ το ενεργό (υπό άνωσιν) ειδικό βάρος: $\bar{\gamma} = \gamma - \gamma_w$.



Σχήμα 4. Δίκτυο ροής και υδατικές πιέσεις σε απειρομήκες πρανές

Στην γενική περίπτωση (μή απειρομήκης πρηνές) ο μηχανισμός αστοχίας δεν θα είναι φυσικά επίπεδη επιφάνεια παράλληλη προς την επιφάνεια του πρηνούς. Η αναζήτηση λοιπόν του (κρίσιμου) μηχανισμού αστοχίας, δηλαδή της επιφάνειας ολισθήσεως με τον μικρότερο συντελεστή ασφαλείας, αποτελεί θεμελιώδες μέρος της ανάλυσης.

Επίπεδες επιφάνειες ολισθήσεως, της μορφής του Σχήματος 5, είναι πιθανές σε περιπτώσεις υπάρξεως επιπέδων μειωμένης αντοχής στην εδαφική μάζα (π.χ., σε φράγμα με αργιλικόν πυρήνα, ο οποίος είναι μειωμένης αντοχής σε σχέση με τα κελύφη, κρίσιμος μηχανισμός μπορεί να είναι επίπεδη επιφάνεια ολισθήσεως διερχόμενη από τον πυρήνα αυτόν), ή επιπέδων ασυνεχείας όπως συμβαίνει συνήθως σε βραχώδη πρηνή. Ο επίπεδος αυτός μηχανισμός αστοχίας είναι σχετικά απλός στην ανάλυση, η οποία αναπτύσσεται εδώ και για λόγους διδακτικούς. Φυσικά, σε ομοιογενή εδάφη, μιά καταλληλότερη μορφή επιφανείας ολισθήσεως είναι η κυκλική.



Σχήμα 5. Ανάλυση ευθύγραμμης δοκιμαστικής επιφάνειας ολισθήσεως

Στην περίπτωση κατακορύφου αργιλικού πρηνούς χωρίς υδατικές πιέσεις, η παραδοχή επίπεδης επιφάνειας ολισθήσεως οδηγεί σε (προσεγγιστική) σχέση για το μέγιστο ("κρίσιμο") ύψος, H_{cr} , του πρηνούς. Όπως φαίνεται στο Σχήμα 5 το πρίσμα ABC ισορροπεί υπό την επίδραση τού βάρους του W_{ABC} , και της συνισταμένης εδαφικής δράσης F_{BC} . Επομένως :

$$F_{BC} = W_{ABC} = 1/2 \gamma (H / \sin\beta) (H / \sin\theta) \sin(\beta - \theta) \quad (8)$$

Η δράση F_{BC} αναλύεται σε ορθή δύναμη $N_{BC} = W_{ABC} \cos\theta$, και διατμητική $T_{BC} = W_{ABC} \sin\theta$. Με την σειρά της η διατμητική δύναμη αναλύεται σε (επιβαλλόμενη) δύναμη "συνοχής", $C_{\text{επιβ.}} = c_{\text{επιβ.}} L$, και (επιβαλλόμενη) δύναμη "τριβής", $F_{\text{επιβ.}} = f_{\text{επιβ.}} L$. Εφόσον δεν επίκειται ολίσθηση στην εξεταζόμενη επιφάνεια, οι δυνάμεις αυτές είναι κλάσματα $(1 / \gamma)$ των αντίστοιχων δυνάμεων *συνοχής* και *τριβής* του εδαφικού υλικού :

$$c_{\text{επιβ.}} = c / \gamma \quad (9\alpha)$$

$$f_{\text{επιβ.}} = \sigma \tan \phi_{\text{επιβ.}} = \sigma \tan \phi / \gamma \quad (9\beta)$$

όπου $\gamma = \sigma$ ο συντελεστής ασφαλείας έναντι ολίσθησεως στην συγκεκριμένη (δοκιμαστική) επιφάνεια ολίσθησεως.

Η ανάλυση λοιπόν των διατμητικών δυνάμεων στο επίπεδο BC δίνει :

$$W_{ABC} \sin\theta = c L / \gamma + W_{ABC} \cos\theta \cdot \tan\phi / \gamma \quad (10)$$

απ' την οποία αμέσως προκύπτει :

$$\gamma = \gamma(\theta) = \frac{c}{\gamma H} \frac{2 \sin\beta}{\sin(\beta - \theta) \sin\theta} + \frac{\tan\phi}{\tan\theta} \quad (11)$$

Το (κρίσιμο) επίπεδο ολίσθησεως είναι αυτό που οδηγεί στον ελάχιστο συντελεστή ασφαλείας. Η γωνία κλίσης του επιπέδου αυτού, $\theta = \theta_{cr}$, βρίσκεται απ' την επίλυση της εξίσωσης μηδενισμού της παραγώγου :

$$\frac{\partial Y(\theta)}{\partial \theta} = 0 \quad (12)$$

Ο πραγματικός (για επίπεδες επιφάνειες ολισθήσεως μόνον) συντελεστής ασφαλείας προκύπτει απ' την Σχ. (11) με την αντικατάσταση της $\theta = \theta_{cr}$, απ' την επίλυση της Εξ. (12).

Ενδιαφέρον παρουσιάζει η περίπτωση κατακορύφου πρανού ($\beta = 90^\circ$) από κορεσμένο αργιλικό έδαφος υπό αστράγγιστες συνθήκες (οπότε " $\varphi = 0$ ", $c = S_u$: αστράγγιστη διατμητική αντοχή). Η γωνία κλίσεως του επιπέδου αστοχίας βρίσκεται απ' την επίλυση της :

$$\frac{\partial}{\partial \theta} [\sin(90 - \theta) \sin\theta] = 0 \quad (12a)$$

απ' την οποία προκύπτει $\theta = \theta_{cr} = 45^\circ$ και με αντικατάσταση στην Σχέση (11) :

$$(S_u / \gamma \gamma H)_{max} = 1 / 4 \quad (13)$$

Το "κρίσιμο" ύψος του κατακορύφου αυτού πρανού προκύπτει για $Y = 1$:

$$H_{cr} = 4 S_u / \gamma \quad (13a)$$

Επίλυση με ακριβέστερον μηχανισμό δίνει τιμή ελάχιστα διαφορετική από την ανωτέρω (3.85 περίπου αντί του 4).

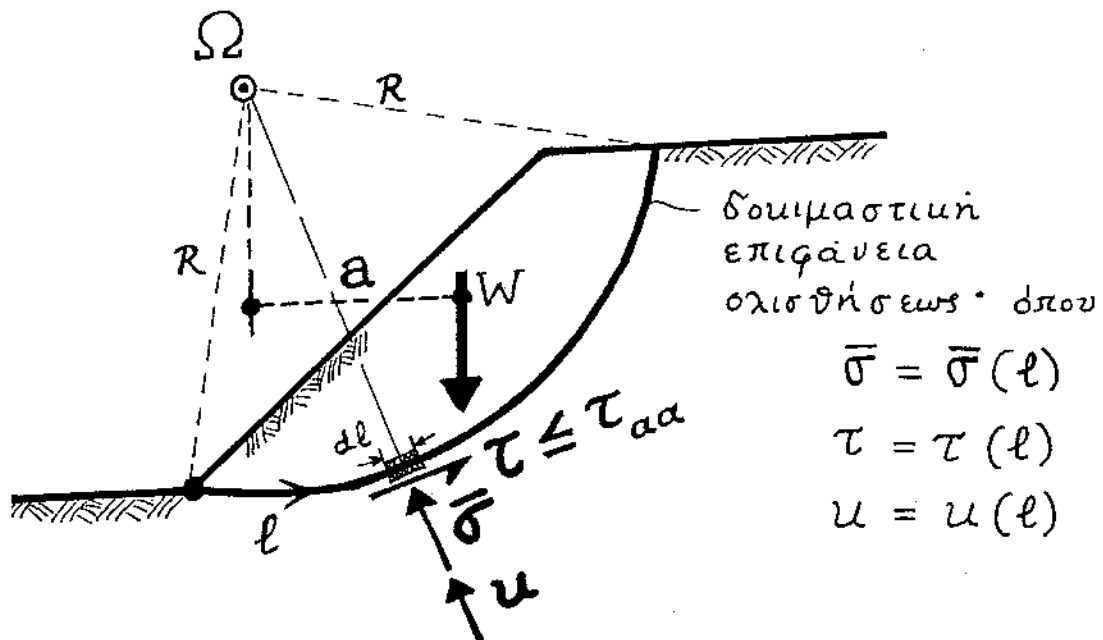
Τονίζεται ότι οι επίπεδοι μηχανισμοί αστοχίας στην γενική περίπτωση ($\theta \neq 45^\circ$) δεν είναι απόλυτα ορθοί, επειδή παραβιάζουν την συνοριακή συνθήκη $\tau = 0$ στην ελεύθερη οριζόντια επιφάνεια ! (Να αποδειχθεί ..) Εξαίρεση βεβαίως αποτελεί η προαναφερομένη περίπτωση " $\varphi = 0$ " καί γωνία $\theta_{cr} = 45^\circ$.

5.2.3 ΑΝΑΛΥΣΗ ΜΕ ΚΥΚΛΙΚΗ ΕΠΙΦΑΝΕΙΑ ΟΛΙΣΘΗΣΕΩΣ

- 274 -

Γενική Θεώρηση

Κυκλική επιφάνεια αστοχίας σημαίνει περιστροφική ολίσθηση της υπερκείμενης εδαφικής μάζας περί το κέντρο (Ω) του κύκλου (Σχ. 6). Δημιουργός αυτής της (πιθανής) περιστροφής είναι η ροπή ($W a$) του βάρους (W) της εδαφικής μάζας (καί του όποιου πρόσθετου εξωτερικού φορτίου της) ως προς το Ω . Αντίσταση προσφέρει μόνον το υποκείμενο (αμετακίνητο) έδαφος, υπό την μορφή διατμητικών δράσεων (τ) στην επιφάνεια ολίσθησεως. Προφανώς, οι ροπές των ορθών δράσεων (σ και u) στην επιφάνεια αυτή είναι μηδενικές, αφού οι αντίστοιχες δυνάμεις διέρχονται από το Ω .



Σχήμα 6. Ανάλυση δοκιμαστικής κυκλικής επιφάνειας ολίσθησεως

Την στιγμή μιάς επικείμενης αστοχίας, οι διατμητικές δράσεις φθάνουν στη μέγιστη δυνατή τιμή τους — την *διατμητική αντοχή* (τ_{aa}) η οποία κατά Coulomb, σε κάθε εδαφικό στοιχείο καταμήκος του τόξου ολίσθησεως, είναι :

$$\tau_{aa} = \bar{\sigma} \tan \phi + c \quad (14)$$

όπου $\bar{\sigma}$ = η ορθή ενεργός τάση :

$$\bar{\sigma} = \sigma - u \quad (14a)$$

σ = η ολική ορθή τάση, και u = η υδατική πίεση στους πόρους, στην κάθε θέση καταμήκος της επιφάνειας (τόξου) ολισθήσεως.

Ορίζουμε ως συντελεστή ασφαλείας Y έναντι περιστροφής, τον λόγο της συνισταμένης μέγιστης δυνατής ροπής αντιστάσεως ($M_{αντ.}$), προς την συνισταμένη ροπή "ανατροπής" ($M_{ανατρ.}$):

$$Y = M_{αντ.} / M_{ανατρ.} \quad (15)$$

όπου :

$$M_{ανατρ.} = W a \quad (16)$$

και

$$\begin{aligned} M_{αντ.} &= R \int_A^B \tau_{αα} d\ell \\ &= R \int_A^B (\bar{\sigma} \tan\varphi + c) d\ell \end{aligned} \quad (17)$$

όπου : πάντοτε μεν είναι $\bar{\sigma} = \bar{\sigma}(\ell)$, εν γένει δε είναι καί: $c = c(\ell)$, $\varphi = \varphi(\ell)$ (ανομοιογενές εδαφικό υλικό). Εάν ωστόσο το πρηνές αποτελείται από μονόστρωτον και ομοιογενή έδαφικό σχηματισμό :

$$c = \text{σταθερό} \quad \text{και} \quad \varphi = \text{σταθερό}$$

Η εξάρτηση όμως από την θέση (ℓ) των ορθών τάσεων, $\bar{\sigma} = \bar{\sigma}(\ell)$, παραμένει. Για τον υπολογισμό λοιπόν της $M_{αντ.}$ προαπαιτείται ο υπολογισμός της κατανομής των ορθών ενεργών τάσεων καταμήκος του τόξου ολισθήσεως — υπολογισμός που μόνον με δραστικά—απλοποιητικές παραδοχές είναι ευχερής.

**Ανάλυση Ευστάθειας υπό Αστράγγιστες συνθήκες
(με όρους ολικών τάσεων)**

Η περίπτωση αυτή είναι όχι μόνον άκρως ενδιαφέρουσα (μιά που αναφέρεται σε κορεσμένες αργίλους, οι οποίες είναι το κατ' εξοχήν προβληματικό ως προς την ευστάθεια εδαφικό υλικό), αλλά και υπολογιστικώς (τουλάχιστον) η απλούστερη. Πράγματι, συναρτήσει των ολικών μεταβολών των τάσεων, $\Delta\sigma$, οι κορεσμένες άργιλοι "φαίνονται" να συμπεριφέρονται ως ένα υλικό με

$$\varphi = 0 \quad \text{και} \quad c = S_u \quad (18)$$

(βλέπε το υποκεφάλαιο 3.5 ετούτων των Σημειώσεων). Μ' αυτές τις φαινόμενες παραμέτρους αντοχής η Σχέση (14) γίνεται :

$$\tau_{\alpha\alpha} = S_u \quad (14a)$$

κι επομένως η Σχέση (17) απλοποιείται ως :

$$M_{\alpha\alpha\tau} = R \int_A^B S_u(\ell) d\ell \quad (17a)$$

Εάν η άργιλος του πρανούς είναι ομοιογενής, $S_u = \text{σταθερό}$, και η Σχέση (17a) απλοποιείται ακόμη περισσότερο :

$$M_{\alpha\alpha\tau} = R S_u (AB) \quad (17\beta)$$

όπου (AB) το μήκος του τόξου AB.

Ο προσδιορισμός λοιπόν του συντελεστή ασφαλείας έναντι περιστροφής περί το Ω του δοκιμαστικού πρίσματος ολισθήσεως ABΓ είναι υπολογιστικώς ευχερής. Απαιτείται όμως επανάληψη της ανάλυσης με άλλες (με όλες τις δυνατές) επιφάνειες ολισθήσεως. Ο συντελεστής ασφαλείας έναντι

διατμητικής αστοχίας του πρανούς είναι ο ελάχιστος των δοκιμαστικών συντελεστών ασφαλείας, όλων των δυνατών μηχανισμών (επιφανειών) ολισθήσεως.

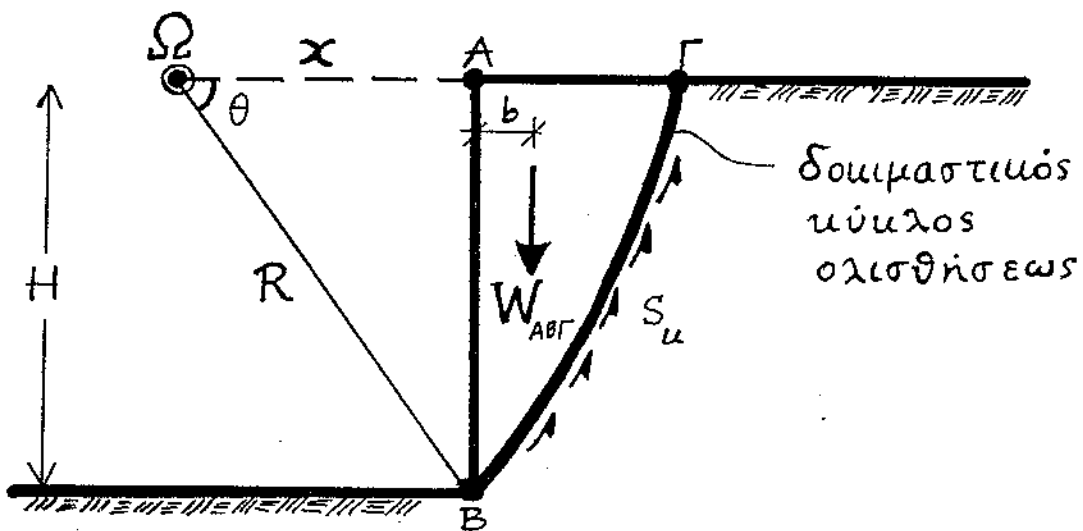
Εφαρμογή :

Για ένα κατακόρυφο ομοιογενές πρανές (γ, S_u), η θεώρηση επίπεδων επιφανειών ολισθήσεως οδήγησε στο προηγούμενο υποκεφάλαιο στην Σχέση (12α): $H_{cr} = 4 S_u / \gamma$. Εδώ τώρα εξετάζουμε [Σχήμα (7)] μία μόνον δοκιμαστική (αλλά αρκετά πιθανή) κυκλική επιφάνεια ολισθήσεως, κέντρου Ω και ακτίνας

$$R = (\Omega B) = (H^2 + x^2)^{1/2}$$

απ' όπου με $x = (3 / 4) H$ προκύπτει $R = (5 / 4) H$. Η γωνία θ του τόξου ΒΓ είναι :

$$\theta = \tan^{-1} (H / x) \approx 53.1^\circ \approx 0.93 \text{ rad}$$



Σχήμα 7. Εφαρμογή: παράδειγμα αναλύσεως κυκλικής επιφάνειας αστοχίας υπό αστράγγιστες συνθήκες

Οι ροπές αντιστάσεως και ανατροπής υπολογίζονται από τις Σχέσεις (16) και (17):

$$M_{\text{ανατρ.}} = W_{\text{AB}\Gamma} (b + x) = W_{\text{ΩB}\Gamma} y - W_{\text{ΩAB}} (2/3) x \quad (18)$$

όπου b = η οριζόντια απόσταση του κεντροβαρικού άξονα του ABΓ από την κατακόρυφη παρειά AB, και y = η οριζόντια απόσταση του κεντροβαρικού άξονα του ΩBΓ από το Ω. Το γινόμενο του πρώτου όρου του δευτέρου μέλους υπολογίζεται κατευθείαν ως

$$W_{\text{ΩB}\Gamma} y = \int_0^{\theta_0} (1/2) R^2 \gamma (2/3) R \cos\theta \, d\theta = (1/3) \gamma R^3 \sin\theta_0 \approx 0.27 \gamma R^3 \quad (19)$$

κι άρα

$$M_{\text{ανατρ.}} \approx 0.17 \gamma R^3 \quad (20)$$

Η ροπή αντιστάσεως είναι απλώς

$$M_{\text{αντ.}} = S_u (B\Gamma) R = 0.93 S_u R^2 \quad (21)$$

και άρα ο (δοκιμαστικός) συντελεστής ασφαλείας

$$Y_{\Omega,x} \approx 4.4 S_u / \gamma H \quad (22)$$

Πρέπει τώρα να αναζητήσουμε τον ελάχιστο $Y_{\Omega,x}$, μεταβάλλοντας το x και το Ω καθόλους τους δυνατούς συνδυασμούς. Ο συντελεστής ασφαλείας του πρανούς (έναντι περιστροφικής ολισθήσεως *μόνον*) είναι

$$Y = \min Y_{\Omega,x} \approx 3.85 S_u / \gamma H \quad (23)$$

Εάν ο συντελεστής αυτός τεθεί ίσος με μονάδα, προκύπτει το κρίσιμο ύψος του πρανούς

$$H_{\text{cr}} \approx 3.85 S_u / \gamma \quad (24)$$

Παρατηρείστε ότι η τιμή αυτή είναι μόλις κατάτι ($\approx 4\%$) μικρότερη της τιμής που προέκυψε (στο προηγούμενο υποκεφάλαιο, 5.2.2) με την θεώρηση επίπεδης επιφάνειας ολισθήσεως. Ακόμη και η διαφορά της από την τιμή που προέκυψε από έναν (αλλά λογικά επιλεγμένον) μηχανισμό (αυτόν του Σχήματος 7) είναι της τάξεως του 15% — διαφορά όχι πολύ σημαντική μπρός στις τόσες αβεβαιότητες ως πρό το μέγεθος (και την κατανομή) της διατμητικής αντοχής των υλικών του πρανούς.

[Είναι εξαιρετικά σκόπιμο για τον σπουδαστή να διαπιστώσει ότι οι ροπές ανατροπής [Σχέσεις (19) και (20)] θα μπορούσαν να υπολογιστούν "με ακρίβεια μηχανικού" με απλή παρατήρηση, δίχως δηλαδή την χρήση ολοκληρώματος :

$$W_{\Omega\Gamma} \gamma \approx \gamma \pi R^2 \frac{\theta}{2\pi} \frac{2}{3} R \approx 0.31 \gamma R^3 \quad \text{και}$$

$$M_{\text{ανατρ.}} \approx \gamma \left(\pi R^2 \frac{\theta}{2\pi} - \frac{1}{2} \frac{3H^2}{4} \right) \left[\frac{3H}{4} + 0.35 \left(R - \frac{3H}{4} \right) \right] \approx 0.16 \gamma R^3$$

τιμές ελάχιστα διαφορετικές απ' τις ορθές $0.27 \gamma R^3$ και $0.17 \gamma R^3$.]

Άλλες Εφαρμογές δίδονται σε Παραρτήματα περί το τέλος των Σημειώσεων, ως (λυμένα και άλυτα) θέματα διαγωνισμάτων.

Ανάλυση Ευσταθείας υπό Αστράγγιστες Συνθήκες σε Ανομοιογενές Εδαφος : Πρανές Εκσκαπτόμενο σε Αργίλο

Η θεώρηση στις προηγούμενες σελίδες σταθερής (στον χώρο) αστράγγιστης διατμητικής αντοχής S_u δέν ήταν παρά μιά απλοποίηση της πραγματικότητας. Σε μερικές σιφρές υπερ-στερεοποιημένες αργίλους η απλοποίηση αυτή μπορεί να αποτελεί μιά ικανοποιητική προσέγγιση. Ο κανόνας όμως στην φύση είναι η *ανομοιογένεια*! (βλ. και κεφάλαιο 4 μέρος 5).

Ως παράδειγμα, μιά οριζόντια εδαφική απόθεση κορεσμένης και κανονικώς-στερεοποιημένης ("αππροφόρτιστης") αργίλου έχει αστράγγιστη διατμητική αντοχή η οποία είναι ανάλογη προς την ενεργό μέση τάση $(\bar{\sigma}_v + 2\bar{\sigma}_h) / 3$. Επειδή δε τόσο το $\bar{\sigma}_v = \bar{\gamma} z$, όσο και το $\bar{\sigma}_h = K_o \bar{\gamma} z$ είναι ανάλογα του βάθους z από την επιφάνεια, η S_u είναι επίσης σχεδόν ανάλογη προς το z , εάν θεωρήσουμε το γ σταθερό — μιά λογικότατη απλοποίηση.

Απο πειραματικές μετρήσεις σε εκατοντάδες αργίλους ανά τον κόσμο τα τελευταία 50 χρόνια, προέκυψε η εμπειρική σχέση

$$S_u \approx \xi \bar{\sigma}_{vo} \tag{25\alpha}$$

$$\xi \approx 0.11 + 0.0037 (PI) \tag{25\beta}$$

όπου PI ο δείκτης πλασιμότητας της αργίλου (Skempton 1957). Π.χ. για μιά συνηθισμένη τιμή, $PI \approx 35$, προκύπτει $\xi = 0.24$. Ενώ για $PI = 100$, $\xi \approx 0.48$. Ετσι λοιπόν, τελικώς ισχύει :

$$S_u \approx \xi \bar{\gamma} z \tag{26\alpha}$$

για την αστράγγιστη διατμητική αντοχή της αργίλικής απόθεσης υπό γεωστατικές συνθήκες. $\bar{\gamma}$ = το ενεργό ειδικό βάρος του εδαφικού υλικού.

κυκλικού τμήματος ΩΒΓ κατόπιν αφαιρέσεως των ροπών των δύο "συμπληρωματικών" τριγώνων. Τελικώς :

$$M_{\text{αναστ.}} = \frac{\gamma H^3}{12} [1 - 2 \cot^2 \beta + 3 \cot \lambda \cot \beta + 3 \cot \alpha \cot \lambda - 3 \cot \alpha \cot \beta] \quad (27)$$

όπου οι γωνίες α, λ είναι βοηθητικές για τον προσδιορισμό του κέντρου του κύκλου Ω. Το γ είναι το ολικό ειδικό βάρος του κορεσμένου υλικού.

Η ροπή αντιστάσεως δίδεται από την γενική Σχέση (17α), η οποία τώρα γράφεται ως

$$M_{\text{αντ.}} = R \int_{-\alpha}^{\alpha} S_U(z) R d\theta \quad (28)$$

απ' την γεωμετρία :

$$z = R \cos (\lambda + \theta) - R \cos (\alpha - \lambda) + H \quad (29)$$

$$\frac{R}{H} = \frac{1}{2 \sin \alpha \sin \lambda} \quad (30)$$

Αντικαθιστώντας τις ανωτέρω δύο σχέσεις στην (28) και εκτελώντας την [κοπιώδη μεν αλλά χωρίς καμιά θεωρητική δυσχέρεια] ολοκλήρωση, λαμβάνουμε :

$$M_{\text{αντ.}} = \frac{m H^3}{4 \sin^2 \alpha \sin^2 \lambda} [\cot \lambda \cdot \alpha (1 - \cot \lambda \cot \alpha)] \quad (31)$$

Ο δοκιμαστικός συντελεστής ασφαλείας Y προκύπτει ως ο λόγος $M_{αντ.} / M_{ανατρ.}$.
 Παρατηρείστε ότι

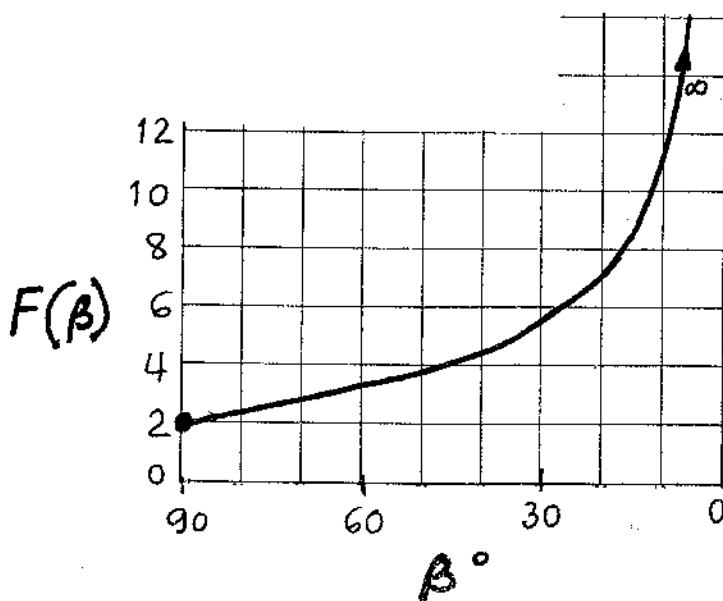
$$Y = Y(\alpha, \lambda) = \frac{m}{\gamma} F(\beta, \alpha, \lambda) \quad (32)$$

δηλαδή ότι ο (τυχόν δοκιμαστικός) συντελεστής ασφαλείας είναι ανεξάρτητος του ύψους του πρσανούς ! Υπενθυμίζουμε ότι, αντίθετα, στο ομοιογενές πρσανές ο συντελεστής ασφαλείας είναι αντιστρόφως ανάλογος του H [(βλ. Σχέση (23)].

Ο πραγματικός συντελεστής ασφαλείας λαμβάνεται από την ελαχιστοποίηση της $Y = Y(\alpha, \lambda)$ για όλες τις δυνατές τιμές των α και λ . Αναλυτική επίλυση του προβλήματος αυτού δεν είναι δυνατή. Με αριθμητική "σάρωση" όμως πρόεκυψε ο (ελάχιστος) συντελεστής ασφαλείας ως αποκλειστική συνάρτηση της γωνίας β :

$$Y(\beta) = \min Y(\alpha, \lambda) = \frac{m}{\gamma} F(\beta) \quad (33)$$

όπου η συνάρτηση $F(\beta)$ δίδεται γραφικά στο Σχήμα 9.



Σχήμα 9. Η συνάρτηση $F(\beta)$ για τον υπολογισμό του συντελεστή ασφαλείας

$$Y(\beta) = (m / \gamma) F(\beta)$$

Ιδιαίτερο ενδιαφέρον έχει η περίπτωση του κατακόρυφου πρανούς, $\beta = 90^\circ$:

$$Y(90^\circ) = \frac{2m}{\gamma} = 2\xi \frac{\bar{\gamma}}{\gamma} \approx \xi \quad (34)$$

Επειδή δε $\xi < 1$, με απειρο-ελάχιστες εξαιρέσεις, συμπεραίνεται ότι δεν είναι δυνατόν να σταθεί πρανός κατακόρυφο σε κανονικώς στερεοποιημένη άργιλο. Μάλιστα δε στην συνήθη περίπτωση $\xi \approx 0.25$, για επίτευξη ευσταθείας πρέπει :

$$Y(\beta) = F(\beta) \xi \frac{\bar{\gamma}}{\gamma}$$

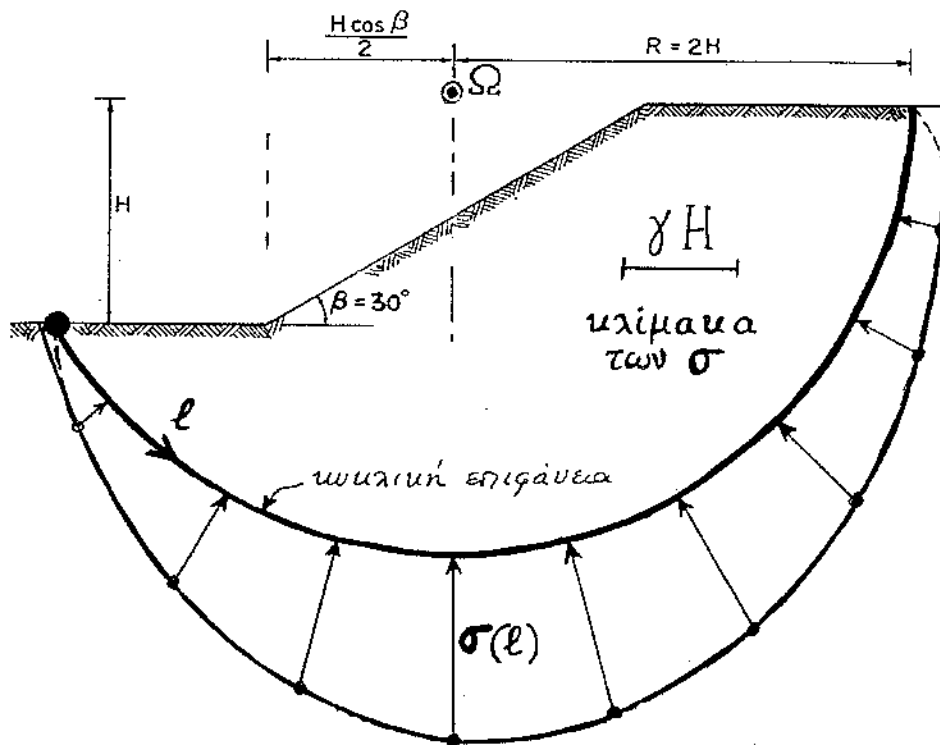
$$\approx \frac{1}{8} F(\beta) \geq 1 \quad (35)$$

οπότε, από το διάγραμμα του Σχ. 9, προκύπτει $\beta \leq 17^\circ$, μόνον.

- Άσκηση** :
- (α) Ζητείται η επαλήθευση της Σχέσης (33) και του αντίστοιχου διαγράμματος μέσω ενός συγκεκριμένου παραδείγματος.
π.χ. $\beta = 30^\circ$, $S_u = 3z$. Δοκιμάστε μόνον δύο δοκιμαστικούς κύκλους.
 - (β) Να επαναληφθεί η μελέτη της ευστάθειας του ανομοιογενούς πρανούς αλλά με επίπεδη επιφάνεια αστοχίας.
 - (γ) Σχολιάστε ομοιότητες και διαφορές του προβλήματος πρανούς απροφόρτισης άργιλου με το πρόβλημα απειρομήκους πρανούς άμμου.

Η Γενική Περίπτωση Πρανούς με c και φ

Η δυσκολία στην περίπτωση αυτή, όπως ήδη εξηγήσαμε προηγουμένως, έγκειται στην ανάγκη υπολογισμού των ορθών τάσεων $\sigma = \sigma(\ell)$ στην εκάστοτε δοκιμαστική επιφάνεια ολισθήσεως — πρόβλημα μεγάλης υπερστατικότητας. Ακόμη κι αν ίσχυε η θεωρία ελαστικότητας, πράγμα πολύ αμφίβολο σε συνθήκες οριακής ισορροπίας, ο υπολογισμός αυτός θα ήταν δυνατός μόνον με αριθμητικές μεθόδους (π.χ. μετά από διακριτοποίηση του όλου πρανούς και υποκειμένου εδάφους σε "πεπερασμένα στοιχεία"). Παράδειγμα τρόπου κατανομής των τάσεων δίνεται στο Σχήμα 8.



Σχήμα 8. Κατανομή ορθών τάσεων σε κυκλική επιφάνεια υπολογισμένων με την θεωρία ελαστικότητας (από Perloff και Baron, 1976)

Ετσι, στην πράξη έχουν καθιερωθεί προσεγγιστικές μέθοδοι. Σχεδόν χωρίς εξαίρεση, οι μέθοδοι αυτές χωρίζουν το υποψήφιο προς ολίσθησιν πρίσμα σε "λωρίδες" με κατακόρυφες παρειές (όπως η $\alpha\beta$ και $\gamma\delta$ στο Σχήμα 9). Για ν' απαντηθεί το ερώτημα : ποιές είναι οι "υπερστατικές" δυνάμεις που δρουν μεταξύ δύο διαδοχικών πρισμάτων στην κατακόρυφη διεπιφάνειά τους, έχουν λοιπόν επινοηθεί πολλές απλοποιητικές (άλλες περισσότερο, κι άλλες λιγότερο) παραδοχές. Την απλούστερη των παραδοχών έχουμε εμπνευσθεί απο το

απειρομήκες πρηνές : η συνισταμένη δράση στην παρειά αβ είναι (διανυσματικά) ίση και αντίθετη με την συνισταμένη δράση στην παρειά γδ. Οι δράσεις λοιπόν αυτές αλληλοεξουδετερώνονται . Γίνεται τότε αμέσως αντιληπτό ότι η κατακόρυφη ισορροπία του πρίσματος αβγδ δίνει την συνισταμένη δράση $F_{\beta\gamma}$ στην επιφάνεια ολισθήσεως (βλέπε Σχήμα 9) :

$$F_{\beta\gamma} = W_{\alpha\beta\gamma\delta} \quad (25)$$

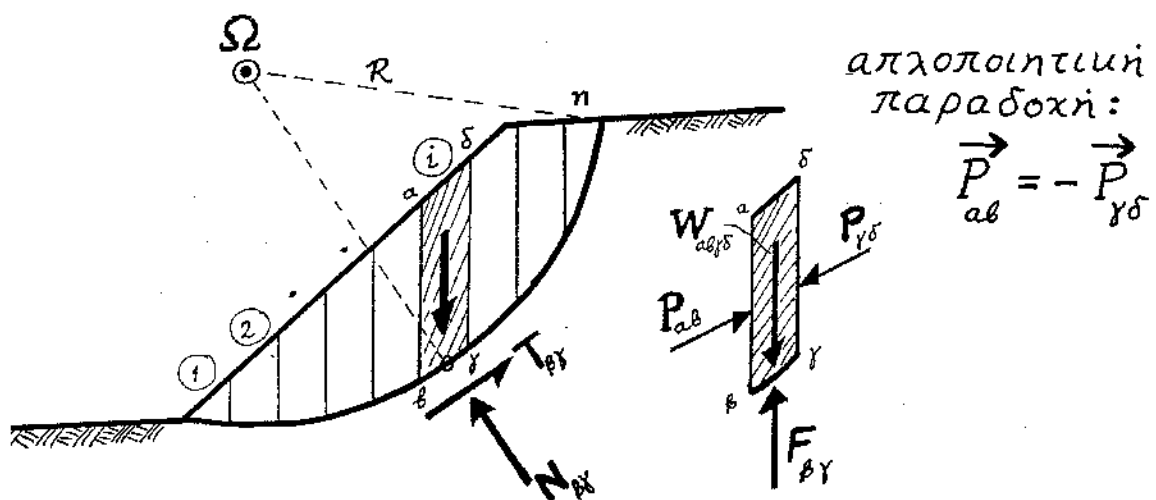
Δεν απομένει παρά η προβολή της $F_{\beta\gamma}$ καθέτως προς την επιφάνεια ολισθήσεως

$$N_{\beta\gamma} = F_{\beta\gamma} \cos \alpha_{\beta\gamma} \quad (26)$$

Η αναζητούμενη σ (ℓ) δεν είναι αλλη από την

$$\sigma_{\beta\gamma} = N_{\beta\gamma} / (\beta\gamma) \quad (27)$$

όπου $(\beta\gamma)$ το μήκος του τόξου $\beta\gamma$. [Η ενδιαφέρουσα περίπτωση υπάρξεως υδατικών πιέσεων και ανώσεως αντιμετωπίζεται με τον τρόπο που εξηγήθηκε στην προηγούμενη ανάπτυξη — Σχέσεις (25) και (26).]



Σχήμα 9. Ανάλυση ευστάθειας πρηνούς (υλικού με c και ϕ) με την μέθοδο λωρίδων κατά Fellenius

Αν και κάπως αυθαίρετη, η παραδοχή αλληλο-εξουδετέρωσης των δια-λωριδικών εδαφικών δράσεων είναι αρκετά εύλογη, τουλάχιστον για ήπιας-κλίσης πρηνή ή/και επιφάνειες ολισθήσεως μικρής καμπυλότητας — διότι οι συνθήκες του *απειρομήκους πρηνούς* προσεγγίζονται ικανοποιητικά υπ' αυτές τις συνθήκες.

Η μέθοδος που βασίζεται στην παραδοχή αυτή είναι γνωστή ως μέθοδος του Fellenius (1927), απ' τον Σουηδό μηχανικό που την πρωτο-δημοσίευσε. Έχουν βεβαίως προταθεί κάμποσες άλλες παραδοχές (ενγένηι ρεαλιστικότερες) ως προς τις δια-λωριδικές πλευρικές δυνάμεις. Οι αντίστοιχες μέθοδοι είναι γνωστές με τα ονόματα των συγγραφέων. Ιδού οι πιο γνωστές :

- ◆ μέθοδοι Bishop ("ακριβής" και "απλοποιημένη")
- ◆ μέθοδος Taylor
- ◆ μέθοδος Spencer
- ◆ μέθοδος Sarma
- ◆ μέθοδος Janbu
- ◆ μέθοδος Morgenstern-Price .

Οι τρεις τελευταίες μέθοδοι χρησιμοποιούν σύνθετες επιφάνειες ολισθήσεως.

Όλες ανεξαιρέτως οι μέθοδοι αυτές ευωδώνονται στην πράξη μόνον μέσω κατάλληλου λογισμικού και χρήση Η/Υ, μιά που αλλιώς η αναζήτηση του κρίσιμου μηχανισμού είναι πρακτικώς ανέφικτη. Η ανάλυση λοιπόν της ευστάθειας ενός πρηνούς γίνεται έτσι *υπολογιστικώς εύκολη*. Η δυσχέρεια όμως στην *εκτίμηση* των παραμέτρων εδαφικής αντοχής αφενός και των υδατικών πιέσεων αφετέρου, παραμένει !...

5.3

ΟΡΙΑΚΟ ΦΟΡΤΙΟ ("ΦΕΡΟΥΣΑ ΙΚΑΝΟΤΗΤΑ") ΘΕΜΕΛΙΟΥ

5.3. ΟΡΙΑΚΟ ΦΟΡΤΙΟ ("ΦΕΡΟΥΣΑ ΙΚΑΝΟΤΗΤΑ") ΘΕΜΕΛΙΟΥ

Ανάλυση με κυκλική επιφάνεια ολισθήσεως υπό αστράγγιστες συνθήκες

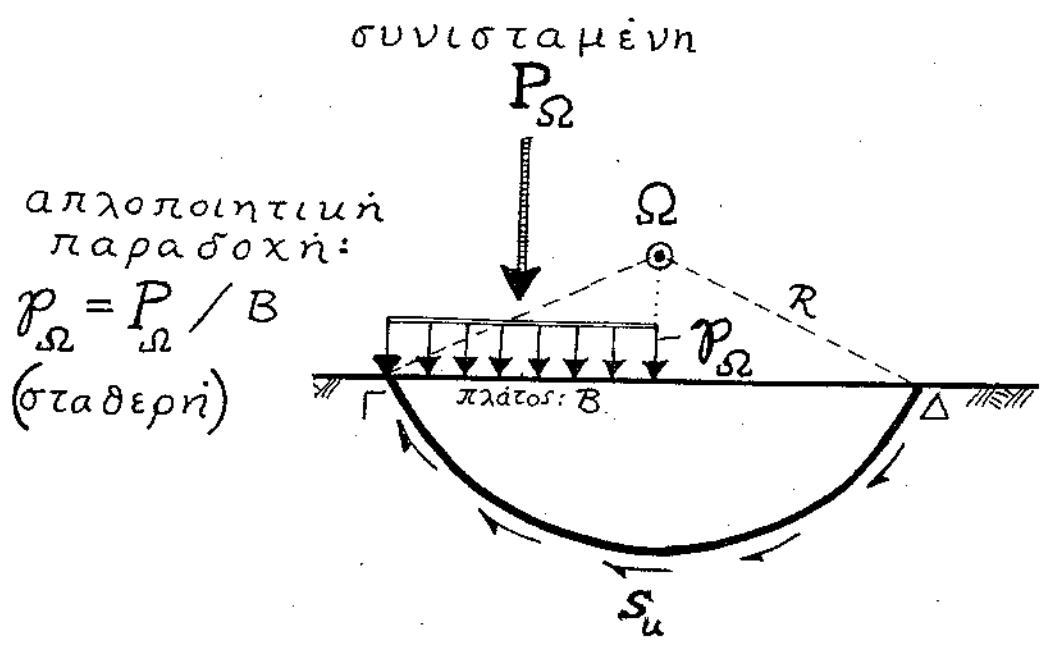
Με την αύξηση του φορτίου που μιά θεμελίωση μεταφέρει στο έδαφος, αυξάνουν και οι αναπτυσσόμενες στο έδαφος διατμητικές τάσεις (βλέπε Κεφάλαιο 4) . Σε ορισμένα μάλιστα εδαφικά στοιχεία η διατμητική ένταση αυξάνει ταχύτερα απ' την ορθή, και τα στοιχεία αυτά "αστοχούν" . Η αστοχία αυτή περιγράφεται με ικανοποιητική προσέγγιση από το κριτήριο Coulomb (βλέπε υποκεφάλαιο 3.4). Εάν το πλήθος και η θέση των "αστοχούντων" εδαφικών *στοιχείων* είναι τέτοια ώστε να σχηματισθεί μιά συνεχής επιφάνεια αστοχίας, τότε το σύστημα θεμελίου--εδάφους θα έχει μετατραπεί σε *μηχανισμό* — η *εδαφική μάζα* θα έχει αστοχήσει.

Το μέγιστο φορτίο, P_{op} , που είναι δυνατόν να μεταφερθεί στο έδαφος υπολογίζεται απ' την *οριακή ισορροπία* του συστήματος θεμελίου--εδάφους, την "στιγμή" που δημιουργείται ο μηχανισμός αστοχίας. Η μέθοδος αναλύσεως δεν διαφέρει από εκείνην που αναπτύχθηκε για την ανάλυση της ευστάθειας πρανούς.

Υπό αστράγγιστες συνθήκες (δηλαδή αμέσως μετά την επιβολή του οριακού φορτίου σε κορεσμένο αργιλικό έδαφος αστράγγιστης διατμητικής αντοχής S_u), εάν θεωρήσουμε ως δοκιμαστική επιφάνεια αστοχίας τόξο κύκλου με κέντρο Ω άνωθεν του άκρου του θεμελίου και ακτίνα $R = \Omega\Gamma$ (Σχήμα 10) έχουμε απ' την ισορροπία ροπών περί το Ω :

$$P_{\Omega} \cdot (1/2) B = S_u R (\Gamma\Delta) \quad (28)$$

όπου : P_{Ω} = το (δοκιμαστικό) οριακό φορτίο, δηλαδή αυτό που αντιστοιχεί στον συγκεκριμένο (δοκιμαστικό) μηχανισμό αστοχίας. $(\Gamma\Delta)$ = το μήκος του τόξου $\Gamma\Delta$. Απ' την σχέση αυτή υπολογίζεται το P_{Ω} . Το οριακό φορτίο (για κυκλική επιφάνεια) :



Σχήμα 10. Ανάλυση οριακού φορτίου επιφανειακού θεμελίου με κυκλική επιφάνεια αστοχίας, υπό αστράγγιστες συνθήκες

$$P_{op} = \min (P_{\Omega}) \tag{29}$$

προκύπτει απ' την θεώρηση όλων των πιθανών κύκλων αστοχίας. Το φορτίο αυτό πρωτο-υπολογίσθηκε απ' τον Fellenius (1927) ως :

$$P_{op} = q_{op} B \approx 5.5 S_u \cdot B \tag{30}$$

Η ακριβής λύση (με την θεωρία της πλαστικότητας) δημοσιεύθηκε από τον Pandtl (1925) :

$$P_{op} = q_{op} B = (\pi + 2) S_u \cdot B \approx 5.14 S_u \cdot B \tag{31}$$

Οι δύο λύσεις διαφέρουν μόλις κατά 7 % — αμελητέο λάθος μπρός στην συνήθη ανακρίβεια εκτιμήσεως του S_u .

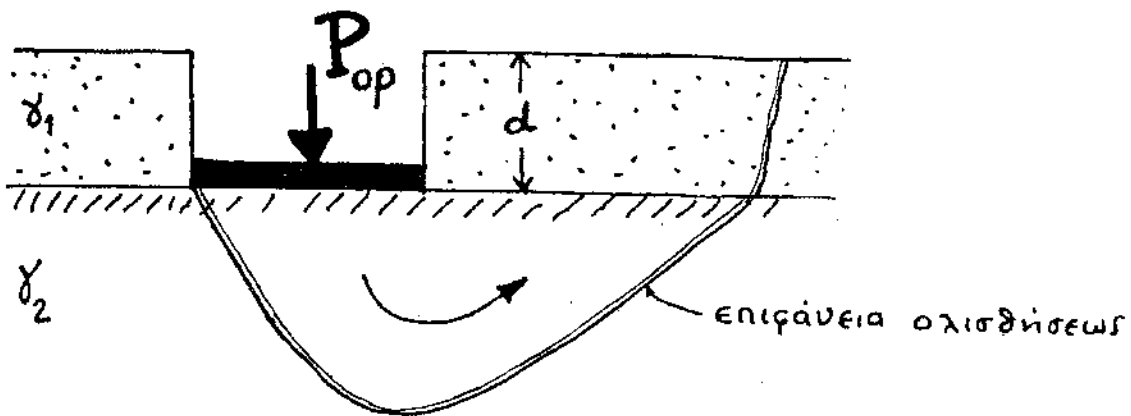
Εφαρμογή της μεθόδου σε έδαφος θεμελιώσεως αποτελούμενο από δίστρωτον εδαφικό σχηματισμό δίδεται ως άσκηση 12 σε παράρτημα(περί το τέλος των Σημειώσεων), όπου επιλύονται τα θέματα του διαγωνίσματος Ιουνίου 1995.

Γενική Λύση:

ΦΕΡΟΥΣΑ ΙΚΑΝΟΤΗΤΑ ΛΩΡΙΔΩΤΟΥ ΘΕΜΕΛΙΟΥ

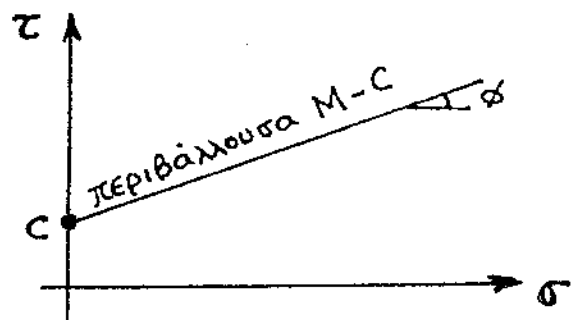
Μέση οριακή τάση θραύσεως:

$$q_{op} = \frac{P_{op}}{B} = c N_c + \gamma_1 d N_q + \frac{1}{2} \gamma_2 B N_\gamma$$



Οι αδιάστατοι συντελεστές N_c , N_q και N_γ δίδονται στον Πίνακα συναρτήσει της ϕ .

	ϕ°	N_c	N_q	N_γ
ἀργίλοι λιγύες	0	5.14	1	0
	10	8.3	2.5	1.2
	20	14.8	6.4	5.4
	25	20.7	10.7	10.9
ἀμμώδεις χάλικες	30	30.1	18.4	22.4
	35	46.1	33.3	48.0
	40	75.6	64.2	109.4
	45	133.9	134.9	271.8



↑
συνήθεις τιμές ϕ

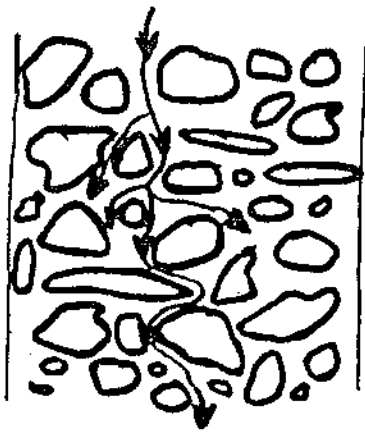
6.

ΥΔΑΤΙΚΗ ΡΟΗ

ΔΙΑΜΕΣΟΥ ΤΟΥ ΕΔΑΦΟΥΣ

6. ΥΔΑΤΙΚΗ ΡΟΗ ΔΙΑΜΕΣΟΥ ΤΩ ΕΔΑΦΩΣ

Όλα τὰ εδαφικά υλικά είναι διαπερατά αφού πάντοτε οι πόροι επικουρώνου, σχηματίζοντας "συνεχείς" δρόμους....

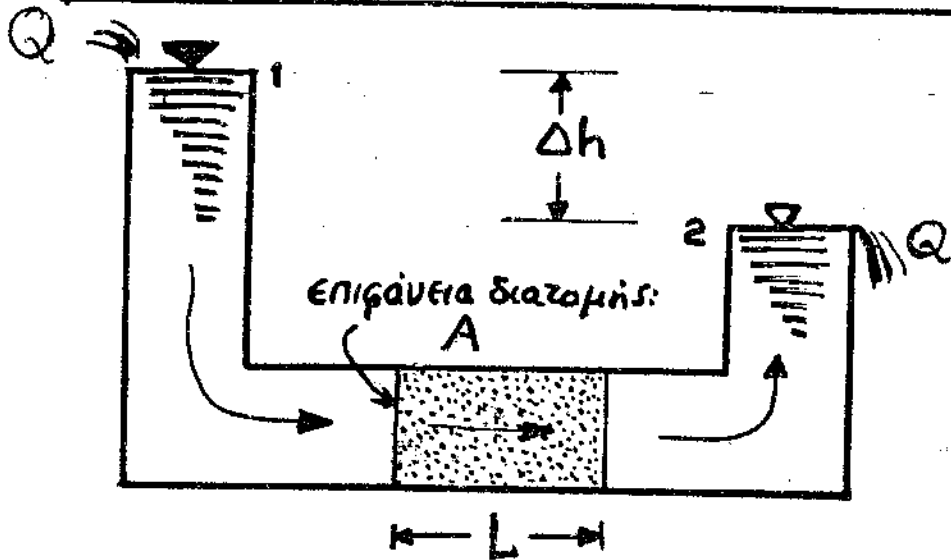


χωμαίνονται, όμως, από πολύ διαπερατά (κάλλιστα, άμμοι) έως "πραυτιώς" αδιαπερατά (άρηλοι)

Πλήθος προβλημάτων υδατικής ροής που ενδιαφέρουν τον γεωγεωμέτρο:

- υπολογισμοί παροχών διαρροής (διαμέσου ενός χωμάτινου φράγματος, για την αποξήρανση μιας εσοχής ή μιας φυτικής λίμνης, για τον καθαρισμό της σκάφης του υδρόφου ορίσου, κλπ....)
- υπολογισμοί χρονικής εξέλιξης καθιζήσεων (για θεμελιώσεις σε άρηλο υπό του υδατικού ορίσου)
- υπολογισμοί ενεργών τάσεων + αντοχής (στα προβλήματα ευστάθειας πρανών, ... υποθαλάσσιων...)

1 - ΔΙΑΣΤΑΤΗ ΡΟΗ, ΝΟΜΟΣ DARCY, ΣΥΝΤΕΛΕΣΤΗΣ ΔΙΑΠΕΡΑΤΟΤΗΤΑΣ



Darcy 1856 :

Q ανάλογη Δh και A , αντιστρόφως ανάλογη του L ∴

$$Q = k \frac{\Delta h}{L} A$$

$\frac{Q}{A} \equiv v$: φαινομένη (μακροσκοπική) ταχύτητα ροής

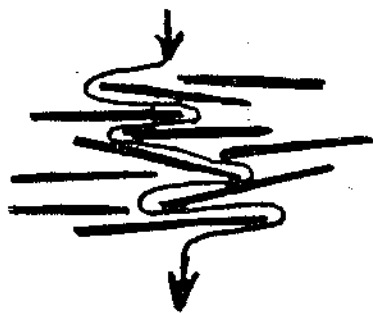
$\frac{\Delta h}{L} \equiv i$: υδραυλική κλίση

$$v = k \cdot i \text{ "νόμος" Darcy}$$

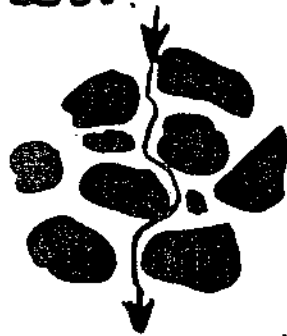
k : συντελεστής διαπερατότητας
χαρακτηριστική παράμετρος του
εδαφικού υλικού.

Το **k** (διαστάσεις ταχύτητας)
εξαρτάται κυρίως από:

- το μέγεθος των πόρων και το σχήμα τους.

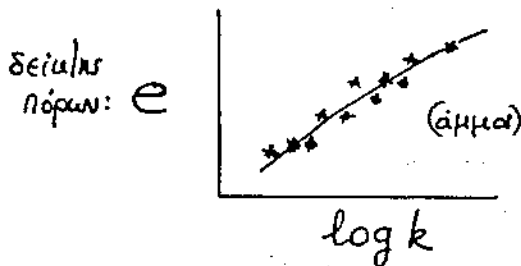


αργίλος:
 $k \approx 10^{-7} \frac{m}{s}$



χονδρόκοκκη άμμος
 $k \approx 10^{-2} \frac{m}{s}$

- η πυκνότητα του υλικού



- ο βαθμός κορεσμού: S

μη κορεσμένα υλικά: $k \propto S^3$

- η δομή του υλικού, η κατανόηση των πόρων, το εξώδες της υγρής...

$$i = \frac{\Delta h}{L} : (\text{μέση}) \text{ υδραυλική κλίση}$$

$$\text{πιο γενικά: } i = -\frac{dh}{ds}$$

$$h = \text{υδραυλικό ύψος} = \frac{\text{Ενέργεια}}{\text{μάζα}}$$

Και για την ροή διαμέσου εδάφους ισχύει ο νόμος του Bernoulli:

$$h = z + \frac{u}{\gamma_w} + \frac{v^2}{2g} + \Delta h$$

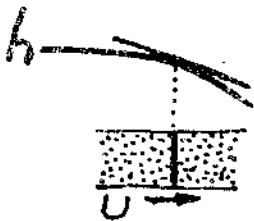
(ολικό ύψος) = (γεωμετρικό ύψος) + (πιεσομετρικό ύψος) + (απώλειες)

↑ πίεση υδάτων πόρων

↓

$\left[\begin{array}{l} \approx 0 \text{ γιατί οι } V \\ \text{είναι ελάχιστοι} \\ \text{μικροί. π.χ. } V \approx 0.01 \frac{m}{s} \\ \frac{V^2}{2g} \approx 0.000005 \text{ m} \approx 0 \end{array} \right.$

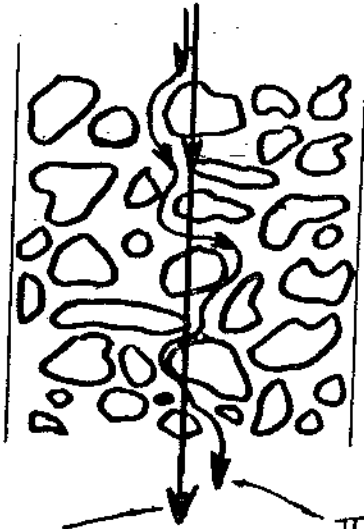
Την ροή προκαλεί η κλίση του ολικού υδραυλικού ύψους: $\frac{dh}{ds}$



$$v = -k \frac{dh}{ds}$$

(το μείον δίνει μείωση της h συνεπώς αρνητική dh/ds αλλά θετική v)

Μικροσκοπική θεώρηση:



γραμμή ροής
μακροσκοπικής
υγείρας: $U = \frac{Q}{A}$

πιθανή πραγματική
διαδρομή ροής

↓
ταχύτητα διηθήσεως

$$U_s = \frac{Q}{A_{\text{υεν}}}$$

ανά μονάδα μήκους ds :

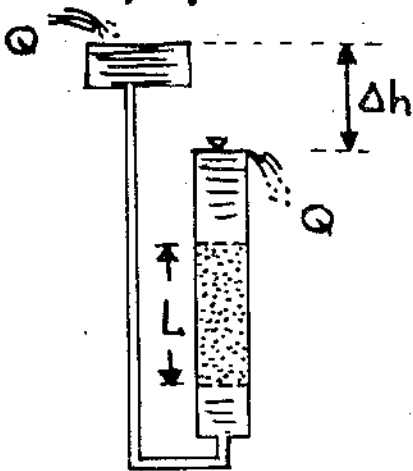
$$\frac{A_{\text{υενών}}}{A} = \frac{V_{\text{υενών}}}{V} = n \quad (\text{πορώδες})$$
$$= \frac{e}{1+e}$$

$$U_s = \frac{U}{n}$$

$U_s > U$ καθώς $n < 1$

Εργαστηριακή μέτρηση k

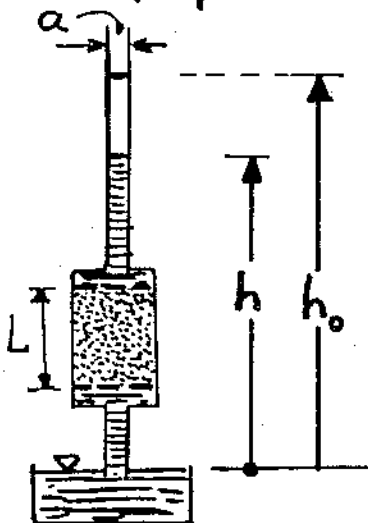
(α) Δοκιμή σταθερού "υδραυλικού φορτίου" : Δh



μετράμε το αναγκαίο Q

$$k = \frac{Q \cdot L}{A \cdot \Delta h}$$

(β) Δοκιμή μεταβαλλόμενου υδραυλικού φορτίου :



$$Q = Q(t), \quad h = h(t), \quad i = i(t)$$

Μια ορισμένη στιγμή, t :

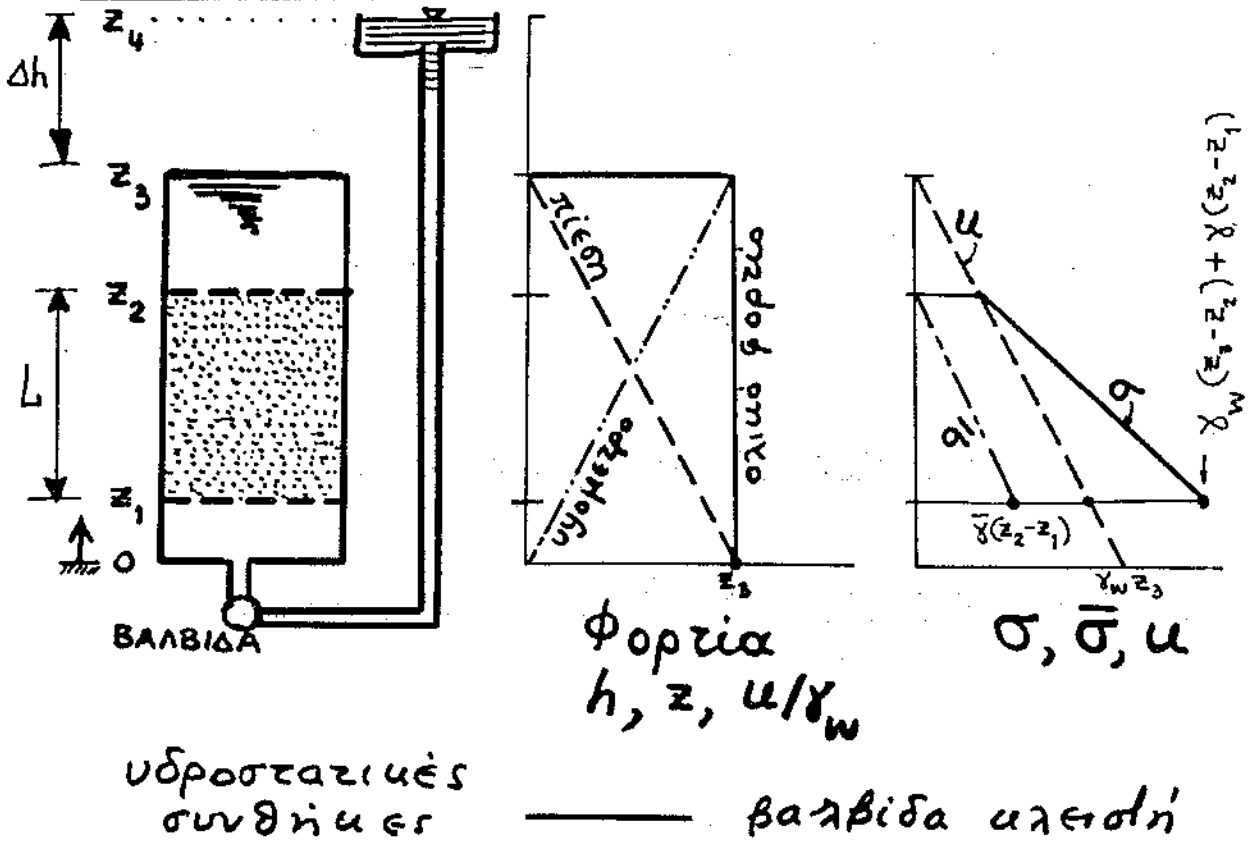
$$Q(t) = k A \frac{h(t)}{L} =$$

$$= - \frac{dh}{dt} \cdot a = \text{ταχύτητα} \cdot \text{επιφάνεια} \cdot \text{μικρού} \cdot \text{συστήνα}$$

$$- \frac{dh}{h} = \frac{kA}{La} dt \quad \therefore \left[\ln h \right]_{h_0}^h = - \frac{kA}{La} [t]_0^t \quad \therefore$$

$$k = \frac{aL}{tA} \cdot \ln \left(\frac{h_0}{h} \right)$$

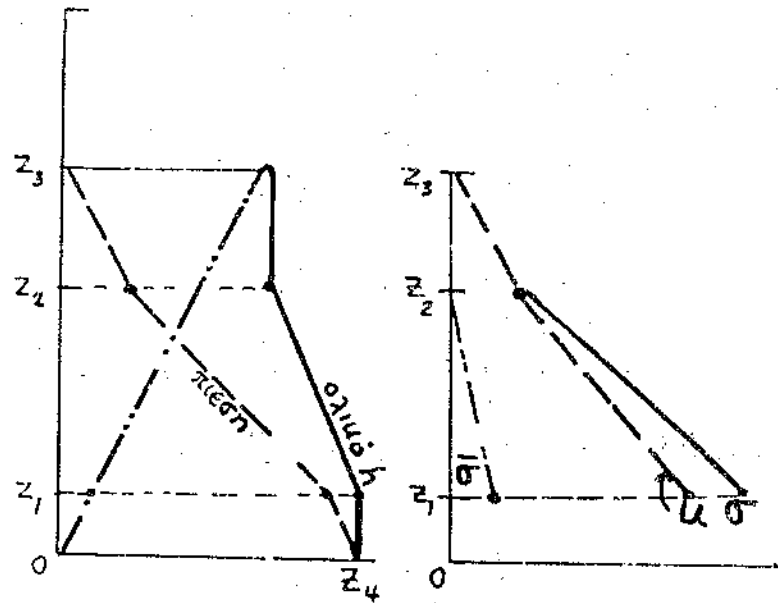
**ΜΕΤΑΒΟΛΗ ΕΝΕΡΓΩΝ ΤΑΣΕΩΝ
ΛΟΓΩ ΥΔΑΤΙΚΗΣ ΡΟΗΣ. ΔΥΝΑΜΗ
ΔΙΗΘΗΣΕΩΣ - ΥΔΡΑΥΛΙΚΗ ΥΠΟΣΚΑΦΗ**



στην βάση του δοχείου: $z = z_1 \therefore$

$$\bar{p} = \underbrace{\gamma_w (z_3 - z_2) + \gamma (z_2 - z_1)}_{\sigma} - \underbrace{\gamma_w (z_3 - z_1)}_u$$

$\therefore \bar{\sigma} = \bar{\gamma} L$ (όπως αναμέναμε, φυσικά...)



μέρος: ————— βαρβίδα αμοιουζη

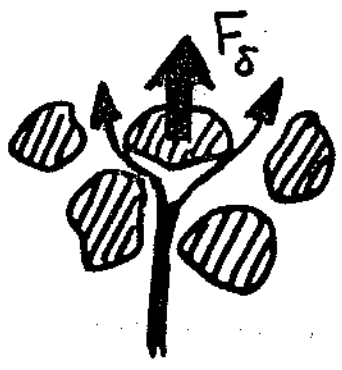
εὖ σ παραμένει σταθερὸ γιὰ λόγους
ισορροπίας

$$\text{π.χ. στην βάση } z = z_1: \sigma = \gamma_w (z_3 - z_2) + \gamma (z_2 - z_1)$$

$$\text{στο ίδιο σημείο: } u = \gamma_w (z_4 - z_1) \therefore$$

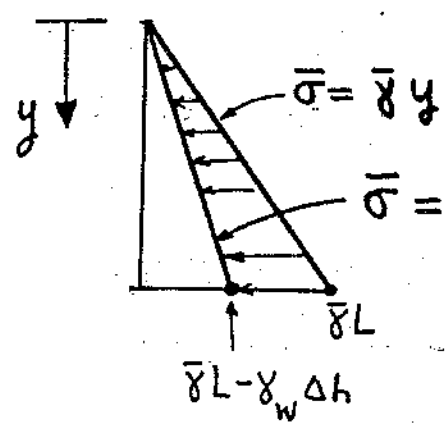
$$\bar{\sigma} = \sigma - u = \bar{\gamma} L - \gamma_w \Delta h$$

Βλέπουμε, λοιπόν, ότι εξαιτίας της ροής προς τα πάνω (αντίθετα προς την βαρύτητα) έχουμε μείωση των ενεργών τάσεων — διόλου αφύσικο — όπως προβλέψαμε διαισθητικά με την βοήθεια του απλού ποιοτικού μοντέλου της σελ. 29 / κεφ. 3 !:



F_{δ} = δύναμη διηθήσεως που αντίζεται στην βαρύτητα και άρα απομειώνει τις $\bar{\sigma}_v$.

μακροσκοπική θεωρία:



$\left. \begin{aligned} & \bar{\sigma} = \bar{\gamma} y \\ & \bar{\sigma} = (\bar{\gamma} - i \gamma_w) y \end{aligned} \right\}$ δύναμη διηθήσεως ανά μονάδα ογκού:

$$J_{\delta} = i \gamma_w = \Delta h \cdot \gamma_w / L$$

Αν, συνεχίζοντας, μεγαλώναμε σταδιακά το Δh , δό ηταν δυνατόν:

$$\bar{\sigma} = (\bar{\gamma} - i \gamma_w) y = 0$$

για όλα τα y

εάν $\bar{\gamma} - i \gamma_w = 0$, δηλαδή εάν

$$i = i_{cr} = \frac{\bar{\gamma}}{\gamma_w}$$

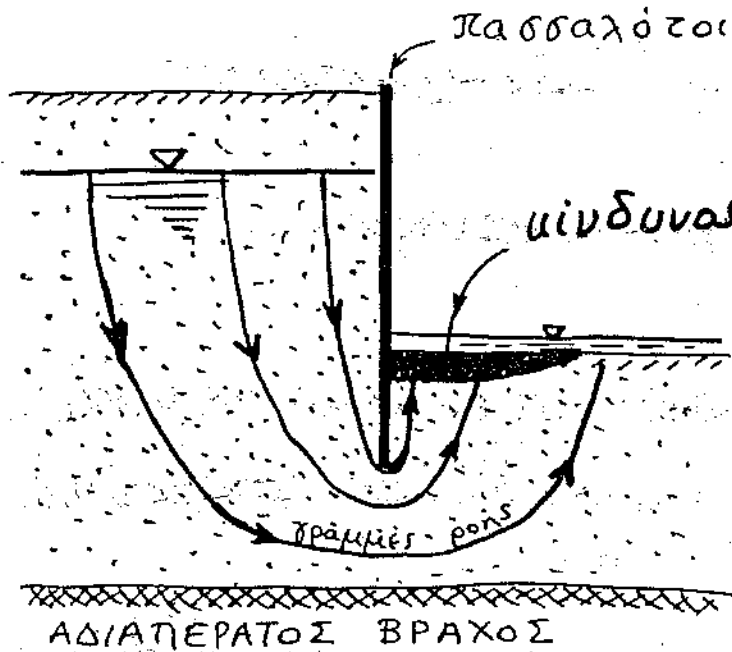
συνθήκη "ρευστής" άμμου.

Το υλικό έχει χάσει πλήρως την διατμητική του αλληξή (προκειμένου για αμμόδη εδαφικά υλικά): $\tau_f = \bar{\sigma} \tan \phi = 0$

Αν κάποιο έδω και μικρό φορτίο υποθετουμε στην επιφάνεια δά βυθισθεί εφόσον το ειδικό του βάρος είναι μεγαλύτερο του ειδικού βάρος του "εδαφικού μίγματος", δηλ. του γ_s

Ερώτημα: είναι δυνατόν να βυθισθεί άνθρωπος επι "ρευστής" άμμου;

ΣΠΟΥΔΑΙΕΣ ΤΕΧΝΙΚΕΣ ΕΦΑΡΜΟΓΕΣ

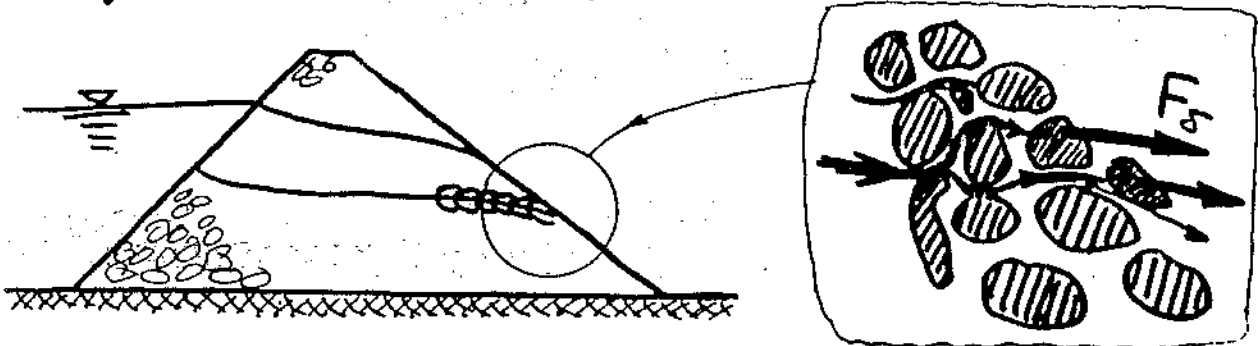


$$i < i_{cr} = \frac{\gamma}{\gamma_w}$$

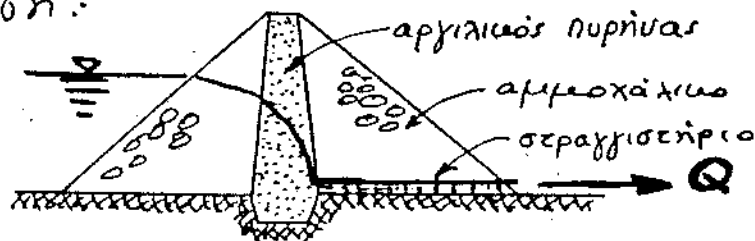
αλλιώς έχουμε
κατάσταση ρευστής
άμμου και η
κλαδική υποστήριξη
του πασσαλότοιχου
"εξαφανίζεται"...

παρόμοιο φαινόμενο:

Υδραυλική υποσмаγή -- "διασωλήνωση"



αντιμετώπιση:



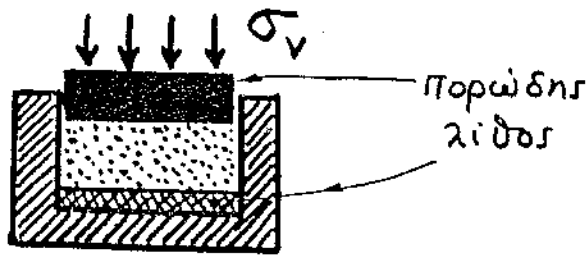
7.

**ΣΤΕΡΕΟΠΟΙΗΣΗ
ΑΡΓΙΛΙΚΟΥ ΕΔΑΦΙΚΟΥ ΣΤΡΩΜΑΤΟΣ**

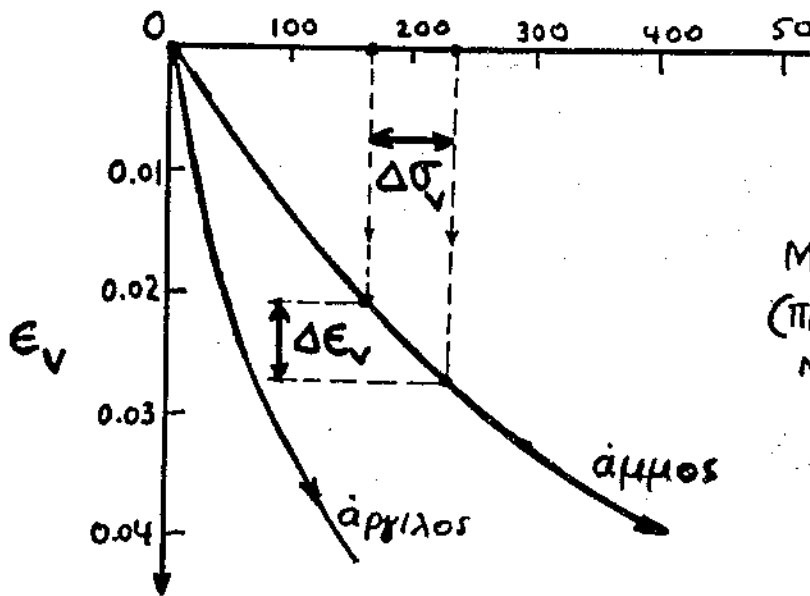
7. ΣΤΕΡΕΟΠΟΙΗΣΗ

Υπενδύμιση από κεφ. 3 / σελ.

1-ΔΙΑΣΤΑΤΗ ΣΥΜΠΙΕΣΗ
ΜΗ ΚΟΡΕΣΜΕΝΟΥ ΥΛΙΚΟΥ:



επιβαλλόμεν
 σ_v



ΜΕΤΡΟ 1-ΔΙΑΣΤΑΤΗΣ
(ΠΛΕΥΡΙΚΑ ΠΕΡΙΟΡΙΣΜΕ-
ΝΗΣ) ΣΥΜΠΙΕΣΗΣ:

$$D_s = \frac{\Delta \sigma_v}{\Delta \epsilon_v}$$

ή

$$D_s = \frac{d\sigma_v}{d\epsilon_v}$$

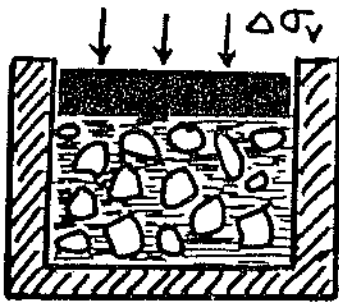
οπότε $D_s = D_s(\sigma_v)$

υπενδύμιση: για γραμμικώς ελαστικά υλικά $D_s = E \frac{(1-\nu)}{(1+\nu)(1-2\nu)}$

ΥΛΙΚΟ ΤΕΛΕΙΩΣ ΚΟΡΕΣΜΕΝΟ
 $S_r = 100\%$

Επιβολή μίας $\Delta\sigma_v$: Αναρτία (t=0)

ή παραμόρφωση $\Delta\epsilon_v \approx 0$



Διότι οι πόροι είναι γεμάτοι νερό που είναι πραγματικώς ασυμπίεστο, με άρα

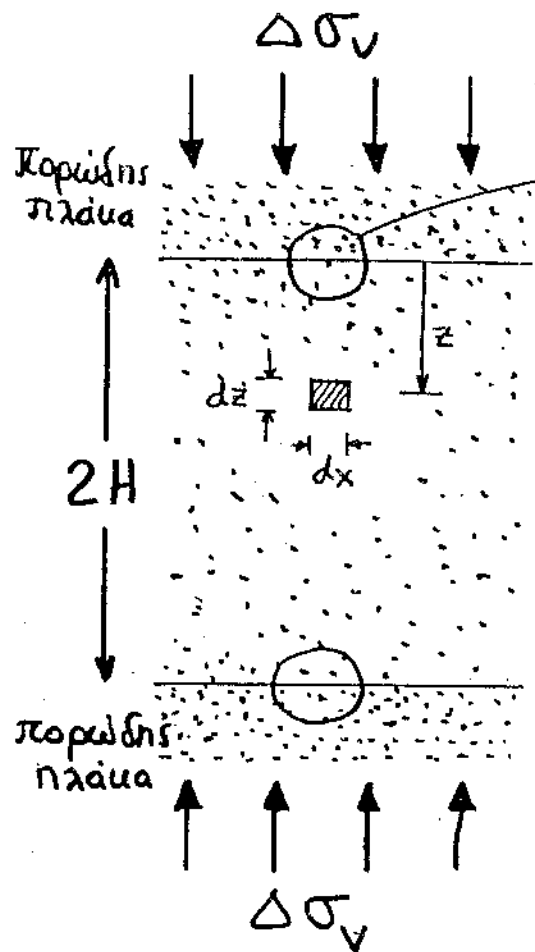
δεν επιτρέπει μείωση $V_{\text{υετών}}$. Κι επειδή για μικρές $\Delta\sigma_v$ ούτε μείωση του $V_{\text{στερεών}}$ είναι δυνατή $\implies \Delta\epsilon_v \approx 0$.

Επομένως, ολόκληρο το φορτίο το αναλαμβάνει η υγρή φάση: $\Delta u \approx \Delta\sigma_v$

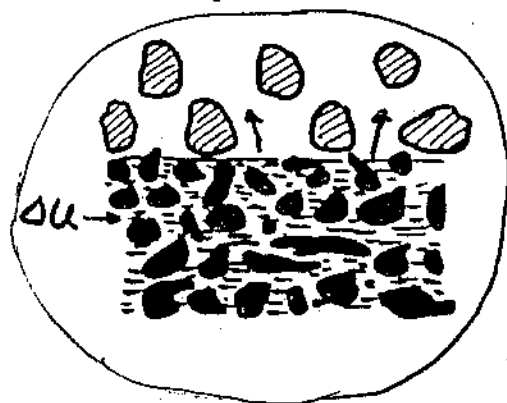
ενώ ο στερεός σκελετός παραμένει αφόρτιστος: $\Delta\bar{\sigma}_v \approx 0$

Τι γίνεται όμως αργότερα, καθώς αυξάνει ο χρόνος t;

Ποιοτική
Εξήγηση



Επιφάνεια
Επαφής:



$$t \geq 0^+$$

$$\Delta u_{z=0, z=2H} = 0$$

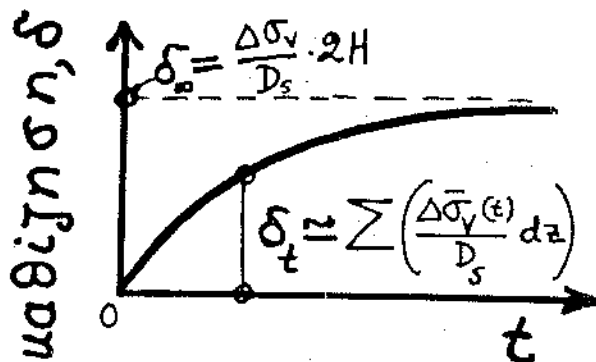
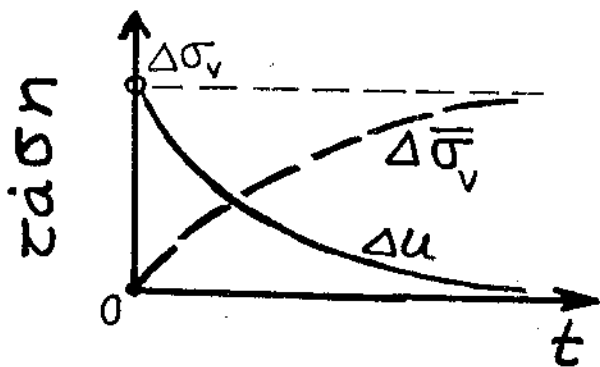
"Ελεύθερη" επιφάνεια

"Έτσι αρχίζει διαφυγή

του συμπιεζόμενου υγρού \Rightarrow ροή διαμέσθ
του εδαφικού
σώματος

Συγχρόνως $\Delta u \downarrow$, μέχρι που τελικώς:

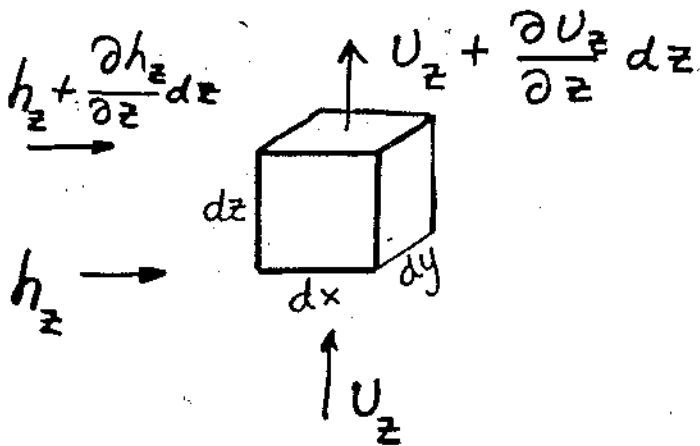
σ' όλα τα σημεία $\Delta u = 0, \Delta \bar{\sigma}_v = \Delta \sigma_v$



Μαθηματική ανάλυση του φαινομένου

(Με την προϋπόθεση ότι η $\Delta\sigma_v$ είναι αρνητικά μικρή, ώστε η γραμμική σχέση $\Delta\epsilon_v = \frac{1}{D_s} \Delta\bar{\sigma}_v$ να περιγράφει την αριβή σχέση $\sigma-\epsilon$)

Θεωρούμε το τυχαίο εδαφικό στοιχείο



Νόμος Darcy: ταχύτητα πορώσεως $u_z = -k \frac{\partial h_z}{\partial z}$

Εξίσωση συνέχειας: εισροή - εισροή = μεταβολή όγκου

$$\frac{\partial u_z}{\partial z} dz \cdot dx \cdot dy = \frac{\partial V}{\partial t} = \frac{1}{D_s} \frac{\partial \bar{\sigma}_v}{\partial t} \cdot dx \cdot dy \cdot dz$$

Επιπλέον:
$$\frac{\partial \bar{\sigma}_v}{\partial t} = \frac{\partial (\sigma_v - u)}{\partial t} = - \frac{\partial u}{\partial t}$$

$$h_z = h_{\text{γρωμ}} + \frac{1}{\gamma_w} (u_0 + u)$$

οπου το Δ έχει παραληφθεί από Δu , $\Delta \sigma$ για συντομία

$$\text{άρα } \frac{\partial^2 h_z}{\partial z^2} = \frac{1}{\gamma_w} \frac{\partial^2 u}{\partial z^2}$$

γιατι και το $h_{\text{γρwm.}}$ και το u_0 (υδροστατική πίεση) είναι γραμμικές συναρτήσεις του z !

Συνδυάζοντας τις παραπάνω εξισώσεις

και καλώντας $m_v \equiv \frac{1}{D_s} = \frac{d\varepsilon_v}{d\sigma_v} \therefore$

$\frac{\partial u(z,t)}{\partial t} = \frac{k}{m_v \gamma_w} \frac{\partial^2 u(z,t)}{\partial z^2} \quad \textcircled{1}$
<p>ελαστική εξίσωση 1-διάστατης σχεροποίησης</p>

συντελεστής σχεροποίησης

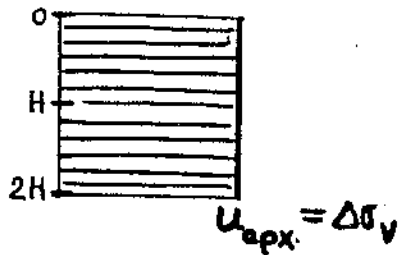
$$c_v = \frac{k}{m_v \gamma_w} = \frac{k D_s}{\gamma_w} \quad \text{διαστάσεις: } \left[\frac{m^2}{s} \right]$$

και η εξίσωση: $\frac{\partial u}{\partial t} = c_v \frac{\partial^2 u}{\partial z^2}$
 (οπου $u =$ υπερπίεση του υδατος πόρων)

Ζητείται λύση της (κλασσικής) εξίσωσης 1 η οποία να ικανοποιεί: (α) τις συνοριακές και (β) τις αρχικές συνθήκες του προβλήματος.

αρχικές συνθήκες:

$$t=0, \quad u(z) = u_{αρχ.} = \Delta\sigma_v \dots \dots \textcircled{2}$$



συνοριακές συνθήκες:

$$z=0 \text{ και } z=2H, \quad u=0 \quad t>0 \quad \textcircled{3}$$

("ελεύθερη" επιφάνεια)

ΕΠΙΛΥΣΗ: αναζητώ λύση της

μορφής $u(z,t) = F(z) \cdot G(t) \dots \dots \textcircled{4}$

Αντικαθιστώ στην ① :

$$\underbrace{\frac{F''(z)}{F(z)}}_{\substack{\text{συνάρτηση} \\ \text{μόνον του} \\ z}} = \underbrace{\frac{1}{c_v} \frac{G'(t)}{G(t)}}_{\substack{\text{συνάρτηση} \\ \text{μόνον του} \\ t}}$$

Άρα: λύση θα είναι δυνατή μόνον εάν

$$\frac{F''(z)}{F(z)} = \frac{1}{C_v} \frac{G'(t)}{G(t)} = \text{σταθερά, π.χ.} = -A^2 \therefore$$

$$\left. \begin{aligned} F(z) &= C_1 \cos Az + C_2 \sin Az \\ G(t) &= C_3 e^{-A^2 C_v t} \end{aligned} \right\} u = \left(C_4 \cos Az + C_5 \sin Az \right) e^{-A^2 C_v t}$$

όπου C_4, C_5 σταθερές που κληρώσεως προσδιορίζονται αν' τις αρχικές συνθήκες + οριακές συνθήκες.

$$(z=0, u=0) \therefore C_4 = 0$$

$$(z=2H, u=0) \therefore C_5 \sin 2AH = 0 \therefore 2AH = n\pi$$

$n=1, 2, 3, \dots$

$$\text{Η εξίσωση, όμως, } u = C_5 \sin \frac{n\pi z}{2H} \cdot e^{-n^2 \pi^2 C_v t / 4H^2}$$

δεν είναι δυνατόν να ικανοποιήσει την αρχική συνθήκη (2), δηλ. $u = \text{σταθερό} = \Delta\sigma_v, t=0$!!
οποιαδήποτε τιμή u αν δώσουμε στο n .

Παρατηρούμε όμως ότι όχι μόνον η εξ. (4)
αλλά και η

$$u(z, t) = \sum_n F_n(z) \cdot G(t) \quad \text{μπορεί και}$$

παινοποιεί την εξίσωση ①. Συνεπώς, λοιπόν, μήπως είναι δυνατό να γράψουμε την λύση της ① ως :

$$u(z, t) = \sum_{n=1,2,\dots}^{\infty} \left\{ C_n \cdot \sin \frac{n\pi z}{2H} \cdot e^{-\frac{n^2\pi^2 c_v t}{4H^2}} \right\}$$

Τότε για $t=0$ $u(z, t) = u(z, 0) = \Delta\sigma_v = u_{apx}$
και θα είχαμε:

$$\sum_{n=1,2,\dots}^{\infty} C_n \sin \frac{n\pi z}{2H} = u_{apx}$$

Της σειράς αζών Fourier οι συντελεστές υπολογίζονται ως εξής:

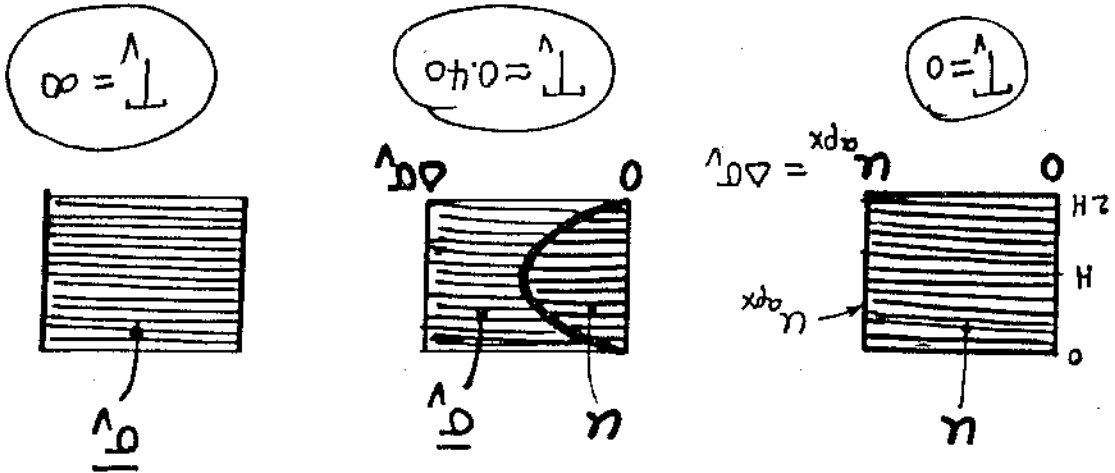
$$\begin{aligned} C_n &= \frac{1}{H} \int_0^{2H} u_{apx} \sin \frac{n\pi z}{2H} dz = \\ &= \frac{2}{n\pi} u_{apx} (1 - \cos n\pi) \end{aligned}$$

τελικώς,

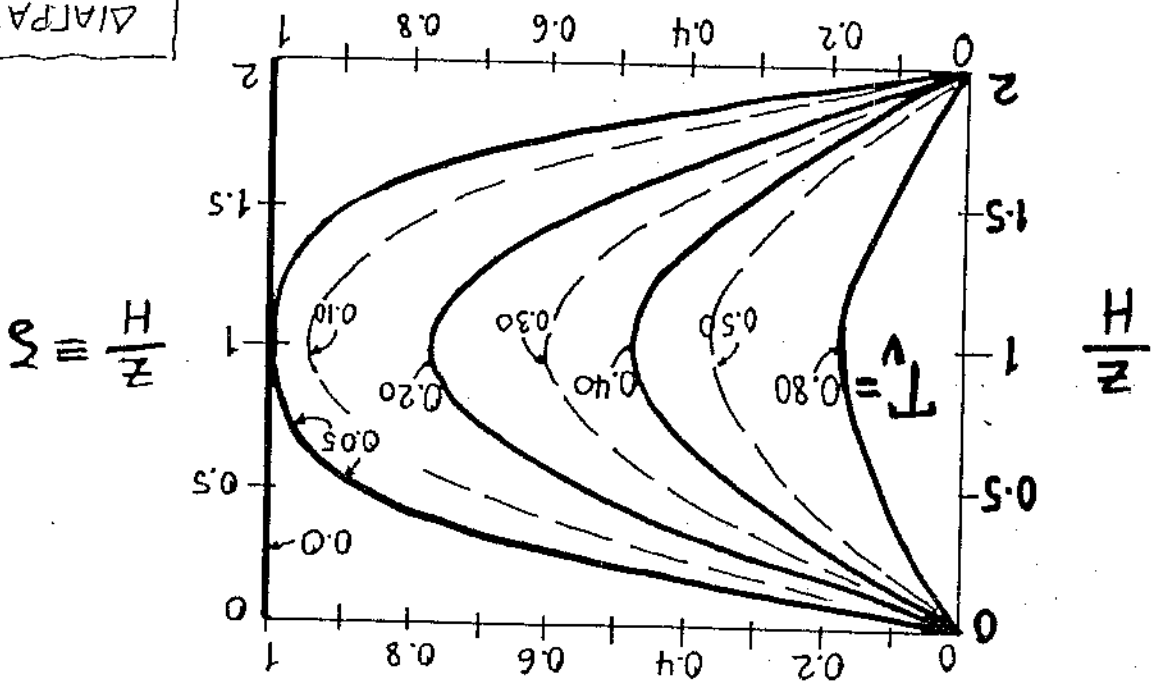
$$u(z, t) = \sum_{m=0,1,\dots}^{\infty} \left\{ u_{apx} \cdot \frac{2}{M} \cdot \sin \frac{Mz}{H} \cdot e^{-M^2 T_v} \right\}$$

όπου $M = (2m+1)\pi/2$, $T_v = c_v t / H^2$

óταν ο Χρονικός παράγοντας $T^* = C_v \frac{H^2}{t}$



$U = u/u_{\text{apx}}$



ΔΙΑΓΡΑΜΜΑ (A)

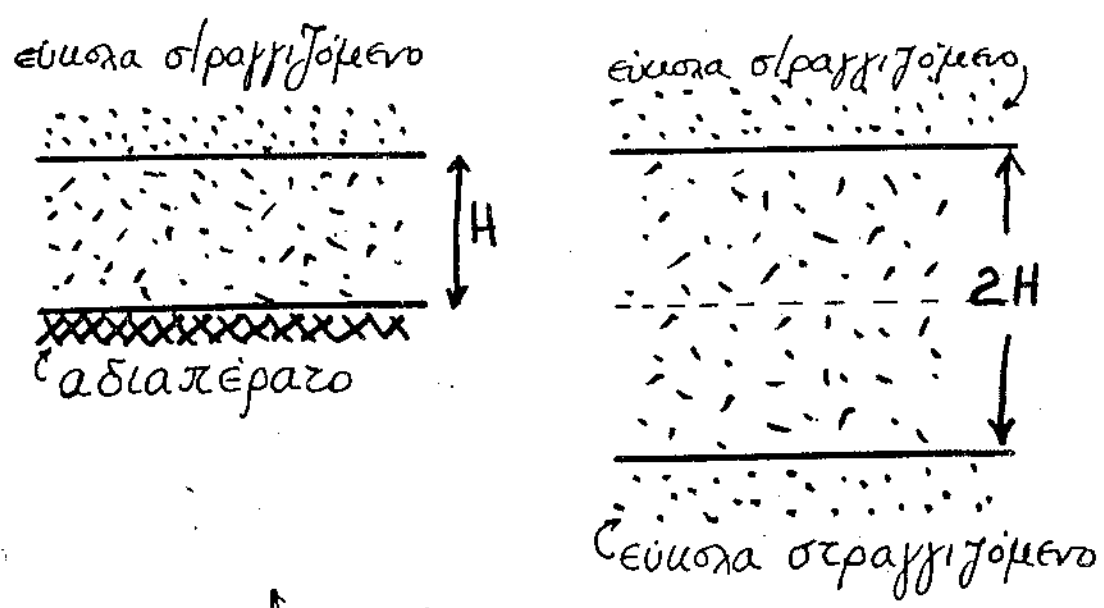
γραμμή ταράσσων της αυγής (σε αδιαστατά μορφή):

Παρατηρήσεις απ' το διάγραμμα

$$V = V(\zeta, T_v) :$$

1. Αμέσως ($t = 0^+$) μετά την επιβολή του $\Delta\sigma_v$ έχουμε πολύ μεγάλες κλίσεις πιέσεων στην κορυφή κ' πυθμένα (επιφανεια "ελεύθερης" ροής) αλλά κλίση = 0 στο μέσον ($z = H$). Άρα ΔE_v : αυξάνουν γρήγορα στην περιοχή κορυφής + πυθμένα
 ΔE_v : αυξάνουν ελάχιστα περί το μέσον του στρώματος
2. Εάν $T_v \gtrsim 0.3$ οι καμπύλες είναι σχεδόν ημιγονοειδείς
3. Οι κλίσεις υπερπιέσεων $\left(\frac{\partial V}{\partial \zeta}\right)$ για $x = H$ (στο μέσον) είναι συνεχώς = 0 \therefore άρα όχι ροή δια του μέσου επιπέδου! (όπως αναμέναμε λόγω συμμετρίας)

Συμπέρασμα συμπεράσματος 3 :



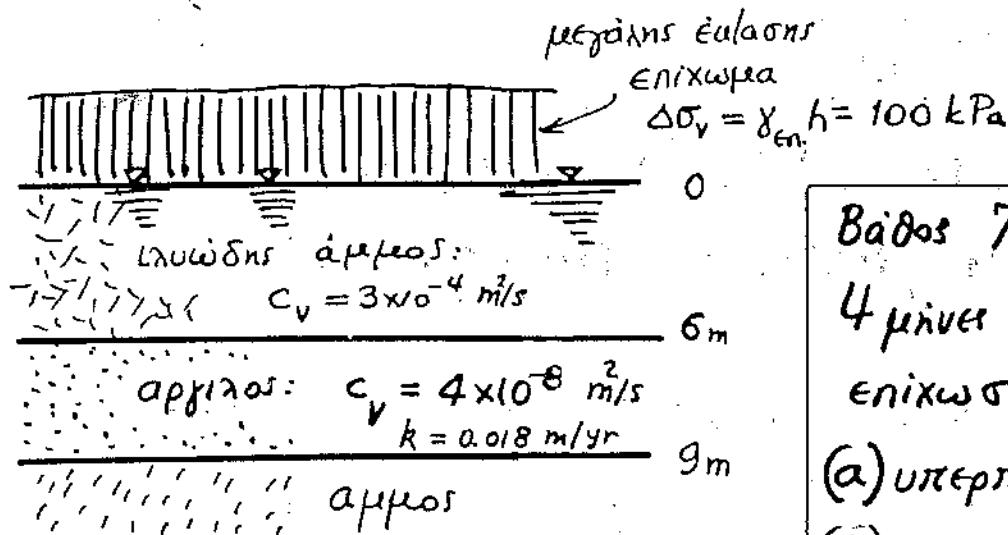
Τα δύο προφίλ είναι ευτελώς
ισοδύναμα από άποψη χρονικής
εξέλιξης των καθιζήσεων

(φυσικά, όχι κι από άποψη μεγέθους καθιζήσεων)

Θά μπορούσαμε να μελονομάσουμε
το H : μήκος μέγιστης (μακροσκοπικά)
υδατικής διαδρομής κατά την
διάρκεια της στραγγίσεως
(στερεοποίησης)

Ο όρος στερεοποίηση αφορά απ' το γεγονός ότι οι $\bar{\sigma}_v$ αυξάνουν με τον χρόνο — άρα και η διαμηττική αντοχή του υλικού προοδευτικά βελτιώνεται...

αριθμητική εφαρμογή



- Βάθος 7m,
 4 μήνες μετά την επίκωσα:
- (α) υπερπίεση u
 - (β) συνολική υδατική πίεση
 - (γ) ενεργός $\bar{\sigma}_v$
 - (δ) ταχύτητα ροής

Προφανώς: διπλή σπράγγιση ::

$$2H = 3\text{m} \therefore H = 1.5 \text{ m}$$

$$\frac{z}{H} = \frac{1}{1.5} = \frac{2}{3}, \quad T_v = 4 \times 10^{-8} \frac{4 \times 30 \times 24 \times 60 \times 60}{1.5^2} \approx 0.14$$

Διάγραμμα σελ. 9 $\Rightarrow \Delta u / u_{\text{αρχ}} \approx 0.75 \therefore (α) u = 0.75 \times 100 = 75$

(β) συνολική $u = u_0 + \Delta u = 10 \times 7 + 75 = 145 \text{ kPa}$

(γ) $\bar{\sigma}_v = \bar{\sigma}_{v0} + \Delta \bar{\sigma}_v = \underbrace{10 \times 7}_{\gamma \text{ αργίλου} + \text{πυλώδης άμμου}} + (100 - 75) \approx 95 \text{ kPa}$

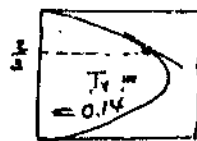
αριθμ. εφαρμογή (συνέχεια)

(δ) υδραυλική κλίση $i = \frac{1}{\gamma_w} \frac{\partial u}{\partial z}$ ($T_v = 0.14, \frac{z}{H} = \frac{2}{3}$)

από την κορυφή ($u/u_{αρχ} = z/H = T_v = 0.14$)

“διαβάζω”

$$\frac{\partial (u/u_{αρχ})}{\partial (z/H)} = \frac{H}{u_{αρχ}} \frac{\partial u}{\partial z} \approx 0.95$$



$$\frac{\partial u}{\partial z} = 0.95 \frac{100}{1.5} \approx 63 \quad \therefore v = k i = (0.018) \times 6.3$$

$$\approx 0.114 \text{ m/έτος}$$

$$i = \frac{63}{\gamma_w} \approx 6.3$$

Χρονική εξέλιξη καθιζήσεων της φορτιζόμενης επιφάνειας

Καθίσηση στο τέλος της στερεοποίησης:

$$\delta_{\infty} = m_v \Delta \sigma_v 2H = 2 m_v u_{αρχ} H$$

$m_v = 1/D_s$

Καθίσηση μετά από χρόνο t αν $l \ll w$ επιβολή του φορτίου:

$$\delta_t = \int_0^{2H} m_v \bar{\sigma}_v(t) dz = 2 m_v u_{αρχ} H - \int_0^{2H} m_v u dz$$

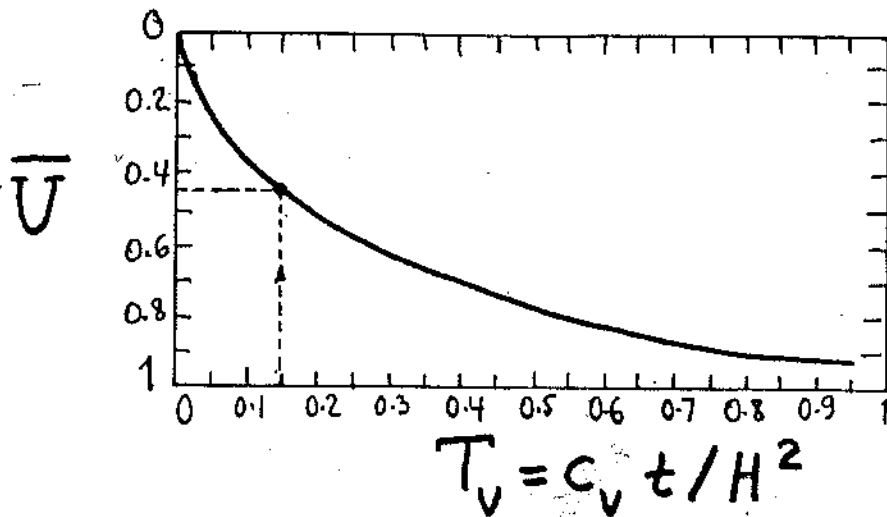
$$\sigma - u = u_{αρχ} - u$$

που μπορεί να υποσχεθεί
 αν αντικαταστήσει $u = u(z, t)$

Ενδιαφέρον για τις εφαρμογές έχει

ο λόγος: $\bar{U} = \frac{\delta_t}{\delta_\infty}$: (μέσος) βαθμός
στερεοποίησης

Είναι φανερό πως $\bar{U} = \bar{U}(T_v)$



ΔΙΑΓΡΑΜΜΑ
(B)

αριθμητική εφαρμογή: προβλ. πότος σελ. 316

(α) $\bar{U} \approx$; σίους 4 μήνες

(β) μετά πόσον χρόνο θα έχει "πραγματικά" συντελεσθεί η στερεοποίηση;

(α) $T_v \approx 0.14 \therefore$ διαβάζω $\bar{U} \approx 0.42$ (≈ 42%)

(β) όταν $T_v \approx 1$, $\bar{U} \approx 0.92$ και πραγματικά $\approx 1 \therefore$

$$c_v t / H^2 \approx 1 \therefore t \approx \frac{H^2}{c_v} = \frac{1.5^2}{4 \cdot 10^{-8}} \approx$$

$$\approx 1.78 \text{ έτη}$$

Γενικά, ο χρόνος που απαιτείται για $\bar{U} \geq 0.90$ (90% στερεοποίηση) θεωρείται ως χρόνος στερεοποίησης t_c :

για $\bar{U} \approx 0.92, T_v \approx 1 \dots$

$t_c \approx \frac{H^2}{c_v} = \gamma_w \frac{m_v \cdot H^2}{k}$	$= \frac{\gamma_w H^2}{k D_s}$
--	--------------------------------

δηλαδή ο χρόνος στερεοποίησης t_c :

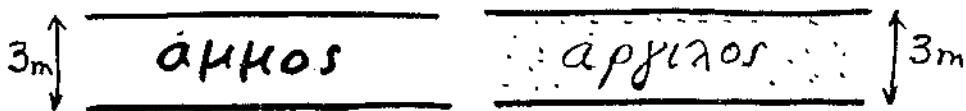
- αυξάνει όσο μεγαλώνει η συμπίεσιζότητα (m_v)
 (άρα μεγαλύτερη - βραδύτερη δηλ. μείωση υπερπλίεσεων - σε υλικά μεθάλου e)
- αυξάνει ανάλογα με H^2 (σε σφώσεις πολύ μεθάλου πάχους $t_c \sim \begin{matrix} \text{κάμποσα} \\ \text{χρόνια} \end{matrix}$)
- μειώνεται όσο μεγαλώνει το k
 (άρα πολύ μεθάλου χρόνοι για αμμώδη υλικά - πολύ μεθάλου για αργιλώδη...)

- είναι ανεξάρτητος του $\Delta\sigma_v$!

Αρα, γενικώς, σε άμμοις πρακτικώς $t_c \approx 0$
 και δίνει $k = \text{μεγάλο}$ και δίνει
 $m_v = \text{συνήθως μικρό}$ (ή $D = \text{μεγάλο}$).

Αριθμητική εφαρμογή: (1)

συμπίεσιμη άμμος = $\frac{1}{5}$ συμπίεσιμη άργιλος



συντελεστής διασφαλόμενης άμμος = $10,000 \times$ άργιλος

Πως σχετίζονται οι αριθμητικοί χρόνοι στερεοποίησης:

$$\frac{t_{\text{αρρ.}}}{t_{\text{αμμ}}} = \frac{1}{1/5} \frac{10000}{1} = \underline{\underline{50000}}$$

αριθμητική εφαρμογή: (2)

για στρώμα άργιλος 8m πάχος $t_{c3} = 10$ έτη

πόσο θα ήταν ο t_{c12} για στρώμα πάχος 32m

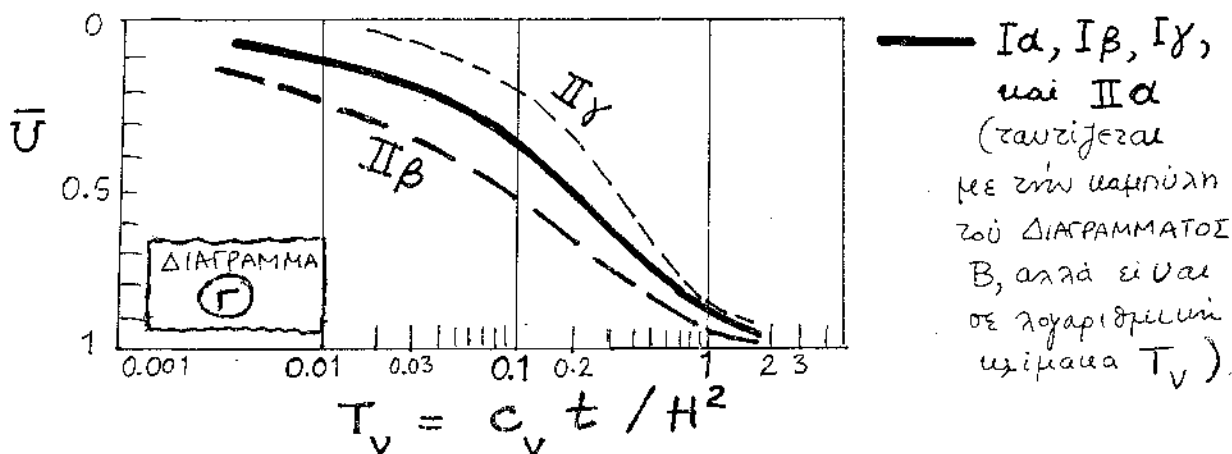
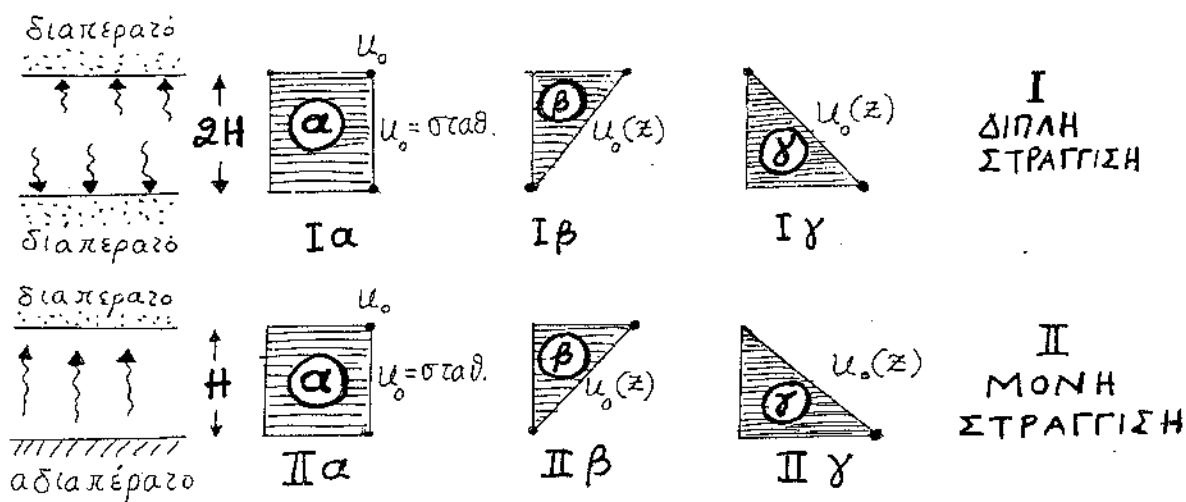
του ίδιου υλικού;

$$t_{c12} = t_{c3} \times \frac{32^2}{8^2} = 160 \text{ έτη !}$$

ΑΛΛΟΙ ΠΑΡΑΓΟΝΤΕΣ ΠΟΥ ΕΠΗΡΕΑΖΟΥΝ ΤΟΝ "ΒΑΘΜΟ ΣΤΕΡΕΟΠΟΙΗΣΗΣ", $\bar{U} = \delta(t)/\delta(\infty)$:

Η αρχική κατανομή υδατιών υπερπλίσεων

Το διάγραμμα Β και όλα τα προσηγηθέντα αναφέρονται σε ομοιόμορφη αρχική κατανομή: $u_{\text{αρχ}} \equiv u_0 = \text{σταθ.} = \Delta\sigma_v$ (βλ. και διάγραμμα Α). Είναι όμως πιθανόν, η αρχική αυτή κατανομή να πλησιάζει περισσότερο προς την τριγωνική. (π.χ.: επιβολή περιορισμένου-ελάσσης επιφανειακού φορτίου, υπό ασφάγγιες συνθήκες). Ο ρυθμός αποξήωσης των υδατιών υπερπλίσεων σε μία τέτοια περίπτωση ενδέχεται να είναι μεγαλύτερος ή μικρότερος του αντιστόχου ρυθμού της ομοιόμορφης αρχικής κατανομής, όπως προκύπτει απ' το σχήμα:

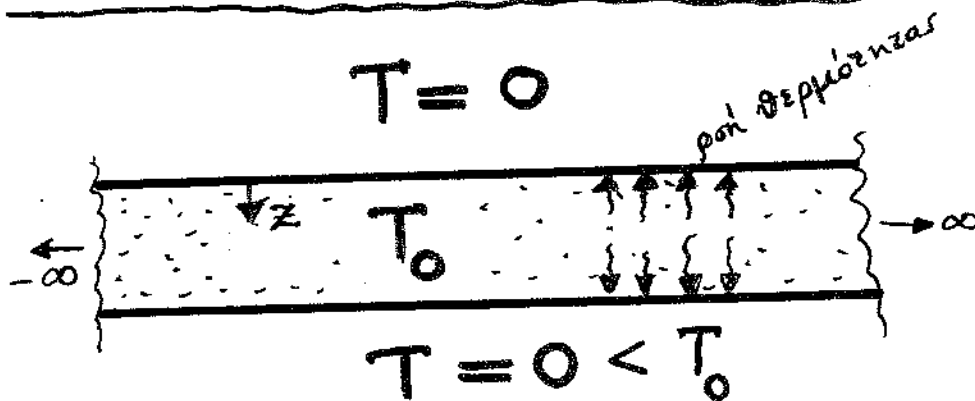


(Να δοθεί ποιοτική ερμηνεία της ανωτέρω συμπεριφοράς ως προς τον ρυθμό στερεοποίησης.)

Μαθηματικώς όμοια φαινόμενα:

(α) Χρονική Εξέλιξη
ΘΕΡΜΟΚΡΑΣΙΑΚΟΥ
ΠΕΔΙΟΥ

π.χ. ΣΤΟ ΕΙΣΩΤΕΡΙΚΟ ενός ΤΟΙΧΟΥ



$$\frac{\partial T(z,t)}{\partial t} = \sigma \frac{\partial^2 T(z,t)}{\partial z^2}$$

$$\sigma = \frac{\kappa}{\rho c}$$

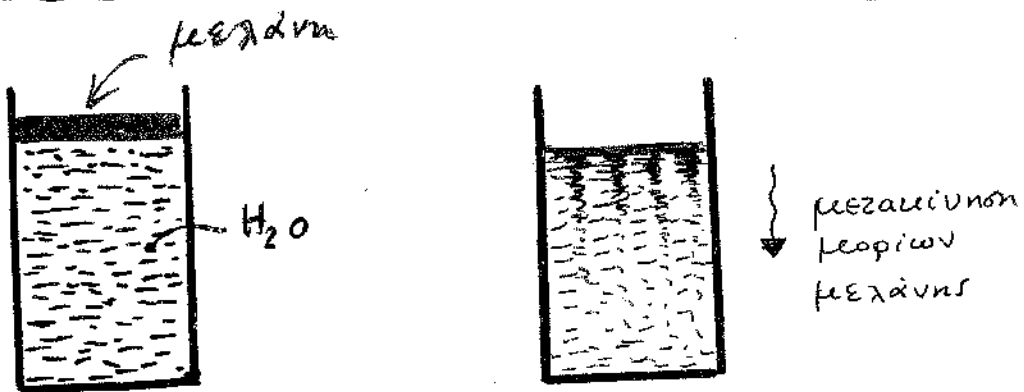
συντελεστής
θερμικής
αγωγιμότητας

πυκνότητα
υλικού τοίχου

ειδική
θερμοχωρητικότητα

(Ίδια μορφή η διεύθυνση
διαφορική εξίσωση. Παίρνει
αντιστοιχία: $T \leftrightarrow u$, $\sigma \leftrightarrow c_v$)

(β) ΔΙΑΧΥΣΗ "ΟΥΣΙΑΣ"
ΕΝΤΟΣ ΥΓΡΟΥ
π.χ. "ΑΠΛΩΜΑ" ΜΕΛΑΝΗΣ
ΣΕ ΥΕΡΟ



ΣΥΓΚΕΝΤΡΩΣΗ ΜΕΛΑΝΗΣ

$$C(z, t) \quad [\text{ποσότητα / μονάδα όγκου}]$$

$$\frac{\partial C}{\partial t} = \textcircled{D} \frac{\partial^2 C}{\partial z^2}$$

↓
ΣΥΝΤΕΛΕΣΤΗΣ
ΔΙΑΧΥΣΗΣ

Θυμάμαι πάλι η διόλου διαφορική εξίσωση είναι της ίδιας μορφής. Αναλογία: $C \leftrightarrow u$, $D \leftrightarrow c_v$.

[Βλ. π.χ. Στ. Τραχανιά: "Μερικές Διαφορικές Εξισώσεις", Πανεπιστημιακές Εκδόσεις Κρήτης, 2001.]

ΠΑΡΑΡΤΗΜΑ

- 1) Γκαζέτας Γ., (1988) **“Σκέψεις για μιά πιο Ορθολογημένη Ελληνική Γεωτεχνική Ορολογία”**, Πρακτικά 1ου Πανελληνίου Συνεδρίου Γεωτεχνικής Μηχανικής, Τόμος 3.
- 2) Γκαζέτας Γ., **“ Η Τοξωτή Λειτουργία του Εδάφους Αιτία Αστοχίας Αντιστηρίξεως”**, Πρακτικά 1ου Πανελληνίου Συνεδρίου Γεωτεχνικής Μηχανικής, Τόμος 1.
- 3) Λουκάκης Κ. & Γκαζέτας Γ., **“Σταθμοί Ανοικτού Ορύγματος, Μετρό Αθήνας : επιτόπου μετρήσεις και αντίστροφες αναλύσεις”**, Πρακτικά 3ου Πανελληνίου Συνεδρίου Γεωτεχνικής Μηχανικής, Τόμος 1.



Σκέψεις για μια πιο Ορθολογημένη Ελληνική Γεωτεχνική Ορολογία

Thoughts for a more Rationalized Greek Geotechnical Terminology

ΓΚΑΖΕΤΑΣ, Γ. Καθηγητής Ε.Μ.Π.

"Αμαθέστερον ειπέ, αλλά σαφέστερον"
ΑΡΙΣΤΟΦΑΝΗΣ.

ΣΥΝΟΨΗ Η ελληνική γλώσσα είναι κατάλληλη για την δημιουργία ορθολογημένης ορολογίας ως μέσου σκέψης κι επικοινωνίας στην γεωτεχνική. Οι δυσκολίες δεν είναι μικρές, ιδιαίτερα κατά την απόδοση ξένων όρων. Ακόμη και η επαναφορά στη γλώσσα μας ελληνογενών ξένων όρων είναι έργο ακανθώδες. Με συγκεκριμένα γεωτεχνικά παραδείγματα δείχνω ότι τα προβλήματα αυτά μπορούν να υπερνικηθούν αν διαθέτουμε "επιστημονική ενημερότητα και γλωσσική εγρήγορση" [4].

ΠΡΟΒΛΗΜΑ ΚΑΙ ΠΡΟΤΑΣΗ

Γενική είναι η πεποίθηση ότι η ελληνική τεχνική ορολογία πολύ απέχει απ' το να έχει αναπτυχθεί σε βαθμό εφάμιλλο προς την ορολογία τής αγγλικής. Ως ένα-δε σημείο η καθυστέρηση αυτή ήταν αναπόφευκτη, μια που στην αγγλική εν πολλοίς καταγράφηκε η ταχύτερη πρόοδος των επιστημών τον τελευταίο μισόν αιώνα.

Η κατάσταση τής γεωτεχνικής ορολογίας δεν αποτελεί εξαίρεση απ' τον γενικό κανόνα. Κάθε άλλο μάλιστα απ' την σωρεία των καινοεργιών εννοιών και όρων που ξεκίνησαν τα τελευταία 30 ιδίως χρόνια ένα μέρος μόνου αποδόθηκε στα ελληνικά με τρόπον ορθολογικό. Έτσι η ορολογία μας πάσχει από:

- αμφίλογη πολυσημία
- ανελληνιστη περίφραση
- έλλειψη ακριβολογίας και ονομαστικότητας
- εκφραστική δυσκαμψία

ενώ δεν είναι καθόλου ασυνήθιστη η χρησιμοποίηση αμετάφραστων ξενικών όρων στον προφορικό ιδίως, αλλά και στον γραπτό μας λόγο, όπως διαπιστώσαμε και σε τούτο το Συνέδριο.

Με την πεποίθηση ότι η ελληνική είναι μια γλώσσα με αφόραστη πλαστικότητα, λεξιπλαστική ευελιξία, προσαρμοστικότητα και ανεκτικότητα τρισχιλιετή πλούτο, στο όρθρο αυτό υποστηρίζω (συνοπτικά και κάπως αμέθοδα) την ανάγκη για την καλλιέργεια ελληνικής ορολογίας ως μέσου σκέψης κι επικοινωνίας (και) στην γεωτεχνική.

Η ΓΕΝΕΣΗ ΕΝΟΣ ΟΡΟΥ

Την γένεση ενός όρου επιβάλλει η ανάγκη να ονοματισθεί ένα νέο αντικείμενο ή μια νέα έννοια, ή να χαρακτηριστεί μια ιδιότητα, μια διαδικασία, μια κατάσταση για τις οποίες δεν υπήρχε ξεχωριστός "όρος". Ένας "όρος" δεν είναι παρά ένα κ α ι ν ο υ ρ γ ι ο σ ύ μ β ο λ ο [3], μια λέξη ή φράση η οποία έχει περιορισμένο ή αποκλειστικά δικό της περιεχόμενο. Όταν πρωτοεισάγεται, ένας "όρος" "δεν σημαίνει" τίποτε: είναι η χρήση του αυτή που τον τροφοδοτεί με νοηματικό περιεχόμενο. Οι "όροι" δεν είναι μόνον ονόματα, αλλά και ρήματα, επίθετα, επιρρήματα, προθέσεις, και μεταχές.

Οι τεχνικοί όροι δεν δημιουργούνται από ειδικές επιτροπές φιλολόγων ή γλωσσολόγων, ούτε από καμιά Ακαδημία γραμμάτων κι επιστημών. Αλλά απ' τους ίδιους τους επιστήμονες/τεχνικούς οι οποίοι πρωτοχρησιμοποιούν ή και επαναστούν την αντίστοιχη θεωρία ή τεχνολογία. Το πόσο επιστημονική ενημερότητα, την γλωσσική εγρήγορση, και την ευρυμάθεια του πρώτου χρήστη-ή, το πολύ, των πρώτων χρηστών [4].

Η δημιουργία (πρωτογενής ή μεταφραστική) νέων όρων δεν πρέπει να γίνεται "στα κουτούρο", ούτε με απλή αναφορά στο πρώτο ξενοελληνικό λεξικό που θα πέσει στα χέρια του χρήστη-μεταφραστή. Απαιτείται εξουχιστική ετυμολογική, αξιολογική, και ορισμολογική συσχέτισή τους με κάθε άλλον "όρο" της ευρύτερης επιστημονικής περιοχής στην οποία πρόκειται να ενταχθούν. Χρειάζεται ακόμη αποχρωστική παραβολή των νέων όρων τόσο με τα συνώνυμα και συγγενικά τους, όσο και με τα αντώνυμα τους. Τα λήματα που θα χρησιμοποιηθούν μπορεί θαυμάσια να παρθούν απ' την πανελλήνια γλώσσα των τελευταίων τριών χιλιετών χρόνων, στην αρχαία, την βυζαντινή, την σύγχρονη ή την λαϊκή "δημόδη" μορφή τους. Η ακόμη και από ξένες γλώσσες και ιδιώματα. Φτάνει να είναι λέξεις πλασμένες κατά τους γραμματικούς κανόνες της λαλιάς μας, και να προσφέρουν κάτι "καινούργιο" σε απόχρωση και διακρίσιμότητα [2].

Και "αρχαίες", λοιπόν, λέξεις; Μα· ποιά άλλο γλωσσικό ιδίωμα τροφοδότησε την αγγλική επιστημονική ορολογία (μαθηματικά, φυσική, αστρονομία, ιατρική κλπ.) σε τόση έκταση όση η αρχαία ελληνική; "Όταν η δημοτική μας γλώσσα δεν έχει μια λέξη που μας χρειάζεται, παρνών τη λέξη από την αρχαία και προσπαθώ ό σ ο ε ί ν α ι δ υ ν α τ ο ν α τ η ν τ α ι ρ ι δ ῶ μ ε τ η ν γ ρ α μ μ α τ ι κ ῆ τ ο ῦ λ ο ο ῦ", είχε πει ο ίδιος ο Ψυχάρης [3,6].

Λοιπόν, είναι κρίμα να αρνούμαστε δάνεια με λέξεις τής αρχαίας οι οποίες ξαναφερμένες στην ελληνική με παράλληλα ή επικαιρωμένα περιεχόμενα, θα μπορούσαν να περιόρισουν την "αμφίλογη πολυσημία" τής ορολογίας μας [2].

Αλλά και ξενικής προέλευσης λέξεις, κατάλληλα αφοσιωμένες και υποταγμένες στους κανόνες της λαλιάς μας, μπορεί θαυμάσια να αποτελέσουν ε λ λ η ν ι κ ῶ τ α τ ο υ ς ό ρ ο υ ς. Όπως, π.χ., ο "κοφές" (κλίνεται, άνετα σχηματίζει παράγωγα και σύνθετα) και ο "ουμανισμός". Στην γεωτεχνική

κή έχουμε την "πενετρομέτρηση" ("πενετρόμετρο", "πενετρομετρώ") και την "πρεσιόμετρηση" -- επιτυχείς μεταφορές ξένων όρων, των οποίων άλλωστε το δεύτερο συνθετικό ήταν ήδη δάνειο απ' την ελληνική Σ' αντίθεση με τα "φραγκαχιώτικα" [2] τύπου "Αλβινγκ ρούμι", "κομπιούτερ", "ηρόντερ", "πλάττερ", και τόσα μεταγραμματισμένα όκλιτα ανελλήνιστα κατασκευάσματα που κατακλύζουν πια την καθημερινή μας ομιλία αλλά και την τεχνική μας ορολογία, συχνά μάλιστα με νοηματικό περιεχόμενο διαφορετικό απ' αυτό του αρχικού ξένου όρου.

ΚΡΙΤΗΡΙΑ ΓΙΑ ΤΗΝ ΔΗΜΙΟΥΡΓΙΑ ΕΝΟΣ ΟΡΟΥ

Συνοψίζοντας τις προηγούμενες σκέψεις, θα μπορούσε κανείς να διατυπώσει σε γενικές γραμμές τα ακόλουθα κριτήρια με τα οποία πρέπει να δοκιμάζεται κάθε υποψήφια λέξη (λήμμα), πριν ενταχθεί ως "όρος" στην ορολογία μας. Σχεδόν αντιγράφοντας απ' τα "Προλογικά" του Κολαίτη [2] :

1. Ένας όρος οφείλει να είναι ικανός να σταθεί δίπλα στο πλήθος των άλλων όρων, ιδιαίτερα των συγγενικών, με την δική του ιδιομερή, επιμεριστική, και διακριτά αποκλειστική έννοια. Ένας όρος τότε μόνον έχει αυτοτέλεια όταν ούτε επεμβαίνει στο περιεχόμενο άλλων όρων, ούτε ζημιώνεται από τυχόν διαστύρωση του περιεχομένου του με το περιεχόμενο συνώνυμων ή συγγενικών όρων. Δεν (πρέπει να) αποτελούν όρους λέξεις με "αμφίλογη πολυσημία" (όπως η λέξη "μοντέλο" που αναλύεται παρακάτω), ούτε λέξεις που προκαλούν άσχετους εννοιολογικούς συνειρμούς.
2. Ένας όρος οφείλει να είναι "ελληνικός", έστω κι αν δεν έχει ελληνική καταγωγή. Αρκεί να είναι αφομοιώσιμος και να υποτάσσεται στους γραμματικούς κανόνες της "απέριτης ελληνικής λαλιάς" [2].
3. Ένας όρος οφείλει να είναι ικανός να συμβολίζει το περιεχόμενο με το οποίο ορισμολογείται, όσοδήποτε βαθύ ή στεινό και να παρουσιάζεται. Ένας όρος δεν πρέπει σώνει και καλά να είναι "αυτονόητος".
4. Ένα λήμμα είναι χρήσιμο ως "όρος" όταν απ' το θέμα του μπορεί να παραχθούν άλλοι όροι με συναφές περιεχόμενο.

Με συγκεκριμένα παραδείγματα όρων γεωτεχνικής προελεύσεως, ή όρων ευρύτατα χρησιμοποιούμενων στην γεωτεχνική, προσπαθώ να επεξηγήσω μερικές απ' τις αναφερθείσες γενικές αρχές και έννοιες.

ΠΑΡΑΔΕΙΓΜΑ ΑΠΟΦΥΓΗΣ ΤΗΣ ΑΜΦΙΛΟΓΗΣ ΠΟΛΥΣΗΜΙΑΣ

Το "Μοντέλο"

Ο όρος αυτός, με τα άχαρα παράγωγά του "μοντελάριω" και "μοντελάρισμα", αποτελεί μεταγραμματισμό του ουσιαστικού "model". Χρησιμοποιήθηκε μάλιστα τόσο συχνά και σ' αυτό εδώ το συνέδριο, τουλάχιστον για τρεις-τέσσερις διαφορετικές και όχι πάντοτε ευδιάκριτες έννοιες... Στην καθημερινή δε ομιλία χρησιμοποιούμε το "μοντέλο" και για κάμποσες άλλες ακόμη έννοιες, ποτοποιώντας έτσι αξιολογικές αιτιολογικές διαφορές.

Κι όμως, όπως τόνισε ο καθηγητής κ. Θ. Τάσιος, οχτώ ξεχωριστά ελληνικά όροι μπορούν να αποδώσουν με σαφήνεια το ιδιομερές και αποκλειστικό περιεχόμενο κάθε μιας απ' τις έννοιες τις οποίες θέλει να συμβολίζει το

"μοντέλο". Σχεδόν αντιγράφοντας απ' το σχετικό άρθρο του κ. Θ. Τάσιου [5], ιδού οι οχτώ αυτοί όροι:

- (1) "Προσομοίωμα": ορθολογική (ποιοτική ή μαθηματική) περιγραφή φυσικού ή κοινωνικού φαινομένου για θεωρητική ανάλυση ή για σχεδιασμό. (This numerical model predicts the lateral deformation of a pile group.)
- (2) "Όμοιομα" ή "δοκιμα": υπό-κλίμακα κατασκευάσμα για πειραματικούς σκοπούς στην μηχανική, υδραυλική, αεροδυναμική, ναυπηγική κλπ. (A 1:5 model of the retaining structure was tested on the shaking table. A centrifuge model of the embankment.)
- (3) "Πρότυπο": αντικείμενο για μίμηση ή αναπαραγωγή. (He just copied the model given by the inventor.)
- (4) "Υπόδειγμα": ότομο, πρόξη, ή ιδέα που προσφέρονται ως παράδειγμα προς μίμηση. (A model behavior. Terzaghi's way of combining theory with practice still serves as a model to geotechnical engineers.)
- (5) "Πρόπλασμα": για παιχνίδια, για προετοιμασία ή για επίδειξη (εκπαιδευτική, καλλιτεχνική, πολιτική...). (They displayed a model of the dam and reservoir. A model of the final statue.)
- (6) "Φιγουρίνι": πρωτότυπο κομμάτι, κυρίως στην ραπτική φορεμάτων. (She is charming in her Schiaparelli's model.)
- (7) Τύπος αυτοκινήτου: ("Beetle" was the most successful model of VW.)
- (8) "Καλλιτεχνικό μοντέλο": πρότυπο που ποιάρει για φωτογραφία, ζωγραφική ή γλυπτική, είτε ως μοντέλο. (She works as a model in the Modern Arts Department.)

ΠΑΡΑΔΕΙΓΜΑΤΑ ΑΠ' ΤΗΝ ΜΕΤΑΦΡΑΣΗ ΞΕΝΩΝ ΟΡΩΝ ΣΤΗΝ ΕΛΛΗΝΙΚΗ

Η απόδοση ξένων όρων στη γλώσσα μας δεν είναι δουλειά εύκολη. Απαιτεί επιστημονική ευνημέρτητα, γλωσσική εγρήγορη κι ευαισθησία, και εφευρετικότητα. Χρειάζονται έγκαιρες προσπάθειες, λίγο μόλις γεννηθεί ο ξένος όρος, πριν να γίνει πλατύτερα γνωστή στην Ελλάδα η αντίστοιχη θεωρία ή τεχνολογία η οποία τον πρωτοχρησιμοποίησε. Αλλιώς, ο κίνδυνος να ριζώσει ο ξενικός όρος είναι μεγάλος [βλ. παραπομπή 4].

Η παλινδυσση ελληνογενών ξένων όρων

Ας μη μας ξεγελούν οι ελληνικές προελεύσεως λέξεις που υιοθετήθηκαν στην αγγλική. Πολύ σπάνια οι δάνειες αυτές λέξεις συμβολίζουν το ίδιο περιεχόμενο με τα (αρχικά, συνήθως) ελληνικά πρωτότυπά τους. Ακόμη σπανιότερη είναι η σύμπτωση σε νοηματική απόχρωση του ξένου όρου με τον αντίστοιχο όρο του σύγχρονου λεξιλογίου. Χτυπητό παράδειγμα αναντιστοιχίας ξένου και ελληνικού όρου αποτελεί η αγγλική λέξη empathy που σημαίνει συμπάθεια κι όχι εμπάθεια, όπως θα περίμενε κανείς. Ιδού μερικά άλλα παραδείγματα:

"Cyclic". Η απόδοσή του στα ελληνικά ως κυκλικός-ή-ό είναι άστοχη. Διότι, βεβαίως, το "cyclic" stress δεν αναφέρεται σε ένταση μεταβαλλόμενη κατά σχήμα κύκλου: κάτι τέτοιο θα αποδίδονταν με το "circular" κι όχι με το "cyclic". Αντίθετα, το "cyclic" υποδηλώνει την επαναλαμβανόμενη ετερόσημη ένταση, η οποία θα μπορούσε να αποδοθεί θαυμάσια ως "ανακυκλιζόμενη" ή "ανακυκλική" ένταση.

"Plastic limit", "plasticity index". Η αυθόρμητη (αλλ' αστόχαστη) απόδοση των όρων αυτών ως "όριο πλαστικότητας" και "δείκτης πλαστικότητας" έχει επικρατήσει πλήρως

στην γεωτεχνική. Ετσι, αργιλικά εδαφικά υλικά με υψηλές τιμές του όρου και του δείκτη πλαστικότητας χαρακτηρίζονται ως "πλαστικές" άργιλοι. Αντίθετα, όσο οι τιμές αυτές γίνονται μικρότερες τόσο το αργιλικό υλικό θεωρείται "λιγότερο πλαστικό".

Αντιλαμβάνεται κανείς την σύγχυση με την "πλαστική" μηχανική συμπεριφορά. Και βέβαια, διαν πρωτοχρησιμοποήθηκε το λήμμα "plasticity" στους δύο μελετούμενους όρους, η θεωρία της πλαστικότητας δεν είχε καλὰ-καλά αναπτυχθεί στην μηχανική. Σήμερα όμως; Να δύο παραδείγματα που συνηγορούν υπέρ της ανάγκης αλλαγής ορολογίας.

Σας υπενθυμίζω, πρώτα, την Άργιλο του Μεξικού. Πρόκειται ασφαλώς για μια ακραία περίπτωση εδαφικού υλικού, με "όριο πλαστικότητας", PL, της τάξεως του 250% και "δείκτη πλαστικότητας", I_p, της τάξεως του 200! Θα χαρακτηρίζονται λοιπόν ως εβδχως "πλαστική" άργιλος. Κι επειδή ένας "όρος" (επιστημονικός μάλιστα) πρέπει να συμβολίζει το περιεχόμενο με το οποίο αρμοιολογείται, θα ανέμενε κανείς ότι η άργιλος αυτή παρουσιάζει και εντόνως ανελαστική (πλαστική) συμπεριφορά. Ουδέν ψευδέστερον! ...

Σας υπενθυμίζω απ' την χησεινοβραδινή ειδική ομιλία μου ότι η Άργιλος του Μεξικού υποβαλλόμενη είτε σε διαμήκη ανεμπόδιτη πίεση (Σχ. 1), είτε σε απλή διάτμηση (Σχ. 16 του άρθρου μου σ' αυτόν τον Τόμο), παρουσιάζει σχεδόν τελείως γραμμική και ελαστική συμπεριφορά σε πολύ μεγάλο εύρος παραμορφώσεων. Δεν έχει βρεθεί μέχρι σήμερα πιο ελαστικό εδαφικό υλικό στη φύση!

Σε διαμετρική αντίθεση, μια χαλαρή άμμος με δείκτη και όριο "πλαστικότητας" μηδέν θα χαρακτηριζόταν ως "άνευ πλαστικότητας", παρόλο που η μηχανική της συμπεριφορά σε θλιπτική ή διατμητική εξάρτηση είναι μη-γραμμική και πλαστική. Παρατηρήσατε στο Σχ. 2 ότι η ανηγμένη παραμόρφωση (=τροπή*) που απαιτείται για την ανάπτυξη της μέγιστης διατμητικής αντίστασης του υλικού είναι της τάξεως του 10% -- πρόσθετη ένδειξη μεγάλης πλαστικότητας.

Συμπέρασμα: το όριο PL και ο δείκτης PI δεν είναι ενδεικτικά της πλαστικότητας ή μη ενός εδαφικού υλικού. Αλλάωστε η μηχανική συμπεριφορά ενός εδαφικού στοιχείου δεν εξαρτάται μόνον απ' το είδος του υλικού αλλά και από την αρχικώς επικρατούσα και την επιβαλλόμενη εντατική κατάσταση!

Ευτυχώς η ελληνική γλώσσα διαθέτει κατάλληλη λέξη η οποία μπορεί ακριβολογικά να συμβολίσει τις κρινόμενες έννοιες. Πρόκειται για την "π λ α σ τ ι κ ό τ η τ α", όρο τον οποίο χρησιμοποιούμε στο Πολυτεχνείο εδώ και τριάντιστα χρόνια [1]. Προέρχεται από το ρήμα π λ α σ τ ω, που περιγράφει με ακρίβεια την δοκιμασία στην οποία υποβάλλω το αργιλικό δείγμα για την εκτίμηση των PL και PI. Ετσι μια άργιλος θα είναι περισσότερο ή λιγότερο π λ α σ τ ι κ ή, όσο μεγαλύτερα ή μικρότερα είναι το όριο και ο δείκτης π λ α σ τ ι κ ό τ η τ α s, PL και PI.

Προτείνω λοιπόν την αντικατάσταση του αμφίλογου όρου "πλαστικότητα" με του όρου "πλασιμότητα". Εκτός απ' την ακριβολογία που προσφέρει, ο νέος όρος είναι καλόχρος και δεν διαφέρει πολύ απ' τον σημερινό. Άρα δεν πρόκειται να προκαλέσει σύγχυση.

(*) Ο όρος "τροπή" επινοήθηκε απ' τον άλλοτε καθηγητή στο ΕΜΠ κ. Κ. Μυλωνά [7] αντί της άχρηστης περιφρασής "ανηγμένη παραμόρφωση". Πέρα απ' το προτέρημα της συνοπτικότητας, ο όρος "τροπή" οδηγεί στον όρο "δ υ σ τ ρ ο π ί α" ο οποίος μπορεί να χρησιμοποιηθεί αντί των συνήθως χρησιμοποιούμενων όρων "δυσκαμψία" ή "ακαμψία", οι οποίοι είναι μάλλον ατυχείς για την περιγραφή της αντίστασης ενός εδαφικού υλικού σε επιβαλλόμενη παραμόρφωση.

ΜΕΡΙΚΑ ΠΑΡΑΔΕΙΓΜΑΤΑ ΑΣΤΟΧΩΝ ΓΕΩΤΕΧΝΙΚΩΝ ΟΡΩΝ

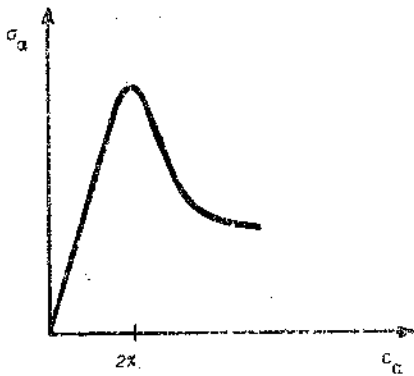
Το "φαινόμενο βάρος": Φυσικό το περιγραφόμενο δεν είναι ούτε φαινόμενο, ούτε βάρος! Είναι απλώς το "ε ι δ ι κ ό β ὀ ρ ο s" του εδαφικού υλικού, δηλαδή ο λόγος βάρους προς όγκον. Το εδαφικό υλικό είναι υλικό σπυθρο, και μάλιστα τριφασικό: στερεοί κόκκοι, νερό κι αέρας. Κάθε μια απ' τις συνιστώσες τρεις φάσεις έχει βεβαίως το δικό της "ειδικό βάρος". Αυτό όμως δεν είναι λόγος για να αποκλεισθεί ο όρος "ειδικό βάρος" απ' το σύνθετο (εδαφικό) υλικό. Αλλιώςτε και το σκυρόδεμα έχει συστατικά υλικά, το καθένα με το ιδιαίτερό του "ειδικό βάρος". Κανένας όμως δεν σκέφτηκε να πει ότι το σκυρόδεμα δεν...δικαιούται "ειδικού βάρους" κι ότι ο λόγος βάρους προς τον αντίστοιχο όγκο πρέπει να λέγεται "φαινόμενο βάρος". (Άσε που η έννοια του "στερεού" υλικού δεν αντέχει στο μικροσκοπικό ακόμη κι ο χάλυβας έχει τα περιφερόμενα ηλεκτρονικά του...).

Λοιπόν, ας λέμε τα πράγματα με τ' όνομά τους, κι ας εγκαταλείψουμε τον όρο "φαινόμενο βάρος", που αν μη τι άλλο μοιάζει να υπαινίσσεται το "βάρος υπό άνωση". Δεν πειράζει καθόλου αν έχουμε πολλά ειδικά βάρη: των "στερεών" κόκκων, του νερού, του αέρα, και του εδαφικού υλικού! Καλό θάταν επίσης να χρησιμοποιούμε το "ειδικό βάρος" όσο γίνεται λιγότερο για χάρη της "πυκνότητας", μια που αυτή είναι το θεμελιώδες μέγεθος.

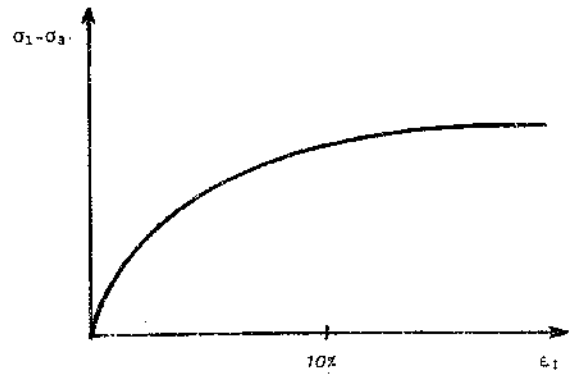
Το "ψαθυρά εδάφη": Ετσι ατυχώς εξακολουθούν να ονοματίζονται μερικά τα "κοκκώδη εδαφικά υλικά". Φυσικά είναι γεωτεχνική κοινοτοπία το γεγονός ότι η ψαθυρότητα εξαρτάται όχι τόσο από την κοκκομετρική σύνθεση και την "πλασιμότητα" του υλικού όσο απ' την προϊστορία του και απ' το τι είδους εντατική κατάσταση επιβάλλουμε. Χαλαρές άμμοι υποβαλλόμενες σε διαμήκη θλίψη ή σε διάτμηση δεν συμπεριφέρονται καθόλου-μα-καθόλου σαν ψαθυρά υλικά (υπενθυμίζω το Σχ. 1). Αντίθετα, μια προφορτισμένη (ή και κατ' άλλον τρόπο υπερπροποτισμένη) άργιλος ενδέχεται να δείξει έντονη ψαθυρότητα διαν υποστεί τις ίδιες μηχανικές εξαιτήσεις, στο εργαστήριο ή στην φύση.

ΜΕΡΙΚΕΣ ΙΔΕΕΣ ΓΙΑ ΤΗΝ ΑΠΟΔΟΣΗ ΞΕΝΩΝ ΟΡΩΝ, ΧΩΡΙΣ ΣΧΟΛΙΑΣΜΟ

- "back pressure" = ενδοπίεση
- "clay particles" = αργιλικά πλακίδια *(αν όχι αργαλιόδια -- σύγχυση με ηερκινική φυσική)*
- "deterministic" = προσδιοριστικός
- "deviatoric" (stress) = διεκτροπική (τάση)
- "dilatancy" = διασταλτικότητα (ή διαστολικότητα)
- "dynamic (cyclic) compaction" = δυναμική συνζηση (ή διατμητική ανακυκλική συνζηση) -- στην εδαφодυναμική
- "excitation" = διεγερση, εξάρτηση
- (dynamic) "impedance" = σύνθετη δυναμική δυσκαμψία (στις ταλαντώσεις θεμελίων)
- "performance" = επιτελεστικότητα
- "resonant column" = δοκιμή συντονισμού
- "rocking" = λικνισμός
- "swaying" = παλινδισμός
- "Standard" Penetration Test = Δοκιμή Κρουστικής Διεσθυσής (ή, το πολύ, Τυποποιημένη Δοκιμή Διεσθύσεως -- επουδενί λόγω "Γρότυπη")
- "stiffness" = δυσκαμψία (γενικώς)
- (soil) "stiffness" = (εδαφική) δυστροπία (τροπή = ανηγμένη παραμόρφωση).



Σχ. 1. Αρνίλιος τής Πόλης τού Μεξικού ($f_D = 200\%$, $FL=200\%$ και $LI = 450\%$), σε ανεμπόδιστη θάλαση: εντόνως γραμμική ελαστική συμπεριφορά.



Σχ. 2. Χαλαρές ήμμοι ($f_D = 0$) σε "τριαξονική κυλινδρική συμπίεση": εντόνως πλαστική συμπεριφορά.

ΕΥΧΑΡΙΣΤΙΑ

Στον καθηγητή κ. Θεοδοίο Ι. Τάσιο οφείλω τόσο την έμπνευση όσο και πάμπολλες απ' τις ιδέες αυτού εδώ τού άρθρου.

ΠΑΡΑΠΟΜΠΕΣ

1. Γκαζέτας Γ. (1985). Σημειώσεις Εδαφομηχανικής. Έκδοση ΕΜΠ.
2. Κολαζής Μ. (1970). Αγγλοελληνικό Λεξικό τών Θεωρητικών και Εφαρμοσμένων Μαθηματικών. Έκδοση Τ.Ε.Ε.
3. Τάσιος Θ.Π. (1977). "Η Νεοελληνική στις θετικές επιστήμες". Έκδοση Εταιρείας Σπουδών Νεοελληνικού Πολιτισμού και Γενικής Παιδείας, Αθήνα.

4. Τάσιος Θ.Π. (1980). "Έτερογονίες στην Απόδοση Τεχνικών Όρων". Πρωτότυπο & Μετάφραση, Αθήνα.
5. Τάσιος Θ.Π. (1986). "Θετικοί επιστήμονες και γλωσσική ευθύνη". Άρθρο στην "Καθημερινή" τής 17ης Δεκεμβρίου.
6. Ψυχάκη Γιάννη (1905). Το ταξίδι.
7. Κ.Μ. Μυλωνάς: "Μηχανική Παραμορφωτών Σωματίων I", Τρίτη Έκδοση, Αθήνα, 1986.

Η Τοξωτή Λειτουργία του Εδάφους Αιτία Αστοχίας Αντιστηρίξεως Soil Arching Causes Failure of a Racker-Braced Wall

ΓΚΑΖΕΤΑΣ, Γ. Καθηγητής Γεωτεχνικής ΕΜΠ

ΣΥΝΟΨΗ Σκιαγραφείται και αναλύεται το περιστατικό της αστοχίας ενός προσωρινού συστήματος αντιστηρίξεως με κεκλιμένες αντηρίδες. Δίδονται συνοπτικά το ιστορικό της κατασκευής και τα αποτελέσματα των εργαστηριακών δοκιμών επί της μαλακής αργίλου η οποία αντιστηρίζεται αλλά και υποστηρίζει το έργο. Το άρθρο δείχνει ότι καμία από τις ημι-εμπειρικές μεθόδους υπολογισμού της περιβάλλουσας των εδαφικών πιέσεων δεν οδηγεί σε πρόβλεψη ή ερμηνεία της αστοχίας. Το μυστικό έγκειται στην τοξωτή λειτουργία του εδάφους η οποία, λόγω ασυνήθιστης κατασκευαστικής διαδικασίας, οδήγησε σε εξαιρετικά μεγάλη αξονική καταπόνηση της μιας αντηρίδας και, κατά συνέπεια, σε λυγισμό και αλυσαστή κατάρρευση. Μετρήσεις μετά την αστοχία σε γειτονική παρόμοια κατασκευή υποστηρίζουν πλήρως την παρουσιαζόμενη ερμηνεία.

SYNOPSIS The failure of a racker-braced excavation is analysed. Following an outline of the construction history and of the results of laboratory tests on the retained soft clay, the article demonstrates that none of the semi-empirical design envelopes suggested in the literature for computing earth pressures can anticipate the failure. Instead, the unusual construction sequence led to substantial soil arching and thereby to significant overstressing and buckling of the top racker, thus initiating progressive failure. Post-failure measurements in an adjacent similar bracing system fully corroborate the proposed interpretation.

ΕΙΣΑΓΩΓΗ

Ο σχεδιασμός μιας αντηριδωτής αντιστήριξης προϋποθέτει την εκτίμηση τόσο της συνισταμένης δύναμης όσο και της κατανομής των εξεσσοκόμενων πλευρικών εδαφικών ωθήσεων. Οι αντηρίδες πρέπει να είναι σε θέση όλες μεν μαζί να παραλάβουν ασφαλώς την συνισταμένη ώθηση, κάθε μία δε ξεχωριστά να αναλάβει το μέγιστο φορτίο που της αντιστοιχεί, χωρίς κίνδυνο λυγισμού.

Πληθώρα επιτόπου παρατηρήσεων έχει δείξει ότι ενώ η συνολική ώθηση ελάχιστα διαφέρει (συνήθως υπερέχει) της ενεργητικής ώθησης κατά Coulomb ή Rankine, η κατανομή των εδαφικών δράσεων διαφέρει σημαντικά απ' το τριγωνικό ή τραπεζοειδές διάγραμμα των ευκολο-μετακινήτων τοίχων αντιστηρίξεως. Αιτία, βεβαίως, οι περιορισμοί τους οποίους επιβάλλουν οι αντηρίδες στην κινητικότητα του συστήματος. Επειδή δε η αναλυτική πρόβλεψη της κατανομής των πλευρικών αυτών δράσεων είναι άκρως δυσχερής, ο σχεδιασμός στην πράξη γίνεται με βάση συμβατικά διαγράμματα "περιβαλλουσών" ωθήσεων. Το Σχ. 1 απεικονίζει τα πιο γνωστά έσως απ' τα διαγράμματα αυτά που έχουν κατά καιρούς προταθεί στην βιβλιογραφία για κοκκώδη και συνεκτικά αντιστηριζόμενα εδάφη. Ειδικά για αργίλους σήμερα χρησιμοποιούνται συνήθως τα διαγράμματα του Σχ. 2, τα οποία είναι και κάπως μεταγενέστερα (Faate & Peck, 1973).

Στόχοι αυτού εδώ του άρθρου είναι να δείξει, με την βοήθεια ενός ενδιαφέροντος ιστορικού περιστατικού αστοχίας, ότι:

- παρόλο που τα συμβατικά αυτά διαγράμματα είναι κατά κανόνα συντηρητικά, δεν είναι διόλου απίθανο κάποτε να οδηγήσουν ακόμη και σε δραματική υποτίμηση του αξονικού φορτίου μίας αντηρίδας, με συνέπεια την ("ψαθυρή" μορφή) αστοχία.
- το φορτίο που αναλαμβάνει η κάθε αντηρίδα εξαρτάται αποφασιστικά από την ακολουθούμενη διαδικασία κατασκευής· ιδιαίτερως σημαντική επίδραση έχει

η χρονική αλληλουχία στην τοποθέτηση των αντηρίδων σε σύγκριση με την πρόοδο της εκσκαφής.

ο γεωτεχνικός μηχανικός είναι σε θέση να προβλέψει την ανεπάρκεια των συμβατικών διαγραμμάτων χωρίς αναγκαστικά να καταφύγει σε περίτεχνες (και περίπλοκες) αριθμητικές αναλύσεις ή σε πολυέσδοδα πειράματα με μικρής κλίμακας ομοιώματα· αρκεί η συστηματική εφαρμογή θεμελιωδών αρχών της εδαφομηχανικής με κατάλληλη θεώρηση των επιπτώσεων της συγκεκριμένης κατασκευαστικής διαδικασίας στην εξέλιξη των επιβαλλομένων τάσεων και παραμορφώσεων.

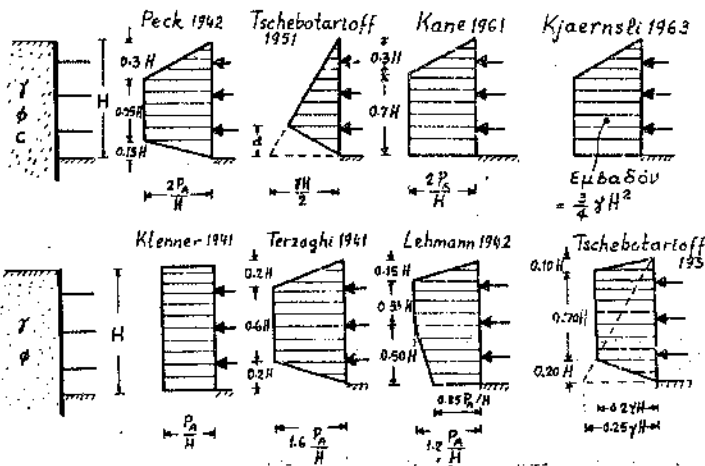
ΠΕΡΙΓΡΑΦΗ ΕΡΓΟΥ ΚΑΙ ΠΕΡΙΣΤΑΤΙΚΟΥ

Αντιστήριξη και Εδαφικό Προφίλ

Στο Σχ. 3 απεικονίζεται το περί ου ο λόγος έργο αντιστηρίξεως, πριν και μετά την κατασκευή του. Πρόκειται για προσωρινή αντιστήριξη αποτελούμενη από έναν (κατακόρυφο) πασσαλότοιχο συνολικού ύψους 9 μέτρων, και ένα ζεύγος κεκλιμένων αντηρίδων κάθε 10 μέτρα μήκους. Οι αντηρίδες αυτές στερεώνονται στην κεφαλή πασσάλου μήκους 13 μέτρων. Λίγα μόλις μέτρα απ' την παρεία της εκσκαφής υπάρχει δρόμος αρκετά μεγάλης κυκλοφορίας, ο οποίος επέβαλλε μικρές ανοχές στις μετακινήσεις του πασσαλότοιχου. Οι δύο αντηρίδες σχεδιάστηκαν για φορτίο περίπου 1000 KN, με συντελεστή ασφαλείας έναντι λυγισμού έσον με 2.

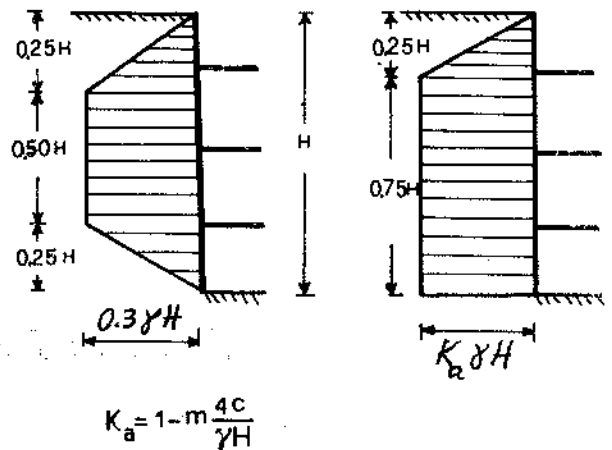
Το εδαφικό προφίλ δίδεται στα Σχ. 3-4 και περιλαμβάνει, εκτός απ' την πάχους 1.5 m επίχωση, στρώμα μαλακής αποφύσπισης αργίλου μέσης πλαστικότητας και πάχους 12 περίπου μέτρων, της οποίας υπέρκειται λεπτή κρούστα υπερ-στερεοποιημένης αργίλου. Σε μεγάλο βάθος τέλος, συναντάται στιφρή άργιλος, η οποία όμως δεν επηρεάζει την ευστάθεια της αντιστήριξης.

Το πλήθος των μετρηθεισών τιμών της αστράγγιστης διαμητικής αυτοχής (Σχ. 4) παρουσιάζει αρκετά μεγάλη διασπορά.



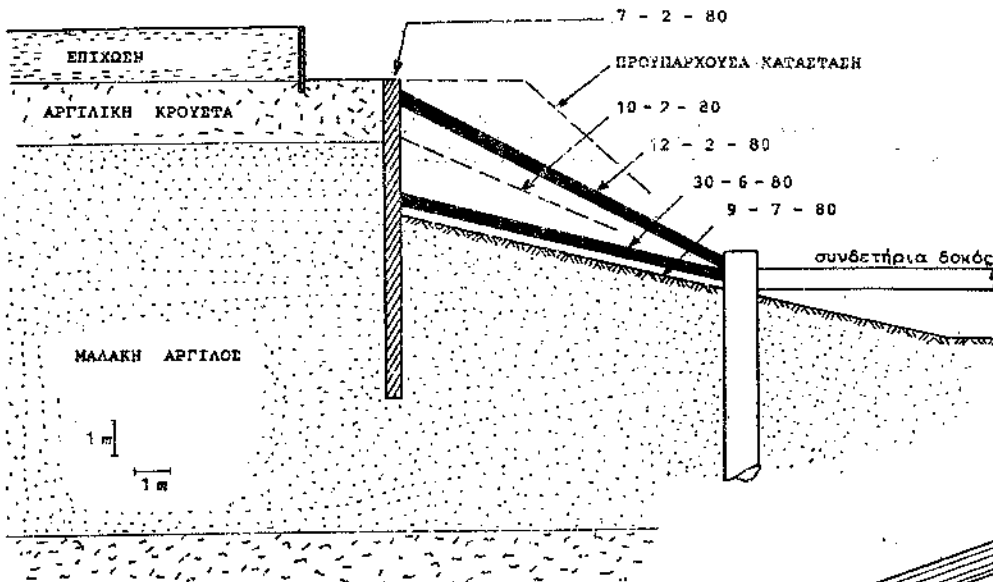
Σχ.1. Μερικά από τα γνωστότερα εμπειρικά διαγράμματα περιβαλλουσών ωθήσεων για τον σχεδιασμό αντηριδωτών αντιστηρίξεων, σε συνεκτικά (άνω), και σε μη-συνεκτικά (κάτω) υλικά (P_A -συνολική ώθηση κατά Rankine)

Apparent earth pressure diagrams proposed in literature for braced-cuts



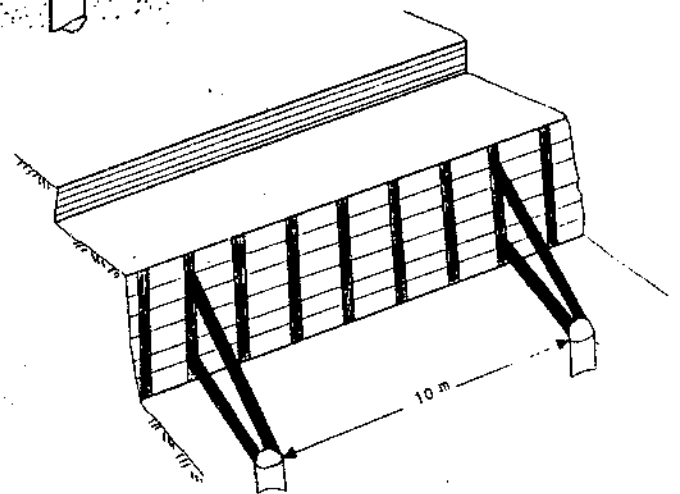
Σχ.2. Διαγράμματα περιβαλλουσών που συνήθως χρησιμοποιούνται για αργίλους: το αριστερά για σφιφρές, και το δεξιά για μαλακές αργίλους ($m=0.40 \pm 1$). (Fiaate & Peck, 1973).

Apparent earth pressure diagrams for stiff and soft clays



Σχ.3. Τομή και προοπτικό της αντηριδωτής αντιστήριξης, με το εδαφικό προφίλ. Δείχνεται επιγραμματικά η ιστορία της κατασκευής. Η αποχία εήλθε στις 10-7-80, χωρίς να παρατηρηθεί η παραμικρή μετακίνηση τού υποστηρίζοντος πασσάλου και τών συνδετηρίων δοκών.

Section and view of the racker-braced retaining system



Μετρήσεις έγιναν τόσο επιτόπου (Δοκιμή Πτερυγίου), όσο και στο εργαστήριο (Ανεμολόγητη Θλίψη, "Τριαξονική"). Για ακριβέστερη προσομοίωση της πραγματικής εντατικής κατάστασης στην αντιστηριζόμενη εδαφική μάζα, οι "Τριαξονικές" δοκιμές περιέλαβαν και επιβολή πλευρικής αποφόρτισης (ενεργητική κατάσταση) καθώς και πλευρικής φόρτισης (παθητική κατάσταση) με μέτρηση των αναπτυσσόμενων πιέσεων του ύδατος των πόρων. Το Σχ. 4β σκιαγραφεί τα αποτελέσματα μερικών απ' τις δοκιμές αυτές, με την βοήθεια ολικών και ενεργών τασικών οδύσεων (Ο.Τ.Ο., Ε.Τ.Ο.), καθώς και σχέσεων τάσεων-ανηγμένων παραμορφώσεων. Είναι φανερό ότι η μεταβολή της αστράγγιστης διαμητικής αντοχής συναρτίζεται του βάθους κυμαίνεται περίπου μεταξύ των ορίων:

$$0.15 \leq \frac{S_u}{\sigma_{vo}} \leq 0.40 \quad (1)$$

Ιστορικό της Κατασκευής -- Αστοχία

Η χρονική αλληλουχία των επιμέρους φάσεων του έργου δίδεται επιγραμματικά στο Σχ. 3. Η εγκατάσταση των πασσαλοσάνιδων περατώνεται στις 7 Φεβρουαρίου 1980, και την επομένη αρχίζει η εκσκαφή. Η πρώτη αντηρίδα τοποθετείται στις 12 Φεβρουαρίου, αλλά λόγω καθυστερήσεων οι εκσκαφές τελειώνουν στις 9 Ιουλίου του ίδιου έτους. Έχει προηγουμένως τοποθετηθεί και η δεύτερη σειρά αντηρίδων (30 Ιουλίου).

Το πρωί της 10ης Ιουλίου η αντιστήριξη αστοχεί σε μήκος περίπου 20 μέτρων, με σαφείς ενδείξεις λυγισμού των δύο αντηρίδων στο μέσον της ζώνης αστοχίας.

ΠΡΟΣΠΑΘΕΙΑ ΕΡΜΗΝΕΙΑΣ ΤΗΣ ΑΣΤΟΧΙΑΣ

Αναλύσεις με Συμβατικές Μεθόδους

Στον Πίνακα I δείχνονται τα αποτελέσματα πληθώρας εκ-των-υστερών υπολογισμών για την αποτίμηση των πιθανών αξονικών φορτίων με τα οποία καταπονήθηκαν οι δύο αντηρίδες. Προς τούτο έγινε χρήση των εξής κλασσικών μεθόδων:

(α) Υπολογισμός με βάση όλα τα συμβατικά διαγράμματα "περιβαλλουσών" ωθήσεων του Σχ. 1β. (β) Παραδοχική διαγράμματος ουδετέρων ωθήσεων, $K_0 = \sigma_{vo}$, όπου από εργαστηριακές μετρήσεις $K_0 = 0.55$. (γ) Μέθοδος δοκιμαστικών πρισμάτων (Coulomb), όπου το μέγεθος της "δράσης" παθητικής ωθήσεως ελήφθη ίσο με τα 3/4 της μέγιστης οριακής της τιμής -- σε αρμονία με τα σχετικά μεγέθη των παραμορφώσεων αστοχίας του Σχ. 4. (δ) Προσομοίωση του πασσαλοτόχου ως Δοκού επί Ελατηριωτού (Ελαστικού) Εδάφους, με ακλόνητες στήριξεις στις θέσεις των δύο αντηρίδων και με την ενεργητική ώθηση Rankine ως φόρτιση.

Στις συμβατικού-τύπου αυτές αναλύσεις η εισαγόμενη αστράγγιστη διαμητική αντοχή μεταβλήθηκε παραμετρικά μεταξύ των ορίων της Εξ. 1. Οι τιμές που παρουσιάζονται στον Πίνακα I αντιστοιχούν στις "καλύτερες δυνατές" προβλέψεις (περίπου οι μέσες τιμές). Η διασπορά των προβλεπόμενων "συμβατικών" τιμών απεικονίζεται στο Σχ. 5. Σε καμμία περίπτωση δεν προβλέπεται καταπόνηση της μιάς ή της άλλης αντηρίδας με δύναμη που να πλησιάζει ή να ξεπερνά το κρίσιμο φορτίο σχεδιασμού της (= 2100 KN). Επιπλέον όλες οι αναλύσεις δείχνουν την δεύτερη αντηρίδα να καταπονείται κατά τι περισσότερο απ' την πρώτη.

Συμπερασματικά, πάντως, οι ημι-εμπειρικές συμβατικές μέθοδοι αδυνατούν να οδηγήσουν σε πρόβλεψη της αστοχίας. Η αδυναμία αυτή φαίνεται να πηγάζει απ' την ανικανότητα των μεθόδων αυτών να λάβουν υπόψη τους, έστω και χονδροειδώς, την επίδραση της χρονικής αλληλουχίας της κατασκευής. Ειδικώς μάλιστα η χρήση των διαγραμμάτων περιβαλλουσών ωθήσεων προϋποθέτει (Bjerrum et al, 1972) ότι οι αντηρίδες έχουν τοποθετηθεί σε αρκετά σύντομο

ΠΙΝΑΚΑΣ I. Αξονικές Δυνάμεις Αντηρίδων: Σύγκριση Διαφόρων Αναλυτικών "Προβλέψεων" (Μέσες Τιμές) και Μέσου Όρου Μετρήσεων.

ΜΕΘΟΔΟΣ ΥΠΟΛΟΓΙΣΜΟΥ	ΠΡΟΒΛΕΠΟΜΕΝΗ ΑΞΟΝΙΚΗ ΔΥΝΑΜΗ (KN)	
	F ₁	F ₂
α. Διαγράμματα Περιβαλλουσών	780	1100
β. Ουδέτερες Ωθήσεις με K ₀ = 0.55	700	1220
γ. Δοκιμαστικά Πρίσματα (Coulomb)	2080	(άθροισμα)
δ. Δοκός επί Ελατηριωτού (Ελαστικού) Εδάφους	960	1140
Φορτίο (Πραγματικής) Θραύσης Αντηρίδας	2100	2100
Δοκιμαστικά Πρίσματα με Θεώρηση της Τοξωτής Λειτουργίας του Εδάφους	1920	380
Επιτόπου Μετρήσεις μετά την Αστοχία σε 3 Παρόμοιες (αλλά κάπως μικρότερων διαστάσεων) Γειτονικές Αντιστήριξεις	1250	250

χρονικό διάστημα (ώστε να μην αναπτυχθούν μεγάλες μετακινήσεις) και με αρκετά πυκνή διάταξη.

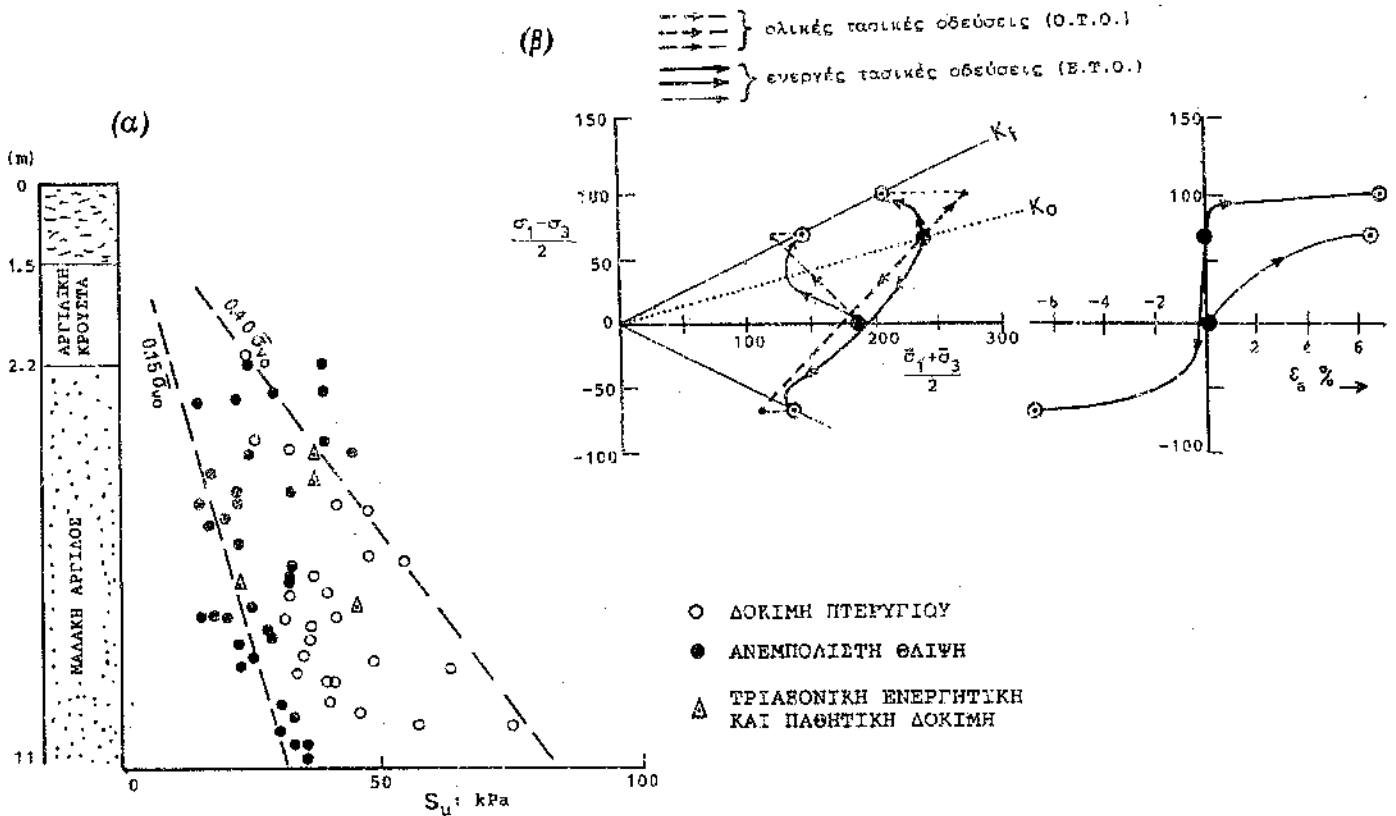
Οι σιωπηρές αυτές προϋποθέσεις ούτε κατά προσέγγιση δεν ανταποκρίνονται στην πραγματικότητα του συγκεκριμένου περιστατικού. Διότι: (ι) Το διάστημα που εμεσολάβησε μεταξύ της τοποθέτησης των δύο αντηρίδων ήταν αρκετά μεγάλο (5 περίπου μήνες), γεγονός που επέτρεψε την εκδήλωση μεγάλων παραμορφώσεων προτού εγκατασταθεί η δεύτερη σειρά αντηρίδων. Με βάση τις μετρήσεις σε γειτονικές αντιστήριξεις, η μέγιστη εγκάρσια μετακίνηση προς τα τέλη Ιουλίου ενδέχεται ακόμη και να ξεπέρασε τα 10 cm, δηλαδή το 11% περίπου του ελεύθερου ύψους του πασσαλοτόχου. (ii) Η γεωμετρία του όλου συστήματος αντιστήριξεως και, ιδίως, η διάταξη των αντηρίδων είναι τελείως ασυνήθιστη -- σίγουρα εκτός του "πεδίου εφαρμογής" των εμπειρικών διαγραμμάτων. Συγκεκριμένα, η δεύτερη σειρά αντηρίδων απέχει μόλις 0.80 m από τον πυθμένα της εκσκαφής, αλλά 2.30 m απ' τις πάνω αντηρίδες.

Απλή Ανάλυση με Θεώρηση της Τοξωτής Λειτουργίας του Εδάφους

Εξαιτίας αυτής της ασυνήθιστης κατασκευαστικής διαδικασίας και διάταξης των αντηρίδων, πιστεύεται πως έλαβαν χώρα έντονα φαινόμενα τοξωτής λειτουργίας του εδάφους. Αποτέλεσμα ήταν η ανάπτυξη στην άνω αντηρίδα αξονικής δύναμης τουλάχιστον 5 φορές μεγαλύτερης απ' την δύναμη της κάτω αντηρίδας. Έτσι το οριακό φορτίο της άνω αντηρίδας ξεπεράστηκε -- η αλυσωτή κατόρρευση, με αρχή του λυγισμού της αντηρίδας αυτής, υπήρξε ακαριαία.

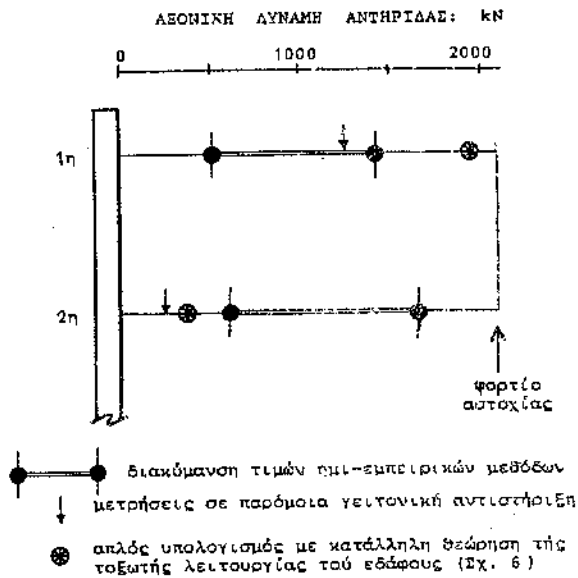
Μια απλή ανάλυση μπορεί να αποδείξει αρκετά πειστικά ότι πράγματι έτσι έγινε. Με αναφορά στο Σχ. 6, διακρίνονται δύο φάσεις στην κατασκευή του έργου και δύο αντίστοιχοι δοκιμαστικοί μηχανισμοί αστοχίας, με κυκλικές επιφάνειες ολισθήσεως:*

* Τονίζεται ωστόσο ότι ακόμη και με επίπεδες επιφάνειες ολισθήσεως οδηγούμαστε σε σωστά συμπεράσματα (ποιοτικώς, τουλάχιστον).



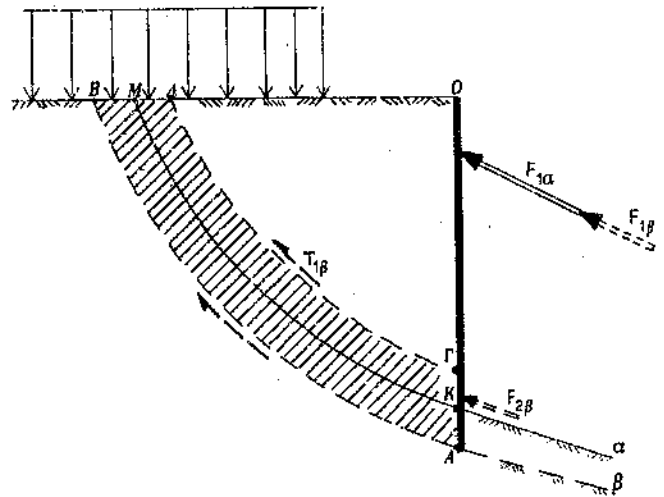
Σχ.4. (α) Εδαφικό προφίλ με τις μετρήσεις της αστάθγιστης διατηρητικής αντοχής (β) Χαρακτηριστικά αποτελέσματα τριαξονικών δοκιμών

Soil profile and soil test results



Σχ.5. Αξονικές δυνάμεις αντηρίδων: σύγκριση όλων των αναλυτικών "προβλέψεων" με τις μετρήσεις σε παρόμοια (αλλά μικρότερη) γειτονική κατασκευή. Η διακύμανση των ημι-εμπειρικών μεθόδων αντανακλά και την διασπορά των τιμών της S_u .

Predicted and measured racker axial loads



Σχ.6. Ανάλυση ενεργητικών ωθήσεων προτού τοποθετηθεί η δεύτερη σειρά αντηρίδων (στάθμη εκακοφής α), και μετά την εκακοφή στην τελική στάθμη β. ΟΚΜ-ωθούν πρίσμα στην α φάση, ΑΒΔΓ-ωθούν πρίσμα στην β φάση (ΓΚ=ΚΑ). T_{1B} =συνισταμένη διαμητική δράση του ΟΔΓ επί του ΑΒΔΓ. Η αντίδραση $-T_{1B}$ προκαλεί νέα επιβάρυνση, F_{1B} , της άνω αντηρίδας.

Earth pressure analysis accounting for loading history

- Όταν η εκκαφή έχει φθάσει στην στάθμη α επιφάνεια ολισθήσεως του ισοδύνατου κυλινδρικού πρίσματος είναι η ΚΜ και ολόκληρη η ενεργός ύψηση παραλαμβάνεται απ' την άνω αντηρίδα ($F_{1\alpha}$), μια που η δεύτερη αντηρίδα δεν έχει ακόμα τοποθετηθεί.
- Μόλις τοποθετηθεί η δεύτερη αντηρίδα και η εκκαφή φθάσει στην τελική στάθμη β μια ζώνη πίσω απ' τον πασσαλότοιχο, περικλειόμενη μεταξύ των κυκλικών επιφανειών ΑΒ και ΓΔ, τείνει να κινηθεί προς τα κάτω -- ενεργητική κατάσταση. Στις δυνάμεις που αντιτίθενται σ' αυτήν την κίνηση περιλαμβάνονται: η θλιπτική δύναμη της κάτω αντηρίδας ($F_{2\beta} = F_2$), και οι διατμητικές δράσεις στις δύο επιφάνειες ολισθήσεως (τοξωτή λειτουργία του εδάφους). Χάρη σ' αυτήν την διπλή διατμητική "ανακούφιση" η αναπτυσσόμενη F_2 είναι πολύ μικρή. Αντίθετα η διατμητική αντίδραση στην επιφάνεια ΑΒ μεταφράζεται σε πρόσθετη επιφόρτιση της άνω αντηρίδας, με δύναμη $F_{1\beta}$. Έτσι η συνολική

$$F_1 = F_{1\alpha} + F_{1\beta} \quad (2)$$

λαβαίνει τιμές κατά πολύ μεγαλύτερες των τιμών της F_2 .

Οι τιμές F_1 και F_2 που προκύπτουν απ' την απλή αυτή ανάλυση συγκρίνονται στον Πίνακα 1 με τις τιμές των ημι-εμπειρικών αναλύσεων. Το προβλεπόμενο φορτίο $F_1 \approx 1920$ ΚΝ είναι πια σχεδόν (σο με το φορτίο "θραύσης" της αντηρίδας αυτής (2100 ΚΝ).

Εκτός απ' την έμμεση αυτή επαλήθευση της απλής ανάλυσης του Σχ. 6, έχουμε και πρόσθετη επιβεβαίωση της προτεινόμενης ερμηνείας του τρόπου αστοχίας: Μετρήσεις φορτίων (και μετακινήσεων) σε τρεις παρόμοιες γειτονικές αντιστήριξεις (ελαφρώς μικρότερων, όμως, διαστάσεων) έδωσαν μέσους όρους φορτίων $F_1 \approx 1250$ ΚΝ και $F_2 \approx 250$ ΚΝ (βλ. Πίν. 1). Είναι προφανής η ομοφωνία μεταξύ των επιτόπου μετρηθέντων αποτελεσμάτων και των αναλυτικών προβλέψεων.

ΣΥΜΠΕΡΑΣΜΑΤΑ

1. Ακόμη και συντηρητικές εμπειρικές μέθοδοι ενδέχεται να οδηγήσουν σε ανασφαλείς λύσεις, όταν εφαρμόζονται χωρίς πλήρη κατανόηση της μηχανικής του προβλήματος.
2. "Ασυνήθιστες" κατασκευαστικές διαδικασίες ενδέχεται να προκαλέσουν τελείως διαφορετική συμπεριφορά ενός γεωτεχνικού συστήματος απ' ό,τι αναμένεται βάσει των "συνήθων" μεθόδων υπολογισμού.

ΒΙΒΛΙΟΓΡΑΦΙΚΕΣ ΠΑΡΑΠΟΜΠΕΣ

- Bjerrum L., Claussen C.J.F., & Duncan J.M. (1972), "Earth Pressures on Flexible Structures" 5th Eur. Conf. on Soil Mech. & Fdn Engrg Madrid.
- Flaate K. & Peck R.B. (1973), "Braced Cuts in Sand and Clay", NGI Publ. No. 96, Oslo, pp. 7-29.

ΣΤΑΘΜΟΙ
ΚΕΡΑΜΕΙΚΟΥ & ΛΑΦΝΗΣ

ΜΕΡΙΚΕΣ ΕΝΗΜΕΡΩΤΙΚΕΣ
ΣΗΜΕΙΩΣΕΙΣ ΓΙΑ ΤΗΝ
ΕΠΙΣΚΕΨΗ

Απρίλιος 1997

Σταθμοί ανοικτού ορύγματος, ΜΕΤΡΟ Αθήνας : επιτόπου μετρήσεις και αντίστροφες αναλύσεις

Cut-and-cover stations, Athens METRO : field monitoring and back-analysis

ΛΟΥΚΑΚΗΣ Κ.
ΓΚΑΖΕΤΑΣ Γ.

Πολιτικός Μηχανικός, Υποψ. Διδάκτωρ, Ε.Μ.Π.
Πολιτικός Μηχανικός, Καθηγητής, Ε.Μ.Π.

ΠΕΡΙΛΗΨΗ : Στο άρθρο δίδεται αδρή περιγραφή (α) των προβλημάτων στην αξιόπιστη πρόβλεψη των μηχανικών ιδιοτήτων των εδαφικών υλικών (αθηναϊκού σχιστόλιθου) • (β) του συστήματος ενόργανης παρακολούθησης της συμπεριφοράς των αγκυρουμένων πασσαλοτόιχων αντιστηρίξεως δύο σταθμών του ΜΕΤΡΟ • και (γ) της μεθόδου "αντίστροφης" ανάλυσης των εν λόγω πασσαλοτόιχων, στις οποίες οι μετρήσεις των οργάνων αποτελούν βασικό στόχο και αφετηρία των υπολογισμών.

ABSTRACT : A brief description is given : (a) of the problems in reliably determining soil parameters of the "athenian schist" ; (b) of the field instrumentation installed for monitoring the response of the Berliner wall of two METRO stations ; and (c) of the numerically-implemented back analyses of this observed behavior.

1. ΕΙΣΑΓΩΓΗ

Η εγγενής δυσκολία στην εκτίμηση των παραμέτρων μηχανικής συμπεριφοράς εδαφικών υλικών σε σχηματισμούς μεγάλης ετερογένειας, όπως ο αθηναϊκός σχιστόλιθος, επιβάλλει (ειδικά για κρίσιμες κατασκευές) την επιτόπου παρακολούθηση των φάσεων κατασκευής του έργου με ενόργανες καταγραφές της ανάπτυσσόμενης έντασης και επερχόμενης παραμόρφωσης. Με τα στοιχεία αυτά αφενός μεν επιβεβαιώνεται η ασφάλεια κατά την κατασκευή (με την εφαρμογή πρόσθετων μέτρων ασφαλείας όποτε κριθεί αναγκαίο από την αξιολόγηση των μετρήσεων), αφετέρου δε δίνεται η δυνατότητα ελέγχου (επαλήθευσης, απόρριψης, τροποποίησης) των γεωτεχνικών παραμέτρων σχεδιασμού. Αυτό επιτυγχάνεται με **αντίστροφη ανάλυση** του προβλήματος, στην οποία οι μετρήσεις των καταγραφικών οργάνων αποτελούν βασικό στόχο και αφετηρία των υπολογισμών.

2. ΓΕΩΤΕΧΝΙΚΑ ΣΤΟΙΧΕΙΑ

Γεωτεχνικές έρευνες για τα προτεινόμενα έργα του ΜΕΤΡΟ περιέλαβαν πρεσσιομετρικές δοκιμές, γεωτρήσεις με δειγματοληψία, και εργα-

στηριακές δοκιμές. Στο Σχήμα 1 αποτυπώνονται σκαριφηματικά οι κατόψεις των σταθμών του *Κεραμεικού* και της *Δάφνης* και οι θέσεις των επιτόπου δοκιμών. Το εδαφικό προφίλ αποτελείται, ως επί το πλείστον, από λίγα μέτρα (0 - 5 m) επιχώσεων και αλλουβιακών αποθέσεων και το γεωλογικό υπόβαθρο που συγκροτείται από σχηματισμούς γνωστούς ως "**αθηναϊκός σχιστόλιθος**" (ΤΕΕ, 1981). Η μεγάλη ετερογένεια του σχηματισμού αυτού κατέστησε αναγκαία την επιλογή παραμέτρων με βάση τις επιτόπου πρεσσιομετρικές μετρήσεις και τον γεωλογικό χαρακτηρισμό.

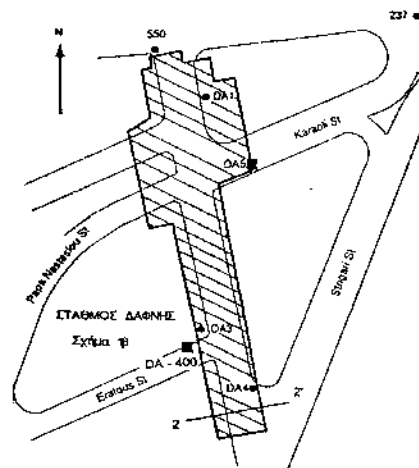
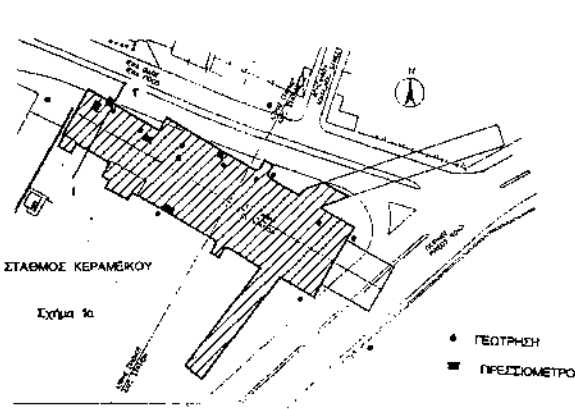
Πράγματι, ο αθηναϊκός σχιστόλιθος περιλαμβάνει όχι μόνον αργιλικούς σχιστόλιθους, αλλά και ψαμμίτες, στρώματα ασβεστολίθων, μάργες — με όλη την ποικιλία των μεταβατικών εξελικτικών φάσεων. Ο αθηναϊκός σχιστόλιθος χαρακτηρίζεται από εξαιρετική ανομοιογένεια και ανισοτροπία, με έντονη μεταβλητότητα των μηχανικών χαρακτηριστικών του από θέση σε θέση. Έντονος **τεκτονισμός** είχε ως αποτέλεσμα τον κατακερματισμό των πετρωμάτων και τοπικά την χαλάρωση της δομής τους. Παράλληλα, η **αποσάθρωση** έχει αλλοιώσει το πέτρωμα, ανάλογα με τις εκάστοτε επικρατούσες κλιματολογικές και

υδρογεωλογικές συνθήκες. Η πολύπλοκη δομή του συστήματος δημιουργεί προϋποθέσεις ακόμη και για βαθιά αποσάθρωση σε περιοχές ορυκτολογικώς ευαίσθητες. Έτσι, κάτω από ποικίλες ενστρώσεις (π.χ., φακούς ασβεστολίθων και ρηγματωμένων ψαμμιτών) μία αργιλικής- συστάσεως μάζα μπορεί να μετατραπεί από βραχώδες σε εδαφικό υλικό μικρής διατμητικής αντοχής.

Οι ιδιομορφίες αυτές του αθηναϊκού σχιστολίθου, που είχαν φανερωθεί κατά την προκαταρκτική γεωτεχνική έρευνα, επιβεβαιώθηκαν (και με το παραπάνω) στην διάρκεια της κατασκευής των σταθμών και σηράγγων του ΜΕΤΡΟ. Τα διάφορα πετρώματα

του σχιστολίθου συναντήθηκαν με μεγάλες διαφορές ως προς τον βαθμό ρηγματώσεως : από τον υγιή σχιστόλιθο μέχρι τον πλήρως αποσαθρωμένο, που στην ουσία αποτελεί απλώς αργιλικό έδαφος. Ο δείκτης MR που χρησιμοποιείται στην κατάταξη και αξιολόγηση της αντοχής βράχων κυμαίνεται μεταξύ τιμών που αντιστοιχούν σε εδαφικά υλικά ($MR < 20$) έως και συμπαγή βράχο ($MR > 50$). Αυτό αποτελεί την ιδιαιτερότητα του σχηματισμού και δημιουργεί εξαιρετικά προβλήματα διερευνήσεως και ποσοτικού γεωτεχνικού χαρακτηρισμού.

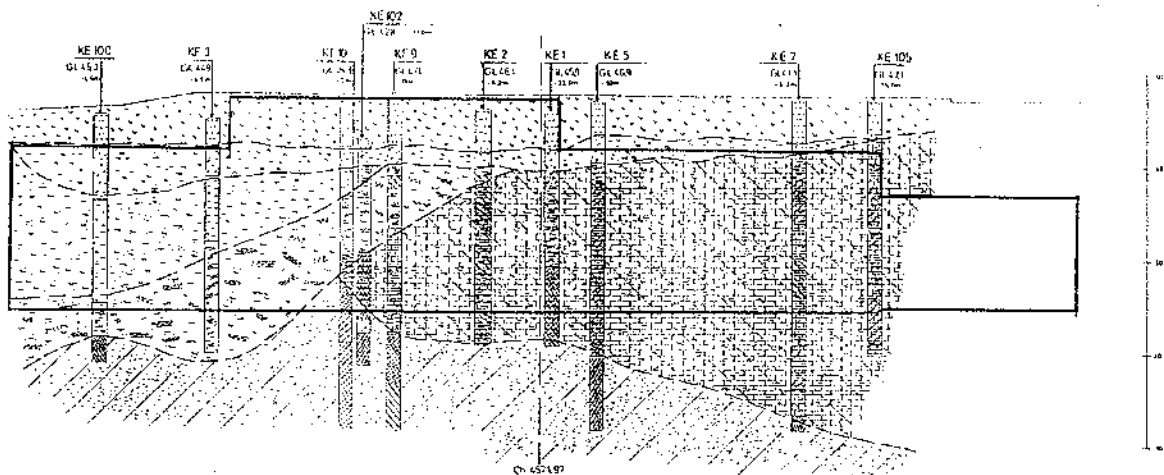
Έντονες διαφοροποιήσεις στην δομή, σύνθεση, βαθμό ρηγματώσεως και αποσάθρωσης



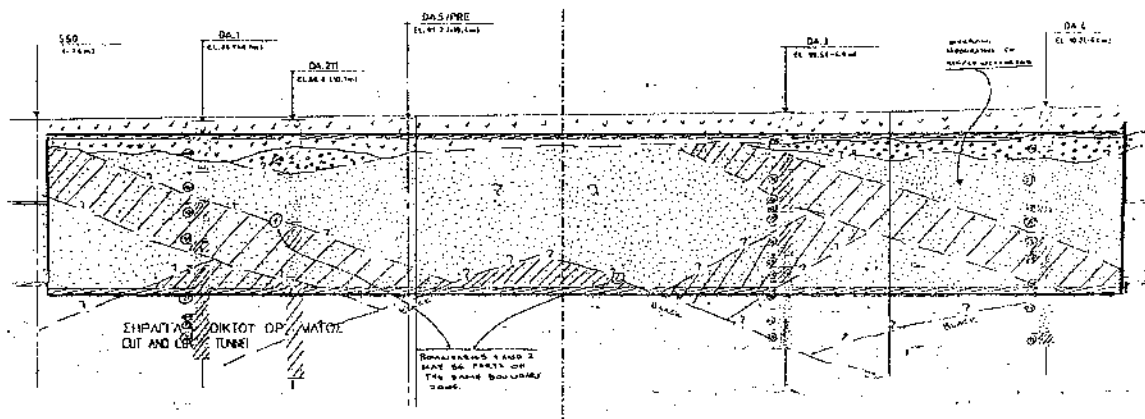
α. Κεραμεικός

β. Δάφνη

Σχήμα 1. Κάτοψη Σταθμών - Θέσεις ερευνητικών γεωτρήσεων και πρεσσιομετρικών δοκιμών
Figure 1. Plan view of stations - Locations of exploratory borings and pressuremeter tests



α. Κεραμεικός



β. Δάφνη

ΕΙΔΗ ΠΕΤΡΩΜΑΤΩΝ	ΤΥΠΟΙ ΒΡΑΧΟΜΑΖΑΣ
Επιχώσεις	M1 Αλευροποιημένο Υλικό
Αλλουβιακές Αποθέσεις	M2 Λατυποπαγή Ρήγματος Μετάπτωσης
Κολλουβιακές Αποθέσεις	M3 Λατυποπαγή απο Συνθλιψη
Περιδοτίτης	M1+D1 Εναλλαγές M1 και Διαβάσης
Διαβάσης	M2+D1 Εναλλαγές M2 και Διαβάσης
Φυλλίτης	
Ιλυόλιθος	
Ψαμμίτης	
Εναλλαγές Ψαμμίτη - Ασβεστόλιθου	
Ασβεστόλιθος	

Σχήμα 2. Γεωλογικές τομές καταμήκος των σταθμών
Figure 2. Geologic sections along stations

του αθηναϊκού σχιστολίθου παρατηρήθηκαν στην περιοχή του Σταθμού του Κεραμεικού. Αυτό αντικατοπτρίζεται στην καταμήκος γεωλογική τομή του σταθμού (Σχ. 2α), όπου φαίνεται ότι τα πετρώματα του υποβάθρου ποικίλουν από σχιστολιθικά (ψαμμίτες και ιλυόλιθοι) στο δυτικό τμήμα σε ασβεστολιθικά στο ανατολικό τμήμα του σταθμού. Λιγότερο έντονες διαφορές παρατηρήθηκαν στον Σταθμό της Δάφνης, όπως φαίνεται στην αντίστοιχη γεωλογική τομή (Σχ. 2β).

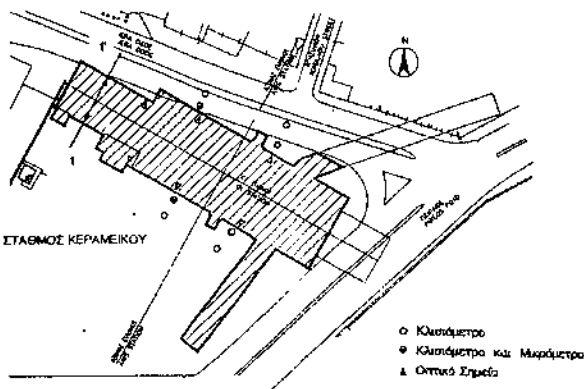
Γεωτεχνικές παράμετροι υπολογισμού για κάθε έναν σταθμό παρουσιάστηκαν σε αντίστοιχες γεωτεχνικές μελέτες με βάση την αρχική γεωτεχνική διερεύνηση. Ειδικά για τους σταθμούς του Κεραμεικού και της Δάφνης, εκπονήθηκαν συμπληρωματικές μελέτες μετά την έναρξη των κατασκευαστικών εργασιών, με νέες γεωτεχνικές παραμέτρους σχεδιασμού. Οι παράμετροι αυτές βασίστηκαν και στις πρόσθετες γεωλογικές παρατηρήσεις, αλλά και στα αποτελέσματα των επιτόπου μετρήσεων και των συνακόλουθων αντίστροφων αριθμητικών αναλύσεων (Γκαζέτας και Λουκάκης, 1995a, 1995b, 1996).

3. ΜΕΤΡΗΣΕΙΣ ΚΑΤΑ ΤΗΝ ΔΙΑΡΚΕΙΑ ΤΗΣ ΚΑΤΑΣΚΕΥΗΣ

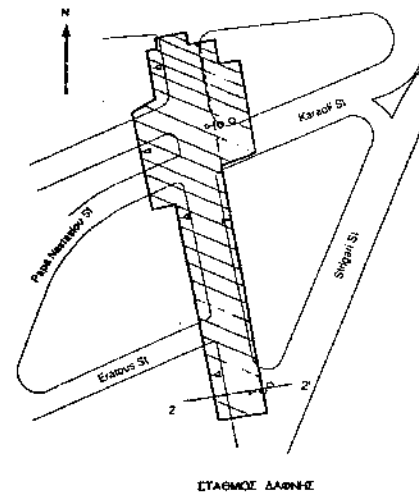
Οι υπόγειες εργασίες για την κατασκευή των δύο νέων τερματικών σταθμών (Κεραμεικού και Δάφνης) παρακολουθούνται από δίκτυα γεωτεχνικών οργάνων που περιλαμβάνουν: **κλισιόμετρα, μικρόμετρα, οριζόντια και κατακόρυφα επιμηκυνσιόμετρα**, καθώς και **οπτικά σημεία** (στόχοι και μάρτυρες) για μετρήσεις κατακόρυφων και οριζοντίων μετακινήσεων, **πιεζόμετρα** για την μέτρηση της πίεσεως του ύδατος των εδαφικών πόρων, **δυναμόμετρα** για μέτρηση δυνάμεων προεντάσεως σε αγκύρια και συστήματα αντιστηρίξεως, καθώς και πιέσεων από ωθήσεις γαιών, και **μηκυνσιόμετρα** για μετρήσεις παραμορφώσεων σε μανδύες επενδύσεως σηράγγων, αντηρίδες, και άλλα στοιχεία αντιστηρίξεων. Η συχνότητα παρακολούθησης των οργάνων είναι συνάρτηση του είδους της κατασκευής (φρεάτιο, σταθμός ανοικτού ορύγματος, σήραγγα), της φάσης κατασκευής (πριν την

εκσκαφή, κατά την διάρκεια, και μετά την ολοκλήρωση αυτής), του είδους του οργάνου μετρήσεως, αλλά και της ποιότητας του εκσκαπόμενου και αντιστηριζομένου εδάφους.

Τα Σχήματα 3α και 3β δείχνουν τις θέσεις των οργάνων μετρήσεως των Σταθμών Κεραμεικού και Δάφνης, αντιστοίχως. Κλισιόμετρα (συμβολίζονται με τα αρχικά IC) και μικρόμετρα (MC) τοποθετήθηκαν σε χαρακτηριστικές θέσεις κοντά στην προβλεπόμενη εκσκαφή για την παρακολούθηση οριζοντίων και κατακορύφων μετακινήσεων της



α. Σταθμός Κεραμεικού



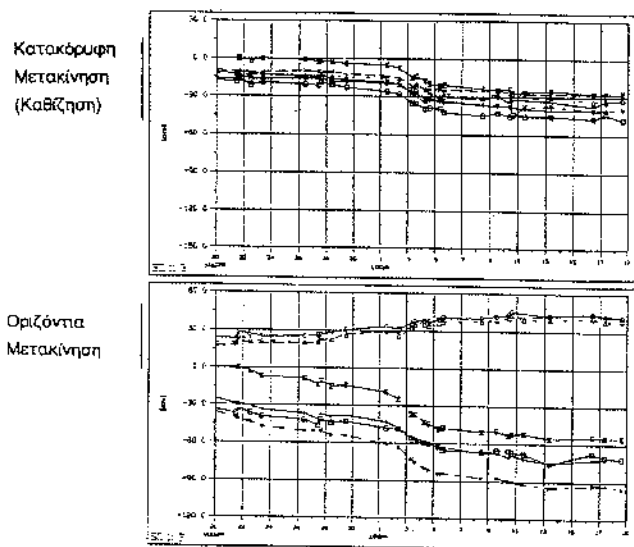
β. Σταθμός Δάφνης

Σχήμα 3. Θέσεις οργάνων μετρήσεως
Figure 3. Locations of monitoring instruments

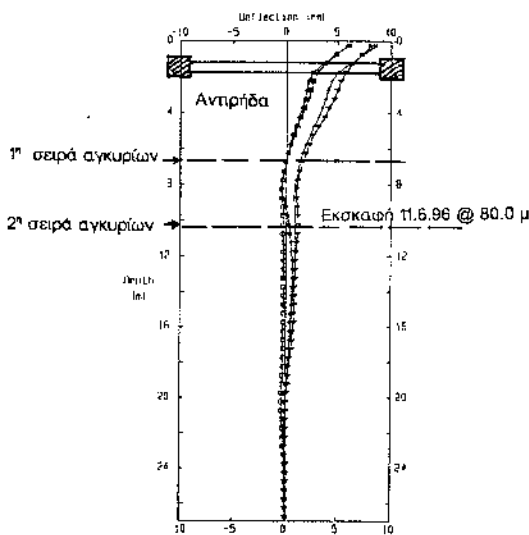
εδαφικής μάζας. Οπτικά σημεία (OP) εγκαταστάθηκαν στις παρειές της εκσκαφής σε διάφορα βάθη, αλλά και σε σημεία περιμετρικά του σκάμματος και σε γειτονικά κτίρια για την παρακολούθηση (και έγκαιρη επέμβαση αν αυτό κρινόταν αναγκαίο) της επίδρασης των εργασιών σε υπάρχουσες κατασκευές. Οι υπεύθυνοι μηχανικοί των εργοταξίων είναι επιφορτισμένοι με την τήρηση ημερολογίου εργασιών ώστε να καταστεί δυνατή σε κάθε φάση της κατασκευής η συσχέτιση των μετρήσεων με τις επιτελούμενες εργασίες πλησίον των οργάνων. Ιδιαίτερη έμφαση δόθηκε στην καταγραφή της χρονικής αλληλουχίας των σταδίων και αντίστοιχων υπομέτρων εκσκαφής, εγκατάστασης αντιρήδων, τάνυσης αγκυριών, άντλησης υπογείου ύδατος, και έκτακτων εργασιών (π.χ., φόρτωση σιλό, φορτία γερανών πλησίον εκσκαφής).

Για τις προκαταρκτικές αναλύσεις που παρουσιάζονται σ' ετούτο το άρθρο επελέγησαν δύο διατομές. Η πρώτη στο δυτικό άκρο του Σταθμού του Κεραμεικού (Σχήμα 1α, Διατομή 1-1') όπου η παρακολούθηση των

μετακινήσεων με οπτικά σημεία έδειξε "σύγκλιση" των παρειών της εκσκαφής κατά 12 cm, περίπου (9 + 3 cm στις δύο παρειές της εκσκαφής) -- Σχήμα 4. Η δεύτερη στο ανατολικό άκρο του σταθμού της Δάφνης (Σχήμα 1β, Διατομή 2-2') όπου μετρήσεις κλισιομέτρων δεν υπερέβησαν το 1 cm -- Σχήμα 5.



Σχήμα 4. Κεραμεικός : Διατομή 1-1', Μετρήσεις οπτικών σημείων
Figure 4. Keramikos : Section 1-1' , Monitoring results from optical points



Σχήμα 5. Δάφνη : Διατομή 2-2', Μετρήσεις κλισιομέτρου
Figure 5. Dafni : Section 2-2' , Inclinometer Data

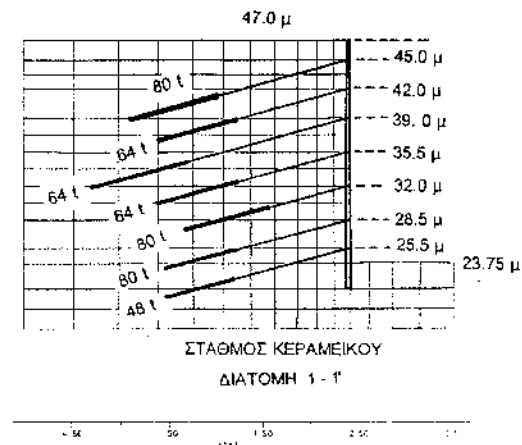
4. ΑΝΤΙΣΤΡΟΦΗ ΑΡΙΘΜΗΤΙΚΗ ΑΝΑΛΥΣΗ

Μέχρι σήμερα αναλύσεις έχουν γίνει μόνον με λογισμικό πεπερασμένων διαφορών (FLAC). Η συμπεριφορά των εδαφικών υλικών περιγράφεται από γραμμικές ή μη-γραμμικές, ελαστικές ή ελαστοπλαστικές καταστατικές εξισώσεις που επιτρέπουν προσομοίωση της συμπεριφοράς μέχρι την διαρροή και, ενδεχομένως, την κατάρρευση. Η "βιβλιοθήκη" μηχανικών στοιχείων περιλαμβάνει δοκούς και προεντεταμένα αγκύρια τα οποία χρησιμοποιούνται στην παρούσα εφαρμογή. Μια σταδιακή εκσκαφή προσομοιώνεται με αφαίρεση των αντίστοιχων εδαφικών στοιχείων από τον κάρναβο των πεπερασμένων διαφορών. Η ανάλυση γίνεται σε δύο διαστάσεις με θεώρηση επίπεδης παραμόρφωσης. Η περιβάλλουσα αστοχίας των εδαφικών υλικών ακολουθεί τον καταστατικό νόμο Mohr-Coulomb (με μη-μηδενική εφελκυστική αντοχή).

Οι αναλύσεις ακολουθούν με ακρίβεια τις φάσεις της κατασκευής. Έτσι, αφού σε μία πρώτη ανάλυση δημιουργηθούν συνθήκες γεωστατικής ισορροπίας, τοποθετούνται στον κάρναβο των πεπερασμένων διαφορών κατακόρυφα δομικά στοιχεία (δοκοί) με τις ιδιότητες των πασσάλων αντιστηρίξεως ("Βερολίνιου" τοίχου). Μετά, σε διαδοχικά στάδια της ανάλυσης, αφαιρούνται στοιχεία εδάφους από τον κάρναβο μέχρι την θέση των

αγκυρίων. Ακολουθεί "εγκατάσταση" των αγκυρίων με τα χαρακτηριστικά που τα αγκύρια έχουν στην πραγματικότητα (συνολικό μήκος αγκυρίου, μήκος προεντεταμένου τμήματος, κλίση και διάμετρος αγκυρίου, φορτίο σχεδιασμού, χαρακτηριστικές αντοχές υλικών, και τάσεις συναφείας). Η διαδικασία επαναλαμβάνεται μέχρι το τελικό στάδιο εκσκαφής και την τελευταία τάνυση αγκυρίου.

Οι διαδοχικές εργασίες κατασκευής στον σταθμό του Κεραμεικού συνοψίζονται στο Σχήμα 6. Δίνονται (με χρονική αλληλουχία) οι στάθμες της εκσκαφής και της θέσης των αγκυρίων, και οι δυνάμεις σχεδιασμού των αγκυρίων. Το εδαφικό προφίλ αποτελείται από 7 m επιχώσεων και αλλουβιακών αποθέσεων με γεωτεχνικές παραμέτρους υπολογισμού : ειδικό βάρος $\gamma = 20.5 \text{ kN/m}^3$, γωνία τριβής $\phi = 30^\circ$, συνοχή $c = 0 \text{ kPa}$, και μέτρο ελαστικότητας $E = 20 \text{ MPa}$. Το υποκείμενο ημιβραχώδες υλικό χαρακτηρίζεται από : $\gamma = 23.0 \text{ kN/m}^3$, $\phi = 28^\circ$, $c = 15 \text{ kPa}$, και $E = 50 \text{ MPa}$.

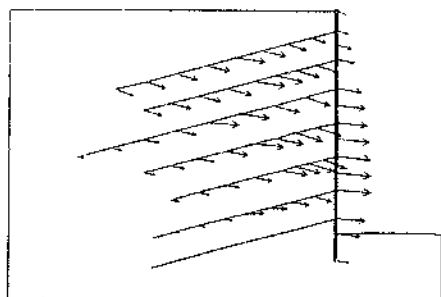


Σχήμα 6. Κεραμεικός : Κάρναβος Πεπερασμένων Διαφορών και μηχανικά στοιχεία

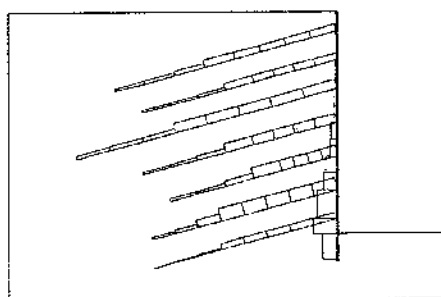
Figure 6. Keramikos : Finite Difference Mesh and structural elements

Αποτελέσματα από την τελική ανάλυση, μετά δηλαδή από 7 στάδια εκσκαφών και ισάριθμες τανύσεις αγκυρίων, δίνονται στο Σχήμα 7 και περιλαμβάνουν διανύσματα μετακινήσεων (Σχήμα 7α), και τις κατανομές : αξονικών δυνάμεων (Σχήμα 7β) και ροπών κάμψεως (Σχήμα 7γ) στον πασσαλότοιχο. Από τις αναλύσεις προκύπτει ότι η μέγιστη μετατόπιση δεν ξεπερνά τα 6 cm, μία τιμή που συμπίπτει με τον μέσο όρο των μετρήσεων στις δύο απέναντι παρειές της εκσκαφής. Το σχήμα 7δ ενδεικτικά δείχνει ότι το σύστημα θα

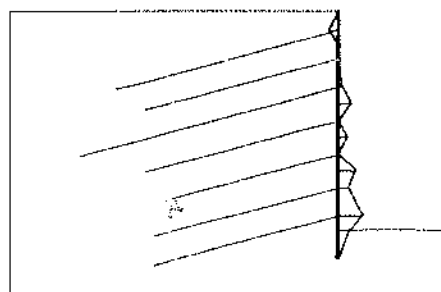
ήταν ασταθές (κατάρρευση) αν η αντιστήριξη αποτελούνταν μόνον από πασσάλους (χωρίς δηλαδή αγκύρωση).



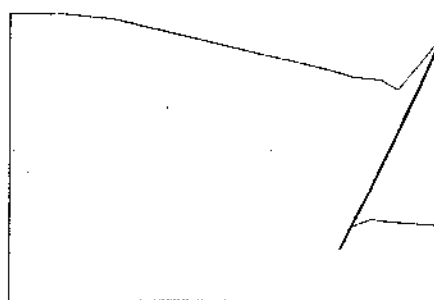
α. Μετακινήσεις Πασσάλου και Αγκυρών



β. Αξονικές Δυνάμεις



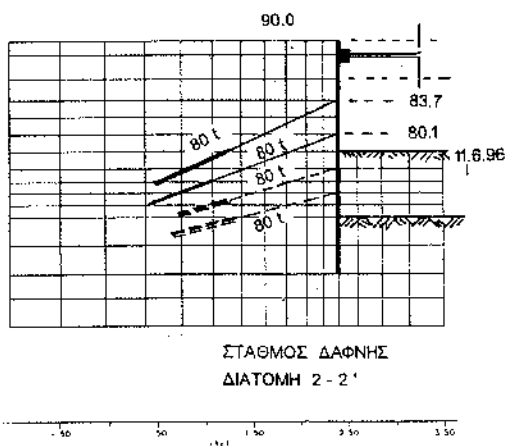
γ. Καμπτικές Ροπές



δ. Αντιστήριξη χωρίς Αγκύρια --- Αστοχία

Σχήμα 7. Κεραμικός, αποτελέσματα αναλύσεων : μετακινήσεις, αξονικές δυνάμεις, καμπτικές ροπές, αστοχία χωρίς αγκύρια
Figure 7. Keramikos, results of analysis : displacements, axial forces, bending moments, failure without anchors.

Στο Σχήμα 8 δείχνεται η υπο-εξέταση διατομή του Σταθμού της Δάφνης. Στο ίδιο σχήμα φαίνονται ο κάρναβος των πεπερασμένων διαφορών, καθώς και τα μηχανικά στοιχεία (πάσσαλος, αντιρήδα, και προεντεταμένα αγκύρια). Οι αναλύσεις που παρουσιάζονται αντιστοιχούν στην σημερινή κατασκευαστική φάση (11-6-1996) κατά την οποία δύο από τις τέσσερις σειρές αγκυρίων έχουν ταυσθεί, η εκσκαφή βρίσκεται 12 m περίπου από την επιφάνεια του εδάφους, ενώ μία χαλύβδινη αντιρήδα αντιστηρίζει τις δύο πλευρές της εκσκαφής 1.5 m από την εδαφική επιφάνεια. Εδώ τελικώς το εδαφικό προφίλ αποτελείται από 4 m εδαφικών αποθέσεων ($\gamma = 21.0 \text{ kN/m}^3$, $\phi = 30^\circ$, $c = 10 \text{ kPa}$, και $E = 20 \text{ MPa}$), και δύο ζώνες υποκειμένου βράχου :



$$N_{\max} = 728 \text{ kN}$$

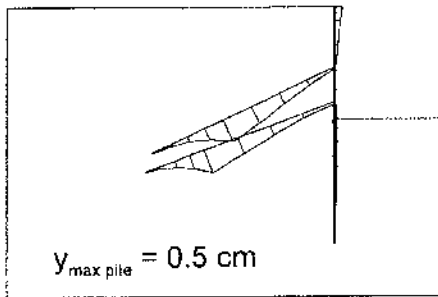
$$M_{\max} = 269 \text{ kN m}$$

$$y_{\max \text{ pile}} = 6 \text{ cm}$$

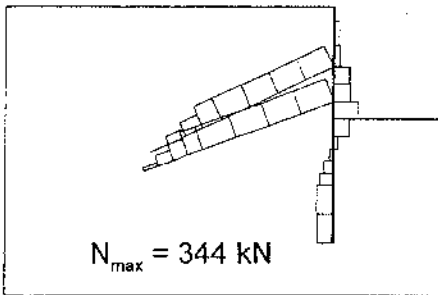
Σχήμα 8. Δάφνη : Κάρναβος Πεπερασμένων Διαφορών και μηχανικά στοιχεία
Figure 8. Dafni : Finite Difference Mesh and structural elements

από τα 4 έως τα 16 m με : $\gamma = 23.0 \text{ kN/m}^3$, $\phi = 30^\circ$, $c = 30 \text{ kPa}$, και $E = 200 \text{ MPa}$, και κάτω απ' τα 16 m με : $\gamma = 24.0 \text{ kN/m}^3$, $\phi = 30^\circ$, $c = 50 \text{ kPa}$, και $E = 400 \text{ MPa}$.

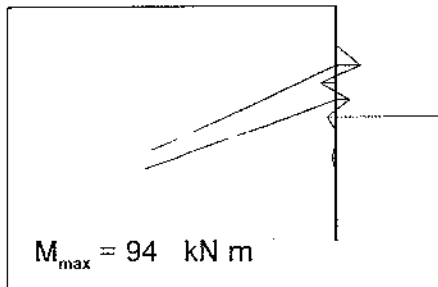
Τα αποτελέσματα των αναλύσεων παρουσιάζονται στο Σχήμα 9. Οι μετατοπίσεις (σχήμα 9α) περιορίζονται σε 0.5 cm, σχεδόν όσες και οι μετατοπίσεις που κατέγραψε το πλησιέστερο κλισιόμετρο στην πιό πρόσφατη μέτρηση (Σχήμα 5).



α. Μετακινήσεις Πασσάλου και Αγκυριών



β. Αξονικές Δυνάμεις



γ. Καμπτικές Ροπές

Σχήμα 9. Δάφνη, αποτελέσματα αναλύσεων : μετακινήσεις, αξονικές δυνάμεις, και καμπτικές ροπές

Figure 9. Dafni, results of analysis : displacements, axial forces, and bending moments

5. ΠΑΡΑΠΟΜΠΕΣ

Γ. Γκαζέτας και Κ. Λουκάκης (1995a), "Γεωτεχνικές Παράμετροι για τον Σταθμό του Κεραμεικού", 29.9.95.

Γ. Γκαζέτας και Κ. Λουκάκης (1995b), "Σταθμός Δάφνης, Γεωτεχνικές Παράμετροι για τον Σχεδιασμό Μόνιμων Κατασκευών", 21.12.95.

Γ. Γκαζέτας και Κ. Λουκάκης (1996), "Reply to ALO 13531 and ALO 13459 Regarding Geotechnical Parameters for the Design of Permanent Structures of Dafni Station".

ΤΕΕ (1981), πρακτικά της ημερίδας με θέμα "Γεωτεχνικά Προβλήματα του Αθηναϊκού Σχιστολίθου", Αθήνα, 22 Μαΐου 1981.

Ολυμπιακό Μετρό (1994a), "Σταθμός Κεραμεικός, Έκθεση Αξιολόγησης Γεωτεχνικών Στοιχείων".

Ολυμπιακό Μετρό (1994b), "Σταθμός Δάφνη, Έκθεση Αξιολόγησης Γεωτεχνικών Στοιχείων".

Ολυμπιακό Μετρό (1995), "Πρόγραμμα Γενικής Παρακολούθησης, Μετακινήσεις και τάσεις εδάφους και δομικών στοιχείων, υπόγειο ύδατα".

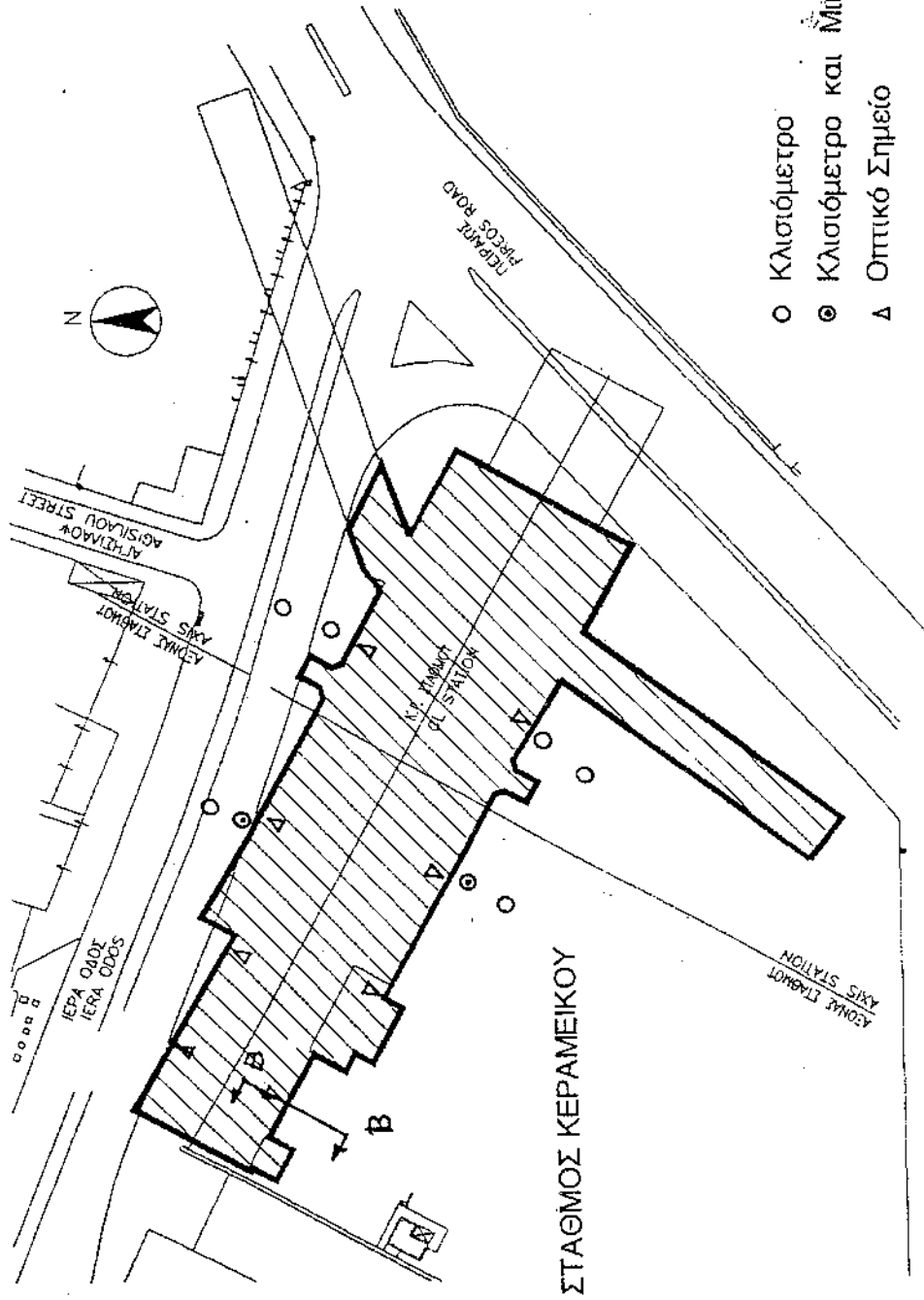
FLAC (1995), "Fast Lagrangian Analysis of Continua", Version 3.3, Itasca Consulting Group Inc.

ΠΑΡΑΡΤΗΜΑ

Βοήθημα Εκδρομής στον ημιτελή

"Σταθμό" του Μετρό στον

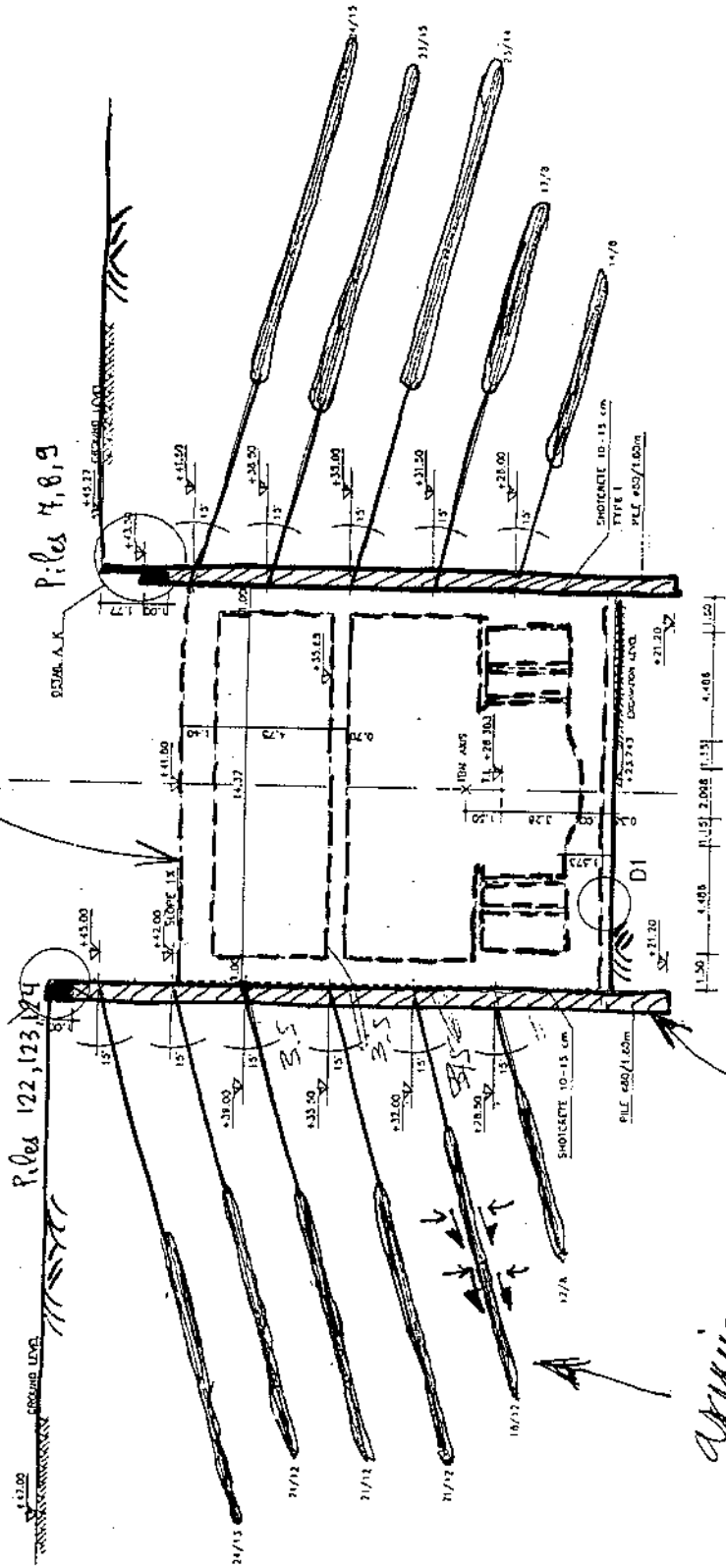
Κεραμεικού



- Κλισιόμετρο
- ⊙ Κλισιόμετρο και Μικρόμετρο
- Δ Οπτικό Σημείο

ΣΧΗΜΑ 1

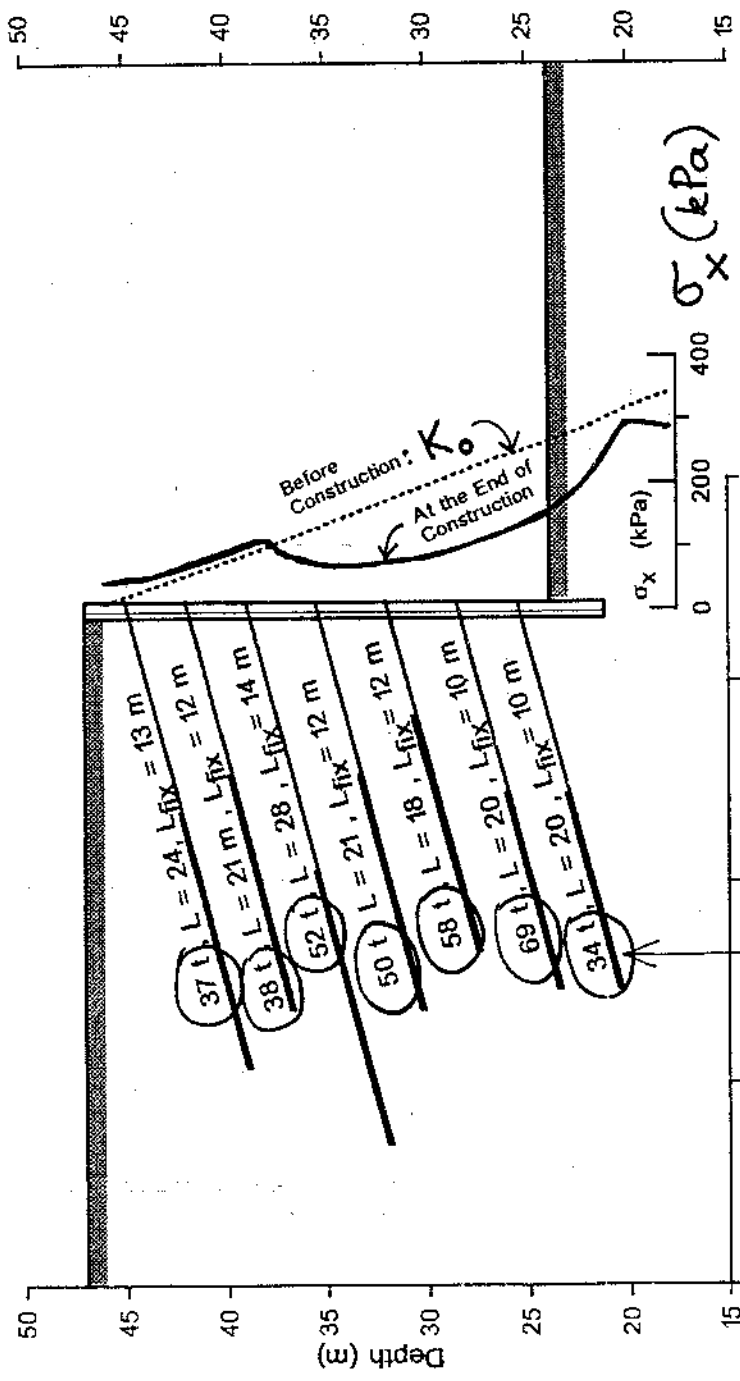
ζεύγη (παρασυνεχ)
κατασκευη



Πασσαλότοχος
(προσωπική ανατίραξη)

αγκύρα

KERAMIKOS STATION --- $K_0 = 0.54$
 Piles 122 - 123 - 124



τελιως αναλωσομενες
 δρασεις αγυριων

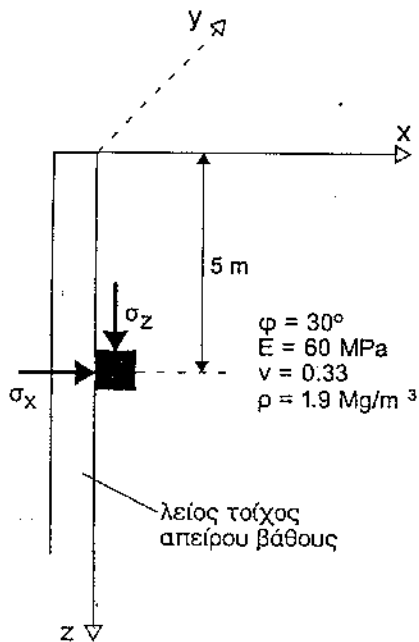
ΑΣΚΗΣΕΙΣ ΕΔΑΦΟΜΗΧΑΝΙΚΗΣ ΙΙ

ΕΔΑΦΟΜΗΧΑΝΙΚΗ ΙΙ

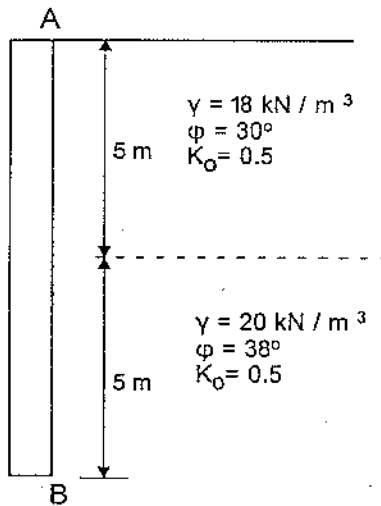
6ου Εξαμήνου 1996

Καθηγητής Γ. Γκαζέτας

1η ΣΕΙΡΑ ΑΣΚΗΣΕΩΝ

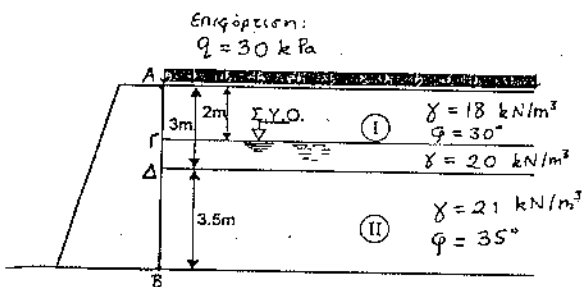


1. Αν η οριζόντια τάση που ασκείται στο στοιχείο Α μετρήθηκε $\sigma_x = 40 \text{ kPa}$, ζητείται να προσδιοριστούν οι παραμορφώσεις ϵ_x , ϵ_y , υπό την απλοποιητική παραδοχή ότι το έδαφος συμπεριφέρεται ως γραμμικώς ελαστικό υλικό. Δικαιολογείται στην περίπτωση αυτή η παραπάνω παραδοχή;



2. Να υπολογιστούν τα διαγράμματα : (α) των οριζοντίων εδαφικών τάσεων σ_{ho} (χωρίς μετακίνηση της κατακόρυφης παρειάς AB), και (β) των οριζοντίων ενεργητικών τάσεων σ_{ha} (για "αρκετά μεγάλη" μετακίνηση της παρειάς). Το δίστρωτο εδαφικό προφίλ δίδεται στο Σχήμα.

3. Να προσδιοριστούν το διάγραμμα ενεργητικών ωθήσεων στην λεία παρειά AB του τοίχου αντιστηρίξεως ($\delta=0$) του Σχήματος καθώς και η συνισταμένη ολική πίεση επί του τοίχου (μέγεθος και σημείο εφαρμογής)



ΕΔΑΦΟΜΗΧΑΝΙΚΗ ΙΙ

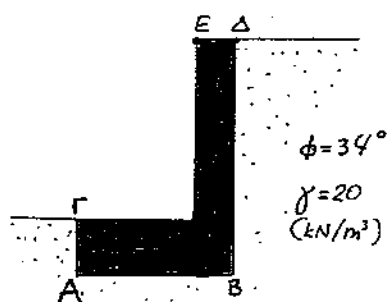
6 ου Εξαμήνου Πολιτικών Μηχανικών, 1996

Καθηγητής Γ. Γκαζέτας

2η ΣΕΙΡΑ ΑΣΚΗΣΕΩΝ

Οριζόντιες Ωθήσεις, Τοίχοι Αντιστηρίξεως

1.



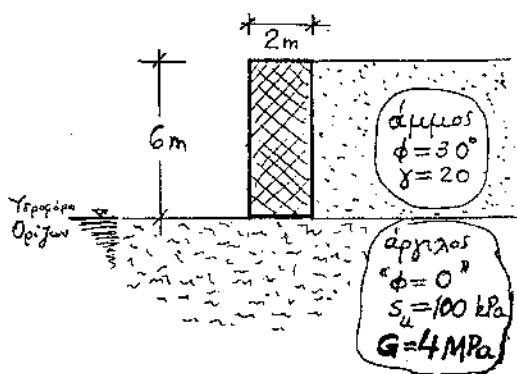
$$\begin{aligned} (AB) &= 4 \text{ m} \\ (BE) &= 6 \text{ m} \\ (A\Gamma) &= 1.5 \text{ m} \\ (\Delta E) &= 0.8 \text{ m} \end{aligned}$$

Δίδεται: Η διατομή ενός υπό-μελέτην τοίχου αντιστηρίξεως από σκυρόδεμα ($\gamma = 25 \text{ kN/m}^3$). Ζητείται: Ο συντελεστής ασφαλείας έναντι ανατροπής (περί το A) και έναντι ολισθήσεως, υπό τις ακόλουθες δύο συνθήκες:

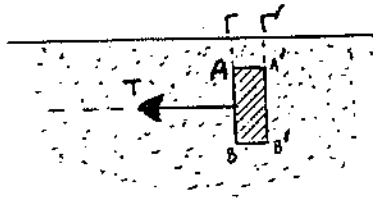
- αγνοείται η παθητική αντίσταση
- η παθητική αντίσταση λαμβάνεται υπόψη μειωμένη στο $1/2$ της πλήρους τιμής.

Και στις δύο περιπτώσεις η κατακόρυφη παρειά του τοίχου να θεωρηθεί ως πρακτικώς λεία, ενώ η γωνία συνάφειας, δ , στην βάση του τοίχου (AB) είναι ίση με την γωνία $\phi = 34^\circ$

2.



- Να ελεχθεί η ευστάθεια του τοίχου βαρύτητας από άοπλο σκυρόδεμα
- Να εκτιμηθεί η ελαστική οριζόντια μετατόπιση και περιστροφή του τοίχου, και να δειχθεί κατά πόσον οι εντατικές συνθήκες στην άμμο προσεγγίζουν την ενεργητική κατάσταση.
- Να συζητηθεί η αξιοπιστία της μεθόδου (α) με βάση τα ευρήματα του (β).



$(AB) = 5 \text{ m}$

$(A\Gamma) = 0.5 \text{ m}$

Υλικό: άμμος

με $\gamma = 16 \text{ kN/m}^3$, και $\phi = 35^\circ$.

3.

Η πλάκα $ABB'A$ βρίσκεται μέσα σε άμμο και έλκεται με δύναμη T που προκαλεί αρκετή μετακίνηση της πλάκας ώστε στην παρειά AB να αναπτυχθεί παθητική ώθηση.

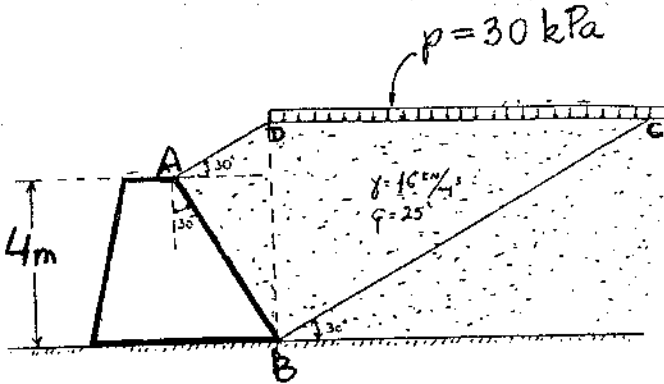
Ζητείται : η τεταγμένη του διαγράμματος παθητικής ώθησης στο σημείο B για τις παρακάτω περιπτώσεις :

(α) Λεία επιφάνεια πλάκας, $\delta = 0$

(β) Τραχεία επιφάνεια πλάκας $\delta = 10^\circ$.

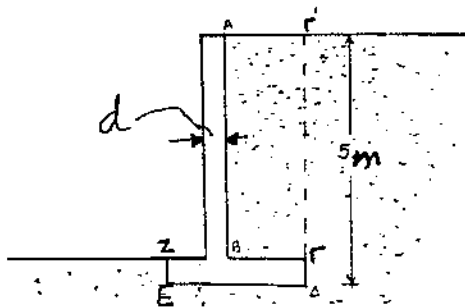
4.

Για το δοκιμαστικό πρίσμα $(ABCD)$ να προσδιοριστεί με την μέθοδο Coulomb η τιμή της ασκούμενης παθητικής πίεσης P_p στην παρειά AB του τοίχου. Γωνία τριβής γαιών-τοίχου : $\delta = 5^\circ$.



5.

Ζητείται να ελεχθεί η ευστάθεια τοίχου αντιστηρίξεως-με-πέλμα του σχήματος, με την παραδοχή ότι στην επιφάνεια $\Gamma\Gamma'$ αναπτύσσεται ενεργητική ώθηση κατά Rankine.



άμμος με $\phi = 35^\circ$; $\gamma = 17 \text{ kN/m}^3$

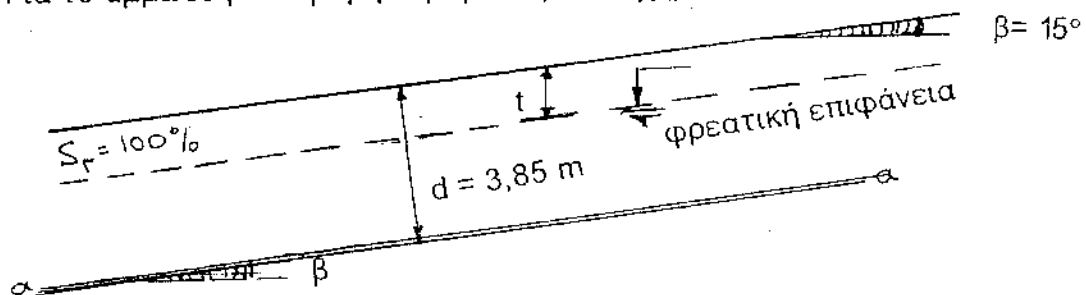
$(E\Delta) = 2.50 \text{ m}$ $(B\Gamma) = 1.50 \text{ m}$. Πάχος τοίχου d

κατάλληλο για παρακαθή κεφελώνης ροής...

ΕΔΑΦΟΜΗΧΑΝΙΚΗ ΙΙ
6ο Εξαμηνο Πολιτικών Μηχανικών
1997

3η ΣΕΙΡΑ ΑΣΚΗΣΕΩΝ

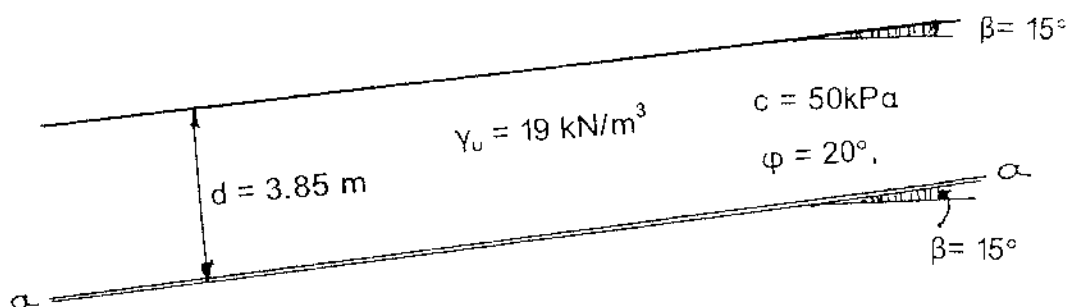
1. Για το αμμώδες απειρομήκες πρανές του σχήματος ζητούνται:



- (α) Ο συντελεστής ασφαλείας έναντι ολισθήσεως σε επιφάνεια α-α παράλληλη προς το φυσικό έδαφος για τελείως ξηρό πρανές
- (β) Το βάθος t από το φυσικό έδαφος στο οποίο πρέπει να φθάσει η φρεατική επιφάνεια (επίσης παρ/λη προς το φυσικό έδαφος), ώστε ο συντελεστής ασφαλείας έναντι ολισθήσεως στην επιφάνεια α-α να είναι $\gamma = 1.50$
- (γ) Η κρίσιμη κλίση $\beta_{κρ}$ του πρανούς στην περίπτωση που θα συμπίσει η φρεατική επιφάνεια με το φυσικό έδαφος.

$\phi = 30^\circ, \gamma_{κορ} = 19.5 \text{ kN/m}^3$

2. Για την περίπτωση απειρομήκους πρανούς σε συνεκτικό έδαφος με χαρακτηριστικά $\gamma_u = 19 \text{ kN/m}^3$ $c = 50 \text{ kPa}$ $\phi = 20^\circ$, ποιός θα ήταν ο συντελεστής ασφαλείας έναντι ολισθήσεως στην επιφάνεια α-α;



ΕΔΑΦΟΜΗΧΑΝΙΚΗ ΙΙ
 6ου Εξαμήνου Πολιτικών Μηχανικών
Διδάσκοντες (1996) : Γ. Γκαζέτας
Ι. Πρωτονοτάριος

ΣΕΙΡΑ ΑΣΚΗΣΕΩΝ :
Πρόσθετη

1. Σε αδιατάρακτα δείγματα αργίλου έγιναν δοκιμές κυλινδρικής τριαξονικής συμπίεσης με στερεοποίηση κατά την επιβολή της πλευρικής πίεσης σ_c και χωρίς στράγγισμα κατά την επιβολή της προσθετικής αξονικής πίεσης $\Delta\sigma_d$. Έδωσαν τα παρακάτω αποτελέσματα:

Δοκίμιο	$\sigma_c = \bar{\sigma}_c$ (kPa)	$\Delta\sigma_d$ κατά την αστοχία (kPa)	Πίεση πόρων κατά την αστοχία u_A (kPa)
I	200	117	110
II	400	242	227

Ζητούνται:

- α) Οι παράμετροι διατμητικής αντοχής (c, φ)
- β) Για το δοκίμιο I να προσδιοριστούν η μέγιστη διατμητική τάση κατά την αστοχία και η αντίστοιχη ορθή τάση, καθώς επίσης και οι τιμές των σ_A και τ_A κατά την αστοχία, στο *επίπεδο* της αστοχίας.

2. Δύο πλήρως κορεσμένα δοκίμια κανονικά στερεοποιημένης (απροφόρτιστης) αργίλου υποβάλλονται σε ιστροπική συμπίεση με $\sigma_c = \bar{\sigma}_c = 70$ kPa σε τριαξονική συσκευή. Στη συνέχεια το ένα δοκίμιο υποβάλλεται σε αξονική συμπίεση υπό στραγγιζόμενες συνθήκες, το δε άλλο σε αξονική συμπίεση υπό αστράγγιστες συνθήκες, με ταυτόχρονη μέτρηση της πίεσης του νερού των πόρων. Οι μέγιστες τιμές $\Delta\sigma_d$ που μετρήθηκαν στις δύο δοκιμές κατά την στιγμή της αστοχίας ήταν:

στραγγιζόμενες συνθήκες: $\Delta\sigma_d = 96$ kPa
 αστράγγιστες συνθήκες : $\Delta\sigma_d = 46$ kPa

Με την παραδοχή ότι και τα δύο δοκίμια έχουν την ίδια γωνία διατμητικής αντοχής φ , να υπολογιστούν:

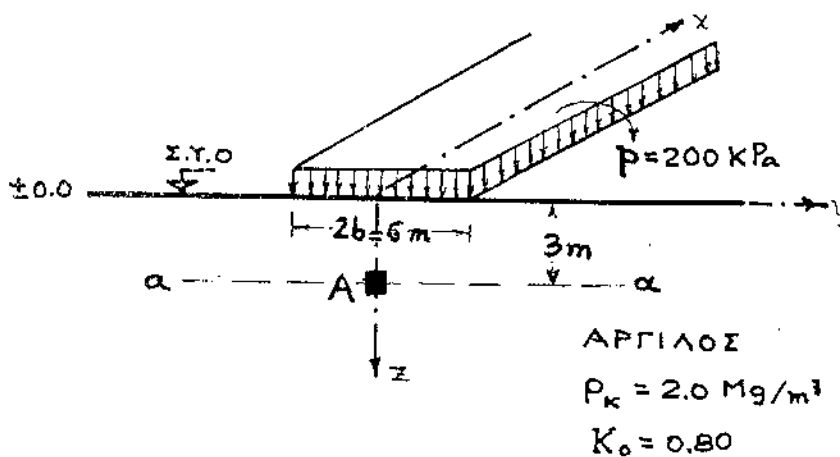
- α) Η γωνία φ
- β) Η πίεση πόρων κατά την αστοχία $u_{αστοχ}$.

3. Για φόρτιση του εδάφους με το λωριδωτό φορτίο του σχήματος ζητείται:

Να ελεγχθεί εάν το έδαφος αστοχεί στο σημείο A αμέσως μετά την επιβολή του φορτίου p (υπό αστράγγιστες συνθήκες).

Δίνονται τα αποτελέσματα δοκιμής κυλινδρικής τριαξονικής συμπίεσης σε δύο δοκίμια που προέρχονται από το σημείο A.

Δοκίμιο	σ_c (kPa) = σ_3	$\Delta\sigma_c$ (kPa)	σ_{1a} (kPa)
I	30	20	140
II	30	70	190



Ε Δ Α Φ Ο Μ Η Χ Α Ν Ι Κ Η Ι Ι

6ου ΕΞΑΜΗΝΟΥ 1995

Καθηγητής Γ. ΓΚΑΖΕΤΑΣ

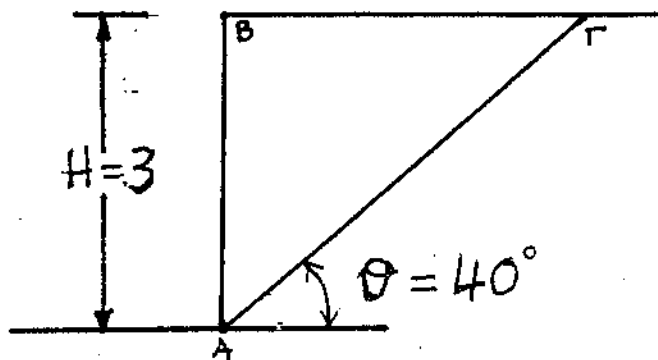
4η ΣΕΙΡΑ ΑΣΚΗΣΕΩΝ : ΕΥΣΤΑΘΕΙΑ ΠΡΑΝΩΝ

1. Στην κορεσμένη αργλική στρώση τού σχήματος πρόκειται να εκσκαφεί κατακόρυφο πρανές ύψους $H = 3$ m. Ζητούνται :

(α) Για την επίπεδη επιφάνεια ΑΓ ο βραχυπρόθεσμος και ο μακροπρόθεσμος συντελεστής ασφαλείας Y_u και Y_d αντιστοίχως. (Για την πρώτη περίπτωση η ανάλυση να γίνει συναρτήσει των ολικών τάσεων με παραμέτρους τής φαινομένης περιβαλλούσας αστοχίας : " $\varphi = 0$ " και $c = S_u$.)

(β) Ο ελάχιστος βραχυπρόθεσμος συντελεστής ασφαλείας (αμέσως μετά την εκσκαφή τού πρανούς) Y_u^{\min} .

(γ) Τό κρίσιμο ύψος εκσκαφής τού κατακόρυφου πρανούς $H_{κρ}$.



ΑΡΓΙΛΟΣ

$$\gamma = 20 \text{ kN/m}^3$$

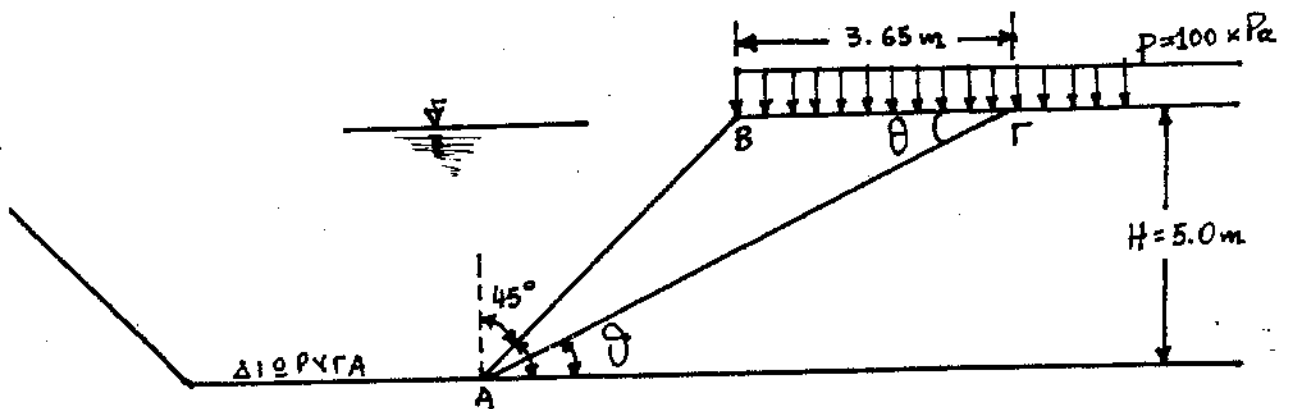
$$S_u = 90 \text{ kPa ("}\varphi=0\text{"})$$

$$\varphi = 20^\circ$$

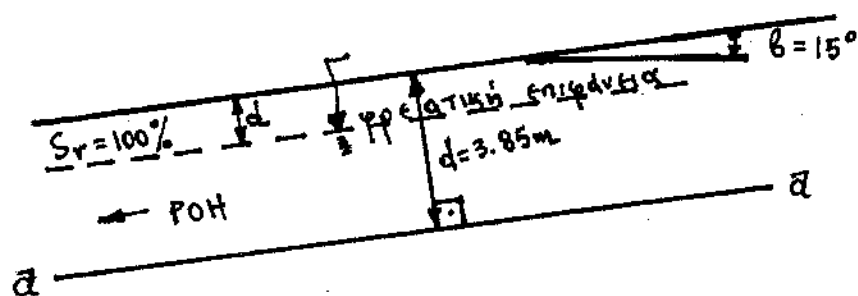
$$c = 40 \text{ kPa}$$

2. Για τό πρανές τού σχήματος ζητείται η ελάχιστη απαιτούμενη αστράγγιστη διατμητική αντοχή S_v τής αργίλου ώστε νά υπάρχει επαρκής ασφάλεια έναντι βραχυπρόθεσμης αστοχίας τού πρανούς κατά μήκος τής επίπεδης επιφάνειας ΑΓ, στις παρακάτω δύο περιπτώσεις :

- (α) όταν η διώρυγα είναι χωρίς νερό (αλλά ωστόσο η άργιλος κορεσμένη [$S_r = 100\%$]).
- (β) όταν η διώρυγα είναι γεμάτη μέ νερό μέχρι τήν στάθμη ΒΓ ($\gamma_{κορ} = 20 \text{ kN/m}^3$).



3. Για τό αμμώδες απειρομήκες πρανές τού σχήματος ζητούνται :



- (α) ο συντελεστής ασφαλείας έναντι ολισθήσεως σέ επιφάνεια α-α παράλληλη πρός τό φυσικό έδαφος για τελείως ξηρό πρανές
- (β) Το βάθος d από το φυσικό έδαφος στό οποίο πρέπει νά φθάσει η φρεατική επιφάνεια (επίσης παρ/λη πρός τό φυσικό έδαφος), ώστε ο συντελεστής ασφαλείας έναντι ολισθήσεως στην επιφάνεια α-α νά είναι $\gamma = 1.50$.

ΕΔΑΦΟΜΗΧΑΝΙΚΗ ΙΙ

6ο ΕΞΑΜΗΝΟ ΠΟΛΙΤΙΚΩΝ ΜΗΧΑΝΙΚΩΝ 1995

Καθηγητής : Γιώργος Γκαζέτας

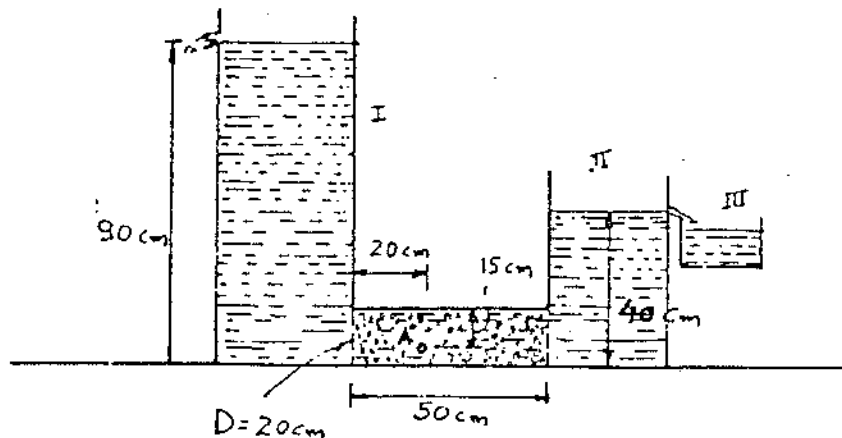
5η ΣΕΙΡΑ ΑΣΚΗΣΕΩΝ

(1-ΔΙΑΣΤΑΤΗ ΡΟΗ ΔΙΑΜΕΣΟΥ ΤΟΥ ΕΔΑΦΟΥΣ)

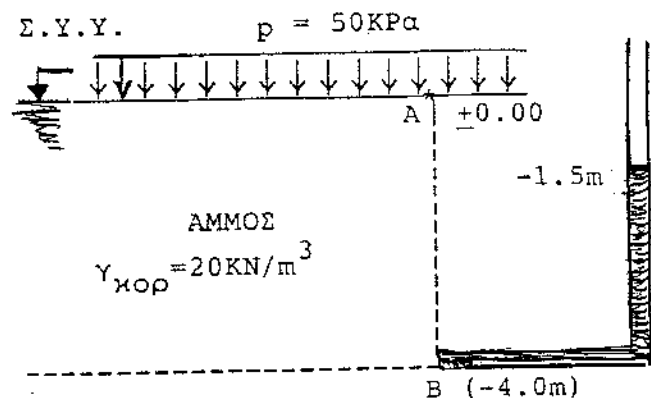
1. Για τό κυλινδρικό εδαφικό δοκίμιο τού σχήματος δίνονται ο δείκτης πόρων $e = 0.55$ (ανεξάρτητος από τίς συνθήκες ροής) καί η ποσότητα Q νερού πού εισρέει στό δοχείο III είναι ίση μέ $2.36 \text{ cm}^3/\text{s}$.

(α) ο συντελεστής διαπερατότητας k τού εδαφικού υλικού καί η ταχύτητα τής διήθησης U_s .

(β) αν η στάθμη τής ελεύθερης επιφάνειας νερού στό δοχείο I ανέλθει κατά 25 cm , ζητείται η πίεση τού νερού τών πόρων u στό σημείο A.



2. (α) Για τήν εδαφική τομή τού σχήματος νά σχεδιαστούν τά διαγράμματα τών ολικών τάσεων σ_v , ενεργών τάσεων $\bar{\sigma}_v$ καί πιέσεων πόρων u μεταξύ τών σημείων A καί B.



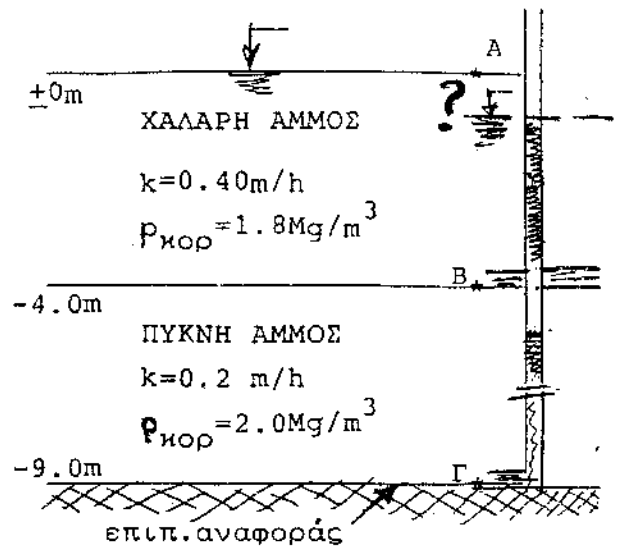
(β) Νά υπολογισθεί η στάθμη τού πιεζομέτρου προκειμένου νά δημιουργηθούν συνθήκες ρευστής αμμου.

3. Για τó εδαφικό προφίλ τού σχήματος ζητούνται:

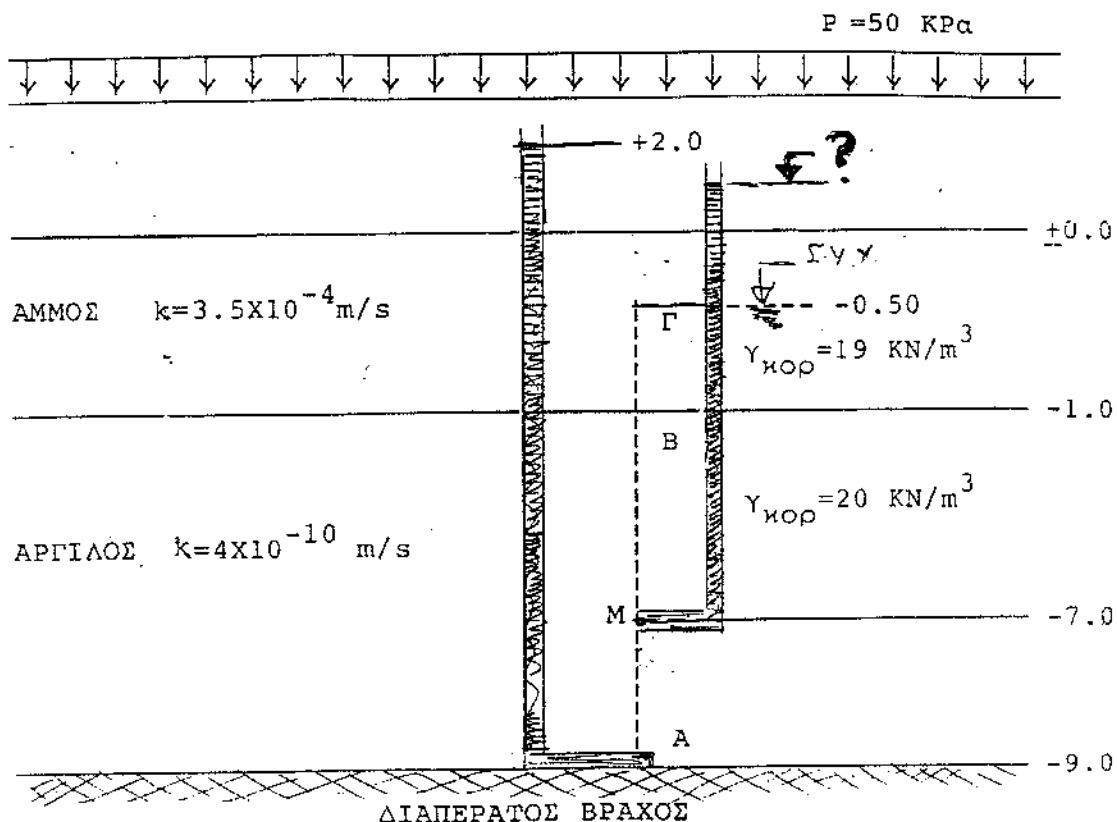
(α) Νά υπολογισθεί η στάθμη τής ελεύθερης επιφάνειας τού πιεζομέτρου στό σημείο Β.

(β) Νά υπολογισθούν οι κατανομές μέ τó βάθος τών σ_v , $\bar{\sigma}_v$, u

(γ) Νά προσδιορισθεί η απαιτούμενη στάθμη τού πιεζομέτρου στό Β, προκειμένου νά έχουμε ρευστοποίηση τού στρώματος τής χαλαρής.



4. Πιεζόμετρο πού τοποθετήθηκε στό σημείο Α τής διαχωριστικής επιφάνειας αργίλου--διαπερατού βράχου έφτασε σέ στάθμη +2.0 πάνω από τó φυσικό έδαφος. Για τó σημείο Μ ζητείται : η στάθμη (πάνω από τó φυσικό έδαφος) πιεζομέτρου τοποθετημένου στό σημείο Μ πρίν από τήν επιβολή τού εξωτερικού φορτίου $p = 50 \text{ kPa}$ (απεριορίστου κατά τίσ δύο διευθύνσεις)



ΕΔΑΦΟΜΗΧΑΝΙΚΗ ΙΙ

6ο ΕΞΑΜΗΝΟ ΠΟΛΙΤΙΚΩΝ ΜΗΧΑΝΙΚΩΝ 1995

Καθηγητής : Γιώργος Γκαζέτας

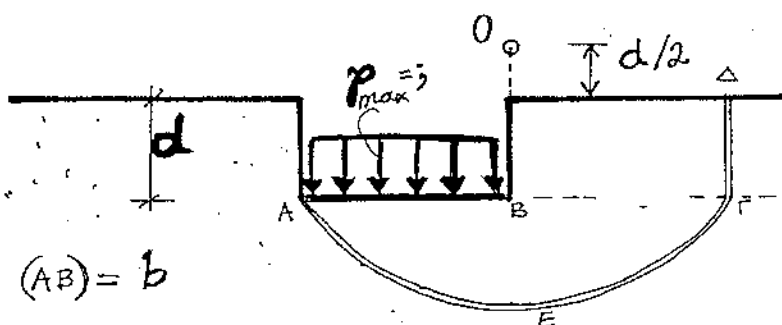
ΑΣΚΗΣΕΙΣ ΕΦΑΡΜΟΓΩΝ ΟΡΙΑΚΗΣ ΙΣΟΡΡΟΠΙΑΣ

1. Νά εκφρασθεί τό οριακό φορτίο, $\rho_{\text{οριακό}}$, λωριδωτού θεμελίου πλάτους B στην επιφάνεια δίστρωτου εδαφικού σχηματισμού υπό τήν μορφή

$$\rho_{\text{οριακό}} = S_{u1} \cdot N_c \left(H / B, S_{u1} / S_{u2} \right)$$

Νά γίνει πλήρη διερεύνηση, αφού υπολογισθεί η συνάρτηση N_c μέ τήν βοήθεια κατάλληλης δοκιμαστικής επιφάνειας ολισθήσεων. (H = πάχος άνω στρώματος, καί S_{u1} , S_{u2} = αστρ. διατμητικές αντοχές άνω καί κάτω στρώματος. Τό κάτω στρώμα εκτείνεται σέ μεγάλο βάθος.)

2. Ζητείται το μέγιστο (οριακό) φορτίο $\rho_{\text{οριακό}}$ λωριδωτού θεμελίου τοποθετημένου σέ βάθος d απ' τήν εδαφική επιφάνεια. Για τόν δοκιμαστικό κύκλο ολισθήσεως τού σχήματος, εκφράστε τό $\rho_{\text{οριακό}} = \rho_{\text{οριακό}}(S_u, d)$ δηλαδή συναρτήσει τής αστράγγιστης διατμητικής αντοχής τού εδάφους, S_u , καί τού βάθους d .

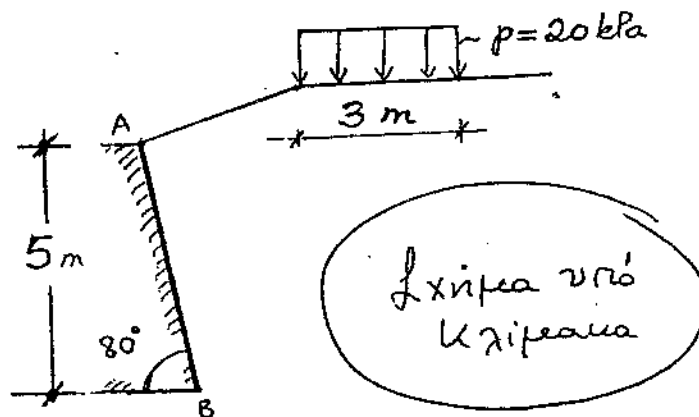


[Επιφάνεια ολισθήσεως AEG : τμήμα κύκλου (O, OA). ΓΔ : κατακόρυφο τμήμα ευθείας, μέ (ΓΔ) = d .]

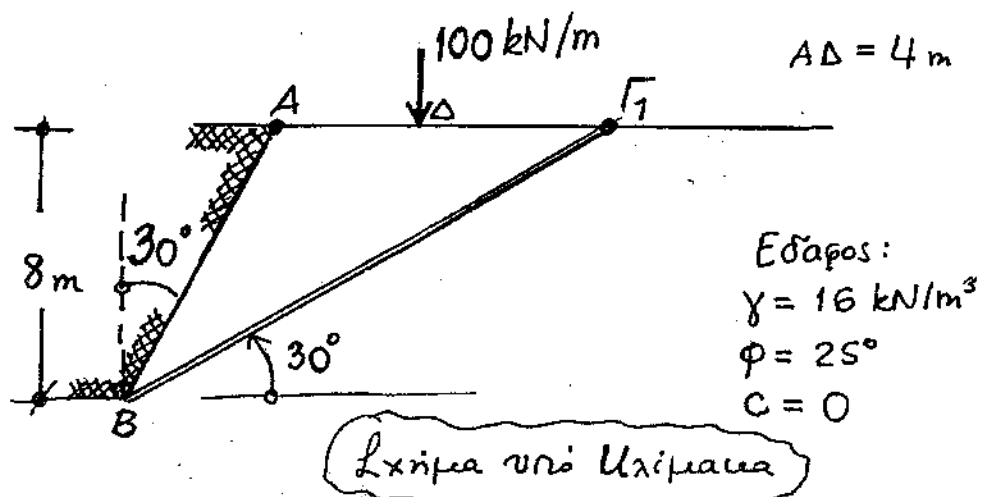
Εδαφος : κορεσμένη άργιλος ομοιόμορφης αστράγγιστης διατμητικής αντοχής S_u .

3. Απειρόμηκες επιφανειακό θεμέλιο μεταβιβάζει φορτίο $P = 1000 \text{ kN/m}$ μήκους. Πόσο τουλάχιστον πρέπει να είναι το πλάτος B ώστε ο συντελεστής ασφαλείας έναντι φέρουσας ικανότητας να είναι ≥ 2 ; Δίδονται $\gamma = 16 \text{ kN/m}^3$, $c = 0$, $\phi = 33^\circ$.

4. Αναζητείται η παθητική ώθηση με την μέθοδο Coulomb για τόν τοίχο τού σχήματος (παρειά AB). Εάν ο τοίχος θεωρηθεί λείος και η γωνία διατμητικής αντοχής τού αντιστηριζόμενου εδαφικού υλικού είναι $\phi = 30^\circ$, ζητείται η ανάλυση ενός δοκιμαστικού πρίσματος (τής δικής σας επιλογής). Ποιά η τιμή τής "ώθησης" για τό πρίσμα αυτό; Ποιά είναι η (πραγματική) παθητική ώθηση (έστω και κατά προσέγγιση);



5. Για τόν υπολογισμό τής ενεργητικής ώθησης στόν τοίχο τού σχήματος, εξετάζεται τό δοκιμαστικό πρίσμα $AB\Gamma$. Νά ευρεθεί η δύναμη $P_{\alpha 1}$ επί τού τοίχου με την μέθοδο Coulomb. Ποιά η (πραγματική) ενεργητική ώθηση P_{α} ;



**"ΠΡΟΧΩΡΗΜΕΝΕΣ" ΑΣΚΗΣΕΙΣ (Προαιρετικές)
ΕΔΑΦΟΜΗΧΑΝΙΚΗΣ II**

Μάιος 1996

1. Εδαφικό στρώμα αργίλου πάχους h , περιβαλλόμενο από πρακτικώς-διαπερατά στρώματα άμμου, υποβάλλεται σε άπειρης-έκτασης ομοιόμορφη φόρτιση p . Η άργιλος θεωρείται (προσεγγιστικά) ως ελαστικό υλικό με μέτρο (μονο-διάστατης) συμπίεσεως, D , όχι σταθερό αλλά γραμμική συνάρτηση του βάθους, z , από την επιφάνεια της αργίλου, δηλαδή :

$$D = \beta z$$

όπου β = γνωστή σταθερά [διαστάσεων kN/m^3]. Η διαπερατότητα, k , και η πυκνότητα, ρ , της αργίλου έχουν σταθερές τιμές, ανεξάρτητες του βάθους. Ζητούνται :

- (α) Ποιά είναι η διαφορική εξίσωση που διέπει την μεταβολή των υδατικών υπερπιέσεων, $u(z, t)$, στον χώρο και στον χρόνο
- (β) Να διατυπωθούν οι συνοριακές και αρχικές συνθήκες του προβλήματος
- (γ) Να επιχειρηθεί αναλυτική επίλυση ή να υποδειχθεί μέθοδος αριθμητικής ολοκλήρωσης.

2. Να διατυπωθεί γενική έκφραση για το *οριακό φορτίο* λωριδωτού θεμελίου, επί εδαφικού προφίλ αποτελούμενου από :

- (i) επιφανειακό στρώμα άμμου πάχους $h_1 = B/2$, γωνίας ϕ και πυκνότητας ρ ,
- (ii) λεπτό στρώμα αργίλου, πάχους $h_2 = B/10$, πολύ μικρής αστράγγιστης διατμητικής αντοχής S_u .

(iii) υποκείμενο παχύ στρώμα πυκνής άμμου.

[Υπόδειξη : Να επιλεγεί κατάλληλος μηχανισμός αστοχίας (αποτελούμενος από επίπεδες επιφάνειες ολισθήσεως).]

3. Δίστρωτος αργιλικός σχηματισμός περιβάλλεται από τελείως διαπερατό στρώμα στην άνω επιφάνεια, και απο τελείως διαπερατό στην κάτω. Οι δύο στρώσεις έχουν :

$$h_1 = h_2, \quad k_1 = 4 k_2, \quad D_1 = 4 D_2$$

Ζητούνται :

- (α) Να διατυπωθούν οι συνοριακές και αρχικές συνθήκες που διέπουν την χωρική-χρονική μεταβολή της υδατικής υπερπίεσης στα δύο στρώματα [$u_1(z, t)$ και $u_2(z, t)$.]
- (β) Χρησιμοποιώντας τις γνώσεις σας από την στερεοποίηση του ενός στρώματος, με βοηθό την διαίσθηση, να εκτιμήσετε (με ποιοτική προσέγγιση μόνον) τις ισόχρονες των υδατικών υπερπιέσεων, δηλ. τις καμπύλες $u_1(z, t = \text{σταθ.})$ και $u_2(z, t = \text{σταθ.})$, για τρεις-τέσσερις τιμές του t . Φυσικά προαπαιτείται κατάλληλη αδιαστατοποίηση.
- (γ) Να επιχειρηθεί ακριβής επίλυση. (Δηλ. λύστε τις δύο διαφορικές εξισώσεις και επιβάλλετε τις συνοριακές και αρχικές συνθήκες.)

4. (α) Για την θεωρητική εκτίμηση της φέρουσας ικανότητας ενός λωριδωτού θεμελίου πλάτους $2b$ επί ομοιογενούς εδάφους με παραμέτρους αστράγγιστης διατμητικής αντοχής $\varphi = 0$ και $c = S_u$, διερευνάται ένας απλός μηχανισμός : κύκλος κέντρου O (σέ ύψος h άνωθεν της άκρης του φορτίου, όπου $h = b$). Νά συγκριθεί η προκύπτουσα τιμή του κατακόρυφου οριακού q_{max} με την θεωρητικώς ακριβή (για λεία διεπιφάνεια εδάφους - θεμελίου).

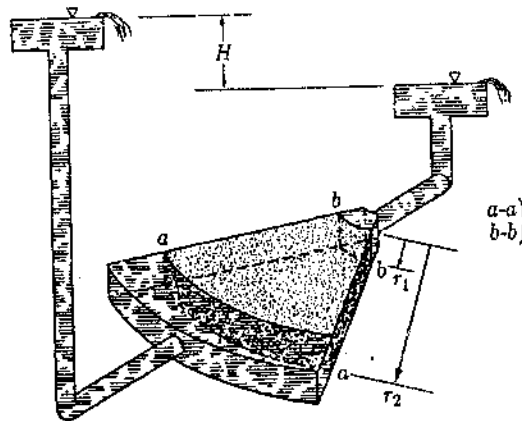
(β) Εάν η αστράγγιστη διατμητική αντοχή δίνεται από την σχέση $S_u = S_o + \lambda z$ όπου $z =$ βάθος, ποιό είναι τό οριακό φορτίο q_{max} (έστω και με κάποια προσέγγιση);

(γ) Νά επεκταθεί η ανωτέρω ανάλυση για νά ευρεθεί τό (κατακόρυφο πάντοτε) οριακό φορτίο όταν η εδαφική μάζα βρίσκεται σέ ομοιόμορφο πεδίο οριζοντίων επιταχύνσεων $A = ag$ (όπου $g =$ επιτάχυνση βαρύτητας). Αρκεί η ψευδο-στατική θεώρηση τών επιταχύνσεων. Η αστράγγιστη διατμητική αντοχή νά θεωρηθεί σταθερή, όπως στό (α).

(δ) Νά επεκταθεί η ανάλυση τού ερωτήματος (α) για νά εκτιμηθεί τό οριακό φορτίο q_{max} τετραγωνικού θεμελίου $2b \times 2b$, με τήν βοήθεια κατάλληλου (απλού κατά τό δυνατόν) μηχανισμού αστοχίας.

Επιτρέπονται λογικές παραδοχές, αφού βεβαίως εξηγηθούν προηγουμένως.

5. (α) Νά καταστρωθεί η εξίσωση μόνιμης ακτινικής ροής διαμέσου τού (επιπέδου) εδαφικού στρώματος τού Σχήματος.
- (β) Λύνοντας τήν εξίσωση νά εκφρασθεί η παροχή συναρτήσει τού H καί τής λοιπής γεωμετρίας.
- (γ) Νά δοθεί ώς παράδειγμα, πρακτικό πρόβλημα εφαρμογής τής ανωτέρω θεωρίας.



6. Αργιλικό εδαφικό δοκίμιο, κανονικώς στερεοποιημένο, υποβάλλεται σέ δοκιμή **απειθείας διάτμησης** υπό συνθήκες πλήρους στραγγίσεως, μέ ορθή ενεργό τάση 200 kPa. Προκύπτει διατμητική τάση τήν στιγμή τής αστοχίας ίση μέ 80 kPa. Ζητούνται :

(α) Η μέγιστη διατμητική τάση στήν κατάσταση αστοχίας τού ίδιου υλικού, εάν δοκίμιό του υποβλήθει σέ **απλή διάτμηση**, όπου η κατακόρυφη ορθή ενεργός τάση είναι 100 kPa, ο δέ συντελεστής $K_0 = 0.5$. Νά δοθεί ο κύκλος τού Mohr τήν στιγμή τής αστοχίας.

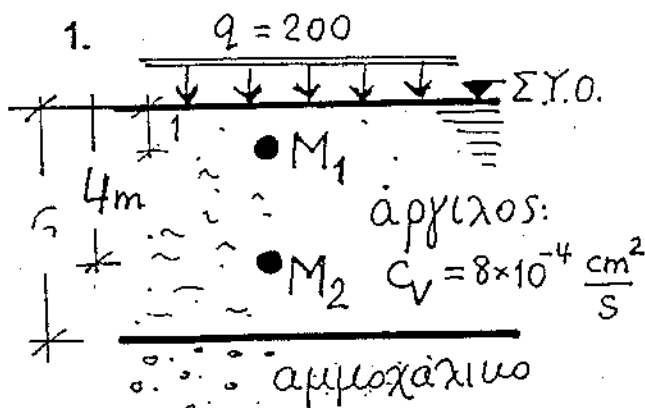
(β) Η ελάχιστη κύρια τάση τήν στιγμή τής αστοχίας τού ίδιου υλικού, εάν υποβληθεί σέ τριαξονική κυλινδρική δοκιμασία μέ $\sigma_c = 100 \text{ kPa}$ καί μειωνόμενη κατακόρυφη τάση σ_v .

(γ) Η διατμητική τάση T_{20} τήν στιγμή τής αστοχίας τού ίδιου υλικού, εάν λεπτότοιχο κυλινδρικό δοκίμιο υποβληθεί σέ στρέψη, ενώ η εσωτερική καί εξωτερική πίεση στόν κύλινδρο είναι $p = 100 \text{ kPa}$ καί η κατακόρυφη ορθή τάση $\sigma_{vo} = 100 \text{ kPa}$.

24-6-96

ΕΔΑΦΟΜΗΧΑΝΙΚΗ ΙΙ
6ο Εξαμήνο Πολιτικών Μηχανικών
1997

8η ΣΕΙΡΑ ΑΣΚΗΣΕΩΝ



Να προσδιοριστούν οι συνολικές πιέσεις πόρων u και οι ενεργές τάσεις $\bar{\sigma}_v$ στα σημεία M_1 και M_2 :

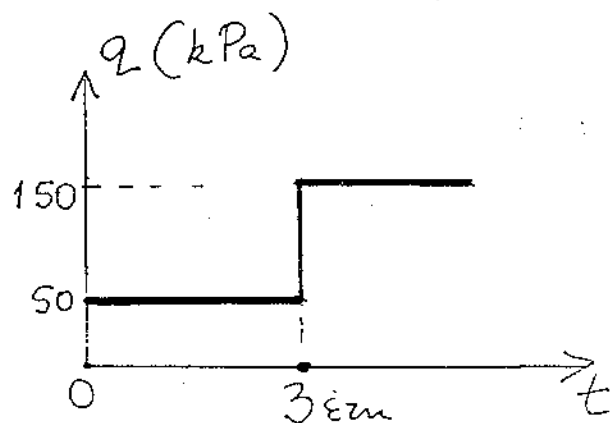
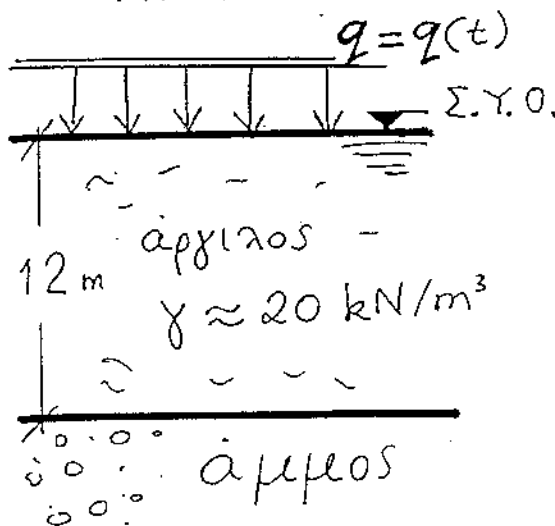
(α) Αμέσως μετά την επιβολή του φορτίου $q=200$ kPa.

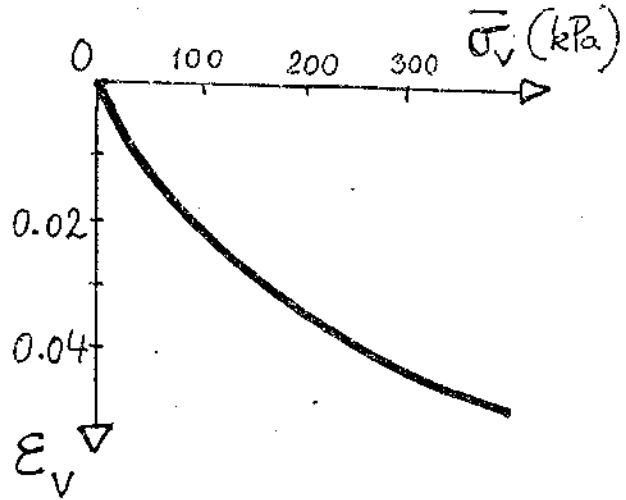
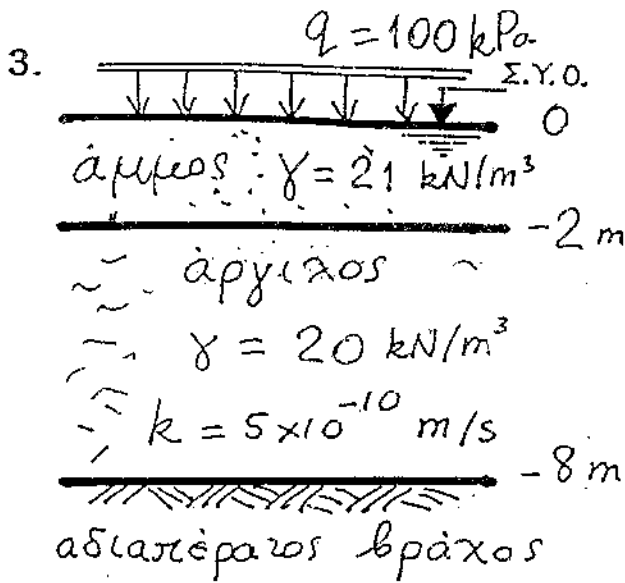
(β) Μετά 1 έτος από την επιβολή του φορτίου.

2. Στο εδαφικό προφίλ του σχήματος επιβάλεται φορτίο $q = 50$ kPa απείρως εκτεινόμενο, η ένταση του οποίου αυξάνεται σε $q = 150$ kPa μετά 3 έτη. Σε δείγμα της αργίλου έγινε δοκιμή συμπίεσομέτρου σε δοκίμιο ύψους 2.54 cm (με στράγγιση άνω και κάτω) και μετρήθηκε ότι σε 8 min είχε συντελεσθεί το 50% της στερεοποίησης (δηλ. $T_v = 0.192$ για $U = 50\%$).

(α) Να υπολογισθεί ο συντελεστής στερεοποίησης C_v .

(β) Να προσδιορισθεί η υπερπίεση πόρων σε βάθος 4 m, μετά 5 έτη από την έναρξη της φόρτισης.

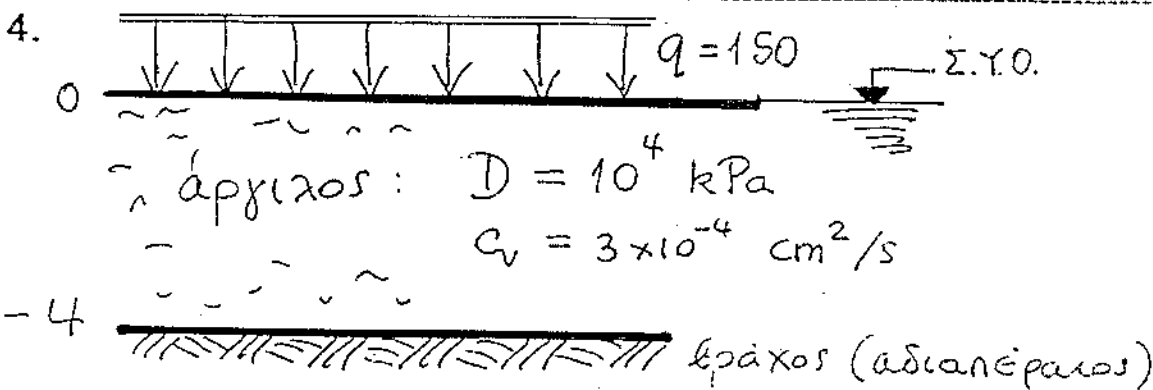




Για το εδαφικό προφίλ και την φόρτιση του σχήματος ζητούνται:

- (α) Η ολική καθίζηση του αργιλικού στρώματος μετά την πλήρη στερεοποίηση λόγω του φορτίου q .
- (β) Η καθίζηση του αργιλικού στρώματος σε 2 μήνες.

Δίδεται αντιπροσωπευτική καμπύλη μονοδιάστατης συμπίεσης του στρώματος της άργιλου.



Για φόρτιση $q = 150 \text{ kPa}$ ζητούνται:

- (α) Ο χρόνος που απαιτείται για να υποχωρήσει η ελεύθερη επιφάνεια του εδάφους κατά 4 cm .
- (β) Ο χρόνος που απαιτείται για να συντελεσθεί "πρακτικώς" η καθίζηση που οφείλεται στην στερεοποίηση του αργιλικού στρώματος.
- (γ) Αν το εδαφικό στρώμα κάτω από την άργιλο ήταν διαπερατό να εκτιμηθούν η συνολική καθίζηση λόγω στερεοποίησης, και ο χρόνος που απαιτείται για να συντελεσθεί η καθίζηση αυτή.

**ΠΑΡΑΔΕΙΓΜΑΤΑ ΔΙΑΓΩΝΙΣΜΑΤΩΝ
ΚΑΙ
ΧΑΡΑΚΤΗΡΙΣΤΙΚΕΣ ΛΥΣΕΙΣ**

Γ. Γκαζέτας
1-IX-87

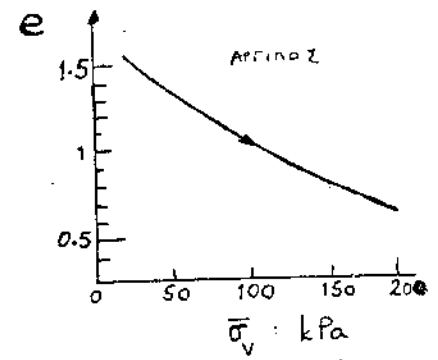
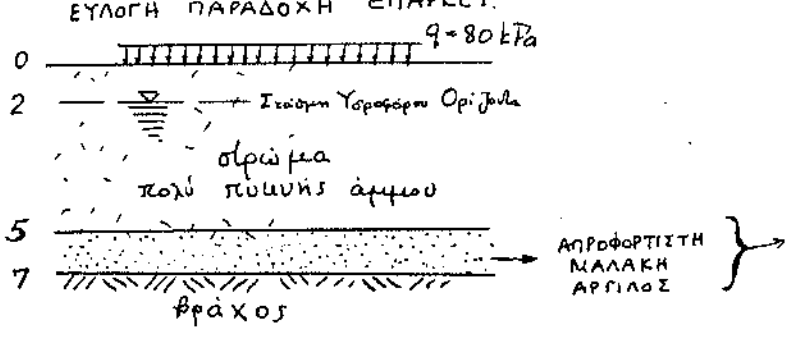
Επαναληπτικό Διαγώνισμα ΕΔΑΦΟΜΗΧΑΝΙΚΗΣ 5ου ΕΞΑΜΗΝΟΥ

Δ ΟΝΟΜΑ ΣΠΟΥΔΑΣΤΗ _____

5 ΙΣΟΔΥΝΑΜΑ ΘΕΜΑΤΑ. ΔΙΑΡΚΕΙΑ 1½ ΩΡΑ. ΔΕΝ ΔΙΝΟΝΤΑΙ
ΕΞΗΓΗΣΕΙΣ. ΑΠΑΓΟΡΕΥΟΝΤΑΙ ΒΙΒΛΙΑ ΚΑΙ ΣΗΜΕΙΩΣΕΙΣ.

1. Με την σφωματογραφία και τα λοιπά δεδομένα του σχήματος ζητούνται: (α) οι ενεργές και ολικές τάσεις $\bar{\sigma}_v, \bar{\sigma}_h, \sigma_v$ και σ_h σε βάθος 6.00 m. (β) Η καθίζηση της ελεύθερης επιφάνειας της άργιλου εάν στην επιφάνεια επιβληθεί ομοιόμορφη με απερίωριστη έντασης φορτία $q = 80 \text{ kPa}$.

ΓΙΑ ΤΙΣ ΕΔΑΦΙΚΕΣ ΠΑΡΑΜΕΤΡΟΥΣ ΠΟΥ ΕΠΙΤΗΔΕΣ ΔΕΝ ΔΙΝΟΝΤΑΙ ΟΠΟΙΟΔΗΠΟΤΕ
ΕΥΛΟΓΗ ΠΑΡΑΔΟΧΗ ΕΠΑΡΚΕΙ.



2. Εντατική κατάσταση σημείου: Γνωστές οι τάσεις $\sigma_v = 150 \text{ kPa}$ και $\tau_v = 100 \text{ kPa}$ σε οριζόντιο επίπεδο, καθώς και οι τάσεις $\sigma_h = 500 \text{ kPa}$ και $\tau_h = 200 \text{ kPa}$ σε κλίση με άγνωση κλίση β ως προς την οριζοντία. Ζητούνται

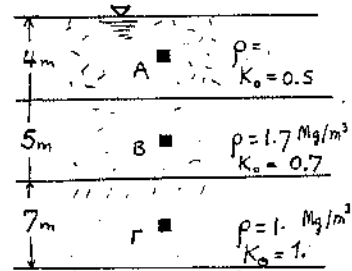
- (α) η τ_{max}
 - (β) η κλίση β
 - (γ) η μαγείρευση του επιπέδου στο οποίο ο λόγος τ/σ γίνεται μέγιστος
- [Σχεδιαστική "ακρίβεια" είναι επαρκής]

3. Για το εδαφικό προφίλ του σχήματος να υπολογισθούν στα σημεία A, B, και Γ:

(α) Οι ολικές και εφ'εξής τάσεις $\sigma_v, \sigma_h, \bar{\sigma}_v, \bar{\sigma}_h$ σε ματα-
κόρυφο και οριζόντιο επίπεδο, καθώς και η
υδροστατική πίεση του υδατος πόρων. (Γνωστική
κατάσταση)

(β) Η ηρωική φορτίγεται με μεγάλης-έκτασης
επιχώμα ύψους 5 m και πυκνότητας
 2 Mg/m^3 . Να υπολογισθούν οι ολικές τάσεις,
εφ'εξής τάσεις, και πιέσεις υδατος πόρων
αμέσως μετά την υαλοκωπή του επιχώματος.

[A, B, Γ στα μέσα των αντιστοιχών στρωμάτων. Στάθμη Υδροφόρου οριζοντία: σήν
επιφάνεια]



Υνατική κατάσταση σημείου: Γνωστή η μέγιστη διαμητική τάση
 $\tau_{max} = 150 \text{ kPa}$ και οι τάσεις $\sigma_h = 300 \text{ kPa}$ και $\tau_h = -75 \text{ kPa}$ σε ματα-
κόρυφο επίπεδο. Είναι επίσης γνωστό το επίπεδο της τ_{max} : 30°
το οποίο, δηλ., σχηματίζει γωνία 30° με την οριζοντία.

Ζητούνται: (α) ο κύκλος του Mohr και (β) οι τάσεις σ_α και τ_α σε
σε επίπεδο γωνίας $\alpha = 45^\circ$ ως προς την οριζοντία.

(α) Διατυπώστε με ακριβολογία και συνοπτικότητα την "αρχή της ενεργού
τάσης."

(β) Πού οφείλεται η παραμορφωσιμότητα των αρχίλων;

(γ) Πώς εξηγείται η σχεδόν γραμμική-ελαστική συμπεριφορά κατά την
αποφόρτιση-επαναφόρτιση δομίου άμμου που υποβάλλεται σε
μονοδιάστατη (πλευρικά περιορισμένη) παραμόρφωση;

(δ) Από την μέτρηση των ορίων Atterberg ("συνεπιικότητα") ενός
δείγματος προέυψαν το εξής αποτέλεσμα: οριο υδαρότητα $w = 43\%$, οριο
πλασιμότητα $pl = 25\%$. Το ποσοστό φυσικής υγρασίας μετρήθηκε $w_n = 15\%$. Τι
σημεία μπορείτε να βγάλετε ως προς την πιθανή παραμορφωσιμότητα
την αντοχή του υλικού αυτού; Σχεδιάστε (ποιοτικά) την σχέση $\tau-\gamma$
για δομή του υλικού αυτού σε απλή διάτμηση.

Όνομα Σπουδαστή _____

(μέ κεφαλαία)

ΚΛΕΙΣΤΑ ΠΑΣΗΣ ΦΥΣΕΩΣ ΒΙΒΛΙΑ, ΤΕΤΡΑΔΙΑ, ΣΗΜΕΙΩΣΕΙΣ.

Ε Π Ι Λ Ο Γ Η Α Π ' Τ Ι Σ Ε Ρ Ω Τ Η Σ Ε Ι Σ
(ΟΛΩΝ ΤΩΝ ΠΑΡΑΛΛΑΓΩΝ) ΤΟΥ ΔΙΑΓΩΝΙΣΜΑΤΟΣ

1. Νά σχεδιασθούν με *ποιοτικήν ακρίβεια* τά ακόλουθα διαγράμματα, σχετιζόμενα με την μετάδοση τάσεων σε ομοιογενή ημίχωρο
- (α) Οι "βολβοί" των κατακόρυφων ορθών τάσεων σ_z λόγω επιβολής: πρώτον, ενός κυκλικού και, δεύτερον, ενός λωριδωτού ομοιόμορφου φορτίου, με $p = 200 \text{ kPa}$.
- (β) Η κατανομή των οριζόντιων ορθών τάσεων $\sigma_y = \sigma_y(z)$ σε επίπεδο $y = 2B$, λόγω επιβολής λωριδωτού ομοιόμορφου φορτίου πλάτους B και εντάσεως p . Πώς θα άλλαζε τό διάγραμμα αυτό εάν στην θέση $y = 2B$ βρίσκονταν ένας τελείως άκαμπτος και αμετακίνητος τοίχος αντιστηρίξεως.
- (γ) Η κατανομή με τό βάθος z υπό τόν άξονα τού φορτίου, των κατακόρυφων ορθών τάσεων σ_z λόγω επιφανειακού φορτίου εφαρμοσμένου σε κυκλικήν επιφάνεια ακτίνας $R = 4 \text{ m}$ και ακτινικά μεταβλητής έντασης $p = p(r) = 300 (1 - r / R)$, όπου $r =$ ακτινική απόσταση.
2. (α) Νά δειχθεί η *μηχανική αναλογία* (αντιστοιχία) μεταξύ τής ενεργητικής κατάστασης κατά Coulomb και προβλήματος σώματος επί κεκλιμένου επιπέδου, με συντελεστή τριβής $\mu (= \tan \phi)$.
- (β) Νά σχεδιασθεί η εξέλιξη των κύκλων τού Mohr στοιχείου εδαφικού υλικού από τήν αρχική εντατική κατάσταση $\bar{\sigma}_{v0} = 200 \text{ kPa}$, $\bar{\sigma}_{h0} = 150 \text{ kPa}$, $\tau_{vh} = 0$, και $u = 0$, ως τήν (τελική) παθητική εντατική κατάσταση κατά Rankine, εάν οι παράμετροι διατμητικής αντοχής είναι $\phi = 20^\circ$ και $c = 40 \text{ kPa}$. ($\Delta u = 0$).
- (γ) Νά εξηγηθεί γιατί ένας ελεύθερος τοίχος βαρύτητας (εδραζόμενος επί *εδάφους* και αντιστηρίζων οποιοδήποτε εδαφικό υλικό) *δέν* είναι δυνατόν νά υφίσταται "*ουδέτερες*" εδαφικές ώθήσεις (τού τύπου $K_0 \sigma_v$), έστω και εάν οι (πραγματικοί) συντελεστές ασφαλείας σε ολίσθηση και περιστροφή είναι *αρκετά μεγαλύτεροι τής μονάδας*;
3. (α) Πλάκα σκυροδέματος μεγάλων διαστάσεων στην κάτοψη αλλά και ομοιόμορφης θερμοκρασίας $\theta_0 = 25^\circ$, βυθίζεται στην θάλασσα όπου η θερμοκρασία είναι $\theta = 0^\circ$. Νά σχεδιασθεί ποιοτικά η κατανομή (κατά τό πλάτος τής πλάκας) τής θερμοκρασίας $\theta = \theta(t)$ στις ακόλουθες χρονικές στιγμές:
- (i) αμέσως μετά τήν βύθιση ($t = 0^+$)
- (ii) μετά από πολύ μεγάλο χρόνο ($t \rightarrow \infty$)
- (iii) σε δύο ενδιάμεσα χρονικά διαστήματα, δηλ. με $0 < t < \infty$, δικής σας επιλογής.
- (β) Μέθοδος Coulomb για τήν εύρεση τής ενεργητικής εδαφικής ώθησης P_a . Πώς εξηγείται ότι $P_a = \max (P_{a1}, P_{a2}, \dots, P_{an})$ όπου P_{ai} = η ώθηση πού αντιστοιχεί στό δοκιμαστικό πρίσμα i ;
- (γ) Η (χρονική) εξέλιξη τής καθίζησης θεμελίου είναι πολύ βραδύτερη σε μαλακή κορεσμένη άργιλο απ' ό,τι σε χαλαρή κορεσμένη άμμο. Νά εξηγηθούν τά *δύο* βασικά αίτια αυτής τής διαφοράς.

4. (α) Νά παραχθεί η σχέση μεταξύ των μετρών E (μέτρο Young) και D (μέτρο 1-διάστατης παραμόρφωσης) ενός ελαστικού εδαφικού υλικού που έχει λόγο $E/G = 2.4$, όπου $G =$ μέτρο διατμήσεως.
- (β) Νά εξηγηθεί γιατί ο "χρόνος στερεοποίησης" εξαρτάται από τις εδαφικές παραμέτρους k (συντελεστής διαπερατότητας) και D (μέτρο 1-διάστατης συμπίεσης), καθώς και την γεωμετρική παράμετρο H^2 .
- (γ) Νά διατυπωθούν με σαφήνεια τὰ φυσικά ανάλογα μεταξύ ενεργητικής και παθητικής οριακής κατάστασης Coulomb, αφενός, και προβλημάτων οριακής ισορροπίας σώματος επί κεκλιμένου επιπέδου, αφετέρου.
5. (α) Εδαφικό στοιχείο A , σέ βάθος 3 m απ' την επιφάνεια, βρίσκεται σ' επαφή με κατακόρυφο τοίχο-αγκύριο που έλκεται με (μικρή σέ μέγεθος) δύναμη F . Η προκαλούμενη ανηγ. παραμόρφωση ("τροπή") έχει *απόλυτη τιμή* ίση με $|ε| = 10^{-5}$. Εάν η αρχική εντατική κατάσταση είναι γεωστατική, η δε παραμόρφωση τού στοιχείου *ελαστική*, ζητούνται η αρχική και η τελική (δηλ. μετά την προαναφερθείσα παραμόρφωση) εντατική κατάσταση $[\sigma_x, \sigma_y, \sigma_z, \tau_{xy}, \tau_{yz}, \tau_{zx}]$. Οι ελαστικές σταθερές τού υλικού: μέτρο διατμήσεως $G = 3 \text{ MPa}$, λόγος τού Poisson $\nu = 0.40$
- (β) Όταν η F αυξηθεί και γίνει ίση με μέγιστη δυνατή οριακή δύναμη, ποιές οι τιμές των σ_x, σ_z , και σ_y ; Πώς θά ονομάζατε αυτή την "οριακή" εντατική κατάσταση τού στοιχείου A ; [Γωνία $\phi = 30^\circ$, Τοίχος λείος].
6. (α) Τό επιφανειακό θεμέλιο ενός πύργου ύψους θερμοηλεκτρικού εργοστασίου είναι δακτυλιοειδές με εξωτερική ακτίνα $R_2 = 20 \text{ m}$ και εσωτερική $R_1 = 15 \text{ m}$. Εάν θεωρηθεί ότι τό έδαφος είναι ελαστικός ημίχωρος και η φόρτιση τού δακτυλίου ομοιόμορφη, $p = 300 \text{ kPa}$, ζητούνται σέ *αδρή* προσέγγιση: (i) η ορθή κατακόρυφη τάση στόν άξονα z σέ βάθος $z = 60 \text{ m}$, και (ii) η μορφή τής κατανομής $\sigma_z(z)$ στόν άξονα. Νά δικαιολογηθεί η απάντησή σας. (Σημ.: Δέν χρειάζονται τύποι ή διαγράμματα, αρκεί μία χονδροειδής, αλλά πάντως αιτιολογημένη, προσέγγιση).
- (β) Η γωνία απειρομήκους αμμώδους πρανούς είναι $\beta = 30^\circ$. Μέ ποιά γωνία διατμητικής αντοχής ϕ , τό πρανές αρχίζει νά αστοχεί; Γιά τήν γωνία αυτή ϕ , ζητείται ο κύκλος Mohr σημείου σέ κατακόρυφη απόσταση $z = 3 \text{ m}$ απ' την κεκλιμένη επιφάνεια). Δίδεται $\gamma = 17 \text{ kN/m}^3$.
7. (α) Συγκεντρωμένο "γραμμικό" φορτίο $q = 50 \text{ kN/m}$ δρά κατά μήκος τού άξονα των x στήν ελεύθερη επιφάνεια ελαστικού ομοιογενούς ημιχώρου. Γιά ένα Σημείο Ξ ($X_\Xi = 0, y_\Xi = -3 \text{ m}, z_\Xi = 3 \text{ m}$) ζητούνται: οι σ_z, σ_y , και σ_x κατά μέγεθος και διεύθυνση. Δίδονται σέ πολικές συντεταγμένες (R, θ) :

$$\sigma_R = (2q / \pi) \cos\theta / R, \text{ και } \sigma_\theta = \tau_{R\theta} = 0,$$
 όπου φυσικά $R^2 = z^2 + y^2$.
- (β) Ζητείται τό κρίσιμο ύψος H κατακόρυφου πρανούς ενός υλικού που περιγράφεται από τις παραμέτρους φαινομένης αντοχής " $\phi = 0^\circ$ " και " $c = S_u$ ". Ως μηχανισμός αστοχίας ας ληφθεί *οποιοσδήποτε* εύλογος κύκλος τής προτιμήσεώς σας αλλά τού οποίου τό κέντρο νά μὴν συμπίπτει μέ τήν κορυφή (στέψη) τού πρανούς. Ειδικό βάρος εδαφικού υλικού $\gamma = 19 \text{ kN/m}^3$.
8. Κατακόρυφο πρανές ($\alpha \beta \delta \eta$) επρόκειτο νά εκσκαφεί σέ κορεσμένη ομοιογενή άργιλο, τής οποίας η μηχανική συμπεριφορά "μέ όρους ολικών τάσεων" περιγράφεται μέ τις παραμέτρους αστοχίας $\phi = 0^\circ$ και $c = S_u$ (αστράγγιστη διατμητική αντοχή). Ο συντελεστής ασφαλείας έναντι περιστροφικής ολισθήσεως επί κύκλου κέντρου δ κι' ακτίνας $\delta \beta$ προέκυψε ίσος μέ 1.10, ο οποίος θεωρήθηκε ανεπαρκής. Προτάθηκε αποκοπή τριγωνικής σφήνας $\delta \gamma \eta$, όπου $(\delta\gamma) = 4 \text{ m}$. Ποιός είναι ο νέος συντελεστής ασφαλείας; Σχολιάστε εάν ο συντελεστής αυτός θά ήταν ανεκτός, και υπό ποιές προϋποθέσεις. $(\beta\delta) = (\delta\eta) = 8 \text{ m}, \rho = 2 \text{ Mg/m}^3$

9. Νά ελεγχθεί η ευστάθεια έναντι περιστροφής και ολισθήσεως τού τοίχου βαρύτητας τού Σχήματος (από άοπλο σκυρόδεμα). Δίδονται :

Εδαφικό υλικό (1) : (άνω και κάτω τού Υδροφόρου Ορίζοντα) άμμος με $\varphi = 35^\circ$ και $c = 0$,

Εδαφικό υλικό (2) : αμμώδης άργιλος με $c = 20 \text{ kPa}$ και $\varphi = 25^\circ$.

Επιλέξτε μόνοι σας λογικές τιμές για τά ειδικά βάρη τών δύο υλικών. Νά αγνοηθεί η συνάφεια μεταξύ τής κατακόρυφης παρειάς τού τοίχου και τού εδάφους.

10. Αναζητείται η "παθητική ώθηση" μέ τήν μέθοδο Coulomb, για τόν τοίχο τού σχήματος (παρειά AB). Εάν ο τοίχος θεωρηθεί λείος και η γωνία διατμητικής αντοχής τού αντιστηριζόμενου εδαφικού υλικού είναι $\varphi = 30^\circ$, ζητείται η ανάλυση ενός δοκιμαστικού πρίσματος (τής δικής σας επιλογής). Ποιά η τιμή τής "ώθησης" για τό πρίσμα αυτό ; Πώς (εάν ο χρόνος σας δέν ήταν περιορισμένος) θά υπολογίζατε τήν παθητική ώθηση ; (αδρή περιγραφή).

11. Ο τοίχος τού σχήματος αντιστηρίζει εδαφικό υλικό μέ $\varphi = 33^\circ$, $c = 0$, $\gamma = 19 \text{ kN/m}^3$ και $\delta = 20^\circ$. Για τόν υπολογισμό τής ενεργητικής ώθησης (σέ kN/m) εφαρμόζεται η μέθοδος Coulomb. (α) Για τό δοκιμαστικό πρίσμα ABΓ, ζητείται η δύναμη επί τού τοίχου, P_{a1} . (β) Ποιά αναμένεται νά είναι η σχέση τής P_{a1} μέ τήν ενεργητική ώθηση P_a ;

12. Αναζητείται κατά προσέγγιση τό οριακό φορτίο P_{op} (kN/m) ενός απειρομήκους θεμελίου πλάτους B, τό οποίο εδράζεται σέ δίστρωτον εδαφικό σχηματισμό μέ :

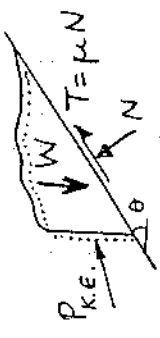
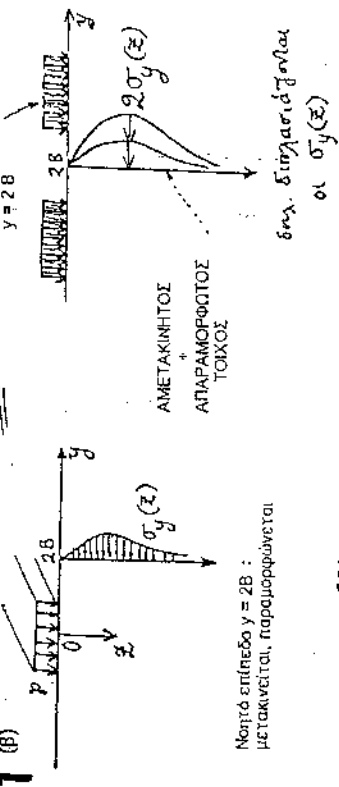
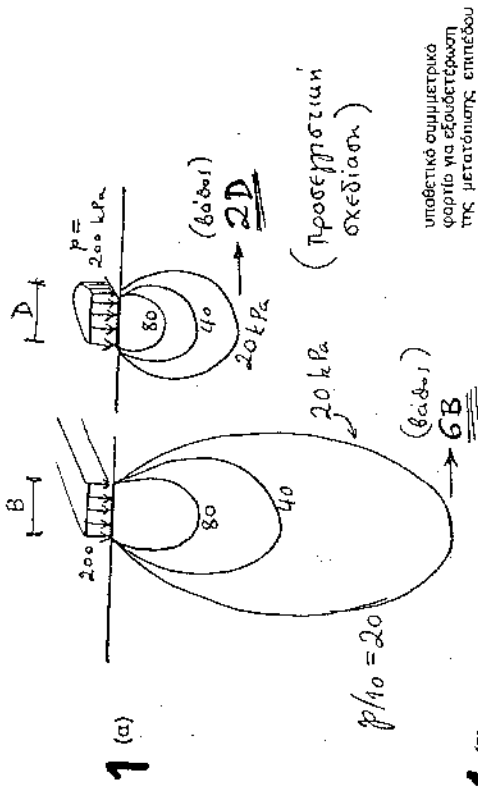
στρώμα 1 : πάχος H_1 , αστράγγιστη διατμητική αντοχή S_1 , πυκνότητα ρ_1

στρώμα 2 : πάχος H_2 πολύ μεγάλο, αστράγγιστη διατμητική αντοχή S_2 , πυκνότητα ρ_2

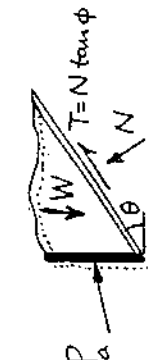
Ζητούνται: (α) Οι αδιάστατες παράμετροι τού προβλήματος απ' τές οποίες εξαρτάται τό P_{op} , (b) θεωρώντας έναν απλό μηχανισμό αστοχίας τής δικής σας επιλογής, νά δοθεί αλγεβρική έκφραση για τό P_{op} όταν $H_1 = (0.60)B$ και $S_1 = 10 S_2$

ΑΠΑΝΤΗΣΕΙΣ ΣΕ ΜΕΡΙΚΕΣ ΑΠ' ΤΙΣ ΑΝΩΤΕΡΩ ΕΡΩΤΗΣΕΙΣ

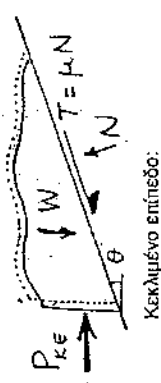
2(α) και 4(γ)



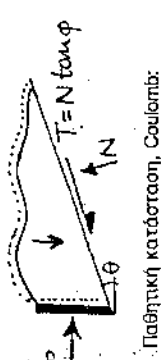
Κεκλιμένο επίπεδο:
 $P_{κε} = \eta$ (ελάχιστη) δύναμη μόλις το σώμα είναι έτοιμο να ολισθήσει προς τα κάτω



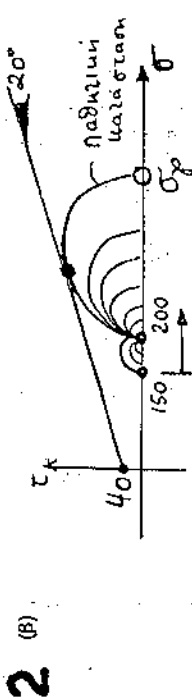
Ενεργητική κατάσταση Coulomb:
 $P_a = \eta$ (ελάχιστη) δύναμη (απ' τον τοίχο) μόλις το εδαφικό τρίμα είναι έτοιμο να ολισθήσει προς τα κάτω



Κεκλιμένο επίπεδο:
 $P_{κε} = \eta$ (ελάχιστη) δύναμη μόλις το σώμα είναι έτοιμο να ολισθήσει προς τα πάνω!

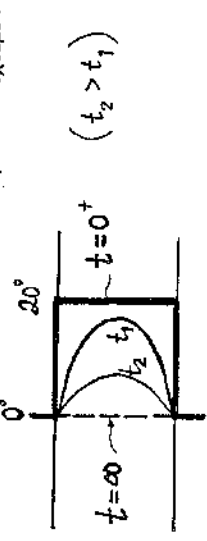


Παθητική κατάσταση, Coulomb:
 $P_p = \eta$ (ελάχιστη) δύναμη για την έναρξη ολίσθησης προς τα πάνω!

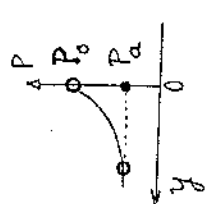


2 (γ) Διότι έστω και εάν ο τοίχος δεν κινδυνεύει από ολίσθηση ή ανατροπή, δεν παύει να μεταβιβάζει στην βάση οριζόντια δύναμη F και ροπή M. Η ελαστική ενδοσυσμότητα του εδάφους θα δώσει αντιστοίχως οριζόντια (ελαστική) μετατόπιση v_x και στρέψη θ . Άρα ο τοίχος θα μετακινηθεί προς τα έξω και άρα οι εδαφικές ωθήσεις δεν είναι ίσες με $K_a \sigma_v$, αλλά $K_a \sigma_v$, όπου $K_a < K_0 < K < K_0$ (η ισότητα θα ισχύει εάν το εδαφός ήταν πολύ μαλακό και οι μετακινήσεις v_x και θ παντός μηδέν)

3 (α) Η διαφορική εξίσωση της στερεοποίησης που δίδεται την (1-Διάσταση) μεταβολή των υπερτάσεων του νερού των πόρων είναι ακριβώς ίδιας μορφής με την εξίσωση που δίδεται την 1-Διάσταση μεταβολή θερμοκρασίας. Επομένως αν τα διαγράμματα της $\chi_{\text{ρακικής}} + \chi_{\text{υδαρικής}}$ εξέλιξης των υδατικών υπερτάσεων έχουμε:



3 (β) Στην ενεργητική κατάσταση οδηγούμεστε από την "ουδέτερη" (K_0) κατάσταση με μείωση των οριζοντιών τάσεων. Όλες οι "δοκιμαστικές" P_{α} , $i = 1, \dots, n$, οφείλουν να είναι μικρότερες της "ουδέτερης" ώθησης P_0 . Άρα στην πορεία από το P_0 προς το P_{α} η μέγιστη των P_{α} συναντάται πρώτα. Ο μηχανισμός αστοχίας (επιφάνεια ολισθήσεως) της μέγιστης P_{α} είναι άρα ο μοναδικός μηχανισμός αστοχίας. Οι άλλοι δεν θα πραγματοποιηθούν ποτέ. Αυτή επιμένει η μέγιστη P_{α} είναι η δύναμη την στιγμή της αστοχίας κατά Coulomb.

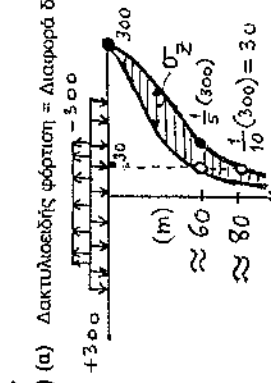


3 (γ) Αίτιο Πρώτο: η κατά πολύ μικρότερη (τάξεως μεγέθους) διαπερατότητα της αργίλου έναντι της άμμου (οδηγεί σε μειωμένες ταχύτερες ροής). Αίτιο Δεύτερο: η μεγαλύτερη συμπίεσιμότητα της αργίλου (οδηγεί σε αύξηση των παραμορφώσεων και άρα αύξηση του όγκου του νερού που πρέπει να διαφύγει).

4 (α) $E/G = 2(1 + \nu) = 2.4 \rightarrow \nu = 0.2$
 1-Διάσταση παραμόρφωση: $\epsilon_x = \epsilon_y = 0, \sigma_x = \sigma_y \neq 0 \rightarrow$
 $E \epsilon_x = 0 = \sigma_x - \nu(\sigma_y + \sigma_z) = \sigma_x - \nu\sigma_x - \nu\sigma_z \rightarrow \sigma_x = \frac{\nu}{1-\nu} \sigma_z$
 $E \epsilon_z = \sigma_z - 2\nu\sigma_x = \sigma_z - 2\nu \frac{\nu}{1-\nu} \sigma_z = \frac{(1+\nu)(1-2\nu)}{1-\nu} \sigma_z \rightarrow$

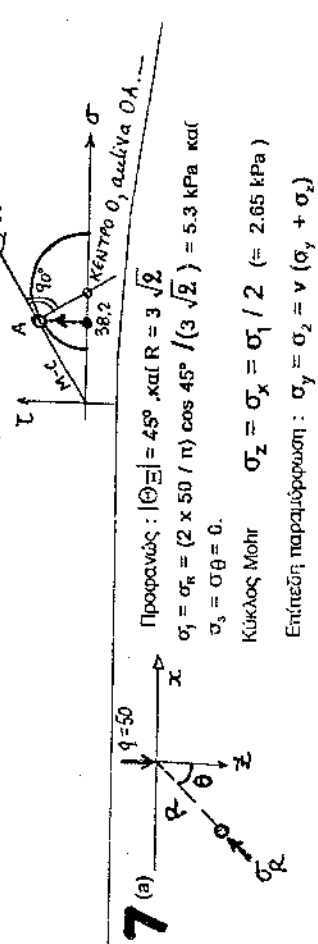
4 (β) κ: όσο μεγαλύτερο, τόσο ταχύτερη η ροή, και άρα τόσο μικρότερος ο χρόνος στερεοποίησης (Χ.Σ.)
 Δ: όσο μεγαλύτερο, τόσο μικρότερες οι εδαφικές παραμορφώσεις, τόσο μικρότερος ο όγκος του ύδατος που πρέπει να διαφύγει, και άρα τόσο μικρότερος ο Χ.Σ.
 H_z : όσο μεγαλύτερο τό Η: (i) τόσο μεγαλύτερη η μέγιστη διαδρομή κατά την διαφυγή του ύδατος, και άρα τόσο μεγαλύτερος ο Χ.Σ.
 (ii) τόσο μεγαλύτερη η εδαφική καθίζηση, τόσο μεγαλύτερος ο όγκος ύδατος προς διαφυγήν, και άρα τόσο μεγαλύτερος ο Χ.Σ.

6 (α) Δακτυλοειδής φόρτιση = Διαφορά δύο κυκλικών με ακτίνες $R_2 = 20$ και $R_1 = 15$ μέτρα. Άρα
 $\sigma_z = (\sigma_z)_2 - (\sigma_z)_1$
 Για $z = 60$ m
 $\sigma_z(60) \approx 0.20p - 0.10p \approx 30$ kPa.

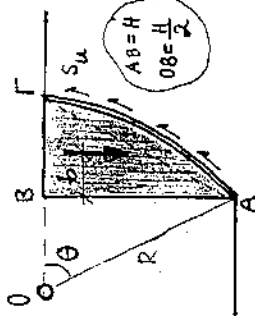


6 (β) - Προφανώς, το πρανές "αρχίζει" να αστοχεί όταν $\phi = \beta = 30^\circ$

- Σε βάθος $z = 3$ m, η ισορροπία στοιχείου δίνει $\gamma z \cos \beta = \sigma_1 / \cos \beta$, ή
 $\sigma = \gamma z \cos^2 \beta = 17 \times 3 \times \cos^2 30^\circ = 38.2$ kPa. Για $\phi = \beta$ η σ αυτή είναι τάση του επιπέδου αστοχίας, $\sigma = \sigma_A$. Άρα ο κύκλος Mohr:



T A



(β) Διαλέγω έναν τυχόντα πιθανό μηχανισμό : Κέντρο O (απόσταση H/2 απ' το πρηνές)

Ακτίνα R = OA = OG = $\sqrt{H^2 + H^2/4} \approx (1.12) H$
 Γωνία $\theta = \arcsin H / (H/2) \approx 63.4^\circ \approx 1.1 \text{ rad.}$

Κρίσιμο ύψος H όταν: $W_{AB\Gamma} a = S_u (A\Gamma) R$

$$W_{AB\Gamma} = \frac{1}{2} R^2 \theta - \frac{1}{2} H^2 / 2 \gamma = \left(\frac{1}{2} (1.12)^2 \times 1.1 - \frac{1}{4} \right) \times 19 H^2 \approx 0.44 \times 19 \times H^2 \approx 8.36 H^2$$

$a = H/2 + b$ Εκτίμηση b: $\frac{1}{3} (B\Gamma) < b < \frac{1}{2} (B\Gamma)$

$(0.21) H < b < (0.31) H$

φαιίνεται δε πλησιέστερα στο κάτω όριο, άρα

$b \approx (0.24) H$

$(A\Gamma) = R\theta = (1.12) H (1.1) = (1.23) H$

Επιμένω:

$8.36 H^2 (0.5 H + 0.24 H) = S_u (1.23) H (1.12) H$

$6.19 H = S_u (1.38)$

$H = 0.22 S_u \approx \frac{4.2 S_u}{\gamma}$

8

$$Y_1 = 1.10 = \frac{S_u \pi R^2 / 2}{(0.105) \pi R^3 \gamma} = \frac{4.76 S_u}{\gamma R}$$

$$Y_2 = \frac{S_u \pi R^2 / 2}{(0.105) \pi R^3 \gamma - (1/3) \gamma R^3 / 4} *$$

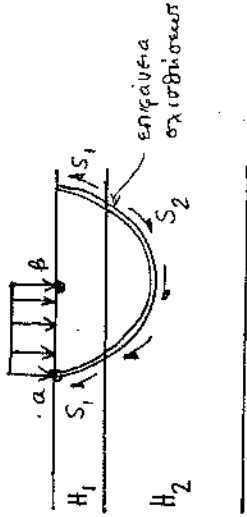
$$= \frac{S_u \pi R^2 / 2}{0.246 \gamma R^3} \approx \frac{6.37 S_u}{\gamma R}$$

$Y_2 = (6.37 / 4.76) Y_1 = 1.47$

(* Ποπή σώματος (βηγ) = Ποπή σώματος (βηδ) - Ποπή σώματος (δην).

1.47 - Άνετο κεντρομόλο...

12



(α) Αδιάστατοι παράμετροι απ' τις οποίες εξαρτάται το P_op είναι :

$\frac{H_1}{B}, \frac{S_1}{S_2}, \frac{\rho_1}{\rho_2}$ (η τελευταία αποδοκνύεται ασήμαντη)

(β) Εάν $S_1 = 10 S_2$ και $H_1 = 0.60 B \rightarrow$ αποχία εντός στρώματος 2. Π.χ. Κύκλος κέντρου β και ακτίνας βα = B. Το P_op προκύπτει από ισορροπία ροπών περί το β :

$P_{op} B / 2 = [S_1 Z(\sigma\gamma) + S_2 (\gamma\delta\epsilon)] B$

$\approx (10 S_2 \times 2 \times (0.65) B + S_2 \times 2B) B$

άρα $P_{op} \approx 30 S_u$

● ΔΙΑΓΩΝΙΣΜΑ ΕΔΑΦΟΜΗΧΑΝΙΚΗΣ 6ου Εξαμήνου 1986

ΤΟΜΕΑΣ ΓΕΩΤΕΧΝΙΚΗΣ
κ.α. Γ. ΓΚΑΖΕΤΑΣ

Όνομα Σπουδαστή _____

ΟΧΙ ΒΙΒΛΙΑ, ΣΗΜΕΙΩΣΕΙΣ, κλπ. ΔΙΑΡΚΕΙΑ $1\frac{1}{2}$ ώρα. ΔΕΝ θα δίνονται
εξηγήσεις και δεν θα δοθεί παράταση. 5 ΘΕΜΑΤΑ ΙΣΟΔΥΝΑΜΑ

1. Ελαστικός ομοιογενής ημίσφαιρος ($E=20\text{MPa}$, $\nu=0.45$) φορτίζεται με
δύο κυκλικά θεμέλια, των οποίων τα κέντρα απέχουν 20 m.

$$\left. \begin{array}{l} \text{Δίδονται: } R_1 = 5\text{ m}, \quad \rho_1 = 100\text{ kPa} \\ R_2 = 10\text{ m}, \quad \rho_2 = 200\text{ kPa} \end{array} \right\} \text{(ομοιόμορφα κατανεμημένα)}$$

Ζητείται: Οι σινοειδείς επιβαλλόμενες ορθές τάσεις σ_z, σ_r σε σημείο
που απέχει 5 m απ' την επιφάνεια, βρίσκεται ακριβώς κάτω
απ' την άκρη του θεμελίου 1, και κείται στο κατακόρυφο επίπεδο
που περνάει απ' τα κέντρα των δύο κύκλων (και μεταξύ των
δύο κέντρων).

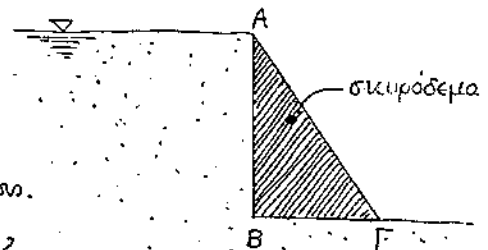
2. Υπάρχει κίνδυνος ανατροπής του

τοιχού ΑΒΓΔ;

(Η στάθμη του υδροφόρου ορίζοντα συμπίπτει
μέ την επιφάνεια του ανισοπριζόμενου εδάφους.

$\phi = 38^\circ$, $c = 0\text{ kPa}$. $AB = 5\text{ m}$, $BF = 4\text{ m}$,

επιφάνεια ΑΒ: λεία. Κάντε εύλογες παραδοχές για τις τιμές των
παραμέτρων που (επίσηδες) δεν δίνονται.)



3. Υπάρχει κίνδυνος να "ρευστοποιηθεί" η
άμμος μπροστά απ' τον πασσαλότοικο του
σχήματος;

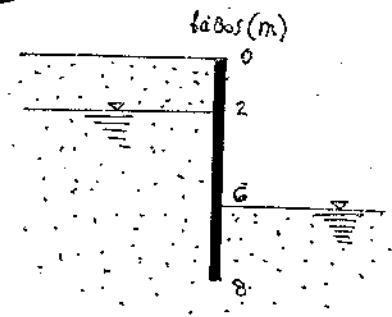
(Η άμμος έχει πυκνότητα

$\rho = 1.7\text{ Mg/m}^3$, το βάθος της ευσκαφής είναι

6 m, και οι στάθμες του υδροφόρου ορίζοντα

βρίσκονται 2 και 6 μέτρα απ' την αρχική επιφάνεια του εδάφους,

όπως δείχνει το σχήμα.) [Προσεγγιστική λύση.]



4. (α) Να σχεδιασθεί (κατά ποιοτική προσέγγιση) η κατανομή συναρτήσεων του βάθους των ορθών κατακόρυφων τάσεων $\Delta\sigma_z$ κατά μήκος του άξονα των z ; υπό το μέσον ^(απειροστικός) χωρίδιωτού θεμελίου που μεταφέρει πίεση $p=200 \text{ kPa}$. Το έδαφος προσομοιώνεται ως ανομοιογενής ημίχωρος με γραμμικώς αυξανόμενο μέτρο ελαστικότητας $E = \alpha z$ και $\nu=0.5$.

(β) Στρώση αργίλου πάχους 10 m περιβάλλεται από ένα τελείως-διαπερατό (άνω) και ένα τελείως-αδιαπέρατο (κάτω) στρώμα. Εάν ο δείκτης στερεοποίησης της αργίλου είναι $c_v = 2 \times 10^{-6} \text{ m}^2/\text{s}$, να εκτιμηθεί ο χρόνος που απαιτείται για (πρακτικώς πλήρη) στερεοποίηση της αργιλικής αυτής στρώσης.

5. (α) Ποιά είναι η σημασία της Αρχής του St. Venant όσον αφορά την κατανομή των ορθών τάσεων σ_z που προκαλούνται κατά μήκος του άξονα των z από διάφορες επιφανειακές φορτίσεις οι οποίες έχουν την ίδια συνιστάμενη;

(β) Πρακτική κατάσταση κατά Rankine: Σε σημείο με $\bar{\sigma}_v = 50 \text{ kPa}$ να δοθεί γραφικά η εξέλιξη των κύμων Mohr, και η αντίστοιχη τασική όδευση σε διάγραμμα $p = (\bar{\sigma}_v + \bar{\sigma}_h)/2$ και $q = (\bar{\sigma}_v - \bar{\sigma}_h)/2$. Δίδεται $\phi = 45^\circ$, $K_0 = 0.5$, $\Delta u = 0$ (ώστε $\bar{\sigma} = \sigma$).

(γ) Σε κατακόρυφο αργιλικό πηλός υπό ασφραγιστές συνθήκες ("φ=0", $c = S_u$) πόση είναι η μέγιστη ^(υπίσφιξη) επίπεδη επιφανειακή ολισθήσεως (που διέρχεται από τον πόδα); Εξηγήστε (πολύ συνοπτικά).

ΔΙΑΓΩΝΙΣΜΑ ΕΔΑΦΟΜΗΧΑΝΙΚΗΣ 6ου Εξαμήνου 1988

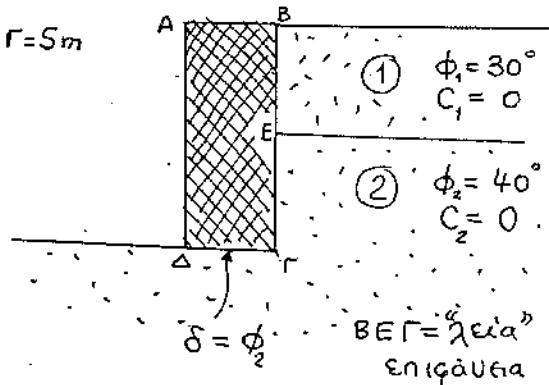


ΤΟΜΕΑΣ ΓΕΩΤΕΧΝΙΚΗΣ
καθ. Γ. ΓΚΑΖΕΤΑΣ

Όνομα Σπουδαστή _____

ΟΧΙ ΒΙΒΛΙΑ, ΣΗΜΕΙΩΣΕΙΣ, κλπ. ΔΙΑΡΚΕΙΑ $1\frac{1}{2}$ ώρα. ΔΕΝ θα δίνονται εξηγήσεις και δεν θα δοθεί παράταση. 5 ΘΕΜΑΤΑ ΙΣΟΔΥΝΑΜΑ

1. Υπάρχει κίνδυνος ολισθήσεως του τοίχου ΑΒΓΔ ; Δίνονται: $BE=EF=5m$, $AB=4m$, υλικό: σκυρόδεμα. Να κάνετε εύλογες παραδοχές για τις τιμές όσων παραμέτρων (επίπεδες) δέν δίνονται.



2. Λωρίδα σιδηρού οριζόντιο πλάτους $b=4m$ βρίσκεται στην επιφάνεια αμμόδους αποθέσεως. Το ολισθό φορτίο P του σιδηρού αλφειού αυξάνει προοδευτικά ώσπου επέρχεται "ύφραση" όταν $P \rightarrow 800 \frac{kN}{m}$. Να εκτιμηθεί (μετά προσέγγιση) η μέγιστη διαγώνια αλόχης ϕ του εδαφικού υλικού.

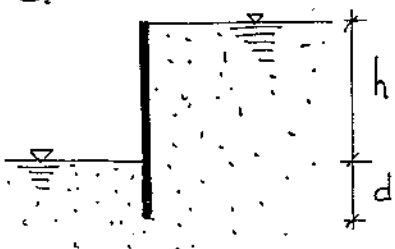
3. (α) Δύο δοκίμια αεροφόριστης ("μικροϊκά σφαιροποιημένης") αργίλου σφαιροποιούνται με τάσεις $\bar{\sigma}_{V_0} = \bar{\sigma}_{h_0} = 100 kPa$, $u_0=0$ (πίεση ύδατος πόρων). Κατόπιν υποβάλλονται σε διαμήκη θλίψη μέχρι αστοχίας το μόνον ένα υπό ασφραγξιστές συνθήκες, το δε άλλο υπό συνθήκες πλήρους σφραγξισέως. Εάν $\phi = 25^\circ$ να δοθούν (μετά αδρή προσέγγιση): οι κύκλοι Mohr των ενεργών τάσεων κατά την αστοχία των δύο δοκιμίων.

- (β) Προκειμένου να γίνει εμσαγή σε στεγνή και πυκνή άμμο, ζητείται να εκτιμηθεί η μέγιστη δυνατή τιμή της γωνίας του πρανούς ως προς την

4. (α) Δοκίμιο αργίλου ύψους 20 cm υποβάλλεται σε μονοδιάστατη συμπίεση ($\Delta\sigma_v = 20 \text{ kPa}$). Μετρείται χρόνος στερεοποίησης $t_c \approx 3$ ώρες (για την πραγματοποίηση του $\approx 90\%$ της ολικής καθίζησης). Ζητείται ο χρόνος στερεοποίησης αργίλιου σφώματος πάχους 6 m, της ίδιας αργίλου. Δίδεται ότι το μέν δοκίμιο περιβάλλεται από πορώδεις γίδους (άνω και κάτω), το δε αργίλιο σφώμα περιβάλλεται από ένα αδιαπέρατο σφώμα (άνω) και ένα τελείως διαπερατό (κάτω).

(β) Πρώ της καλοκαινής κυματικού θεμελίου αερίνας $R = 10 \text{ m}$ γίνεται ευσμαγή σε βάθος 3 m. Το εδαφικό υλικό είναι πυκνή άμμος με ο υδροφόρος ορίζοντας βρίσκεται πολύ βαθιά. Να επιμηθεί η τελική (μετά την ευσμαγή) ορθή κατακόρυφη τάση $\sigma_v (= \sigma_{v0} + \Delta\sigma_z)$ σε σημείο του άξονα της ευσμαγής που βρίσκεται σε βάθος 6 m κάτω απ' τον πυθμένα ευσμαγής.

5.



Πόσο βαθιά ($d = ?$) πρέπει να εμμηχθεί ο πασσαλότοιχος του σκήματος ώστε να μην υπάρχει κίνδυνος ρευστοποίησης της χαλαρής άμμου

($\rho = 1.65 \text{ Mg/m}^3$) ενός του σκάμματος;

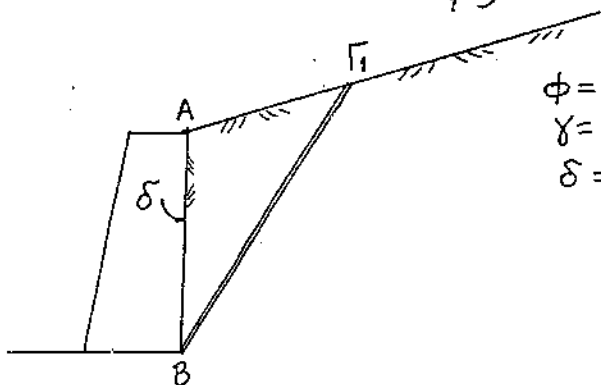
[Οι ολόθρες του υδροφόρου ορίζοντα συμπίπτουν με τις ανισοτροπές εδαφικές επιφάνειες, όπως δείχνεται στο σχήμα.]

(Επιβάλλεται επιμετρήσιμη ασφαλεία έναντι υφρακτικής υποσмаγής ίσως με 4.)

ΟΝΟΜΑ ΣΠΟΥΔΑΣΤΗ _____

Διάρκεια 1 1/2 ώρα (δεν θα δοθεί παράταση). Δεν επιτρέπονται βιβλία. Μόνον ένα τετράδιο προσωπικών σημειώσεων. Δεν θα δίνονται διευκρινήσεις-επεξηγήσεις. Για όσα στοιχεία δεν δίνονται θα πρέπει να κάνετε δικές σας εκτιμήσεις (λογικές πάντως). Οι απαντήσεις να είναι σαφείς και συνοπτικές. Να επιστραφεί υπογεγραμμένο το δίφυλλο των εκφωνήσεων με τις απαντήσεις σας.

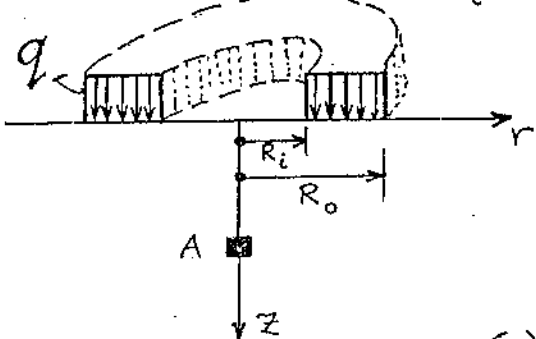
1. (α) Ποιές είναι οι κυριότερες παραδοχές της μεθόδου Coulomb για την εξεύρεση της ενεργητικής ώθησης επί τοίχου στρογγυλεμένου;
- (β) Εφαρμογή: Ανάλυση ενός μόνου δοικμαστικού τμήματος ABΓ, με την μέθοδο Coulomb. Πόση είναι η "ώθηση" P₁;



$\phi = 35^\circ$
 $\gamma = 20 \text{ kN/m}^3$
 $\delta = 30^\circ$

(AB) = 6 m, και το σχέδιο είναι υπό κλίμακα.

2. Ομοιομορφη φόρτιση επί δακτυλιοειδούς επιφανείας θμεχλώσεως (με $R_o = 4 \text{ m}$, $R_i = 2 \text{ m}$). Ευζαση φόρτισης: q (kPa). Σημείο A με σφτελαγμένες $r_A = 0$ και $z_A = 4 \text{ m}$. Για το σημείο αυτό ζητούνται:



α) Οι επιβαλλόμενες τάσεις $\Delta\sigma_z$, $\Delta\sigma_r$ και $\Delta\sigma_\theta$ συναρτήσεις του q.

β) Είναι δυνατή η αστοχία του σημείου A και για ποιά τιμή του q; (Νόμος αστοχίας Mohr-Coulomb με $\phi = 35^\circ$, $c = 0$)

3. (α) Δύο δοίμια άμμου τού ίδιου υλικού έχουν διαφορετικές πυκνότητες, $D_r: 92\%$ και 30% . Τα υποβάλλουμε σε τριαξονική αξονική συμπίεση. Να συγκριθούν (κατά ποσοτική προσέγγιση) τα διαγράμματα

$\sigma_1 = \sigma_1(\epsilon_1)$ και $e = e(\epsilon_1)$ των δύο δοιμείων. [$\sigma_1, \epsilon_1 =$ κύρια ίση, παραμ. $e =$ δείκτης πόρων]

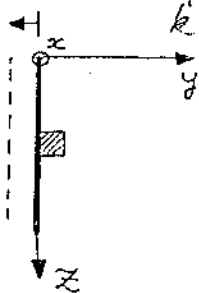
(β) Τι είναι "διασαχτισιότητα" ;

4. (α) Παθητική ελαστική κατόσταση κατά Rankine:

Να δοθεί γραφικά η εξέλιξη των κύριων τού Mohr. Έναρξη με $K_0 = 1/2$, $\varphi = 30^\circ$. (Ποιοτική απίβεια μόνον.)

(β) Παθητική έλαση κατά Coulomb: Σειρά δοιμαδικών πρισμάτων έδωσε τρεις "ωθήσεων" $P_1, P_2, \dots, P_i, \dots, P_n$. Ποιά θα επιλέξεσαι για P_p και γιατί ; (συνοπτική αλλά αριθμολογη εξέλιξη).

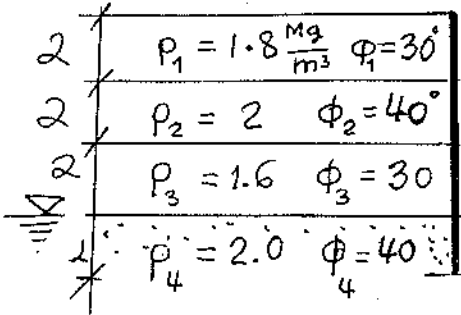
5. Έδαφος δοίμιο όπισθεν τοίχου ανισοτροπίξως. Αρχική ελαστική κατόσταση: $\sigma_{v0} = 50 \text{ kPa}$, $\sigma_{h0} = 40 \text{ kPa}$ και $\tau = 0$. Εάν το υλικό είναι γραμμικώς



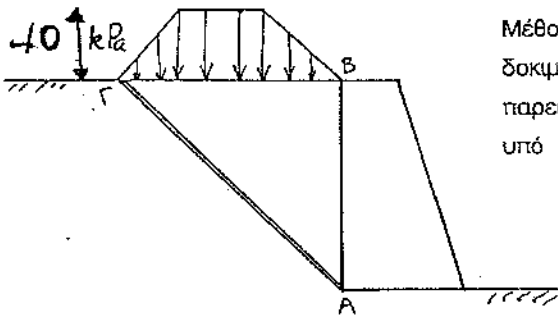
ελαστικό (μέ $E = 20000 \text{ kPa}$, $\nu = 0.40$) και υπολεί μικρή παραμόρφωση προς τα έξω, $\epsilon_y = -0.00005$, να ερευθεί η (νέα) ελαστική τον κατόσταση ($\sigma_x, \sigma_y, \sigma_z$, τ_{xy}, τ_{yz} , και τ_{xz}).

Διάρκεια : 2 ώρες. Βιβλία και Σημειώσεις κλειστά, επιτρέπεται μόνον ένα προσωπικό φύλλο σημειώσεων. Επεξηγήσεις δεν δίδονται. Τα σχέδια των σχημάτων είναι υπό κλίμακα.

ΟΝΟΜΑ ΣΠΟΥΔΑΣΤΗ : ----- ΕΞΑΜΗΝΟ : -----



1.
Ενεργητική κατάσταση Rankine : Ζητείται η κατανομή συναρτήσει του βάθους των ωθήσεων $\bar{\sigma}_{ha}$ από το αντιστηριζόμενο έδαφος, σε όλο το ύψος του τοίχου. (Πάχη στρωμάτων = 2 m , όπως στο σχήμα). Ο Υδροφόρος ορίζων : στο επίπεδο εκσκαφής.



2.
Μέθοδος Coulomb για εξέυρεση της παθητικής ώθησης : Για το δοκιμαστικό πρίσμα ABΓ νά βρεθεί η τιμή της ασκούμενης πίεσης στην παραιά AB. Γωνία τριβής τοίχου-εδάφους $\delta = 30^\circ$. (AB = 5 m , σχέδιο υπό κλίμακα)

3.

(α) Προκειμένου να γίνει εκσκαφή σέ στεγνή καί πυκνή άμμο, ζητείται η κατά προσέγγιση μέγιστη δυνατή τιμή τής γωνίας του πρανούς ως προς την οριζοντία (σε μοίρες).

(β) Δύο δοκίμια αργίλου στερεοποιούνται αρχικά με τάσεις $\bar{\sigma}_{vo} = \bar{\sigma}_{ho} = 100 \text{ kPa}$, καί $u_o = 0$ (πίεση ύδατος πόρων). Κατόπιν υποβάλλονται σέ απλή διάτμηση μέχρι αστοχίας το μεν ένα υπό αστράγγιστες συνθήκες, τό δε άλλο υπό συνθήκες πλήρους στραγγίσεως. Δίδονται $\varphi = 25^\circ$, η δε υπερπίεση του νερού των πόρων στην αστράγγιστη δοκιμή την στιγμή της αστοχίας είναι $\Delta u_o = 20 \text{ kPa}$. Να δοθούν (έστω καί κατά ποιοτική [αν όχι ποσοτική] προσέγγιση) οι κύκλοι Mohr των ενεργών καί ολικών τάσεων κατά την αστοχία των δύο δοκιμών.

(γ) Η (χρονική) εξέλιξη της καθίζησης θεμελίου είναι πολύ βραδύτερη σε μαλακή κορεσμένη άργιλο απ' ότι: (i) σε κορεσμένη άμμο (ασχέτως πυκνότητας) καί (ii) σε σκληρή κορεσμένη άργιλο (τής ίδιας κατά τα άλλα σύστασης). Να εξηγηθούν τα δύο βασικά αίτια αυτών των διαφορών. [Οι "γεωμετρικές" συνθήκες παραμένουν φυσικά οι ίδιες καί στις τρεις περιπτώσεις.]

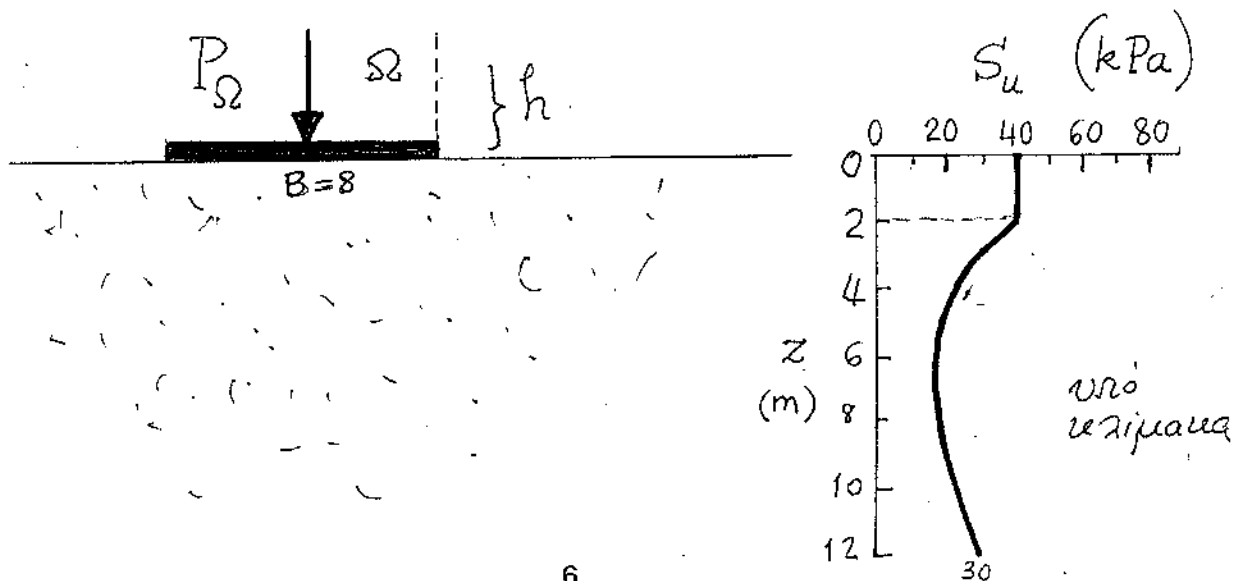
(δ) Να απεικονισθεί γραφικά τουλάχιστον με ποιοτική ακρίβεια (ενδεχομένως δε δίνοντας και χαρακτηριστικά "σημεία" ή μεγέθη) η χρονική εξέλιξη της καθίζησης, δ , μιάς ομοιόμορφα φορτιζόμενης εδαφικής επιφάνειας. Το εδαφικό προφίλ περιλαμβάνει στρώμα διπλά-στραγγιζόμενης μαλακής αργίλου πάχους h και μέτρου D . [Ζητούμενο $\delta = \delta(t)$.] Εάν η στράγγιση ήταν δυνατή μόνον προς την κάτω επιφάνεια, πως θα μεταβάλλονταν η $\delta(t)$;

4.

Κατακόρυφο πρηνές παρείας $\alpha\beta$ (α στην βάση, β στην κορυφή) επρόκειτο να εκσκαφεί σε κορεσμένη ομοιογενή άργιλο, της οποίας η μηχανική συμπεριφορά "με όρους ολικών τάσεων" περιγράφεται με τις παραμέτρους αστοχίας $\varphi = 0^\circ$ και $c = S_u$ (αστράγγιστη διατμητική αντοχή). Ο συντελεστής ασφαλείας έναντι περιστροφικής ολισθήσεως επί κύκλου κέντρου β κι ακτίνας $\beta\alpha$ προέκυψε ίσος με 1.0, ο οποίος προφανώς θεωρήθηκε ανεπαρκής. Προτάθηκε αποκοπή τριγωνικής σφήνας $\beta\delta\epsilon$, όπου $(\beta\delta) = (\beta\epsilon) = 8$ m. Ζητούνται : (i) η τιμή της S_u , και (ii) ο συντελεστής ασφαλείας μετά την αποκοπή της σφήνας. Δίδεται $(\alpha\beta) = 12$ m, $\rho = 2$ Mg/m³.

5.

Να υπολογισθεί το οριακό φορτίο P_Ω (kN/m) λωριδωτού θεμελίου πλάτους $B = 8$ m εδραζομένου σε ανομοιογενή αργιλικό σχηματισμό. Η αστράγγιστη διατμητική αντοχή S_u , μεταβάλλεται με το βάθος απ' την επιφάνεια, $S_u = S_u(z)$ όπως δείχνεται στο Σχήμα (σε kPa). Ως δοκιμαστικό κέντρο κύκλου επιλέγεται σημείο Ω , άνω του ενός άκρου σε ύψος h της δικής σας αυθαίρετης (εύλογης ωστόσο) επιλογής. (Γραφική λύση : συνιστάται ως η μόνη πρακτικ εφικτή στον λίγο χρόνο που διαθέτετε - όχι υποχρεωτική όμως.)



6.

Στρώση αργίλου πάχους 10 m περιβάλλεται από ένα τελείως-διαπερατό (άνω) και ένα τελείως-αδιαπερατό (κάτω) στρώμα. Εάν ο συντελεστής στερεοποίησης της αργίλου είναι $c_v = 2 \times 10^{-6}$ m²/s, να εκτιμηθεί ο χρόνος που απαιτείται για (πρακτικώς πλήρη) στερεοποίηση της αργιλικής αυτής στρώσης. Δίδεται (ελλείπει άλλων διαγραμμάτων ή πινάκων) η ακόλουθη σχέση μεταξύ της αδιάστατης χρονικής παραμέτρου ($T_v = c_v t / H^2$ και του μέσου βαθμού στερεοποίησης $\bar{U} = \delta_t / \delta_\infty$:

$$\bar{U} = \frac{(4 T_v / \pi)^{0.50}}{[1 + (4 T_v / \pi)^{2.8}]^{0.20}}$$

η οποία όμως ισχύει για στρώμα πάχους $2H$ περιβαλλόμενο από διαπερατά στρώματα άνω και κάτω. [Εύκολο θέμα -- μη φοβάστε .. Δέν χρειάζεται κανένας πίνακας ή διάγραμμα.]

ΕΔΑΦΟΜΗΧΑΝΙΚΗ ΙΙ ΔΙΑΓΩΝΙΣΜΑ ΙΟΥΝΙΟΥ 1995 Καθ. Γ. Γκαζέτας

Όνομα Σπουδαστή _____ (μέ κεφαλαία)

ΔΙΑΡΚΕΙΑ 1 1/2 ΩΡΑ. ΚΛΕΙΣΤΑ ΠΑΣΗΣ ΦΥΣΕΩΣ ΒΙΒΛΙΑ, ΤΕΤΡΑΔΙΑ, ΣΗΜΕΙΩΣΕΙΣ.
ΑΠΑΝΤΗΣΤΕ ΣΕ ΟΛΑ ΤΑ ΘΕΜΑΤΑ.

1. (α) Συγκεντρωμένο "γραμμικό" φορτίο $q = 50 \text{ kN/m}$ δρά κατά μήκος τού άξονα των x στην ελεύθερη επιφάνεια ελαστικού ομοιογενούς ημχώρου. Για ένα σημείο Ξ ζητούνται: οι σ_z , σ_y , και σ_x κατά μέγεθος και διεύθυνση. Δίδονται σε πολικές συντεταγμένες (R, θ) :

$$\sigma_R = (2q / \pi) \cos\theta / R, \text{ και } \sigma_\theta = \tau_{R\theta} = 0,$$

όπου φυσικά $R^2 = z^2 + y^2$. $x_\Xi = 0$, $y_\Xi = -2 \text{ m}$, $z_\Xi = 2 \text{ m}$.

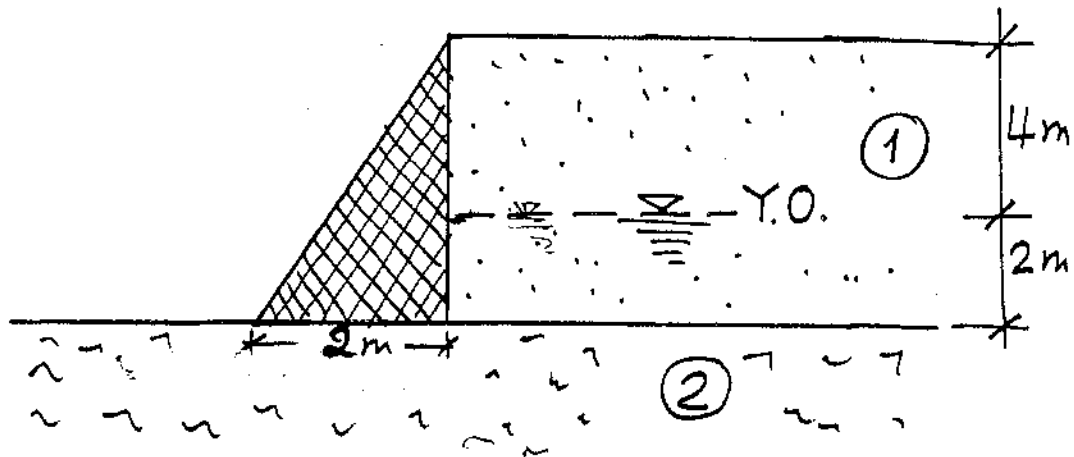
- (β) Ζητείται τό κρίσιμο ύψος H κατακορύφου πρανούς ενός υλικού που περιγράφεται από τις παραμέτρους φαινομένης αντοχής " $\phi = 0$ " και " $c = S_u$ ". Ως μηχανισμός αστοχίας ας ληφθεί *οποιοσδήποτε* εύλογος κύκλος τής προτιμήσεώς σας αλλά τού οποίου τό κέντρο νά μήν συμπίπτει μέ τήν κορυφή (στέψη) τού πρανούς. Ειδικό βάρος εδαφικού υλικού $\gamma = 19 \text{ kN/m}^3$.

2. (α) Μέθοδος Coulomb για τήν εύρεση τής ενεργητικής εδαφικής ώθησης P_a . Πώς εξηγείται ότι $P_a = \max(P_{a1}, P_{a2}, \dots, P_{an})$ όπου P_{ai} = η ώθηση που αντιστοιχεί στό δοκιμαστικό πρίσμα i ;
- (β) Η (χρονική) εξέλιξη τής καθίζησης θεμελίου είναι πολύ βραδύτερη σε μαλακή κορεσμένη άργιλο απ' ό,τι σε χαλαρή κορεσμένη άμμο. Νά εξηγηθούν τά δύο βασικά αίτια αυτής τής διαφοράς.

3. Νά ελεγχθεί η ευστάθεια έναντι περιστροφής και ολισθήσεως τού τοίχου βαρύτητας τού Σχήματος (από άοπλο σκυρόδεμα). Δίδονται :

Εδαφικό υλικό (1) : (άνω και κάτω τού Υδροφόρου Ορίζοντα) άμμος με $\phi = 35^\circ$ και $c = 0$,

Εδαφικό υλικό (2) : αμμώδης άργιλος με $c = 20 \text{ kPa}$ και $\phi = 25^\circ$. Επιλέξατε μόνοι σας λογικές τιμές για τα ειδικά βάρη των δύο υλικών. Νά αγνοηθεί η συνάφεια μεταξύ τής κατακόρυφης παρειάς τού τοίχου και τού εδάφους.



4. (α) Πλάκα σκυροδέματος μεγάλων διαστάσεων στην κάτοψη αλλά και ομοιόμορφης θερμοκρασίας $\theta_0 = 25^\circ$, βυθίζεται στην θάλασσα όπου η θερμοκρασία είναι $\theta = 0^\circ$. Νά σχεδιασθεί ποιοτικά η κατανομή (κατά τό πλάτος τής πλάκας) τής θερμοκρασίας $\theta = \theta(t)$ στις ακόλουθες χρονικές στιγμές:

- (i) αμέσως μετά τήν βύθιση ($t = 0^+$)
- (ii) μετά από πολύ μεγάλο χρόνο ($t \rightarrow \infty$)
- (iii) σέ δύο ενδιάμεσα χρονικά διαστήματα, δηλ. μέ $0 < t < \infty$, δικής σας επιλογής.

(β) Νά παραχθεί η σχέση μεταξύ τών μετρων E (μέτρο Young) και D (μέτρο 1-διάστατης παραμόρφωσης) ενός ελαστικού εδαφικού υλικού πού έχει λόγο $E/G = 2.4$, όπου $G =$ μέτρο διατμήσεως.

(γ) Νά εξηγηθεί γιατί ο "χρόνος στερεοποίησης" εξαρτάται από τίς εδαφικές παραμέτρους k (συντελεστής διαπερατότητας) και D (μέτρο 1-διάστατης συμπίεσης), καθώς και τήν γεωμετρική παράμετρο H^2 .

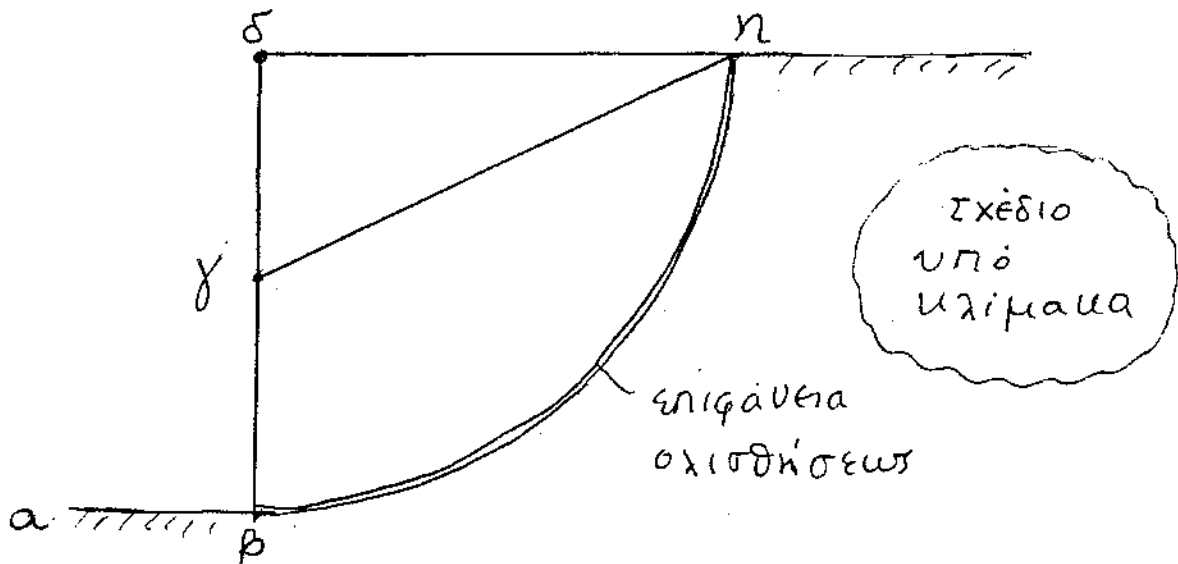
ΕΔΑΦΟΜΗΧΑΝΙΚΗ ΙΙ ΔΙΑΓΩΝΙΣΜΑ ΙΟΥΝΙΟΥ 1995 Καθ. Γ. Γκαζέτας

Όνομα Σπουδαστή _____ (μέ κεφαλαία)

ΔΙΑΡΚΕΙΑ 1 1/2 ΩΡΑ. ΚΛΕΙΣΤΑ ΠΑΣΗΣ ΦΥΣΕΩΣ ΒΙΒΛΙΑ, ΤΕΤΡΑΔΙΑ, ΣΗΜΕΙΩΣΕΙΣ.
ΑΠΑΝΤΗΣΤΕ ΣΕ ΟΛΑ ΤΑ ΘΕΜΑΤΑ.

1. Νά σχεδιασθούν με *ποιοτικήν ακρίβεια* τά ακόλουθα διαγράμματα, σχετιζόμενα με την μετάδοση τάσεων σε ομοιογενή ημίχωρο
- (α) Οι "βωλβοί" των κατακόρυφων ορθών τάσεων σ_z λόγω επιβολής: πρώτον, ενός κυκλικού και, δεύτερον, ενός λωριδωτού ομοιόμορφου φορτίου, με $p = 200 \text{ kPa}$.
- (β) Η κατανομή των οριζόντιων ορθών τάσεων $\sigma_y = \sigma_y(z)$ σε επίπεδο $y = 2B$, λόγω επιβολής λωριδωτού ομοιόμορφου φορτίου πλάτους B και εντάσεως p . Πώς θα άλλαζε τό διάγραμμα αυτό εάν στην θέση $y = 2B$ βρίσκονταν ένας τελείως άκαμπτος και αμετακίνητος τοίχος αντιστηρίξεως.
- (γ) Η κατανομή με τό βάθος Z υπό τόν άξονα τού φορτίου, των κατακόρυφων ορθών τάσεων σ_z λόγω επιφανειακού φορτίου εφαρμοσμένου σε κυκλικήν επιφάνεια ακτίνας $R = 4 \text{ m}$ και ακτινικά μεταβλητής έντασης $p = p(r) = 300 (1 - r / R)$, όπου $r =$ ακτινική απόσταση.
2. (α) Νά δειχθεί η *μηχανική αναλογία* (αντιστοιχία) μεταξύ τής ενεργητικής κατάστασης κατά Coulomb και προβλήματος σώματος επί κεκλιμένου επιπέδου, με συντελεστή τριβής $\mu (= \tan \varphi)$.
- (β) Νά σχεδιασθεί η εξέλιξη των κύκλων τού Mohr στοιχείου εδαφικού υλικού από τήν αρχική εντατική κατάσταση $\bar{\sigma}_{vo} = 200 \text{ kPa}$, $\bar{\sigma}_{ho} = 150 \text{ kPa}$, $\tau_{vh} = 0$, και $u = 0$, ως τήν (τελική) παθητική εντατική κατάσταση κατά Rankine, εάν οι παράμετροι διατμητικής αντοχής είναι $\varphi = 20^\circ$ και $c = 40 \text{ kPa}$. ($\Delta u = 0$).
- (γ) Νά εξηγηθεί γιατί ένας ελεύθερος τοίχος βαρύτητας (εδραζόμενος επί *εδάφους* και αντιστηρίζων οποιοδήποτε εδαφικό υλικό) *δέν* είναι δυνατόν νά υφίσταται "ουδέτερες" εδαφικές ωθήσεις (τού τύπου $K_o \sigma_v$), έστω και εάν οι (πραγματικοί) συντελεστές ασφαλείας σε ολίσθηση και περιστροφή είναι *αρκετά μεγαλύτεροι τής μονάδας*;

3. Κατακόρυφο πρανές (α β δ η) επρόκειτο νά εκσκαφεί σέ κορεσμένη ομοιογενή άργιλο, τής οποίας η μηχανική συμπεριφορά "μέ όρους ολικών τάσεων" περιγράφεται μέ τίς παραμέτρους αστοχίας $\varphi = 0^\circ$ καί $c = S_u$ (αστράγγιστη διατμητική αντοχή). Ο συντελεστής ασφαλείας έναντι περιστροφικής ολισθήσεως επί κύκλου κέντρου δ κι' ακτίνας δ β προέκυψε ίσος μέ 1.10, ο οποίος θεωρήθηκε ανεπαρκής. Προτάθηκε αποκοπή τριγωνικής σφήνας δ γ η, όπου (δγ) = 4 m. Ποιός είναι ο νέος συντελεστής ασφαλείας; Σχολιάστε εάν ο συντελεστής αυτός θά ήταν ανεκτός, καί υπό ποιές προϋποθέσεις. (βδ) = (δη) = 8m, $\rho = 2 \text{ Mg/m}^3$.



4. Αναζητείται κατά προσέγγιση τό οριακό φορτίο P_{op} (kN/m) ενός απειρομήκους θεμελίου πλάτους B, τό οποίο εδράζεται σέ δίστρωτο σχηματισμό μέ :

στρώμα 1 : πάχος H_1 , αστράγγιστη διατμητική αντοχή S_1 , πυκνότητα ρ_1

στρώμα 2 : πάχος H_2 πολύ μεγάλο, αστράγγιστη διατμητική αντοχή S_2 , πυκνότητα ρ_2

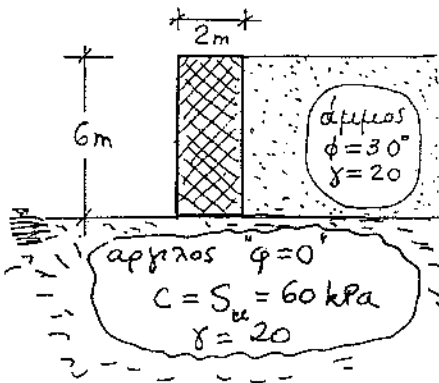
Ζητούνται: (α) Οι αδιάστατες παράμετροι τού προβλήματος απ' τίς οποίες εξαρτάται τό P_{op}
 (β) θεωρώντας έναν απλό μηχανισμό αστοχίας τής δικής σας επιλογής, νά δοθεί αλγεβρική έκφραση γιά τό P_{op} όταν $H_1 = (0.60)B$ καί $S_1 = 10 S_2$

ΕΔΑΦΟΜΗΧΑΝΙΚΗ II, 6ου Εξαμήνου --- ΤΕΛΙΚΟ ΔΙΑΓΩΝΙΣΜΑ --- 23 ΙΟΥΝΙΟΥ 1997

Διάρκεια : 2 ώρες. Βιβλία και Σημειώσεις κλειστά, επιτρέπεται μόνον ένα προσωπικό φύλλο σημειώσεων. Επεξηγήσεις δεν δίδονται. Τα σχέδια των σχημάτων είναι υπό κλίμακα.

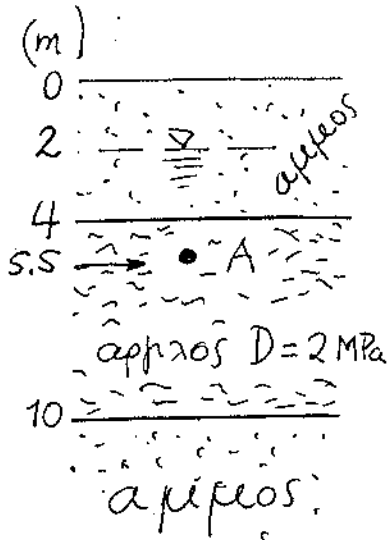
ΟΝΟΜΑ ΣΠΟΥΔΑΣΤΗ : ----- ΕΞΑΜΗΝΟ : -----

1.



- (i) Να δοθεί με ενδεικτική ακρίβεια το διάγραμμα οριζόντιας τάσης $\bar{\sigma}_x$ προς την επιβαλλόμενη οριζόντια ανηγ. παραμόρφωση $\pm \epsilon_x$, εδαφικού δοκιμίου το οποίο υποβάλλεται σε επιπόνηση με $\bar{\sigma}_v = \text{σταθερό} = 50 \text{ kPa}$ (ενώ $\tau_{xy} = \tau_{yz} = \tau_{zx} = 0, \epsilon_y = 0$). Το ϵ_x μεταβάλλεται από 0 σε $+\infty$ και από 0 σε $-\infty$.
- (ii) Να ελεγχθεί η ευστάθεια του τοίχου βαρύτητας του σχήματος από άοπλο σκυρόδεμα

2

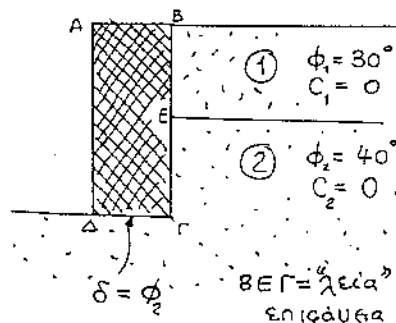


Στερεοποίηση αργιλικού στρώματος : Ζητούνται τα ακόλουθα για το σημείο A:

- (α) Η γεωστατική υδατική πίεση u_o .
- (β) Η υδατική πίεση αμέσως μετά την (θεωρούμενη ως ακαριαία) επιβολή του φορτίου $p_E = 200 \text{ kPa}$
- (γ) Η (συνολική) υδατική πίεση 1 έτος μετά την επίχωση.
- Δίδεται ότι την χρονική αυτή στιγμή (1 έτος) η κατανομή των υδατικών υπερπίεσεων είναι περίπου ημιτονοειδής και δίδεται απ' την σχέση $u(z, t=1 \text{ έτος}) = 80 \sin(\pi z / 2H)$, όπου το z μετρείται από την επιφάνεια της αργίλου. [Δέν χρειάζεστε άλλες σχέσεις ή διαγράμματα. Αλλωστε δέν δίδονται και στοιχεία για να τους χρησιμοποιήσετε.]

3

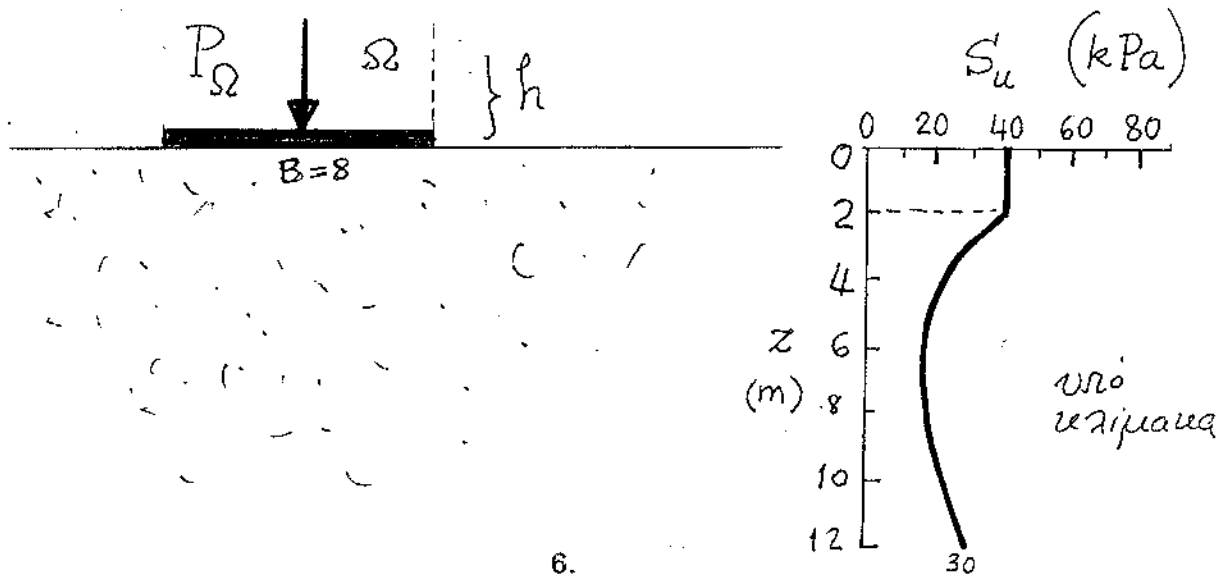
Υπάρχει κίνδυνος ολισθήσεως τού τοίχου ΑΒΓΔ ; Δίνονται : $BE = EG = 5 \text{ m}$ $AB = 4 \text{ m}$, υλικό : σκυρόδεμα. Νά κάνετε εύλογες παραδοχές για τις τιμές όσων παραμέτρων (επίτηδες) δέν δίνονται.



Κατακόρυφο πρηνές παριείας $\alpha\beta$ (α στην βάση, β στην κορυφή) επρόκειτο να εκσκαφεί σε κορεσμένη ομοιογενή άργιλο, της οποίας η μηχανική συμπεριφορά "με όρους ολικών τάσεων" περιγράφεται με τις παραμέτρους αστοχίας $\varphi = 30^\circ$ και $c = S_u$ (αστράγγιστη διατμητική αντοχή). Ο συντελεστής ασφαλείας έναντι περιστροφικής ολισθήσεως επί κύκλου κέντρου β κι ακτίνας $\beta\alpha$ προέκυψε ίσος με 1.0, ο οποίος προφανώς θεωρήθηκε ανεπαρκής. Προτάθηκε αποκοπή τριγωνικής σφήνας $\beta\delta\epsilon$, όπου $(\beta\delta) = (\beta\epsilon) = 8$ m. Ζητούνται : (i) η τιμή της S_u , και (ii) ο συντελεστής ασφαλείας μετά την αποκοπή της σφήνας. Δίδεται $(\alpha\beta) = 12$ m, $\rho = 2$ Mg/m³.

5.

Να υπολογισθεί το οριακό φορτίο P_Ω (kN/m) λωριδωτού θεμελίου πλάτους $B = 8$ m εδραζομένου σε ανομοιογενή αργιλικό σχηματισμό. Η αστράγγιστη διατμητική αντοχή S_u , μεταβάλλεται με το βάθος απ' την επιφάνεια, $S_u = S_u(z)$ όπως δείχνεται στο Σχήμα (σε kPa). Ως δοκιμαστικό κέντρο κύκλου επιλέγεται σημείο Ω , άνω του ενός άκρου σε ύψος h της δικής σας αυθαίρετης (εύλογης ωστόσο) επιλογής. (Γραφική λύση : συνιστάται ως η μόνη πρακτικός εφικτή στον λίγο χρόνο που διαθέτετε - όχι υποχρεωτική όμως.)



6.

Στρώση αργίλου πάχους 10 m περιβάλλεται από ένα τελείως-διαπερατό (άνω) και ένα τελείως-αδιαπέρατο (κάτω) στρώμα. Εάν ο συντελεστής στερεοποιήσεως της αργίλου είναι $c_v = 2 \times 10^{-6}$ m²/s, να εκτιμηθεί ο χρόνος που απαιτείται για (πρακτικώς πλήρη) στερεοποίηση της αργιλικής αυτής στρώσης. Δίδεται (ελλείπει άλλων διαγραμμάτων ή πινάκων) η ακόλουθη σχέση μεταξύ της αδιάστατης χρονικής παραμέτρου ($T_v = c_v t / H^2$ και του μέσου βαθμού στερεοποιήσεως $\bar{U} = \delta_t / \delta_\infty$:

$$\bar{U} = \frac{(4 T_v / \pi)^{0.50}}{[1 + (4 T_v / \pi)^{2.8}]^{0.20}}$$

η οποία όμως ισχύει για στρώμα πάχους $2H$ περιβαλλόμενο από διαπερατά στρώματα άνω και κάτω.

. Δέν χρειάζεται κανένας πίνακας ή διάγραμμα.

ΕΔΑΦΟΜΗΧΑΝΙΚΗ II, 6ου Εξαμήνου --- ΤΕΛΙΚΟ ΔΙΑΓΩΝΙΣΜΑ --- 23 ΙΟΥΝΙΟΥ 1997

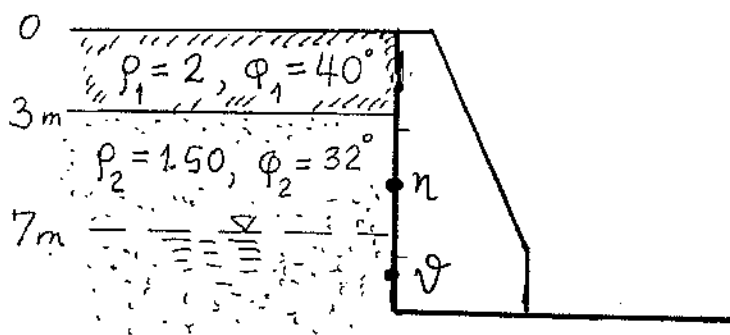
Διάρκεια : 2 ώρες. Βιβλία και Σημειώσεις κλειστά, επιτρέπεται μόνον ένα προσωπικό φύλλο σημειώσεων.

Επεξηγήσεις δεν δίδονται. Τα σχέδια των σχημάτων είναι υπό κλίμακα.

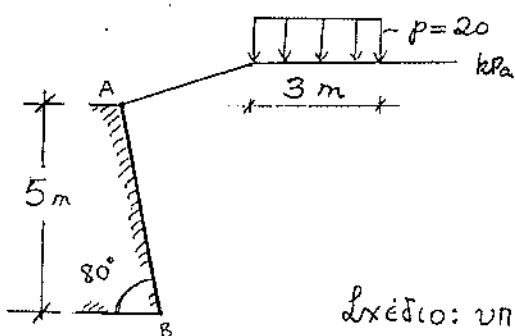
ΟΝΟΜΑ ΣΠΟΥΔΑΣΤΗ : ----- ΕΞΑΜΗΝΟ : -----

1.

Ενεργητική κατάσταση Rankine : Ζητούνται οι ολικές τάσεις στα σημεία η και θ. Το αντιστηριζόμενο έδαφος αποτελείται από δύο στρώματα, το πρώτο πάχους 3 m και το δεύτερο πολύ μεγάλου πάχους. Ο υδροφόρος ορίζοντας : 7 m από την επιφάνεια. Το τμήμα του δεύτερου στρώματος που κείται άνω του υδροφόρου ορίζοντα είναι ξαρό κι έχει $\rho_2 = 1.5 \text{ Mg/m}^3$. (Εκτιμήστε τις χρειαζόμενες παραμέτρους που δεν δίνονται.)



2.



Αναζητείται η "παθητική ώθηση" με την μέθοδο Coulomb, για τον τοίχο του σχήματος (παρειά AB). Εάν ο τοίχος θεωρηθεί λείος και η γωνία διατμητικής αντοχής του αντιστηριζόμενου εδαφικού υλικού είναι $\phi = 30^\circ$, ζητείται η ανάλυση ενός δοκιμαστικού πρίσματος (της δικής σας επιλογής). Πώς (εάν ο χρόνος σας δεν ήταν περιορισμένος) θα υπολογίζατε την "παθητική ώθηση"; (αδρή περιγραφή).

Σχέδιο: υπό κλίμακα.

3.

Ένα τριγωνικώς κατανομημένο φορτίο επί λωριδωτού θεμελίου AB, πλάτους (AB) = D, έχει πίεση στο ένα άκρο A, ίση με p_A και στο άλλο άκρο πίεσεως B, ίση με 0. Να υπολογισθεί η μέγιστη δυνατή (οριακή) τιμή της πίεσης (p_A) με ανάλυση της οριακής ισορροπίας έναντι περιστροφής περί το κέντρον κύκλου Ω και ακτίνας (ΩA). Το Ω επιλέγεται πάνω από το άκρο B σε ύψος (ΩB) = D / 2. Έδαφος : ομοιογενής άργιλος με αστράγγιστη διατμητική αντοχή S_u και ειδικό βάρος γ .

4.

Κατακόρυφο πρανές παρειάς ab (a στην βάση, b στην κορυφή) επρόκειτο να εκσκαφεί σε κορεσμένη ομοιογενή άργιλο, της οποίας η μηχανική συμπεριφορά "με όρους ολικών τάσεων" περιγράφεται με τις παραμέτρους αστοχίας $\varphi = 0^\circ$ και $c = S_u$ (αστράγγιστη διατμητική αντοχή). Ο συντελεστής ασφαλείας έναντι περιστροφικής ολισθήσεως επί κύκλου κέντρου β κι ακτίνας βa προέκυψε ίσος με 1.0, ο οποίος προφανώς θεωρήθηκε ανεπαρκής. Προτάθηκε αποκοπή τριγωνικής σφήνας $\beta\delta\epsilon$, όπου $(\beta\delta) = (\beta\epsilon) = 10$ m. Ζητούνται : (i) η τιμή της S_u , και (ii) ο συντελεστής ασφαλείας μετά την αποκοπή της σφήνας. Δίδεται $(\alpha\beta) = 14$ m, $\rho = 2$ Mg/m³.

5.

(α) Να σχεδιασθεί η εξέλιξη των κύκλων τού Mohr στοιχείου εδαφικού υλικού από την αρχική εντατική κατάσταση $\bar{\sigma}_{vo} = 200$ kPa, $\bar{\sigma}_{ho} = 160$ kPa, $\tau_{vh} = 0$ και $u = 0$, ως την (τελική) παθητική εντατική κατάσταση κατά Rankine, εάν οι παράμετροι διατμητικής αντοχής είναι $\varphi = 20^\circ$ και $c = 50$ kPa. ($\Delta u = 0$).

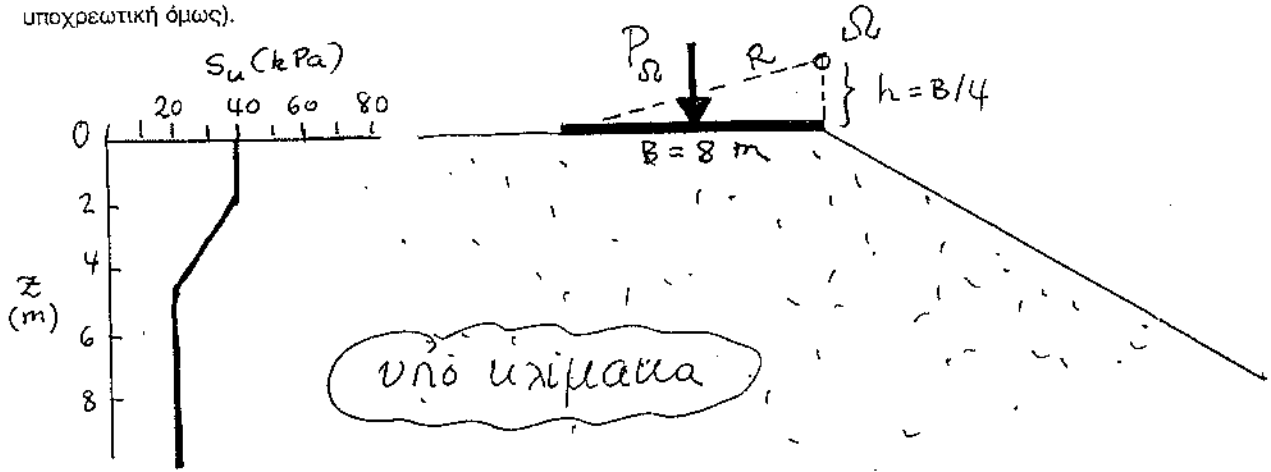
(β) Προκειμένου να γίνει εκσκαφή σε στεγνή και πυκνή άμμο, ζητείται η κατά προσέγγιση μέγιστη δυνατή τιμή της γωνίας του πρανούς ως προς την οριζοντία (σε μοίρες).

(γ) Δύο δοκίμια αργίλου στερεοποιούνται αρχικά με τάσεις $\bar{\sigma}_{vo} = \bar{\sigma}_{ho} = 100$ kPa, και $u_o = 0$ (πίεση ύδατος πόρων). Κατόπιν υποβάλλονται σε απλή διάτμηση μέχρι αστοχίας το μεν ένα υπό αστράγγιστες συνθήκες, το δε άλλο υπό συνθήκες πλήρους στραγγίσεως. Δίδονται $\varphi = 25^\circ$, η δε υπερπίεση του νερού των πόρων στην αστράγγιστη δοκιμή την στιγμή της αστοχίας είναι $\Delta u_a = 20$ kPa. Να δοθούν (έστω και κατά ποιοτική [αν όχι ποσοτική] προσέγγιση) οι κύκλοι Mohr των ενεργών και ολικών τάσεων κατά την αστοχία των δύο δοκιμών.

(δ) Αργιλικό εδαφικό στρώμα συνορεύει άνω μεν με τελείως αδιαπέρατο υλικό, κάτω δε με πλήρως διαπερατό στρώμα άμμου. Υποβάλλεται σε πίεση $\Delta p = 200$ kPa που εκτείνεται σε άπειρη έκταση (δηλ. άρα υπό συνθήκες 1-διάστατης παραμόρφωσης). Ποιά είναι η κατανομή συναρτήσεως του βάθους της πίεσης πόρων και της ενεργού τάσης : (i) αμέσως μετά την επιβολή του φορτίου, (ii) μετά άπειρον χρόνο, και (iii) εντελώς ποιοτικά, σε μία ενδιάμεση χρονική στιγμή [δέν χρειάζονται διαγράμματα ή πίνακες].

6.

Να υπολογισθεί το οριακό φορτίο P_Ω (kN/m) λωριδωτού θεμελίου πλάτους $B = 8$ m εδραζομένου σε ανομοιογενές αργιλικό πρανές. Η αστράγγιστη διατμητική αντοχή S_u μεταβάλλεται με το βάθος απ' την επιφάνεια, $S_u = S_u(z)$ όπως δείχνεται στο Σχήμα (σε kPa). Ως δοκιμαστικό κέντρο κύκλου επιλέγεται σημείο Ω , άνω του ενός άκρου σε ύψος $h = B/4$ (Γραφική λύση : συνιστάται ως η μόνη πρακτικώς εφικτή στον λίγο χρόνο που διαθέτετε - όχι υποχρεωτική όμως).



ΔΙΑΓΩΝΙΣΜΑ ΕΔΑΦΟΜΗΧΑΝΙΚΗΣ ΙΙ, ΙΟΥΛΙΟΣ 1999



Διάρκεια 2 ώρες. Βιβλία και Σημειώσεις (πάσης φύσεως) ΚΛΕΙΣΤΑ

ΟΝΟΜΑΤΕΠΩΝΥΜΟ ΣΠΟΥΔΑΣΤΗ

Να γίνονται εύλογες επιλογές για τις παραμέτρους που τυχόν δεν δίνονται.

1. Εδαφικό αμμόδες στρώμα πλήρως κορεσμένο, πάχους Π και πυκνότητας ρ_s , υπόκειται σε υδατική κατακόρυφη ροή. Να εκφραστούν η ολική και η ενεργός κατακόρυφη τάση, σ_z και $\bar{\sigma}_z$, σε τυχόν βάθος z από την επιφάνεια του στρώματος ($0 < z \leq \Pi$) για τις ακόλουθες τρεις συνθήκες: (i) στατική υδατική κατάσταση, (ii) ροή από κάτω προς τα πάνω, (iii) ροή από πάνω προς τα κάτω. Η διαφορά υδατικής στάθμης που προκαλεί την ροή είναι $\pm H$.

2. (α) Συγκρίνονται δυο τύποι τοίχων αντιστηρίξεως : Ο ολόσωμος και άκαμπτος τοίχος βαρύτητας αφενός, και ο εύκαμπτος τοίχος οπλισμένου σκυροδέματος (με πέλμα), αφετέρου. Πώς δικαιολογείται η παραδοχή *ενεργητικών* ωθήσεων (τύπου K_A) και *όχι ουδετέρων* ωθήσεων (τύπου K_0) για τον υπολογισμό *καί των δύο* αυτών τύπων αντιστηρίξεως ; (Δεν ενδιαφέρουν οι κάποιες διαφορές στον τρόπο εφαρμογής των ωθήσεων αυτών.)

(β) Απειρομήκης πρηνές έχει κλίση 2 : 1 (οριζόντιο : κατακόρυφο). Εάν το εδαφικό υλικό είναι μη-κορεσμένη άμμος με $\gamma = 18 \text{ kN/m}^3$ και $\phi = 35^\circ$ ποιάς είναι ο συντελεστής ασφαλείας έναντι διατμητικής ασταχίας (ολισθήσεως) του πρηνούς ; Ποιά θα ήταν η κρίσιμη επιφάνεια ολισθήσεως (εάν ο συντελεστής ασφαλείας ήταν = 1) ; Εάν το ίδιο πρηνές υπόκειται σε υδατική ροή με ελεύθερη επιφάνεια ροής ταυτιζόμενη με την εδαφική επιφάνεια, θα άλλαζε ο συντελεστής ασφαλείας ; και πόσο ;

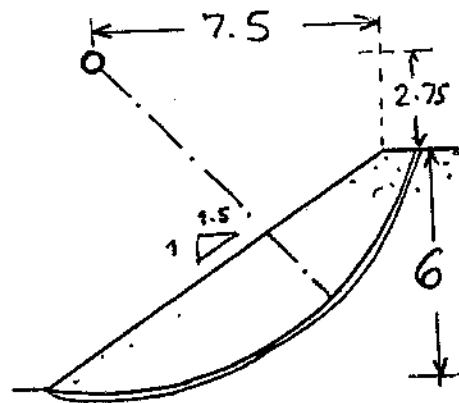
(γ) Να εξηγηθεί γιατί ο «χρόνος στερεοποίησης» εξαρτάται από τις εδαφικές παραμέτρους k (συντελεστή διαπερατότητας) και D (μέτρο 1-διάστατης συμπίεσης), καθώς και την γεωμετρική διάσταση H^2 (στο τετράγωνο μάλιστα).

(δ) Αργιλικό εδαφικό στρώμα συνορεύει άνω μεν με τελείως αδιαπέρατο υλικό, κάτω δε με πλήρως διαπερατό στρώμα άμμου. Υποβάλλεται σε πίεση $\Delta p = 200 \text{ kPa}$ που εκτείνεται σε άπειρη έκταση (δηλ. υπό συνθήκες 1-διάστατης παραμόρφωσης). Ποιά είναι η κατανομή συναρτήσεως του βάθους της πίεσης πόρων και της ενεργού τάσης : (i) αμέσως μετά την επιβολή του φορτίου, (ii) μετά άπειρον χρόνο, και (iii) εντελώς ποιοτικά, σε μιά ενδιάμεση χρονική στιγμή .

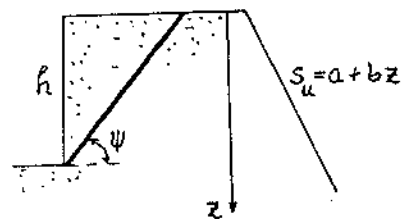
A

(ε) Να εξηγηθεί γιατί στον υπολογισμό έναντι ολισθήσεως ενός εγκιβωτισμένου-στον-πόδα τοίχου αντιστηρίξεως η "παθητικού"-τύπου αντίσταση λαμβάνεται υπόψη με σημαντική μείωση ως προς την παθητική ώθηση κατά Rankine ; Πώς θα υπολογίζατε την μείωση αυτή εάν διαθέτατε «πειραματικά» αποτελέσματα υπό την μορφή διαγράμματος $\sigma_h = \sigma_h (\pm y)$ όπου σ_h εδαφική οριζόντια τάση και y η εδαφική μετατόπιση ; (Αρκεί η θεώρηση μόνον οριζόντιας μετακίνησης ($\pm y$) του τοίχου.)

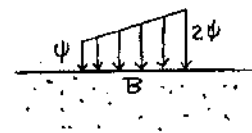
3. Ελέγχεται η ευστάθεια αμμώδους πρανούς αναχώματος ύψους 6 m και κλίσεως 1½ : 1 (αριζόντιο : κατακόρυφο), του οποίου δίδονται : $\gamma = 18 \text{ kN / m}^3$ και $\phi = 35^\circ$. Προς τούτο εξετάζεται ο δοκιμαστικός κύκλος ολισθήσεως του υπό-κλίμακα σχήματος. Θεωρείστε (χάριν απλότητας) μόνον 3 λωρίδες, και αγνοείστε τελείως τις δυνάμεις στις δύο κατακόρυφες διεπιφάνειες των διαδοχικών λωρίδων. Να υπολογισθεί ο (δοκιμαστικός) συντελεστής ασφαλείας έναντι ολισθήσεως.



4. Για το κατακόρυφο πρανές του σχήματος, και για τυχούσα επιφάνεια ολίσθησης με κλίση ψ να βρεθεί ο συντελεστής ασφαλείας $Y(\psi)$. Να ευρεθεί το κρίσιμο επίπεδο ολίσθησεως.



5. Τραπεζοειδώς κατανεμημένο λωριδωτό φορτίο με ακραίες τιμές ψ και 2ψ . Να ευρεθεί η οριακή τιμή της ψ . (Θεωρείστε μία δική σας δοκιμαστική κυκλική επιφάνεια ολίσθησεως, με κέντρο οποιοδήποτε εύλογο σημείο επί της κατακορύφου στην κατάλληλη παρειά του πλάτους B.)



ΔΙΑΓΩΝΙΣΜΑ ΕΔΑΦΟΜΗΧΑΝΙΚΗΣ ΙΙ, ΙΟΥΛΙΟΣ 1999

a

Διάρκεια Βιβλία και Σημειώσεις (πάσης φύσεως) ΚΛΕΙΣΤΑ

ΟΝΟΜΑΤΕΠΩΝΥΜΟ ΣΠΟΥΔΑΣΤΗ

Να γίνονται εύλογες επιλογές για τις παραμέτρους που τυχόν δεν δίνονται.

1. Δίδεται στρώμα άμμου μοναδιαίου (ειδικού) βάρους $\gamma_s = 18 \text{ kN/m}^3$ και μεγάλου πάχους. Η επιφάνεια του υδροφόρου ορίζοντα συμπίπτει με την επιφάνεια της εδαφικής στρώσης. Να υπολογισθούν η ολική κατακόρυφη τάση σ_v , η υδατική πίεση των πόρων u , και η ενεργός κατακόρυφη τάση $\bar{\sigma}_v$ σε βάθος $z = 5 \text{ m}$, για τις ακόλουθες περιπτώσεις : (α) Στατικές υδατικές συνθήκες. (β) Υδατική ροή προς τα πάνω με υδραυλική κλίση ίση με $\frac{1}{2}$. (γ) Υδατική ροή προς τα κάτω με υδραυλική κλίση ίση με $\frac{1}{4}$. (Η στάθμη του υδροφόρου ορίζοντα παραμένει σταθερή.)
2. (α) Να εξηγηθεί γιατί οι επιβαλλόμενες εδαφικές ωθήσεις σε μία αντηριδωτή αντιστήριξη δεν έχουν τριγωνική κατανομή συναρτήσει του βάθους. Ποιό είναι το νόημα της τοξωτής λειτουργίας του εδάφους ; (Συνοπτικά, με δικά σας λόγια, και με την βοήθεια σχημάτων.)

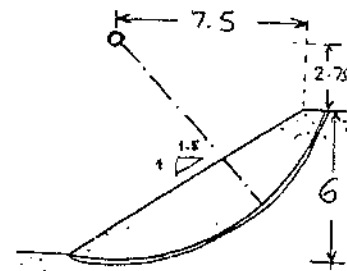
(γ) Απειρομήκης πρτανές έχει κλίση 2 : 1 (οριζόντιο : κατακόρυφο). Εάν το εδαφικό υλικό είναι μη-κορεσμένη άμμος με $\gamma = 18 \text{ kN/m}^3$ και $\varphi = 35^\circ$ ποιός είναι ο συντελεστής ασφαλείας έναντι διατμητικής αστοχίας (ολισθήσεως) του πρτανούς ; Ποιά θα ήταν η κρίσιμη επιφάνεια ολισθήσεως (εάν ο συντελεστής ασφαλείας ήταν = 1) ; Εάν το ίδιο πρτανές υπόκειται σε υδατική ροή με ελεύθερη επιφάνεια ροής ταυτιζόμενη με την εδαφική επιφάνεια, θα άλλαζε ο συντελεστής ασφαλείας ; και πόσο ;

(δ) Να εξηγηθεί γιατί ο «χρόνος στερεοποιήσεως» εξαρτάται από τις εδαφικές παραμέτρους k (συντελεστή διαπερατότητας) και D (μέτρο 1-διάστατης συμπίεσης), καθώς και την γεωμετρική διάσταση H^2 (στο τετράγωνο μάλιστα).

(στ) Να απεικονισθεί γραφικά, τουλάχιστον με ποιοτική ακρίβεια (ενδεχομένως δε δίνοντας και χαρακτηριστικά «σημεία» ή μεγέθη), η χρονική εξέλιξη της καθίζησης $\delta(t)$ μιάς ομοιόμορφα φορτιζόμενης εδαφικής επιφάνειας. Το εδαφικό προφίλ περιλαμβάνει στρώμα διπλά-στραγγιζόμενης μαλακής αργίλου πάχους h και μέτρου συμπίεσεως D . [Ζητούμενο $\delta = \delta(t)$.] Εάν η στράγγιση ήταν δυνατή μόνον προς την κάτω επιφάνεια, πως θα μεταβάλλονταν η $\delta(t)$;

α

3. Ελέγχεται η ευστάθεια αμμόδους πρανούς αναχώματος ύψους 6 m και κλίσεως 1½ : 1 (οριζόντιο : κατακόρυφο), του οποίου δίδονται : $\gamma = 18 \text{ kN / m}^3$ και $\varphi = 35^\circ$. Πρός τούτο εξετάζεται ο δοκιμαστικός κύκλος ολισθήσεως του υπό-κλίμακα σχήματος. Θεωρείστε (χάριν απλότητας) μόνον 3 λωρίδες, και αγνοείστε τελείως τις δυνάμεις στις δύο κατακόρυφες διεπιφάνειες των διαδοχικών λωρίδων. Να υπολογισθεί ο (δοκιμαστικός) συντελεστής ασφαλείας έναντι ολισθήσεως.



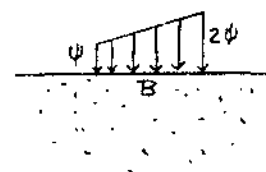
4. Αργιλικό δοκίμιο πάχους $\ell = 19 \text{ mm}$ υποβάλλεται σε στερεοποίηση (στο συμπιεσόμετρο ή σιδήμετρο), όπου και οι δύο επιφάνειες, κορυφή και βάση, είναι πλήρως διαπερατές. Μετρείται καθίζηση $(\delta)_1 = 0.564 \text{ mm}$ μετά χρόνον $(t)_1 = 240 \text{ s}$ (δευτερόλεπτα), και καθίζηση $(\delta)_2 = 2 (\delta)_1 = 1.128 \text{ mm}$ μετά χρόνον $(t)_2 = 4 (t)_1 = 960 \text{ s}$ (δευτερόλεπτα). Δεχόμεσθε ότι ισχύει η (υποδεικνυόμενη από τις ανωτέρω μετρήσεις) συσχέτιση "τετραγωνικής ρίζας" του μέσου βαθμού στερεοποίησης $\bar{U} \equiv (\delta)_{t_i} / \delta_\infty$ και του χρόνου t , και ότι η συσχέτιση αυτή περιγράφεται από την έκφραση:

$$\bar{U} = \frac{2}{\ell \sqrt{\pi}} \sqrt{c_v t}$$

Η τελική (ολική) καθίζηση μετρήθηκε $\delta_\infty = 1.3 \text{ mm}$. Ζητούνται :

- (α) ο συντελεστής στερεοποίησης c_v του αργιλικού υλικού (με χρήση των ανωτέρω μετρήσεων).
 (β) ο χρόνος που απαιτείται για να συντελεσθεί ποσοστό 60% της τελικής (ολικής) καθίζησης (δ_∞) ενός εδαφικού στρώματος του ίδιου αργιλικού υλικού, πάχους $L = 1.5 \text{ m}$, με τις ίδιες συνθήκες στραγγίσεως και φορτίου, όπως το δοκίμιο.
 (γ) Όπως το ερώτημα (β), αλλά με την αλλαγή ότι στην βάση του στρώματος υπάρχει αδιαπέρατο υλικό.

5. Τραπεζοειδώς κατανεμημένο λωριδωτό φορτίο με ακραίες τιμές ψ και 2ψ . Να ευρεθεί η οριακή τιμή τής ψ . (Θεωρείστε μία δική σας δοκιμαστική κυκλική επιφάνεια ολισθήσεως, με κέντρο οποιοδήποτε εύλογο σημείο επί της κατακορύφου στην κατάλληλη παρειά του πλάτους B.)



ΟΝΟΜΑ _____

ΤΗΛΕΦΩΝΟ (για ανακοίνωση του βαθμού σου) _____

1. [Βαθμολογία 10 %]

Να σχεδιασθούν σε εντελώς ενδεικτική σκαριφηματική μορφή οι εξής τύποι τοίχων αντιστηρίξεως : (i) συμπαγής τοίχος βαρύτητας, (ii) εύκαμπτος τοίχος οπλισμένου σκυροδέματος, (iii) αγκυρωμένος πασσαλότοιχος με προεντεινόμενα αγκύρια, και (iv) πασσαλότοιχος με οριζόντιες αντηρίδες (v) πασσαλότοιχος με κεκλιμένες αντηρίδες.

Πώς διαφέρουν μεταξύ τους οι ανωτέρω τύποι ως προς τις οριζόντιες μετατοπίσεις του τοίχου και τις επακόλουθες εδαφικές δράσεις επ' αυτού ; (Συνοπτικά και απλά, με έμφαση στη "βασική ιδέα" .)

2. [Βαθμολογία 15 %]

Απειρομήκης πρανές έχει κλίση 2 : 1 (οριζόντια : κατακόρυφη). Εάν το εδαφικό υλικό είναι μή-κορεσμένη άμμος με $\gamma = 18 \text{ kN/m}^3$ και $\phi = 35^\circ$: (α) Ποιός είναι ο συντελεστής ασφαλείας έναντι διατμητικής αστοχίας (ολισθήσεως) του πρανούς ; (β) Ποιά θα ήταν η κρίσιμη επιφάνεια ολισθήσεως, εάν η κλίση του πρανούς μεγάλωνε ώστε ο συντελεστής ασφαλείας να γινόταν $= 0.999$ και ποια θα ήταν η κλίση αυτή ; (γ) Να κατασκευαστεί ο κύκλος του Mohr ενός σημείου στην επιφάνεια ολισθήσεως (στην περίπτωση (β)).

3. [Βαθμολογία 20 %]

Αργιλικό εδαφικό στρώμα πάχους 4 m συνορεύει άνω μεν με τελείως αδιαπέρατο υλικό, κάτω δε με πλήρως διαπερατό στρώμα αμμοχαλικού. Υποβάλλεται σε πίεση $p = 200 \text{ kPa}$ που εκτείνεται σε άπειρη έκταση (δηλ. υπό συνθήκες "γεωστατικής" έντασης). Ποιά είναι η κατανομή συναρτήσεως του βάθους της πίεσης πόρων και της ενεργού τάσης : (i) αμέσως μετά την επιβολή του φορτίου, (ii) μετά άπειρον χρόνο, (iii) εντελώς ποιοτικά, σε μία ενδιάμεση χρονική στιγμή t , η οποία αντιστοιχεί σε αδιάστατο χρόνο $T_v \approx 0.50$. (iv) Εάν το πάχος του εδαφικού στρώματος ήταν 8m, ποιά θα ήταν η κατανομή για την ίδια χρονική στιγμή t . (v) Εάν η καθίζηση της επιφάνειας στην περίπτωση (ii) είναι 30 cm, να υπολογισθεί με αδρή προσέγγιση (ποιοτική μόνον ακρίβεια) η καθίζηση σε κάθε μία από τις υπόλοιπες περιπτώσεις, δηλαδή τις (i), (iii) και (iv).

4. [Βαθμολογία 25 %]

Κατασκευάζεται (δι-εκοκαφής) κατακόρυφο πρηνές ύψους H σε κορεσμένη άργιλο με $\rho = 2 \text{ Mg / m}^3$ της οποίας η αστράγγιστη διατμητική αντοχή S_u (σε kPa) μεταβάλλεται γραμμικώς με το βάθος z (σε m) απ' την επιφάνεια

$$S_u = 20 + 5 z$$

Να εκτιμηθεί το μέγιστο δυνατό ύψος $H_{\text{μέγιστο}}$ του κατακόρυφου πρηνούς, θεωρώντας :

(α) όλες τις δυνατές **επίπεδες** επιφάνειες αστοχίας. (β) μία μόνον δοκιμαστική **κυκλική** επιφάνεια με κέντρο στην ακμή του πρηνούς. Στην δεύτερη ερώτηση αρκεί μία προσεγγιστική γραφική επίλυση.

5. [Βαθμολογία 20 %]

Για την εκτίμηση του οριακού φορτίου ενός λωριδωτού θεμελίου πλάτους $2b = 10\text{m}$ επί ομοιογενούς εδάφους με παραμέτρους αστράγγιστης διατμητικής αντοχής $\phi = 0$ και $c = S_u = 40 \text{ kPa}$ και $\rho = 2 \text{ Mg / m}^3$, διερευνάται ένας απλός δοκιμαστικός μηχανισμός : κύκλος κέντρου O (σε ύψος h άνωθεν της άκρης του φορτίου, όπου $h = b$). (α) Να υπολογιστεί η τιμή της ομοιόμορφα κατανεμημένης (στο πλάτος $2b$) κατακόρυφης οριακής τάσης q_m . Να εξηγηθεί η διαφορά της από την θεωρητικώς ακριβή οριακή τιμή $q_u = (\pi + 2) S_u$. (β) Εάν η κατανομή της επιβαλλόμενης τάσης δεν ήταν ομοιόμορφη, αλλά τριγωνική, με μηδενική τιμή σε ένα από τα δύο άκρα, πόση θα ήταν η μέγιστη οριακή τάση q_m στο άλλο άκρο, για τον ίδιο δοκιμαστικό κύκλο ;

6. [Βαθμολογία 15 %]

Δίδεται στρώμα άμμου μοναδιαίου (ειδικού) βάρους $\gamma_s = 18 \text{ kN / m}^3$ και μεγάλου πάχους. Η επιφάνεια του υδροφόρου ορίζοντα συμπίπτει με την επιφάνεια της εδαφικής στρώσης. Να υπολογισθούν η ολική κατακόρυφη τάση σ_v , η υδατική πίεση των πόρων u , και η ενεργός κατακόρυφη τάση $\bar{\sigma}_v$ σε βάθος $z = 5 \text{ m}$, για τις ακόλουθες περιπτώσεις : (α) Στατικές υδατικές συνθήκες. (β) Υδατική ροή προς τα πάνω με υδραυλική κλίση ίση με $\frac{1}{2}$. (γ) Υδατική ροή προς τα κάτω με υδραυλική κλίση ίση με $\frac{1}{4}$. (Η στάθμη του υδροφόρου ορίζοντα παραμένει σταθερή.)

ΔΙΑΓΩΝΙΣΜΑ ΕΔΑΦΟΜΗΧΑΝΙΚΗΣ ΙΙ - Σεπ. 2001

Διάρκεια 2 ώρες. Βιβλία και Σημειώσεις (πάσης φύσεως) ΚΛΕΙΣΤΑ

1. Να διαστασιολογηθεί τοίχος βαρύτητας ύψους 8 m, ώστε οι συντελεστές ασφαλείας έναντι ολισθήσεως και ανατροπής να είναι τουλάχιστον ίσοι με 1.30 και 1.50, αντιστοίχως. Ο τοίχος αντιστηρίζει κοκκώδες στεγνό εδαφικό υλικό με $\phi = 35^\circ$, $c = 0$ kPa και $\gamma = 18$ kN/m³, εδράζεται δε (α) επί του ίδιου υλικού, και (β) επί αργιλικού υλικού με $\phi = 20^\circ$, $c = 10$ kPa και $\gamma = 18$ kN/m³.
2. Αναζητείται η Ενεργητική ώθηση με την μέθοδο Coulomb, για έναν λείο κατακόρυφο τοίχο ύψους 10 m που αντιστηρίζει εδαφικό υλικό με οριζόντια επιφάνεια και γωνία τριβής $\phi=30^\circ$. Στην αντιστηριζόμενη επιφάνεια υπάρχει εξωτερικό φορτίο γραμμικώς αυξανόμενο με την απόσταση x [σε m] από την παρειά του τοίχου: q [kN / m / m] = $10 x$. Να αναλυθεί ένα δοκιμαστικό πρίσμα (της δικής σας επιλογής). Πώς (εάν ο χρόνος σας δεν ήταν περιορισμένος) θα υπολογίζατε την ακριβή τιμή της παθητικής ώθησης.
3. Κατακόρυφο πρανές ύψους $H = 10$ m δημιουργείται με εκσκαφή υπό αστράγγιστες συνθήκες. Ζητείται ένας δοκιμαστικός συντελεστής ασφαλείας (σε κύκλο ολισθήσεως της δικής σας επιλογής), εάν η αστράγγιστη διατμητική αντοχή S_u είναι φθίνουσα συνάρτηση του βάθους, σύμφωνα με την σχέση

$$S_u = S_o - (S_o - S_\infty) [1 - e^{-z/15}]$$

όπου οι σταθερές $S_o = 150$ kPa, $S_\infty = 50$ kPa, $z =$ βάθος σε μέτρα απ' την στέψη του πρανούς. Πυκνότητα εδαφικού υλικού : σταθερή ίση με $\rho = 2$ Mg/m³
[Εύλογες γραφικές προσεγγίσεις είναι αποδεκτές.]

4. Δίδεται εδαφικός σχηματισμός ιλυώδους άμμου πάχους 10 m. Στάθμη υδροφόρου οριζόντια στην επιφάνεια (υψόμετρο $z = 0$ m). Ζητούνται
 - (α) Οι ολικές τάσεις σ_v , οι ενεργές τάσεις σ'_v , και υδατικές πιέσεις πόρων στα σημεία A (υψόμετρο $z = 0$ m) και B (υψόμετρο $z = - 5$ m), εάν η στήλη του ύδατος σε πιεζομετρικόν σωλήνα τοποθετημένον στο σημείο B ανέρχεται σε υψόμετρο $z = + 2$ m (δηλαδή πάνω απ' την επιφάνεια).
 - (β) Η ταχύτητα ροής, εάν ο συντελεστής διαπερατότητας ισούται με 0.0005 cm/s.

- (γ) Εάν στην επιφάνεια του εδαφους στην περίπτωση αυτή τοποθετηθεί ένα λωριδωτό φορτίο p , πώς η υδατική ροή θα επηρεάζε την μέγιστη (οριακή) τιμή r_{op} του φορτίου ; (Δώστε πρώτα μιά ποιοτική απάντηση. Για μια ποσοτική εκτίμηση : $\varphi = 30$, $c = 0$, και $N_v = 22$.)
- (δ) Πώς θα άλλαζαν τα (β) και (γ) εάν η στήλη του ύδατος στο πιεζόμετρο ήταν στο υψόμετρο $z = -2$ m ;

- 5.(α) Δοκίμιο αργίλου ύψους 20 cm υποβάλλεται σε μονοδιάστατη συμπίεση ($\Delta\sigma = 100$ kPa). Μετρείται χρόνος στερεοποιήσεως $t_c = 3$ ώρες (για την πραγματοποίηση του 90 % περίπου της ολικής καθίζησης). Ζητείται ο χρόνος στερεοποίησης t_c^* αργιλικού στρώματος πάχους 6 m, της ίδιας ακριβώς αργίλου. Δίδεται ότι το μεν δοκίμιο περιβάλλεται από πορώδεις λίθους (άνω και κάτω), το δε αργιλικό στρώμα περιβάλλεται από ένα αδιαπέρατο (άνω) και ένα τελείως διαπερατό (κάτω) στρώμα.
- (β) Εάν το μέτρο μονοδιάστατης συμπίεσης D της αργίλου είναι 4 MPa και το επιβαλλόμενο φορτίο 200 kPa, πόση είναι η τελική (συνολική) καθίζηση του στρώματος σε χρόνο t_c^* (δηλαδή στο πρακτικό τέλος της στερεοποίησης) και η καθίζηση στην χρονική στιγμή $t_c^*/2$. Η καμπύλη του βαθμού στερεοποίησης συννορήσει του χρόνου προσεγγίζεται από την σχέση

$$U \approx (Tv)^{1/2}, \quad Tv = c_v t / h_d^2.$$

6. Ποιά τα αίτια αναπτύξεως υδατικών πιέσεων στους πόρους κορεσμένου εδαφικού στρώματος στον πυθμένα λίμνης βάθους 3 m στις εξής καταστάσεις / φορτίσεις :

- (α) Υδροστατική κατάσταση
- (β) Αντληση ύδατος από οριζόντιο επίπεδο σε βάθος 10 m κάτω απ' την επιφάνεια του εδάφους.
- (γ) Επιβολή φορτίου p μεγάλης έκτασης (δηλαδή υπό γεωστατικές συνθήκες)
- (δ) Επιβολή φορτίου P σε κυκλική επιφάνεια ακτίνας R . Ενδιαφέρει "σημείο" σε βάθος $z = R$, στον άξονα του φορτίου.
- (ε) Σεισμική διέγερση στην βάση του εδαφικού στρώματος, υπό την μορφή διατμητικών κυμάτων που ανέρχονται προς την εδαφική επιφάνεια (επιβάλλοντας απλή διάτμηση).

(Αρκεί ένα σκαρίφημα με συνοπτική αλλά σαφή ερμηνεία του κάθε φαινομένου.

Μαΐος 1999 Διάρκεια : 45' ώρας. ΚΛΕΙΣΤΑ Βιβλία και Σημειώσεις

(1) Να σχεδιασθεί η εξέλιξη των κύκλων τού Mohr στοιχείου στεγνού εδαφικού υλικού από την αρχική εντατική κατάσταση $\bar{\sigma}_{vo} = 100$ kPa, $\bar{\sigma}_{ho} = 80$ kPa, $\tau_{vh} = 0$ kPa, ως την (τελική) παθητική εντατική κατάσταση κατά Rankine, εάν οι παράμετροι διατμητικής αντοχής είναι $\varphi = 20^\circ$ και $c = 50$ kPa. Πόση είναι η μέγιστη και πόση η ελάχιστη κύρια τάση στην οριακή αυτή κατάσταση (γραφικός υπολογισμός θα αρκούσε). (25%)

(2) Να εξηγηθεί γιατί ένας ελεύθερος τοίχος βαρύτητας (εδραζόμενος σε [ενδόσιμο] έδαφος και αντιστηρίζων τυχόν εδαφικό υλικό) δέν υφίσταται "ουδέτερες" εδαφικές ωθήσεις (του τύπου $K_o \bar{\sigma}_v$), έστω και εάν οι (πραγματικοί) συντελεστές ασφαλείας σε ολίσθηση και περιστροφή είναι *αρκετά μεγαλύτεροι της μονάδας*; Τί θα άλλαζε στο μέγεθος των εδαφικών ωθήσεων εάν ο τοίχος αυτός δεν ήταν βαρύτητας αλλά *περιμετρικός τοίχος υπογείου κτιρίου*; Δώστε απλή, αλλά σαφή ποιοτική εξήγηση. (25%)

(3) (i) Να δοθεί μέ ενδεικτική (ποιοτική μόνον) ακρίβεια το διάγραμμα οριζόντιας τάσης σ_x πρὸς την επιβαλλόμενη οριζόντια ανηγμένη παραμόρφωση $\pm \epsilon_x$ στεγνού εδαφικού δοκιμίου άμμου το οποίο υποβάλλεται σε εγκάρσια επιπόνηση με $\sigma_v = \text{σταθερό} = 50$ kPa (ενώ $\tau_{xy} = \tau_{yz} = \tau_{zx} = 0$, $\epsilon_y = 0$). Το ϵ_x μεταβάλλεται από 0 σέ $+\infty$ καί από 0 σε $-\infty$.

(ii) Εάν για μιά μικρή τιμή της παραμόρφωσης, $\epsilon_x = -10^{-3}$ (πρὸς τα έξω δηλαδή), το έδαφος αποκρίνεται ως γραμμικώς ελαστικό υλικό με $E = 20.000$ kPa και $\nu = 0.40$ ζητείται η μεταβολή στην οριζόντια τάση, $\Delta\sigma_x$, με σταθερή και κατακόρυφη τάση $\sigma_v = 50$ kPa και $\epsilon_y = 0$. (Να παραχθεί) (30%)

(4) Αναζητείται με την μέθοδο Coulomb η ενεργητική ώθηση σε έναν κατακόρυφο τοίχο ύψους $H = 10$ m που αντιστηρίζει εδαφικό υλικό με $\varphi = 40^\circ$, $c = 0$, και $\gamma = 20$ kN/m³. Η επιφάνεια του αντιστηριζόμενου εδάφους είναι οριζόντια καί δέχεται φορτίο p (σε kPa) γραμμικώς αυξανόμενο με την απόσταση x από τον τοίχο, με νόμο $p = 5x$, όπου x σε μέτρα. Η διεπιφάνεια τοίχου-εδάφους θεωρείται λεία ($\delta=0$). Ζητούμενα : (α) Θεωρείστε ένα τυχόν δοκιμαστικό πρίσμα ολισθήσεως (δικής σας, εύλογης ωστόσο, επιλογής). (β) Για το πρίσμα αυτό βρείτε την δύναμη του τοίχου επί του (οριακώς ισορροπούντος) πρίσματος. (γ) Εξηγήστε γιατί στην περίπτωση αυτή *δέν* ισχύει (με αυστηρότητα) η μέθοδος Rankine για την ενεργητική εντατική κατάσταση στο αντιστηριζόμενο έδαφος. (30%)

ΕΔΑΦΟΜΗΧΑΝΙΚΗ ΙΙ — ΠΡΟΟΔΟΣ — Μαΐος 2002
 Διάρκεια 45' ώρας. Βιβλία & Σημειώσεις ΚΛΕΙΣΤΑ

Όνοματεπώνυμο Σπουδαστή :

Βαθμολογία: (1) – (3) : 20 %, (4) – (5) : 30 % ΑΘΡΟΙΣΜΑ 120 %.

Απαντήστε σε όσα περισσότερα θέματα μπορείτε.

- (1) Σε έναν ομοιογενή ημίχωρο (E, ν) επιβάλλεται **κυκλικό** φορτίο p ακτίνας R . Ο άξονας z είναι ο κατακόρυφος από το κέντρο του κύκλου. Παιές από τις αναπτυσσόμενες τάσεις $\sigma_z, \sigma_r, \sigma_\theta, \tau_{rz}, \tau_{r\theta}$ **και** $\tau_{z\theta}$ μπορείτε να υπολογίσετε (ή να εκτιμήσετε προσεγγιστικά, χωρίς βεβαίως να θυμάστε τύπους) για τα ακόλουθα 3 σημεία :

$$A : r_A = 0, \quad z_A = R/4$$

$$B : r_B = 0, \quad z_B = 4R$$

$$\Gamma : r_\Gamma = 2R, \quad z_\Gamma = 0$$

Να δοθούν σκαριφηματικά τα 3 "στοιχεία" με τις αντίστοιχες τάσεις. Εξήγηση σε "μιά γραμμή" για την κάθε τάση. (Προσοχή, δεν είναι απαραίτητο να μπορούν να βρεθούν όλες οι τάσεις αυτές.) Αρκεί ακρίβεια της τάξεως του 15 %

- (2) Λωριδωτό φορτίο p πλάτους $2b$ επιβάλλεται στην επιφάνεια **δίστρωτου** ημιχώρου :

$$\text{Στρώμα 1 : πάχος } H_1 = 4b, \text{ μέτρο ελαστικότητας } E_1$$

$$\text{Στρώμα 2 : πάχος } H_2 \rightarrow \infty, \text{ μέτρο ελαστικότητας } E_2$$

Να δοθεί κατά αδρή (αλλά επαρκώς αιτιολογημένη) προσέγγιση η κατανομή με το βάθος της αναπτυσσόμενης $\sigma_z = \sigma_z(z)$, κατά μήκος του άξονα του φορτίου ($x = y = 0$), εάν $E_1 = 0.20 E_2$.

Δίδεται ότι για τον ομοιογενή ημίχωρο, και για βάθη $z > 1.5 b$, ισχύει με καλή

$$\text{προσέγγιση ότι : } \sigma_z \approx \frac{4}{\pi} \frac{pb}{z} .$$

(Θα δοθεί επίδομα [bonus] σε μια πλήρη αιτιολόγηση.)

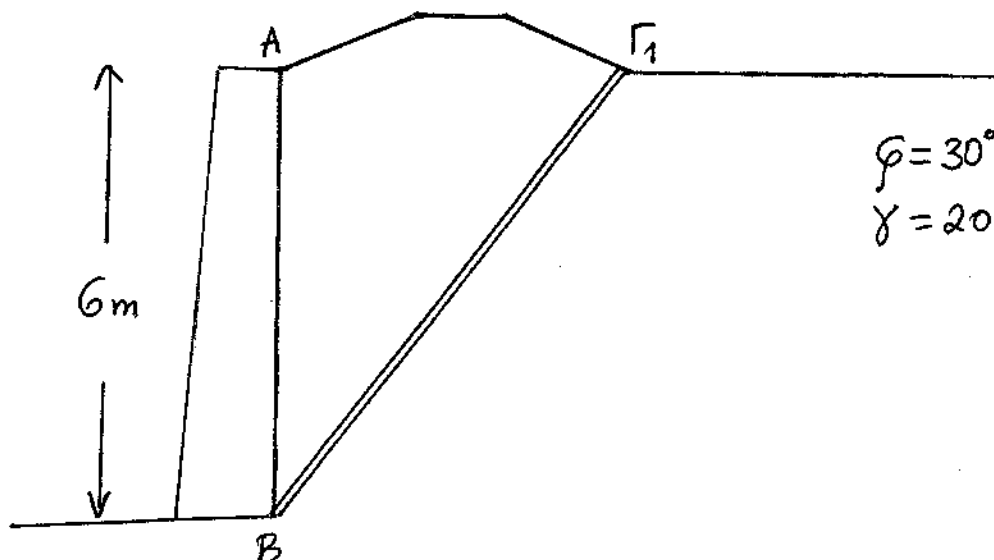
(3) Αναζήτηση της ενεργητικής ώθησης κατά Coulomb. Το αντιστηριζόμενο έδαφος είναι οριζόντιο, με επιβαλλόμενο ομοιόμορφο φορτίο p , και αποτελείται από στεγνή άμμο με $\varphi = 30^\circ$. Ο τοίχος είναι κατακόρυφος και λείος, ύψους $H = 6 \text{ m}$. Ζητείται η γραφική παράσταση $P_i = P_i(\psi_i)$, όπου $P_i =$ η δύναμη του τυχόντος δοκιμαστικού πρίσματος i , του οποίου η επιφάνεια ολισθήσεως σχηματίζει γωνία ψ_i από την κατακόρυφο παρειά του τοίχου. (Τουλάχιστον 4 σημεία του διαγράμματος μπορούν να υπολογισθούν ακριβώς.)

(4) (α) Στην μέθοδο Coulomb για την εξεύρεση της ενεργητικής ώθησης P_a , πώς εξηγείται ότι η ενεργητική ώθηση βρίσκεται ως $P_a = \max(P_1, P_2, \dots, P_n)$, όπου $P_i =$ η υποψήφια ώθηση που αντιστοιχεί στο τυχόν δοκιμαστικό πρίσμα i ;

(β) Να εξηγηθεί γιατί στον υπολογισμό έναντι ολισθήσεως ενός εγκιβωτισμένου-στον-πόδα τοίχου αντιστηρίξεως η "παθητικού"-τύπου αντίσταση λαμβάνεται μόνον ως ένα κλάσμα (π.χ., $1/2$ ή $1/3$) της (πλήρους) παθητικής αντήθησης κατά Rankine.

(5) (α) Ποιες είναι οι **θεμελιώδεις υποθέσεις** της μεθόδου Coulomb για την εξεύρεση της ενεργητικής ώθησης επί τοίχου βαρύτητας;

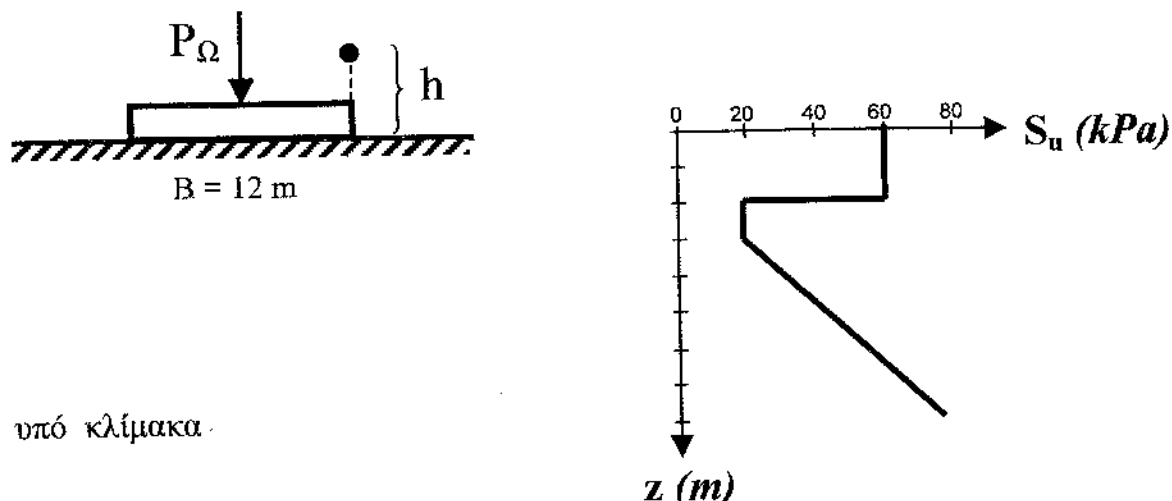
(β) Εφαρμογή: Ανάλυση ενός μόνον τυχόντος δοκιμαστικού πρίσματος, του $AB\Gamma_1$, με την μέθοδο Coulomb. Πόση είναι η "ώθηση" P_1 ; Ποιά η πιθανή σχέση της με την ενεργητική ώθηση; [Το σχήμα είναι υπό κλίμακα]



ΑΠΑΝΤΗΣΕΙΣ σε 7 από τα Θέματα
του Διαγωνίσματος

ΕΚΦΩΝΗΣΕΙΣ

- (1) Αν υποθέσουμε ότι η βάση των τοίχων βαρύτητας είναι συνήθως διπλάσια απ' την στέψη τους, να αποδείξετε αναλυτικά γιατί δεν χρησιμοποιούμε τοίχους βαρύτητας σε συνήθεις εκσκαφές κτιριακών έργων (με περισσότερα του ενός υπόγεια). Να υποθέσετε ρεαλιστικές τιμές για τις ιδιότητες του εδάφους και τις διαστάσεις της κατασκευής. Ο υδροφόρος ορίζοντας θεωρηθεί ότι βρίσκεται σε βάθος ίσο με τα $3/4$ του βάθους της εκσκαφής.
- (2) Να υπολογισθεί το οριακό φορτίο P_{Ω} (kN/m) λωριδατού θεμελίου πλάτους $B = 12\text{ m}$ εδραζομένου σε έναν ανομοιογενή αργιλικό σχηματισμό. Η αστράγγιστη διατμητική αντοχή είναι $S_u = S_u(z)$ όπως δείχνεται στο Σχήμα (σε kPa). Ως δοκιμαστικό κέντρο κύκλου επιλέγεται σημείο Ω , άνω του ενός άκρου, σε ύψος h της δικής σας αυθαίρετης (εύλογης ωστόσο) επιλογής. (Γραφική λύση : συνιστάται ως η μόνη πρακτικώς εφικτή στον χρόνο που διαθέτετε – όχι υποχρεωτική όμως.) . Να γίνει διερεύνηση-συζήτηση ως προς την πιο πιθανή θέση του κέντρου Ω .



Σχέδια υπό κλίμακα.

(3) Επίχωμα πρόκειται να κατασκευασθεί πάνω σε αργιλική εδαφική στρώση πάχους 6 m. Η άργιλος επικάθεται αδιαπέρατου εδάφους. Το επίχωμα επιβάλλει αύξηση της ολικής τάσης στην άργιλο κατά 190 kPa. Οι παράμετροι στερεοποίησης της άργιλου προσδιορίστηκαν στο εργαστήριο $c_v = 5 \text{ m}^2/\text{έτος}$ και $D = 5 \text{ MPa}$. Σε πόσον χρόνο θα έχουν απομείνει μόνον 9 cm για να ολοκληρωθεί η συνολική καθίζηση; Δίδεται ότι για μέσον βαθμό στερεοποίησης $\bar{U} = 0.5$ είναι $T_v = c_v t/H^2 \approx 0.20$, και για $\bar{U} = 0.80$ είναι $T_v \approx 0.50$. [Επιτρέπεται γραμμική παρεμβολή].

(4) 8 κυλινδρικά δοχεία αποτελούνται από πανομοιότυπα και θερμικώς αδιαπέρατα τοιχώματα. Διαφέρουν μόνον ως προς την διάμετρο, D. Στα δοχεία αυτά τοποθετούνται τυχαίες ποσότητες καυτού νερού με θερμοκρασία $T_0 = 100^\circ \text{ Κελσίου}$. Μετρούμε τον χρόνο που απαιτείται για να κρυώσουν, δηλαδή μέχρι (ουσιαστικά) η θερμοκρασία του νερού να γίνει παντού ίση με την θερμοκρασία του περιβάλλοντος (π.χ., $T_1 = 20^\circ$).

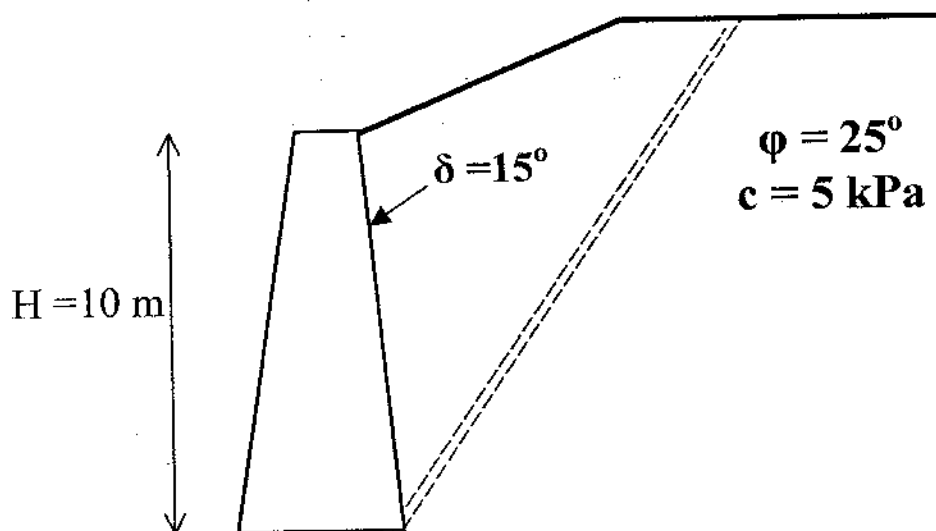
[Δίδονται τα σχήματα 8 δοχείων, διαφόρων διαμέτρων D και διαφόρων υψών του περιεχομένου υγρού H, χωρίς καμμία συσχέτιση μεταξύ D και H.]

Ποιό θα κρυώσει πρώτο, και ποιο τελευταίο; Να αιτιολογηθεί πλήρως..

(5) (α)...

(β)...

(γ) Ενεργητική εδαφική ώθηση : ανάλυση ενός μόνον δοκιμαστικού πρίσματος $AB\Gamma_1$ με την μέθοδο Coulomb. Ύψος τοίχου 10 m, σχέδιο υπό κλίμακα. Πόση είναι η "ώθηση" P_1



(6) Λοιριδωτό φορτίο $p = 100 \text{ kPa}$ πλάτους $2b = 4 \text{ m}$ επιβάλλεται στην επιφάνεια *δίστρωτου* ημιχώρου :

Στρώμα 1 : πάχος $H_1 = 5b = 10 \text{ m}$, μέτρο ελαστικότητας E_1

Στρώμα 2 : πάχος $H_2 \rightarrow \infty$, μέτρο ελαστικότητας E_2

Να δοθεί κατά αδρή (αλλά επαρκώς αιτιολογημένη) προσέγγιση η κατανομή με το βάθος της αναπτυσσόμενης $\sigma_z = \sigma_z(z)$, κατά μήκος του άξονα του φορτίου ($x = y = 0$),

(α) εάν $E_1 = 150 \text{ MPa}$ και $E_2 = 10 \text{ MPa}$, και (β) εάν $E_1 = 4 \text{ MPa}$ και $E_2 = 16 \text{ MPa}$.

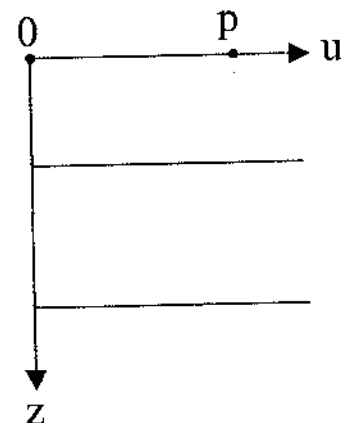
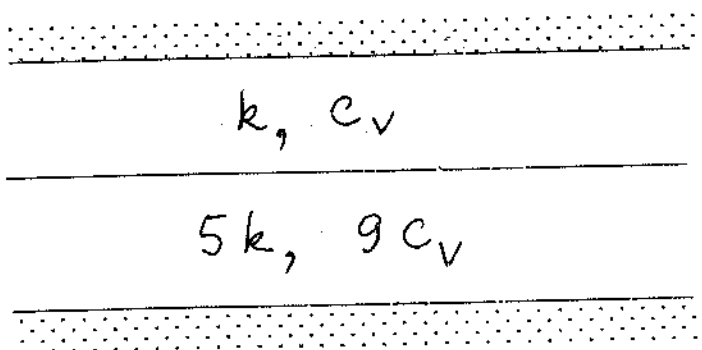
Δίδεται ότι για τον ομοιογενή ημίχωρο, και για βάθη $z > 1.5 b$, ισχύει με καλή προσέγγιση :

$$\sigma_z \approx \frac{4}{\pi} \frac{pb}{z} \quad (\text{Θα δοθεί επίδομα [bonus] σε μια πλήρη αιτιολόγηση.})$$

(7) Εδαφικός σχηματισμός υπό τον Υ.Ο. περιλαμβάνει δύο (κορεσμένες) αργιλικές στρώσεις. Επιβάλλεται ομοιόμορφη φόρτιση με (άπειρης έκτασης) φορτίο p . Να σχεδιασθούν κατά αδρή ποιοτική προσέγγιση οι κατανομές των υδατικών υπερπιέσεων καθ' ύψος των δύο στρώσεων :

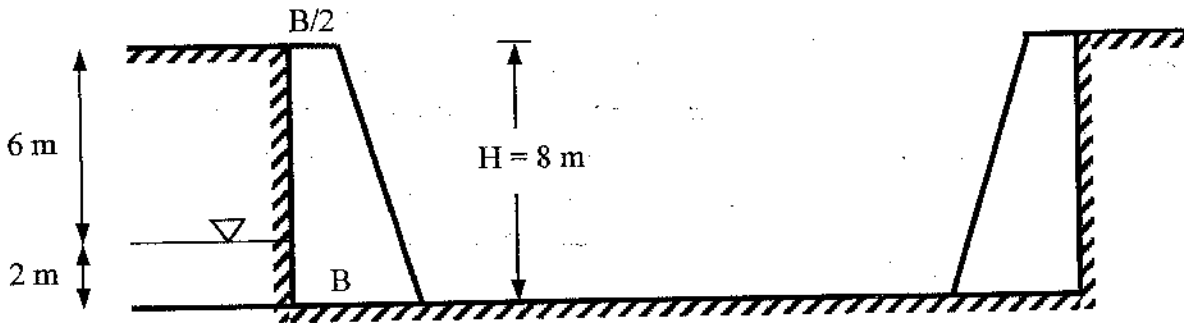
- αμέσως μετά την επιβολή του φορτίου
- σε άπειρο χρόνο μετά την επιβολή του φορτίου
- στην χρονική στιγμή που η στερεοποίηση έχει συντελεσθεί περίπου κατά 50%.

Να δοθούν οι συνοριακές συνθήκες στην διεπιφάνεια των δύο στρώσεων και στην άνω επιφάνεια του σχηματισμού.



ΟΙ ΑΠΑΝΤΗΣΕΙΣ (ενίστε με σχόλια)

- (1) Εστω τοίχος με ύψος π.χ. $H = 8 \text{ m}$ (δύο ή τρία υπόγεια + θεμέλια). Εστω επίσης ένα σχετικώς καλό εδαφικό υλικό με $\varphi = 35^\circ$ και $\gamma = 20 \text{ kN/m}^3$. (Με χειρότερο έδαφος τα πράγματα θα ήταν ακόμη πιο εμφανή, αλλά η ιδέα είναι να δείξουμε ότι ακόμη και για καλό σχετικώς έδαφος, η λύση αυτή, του τοίχου βαρύτητας δηλαδή, δεν ικανοποιεί.)

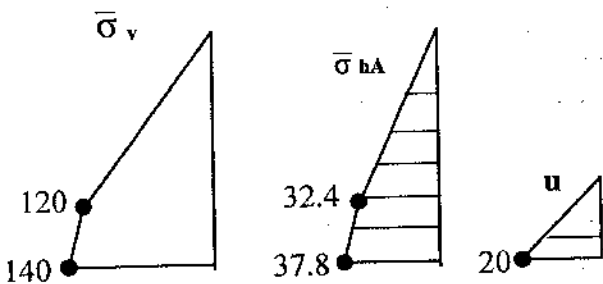


$$K_A = \tan^2(45^\circ - 35^\circ/2) \approx 0.27$$

$$\bar{\sigma}_{hA} = \bar{\sigma}_V K_A$$

Συνισταμένη Ωθηση

$$P \geq P_A = 32.4 \times 6/2 + (32.4 + 37.8) \times 2/2 + 20 \times 2/2 = 97.2 + 70.2 + 20 \approx 187 \text{ kN/m}$$



ΟΛΙΣΘΗΣΗ: Συντελεστής Ασφαλείας: $Y_{ολισθ.} \geq 1.50$ (κάπως συντηρητικά για να ληφθεί έμμεσα υπόψη και μιά μικρή άνωση) \Rightarrow

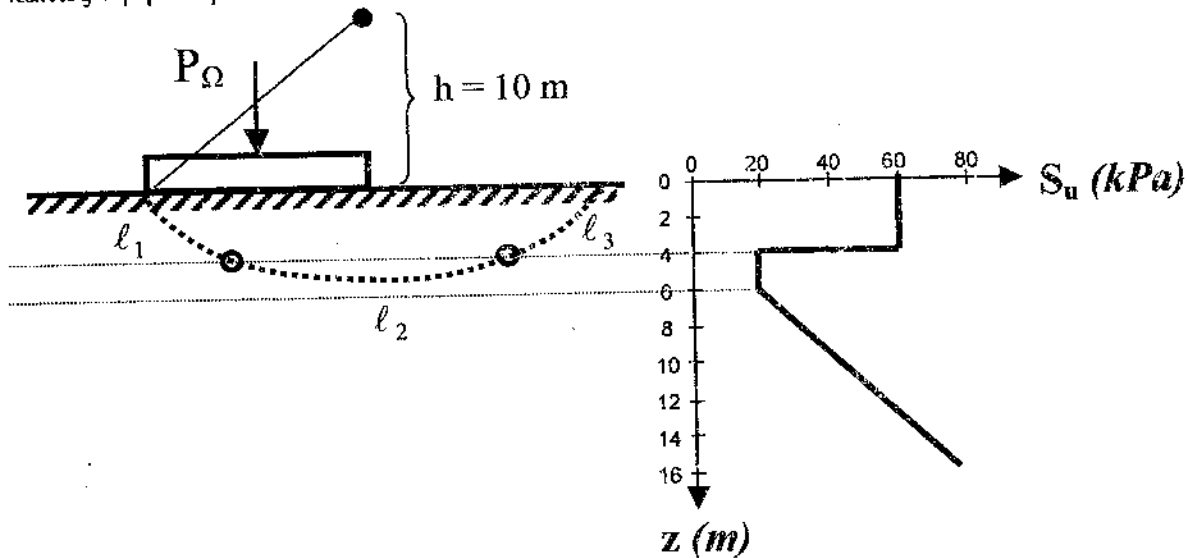
$$(B + B/2) H/2 \gamma_{τοιχ.} \tan \varphi \geq 1.50 P_A$$

$$(25) (0.75) B (8) (\tan 35^\circ) \geq 281 \Rightarrow B \geq 2.70 \text{ m.}$$

Εστω και εάν ο έλεγχος σε ανατροπή δεν δώσει ακόμη μεγαλύτερο B , με $B \approx 2.70 \text{ m}$ έχουμε πολύ μεγάλη απώλεια χώρου, ιδίως εάν σκεφτούμε ότι υπάρχει κι άλλος τέτοιος τοίχος στην απέναντι πλευρά (σύνολο πλάτους 5.40 m).

[Ένας εγκιβωτισμένος πασσαλότοιχος θα μπορούσε να σταθεί με 0.80 m μόνον ...].—

- (2) Επιλέγουμε τέτοιον κύκλο, ώστε μεγάλο μέρος του να περιέχεται στο μαλακότερο στρώμα \Rightarrow κάπως υψηλότερο το Ω απ' ότι σε ομοιογενές έδαφος.



Π.χ., σε ύψος $h = 10 \text{ m} \therefore$

$$R = \sqrt{10^2 + 12^2} \approx 15.6 \text{ m}.$$

Χωρίζω το τμήμα της περιφέρειας του κύκλου σε τρία τόξα :

$$l_1 = l_3 \approx 7.5 \text{ m}, \quad l_2 \approx 12 \text{ m} \quad (\text{από το υπό κλίμακα σχέδιο}).$$

$$P_{\Omega} (B/2) = 2 S_{u1} l_1 R + S_{u2} l_2 R \therefore$$

$$P_{\Omega} \frac{1}{2} (12) = (60) (8) (15.6) \times 2 + (20) (12) (15.6) = 18720 \therefore$$

$$P_{\Omega} = 3120 \text{ kN/m}$$

Ο πιθανώς πιο κρίσιμος κύκλος μόλις εφάπτεται στην οριζόντια γραμμή $z = 6 \text{ m}$. Διότι έτσι, και μεγιστοποιείται το μήκος του τόξου εντός της μαλακής ζώνης, και μικραίνει (σε σύγκριση με τον εξετασθέντα κύκλο) ο μοχλοβραχίονας R . (Το διεθνές σύμβολο \therefore σημαίνει *συνεπάγεται*).

(3) Τελική (συνολική) καθίζηση :

$$\delta_{\infty} = \frac{190}{5000} \times 6 = 0.228 \text{ m} \approx 23 \text{ cm}$$

⇒ πραγματοποιηθείσα καθίζηση

$$\delta_t = \delta_{\infty} - 9 \text{ cm} = 23 - 9 = 14 \text{ cm}$$

$$\Rightarrow \bar{U} = 14/23 \approx 0.60$$

Ευρίσκω το T_v με γραμμική παρεμβολή μεταξύ :

$$\left(\bar{U} = 0.50 \Rightarrow T_v = 0.20 \right) \text{ και } \left(\bar{U} = 0.80 \Rightarrow T_v = 0.50 \right) \quad [\text{αρκεί και με το μάτι !}] :$$

$$\bar{U} = 0.60 \Rightarrow T_v \approx 0.30 = 5t/6^2 \Rightarrow t \approx 2.16 \text{ \acute{e}\tau\eta} \quad (\text{προφανώς } H_d = H = 6 \text{ m}).$$

(4) Η διαφορά θερμοκρασίας ΔT θα προκαλέσει ροή θερμότητας μέσ' το "δοκίμιο" (δηλαδή στο νερό του κάθε δοχείου) προς την άνω επιφάνεια, ακριβώς όπως η διαφορά πιέσεων πόρων Δu προκαλεί ροή ύδατος από το δοκίμιο (έδαφος εντός συμπιεσομέτρου) προς την άνω επιφάνεια. Οι διαφορικές εξισώσεις που διέπουν τα δύο φαινόμενα είναι ίδιες [με $T \Leftrightarrow u$]. Λόγω του αδιαπέρατου των δοχείων η ροή θερμότητας είναι μόνον κατακόρυφη προς τα πάνω, δηλαδή μονοδιάστατη — όπως ακριβώς και η ροή ύδατος κατά την στερεοποίηση δοκίμιου σε δοχείο με λεία τοιχώματα ! Στην μονοδιάστατη στερεοποίηση η μόνη γεωμετρική παράμετρος που καθορίζει την χρονική εξέλιξη του φαινομένου είναι το ύψος H . Παραδείγματος χάριν, $t_c \approx H^2/c_v$.

Καθόλου μα καθόλου δέν υπεισέρχεται η επιφάνεια $A (= \pi D^2/4)$!! Μόνον το ύψος, και μάλιστα στο τετράγωνο. ⇒ Θα κρυώσει πρώτα αυτό με το χαμηλότερο H , ασχέτως επιφανείας και ποσότητας !(κ.ο.κ.)

[Το πόση θερμότητα θα μεταδοθεί στον περιβάλλοντα αέρα δεν ενδιαφέρει καθόλου στην συγκεκριμένη ερώτηση — μάς νοιάζει απλώς να επιλέξουμε από πού θα πιούμε το ... τσάι μας όσο γίνεται πιο γρήγορα. Ακριβώς όπως και στην στερεοποίηση στην φύση, όπου το τελευταίο πράγμα που θα μάς ενδιέφερε είναι η αύξηση της ... υγρασίας στην περιοχή του έργου — το ενδιαφέρον μας περιορίζεται στο πόσο γρήγορα θα ολοκληρωθεί η καθίζηση ως αποτέλεσμα της «διαφυγής» (αποτόνωσης) των υδατικών υπερπίεσεων.]

(5) (α), (β),... [Βαθμολογία 12 / 20 %]

(γ) Οριακή ισορροπία του πρίσματος $AB\Gamma_1$. Ενεργούν οι εξής δυνάμεις : (γεωμετρία : διαβάζω με την κλίμακα του σχεδίου, εξού και το σύμβολο \approx των ακολούθων υπολογισμών)

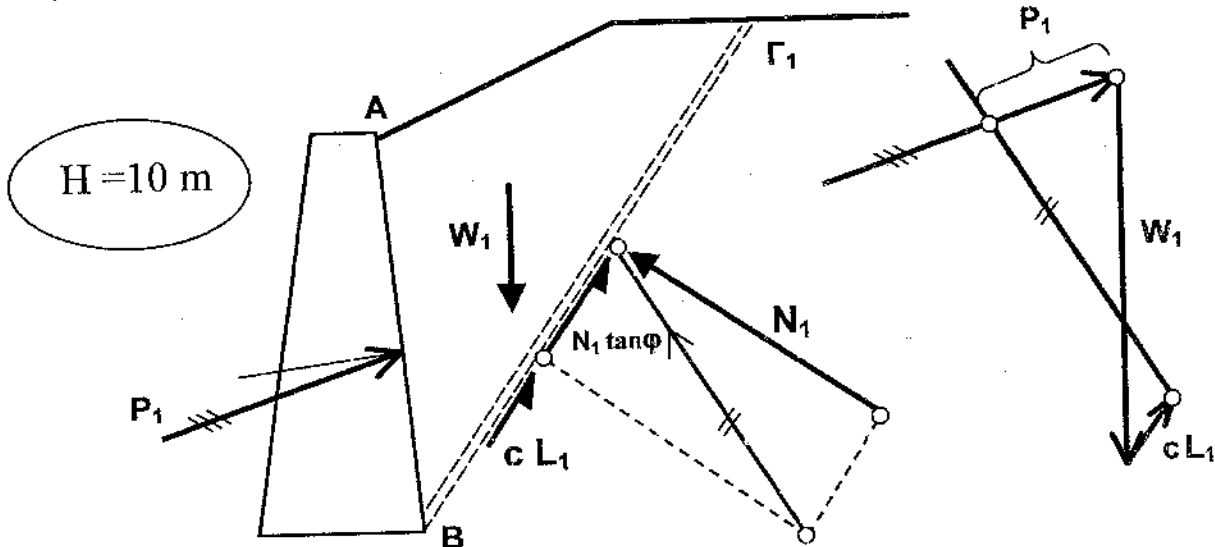
- βάρος $W = \gamma (AB\Gamma_1) \approx (20) [(12.5 \times (10) - (2.5 \times 6.6))] \frac{1}{2} = 1085 \text{ kN/m}$
- η άγνωστη P_1 (υπό-γωνίαν 15° υπό την κάθετη στην παρειά AB)
- η άγνωστη N_1 ορθή δύναμη στην $B\Gamma_1$
- η άγνωστη συνιστώσα $N_1 \tan\phi$ της τριβής στην $B\Gamma_1$, που δρά φυσικά *επί* της $B\Gamma_1$
- η γνωστή συνιστώσα της συνοχής στην $B\Gamma_1$: $cL_1 = 5 \times (B\Gamma_1) \approx 5 \times 15 = 75 \text{ kPa}$, που δρά *επί* της $B\Gamma_1$ και προς τα πάνω

▪ **ΙΣΟΡΡΟΠΙΑ:** $\Sigma X = 0$, $\Sigma Y = 0$: δύο γραμμικές εξισώσεις με δύο αγνώστους, N_1 , P_1 .

(Οι γωνίες που χρειάζονται για τις προβολές διαβάζονται κι αυτές με μοιρογνωμόνιο!)

[Χωρίς καμία άλλη πράξη, ο βαθμός που παίρνετε είναι 6 / 8%].

▪ **ΕΝΑΛΛΑΚΤΙΚΗ ΜΕΘΟΔΟΣ** (γραφική - το δυναμοπολύγωνο).



(6) Αρχικά ξεκινούμε απ' την κατανομή των τάσεων σε ομοιογενή ημίχωρο (E_1 / E_2):

- για $z = 0$, $\sigma_z = \sigma_{z(1)} = p = 100 \text{ kPa}$

- για $z = 5 \text{ b} = 10 \text{ m}$, $\sigma_{z(1)} \approx \frac{4}{\pi} \frac{pb}{z} \cong 25.5 \text{ kPa} \approx 0.25 p$

(a) $E_1 / E_2 = 150 / 10 = 15$

Για $E_1 / E_2 = \infty$, στο $z = 10 \text{ m}$: $\sigma_{z(\infty)} = 0$

Προφανώς

$$\sigma_{z(\infty)} < \sigma_{z(15)} < \sigma_{z(1)}$$

$$0 < \sigma_{z(15)} < 0.25 p$$

Εύλογη υπόθεση: $\sigma_{z(15)} \approx 0.10 p$

(Η αδρή σχεδίαση της όλης κατανομής $\sigma_{z(15)}(z)$ είναι ευχερής.)

(b) $E_1 / E_2 = 4 / 16 = 0.25$

Για $E_1 / E_2 = 0$, στο $z = 10 \text{ m}$: $\sigma_{z(0)} = p$

Και το δεύτερο στρώμα δρά ως ομοιογενής ημίχωρος με φόρτιση p επί λωριδοειδούς επιφανείας

πλάτους 2 b . (Βλ. σχέση $\sigma_z \approx \frac{4}{\pi} \frac{pb}{z} \cong 25.5 \text{ kPa}$)

Προφανώς:

$$\sigma_{z(1)} < \sigma_{z(0.25)} < \sigma_{z(0)}$$

$$0.25 < \sigma_{z(0.25)} < p$$

Χονδροειδής εκτίμηση: $\sigma_{z(0.25)} \approx 0.70 p$.

(Η αδρή σχεδίαση της όλης κατανομής $\sigma_{z(0.25)}(z)$ είναι ευχερής.)

(7) - Οι ευθείες $t = 0$ και $t = \infty$ είναι προφανείς [Βαθμός 10 / 20].

- Για $t_{50\%}$: Εάν τα δύο στρώματα είχαν ακριβώς ίδιες ιδιότητες, τότε το ότι $\bar{U} = 50\%$ σημαίνει ότι οι υπερπτήσεις θα ήταν περίπου ημιτονοειδώς κατανεμημένες με το βάθος (από το 0 έως $2H$), έτσι ώστε το περικλειόμενο εμβαδόν $E(t)$ να είναι το $\frac{1}{2}$ του συνολικού εμβαδού ($E = p2H$) (Θυμηθείτε τα διαγράμματα $\Delta U(z/H, T)$ της θεωρίας.)

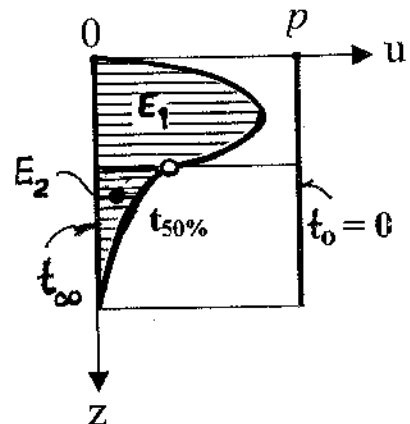
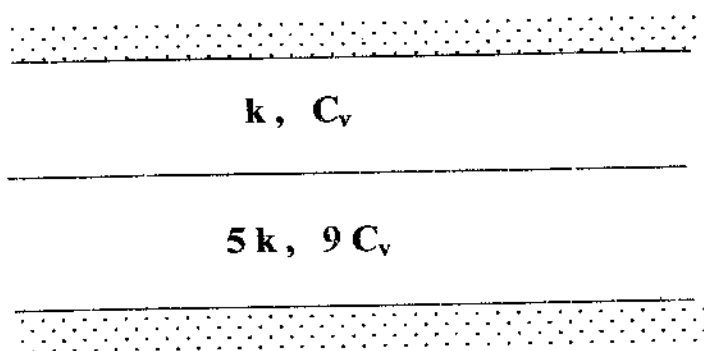
Τώρα όμως, η στράγγιση του στρώματος B είναι 9 φορές ταχύτερη από του A. Στο σύνορο η πίεση πόρων είναι "κοινή" $u_A = u_B$ και η ταχύτητα ροής επίσης "κοινή" $V_A = V_B$; [άρα κατά

$$\text{Darcy } k \frac{\partial u_A}{\partial z} = 5k \frac{\partial u_B}{\partial z}] .$$

\Rightarrow Εμβαδόν $E_1 \gg$ εμβαδού E_2 λόγω ταχύτερης στερεοποίησης του στρώματος B :

$$E_1/E_2 \approx C_{v2}/C_{v1} \approx 9, \text{ [ενώ } E_1 + E_2 = (0.50) E = (0.50) p2H] :$$

Άρα, βλέπε σχήμα (αδρή προσέγγιση): [Βαθμός 10/20].



ΕΔΑΦΟΜΗΧΑΝΙΚΗ ΙΙ — ΠΡΟΟΔΟΣ — Μάιος 2003
Διάρκεια 55 λεπτά — Βιβλία & Σημειώσεις ΚΛΕΙΣΤΑ

Όνοματεπώνυμο Σπουδαστή :

Βαθμολογία: όλα τα θέματα 25% ΑΘΡΟΙΣΜΑ 125 %.

Απαντήστε σε όσα περισσότερα θέματα μπορείτε.

1. Να σχεδιασθούν εντελώς σκαριφηματικά οι ακόλουθοι τοίχοι :
- συμπαγής τοίχος βαρύτητας
 - εύκαμπτος πασσαλότοιχος
 - τοίχος υπογείου αντιστηριζόμενος με δύο πλάκες
 - πασσαλότοιχος με αντηρίδες

Ποια είναι τα διαγράμματα εδαφικών ωθήσεων που θα αναπτυχθούν στους ανωτέρω τοίχους εάν αντιστηρίζουν στεγνή άμμο με $\varphi = 30^\circ$

2. Να ελεγχθεί η ευστάθεια έναντι περιστροφής και ολισθήσεως ενός ορθογωνικού κρηπιδοτόιχου από σκυρόδεμα, διαστάσεων $H = 10 \text{ m}$, και $B = 5 \text{ m}$. Δίδονται :
- Το εδαφικό υλικό είναι παντού άμμος με $\varphi = 35^\circ$ και $\gamma = 20 \text{ kN/m}^3$.
 - Η στάθμη της θάλασσας θεωρείται ότι βρίσκεται στην επιφάνεια του αντιστηριζόμενου εδάφους και της κορυφής του τοίχου.

Ο τοίχος κατασκευάζεται κυψελωτός με ειδικό βάρος $\gamma = 20 \text{ kN/m}^3$. Να αγνοηθεί η συνάφεια μεταξύ της κατακόρυφης παρειάς του τοίχου και του εδάφους.

3. **Πείραμα "Rankine"** : Εδαφικό στοιχείο σε βάθος $z = 4 \text{ m}$ σε επαφή με τον λείο τοίχο υποβάλλεται σε μετακίνηση **προς τα μέσα** στην διεύθυνση x . Η μετακίνηση αυτή αντιστοιχεί σε παραμόρφωση 10^{-3} (κατ' απόλυτη τιμή).

(α) Να υπολογισθούν οι μεταβολές $\Delta\sigma_x$, $\Delta\sigma_y$, $\Delta\sigma_z$ που επέρχονται στις τάσεις σ_x , σ_y , σ_z , και η κατακόρυφη παραμόρφωση ε_z . Δίδονται $E = 50 \text{ MPa}$, $\nu = 0.40$, $\rho = 2 \text{ Mg/m}^3$, $\varphi = 40^\circ$.

(β) Να υπολογισθούν οι συνολικές τάσεις σ_x , σ_y , σ_z .

(γ) Εάν η παραμόρφωση προς τα έξω γίνει ίση με 0.3 (30%), ποια είναι η τάση σ_x ;

4. Σε έναν ομοιογενή ελαστικό ημίχωρο (E, ν) επιβάλλεται **λωριδωτό φορτίο p** επί πλάτους $2b$, κατά μήκος του άξονα x . (Ο άξονας y είναι οριζόντιος, κάθετος στον x και ο z κατακόρυφος.) Ποιές από τις αναπτυσσόμενες τάσεις $\sigma_x, \sigma_y, \sigma_z, \tau_{xy}, \tau_{yz}, \tau_{xz}$ μπορείτε να υπολογίσετε (ή να εκτιμήσετε προσεγγιστικά, χωρίς βεβαίως να θυμάστε τύπους) για τα ακόλουθα 3 σημεία (A, B, Γ, που δίδονται με τις συντεταγμένες τους) :

$$\text{Σημείο A : } x_A = 0, \quad y_A = 0, \quad z_A = b/4$$

$$\text{Σημείο B : } x_B = 0, \quad y_B = 0, \quad z_B = 12b$$

$$\text{Σημείο Γ : } x_\Gamma = 0, \quad y_\Gamma = 1.5b, \quad z_\Gamma = 0$$

Να δοθούν σκαριφηματικά τα 3 σημεία με τις αντίστοιχες τάσεις. Εξήγηση σε "μιά γραμμή" για την κάθε τάση. (Προσοχή, δεν είναι απαραίτητο να μπορεί να υπολογισθούν με ποσοτική ακρίβεια όλες αυτές οι τάσεις!) Αρκεί ακρίβεια 20 %.

5. Αναζητείται η "ενεργητική ώθηση" με την μέθοδο Coulomb, για τον τοίχο του σχήματος (παρειά AB). Εάν ο τοίχος θεωρηθεί λείος και η γωνία διατμητικής αντοχής του αντιστηριζομένου εδαφικού υλικού είναι $\phi = 30^\circ$, ζητείται η ανάλυση ενός δοκιμαστικού πρίσματος (της δικής σας επιλογής). Ποιά η τιμή της "ώθησης" για το πρίσμα αυτό ; Πώς (εάν ο χρόνος σας δεν ήταν περιορισμένος) θα υπολογίζατε την **ενεργητική ώθηση** ; (αδρή περιγραφή).

F

ΕΛΛΑΦΟΜΗΧΑΝΙΚΗ ΙΙ — ΠΡΟΟΔΟΣ — Μάιος 2004

Διάρκεια 1 ώρα. Βιβλία & Σημειώσεις ΚΛΕΙΣΤΑ

Σύνολο Βαθμολογίας $5 \times 25\% = 125\%$

Όνοματεπώνυμο Σπουδαστή :

Απαντήστε σε όσα περισσότερα θέματα μπορείτε.

(1) Κυκλικό φορτίο $p = 100 \text{ kPa}$ ακτίνας $R = 5 \text{ m}$ επιβάλλεται στην επιφάνεια **δίστροτου** ημίσφαιρου :

Στρώμα 1 : πάχος $H_1 = 10 \text{ m}$ και μέτρο ελαστικότητας E_1

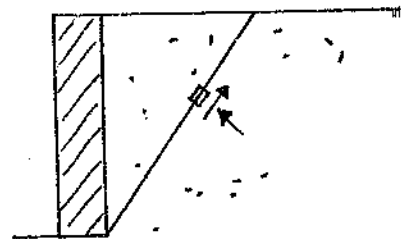
Στρώμα 2 : πάχος $H_2 \rightarrow \infty$ και μέτρο ελαστικότητας E_2

Να δοθούν κατά αδρή (αλλά επαρκώς αιτιολογημένη) προσέγγιση :

(α) η κατανομή με το βάθος της αναπτυσσόμενης ορθής κατακόρυφης τάσης $\sigma_z = \sigma_z(z)$, κατά μήκος του άξονα του φορτίου ($x = y = 0$), και

(β) οι κατανομές των τάσεων : τ_{rz} , $\tau_{\theta\theta}$ και σ_r , επίσης κατά μήκος του άξονα. (Αρκεί μία χονδροειδής [εύλογη όμως] προσέγγιση για μία από τις τρεις αυτές τάσεις.) Δίδονται : $E_1 = 150 \text{ MPa}$ και $E_2 = 20 \text{ MPa}$. Δίδεται επίσης ότι για τον ομοιογενή ημίσφαιρο, και για βάθη $z > R$, ισχύει με καλή προσέγγιση ότι : $\sigma_z \approx 1.5 p (R/z)^2$ (θα δοθεί επίδομα [bonus] σε μια πλήρη αιτιολόγηση.)

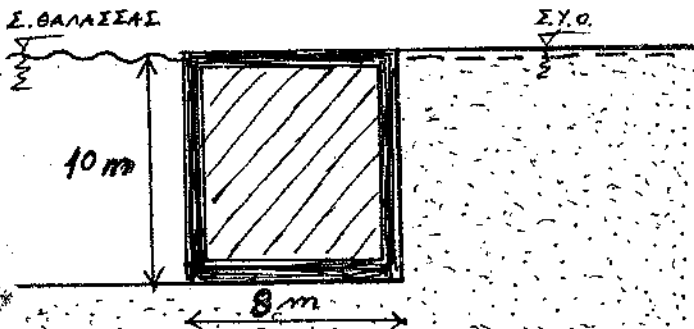
(2) Στο αντιστηριζόμενο από έναν τοίχο έδαφος **ζητείται να συγκριθούν** οι τάσεις τ και σ_n σε τυχόν σημείο επί του επιπέδου ($45^\circ + \phi/2$) σε δύο καταστάσεις : (α) ο τοίχος είναι αμετακίνητος, και (β) ο τοίχος μετακινείται αρκετά προς τα έξω. Σε **ποιά** από τις δύο καταστάσεις είναι μεγαλύτερος ο λόγος



τ/σ_n ; Δίδονται $K_0 = 1$ και $\phi = 30^\circ$

(3) Να ελεγχθεί η ευστάθεια (έναντι ολισθήσεως και ανατροπής) του λιμενικού κυψελωτού κρηπιδοτοιχίου ΑΒΓΔ του σχήματος. Το συνολικό ειδικό βάρος κυψελωτού τοίχου και υλικού πληρώσεως είναι $\gamma_t = 18 \text{ kN/m}^3$.

(α) Η στάθμη της θάλασσας θεωρείται για απλοποίηση ότι βρίσκεται στην επιφάνεια (καί από τις δύο πλευρές του τοίχου). Το έδαφος (αντιστηριζόμενο και εδράσεως)



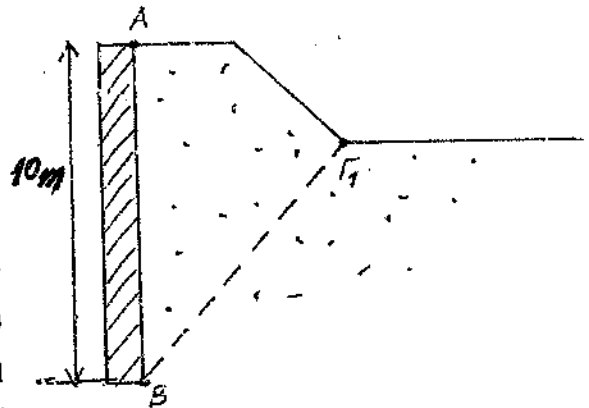
F

είναι αμμοχάλικο με $\gamma = 20 \text{ kN/m}^3$ και $\phi = 30^\circ$. Για την κατακόρυφη παρειά να ληφθεί $\delta = 6^\circ$.

(β) Εάν η στάθμη της θάλασσας κατέβει (π.χ. λόγω άμπωτης) κάτω από την βάση του τοίχου, πώς θα επηρεασθεί η ευστάθεια του τοίχου ;

(4) (α) Ποιές είναι οι θεμελιώδεις παραδοχές της μεθόδου Coulomb για την εξεύρεση της ενεργητικής ώθησης επί τοίχου βαρύτητας ; (Να είστε συνοπτικοί και ακριβείς)

(β) Εφαρμογή : Ανάλυση ενός μόνον τυχόντος δοκιμαστικού πρίσματος του ABF_1 , με την μέθοδο Coulomb. Πόση είναι η (δοκιμαστική) τιμή της "ώθησης" P_1 ; Ποιά η πιθανή σχέση της με την ενεργητική ώθηση ; [Το σχήμα είναι υπό κλίμακα]



(5) (i) Να δοθεί με ενδεικτική (ποιοτική μόνον) ακρίβεια το διάγραμμα οριζόντιας τάσης σ_x προς την επιβαλλόμενη οριζόντια ανηγμένη παραμόρφωση $\pm \epsilon_x$ στεγνού εδαφικού δοκιμίου άμμου το οποίο υποβάλλεται σε εγκάρσια επιπόνηση με $\sigma_y = \text{σταθερό} = 50 \text{ kPa}$ (ενώ $\tau_{xy} = \tau_{yz} = \tau_{zx} = 0$, $\epsilon_y = 0$). Το ϵ_x μεταβάλλεται από 0 σε $+\infty$ και από 0 σε $-\infty$.

(ii) Εάν για μία μικρή τιμή της παραμόρφωσης, $\epsilon_x = -10^{-3}$ (πρός τα έξω δηλαδή), το έδαφος απoκρίνεται ως γραμμικώς ελαστικό υλικό με $E = 20.000 \text{ kPa}$ και $\nu = 0.40$ ζητούνται η μεταβολή στις οριζόντιες τάσεις, $\Delta\sigma_x$ και $\Delta\sigma_y$, υπό σταθερή κατακόρυφη τάση $\sigma_{z0} = 50 \text{ kPa}$ και συνθήκες επίπεδης παραμόρφωσης.

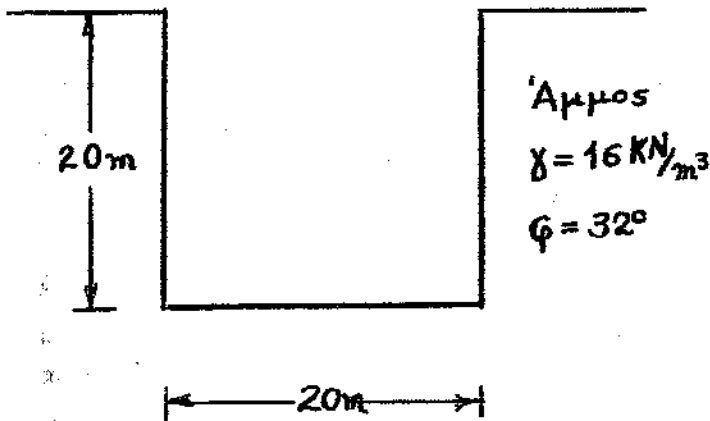
ΔΙΑΓΩΝΙΣΜΑ ΕΔΑΦΟΜΗΧΑΝΙΚΗΣ ΙΙ

25 Ιουνίου 2004

Διάρκεια 1 ώρα & 45 λεπτά Βιβλία & Σημειώσεις ΚΛΕΙΣΤΑ

Όνοματεπώνυμο Σπουδαστή :

1)

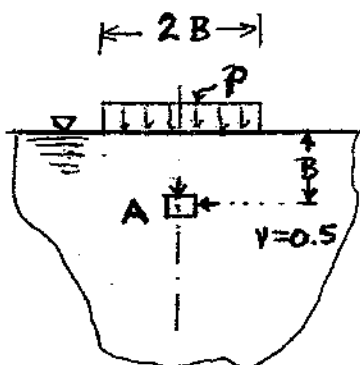
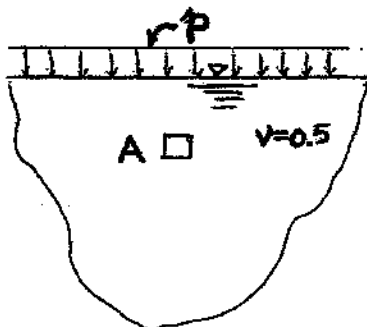


Θέλοντας να αντιστηρίξουμε μια εκσκαφή σε κατοικημένη περιοχή βάθους 20 m , κατασκευάζουμε έναν ορθογωνικό τοίχο βαρύτητας ($B \times H$):

(α) Να υπολογισθεί το πλάτος B του τοίχου;

(β) Κρίνετε εφαρμόσιμη την προκύπτουσα λύση; (Να δοθούν εναλλακτικές λύσεις)

2)

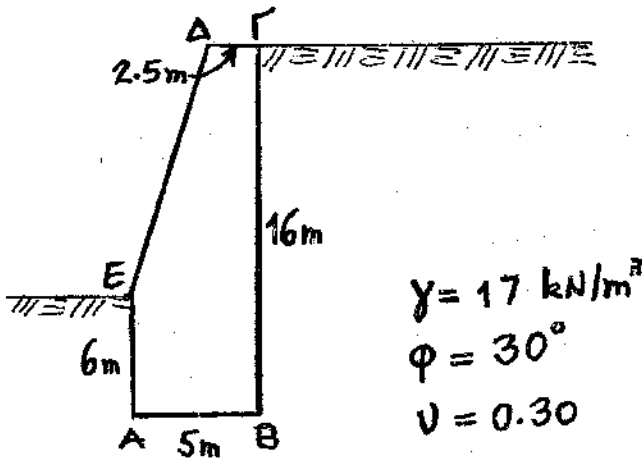


Δίνονται παραπλεύρως οι δύο περιπτώσεις φόρτισης ελαστικού ομοιογενούς ημιάβιου με τον υδροφόρο ορίζοντα στην επιφάνεια του εδάφους :

(α) Να δοθεί με σκαρίφημα η καθίζηση της ελεύθερης επιφάνειας του εδάφους στις δύο περιπτώσεις (αμέσως μετά την επιβολή του φορτίου).

(β) Ποιά είναι κατά αδρή προσέγγιση η εντατική κατάσταση του εδαφικού στοιχείου A σε βάθος $z = B$ (αμέσως μετά την επιβολή του φορτίου) ;

3)



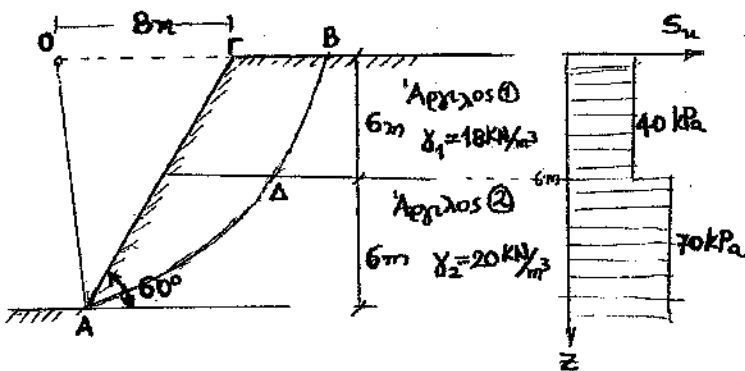
Να σχεδιασθούν σε αδρή ποιοτική προσέγγιση οι δυνάμεις που ασκούνται επί του τοίχου όταν αυτός:

(α) Είναι αμετακίνητος

(β) Μετακινείται προς τα έξω με οριζόντια παραμόρφωση $\epsilon_{ha} = 1\%$

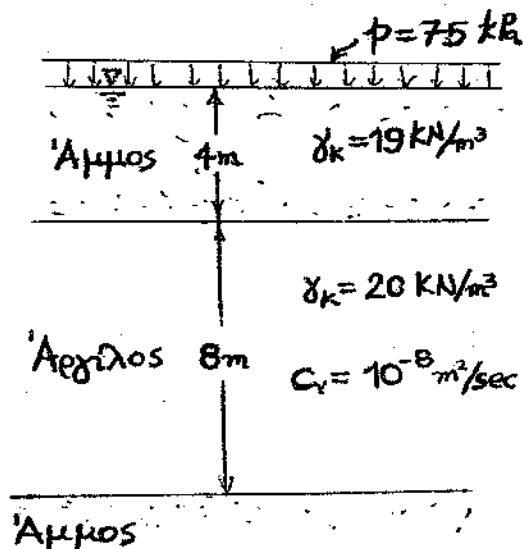
Η οριζόντια διατμητική δράση στην βάση του τοίχου AB είναι η ίδια στις δύο περιπτώσεις ή όχι και γιατί;

4)



Για το πρηνές του σχήματος και για την συγκεκριμένη κυλινδρική ("κυκλική") επιφάνεια ολίσθησης να υπολογίσετε το συντελεστή ασφαλείας έναντι του κινδύνου ολίσθησης. (Κάνετε τις δέουσες προσεγγίσεις για κέντρα βάρους και μήκη τόξων.)

5)



Για τον εδαφικό σχηματισμό του σχήματος να υπολογίσετε την κατανομή των ενεργών τάσεων

(α) αμέσως μετά την επιβολή του φορτίου

(β) μετά το τέλος της στερεοποίησης

(γ) 4 μήνες μετά την επιβολή του φορτίου (προσεγγιστική κατανομή για το αργιλικό στρώμα θα θεωρηθεί επαρκής)

$$[Tv = c_v t / H^2, \quad c_v = kD / \gamma_w]$$



ΕΔΑΦΟΜΗΧΑΝΙΚΗ ΙΙ—ΠΡΟΟΔΟΣ—Μάρτιος 2005

Διάρκεια 1 ώρα. Βιβλία & Σημειώσεις ΚΛΕΙΣΤΑ

Όνοματεπώνυμο Σπουδαστή :

Βαθμολογία: όλα τα θέματα 20% ΑΘΡΟΙΣΜΑ 120 %.

Απαντήστε σε όσα περισσότερα θέματα μπορείτε.

- (1) Σε έναν ομοιογενή ημίχωρο (E, ν) επιβάλλεται λωριδωτό φορτίο p επί πλάτους $2b$, κατά μήκος του άξονα x . (Ο άξονας y είναι οριζόντιος, κάθετος στον x , και ο z κατακόρυφος.) Ποιές από τις αναπτυσσόμενες τάσεις $\Delta\sigma_x$, $\Delta\sigma_y$, $\Delta\sigma_z$, $\Delta\tau_{xy}$, $\Delta\tau_{yz}$, $\Delta\tau_{xz}$ μπορείτε να υπολογίσετε (ή να εκτιμήσετε εντελώς χονδροειδώς [τάξη μεγέθους] χωρίς βεβαίως να θυμάστε τύπους) για τα ακόλουθα 3 σημεία (A, B, Γ που δίδονται με τις συντεταγμένες τους) :

$$\text{Σημείο A : } x_A = 0, \quad y_A = 0, \quad z_A = b/4$$

$$\text{Σημείο B : } x_B = 0, \quad y_B = 0, \quad z_B = 12b$$

$$\text{Σημείο Γ : } x_\Gamma = 0, \quad y_\Gamma = 1.5b, \quad z_\Gamma = 0$$

Σχεδιάστε τα 3 "στοιχεία" A, B, Γ, με τις αντίστοιχες τάσεις τους. Εξήγηση σε "μιά γραμμή" για την κάθε τάση. Αρκεί ακρίβεια $\pm 25\%$.

- (2) Κυκλικό φορτίο $p = 200 \text{ kPa}$ ακτίνας $R = 6 \text{ m}$ επιβάλλεται στην επιφάνεια δίστρωτου ημιχώρου :

Στρώμα 1 : πάχος $H_1 = 4 \text{ m}$, μέτρο ελαστικότητας, $E_1 = 400 \text{ MPa}$

Στρώμα 2 : πάχος H_2 πολύ μεγάλο, μέτρο ελαστικότητας, $E_2 = 20 \text{ MPa}$

Να δοθεί κατά αδρή (αλλά επαρκώς αιτιολογημένη) προσέγγιση η κατανομή με το βάθος της αναπτυσσόμενης $\sigma_z = \sigma_z(z)$, κατά μήκος του άξονα του φορτίου ($x = y = 0$).

Δίδεται ότι για τον ομοιογενή ημίχωρο, ισχύει με καλή προσέγγιση η σχέση

$$\sigma_z / p = 1 - \left\{ 1 + \left(\frac{R}{z} \right)^2 \right\}^{-3/2}$$

- (3) **Αναζήτηση της ενεργητικής ώθησης κατά Coulomb** : Το αντιστηριζόμενο έδαφος είναι οριζόντιο, και αποτελείται από στεγνή άμμο με $\varphi = 30^\circ$. Ο τοίχος είναι κατακόρυφος και λείος, ύψους $H = 10 \text{ m}$. Θεωρούνται διάφορα δοκιμαστικά πρίσματα. Ζητείται η γραφική παράσταση $P_i = P_i(\theta_i)$, όπου P_i = η δύναμη στο τυχόν δοκιμαστικό πρίσμα i (υποψήφια ενεργητική δύναμη) του οποίου η επιφάνεια ολισθήσεως σχηματίζει γωνία θ_i με την οριζοντία. (Τουλάχιστον 3 σημεία του διαγράμματος μπορούν να υπολογισθούν ακριβώς .)
- (4) Να ελεγχθεί η ευστάθεια έναντι ολισθήσεως ενός τριγωνικού τοίχου βαρύτητας από άοπλο σκυρόδεμα, διαστάσεων $H = 8 \text{ m}$, $B = 4 \text{ m}$. Το αντιστηριζόμενο εδαφικό υλικό και το έδαφος δράσεως είναι στεγνή άμμος με $\varphi = 30^\circ$
- Επιλέξτε μόνοι σας λογικές τιμές για τα ειδικά βάρη των υλικών. Ο τοίχος κατασκευάζεται ως έγχυτο σκυρόδεμα. Να αγνοηθεί η συνάφεια μεταξύ της κατακόρυφης παρειάς του τοίχου και του εδάφους.
- (5) Να σχεδιασθούν σκαριφηματικά οι ακόλουθοι τοίχοι :
- i) συμπαγής τοίχος βαρύτητας
 - ii) εύκαμπτος πασσαλότοιχος
 - iii) αντιρηδωτός τοίχος.
 - iv) τοίχος υπογείου δύο ορόφων
 - v) Να σχολιασθεί η ενδεχόμενη διαφοροποίηση των εδαφικών οριζοντίων δράσεων επί των ανωτέρω 3 τύπων τοίχων.
- (6) Για την διαδικασία εύρεσης της ενεργητικής ώθησης με την μέθοδο Coulomb (κατακόρυφη και λεία παρειά του τοίχου προς το έδαφος) να αναλύσετε ένα μόνον δοκιμαστικό πρίσμα (της δικής σας επιλογής). Ποια η τιμή P της "ώθησης" για το πρίσμα αυτό ; Πως συγκρίνεται η τιμή αυτή (P) με την πραγματική ώθηση (P_A), και γιατί ;

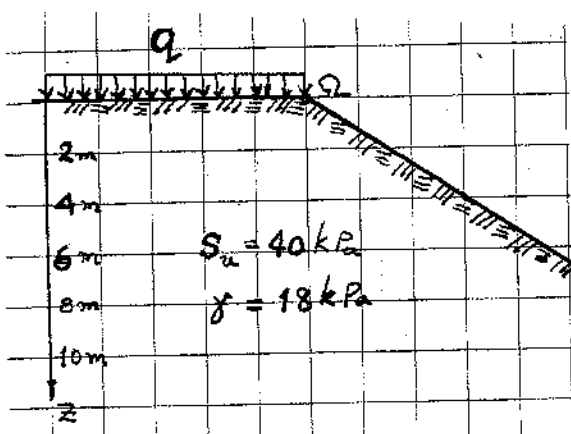
ΕΔΑΦΟΜΗΧΑΝΙΚΗ ΙΙ—ΔΕΥΤΕΡΗ ΠΡΟΟΔΟΣ—Μάιος 2005

Διάρκεια 45 Λεπτά. ΒΙΒΛΙΑ & ΣΗΜΕΙΩΣΕΙΣ ΚΛΕΙΣΤΑ

Όνοματεπώνυμο Σπουδαστή :

Βαθμολογία : Κάθε Θέμα 35%

1. Για το πρανές του σχήματος υπολογίστε το φορτίο q ούτως ώστε ο συντελεστής ασφαλείας έναντι ολισθήσεως σε "κυκλική" επιφάνεια ακτίνας 10 m με κέντρο το Ω να είναι ίσος με 1. (Χρησιμοποιείτε εύλογες τιμές όσων τυχόν παραμέτρων δεν δίνονται.)
2. Για κατακόρυφο πρανές ύψους H αργίλου με σταθερή (ανεξάρτητη του βάθους) αστράγγιστη διατμητική αντοχή S_u να ευρεθεί ο συντελεστής ασφαλείας έναντι ολισθήσεως : (α) σε "κυκλική επιφάνεια με κέντρο την κορυφή του πρανούς Ω και ακτίνα ίση με το ύψος, και (β) σε "επίπεδη" επιφάνεια με κλίση 45° . Να συγκριθούν τα δύο αποτελέσματα :
3. (α) Να αποδείξετε ότι σε συνθήκες Rankine κατά την ενεργητική κατάσταση τα επίπεδα αστοχίας των εδαφικών στοιχείων σχηματίζουν γωνία $45^\circ + \phi/2$ με την οριζόντια, ενώ κατά την παθητική κατάσταση γωνία $45^\circ - \phi/2$.
(β) Γιατί για την ανάπτυξη ενεργητικής ώθησης απαιτούνται πολύ μικρότερες παραμορφώσεις απ' ότι για την ανάπτυξη της παθητικής ;
(γ) Ποιά είναι η θεμελιώδης δυσκολία στην ανάλυση της ευστάθειας ενός εδαφικού πρανούς με κυκλική επιφάνεια ολισθήσεως ; . Γιατί η δυσχέρεια αυτή δεν υπάρχει με την θεώρηση επίπεδης επιφάνειας ολισθήσεως ;



Θέμα 1.

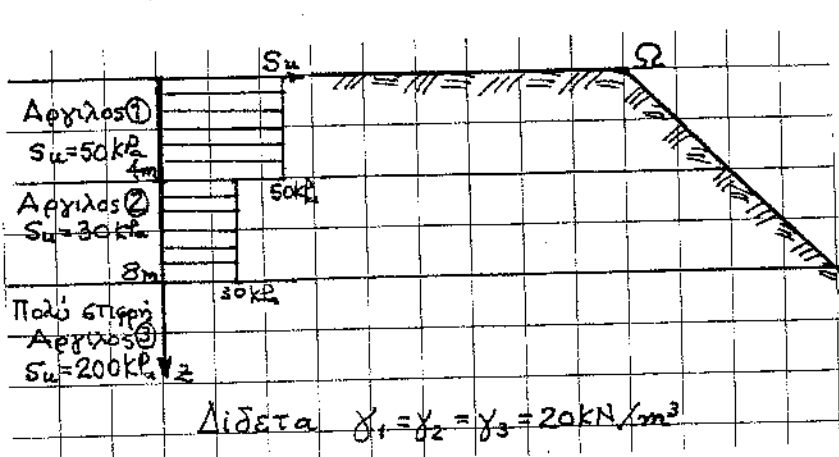
ΕΔΑΦΟΜΗΧΑΝΙΚΗ ΙΙ—ΔΕΥΤΕΡΗ ΠΡΟΟΔΟΣ—Μάιος 2005

Διάρκεια 45 Λεπτά. ΒΙΒΛΙΑ & ΣΗΜΕΙΩΣΕΙΣ ΚΛΕΙΣΤΑ

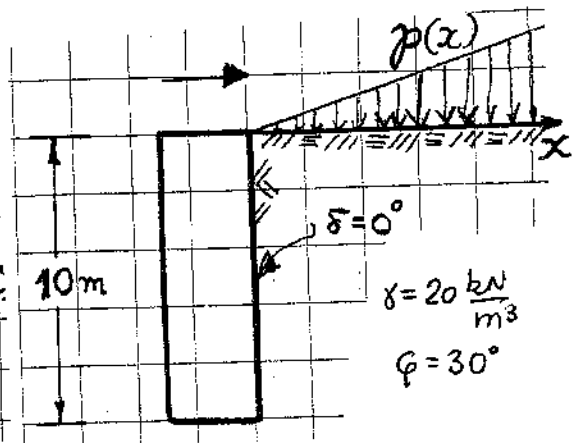
Όνοματεπώνυμο Σπουδαστή :

Βαθμολογία : κάθε Θέμα 35%

1. Για το πρανές του σχήματος επιλέξτε μία αρκετά εύλογη "κυκλική" επιφάνεια ολισθήσεως και υπολογίστε τον συντελεστή ασφαλείας. (Χρησιμοποιείστε εύλογες τιμές όσων τυχόν παραμέτρων δεν δίνονται.)
2. (α) Να ευρεθεί η δοκιμαστική τιμή της παθητικής αντίστασης στον λείο τοίχο του σχήματος με την μέθοδο Coulomb. Επιλέξτε εσείς το δοκιμαστικό πρίσμα (αρκεί να μην είναι "παράλογο"). $[p(x) = 3x, \text{ όπου } p: \text{kPa και } x: \text{m}]$
(β) Εάν το εδαφικό υλικό είχε εκτός από την ανωτέρω γωνία τριβής $\phi = 30^\circ$ και συνοχή $c = 10 \text{ kPa}$, πόσο θα άλλαζε η ανωτέρω δοκιμαστική τιμή της παθητικής αντίστασης ;
3. (α) Εξηγείστε συνοπτικά (αλλά με σχετικώς αυστηρή διατύπωση) γιατί κατά την ανάλυση απειρομήκους πρανούς οι πλευρικές δυνάμεις (σε θεωρούμενη λωρίδα κατακορύφων παρειών) δεν επηρεάζουν την ευστάθεια του πρανούς.
(β) Τοίχοι αντιστηρίξεως βαρύτητας : Πώς εξηγείται το γεγονός ενώ τελικώς έχουμε συντελεστές ασφαλείας, π.χ. σε ολίσθηση, αρκετά έως πολύ μεγαλύτερους της μονάδας (δηλ. πιθανότητα ολισθήσεως ≈ 0) εμείς παρόλα αυτά υπολογίζουμε τον τοίχο με ενεργητικές ωθήσεις (που προαπαιτούν μετακίνηση) ;



Θέμα 1



Θέμα 2(a)

ΔΙΑΓΩΝΙΣΜΑ ΕΔΑΦΟΜΗΧΑΝΙΚΗΣ ΙΙ -- 10 Ιουνίου 2005
Διάρκεια 2 ώρες. Βιβλία & Σημειώσεις ΚΛΕΙΣΤΑ

Ονοματεπώνυμο Σπουδαστή :

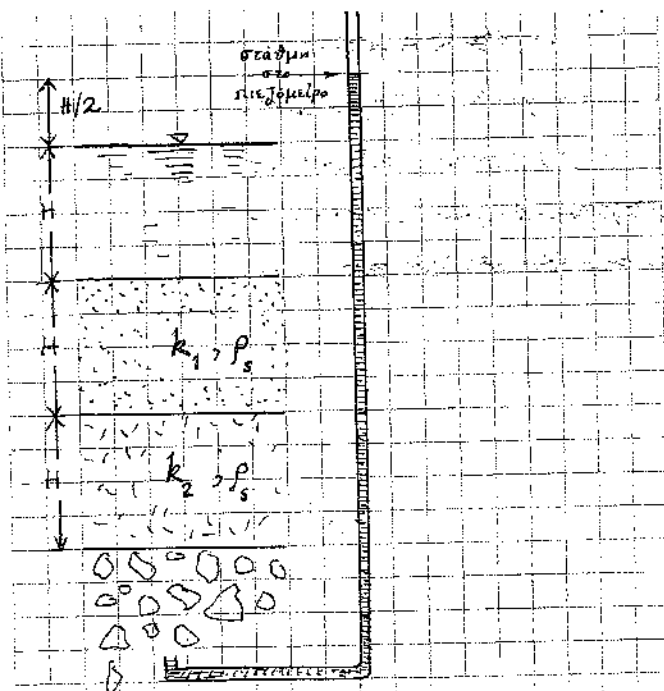
1) Ένα εδαφικό προφίλ εντός λίμνης βάθους H , περιλαμβάνει δύο στρώσεις, μία στρώση ιλύδους άμμου και μία αργίλου, πάχους επίσης H η κάθε μία, της ίδιας πυκνότητας ρ_s , αλλά βεβαίως τελείως διαφορετικών συντελεστών διαπερατότητας, k_1 και k_2 . Το υποκείμενο στρώμα είναι μεγάλου πάχους αμμοχάλικο το οποίο είναι τελείως διαπερατό. Πιεζόμετρο τοποθετείται σε κάποιο σημείο εντός του αμμοχάλικου [δεν έχει σημασία πού ακριβώς]. Η στάθμη του νερού στον πιεζομετρικό σωλήνα ανέρχεται σε ύψος $H/2$ πάνω από την στάθμη της λίμνης.

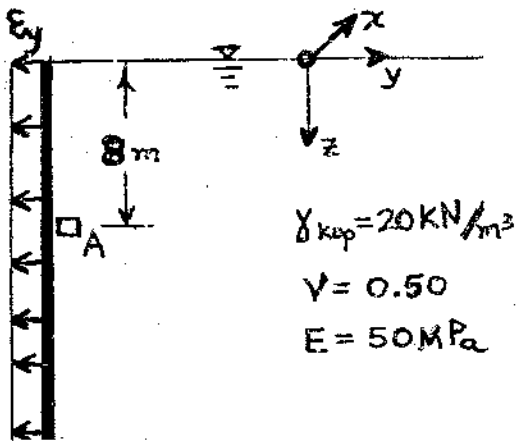
Εξετάζονται δύο περιπτώσεις :

- (α) Το άνω (πρώτο) στρώμα είναι η άργιλος και το δεύτερο η ιλύδης άμμος.
- (β) Η ακριβώς αντίστροφη περίπτωση : πρώτα ιλύδης άμμος και μετά άργιλος.

Επιλέξτε μόνοι σας "λογικές" τιμές για τα k_1 και k_2 (αρκεί "ακρίβεια" 3 τάξεων μεγέθους !) και δώστε απάντηση στα εξής ερωτήματα και για τις δύο περιπτώσεις :

- (i) Να δοθεί η κατανομή συναρτήσει του βάθους του ολικού υδραυλικού φορτίου [αποκαλούμενου και υδραυλικού ύψους], απ' την επιφάνεια της λίμνης έως βάθος $4H$.
- (ii) Να δοθεί η κατανομή συναρτήσει του βάθους του πιεζομετρικού ύψους (u/γ_w), απ' την επιφάνεια της λίμνης έως βάθος $4H$.
- (iii) Να υπολογισθούν στην διεπιφάνεια ιλύδους άμμου-αργίλου τα : σ_v , u , $\bar{\sigma}_v$.





2) Για το εδαφικό στοιχείο A όπισθεν του τοίχου αντιστηρίξεως να υπολογισθούν:

(α) η αρχική εντατική του κατάσταση σε ολικές (σ_{vo} , σ_{ho}) και ενεργές ($\bar{\sigma}_{vo}$, $\bar{\sigma}_{ho}$) τάσεις

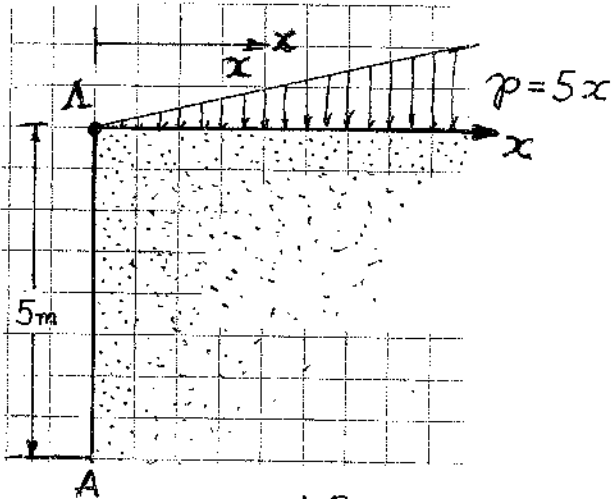
(β) η νέα εντατική του κατάσταση (σ_x , σ_y , σ_z) και ($\bar{\sigma}_x$, $\bar{\sigma}_y$, $\bar{\sigma}_z$) όταν ο τοίχος υποστεί μικρή παραμόρφωση που αντιστοιχεί σε παραμόρφωση ϵ_y με απόλυτη τιμή ίση με 0,0005.

3) (α) Εξηγήστε συνοπτικά (αλλά με σχετικώς αυστηρή διατύπωση) γιατί κατά την ανάλυση απειρομήκους πρανούς οι πλευρικές δυνάμεις (σε θεωρούμενη λωρίδα κατακορύφων παρειών) δεν επηρεάζουν την ευστάθεια του πρανούς.

(β) Απειρομήκης πρανές αμμώδους υλικού (γ και ϕ) έχει κλίση β απειροστά μικρότερη από $\beta = \phi$. Ζητείται η πλήρης εντατική κατάσταση τυχόντος σημείου (πχ κύκλος Mohr και πόλος . . .) σε βάθος z από την επιφάνεια (μετρούμενο κατακορύφως).

(γ) Δίδεται σώμα μάζας m επί κεκλιμένου επιπέδου γωνίας β ως προς την οριζόντια. Ποια είναι η μέγιστη οριζόντια δύναμη P_1 που μπορούμε να ασκήσουμε στο σώμα, ώστε μόλις να μην ολισθήσει προς τα πάνω επί του κεκλιμένου επιπέδου ; (Συντελεστής τριβής επιπέδου-σώματος $\mu = \tan \delta$.)

- 4) (α) Ποια η σημασία της αύξησης ή μείωσης των υδατικών πιέσεων στους πόρους εδαφικού υλικού.
- (β) Σε ποια φυσικά αίτια ή δυνάμεις μπορεί να οφείλεται η ανάπτυξη πιέσεων του ύδατος στους πόρους εδαφικού στοιχείου ; (δύο-τρεις προτάσεις το πολύ για κάθε αίτιο).
- (γ) Που οφείλεται η μεγάλη καθίζηση (ή και βύθιση) μιάς βαριάς κατασκευής εδραζομένης σε εδαφικό στρώμα χαλαρής άμμου η οποία υποβάλλεται σε σεισμική διέγερση ;
- (δ) Στερεοποίηση Αργιλικού Στρώματος : Περιγράψτε με σαφήνεια τα φυσικά φαινόμενα που λαμβάνουν χώραν, από την επιβολή του εξωτερικού φορτίου p μέχρι την τελική στερεοποίηση.
- [Με συνοπτική σαφήνεια.]*



$p : \text{kPa}$

$x : \text{m}$

$S_u = 60 \text{ kPa} =$
 σταθερό

5) Για το κατακόρυφο πρηνές του σχήματος (υπό αστράγγιστες συνθήκες, με $c = S_u$ και $\phi = 0$), θεωρώντας επίπεδη επιφάνεια ολίσθησης που διέρχεται από τον πόδα A :

(α) να υπολογίσετε την γωνία του κρίσιμου επιπέδου αστοχίας.

(β) πώς συγκρίνεται η γωνία αυτή με την κρίσιμη γωνία όταν δεν υπάρχει φορτίο στην επιφάνεια.

(γ) Εάν τώρα θεωρήσετε κυκλικό μηχανισμό αστοχίας (πχ τον απλό κύκλο με κέντρο την ακμή του πρηνούς Λ) ποιος είναι ο [δοκιμαστικός] συντελεστής ασφαλείας έναντι περιστροφικής ολίσθησεως .

ΔΙΑΓΩΝΙΣΜΑ ΕΔΑΦΟΜΗΧΑΝΙΚΗΣ ΙΙ--10 Ιουνίου 2005

Διάρκεια 2 ώρες. Βιβλία & Σημειώσεις ΚΛΕΙΣΤΑ

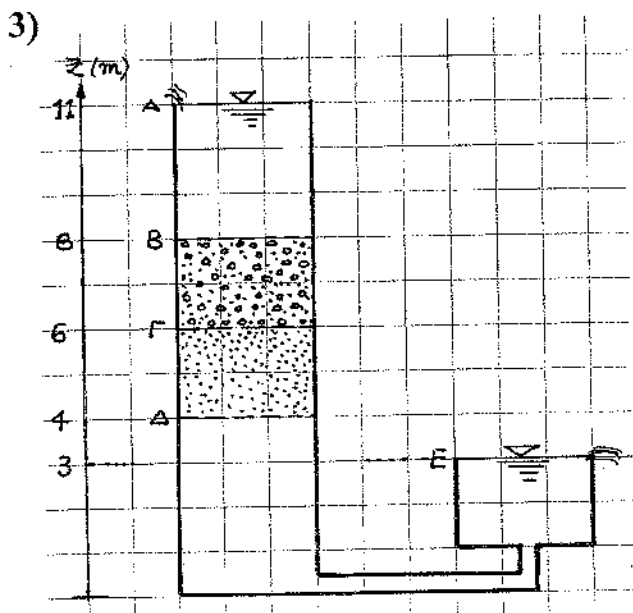
Όνοματεπώνυμο Σπουδαστή :

1) (α) Τοίχοι αντιστηρίξεως βαρύτητας : Πώς εξηγείται το γεγονός ότι ενώ τελικώς έχουμε συντελεστές ασφαλείας (π.χ. σε ολίσθηση) αρκετά έως πολύ μεγαλύτερους της μονάδας (δηλ. πιθανότητα ολίσθησεως ≈ 0) εμείς παρόλα αυτά υπολογίζουμε τον τοίχο με ενεργητικές ωθήσεις (που προαπαιτούν μετακίνηση) ;

(β) Να εξηγηθεί γιατί 'στον υπολογισμό έναντι ολίσθησεως ενός εγκιβωτισμένου-στον πόδα τοίχου αντιστηρίξεως η "παθητικού-τύπου αντίσταση λαμβάνεται μόνον ως ένα κλάσμα (π.χ. $\frac{1}{2}$ ή $\frac{1}{3}$) της (πλήρους) παθητικής ανώθησης κατά Rankine.

(γ) Ποια είναι η θεμελιώδης δυσκολία στην ανάλυση της ευστάθειας ενός εδαφικού πρηνούς με κυκλική επιφάνεια ολίσθησεως ; Γιατί η δυσχέρεια αυτή δεν υπάρχει με την θεώρηση επίπεδης επιφάνειας ολίσθησεως ;

2) Στερεοποίηση Αργιλικού Στρώματος : (α) Περιγράψτε με σαφήνεια τα φυσικά φαινόμενα που λαμβάνουν χώραν, από την επιβολή του εξωτερικού φορτίου p μέχρι την τελική στερεοποίηση. (β) Ποιοί οι θεμελιώδεις νόμοι που διέπουν τα φαινόμενα αυτά ; (Αρκεί και περιγραφικά αλλά με επαρκή [σύντομη] εξήγηση. Bonus εάν οι νόμοι δοθούν και μαθηματικά).

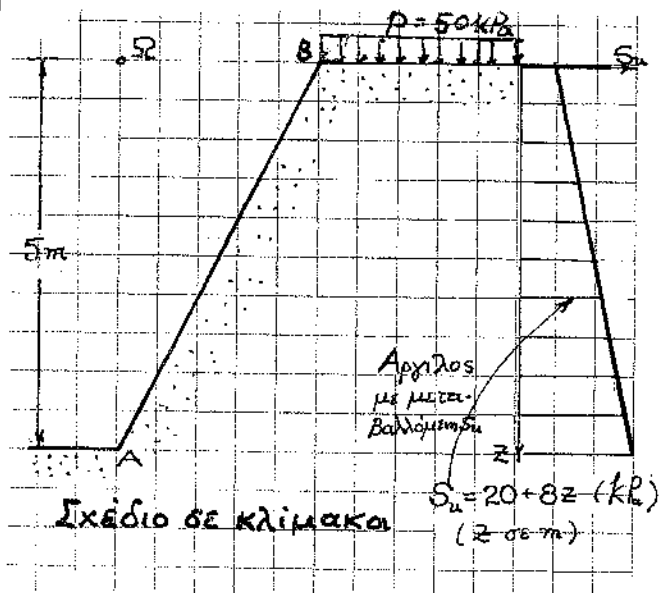


Στον κυλινδρικό σωλήνα του σχήματος το εδαφικό υλικό μεταξύ των σταθμών A και B έχει συντελεστή διαπερατότητας k_1 πολλαπλάσιο από τον συντελεστή k_2 του εδαφικού υλικού μεταξύ των σταθμών B και Γ. Να βρεθεί το ολικό υδραυλικό φορτίο (ύψος) και το πιεζομετρικό ύψος ($h_p = u / \gamma_w$) στα σημεία B, Γ και Δ. (α) εάν $k_1 = 10000 k_2$, (β) εάν $k_1 = 3 k_2$

(4) (α) Δίδεται σώμα μάζας m επί κεκλιμένου επιπέδου γωνίας β ως προς την οριζοντία . Ποιά είναι η **ελάχιστη οριζόντια δύναμη P_1** που πρέπει να ασκήσουμε στο σώμα, ώστε μόλις να μὴν ολισθήσει προς τα κάτω επί του κεκλιμένου επιπέδου ; Ποια είναι η **μέγιστη οριζόντια δύναμη P_2** που μπορούμε να ασκήσουμε στο σώμα, ώστε μόλις να μὴν ολισθήσει προς τα πάνω (Συντελεστής τριβής επιπέδου-σώματος $\mu = \tan\delta$.) Να δοθεί το φυσικό «ανάλογο» κάθε ενός από τα ανωτέρω προβλήματα στις αντιστηρίξεις.

(β) Ζητείται ο κύκλος Mohr και η κατακόρυφη ορθή τάση σ_v σε απειρομήκεις πρανές γωνίας $\beta = \varphi^-$ (λίγο πρίν απ' την αστοχία) σε σημείο κατακορύφου βάθους $z = 5 \text{ m}$. ($\gamma = 17 \text{ kN/m}^3$).

5)



Για το πρᾶνές του σχήματος και για την δοκιμαστική "κυκλική" (κυλινδρική) επιφάνεια με κέντρο Ω , που διέρχεται από τον πόδα του πρानούς A, να υπολογίσετε τον συντελεστή ασφάλειας έναντι ολίσθησης. (Για τις ανάγκες της λύσης αρκούν και προσεγγιστικές εκτιμήσεις των τυχόν απαιτούμενων κέντρων βάρους και μηκών τόξου.)

ΕΔΑΦΟΜΗΧΑΝΙΚΗ ΙΙ — ΠΡΟΟΔΟΣ — Απρίλιος 2006
Διάρκεια 1 ώρα. Βιβλία & Σημειώσεις ΚΛΕΙΣΤΑ

Όνοματεπώνυμο Σπουδαστή :

(1) Λοιπιδωτό φορτίο $p = 300 \text{ kPa}$ πλάτους $B = 4 \text{ m}$ επιβάλλεται στην επιφάνεια *δίστρωτου* ημιχώρου :

Στρώμα 1 : πάχος $H_1 = 8 \text{ m}$, μέτρο ελαστικότητας, $E_1 = 200 \text{ MPa}$

Στρώμα 2 : πάχος $H_2 = 60 \text{ m}$, μέτρο ελαστικότητας, $E_2 = 50 \text{ MPa}$

Να δοθεί κατά αδρή (αλλά επαρκώς αιτιολογημένη) προσέγγιση η κατανομή με το βάθος της αναπτυσσόμενης $\sigma_z = \sigma_z(z)$, κατά μήκος του άξονα του φορτίου ($x = y = 0$).

(2) (α) Να δειχθεί η μηχανική αναλογία (αντιστοιχία) μεταξύ της *ενεργητικής* κατάστασης κατά Coulomb και του προβλήματος σώματος επί κεκλιμένου επιπέδου γωνίας θ , με συντελεστή τριβής $\mu (= \tan\theta)$. (Οχι λεπτομερής ανάλυση, απλώς η διατύπωση και υπόδειξη της αντιστοιχίας.)

(β) Ποιές είναι οι *θεμελιώδεις παραδοχές* της μεθόδου Coulomb για τον υπολογισμό της ενεργητικής ώθησης επί τοίχου βαρύτητας ; (Να είστε *συνοπτικοί και ακριβείς*.)

(3) Να ελεγχθεί η ευστάθεια έναντι ολισθήσεως ενός *ορθογωνικού* τοίχου βαρύτητας ΑΒΓΔ από άοπλο σκυρόδεμα ($\gamma_{\text{σκυρ.}} = 23 \text{ kN/m}^3$), διαστάσεων $H = 10 \text{ m}$, $B = 3 \text{ m}$. Το αντιστηριζόμενο εδαφικό υλικό και το έδαφος εδράσεως είναι στεγνή άμμος με $\varphi = 35^\circ$

[Επιλέξτε *μόνοι σας* λογικές τιμές για τα ειδικά βάρη των υλικών, και για τον τοίχο το σχήμα που σας βολεύει περισσότερο. Ο τοίχος κατασκευάζεται ως *έγχυτο* σκυρόδεμα. Να αγνοηθεί όμως η συνάφεια μεταξύ της κατακόρυφης παρειάς του τοίχου και του εδάφους, δηλαδή ο τοίχος να θεωρηθεί *λείος* στην κατακόρυφη παρειά.]

(4) Εάν για μία μικρή τιμή της παραμόρφωσης, $\epsilon_x = -10^{-3}$ (πρός τα έξω δηλαδή), το έδαφος αποκρίνεται ως γραμμικώς ελαστικό υλικό με $E = 10.000 \text{ kPa}$ και $\nu = 0.40$ ζητούνται η μεταβολή στις οριζόντιες τάσεις, $\Delta\sigma_x$ και $\Delta\sigma_y$, υπό σταθερή κατακόρυφη τάση $\sigma_{z0} = 100 \text{ kPa}$ και συνθήκες επίπεδης παραμόρφωσης.

ΕΔΑΦΟΜΗΧΑΝΙΚΗ ΙΙ — ΠΡΟΟΔΟΣ — Απρίλιος 2006
Διάρκεια 1 ώρα. Βιβλία & Σημειώσεις ΚΛΕΙΣΤΑ

Όνοματεπώνυμο Σπουδαστή :

(1) Να ελεγχθεί η ευστάθεια έναντι ολισθήσεως ενός **τριγωνικού** τοίχου βαρύτητας **ΑΒΓ** από άοπλο σκυρόδεμα ($\gamma_{\text{σκυρ.}} = 23 \text{ kN/m}^3$), διαστάσεων **H = 12 m**, **B = 6 m**. Το αντιστηριζόμενο εδαφικό υλικό και το έδαφος εδράσεως είναι στεγνή άμμος με $\phi = 30^\circ$.

[Επιλέξτε μόνοι σας λογικές τιμές για τα ειδικά βάρη των υλικών, και για τον τοίχο το σχήμα που σας βολεύει περισσότερο. Ο τοίχος κατασκευάζεται ως έγχυτο σκυρόδεμα. Να αγνοηθεί όμως η συνάφεια μεταξύ της κατακόρυφης παρειάς του τοίχου και του εδάφους, δηλαδή ο τοίχος να θεωρηθεί λείος στην κατακόρυφη παρειά.]

(2) Για έναν κατακόρυφο λείο τοίχο σχεδιάστε ενδεικτικά το διάγραμμα $\sigma_h - \varepsilon_h$ (οριζόντια τάση επί του τοίχου έναντι οριζόντιας παραμόρφωσης) καθώς ο τοίχος κινείται από την θέση ηρεμίας προς την θέση παθητικής κατάστασης. Εξηγήστε συνοπτικά την μορφή του διαγράμματος.

(3) Κυκλικό φορτίο $p = 300 \text{ kPa}$ ακτίνας $R = 4 \text{ m}$ επιβάλλεται στην επιφάνεια **δίστρωτου** ημιχώρου :

Στρώμα 1 : πάχος $H_1 = 8 \text{ m}$, μέτρο ελαστικότητας, $E_1 = 600 \text{ MPa}$

Στρώμα 2 : πάχος $H_2 = 30 \text{ m}$, μέτρο ελαστικότητας, $E_2 = 20 \text{ MPa}$

Να δοθεί κατά αδρή (αλλά επαρκώς αιτιολογημένη) προσέγγιση η κατανομή με το βάθος της αναπτυσσόμενης $\sigma_z = \sigma_z(z)$, κατά μήκος του άξονα του φορτίου ($x = y = 0$).

(4) (α) Να δειχθεί η μηχανική αναλογία (αντιστοιχία) μεταξύ της παθητικής κατάστασης κατά Coulomb και του προβλήματος σώματος επί κεκλιμένου επιπέδου γωνίας θ , με συντελεστή τριβής $\mu (= \tan\phi)$. (Οχι λεπτομερής ανάλυση, απλώς η διατύπωση και υπόδειξη της αντιστοιχίας.)

(β) Να σχεδιασθεί η εξέλιξη των κύκλων τού Mohr στοιχείου εδαφικού υλικού από την αρχική εντατική κατάσταση $\bar{\sigma}_{v0} = 100 \text{ kPa}$, $\bar{\sigma}_{h0} = 50 \text{ kPa}$, $\tau_{vh} = 0$, ως την (τελική) παθητική εντατική κατάσταση κατά Rankine, εάν η παράμετρος διατμητικής αντοχής είναι $\phi = 30^\circ$.

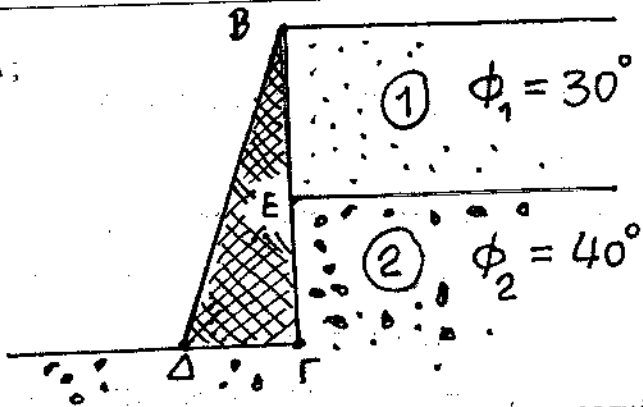
"ΗΜΙΤΕΛΙΚΟ" ΔΙΑΓΩΝΙΣΜΑ ΕΔΑΦΟΜΗΧΑΝΙΚΗΣ ΙΙ -- 7 Ιουλίου 2006

Διάρκεια 1 ώρα. Βιβλία & Σημειώσεις ΚΛΕΙΣΤΑ

Όνοματεπώνυμο Σπουδαστή :

1) Υπάρχει κίνδυνος ολισθήσεως του τοίχου ΒΓΔ ;
 Δίνονται : ΒΕ = ΕΓ = 5m, ΓΔ = 4 m, υλικό :
 σκυρόδεμα. Να κάνετε εύλογες δικές σας
 παραδοχές για τις τιμές όσων παραμέτρων
 (επίτηδες) δεν δίνονται.

παρειά ΒΕΓ : λεία
 βάση ΓΔ : $\delta = \phi_2$



2) Ακαμπτο λωριδωτό θεμέλιο πλάτους $b = 4 \text{ m}$ βρίσκεται στην επιφάνεια ομοιογενούς κορεσμένης αργιλικής αποθέσεως. Υπόκειται σε τριγωνικώς κατανομημένο φορτίο με μέγιστη τιμή p στο μέσον και μηδενικές τιμές στα άκρα. Το φορτίο αυτού του θεμελίου αυξάνεται προοδευτικά ώσπου επέρχεται "θραύση" του εδάφους όταν $p = 400 \text{ kPa}$. Να εκτιμηθεί (κατά προσέγγιση) η αστράγγιστη διατμητική αντοχή S_u της αργίλου.

3) Να σχεδιασθούν τουλάχιστον με ποιοτική ακρίβεια (ενδεχομένως δε δίνοντας και χαρακτηριστικά "σημεία" ή μεγέθη) τα ακόλουθα διαγράμματα :

(α) Η χρονική εξέλιξη της καθίζησης δ μίας ομοιόμορφα φορτιζόμενης εδαφικής επιφάνειας. Το εδαφικό προφίλ περιλαμβάνει στρώμα διπλά-στραγγιζόμενης μαλακής αργίλου πάχους h και μέτρου D . [Ζητούμενο $\delta = \delta(t)$]. Εάν η στράγγιση ήταν δυνατή μόνον προς την κάτω επιφάνεια, πώς θα μεταβάλλονταν η $\delta(t)$; ;

(β) Η μεταβολή συναρτήσει του βάθους, z , της ενεργού κατακόρυφης τάσης $\Delta \bar{\sigma}_v$, η οποία επικρατεί σε αργιλικό εδαφικό στρώμα μετά χρόνον t απ' την επιβολή ομοιόμορφου εξωτερικού φορτίου $p = 200 \text{ kPa}$. Το αργιλικό στρώμα περιβάλλεται από διαπερατή αμμόδη στρώση (άνω) και από αδιαπερατή βραχώδη στρώση (κάτω). Ενδιαφέρουν τρεις χρονικές στιγμές t_1, t_2, t_3 , εκφραζόμενες απ' τις ακόλουθες τιμές της αδιάστατης παραμέτρου $T = c_v t/H^2$: $T_1 = 0, T_2 = 0.50, T_3 = \infty$. [Ζητούμενο : $\Delta \bar{\sigma}_v = \Delta \bar{\sigma}_v(z, T)$].

4) Λωριδωτό φορτίο p πλάτους $2b$ επιβάλλεται στην επιφάνεια δίστρωτου ημιχώρου :

Στρώμα 1 : πάχος $H_1 = 2b$, μέτρο ελαστικότητας E_1

Στρώμα 2 : πάχος $H_2 \rightarrow \infty$, μέτρο ελαστικότητας E_2

Να δοθεί κατά αδρή (αλλά επαρκώς αιτιολογημένη) προσέγγιση η κατανομή με το βάθος της αναπτυσσόμενης $\sigma_z = \sigma_z(z)$, κατά μήκος του άξονα του φορτίου ($x = y = 0$), εάν $E_1 = 10 E_2$.
 Δίδεται ότι για τον ομοιογενή ημίχωρο, και για βάθη $z > 1.5 b$, ισχύει με καλή προσέγγιση ότι :

$$\sigma_z \approx \frac{4}{\pi} \frac{pb}{z} \quad (\text{Θα δοθεί επίδομα [bonus] σε μια πλήρη αιτιολόγηση.})$$

ΔΙΑΓΩΝΙΣΜΑ ΕΔΑΦΟΜΗΧΑΝΙΚΗΣ ΙΙ: 1 Σεπτεμβρίου 2006
Διάρκεια 1 ώρα & 20 λεπτά. Βιβλία & Σημειώσεις ΚΛΕΙΣΤΑ

Όνοματεπώνυμο Σπουδαστή :

1) Ορθογωνικός τοίχος αντιστηρίξεως σκυροδέματος ($\gamma = 25 \text{ kN/m}^3$) ύψους H και πλάτους B αντιστηρίζει έδαφος με $\phi = 35^\circ$ το οποίο εκτείνεται και υπό την βάση του τοίχου. Θεωρούμε την κατακόρυφη παρειά του τοίχου ιδεωδώς λεία, ενώ την βάση του τραχειά με $\delta = 30^\circ$. Να υπολογισθεί (μόνον έναντι ολισθήσεως) το πλάτος B συναρτήσει του ύψους H στις εξής περιπτώσεις :

- (α) ανυπαρξία υδροφόρου ορίζοντα (Υ.Ο.) στο αντιστηριζόμενο έδαφος
- (β) πλήρης εμβαπτισμός εντός ύδατος με Υ.Ο. στο επίπεδο της επιφάνειας του εδάφους (π.χ., λιμενικός κρηπιδοτόιχος)
- (γ) νερό μόνον στο αντιστηριζόμενο έδαφος (Υ.Ο. πάλι στην επιφάνεια του εδάφους, αλλά όχι και απ' έξω)

Γιά απλοποίηση, θεωρείστε ότι ακόμη και στην πρώτη περίπτωση το έδαφος είναι υγρό και ότι το εδαφικό ειδικό βάρος είναι κοινό, $\gamma = 20 \text{ kN/m}^3$, και στις τρεις περιπτώσεις.

2) Κατακόρυφο πρανές ύψους $H = 10 \text{ m}$ δημιουργείται με εκσκαφή (οριζοντίου εδάφους) υπό αστράγγιστες συνθήκες. Ζητείται ο συντελεστής ασφαλείας (σε δοκιμαστικό κύκλο ολισθήσεως της δικής σας επιλογής), εάν η αστράγγιστη διατμητική αντοχή S_u είναι αύξουσα συνάρτηση του βάθους, σύμφωνα με την σχέση

$$S_u = 40 + 30 \sqrt{z}$$

όπου z = βάθος σε μέτρα απ' την στέψη του πρανούς. Πυκνότητα εδαφικού υλικού : σταθερή ίση με $\rho = 2 \text{ Mg/m}^3$. [Εύλογες γραφικές προσεγγίσεις είναι αποδεκτές. Συνιστάται ο υπό-κλίμακα γραφικός υπολογισμός των γεωμετρικών μεγεθών.]

3) Εξετάζουμε το οριακό φορτίο P_{op} λωριδωτών θεμελίων πλάτους B . Η αντίστοιχη οριακή τάση, θεωρούμενη ομοιόμορφα κατανομημένη στο πλάτος B , είναι $p_{op} = P_{op} / B$. Το έδαφος είναι αργιλικό αστράγγιστης διατμητικής αντοχής S_u : Ερώτηση : Για τις κατωτέρω δύο περιπτώσεις (α) και (β): η οριακή τάση p_{op} είναι ανεξάρτητη ή εξαρτώμενη από το πλάτος B του θεμελίου ; Και γιατί ;

- (α) Το έδαφος είναι ομοιογενές με $S_u =$ σταθερή, ανεξάρτητη δηλαδή του βάθους
- (β) Το έδαφος είναι ανομοιογενές με $S_u = \lambda z$, δηλαδή ευθέως ανάλογη του βάθους z .

[Υπόδειξη: Θεωρείστε τους πιθανούς κύκλους αστοχίας στις διάφορες περιπτώσεις...Θυμηθείτε και τη θεωρία...]

4) Να σχεδιασθούν τουλάχιστον με **ποιοτική ακρίβεια** (ενδεχομένως δε δίνοντας και χαρακτηριστικά "σημεία" ή μεγέθη) τα ακόλουθα **διαγράμματα** :

(α) Η χρονική εξέλιξη της καθίζησης δ μιάς ομοιόμορφα φορτιζόμενης εδαφικής επιφάνειας. Το εδαφικό προφίλ περιλαμβάνει στρώμα διπλά-στραγγιζομένης μαλακής αργίλου πάχους h και μέτρου D . [Ζητούμενο $\delta = \delta(t)$]. Εάν η στράγγιση ήταν δυνατή μόνον προς την κάτω επιφάνεια, πώς θα μεταβάλλονταν η $\delta(t)$; ;

(β) Η μεταβολή συναρτήσει του βάθους, z , της ενεργού κατακόρυφης τάσης $\Delta \bar{\sigma}_v$ η οποία επικρατεί σε αργιλικό εδαφικό στρώμα μετά χρόνον t απ' την επιβολή ομοιόμορφου εξωτερικού φόρτιου $p = 200 \text{ kPa}$. Το αργιλικό στρώμα περιβάλλεται από διαπερατή αμμώδη στρώση (άνω) και από αδιαπέρατη βραχώδη στρώση (κάτω). Ενδιαφέρουν τρεις χρονικές στιγμές t_1, t_2, t_3 , εκφραζόμενες απ' τις ακόλουθες τιμές της αδιάστατης παραμέτρου $T = c_v t/H^2$: $T_1 = 0, T_2 = 0.50, T_3 = \text{άπειρο}$.

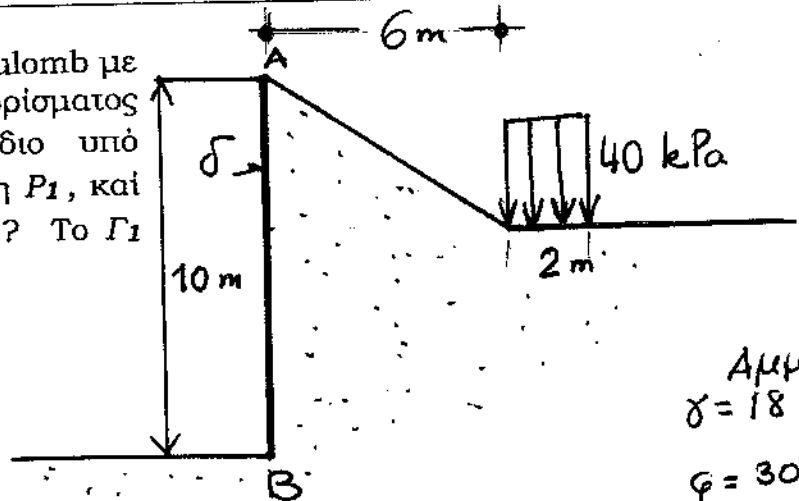
[Ζητούμενο : $\Delta \bar{\sigma}_v = \Delta \bar{\sigma}_v(z, T)$.]

Διαγώνισμα ΕΔΑΦΟΜΗΧΑΝΙΚΗΣ ΙΙ – 6 Οκτωβρίου 2007

Διάρκεια 1:40 ώρα. Απαντήστε σε 3 από τα 5. Βιβλία, Σημειώσεις ΚΛΕΙΣΤΑ

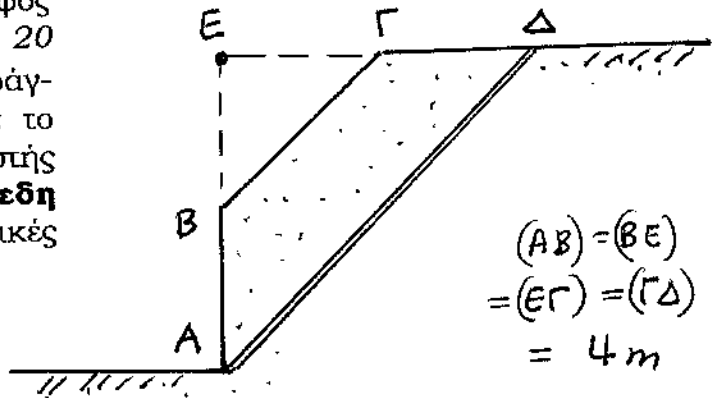
Όνοματεπώνυμο Σπουδαστή :

(1) Αναζητείται η παθητική ώθηση Coulomb με ανάλυση ενός μόνον δοκιμαστικού ορίσματος $AB\Gamma$. Υψος τοίχου 10 m , σχέδιο υπό κλίμακα. Πόση η δοκιμαστική ώθηση P_1 , και πώς συγκρίνεται με την άγνωστη P_P ? Το Γ δικής σας επιλογής.



Αμμος
 $\gamma = 18 \frac{\text{kN}}{\text{m}^3}$
 $\varphi = 30^\circ$
 $\delta = 15^\circ$

(2) Το πρηνές του σχήματος έχει έδαφος κορεσμένης ανομοιογενούς αργίλου με $\gamma = 20 \text{ kN/m}^3$ και $S_u = 20 + 3z$, όπου S_u η ασφράγιση διατμητική αντοχή σε kPa και z το βάθος σε μέτρα. Να ευρεθεί ο συντελεστής ασφαλείας έναντι ολισθήσεως στην **επίπεδη** επιφάνεια $A\Delta$. [Εύλογες γεωμετρικές προσεγγίσεις είναι πλήρως αποδεκτές.]



$(AB) = (BE)$
 $= (E\Gamma) = (\Gamma\Delta)$
 $= 4\text{ m}$

(3) Συγκρίνονται ο ομοιογενής ημίχωρος (σταθερό E_u και S_u) και ο γραμμικώς-ανομοιογενής ημίχωρος ($E_u = \xi z$ και $S_u = \lambda z$, όπου $z =$ βάθος απ' την επιφάνεια, και $\xi, \lambda =$ σταθερές). Σκιαγραφείστε τις διαφορές που προκαλούν οι δύο αυτοί σχηματισμοί:

- (α) στην μορφή της καθίζησης της εδαφικής επιφάνειας από την επιβολή ομοιόμορφου φορτίου p σε κυκλική επιφάνεια, και
 (β) στην επιρροή που έχει το πλάτος B του θεμελίου στην οριακή (= μέγιστη δυνατή) πίεση $p_{\text{οριακό}}$ (σε kPa) επί του εδάφους.

(4) Σε 5 καλύβδινά "κυλινδρικά" δοχεία διαφορετικής διαμέτρου (10, 20, 30, 40, 50 cm) και διαφορετικού ύψους (13, 20, 20, 10, 15 cm αντιστοίχως) τοποθετούνται πέντε πλήρως κορεσμένα αργιλικά δοκίμια του ίδιου ακριβώς υλικού με συντελεστή $c_v = 5 \text{ cm}^2/\text{ημέρα}$ και $D = 2 \text{ MPa}$. Στην άνω και κάτω επιφάνεια των δοκιμίων τοποθετούνται πορώδης λίθοι. Τα τοιχώματα στα δοχεία είναι απαραμόρφωτα, και ιδεωδώς λεία. Επιβάλλεται το ίδιο συνολικό φορτίο $P = 0.5 \text{ kN}$ και στα 5 δοκίμια. Ζητούνται:

- (α) Η καθίζηση των τεσσάρων δοκιμίων και οι αναπτυσσόμενες υπερπιέσεις του ύδατος των πόρων αμέσως μετά την επιβολή του φορτίου.
- (β) Σε ποιά από τα 5 δοκίμια η στερεοποίηση θα τερματισθεί νωρίτερα και γιατί ;
- (γ) Σε πρώτη προσέγγιση : ποιός είναι ο (ελάχιστος) χρόνος στερεοποίησης (σε ημέρες) αυτού του δοκιμίου ;
- (δ) Ποιό δοκίμιο θα υποστεί την μέγιστη τελική καθίζηση, και ποιά ;

$$(Υπενθυμίζονται οι εκφράσεις $T_v = c_v t / H^2$, $c_v = kD/\gamma_w$)$$

(5) Ποιά τα αίτια αναπτύξεως υδατικών πιέσεων στους πόρους κορεσμένου εδαφικού στρώματος στον πυθμένα λίμνης βάθους 4 m στις εξής καταστάσεις / φορτίσεις :

- (α) Υδροστατική κατάσταση
- (β) Αντληση ύδατος από οριζόντιο επίπεδο σε βάθος 10 m κάτω απ' την επιφάνεια του εδάφους.
- (γ) Επιβολή φορτίου p μεγάλης έκτασης (δηλαδή υπό γεωστατικές συνθήκες)
- (δ) Σεισμική διέγερση στην βάση του εδαφικού στρώματος, υπό την μορφή διατμητικών κυμάτων που ανέρχονται προς την εδαφική επιφάνεια (επιβάλλοντας απλή διάτμηση).

ΕΔΑΦΟΜΗΧΑΝΙΚΗ ΙΙ — ΠΡΟΟΔΟΣ — Μάιος 2008
Διάρκεια 1 ώρα. Βιβλία & Σημειώσεις ΚΛΕΙΣΤΑ

(1) Για μία μικρή τιμή της παραμόρφωσης που επιβάλλεται σε εδαφικό στοιχείο, $\varepsilon_x = +10^{-3}$ (πρός τα μέσα δηλαδή), το έδαφος αποκρίνεται ως γραμμικώς ελαστικό υλικό με $E = 6\ 000\ \text{kPa}$ και $\nu = 0.50$. Ζητούνται οι μεταβολές στις οριζόντιες τάσεις, $\Delta\sigma_x$ και $\Delta\sigma_y$, υπό σταθερή κατακόρυφη τάση $\sigma_{z0} = 100\ \text{kPa}$ και συνθήκες επίπεδης παραμόρφωσης. Ζητείται επίσης η τιμή του αθροίσματος $\varepsilon_x + \varepsilon_y + \varepsilon_z$ (λόγω της επιβολής της ε_x).

(2) Δίδεται αντιστηριζόμενο έδαφος άμμου με $\varphi = 45^\circ$ και $\gamma = 20\ \text{kN/m}^3$. Για ένα εδαφικό στοιχείο σε βάθος $z = 4\ \text{m}$ και τον υδροφόρο ορίζοντα στην επιφάνεια να υπολογίσετε τις ολικές και ενεργές οριζόντιες τάσεις την στιγμή της *ενεργητικής αστοχίας* (τύπου Rankine).

(3) Κυκλικό φορτίο $p = 200\ \text{kPa}$ ακτίνας $R = 4\ \text{m}$ επιβάλλεται στην επιφάνεια *δίστρωτου* ημιχώρου (σταθερού όμως λόγω του Poisson, $\nu = 0.30$):

Στρώμα 1: πάχος $H_1 = 8\ \text{m}$, μέτρο ελαστικότητας, $E_1 = 40\ \text{MPa}$

Στρώμα 2: πάχος $H_2 = 60\ \text{m}$, μέτρο ελαστικότητας, $E_2 = 200\ \text{MPa}$

(α) Να δοθεί κατά *αδρή* (αλλά επαρκώς αιτιολογημένη) *προσέγγιση* η κατανομή με το βάθος της αναπτυσσόμενης $\sigma_z = \sigma_z(z)$, κατά μήκος του κατακόρυφου άξονα z ($r = 0$).

(β) Να εξετασθεί εάν είναι πιθανώς ορθές (ή αντίθετα να δειχθούν ως σίγουρα λάθος) οι ακόλουθες σχέσεις:

(β1) Οριζόντια ακτινική τάση $\sigma_r = [\nu / (1 - \nu)] \sigma_z$ (καί στα δύο στρώματα, στον άξονα συμμετρίας z)

(β2) Οριζόντια εφαπτομενική τάση $\sigma_\theta = \sigma_r$ (καί στα δύο στρώματα, στον άξονα συμμετρίας z)

(β3) Η συνισταμένη των σ_r σε κυλινδρική επιφάνεια απείρου βάθους με άξονα τον άξονα συμμετρίας (δηλαδή τον άξονα z) και ακτίνα ίση με $8\ \text{m}$, είναι ίση με μηδέν.

Διαγώνισμα ΕΛΔΦΟΜΗΧΑΝΙΚΗΣ ΙΙ — 30 Ιουνίου 2008

Διάρκεια 1:30 ώρα. Βιβλία, Σημειώσεις ΚΛΕΙΣΤΑ

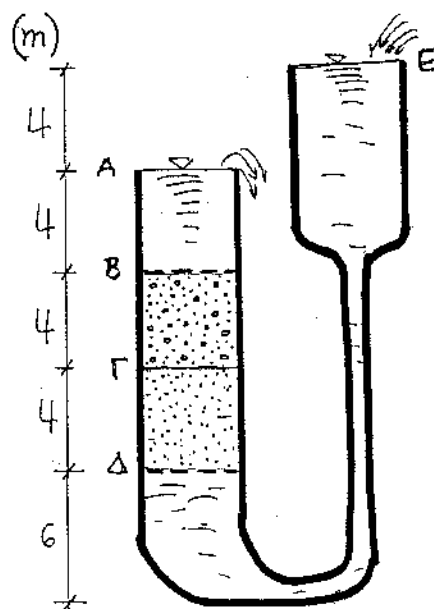
Όνοματεπώνυμο Σπουδαστή :

(1) Αναζητείται με την μέθοδο Coulomb η ενεργητική ώθηση σε έναν κατακόρυφο τοίχο ύψους $H = 20 \text{ m}$ που αντιστηρίζει εδαφικό υλικό με $\varphi = 40^\circ$, $c = 0$, και $\gamma = 20 \text{ kN/m}^3$. Η επιφάνεια του αντιστηριζομένου εδάφους είναι οριζόντια και δέχεται πίεση p (σε kPa) γραμμικώς μειούμενη με την απόσταση x από τον τοίχο, κατά την σχέση $p = 100 - 5x$, όπου x σε μέτρα. Η διεπιφάνεια τοίχου-εδάφους θεωρείται λεία ($\delta = 0$). Ζητούμενα :

- (α) Συνοπτικά δώστε τις ουσιαστικότερες παραδοχές της μεθόδου Coulomb.
- (β) Θεωρείστε ένα τυχόν δοκιμαστικό πρίσμα ολισθήσεως (δικής σας, εύλογης ωστόσο, επιλογής).
- (γ) Εφαρμόζοντας τις παραδοχές Coulomb για το επιλεγέν πρίσμα υπολογίστε την δύναμη του τοίχου επί του (οριακώς ισορροπούντος) πρίσματος.
- (δ) Εξηγήστε ποιός είναι ο λόγος που στην περίπτωση αυτή δεν ισχύει η μέθοδος Rankine (για την ενεργητική ενιατική κατάσταση στο αντιστηριζόμενο έδαφος) .

(2) Στον κυλινδρικό σωλήνα του σχήματος το εδαφικό υλικό ανάμεσα στις στάθμες Β και Γ έχει συντελεστή διαπερατότητας k_1 ίσον ή πολλαπλάσιον του συντελεστή k_2 του εδαφικού υλικού ανάμεσα στις στάθμες Γ και Δ. Να βρεθεί το ολικό υδραυλικό ύψος h , το πιεζομετρικό ύψος $h_p = u / \gamma_w$, και οι ενεργές τάσεις στα σημεία Γ και Δ.:

- (α) εάν $k_1 = k_2$
- (β) εάν $k_1 = 100\ 000\ k_2$, και
- (γ) εάν $k_1 = 3\ k_2$. (Στην περίπτωση αυτή έστω και μία κονδροειδής ποιοτική απάντηση είναι αποδεκτή, βαθμολογείται όμως με το 50% του αντίστοιχου βαθμού .)



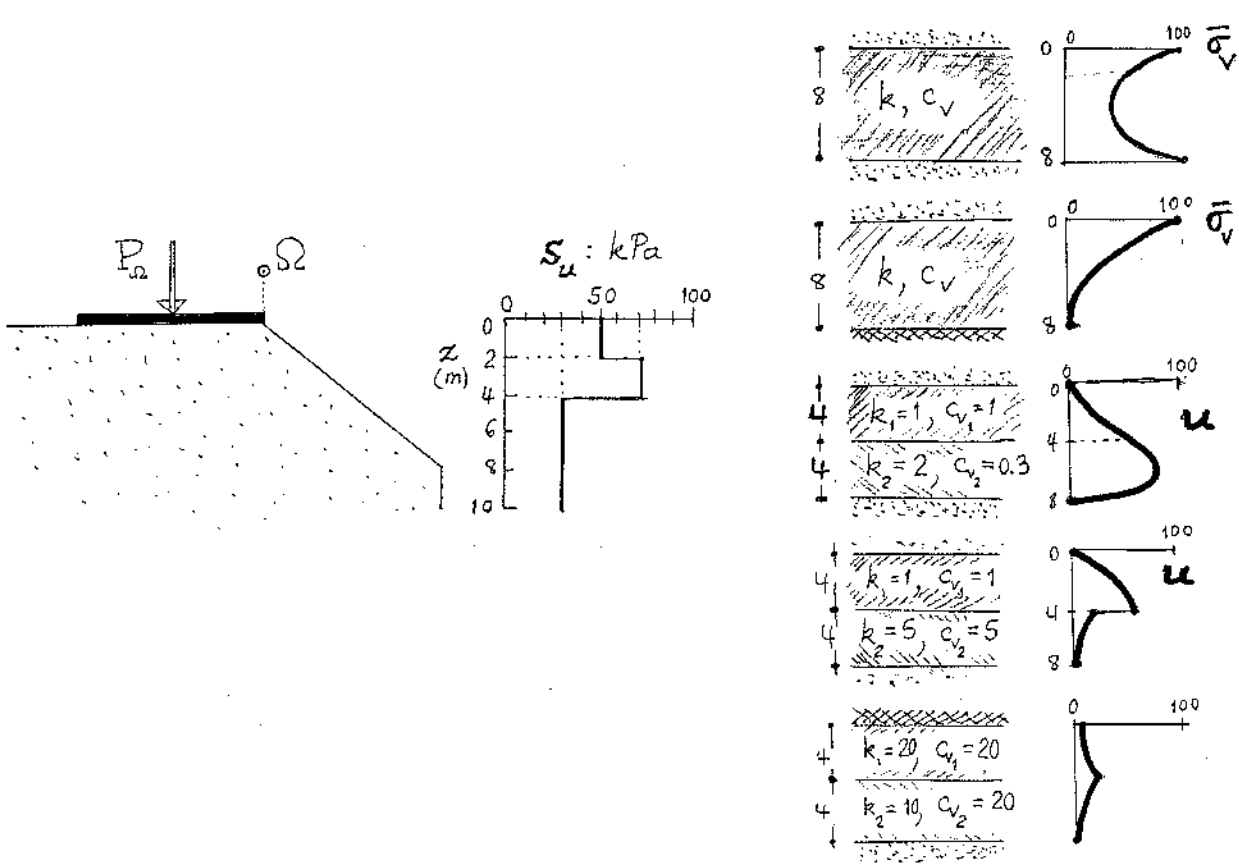
(3) Δίδεται στερεό σώμα βάρους $W = 50 \text{ kN}$ επί κεκλιμένου επιπέδου γωνίας $\beta = 45^\circ$ ως προς την οριζοντία. (Συντελεστής τριβής επιπέδου-σώματος $\mu = 0.50$). Το σώμα ισορροπεί με την βοήθεια δύναμης P παράλληλης προς το κεκλιμένο επίπεδο.

(α) Να αποδειχθεί ότι η ισορροπία αυτή είναι δυνατή για μεγάλο εύρος τιμών της δύναμης P .

(β) Πόση είναι η **ελάχιστη τιμή** P_1 και πόση η **μέγιστη τιμή** P_2 της δύναμης αυτής (παράλληλης πάντα προς το κεκλιμένο επίπεδο), ώστε να **μήν** υπάρξει ολίσθηση του σώματος ;

(4) Να υπολογισθεί το οριακό φορτίο P_Ω (kN/m) λωριδατού θεμελίου πλάτους $B = 10 \text{ m}$ εδραζομένου σε ανομοιογενές αργλικό πρανές. Η αστράγγιστη διατμητική αντοχή S_u μεταβάλλεται με το βάθος απ' την επιφάνεια, $S_u = S_u(z)$, όπως δείχνεται στο Σχήμα (σε kPa). Ως δοκιμαστικό κέντρο κύκλου επιλέγεται σημείο Ω , άνω του ενός άκρου σε ύψος $h = B/4$. (Γραφική λύση : συνιστάται ως η μόνη πρακτικώς εφικτή στον λίγο χρόνο που διαθέτετε - όχι υποχρεωτική όμως. Το Σχήμα είναι υπό κλίμακα.)

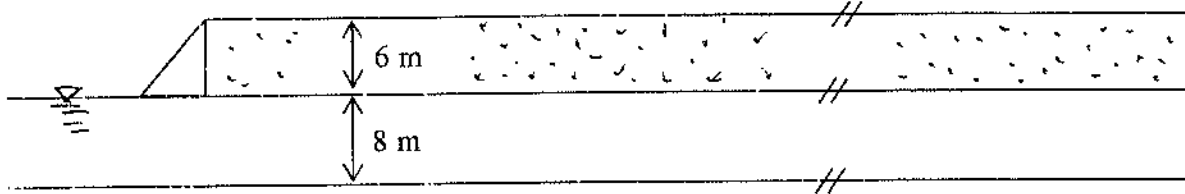
(5) Τα ακόλουθα 5 εδαφικά προφίλ, συνολικού πάχους 8 m , αποτελούνται είτε από μία είτε από δύο εδαφικές στρώσεις με τις ιδιότητες που αναγράφονται. Και στα 5 επιβάλλεται φορτίο 100 kPa σε άπειρης-έκτασης επιφάνεια. Τα διαγράμματα που τα συνοδεύουν αντιστοιχούν είτε στις πρόσθετες ενεργές τάσεις, $\bar{\sigma}_v$, είτε στις υδατικές υπερπιέσεις, u , που αναπτύσσονται σε χρονικό διάστημα t , περί το μέσον του χρόνου στερεοποίησης (η ακριβής τιμή δεν ενδιαφέρει). Ποιό από τα 5 διαγράμματα είναι **πιθανώς ορθό** και **ποιό σπασοδήποτε λάθος**, και γιατί ; (Υπενθυμίζεται ότι $T_v = c_v t/H^2$)



Διαγώνισμα ΕΛΑΦΟΜΗΧΑΝΙΚΗΣ ΙΙ — 29 Σεπτεμβρίου 2008
Διάρκεια 1:00 ώρα. Βιβλία, Σημειώσεις ΚΛΕΙΣΤΑ

Όνοματεπώνυμο Σπουδαστή : _____

Θέμα 1 (60%)



Μεγάλης έκτασης επίχωση από αμμοχάλικο, ύψους **6 m**, γωνίας $\varphi = 35^\circ$ και $\gamma = 20 \text{ kN/m}^3$ καταλήγει σε τοίχο αντιστήριξης από σκυρόδεμα. Το σχήμα του τοίχου είναι ορθογώνιο τρίγωνο.

Το φυσικό υποκείμενο έδαφος είναι άργιλος **8 m** πάχους, με τον υδροφόρο ορίζοντα στην επιφάνεια. Η διατμητική αντοχή της αργίλου: $\varphi = 20^\circ$, $c = 22 \text{ kPa}$. Το μέτρο μονοδιάστατης παραμόρφωσης $D_s = 8 \text{ MPa}$, ο συντελεστής διαπερατότητας $k = 10^{-9} \text{ m/s}$ και $\gamma = 20 \text{ kN/m}^3$. Το υποκείμενο στρώμα είναι βράχος. **Ζητούνται :**

(α) Ποιό είναι το **ελάχιστο πλάτος B** στην βάση του τοίχου ώστε να υπάρχει **επαρκής ασφάλεια** έναντι ολισθήσεως ; (Επιλέξτε εσείς, ως υπεύθυνοι Μηχανικοί, τον απαιτούμενο συντελεστή ασφαλείας, γνωστού όντος ότι το έργο [επίχωση + αντιστήριξη] είναι μέρος αυτοκινητοδρόμου υψηλών προδιαγραφών, και ότι η περιοχή είναι υψηλής σεισμικότητας.)

(β) Για το ανωτέρω **πλάτος B** να γίνει έλεγχος έναντι **ανατροπής**, και να σχολιασθεί η επάρκεια του τοίχου.

(γ) Σε μία θέση μακριά από τον τοίχο, όπου επικρατούν συνθήκες μονοδιάστατης παραμόρφωσης, ζητούνται :

- (i) η **συνολική μακροχρόνια καθίζηση** της αργίλου (πάχους 8 m) λόγω της επίχωσης
- (ii) ο απαιτούμενος **χρόνος για την ουσιαστική ολοκλήρωση** της καθίζησης (δηλ. για την πρακτική επίτευξη της μακροχρόνιας καθίζησης)
- (iii) εννέα (9) μήνες μετά την επιβολή της επίχωσης :
 - η καθίζηση
 - (με ποιοτική μόνον ακρίβεια) η κατανομή των υπερπιέσεων πόρων συναρτήσει του βάθους.

Δίδεται η εξής κατά προσέγγισιν σχέση για τον μέσο βαθμό στερεοποίησης : $\bar{U} = \sqrt{4T_v/\pi}$. Χρησιμοποιείτε αυτήν την σχέση αντί του διαγράμματος του βιβλίου.

Δίδονται επίσης οι σχέσεις $T_v = c_v t/H^2$, $c_v = kD_s/\gamma_w$, $v = ki$, $i_{cr} = \bar{\gamma}/\gamma_w$, $P_{οριακ.} = 5.14 S_u$, $K_p = \tan^2(45^\circ + \varphi/2)$.

Θέμα 2 (20%)

Συγκρίνονται ο ομοιογενής ημίχωρος (σταθερό E_u και S_u) και ο γραμμικώς-ανομοιογενής ημίχωρος ($E_u = m z$ και $S_u = f z$ όπου $z = \text{βάθος}$ απ' την επιφάνεια, και $m, f = \text{σταθερές}$). Καί οι δύο υπό αστράγγιστες συνθήκες. Σκιαγραφείστε τις διαφορές που προκαλούν οι δύο αυτοί σχηματισμοί:

(α) στην **μορφή** της καθίζησης της όλης εδαφικής επιφάνειας από την επιβολή ομοιομόρφου φορτίου p σε κυκλική επιφάνεια, και

(β) στην **επιρροή** που εξασκεί το πλάτος B του θεμελίου στην **καθίζηση**. (Δηλαδή, π.χ. διπλασιαζομένου του πάχους υπό σταθερή [κοινή] πίεση p , πόσο μεταβάλλεται η καθίζηση στους δύο εδαφικούς σχηματισμούς ;)

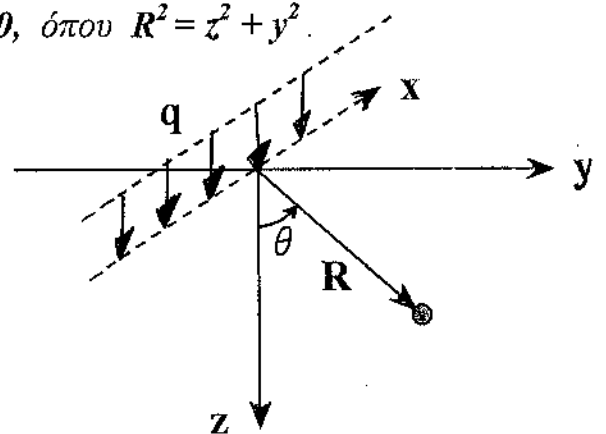
(γ) στην **επιρροή** που εξασκεί το πλάτος B του θεμελίου στην **οριακή** (= μέγιστη δυνατή) πίεση $p_{\text{οριακό}}$ (σε kPa) επί του εδάφους.

Θέμα 3 (20%)

(α) Συγκεντρωμένο απειρομήκες («γραμμικό») φορτίο $q = 100 \text{ kN/m}$ δρά κατά μήκος του άξονα των x στην ελεύθερη επιφάνεια ελαστικού ομοιογενούς ημιχώρου. Για τέσσερα σημεία (1, 2, 3, 4) ζητούνται οι $\sigma_z, \sigma_y, \sigma_x, \tau_{yz}, \tau_{xy}$. [Σε ένα εδαφικό στοιχείο να δειχθεί κάθε μία απ' αυτές τις τάσεις, ποιοτικά βέβαια.]. Δίδονται σε πολικές συντεταγμένες (R, θ) οι σχέσεις απ' την θεωρία της ελαστικότητας :

$$\sigma_R = (2q / \pi) \cos\theta / R, \quad \text{καί} \quad \sigma_\theta = \tau_{R\theta} = 0, \quad \text{όπου} \quad R^2 = z^2 + y^2.$$

1. $x_1 = 0 \text{ m}, \quad y_1 = 5 \text{ m}, \quad z_1 = 0 \text{ m}$
2. $x_2 = 0 \text{ m}, \quad y_2 = 5 \text{ m}, \quad z_2 = 5 \text{ m}$
3. $x_3 = 0 \text{ m}, \quad y_3 = 0 \text{ m}, \quad z_3 = 5 \text{ m}$
4. $x_4 = 5 \text{ m}, \quad y_4 = 0 \text{ m}, \quad z_4 = 5 \text{ m}$



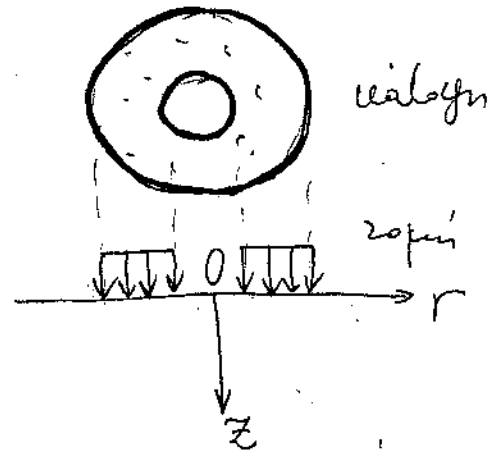
ΕΔΑΦΟΜΗΧΑΝΙΚΗ ΙΙ — ΠΡΟΟΔΟΣ 6-5-2009

Διάρκεια 1 ώρα. Βιβλία & Σημειώσεις ΚΛΕΙΣΤΑ.

Όνοματεπώνυμο Σπουδαστή :

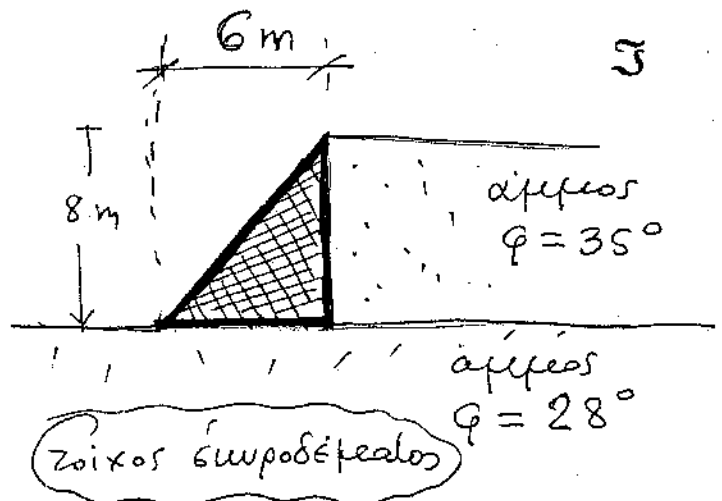
Βαρύτητα κάθε θέματος 25%

1 (α) Να σχεδιασθεί με **ποιοτικήν ακρίβεια** το εξής διάγραμμα, σχετιζόμενο με την μετάδοση τάσεων σε ομοιογενή ελαστικόν ημίχωρο : κατανομή των κατακορύφων ὀρθῶν τάσεων $\Delta\sigma_z$ κατά μήκος του άξονα Oz λόγω επιβολής φορτίου $p = 200 \text{ kPa}$ ομοιομόρφως κατανεμημένου σε **δακτυλιωτή επιφάνεια** εξωτερικής διαμέτρου **9 m** και εσωτερικής **3 m**.



(β) Συγκρίνονται ο ομοιογενής ημίχωρος (σταθερό μέτρο Young E) και ο γραμμικῶς ανομοιογενής ημίχωρος ($E = \xi z$, όπου $z =$ βάθος απ' την επιφάνεια και ξ σταθερά). Σκιαγραφείστε τις διαφορές που προκαλούν οι δύο αυτοί σχηματισμοί στην μορφή της καθίζησης της εδαφικής επιφάνειας λόγω επιβολής ομοιομόρφου φορτίου p σε κυκλική επιφάνεια.

2. Είναι ευσταθής έναντι ολισθήσεως ο τοίχος του σχήματος. Για τα ειδικά βάρη των υλικών που (επίτηδες) δεν δίδονται, δώστε δικές σας εύλογες τιμές. Εδαφος κοκκώδες και ξηρό.



3. (α) Τοίχος βαρύτητας εδράζεται σε εδαφική στρώση μέσης πυκνότητας. Ποιές οριζόντιες τάσεις θα δεχθεί ο τοίχος από το αντιστηριζόμενο έδαφος και γιατί ;

(β) Λωριδωτό φορτίο (κατά μήκος του άξονα x) έχει σχήμα τριγωνικό με μέγιστη ένταση στην μέση ίση με $q = 200 \text{ kN/m}$. Το πλάτος της φόρτισης είναι 8 m. **Είναι αληθής ή σίγουρα λάθος η έκφραση :**

«Η οριζόντια (εγκάρσια) τάση είναι παντού $\Delta\sigma_y = [\nu / (1-\nu)] \Delta\sigma_z$ υπό τον άξονα»

4. Εδαφικό στοιχείο ξηρής άμμου ($\varphi = 30^\circ$, $E = 30 \text{ MPa}$, $\nu = 0,30$) έχει αρχικώς ένταση $\sigma_{z0} = 100 \text{ kPa}$, $\sigma_{y0} = \sigma_{x0} = K_0 \sigma_{z0} = 60 \text{ kPa}$. Υποβάλλεται σε πρόσθετη ένταση χαρακτηριζόμενη από διατήρηση σταθερού σ_{z0} ενώ επιβάλλεται μόνον παραμόρφωση $\varepsilon_x = -0,001$ (- σημαίνει εφελκυσμό).

(α) Να υπολογισθεί αναλυτικά (χωρίς μνημόνευση τύπου) η νέα εντατική κατάσταση ($\sigma_x, \sigma_y, \sigma_z, \tau_{xy}, \dots$) υπό την προϋπόθεση ότι το εδαφικό υλικό είναι ιδεωδώς ελαστικό.

(β) Εάν το υλικό ήταν ελαστικό-ιδεωδώς πλαστικό ποιά θα ήταν η ελάχιστη δυνατή τιμή της σ_x , και για ποιά τιμή της ε_x θα πρωτο-συνέβαινε ;

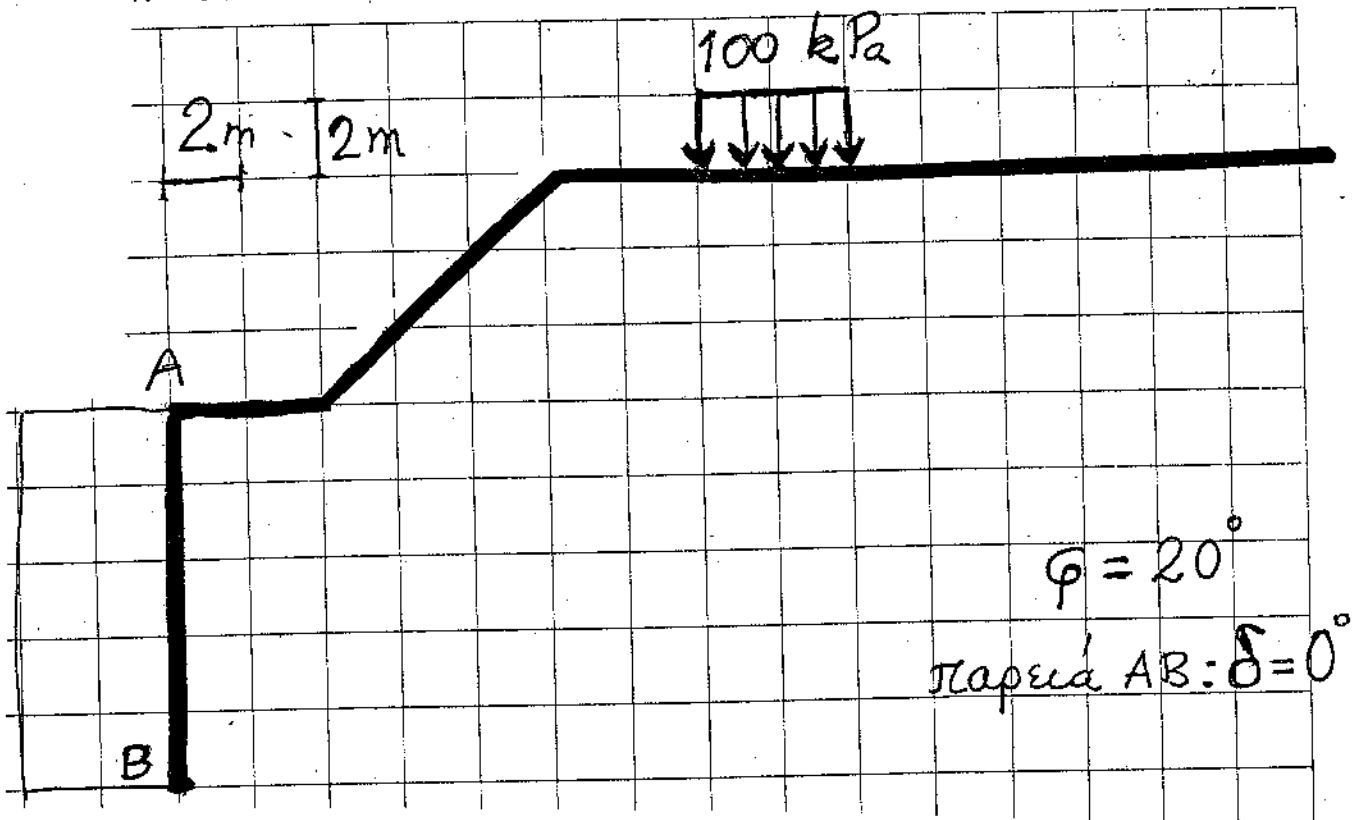
5. Κυλινδρικό παγόβουνο έχει διάμετρο 100 m, πάχος 5 m, και πυκνότητα $\rho = 0,80 \text{ Mg/m}^3$. Βρίσκεται σε νερό με $\rho_w = 1 \text{ Mg/m}^3$. Επιβάλλεται κυκλικό φορτίο στο μέσον του : ακτίνας 5 m, και έντασης $q = 10 \text{ kPa}$. Ζητείται η κατανομή της $\Delta\sigma_z$ συναρτήσεως του βάθους υπό το μέσον τού φορτίου.

Διαγώνισμα ΕΛΑΦΟΜΗΧΑΝΙΚΗΣ ΙΙ — 1 Ιουλίου 2009

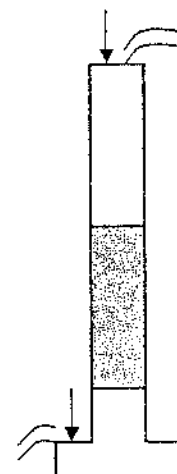
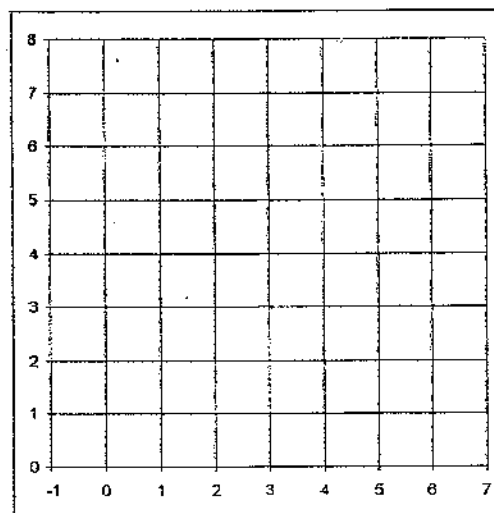
Διάρκεια 1 ½ ώρα. Βιβλία + Σημειώσεις ΚΛΕΙΣΤΑ

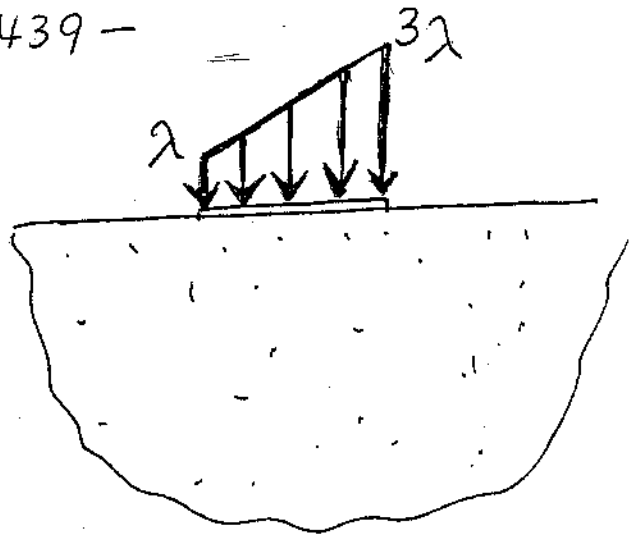
Όνοματεπώνυμο Σπουδαστή :

1. Αναζητείται η παθητική ώθηση Coulomb με ανάλυση ενός μόνον δοκιμαστικού ορίσματος ΑΒΓ₁. Ύψος τοίχου 10 m, σχέδιο υπό κλίμακα. Πόση είναι η δοκιμαστική ώθηση P₁, και πώς πιστεύετε, ότι συγκρίνεται με την άγνωστη P_p? Το Γ₁ και το γ (kN/m³) της δικής σας (εύλογης, πάντως) επιλογής.



2. (α) Να αναφερθούν παραδείγματα έργων κατά τα οποία προκαλείται υδατική ροή μέσα στο έδαφος. (β) Για ροή προς τα κάτω, να σχεδιασθεί το πεζομετρικό ύψος στο Σχήμα και να υπολογισθεί η ενεργός τάση στο μέσον του εδαφικού δοκιμίου (εάν η πυκνότητά του είναι $\rho = 2 \text{ Mg/m}^3$)





3. (α) Δίδεται τραπεζοειδώς κατανεμημένο λωριδωτό φορτίο με τιμές πίεσης στα δύο άκρα λ και 3λ . Να ευρεθεί η οριακή (δηλ η "μέγιστη δυνατή") τιμή του λ . (Θεωρείστε μία δική σας δοκιμαστική κυκλική επιφάνεια ολισθήσεως, με κέντρο οποιοδήποτε εύλογο σημείο επί της κατακορύφου στην κατάλληλη άκρη του πλάτους B.) Το έδαφος είναι ομοιογενές με αστράγγιστη διατμητική αντοχή $S_u = 40 \text{ kPa}$ και το πλάτος του φορτίου $b = 8 \text{ m}$.

(β) Σε (όμοια με την ανωτέρω) λωρίδα πλάτους $b = 8 \text{ m}$ δρά κεκλιμένο φορτίο P , με γωνία κλίσης 45° . Το έδαφος είναι ομοιογενές με αστράγγιστη διατμητική αντοχή $S_u = 40 \text{ kPa}$. Αναζητείται η μέγιστη δυνατή (οριακή) τιμή, P_{op} , του συνολικού φορτίου P . Επιλέγοντας έναν και μόνον μηχανισμό της προτιμήσεώς σας, υπολογίστε την αντίστοιχη (δοκιμαστική) τιμή του οριακού φορτίου.

4. Πού οφείλεται η ανάπτυξη υδατικών υπερπλίσεων στους πόρους κορεσμένου εδαφικού υλικού υπό τον υδροφόρο ορίζοντα :

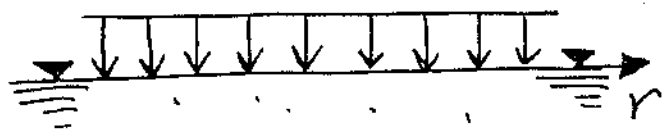
(α) στην περίπτωση υδατικής ροής,

(β) μετά την επιβολή ενός άπειρης-έκτασης φορτίου σε γεωστατικών αργιλικό σχηματισμό,

(γ) κατά την διέλευση διατμητικών σεισμικών κυμάτων (τα οποία επιβάλλουν ως γνωστόν απλή επαναλαμβανόμενη διάτμηση) διαμέσου χαλαρών αμμωδών υλικών,

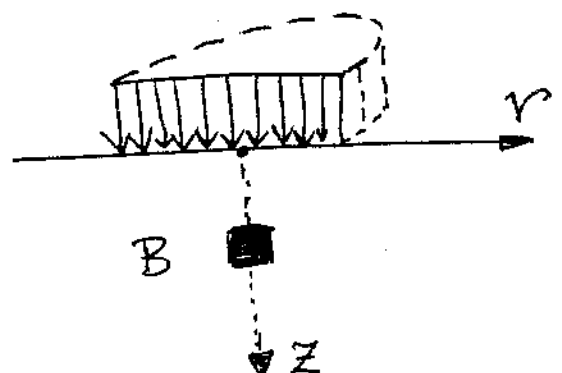
(δ) μετά την επιβολή ενός κυκλικού ομοιόμορφου φορτίου (ακτίνας R) σε γεωστατικών αργιλικό σχηματισμό

5. Δίνονται παραπλεύρως οι δύο περιπτώσεις φόρτισης ελαστικού ομοιογενούς πλήρως κορεσμένου ημχώρου με τον υδροφόρο ορίζοντα στην επιφάνεια του εδάφους :



(α) Να δοθεί με σκαρίφημά η καθίζηση της ελεύθερης επιφάνειας του εδάφους στις δύο περιπτώσεις (αμέσως μετά την επιβολή του φορτίου). Να εξηγηθούν πλήρως οι διαφορές των δύο περιπτώσεων.

(β) Ποιά είναι (κατά πολύ αδρή προσέγγιση) η εντατική κατάσταση ($\Delta\sigma_z$, $\Delta\sigma_r$, $\Delta\tau_{rz}$) των εδαφικών στοιχείων A και B σε βάθος $Z = 4 \text{ m}$ (αμέσως μετά την επιβολή του κάθε φορτίου) ; Να εξηγηθούν και πάλι πλήρως οι διαφορές των δύο περιπτώσεων.



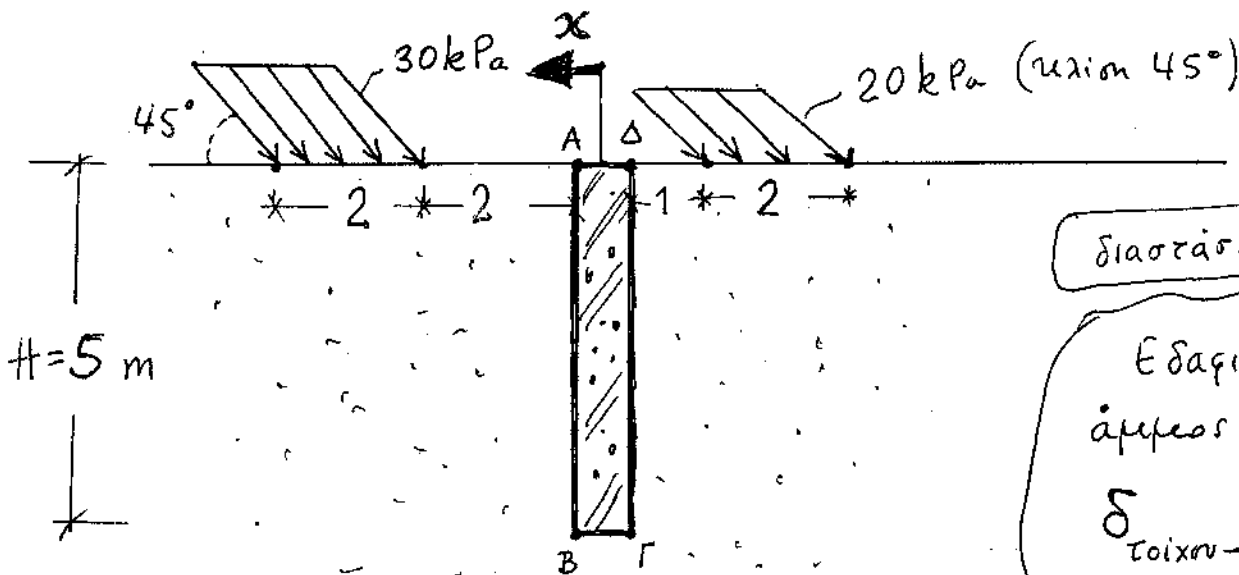
Διαγώνισμα ΕΔΑΦΟΜΗΧΑΝΙΚΗΣ ΙΙ — 28 Σεπτεμβρίου 2009

Διάρκεια 1 ώρα. Βιβλία + Σημειώσεις ΚΛΕΙΣΤΑ

Όνοματεπώνυμο Σπουδαστή :

1. Στον τοίχο ΑΒΓΔ του Σχήματος επιβάλλεται αρκετά μεγάλη μετακίνηση κατά την διεύθυνση x . Ζητείται να εξετάσετε την οριακή ισορροπία εφαρμόζοντας την μέθοδο *Coulomb*, με δοκιμαστικά εδαφικά πρίσματα της δικής σας (λογικής, πάντως) επιλογής. Να προσδιορισθούν :

- (α) Η δοκιμαστική ενεργητική και η δοκιμαστική παθητική ώθηση επί του τοίχου (μέγεθος, διεύθυνση, φορά) καθώς και η συνισταμένη δύναμη
- (β) Πώς συγκρίνονται οι ανωτέρω ωθήσεις, που υπολογίσατε από τα δοκιμαστικά πρίσματα, με τις αντίστοιχες πραγματικές ωθήσεις οι οποίες θα είχαν προκύψει εάν είχατε εξετάσει όλα τα δυνατά πρίσματα ;



Διαστάσεις σε m.

Εδαφικό υλικό:
άνηκος με $\varphi = 30^\circ$
 $\delta_{\text{τοίχου-εδάφ.}} = 10^\circ$
(πανζού)

50%

25%

2. Προγραμματίζεται η κατασκευή επιχώσεως μεγάλης έκτασης (θεωρητικώς άπειρης) που θα επιβάλλει φορτίο $p = 150 \text{ kPa}$ στην επιφάνεια του εδάφους. Από γεωτεχνική έρευνα προέκυψε η εξής στρωματογραφία : αργιλικό στρώμα από την επιφάνεια ως 6 m βάθος, και κατόπιν συμπαγής και αδιαπέρατος βράχος. Η στάθμη του υδροφόρου ορίζοντα συμπίπτει με την επιφάνεια του εδάφους. Η δοκιμή στερεοποίησης της αργίλου στο εργαστήριο (ύψος αργιλικού δοκιμίου 2cm και συνθήκες διπλής στράγγισης) έδωσε για τάση $\Delta\sigma_v = 150 \text{ kPa}$ καθίζηση 2 mm μετά από 100 sec, όταν ο αντίστοιχος βαθμός στερεοποίησης ήταν ίσος με 50%. Ζητούνται :

(α) Η καθίζηση δ_∞ του αργιλικού στρώματος λόγω της κατασκευής του επιχώματος

(β) Ο χρόνος που απαιτείται για την πρακτική ολοκλήρωσή της.

Υπενθυμίζονται οι σχέσεις : $U = \delta_t / \delta_\infty \approx (T_v)^{1/2}$ (προσέγγιση της ακριβούς λύσης), όπου $T_v = c_v t / h^2$ και $c_v = k D_s / \gamma_w$.

3. (α) Αμετακίνητος (και άκαμπτος) κατακόρυφος ορθογωνικός τοίχος ύψους $H = 10 \text{ m}$ αντιστηρίζει στεγνό εδαφικό υλικό με: $\rho = 1.6 \text{ Mg/m}^3$, $K_0 = 1$, και $\phi = 40^\circ$. Μελετούμε την εντατική κατάσταση σημείου A που κείται σε βάθος $z = 5 \text{ m}$ από την επιφάνεια και σε απόσταση $x = 5 \cdot \tan(90^\circ - 65^\circ)$ από τον τοίχο. Ζητούνται

(α1) η ορθή και η διατμητική τάση σε επίπεδο κλίσης 65° (ως προς την οριζοντία) στο σημείο A.

(α2) οι ως άνω τάσεις του σημείου A στο επίπεδο 65° , εάν όμως τώρα ο τοίχος αντί για αμετακίνητος είχε υποστεί μετατόπιση προς τα έξω ίση με 1% του ύψους H (δηλαδή 10 cm). (Να αιτιολογηθεί με συνοπτική ακρίβεια.)

(β) Να δοθεί γραφικά κατά ποιοτική προσέγγιση η μορφή της καθίζησης (όλης) της επιφάνειας δύο εδαφικών σχηματισμών, ενός ομοιογενούς ημιχώρου ($E = \text{σταθερό}$) και ενός ανομοιογενούς ημιχώρου ($E = \lambda z$), έκαστον υπό την επίδραση των εξής δύο φορτίων:

(β1) ενός ομοιόμορφου φορτίου p_0 σε κυκλική επιφάνεια ακτίνας R

(β2) ενός "κωνικός" κατανεμημένου φορτίου $p(r) = 3 p_0 (1 - r/R)$ στην ίδια κυκλική επιφάνεια ακτίνας R. (r = ακτινική απόσταση από το κέντρο του κύκλου)

[Συνολικά ζητούνται 4 καμπύλες. Σύντομη αιτιολόγηση.]

ΒΑΘΜΟΣ 25 %

ΕΔΑΦΟΜΗΧΑΝΙΚΗ ΙΙ

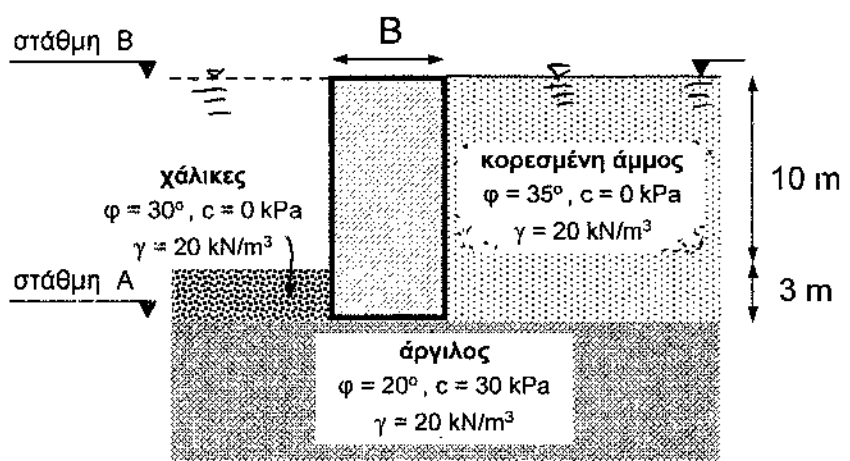
Τοίχοι Αντιστήριξης

Επαναληπτικές Ασκήσεις

15 Μαΐου 2003

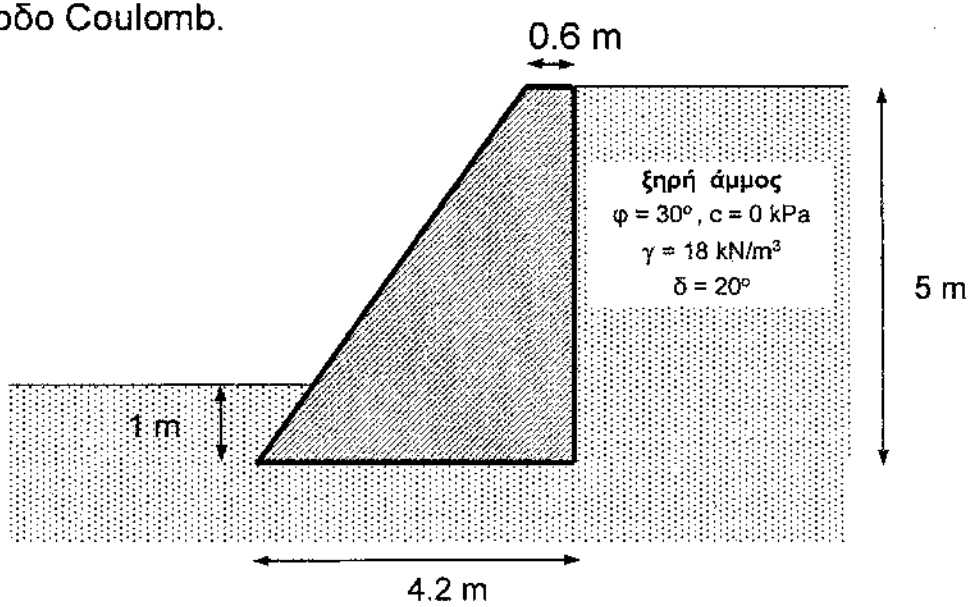
Ασκηση 1

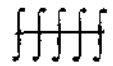
Ποιό είναι (και για τις δύο στάθμες νερού) το απαιτούμενο πλάτος B του λιμενικού κρηπιδοτοίχου, ώστε ο συντελεστής ασφαλείας έναντι ολισθήσεως να είναι μεγαλύτερος από 2;



Ασκηση 2

Να ελεγχθεί η ευστάθεια του τοίχου βαρύτητας έναντι ολίσθησης και ανατροπής, τόσο με την μέθοδο Rankine όσο και με την μέθοδο Coulomb.



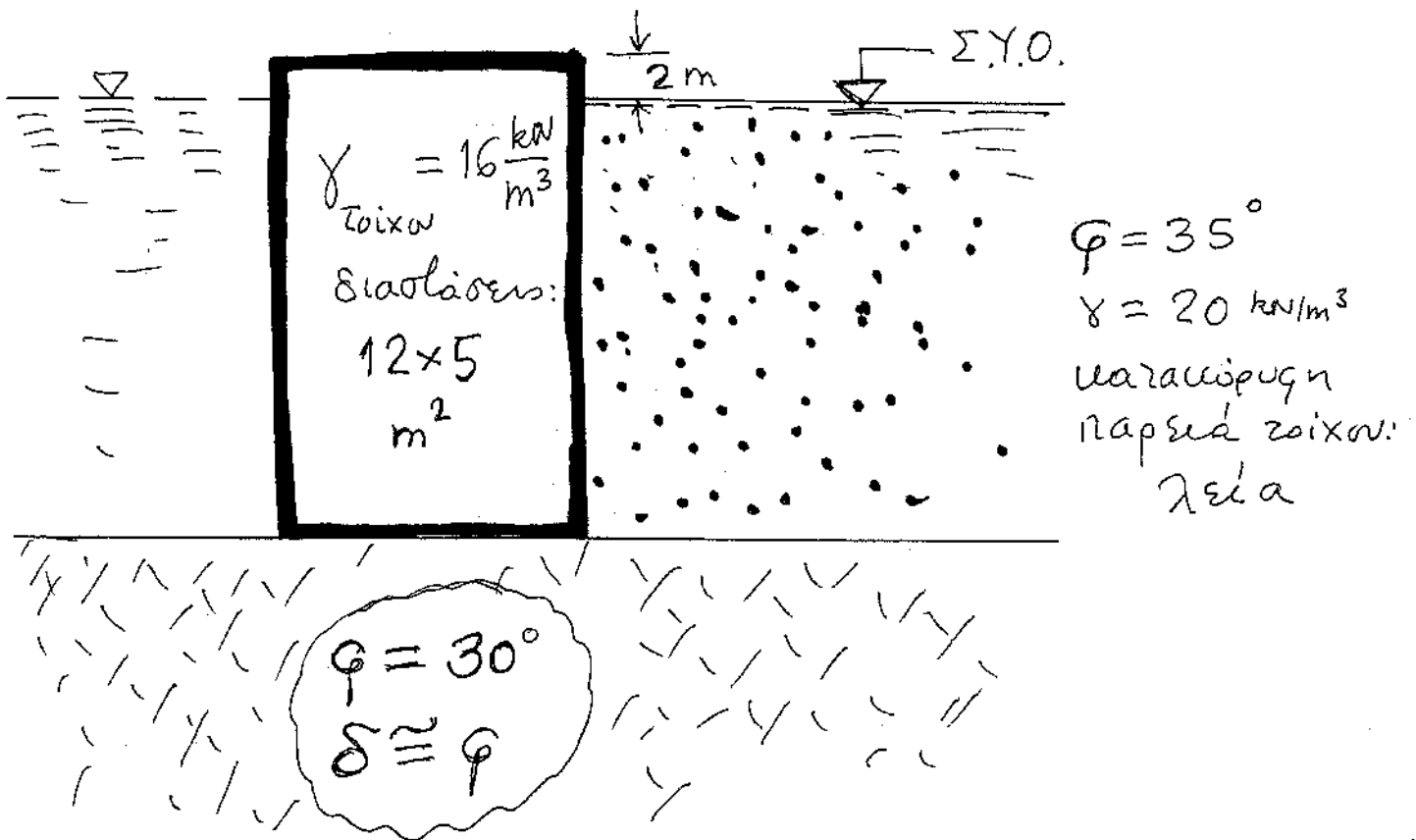


ΕΔΑΦΟΜΗΧΑΝΙΚΗ ΙΙ. Διαγώνισμα 24-6-2010

Βιβλία και Σημειώσεις Κλειστά. Διάρκεια 1 ½ ώρα

Όνομα :

1) Υπάρχει κίνδυνος ολισθήσεως του λιμενικού τοίχου του σχήματος ; (Η Επιφάνεια ύδατος στην εσωτερική παρειά είναι ακριβώς στην ίδια στάθμη με την επιφάνεια της θάλασσας.) Εδαφικές παράμετροι που (επιτηδες) δεν δίδονται να παρθούν κατ' εκτίμηση.

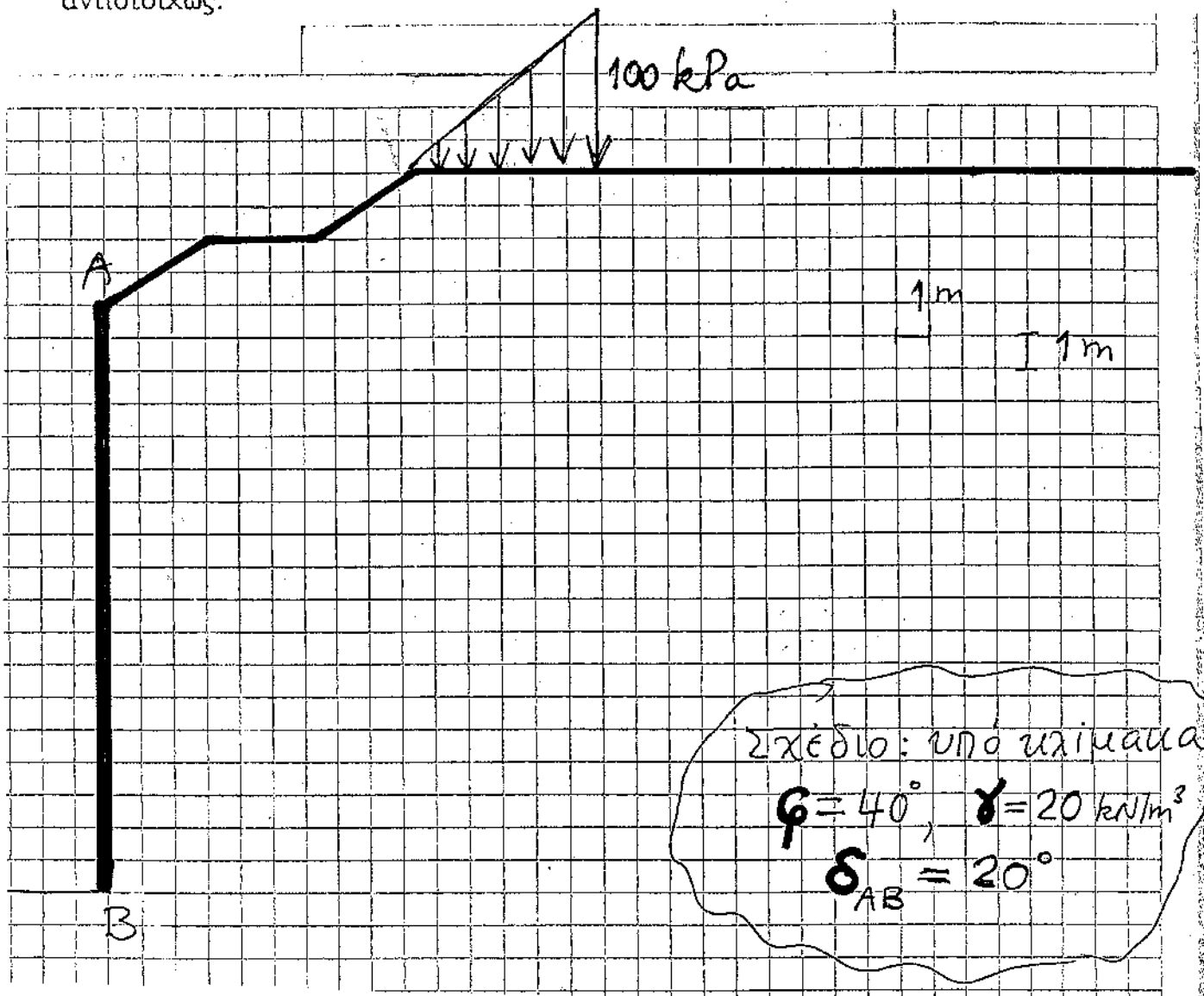


2) Αναζητείται με την μέθοδο Coulomb (i) η ενεργητική και (ii) η παθητική ώθηση επί του τοίχου.

(α) Επιλέξτε ένα δοκιμαστικό πρίσμα για την κάθε περίπτωση (που να μην είναι «παράλογο», ακόμη δε καλύτερα που να είναι «εύλογο»).

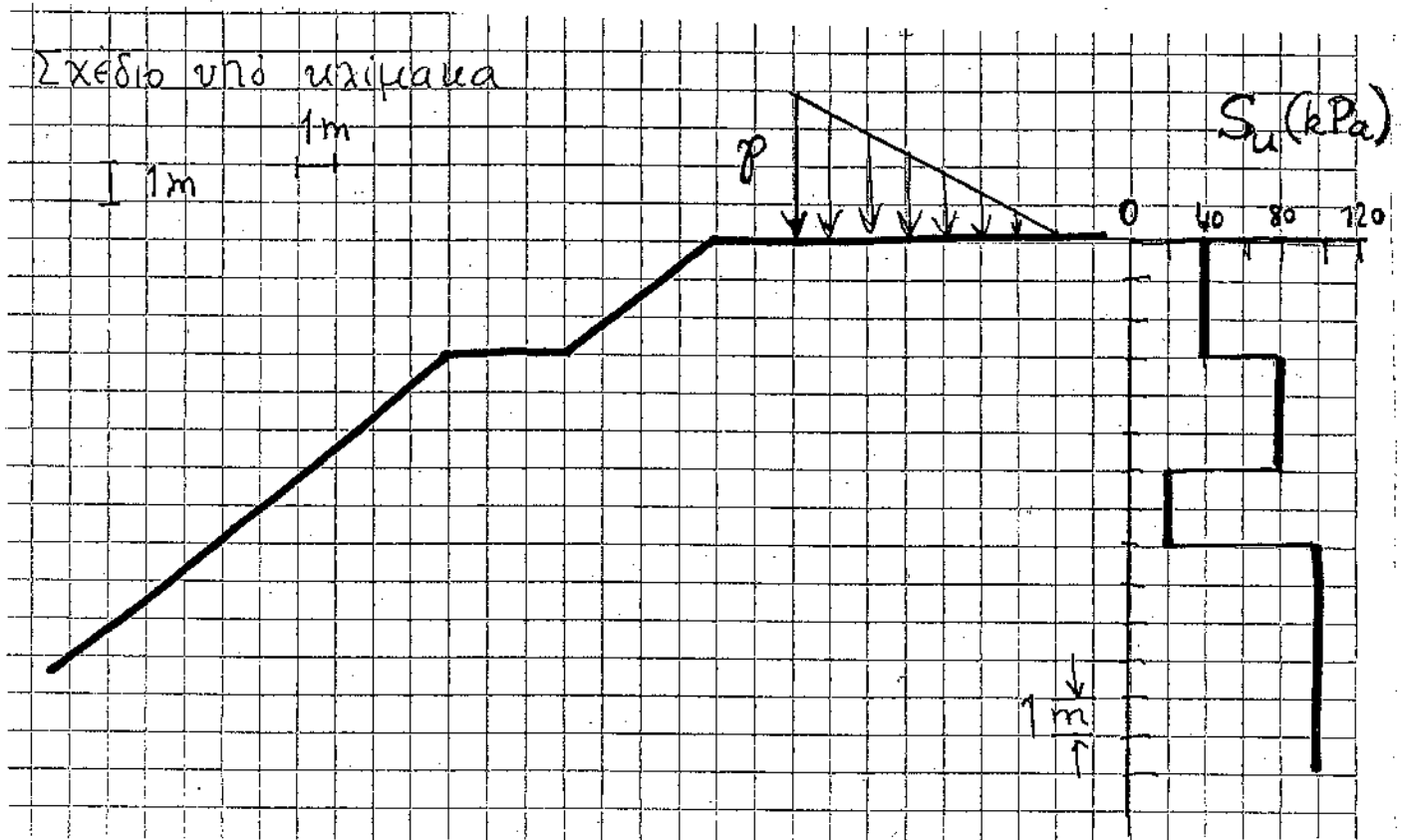
(β) Στα δοκιμαστικά αυτά πρίσματα να σχεδιασθούν οι δράσεις δυνάμεις οριακής ισορροπίας κατά Coulomb, με υπολογισμό των κατακορύφων δυνάμεων.

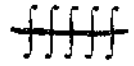
(γ) Δεν ζητείται ο υπολογισμός των δράσεων $P_{(i)}$ και $P_{(ii)}$ επί του τοίχου. Ζητείται μόνον η σχέση των $P_{(i)}$, $P_{(ii)}$ με την ενεργητική, P_A , και την παθητική, P_P , ώθηση, αντιστοίχως.





3) Δίδεται τριγωνικώς κατανεμημένο λωριδωτό φορτίο, με πίεση στο άκρο p . Να ευρεθεί η οριακή (δηλ. η «μέγιστη δυνατή») τιμή του p . (Θεωρείστε μία δική σας δοκιμαστική κυκλική επιφάνεια ολισθήσεως). Το έδαφος είναι ανομοιογενές, με αστράγγιστη διατμητική αντοχή S_u συναρτήσει του βάθους σύμφωνα με το Σχήμα. Εδαφικές παράμετροι που (επίτηδες) δεν δίδονται να παρθούν κατ' εκτίμηση.





4) Λοριδωτό (απειρομήκης δηλαδή) φορτίο p πλάτους B δρά επί ομοιογενούς ημικώρου, μέτρου ελαστικότητας E . Αναφερόμαστε στην κατανομή συναρτήσεως του y των διατμητικών οριζοντίων τάσεων $\tau_{zy} = \tau_{zy}(y, \text{δεδομένο } z)$ λόγω του φορτίου p . [Προφανώς οι τ_{zy} είναι ανεξάρτητες του x : επίπεδη παραμόρφωση...].

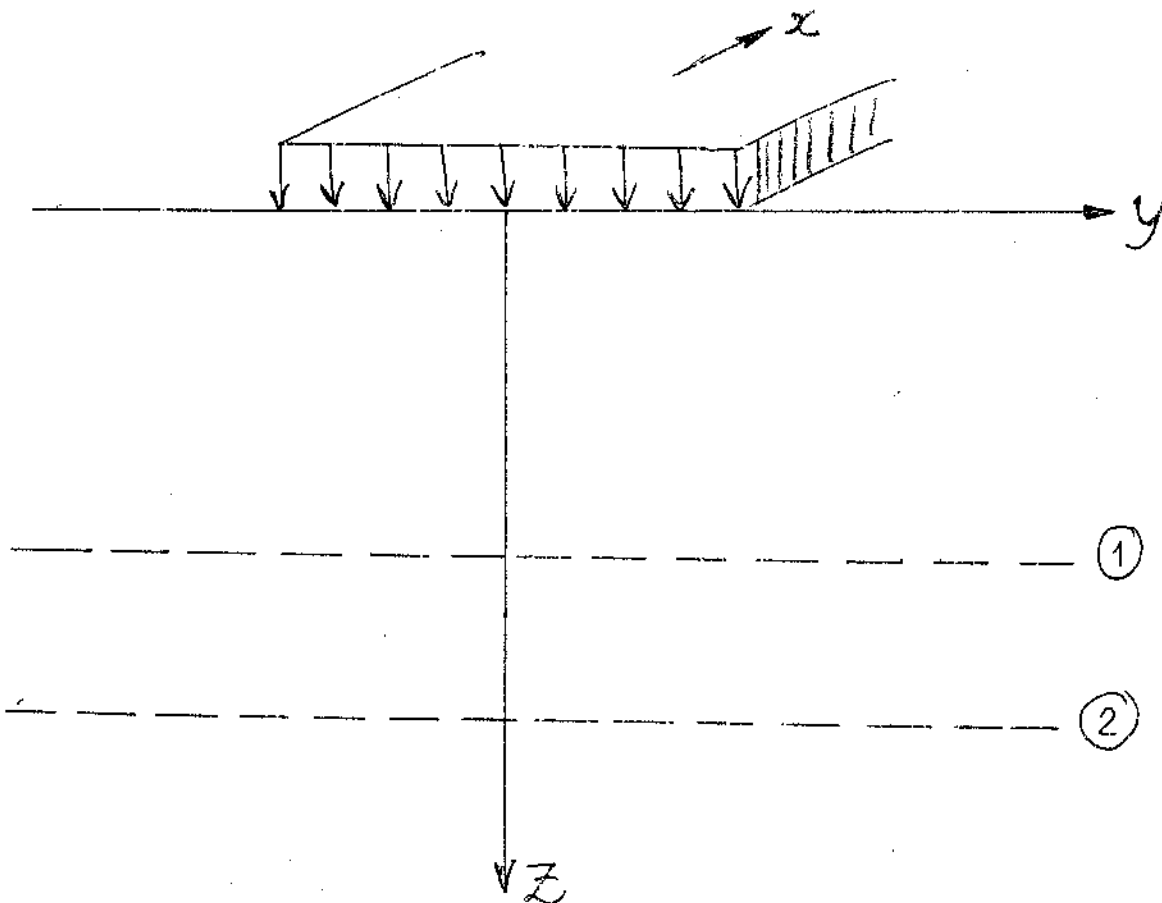
Ζητούνται :

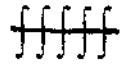
(α) Να σχεδιασθούν με κονδροειδή ποιοτική ακρίβεια οι

$$\tau_{zy}^{(1)} \equiv \tau_{zy}(y, z = B)$$

$$\tau_{zy}^{(2)} \equiv \tau_{zy}(y, z = 1,5 B)$$

(β) Να ευρεθούν οι συνιστάμενες δυνάμεις (ανά μονάδα μήκους) των $\tau_{zy}^{(1)}$ και $\tau_{zy}^{(2)}$ (δηλαδή τα $\int_{-\infty}^{+\infty} \tau_{zy} dy$ για τις δύο θέσεις).





5) Μεγάλης έκτασης επίκωση από υψηλής διαπερατότητας αμμοχάλικο, ύψους 5 m, γωνίας $\varphi = 38^\circ$ και $\gamma = 20 \text{ kN/m}^3$ καταλήγει σε δύο τοίχους αντιστηρίξεως. Το φυσικό υποκείμενο έδαφος είναι άργιλος 8 m πάχους, με τον υδροφόρο ορίζοντα στην επιφάνεια. Δίδονται : μέτρο μονοδιάστατης παραμόρφωσης $D_s = 10 \text{ MPa}$, συντελεστής διαπερατότητας $k = 10^{-8} \text{ m/s}$, $\gamma = 18 \text{ kN/m}^3$. Το υποκείμενο στρώμα είναι αδιαπέρατος βράχος. Ζητούνται :

Σε μια θέση στο μέσον περίπου της επίκωσης, όπου επικρατούν συνθήκες μονοδιάστατης παραμόρφωσης, ζητούνται :

- (i) η συνολική μακροχρόνια καθίζηση της αργίλου (πάχους 8 m) λόγω της επίκωσης
- (ii) ο απαιτούμενος χρόνος για την ουσιαστική ολοκλήρωση της καθίζησης (δηλ. για την πρακτική επίτευξη της μακροχρόνιας καθίζησης)
- (iii) εννέα (9) μήνες μετά την επιβολή της επίκωσης :
 - η καθίζηση
 - (με ποιοτική μόνον ακρίβεια) η κατανομή των υπερπιέσεων πόρων συναρτήσει του βάθους.

Δίδεται η εξής κατά προσέγγισιν σχέση για τον μέσο βαθμό στερεοποίησης :

$\bar{U} \approx 2 (T_v)^{1/3}$ Χρησιμοποιείστε αυτήν την σχέση αντί του διαγράμματος του βιβλίου.

Δίδονται επίσης οι σχέσεις : $T_v = c_v t / H^2$, $c_v = k D_s / \gamma_w$, $v = k i$, $i_{cr} = \bar{\gamma} / \gamma_w$,
 $p_{οριακ.} = 5.14 S_u$, $K_p = \tan^2 (45^\circ + \varphi / 2)$, $K_A = \tan^2 (45^\circ - \varphi / 2)$

Όνοματεπώνυμο Σπουδαστή :

Βαρύτητα κάθε θέματος 25%

1. Σε έναν δίστρωτο σχηματισμό του οποίου το πρώτο στρώμα (πάχους H) είναι κατά πολύ μαλακότερο του υποκειμένου στρώματος, **να αποδειχθεί** ότι η τάση $\Delta\sigma_z$ στην διεπιφάνεια των δύο στρωμάτων λόγω επιβολής επιφανειακού φορτίου p σε κυκλική επιφάνεια ακτίνας $R = H/2$ είναι **σχεδόν ίση με p** (με ακρίβεια $\pm 15\%$). Εάν $H = 3R$ πιστεύετε ότι θα ίσχυε πάλι η προσέγγιση **$\Delta\sigma_z \approx p$** ;

(Υπόδειξη : Θεωρείστε ισορροπία και παραμόρφωση κατάλληλου εδαφικού τμήματος, ή όποιον άλλο λογικό τρόπο επιθυμείτε.)

2. Εδαφικός ημίχωρος φορτίζεται με κυκλικό ομοιόμορφο φορτίο : p (kPa), ακτίνας R .

(α) Να δειχθεί **σχεδιαστικά**, σε κάτοψη και τομή (ή και σε προοπτικό), **ποιές είναι** οι τάσεις σ_r και σ_θ που δρουν σε κυλινδρική επιφάνεια ακτίνας ίσης με R και απείρου βάθους, με άξονα τον άξονα συμμετρίας z ,

(β) Στην κυλινδρική αυτή (άπειρου βάθους) επιφάνεια, πόση είναι η **συνισταμένη των ακτινικών τάσεων σ_r** ;

3. Είναι ευσταθής έναντι ολισθήσεως ο τοίχος του σχήματος. Εδαφος κοκκώδες και ξηρό.

4. Εδαφικό στοιχείο άμμου ($E = 30 \text{ MPa}$, $\nu = 0.50$) έχει αρχικώς ένταση $\sigma_{z0} = 200 \text{ kPa}$, $\sigma_{y0} = \sigma_{x0} = K_0 \sigma_{z0} = 100 \text{ kPa}$. Υποβάλλεται σε πρόσθετη επιπόνηση χαρακτηριζόμενη από διατήρηση σταθερού σ_{z0} , ενώ επιβάλλεται θλιπτικού τύπου παραμόρφωση ϵ_x , με απόλυτη τιμή ίση με 0.005 .

Να υπολογισθεί αναλυτικά (χωρίς απομνημόνευση τελικών τύπων) η πρόσθετη εντατική κατάσταση ($\Delta\sigma_x$, $\Delta\sigma_y$, $\Delta\sigma_z$, $\Delta\tau_{xy}$, $\Delta\tau_{xz}$, $\Delta\tau_{yz}$) υπό την προϋπόθεση ότι το εδαφικό υλικό είναι **ιδεωδώς ελαστικό**.

ΕΛΑΦΟΜΗΧΑΝΙΚΗ Π. Διαγώνισμα 11-7-11



Βιβλία, Σημειώσεις: **Κλειστά**. Διάρκεια: **2 ώρες. 6** Θέματα:

Όνομα :

ΤΥΠΟΛΟΓΙΟ : $T_v = c_v t / H^2$, $c_v = k D_s / \gamma_w$, $v = k i$, $i_{cr} = \bar{\gamma} / \gamma_w$,
 $\rho_{οριακ.} = 5.14 S_u$, $K_p = \tan^2(45^\circ + \varphi/2)$, $K_A = \tan^2(45^\circ - \varphi/2)$

1 (20 %)

Τοίχος βαρύτητας ύψους 5 μέτρων αντιστηρίζει έδαφος ($\varphi = 30^\circ$, $c = 5 \text{ kPa}$) όπως στο Σχήμα. Εφαρμόζεται η κινηματική μέθοδος Coulomb για την εύρεση της **παθητικής** ώθησης:

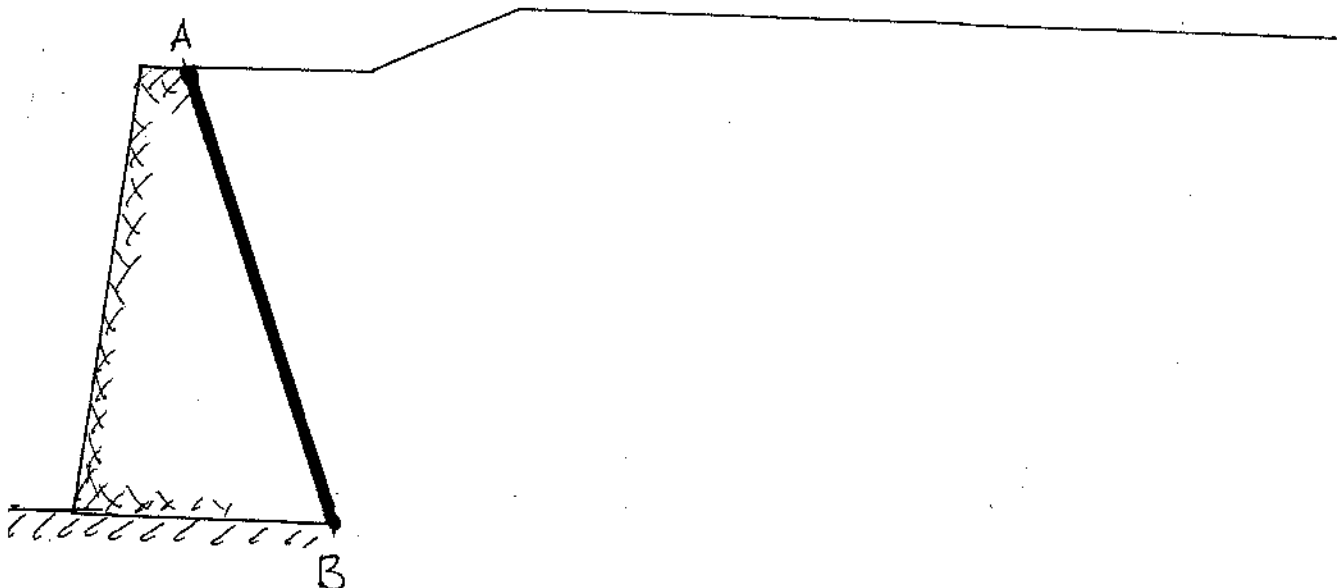
(α) Να επιλεχθεί ένα εύλογο δοκιμαστικό πρίσμα

(β) Να σχεδιασθούν (αναλυτικά) οι δυνάμεις που δρουν επί του πρίσματος από το υποκείμενο έδαφος

(γ) Να σχεδιασθούν οι δυνάμεις που δρουν επί του τοίχου από το έδαφος, εάν ο τοίχος είναι απολύτως λείος

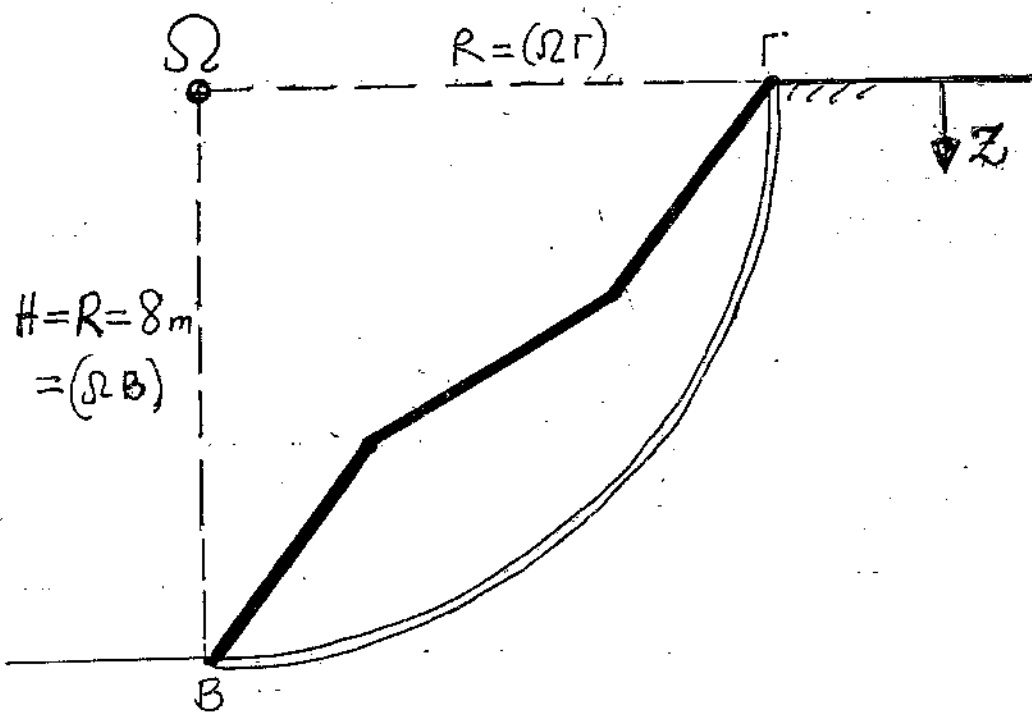
(δ) Να σχεδιασθούν οι δυνάμεις που δρουν επί του τοίχου από το έδαφος, εάν ο τοίχος είναι τραχύς και η γωνία συναφείας με το έδαφος είναι: $\delta = 20^\circ$.

(Συνοπτική μόνον αιτιολόγηση)



2 (20%)

Ζητείται ο (δοκιμαστικός) Συντελεστής Ασφαλείας έναντι αστάθειας του πρηνούς του Σχήματος με παραδοχή κυλινδρικής επιφάνειας ολίσθησης κέντρου Ω και ακτίνας ίσης με το ύψος του πρηνούς. Εδαφικό υλικό άργιλος υπό αστράγγιστες συνθήκες με $\rho = 2,0 \text{ Mg/m}^3$, αστράγγιστη διατμητική αντοχή $S_u \text{ (kPa)} = 5 + 6 Z$, όπου Z (σε μέτρα) είναι το βάθος από την (άνω) επιφάνεια, όπως στο Σχήμα. (Συνιστάται ημι-γραφική ή και αμιγώς γραφική επίλυση. Σχέδιο υπό κλίμακα.)



3 (15%)

Συγκρίνονται ως προς την στερεοποίηση υπό την επιβολή εξωτερικού φορτίου p δύο εδαφικοί σχηματισμοί, Α και Β αποτελούμενοι από μία μόνη εδαφική στρώση.

Ο πρώτος (Α) έχει πάχος Π_1 συντελεστή διαπερατότητας K_1 και μέτρο διατμήσεως G_1 . Έχει δε διαπερατά άνω και κάτω σύνορα.

Ο δεύτερος (Β) έχει αντιστοίχως Π_2 , K_2 , G_2 , και διαπερατό μόνον το κάτω σύνορο.

Ο λόγος του Πουασσόν είναι στα δύο στρώματα = 0.20.

Ποιές από τις κατωτέρω προτάσεις είναι σωστές και ποιές είναι λάθος:

(α) Εάν $\Pi_1 = 2\Pi_2$, $K_1 = K_2$ και $G_1 = G_2$ τότε η ολοκλήρωση της καθίζησης θα γίνει πρώτα στο Β και μετά στο Α.

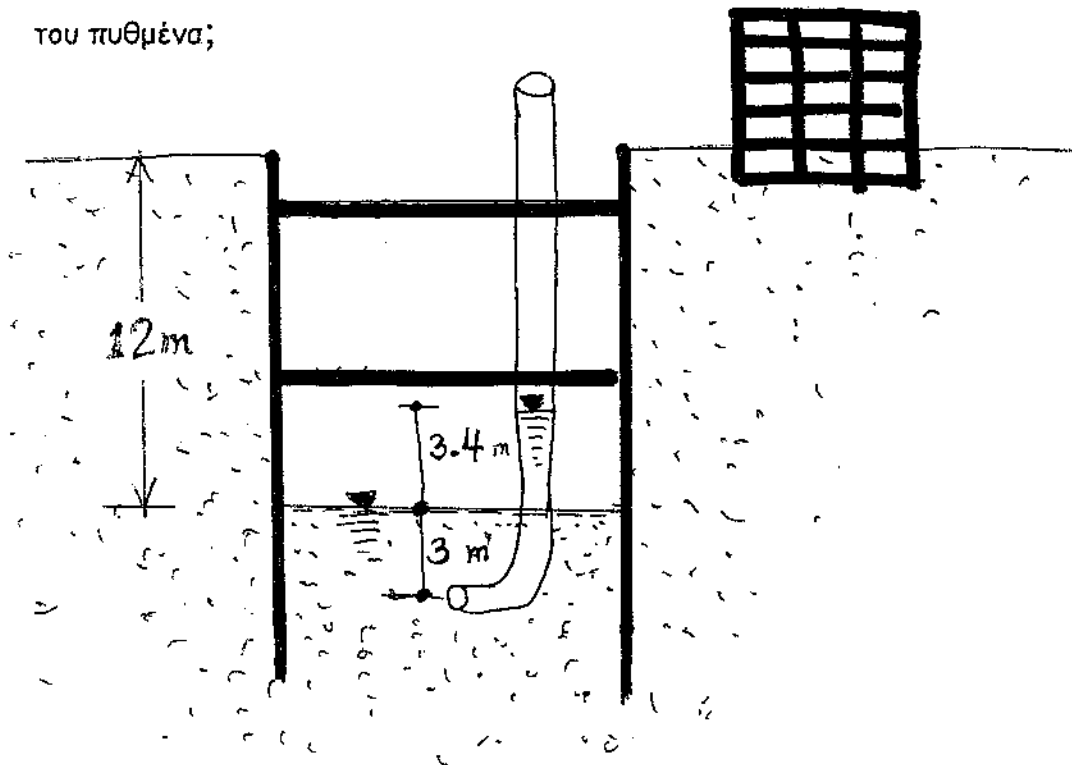
(β) Εάν πάλι $\Pi_1 = 2\Pi_2$, $K_1 = K_2$ και $G_1 = G_2$ τότε η τελική καθίζηση στο Α θα είναι μεγαλύτερη από ό,τι στο Β.

(γ) Εάν $\Pi_1 = \Pi_2$, $4K_1 = K_2$ και $G_1 = G_2$ τότε η ολοκλήρωση της καθίζησης θα γίνει πρώτα στο Β και μετά στο Α.

(δ) Εάν $2\Pi_1 = \Pi_2$, $2K_1 = K_2$ και $8G_1 = G_2$ τότε η ολοκλήρωση της καθίζησης θα γίνει πρώτα στο Β και μετά στο Α.

4 (15%)

Σε σημείο Α κάτω από τον πυθμένα εκσκαφής αντιστηριζομένης με κατακόρυφο διαφραγματικό τοίχο και αντηρίδες τοποθετείται πιεζόμετρο με την βάση του στα -3 m , όπως στο Σχήμα. Η υδατική στάθμη εντός της εκσκαφής διατηρείται στην επιφάνεια της εκσκαφής. Οι εδαφικές συνθήκες υπό τον πυθμένα περιλαμβάνουν στρώμα άμμου πάχους 3 m , ολικής πυκνότητας 1.7 Mg/m^3 . Η στάθμη του νερού μέσα στον πιεζομετρικό σωλήνα ανήλθε 3.4 m ψηλότερα από την στάθμη της εκσκαφής. Ζητούνται: (α) Να εξηγηθεί πώς είναι δυνατόν να έχει προκληθεί αυτή η ανύψωση. (β) Υπάρχει πρόβλημα ευστάθειας του αμμόδους στρώματος στην επιφάνεια του πυθμένα;



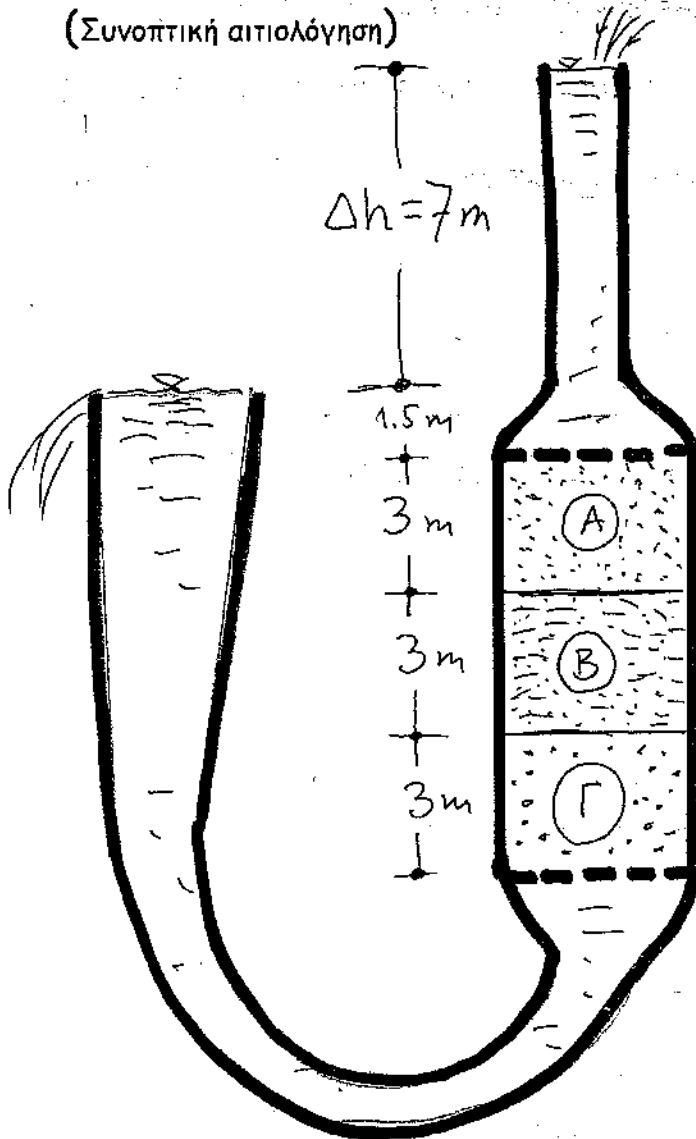
5 (15%)

Ροή διαμέσου τρίστρωτου εδαφικού σχηματισμού: στρώμα Α ιλύς με συντελεστή διαπερατότητας $k_A = 4 \times 10^{-4} \text{ m/s}$, στρώμα Β ιλο-αμμώδης άργιλος με συντελεστή διαπερατότητας $k_B = 10^{-6} \text{ m/s}$, στρώμα Γ άμμος με συντελεστή διαπερατότητας $k_\Gamma = 5 \times 10^{-2} \text{ m/s}$. Ζητούνται:

(i) κατά χονδροειδή (αλλά αιτιολογούμενη) προσέγγιση, η κατανομή του ολικού (υδραυλικού) ύψους, h , καθ' ύψους του τρίστρωτου εδαφικού σχηματισμού

(ii) η ολική και η ενεργός κατακόρυφη τάση στην διεπιφάνεια των στρώσεων Β και Γ.

(Συνοπτική αιτιολόγηση)



6 (15%)

Λείος κατακόρυφος τοίχος αντιστηρίξεως παρειάς AB και ύψους $H = (AB)$, αντιστηρίζει έδαφος με γ , φ , και συντελεστή «ουδέτερης» ώθησης $K_0 = 1$. Όταν είναι απολύτως αμετακίνητος, ο τοίχος δέχεται δύναμη F_0 από το έδαφος. Ο τοίχος τώρα ωθείται προς τα έξω (δηλ. προς την ενεργητική κατάσταση). Αναλύεται κατά Coulomb δοκιμαστικό πρίσμα i με επιφάνεια (δοκιμαστικής) ολισθήσεως $B'i$. Ευρίσκεται η υποφήψια ενεργητική ώθηση F_i . Να αποδειχθεί (α) ότι ανεξαρτήτως του ποιού είναι το δοκιμαστικό πρίσμα i , ισχύει η ανισότητα $F_i < F_0$, και (β) ότι εξαιτίας αυτής της ανισότητας ισχύει για την (πραγματική) ενεργητική ώθηση $F_p = \max(F_i, i = 1, 2, 3, \dots)$.

[Λιτά αλλά ακριβή επιχειρήματα και αποδείξεις]